

**T.C.
KASTAMONU ÜNİVERSİTESİ
FEN BİLİMLERİ ENSTİTÜSÜ**

**KASTAMONU YÖRESİ SARIÇAM MEŞCERELERİNDE
ÇAP DAĞILIMLARININ MODELLENMESİ**

Esra DAL

**Danışman
Jüri Üyesi
Jüri Üyesi**

**Doç. Dr. Oytun Emre SAKICI
Prof. Dr. Mehmet TOPAL
Dr. Öğr. Üyesi Muammer ŞENYURT**

**YÜKSEK LİSANS TEZİ
ORMAN MÜHENDİSLİĞİ ANA BİLİM DALI**

KASTAMONU – 2019

TEZ ONAYI

Esra DAL tarafından hazırlanan "**Kastamonu Yöresi Sarıçam Meşcerelerinde Çap Dağılımlarının Modellenmesi**" adlı tez çalışması aşağıdaki jüri üyeleri önünde savunulmuş ve **oy birliği** ile Kastamonu Üniversitesi Fen Bilimleri Enstitüsü **Orman Mühendisliği Ana Bilim Dalı**'nda **YÜKSEK LİSANS TEZİ** olarak kabul edilmiştir.

Danışman Doç. Dr. Oytun Emre SAKICI
Kastamonu Üniversitesi



Jüri Üyesi Prof. Dr. Mehmet TOPAL
Kastamonu Üniversitesi



Jüri Üyesi Dr. Öğr. Üyesi Muammer ŞENYURT
Çankırı Karatekin Üniversitesi



03/10/2019

Enstitü Müdürü

Doç. Dr. Nur BELKAYALI



TAAHHÜTNAME

Tez içindeki bütün bilgilerin etik davranış ve akademik kurallar çerçevesinde elde edilerek sunulduğunu, ayrıca tez yazım kurallarına uygun olarak hazırlanan bu çalışmada bana ait olmayan her türlü ifade ve bilginin kaynağına eksiksiz atıf yaptığımı bildirir ve taahhüt ederim.



Esra DAL

ÖZET

Yüksek Lisans Tezi

KASTAMONU YÖRESİ SARIÇAM MEŞCERELERİNDE ÇAP DAĞILIMLARININ MODELLENMESİ

Esra DAL

Kastamonu Üniversitesi

Fen Bilimleri Enstitüsü

Orman Mühendisliği Ana Bilim Dalı

Danışman: Doç. Dr. Oytun Emre SAKICI

Bu çalışmada, Kastamonu yöresi saf sarıçam (*Pinus sylvestris* L.) meşcerelerinin çap dağılımlarının modellenmesi ve ağaç sayısı, orta çap, sıklık, bonitet sınıfı, kapalılık, gelişim çağı ve meşcere tipi gibi meşcere özelliklerinin en uygun dağılım fonksiyonunun seçimi üzerine olan etkilerinin araştırılması amaçlanmıştır.

Çalışma materyali olarak Orman Genel Müdürlüğü Orman İdaresi ve Planlama Daire Başkanlığı arşivinden temin edilen 890 adet örnek alan verisi kullanılmıştır. Çap dağılımlarının modellenmesinde Beta, Gamma-2p, Gamma-3p, Johnson SB, Lognormal-2p, Lognormal-3p, Normal, Weibull-2p ve Weibull-3p olasılık yoğunluk fonksiyonlarından yararlanılmıştır. Olasılık yoğunluk fonksiyonlarının başarılarının ortaya konulması ve en uygun fonksiyonun belirlenmesinde Kolmogorov-Smirnov (KS), Anderson-Darling (AD), Ki-kare (X^2) ve Hata İndeksi (e) ölçütleri kullanılmış ve fonksiyonlar her bir örnek alan için bu ölçütlere göre başarı sıralamasına tabi tutulmuştur. Çeşitli meşcere özelliklerinin en uygun fonksiyonun seçimi üzerindeki etkileri ise Kruskal-Wallis ve Ki-kare testleri yardımıyla belirlenmiştir.

İstatistiksel ölçütlere göre yapılan karşılaştırmalar sonucunda Johnson SB olasılık yoğunluk fonksiyonu tüm ölçütler bakımından en başarılı fonksiyon olarak belirlenmiştir. Olasılık yoğunluk fonksiyonlarının örnek alan bazında en başarılı bulunma durumları meşceredeki ağaç sayısı, meşcere orta çapı, kapalılık, gelişim çağı ve meşcere tipi bakımından anlamlı farklılık gösterirken, sıklık ve bonitet sınıfları bakımından herhangi bir farklılık göstermemiştir.

Sonuç olarak, Kastamonu yöresi saf sarıçam meşcerelerinin çap dağılımlarının modellenmesinde Johnson SB olasılık yoğunluk fonksiyonunun en başarılı fonksiyon olduğu ve çeşitli özellikler bakımından farklılık gösteren bu meşcereler için düzenlenecek çap dağılım modellerinde Johnson SB fonksiyonunun kullanılacağı belirlenmiştir.

Anahtar Kelimeler: Olasılık yoğunluk fonksiyonu, Johnson SB, maksimum olabilirlik yöntemi, rölatif sıralama, *Pinus sylvestris*

2019, 177 sayfa

Bilim Kodu: 1205

ABSTRACT

MSc. Thesis

MODELLING DIAMETER DISTRIBUTIONS OF SCOTS PINE STANDS IN KASTAMONU REGION

Esra DAL

Kastamonu University

Graduate School of Natural and Applied Sciences

Department of Forest Engineering

Supervisor: Assoc. Prof. Dr. Oytun Emre SAKICI

In this study, it was aimed to model diameter distributions of pure Scots pine (*Pinus sylvestris* L.) stands in Kastamonu region and to investigate the effects of stand characteristics such as number of trees, mean diameter, stand density, site class, crown closure, life phase and stand type selection on the most appropriate distribution function.

As the study material, 890 sample plots data obtained from the General Directorate of Forestry archives were used. Beta, Gamma-2p, Gamma-3p, Johnson SB, Lognormal-2p, Lognormal-3p, Normal, Weibull-2p and Weibull-3p probability density functions were used to model the diameter distributions. Kolmogorov-Smirnov (*KS*), Anderson-Darling (*AD*), Chi-square (X^2) and Error Index (*e*) criteria were used in determining the success of probability density functions and determining the most appropriate function. The functions were ranked according to these criteria for each sample plot. The effects of various stand characteristics on the selection of the most suitable function were determined by Kruskal-Wallis and Chi-square tests.

As a result of comparisons according to statistical criteria, Johnson SB probability density function was determined as the most successful function in all criteria. While there were significant differences in the success of probability density functions in terms of number of trees, mean diameter, crown closure, life phase and stand type, they did not show any difference in stand density and site classes.

In conclusion, Johnson SB probability density function was found to be the most successful function in modeling the diameter distributions of pure Scots pine stands in Kastamonu region and Johnson SB function can be used for diameter distribution models for these stands which differ in various features.

Key Words: Probability density function, Johnson SB, maximum likelihood method, relative ranking, *Pinus sylvestris*

2019, 177 pages

Science Code: 1205

TEŞEKKÜR

“Kastamonu Yöresi Sarıçam Meşcerelerinde Çap Dağılımlarının Modellenmesi” adlı bu çalışma, Kastamonu Üniversitesi, Fen Bilimleri Enstitüsü, Orman Mühendisliği Anabilim Dalı’nda Yüksek Lisans Tezi olarak hazırlanmıştır.

Öncelikle tez konusunun belirlenmesinden tez sürecinin sonuna kadar bilgi ve tecrübelerini esirgemeyen, tecrübelerinden yararlanırken hoşgörülü ve yapıcı tutumu ile her zaman destek ve yardımlarını gördüğüm, ilminden faydalandığım saygıdeğer danışman hocam Sayın Doç. Dr. Oytun Emre SAKICI’ya müteşekkirim.

Çalışmanın hazırlanması, değerlendirilmesi ve sonuçlandırılmasına önemli katkılar sağlayan değerli hocalarım Prof. Dr. Mehmet TOPAL, Doç. Dr. İlker ERCANLI, Dr. Öğr. Üyesi Muammer ŞENYURT ve Dr. Öğr. Üyesi Alper BULUT’a, çalışma materyalinin temininde göstermiş oldukları yardımsever katkılardan dolayı Orman Modelleme ve Hasılat Şube Müdürü Sayın Gediz Metin KOCAELİ’nin şahsında Orman İdaresi ve Planlama Dairesi Başkanlığı’nın değerli personellerine ve yüksek lisans eğitimi konusunda beni cesaretlendiren ve bilgi birikimi ile her zaman desteğini gördüğüm çok kıymetli Abdipaşa Orman İşletme Şefi Serkan BULUT’a şükranlarımı sunarım.

Tez çalışması süresince manevi desteğini her zaman hissettiren eşim Muhammed DAL’a, gerek zaman gerek ilgi alakasından fazlaca çaldığım biricik kızım Arya Şura DAL’a ve maddi ve manevi yardımlarını gördüğüm kıymetli aileme ve dostlarıma teşekkür ederim.

Esra DAL
Kastamonu, Ekim, 2019

İÇİNDEKİLER

| | Sayfa |
|--|--------------|
| TEZ ONAYI..... | ii |
| TAAHHÜTNAME..... | iii |
| ÖZET..... | iv |
| ABSTRACT..... | v |
| TEŞEKKÜR..... | vi |
| İÇİNDEKİLER | vii |
| SİMGELER VE KISALTMALAR DİZİNİ | viii |
| ŞEKİLLER DİZİNİ..... | ix |
| TABLolar DİZİNİ | xi |
| 1. GİRİŞ | 1 |
| 2. LİTERATÜR ÖZETİ..... | 8 |
| 3. MATERYAL VE YÖNTEM | 21 |
| 3.1. Materyal..... | 21 |
| 3.2. Yöntem | 44 |
| 3.2.1. Olasılık Yoğunluk Fonksiyonları | 45 |
| 3.2.2. İstatistiksel Değerlendirme | 47 |
| 4. BULGULAR | 50 |
| 5. TARTIŞMA | 160 |
| 6. SONUÇLAR VE ÖNERİLER | 164 |
| KAYNAKLAR | 168 |
| ÖZGEÇMİŞ | 177 |

SİMGELER VE KISALTMALAR DİZİNİ

Simgeler

| | |
|-------|--------------------------------|
| AD | Anderson-Darling istatistiđi |
| d_q | Orta ap |
| KS | Kolmogorov-Smirnov istatistiđi |
| e | Hata indeksi |
| N | Ađa sayısı |
| R_i | Rlatif sıra |
| X^2 | Ki-kare istatistiđi |

Kısaltmalar

| | |
|-----|-------------------------|
| cm | Santimetre |
| ha | Hektar |
| OİM | Orman İřletme Mdrlđ |
| OİŐ | Orman İřletme Őefliđi |

ŞEKİLLER DİZİNİ

| | Sayfa |
|---|--------------|
| Şekil 3.1. Sarıçamın Türkiye'deki yayılışı..... | 21 |
| Şekil 3.2. Çalışma alanı..... | 22 |
| Şekil 3.3. Örnek alanların meşcere özelliklerine göre dağılımı | 28 |
| Şekil 4.1. Olasılık yoğunluk fonksiyonlarının istatistiksel ölçütlere göre başarı durumları | 137 |
| Şekil 4.2. Çsb1 (I. Bonitet) meşceresi için Johnson SB dağılımı | 145 |
| Şekil 4.3. Çsb2 (I. Bonitet) meşceresi için Johnson SB dağılımı | 145 |
| Şekil 4.4. Çsb3 (I. Bonitet) meşceresi için Johnson SB dağılımı | 145 |
| Şekil 4.5. Çsbc2 (I. Bonitet) meşceresi için Johnson SB dağılımı..... | 146 |
| Şekil 4.6. Çsbc3 (I. Bonitet) meşceresi için Johnson SB dağılımı..... | 146 |
| Şekil 4.7. Çsc1 (I. Bonitet) meşceresi için Johnson SB dağılımı..... | 146 |
| Şekil 4.8. Çsc2 (I. Bonitet) meşceresi için Johnson SB dağılımı..... | 147 |
| Şekil 4.9. Çsc3 (I. Bonitet) meşceresi için Johnson SB dağılımı..... | 147 |
| Şekil 4.10. Çscd1 (I. Bonitet) meşceresi için Johnson SB dağılımı..... | 147 |
| Şekil 4.11. Çscd2 (I. Bonitet) meşceresi için Johnson SB dağılımı..... | 148 |
| Şekil 4.12. Çscd3 (I. Bonitet) meşceresi için Johnson SB dağılımı..... | 148 |
| Şekil 4.13. Çsd1 (I. Bonitet) meşceresi için Johnson SB dağılımı | 148 |
| Şekil 4.14. Çsd2 (I. Bonitet) meşceresi için Johnson SB dağılımı | 149 |
| Şekil 4.15. Çsd3 (I. Bonitet) meşceresi için Johnson SB dağılımı | 149 |
| Şekil 4.16. Çsb1 (II. Bonitet) meşceresi için Johnson SB dağılımı..... | 149 |
| Şekil 4.17. Çsb2 (II. Bonitet) meşceresi için Johnson SB dağılımı | 150 |
| Şekil 4.18. Çsb3 (II. Bonitet) meşceresi için Johnson SB dağılımı | 150 |
| Şekil 4.19. Çsbc1 (II. Bonitet) meşceresi için Johnson SB dağılımı | 150 |
| Şekil 4.20. Çsbc2 (II. Bonitet) meşceresi için Johnson SB dağılımı | 151 |
| Şekil 4.21. Çsbc3 (II. Bonitet) meşceresi için Johnson SB dağılımı | 151 |
| Şekil 4.22. Çsc1 (II. Bonitet) meşceresi için Johnson SB dağılımı | 151 |
| Şekil 4.23. Çsc2 (II. Bonitet) meşceresi için Johnson SB dağılımı | 152 |
| Şekil 4.24. Çsc3 (II. Bonitet) meşceresi için Johnson SB dağılımı | 152 |
| Şekil 4.25. Çscd1 (II. Bonitet) meşceresi için Johnson SB dağılımı | 152 |
| Şekil 4.26. Çscd2 (II. Bonitet) meşceresi için Johnson SB dağılımı | 153 |
| Şekil 4.27. Çscd3 (II. Bonitet) meşceresi için Johnson SB dağılımı | 153 |
| Şekil 4.28. Çsd1 (II. Bonitet) meşceresi için Johnson SB dağılımı | 153 |
| Şekil 4.29. Çsd2 (II. Bonitet) meşceresi için Johnson SB dağılımı | 154 |
| Şekil 4.30. Çsd3 (II. Bonitet) meşceresi için Johnson SB dağılımı | 154 |
| Şekil 4.31. Çsb2 (III. Bonitet) meşceresi için Johnson SB dağılımı..... | 154 |
| Şekil 4.32. Çsb3 (III. Bonitet) meşceresi için Johnson SB dağılımı..... | 155 |
| Şekil 4.33. Çsbc1 (III. Bonitet) meşceresi için Johnson SB dağılımı | 155 |
| Şekil 4.34. Çsbc2 (III. Bonitet) meşceresi için Johnson SB dağılımı | 155 |
| Şekil 4.35. Çsbc3 (III. Bonitet) meşceresi için Johnson SB dağılımı | 156 |
| Şekil 4.36. Çsc1 (III. Bonitet) meşceresi için Johnson SB dağılımı | 156 |
| Şekil 4.37. Çsc2 (III. Bonitet) meşceresi için Johnson SB dağılımı | 156 |
| Şekil 4.38. Çsc3 (III. Bonitet) meşceresi için Johnson SB dağılımı | 157 |
| Şekil 4.39. Çscd1 (III. Bonitet) meşceresi için Johnson SB dağılımı | 157 |
| Şekil 4.40. Çscd2 (III. Bonitet) meşceresi için Johnson SB dağılımı | 157 |

| | |
|--|-----|
| Şekil 4.41. Çscd3 (III. Bonitet) meşceresi için Johnson SB dağılımı..... | 158 |
| Şekil 4.42. Çsd1 (III. Bonitet) meşceresi için Johnson SB dağılımı..... | 158 |
| Şekil 4.43. Çsd2 (III. Bonitet) meşceresi için Johnson SB dağılımı..... | 158 |
| Şekil 4.44. Çsd3 (III. Bonitet) meşceresi için Johnson SB dağılımı..... | 159 |



TABLolar DİZİNİ

| | Sayfa |
|---|-------|
| Tablo 3.1. Kastamonu ili saf sarıçam ormanlarının genel orman varlığı içerisindeki durumu..... | 23 |
| Tablo 3.2. Kastamonu ili sarıçam ormanlarının meşcere tiplerine dağılımı | 25 |
| Tablo 3.3. Çalışma kapsamında kullanılan örnek alanların dağılımı..... | 27 |
| Tablo 3.4. Örnek alanlara ilişkin bilgiler (I. Bonitet) | 30 |
| Tablo 3.5. Örnek alanlara ilişkin bilgiler (II. Bonitet) | 34 |
| Tablo 3.6. Örnek alanlara ilişkin bilgiler (III. Bonitet)..... | 39 |
| Tablo 3.7. Çalışma kapsamında değerlendirilen olasılık yoğunluk fonksiyonları | 46 |
| Tablo 4.1. Olasılık yoğunluk fonksiyonlarının Kolmogorov-Smirnov (<i>KS</i>) ölçütüne göre sıralamaları (I. Bonitet)..... | 51 |
| Tablo 4.2. Olasılık yoğunluk fonksiyonlarının Kolmogorov-Smirnov (<i>KS</i>) ölçütüne göre sıralamaları (II. Bonitet) | 56 |
| Tablo 4.3. Olasılık yoğunluk fonksiyonlarının Kolmogorov-Smirnov (<i>KS</i>) ölçütüne göre sıralamaları (III. Bonitet) | 62 |
| Tablo 4.4. Olasılık yoğunluk fonksiyonlarının Anderson-Darling (<i>AD</i>) ölçütüne göre sıralamaları (I. Bonitet)..... | 68 |
| Tablo 4.5. Olasılık yoğunluk fonksiyonlarının Anderson-Darling (<i>AD</i>) ölçütüne göre sıralamaları (II. Bonitet) | 73 |
| Tablo 4.6. Olasılık yoğunluk fonksiyonlarının Anderson-Darling (<i>AD</i>) ölçütüne göre sıralamaları (III. Bonitet) | 79 |
| Tablo 4.7. Olasılık yoğunluk fonksiyonlarının Ki-kare (X^2) ölçütüne göre sıralamaları (I. Bonitet)..... | 85 |
| Tablo 4.8. Olasılık yoğunluk fonksiyonlarının Ki-kare (X^2) ölçütüne göre sıralamaları (II. Bonitet) | 90 |
| Tablo 4.9. Olasılık yoğunluk fonksiyonlarının Ki-kare (X^2) ölçütüne göre sıralamaları (III. Bonitet) | 96 |
| Tablo 4.10. Olasılık yoğunluk fonksiyonlarının Kolmogorov-Smirnov (<i>KS</i>), Anderson-Darling (<i>AD</i>) ve Ki-kare (X^2) istatistiklerine göre sıralamalarına ilişkin frekans dağılımları | 102 |
| Tablo 4.11. Olasılık yoğunluk fonksiyonlarına ilişkin hata indeksi (<i>e</i>) değerleri (I. Bonitet) | 103 |
| Tablo 4.12. Olasılık yoğunluk fonksiyonlarına ilişkin hata indeksi (<i>e</i>) değerleri (II. Bonitet) | 108 |
| Tablo 4.13. Olasılık yoğunluk fonksiyonlarına ilişkin hata indeksi (<i>e</i>) değerleri (III. Bonitet)..... | 114 |
| Tablo 4.14. Olasılık yoğunluk fonksiyonlarının hata indeksine göre rölatif sıralamaları (I. Bonitet)..... | 120 |
| Tablo 4.15. Olasılık yoğunluk fonksiyonlarının hata indeksine göre rölatif sıralamaları (II. Bonitet) | 125 |
| Tablo 4.16. Olasılık yoğunluk fonksiyonlarının hata indeksine göre rölatif sıralamaları (III. Bonitet) | 131 |
| Tablo 4.17. Olasılık yoğunluk fonksiyonlarının başarı sırası ortalamaları..... | 137 |

| | |
|--|-----|
| Tablo 4.18. En başarılı bulunan olasılık yoğunluk fonksiyonlarının frekans dağılımlarının ağaç sayısı, orta çap ve sıklık derecesine göre Kruskal-Wallis Testi sonuçları | 139 |
| Tablo 4.19. En başarılı bulunan olasılık yoğunluk fonksiyonlarının frekans dağılımlarının bonitet sınıflarına göre Ki-kare (X^2) Testi sonuçları.. | 139 |
| Tablo 4.20. En başarılı bulunan olasılık yoğunluk fonksiyonlarının frekans dağılımlarının kapalılık sınıflarına göre Ki-kare (X^2) Testi sonuçları..... | 140 |
| Tablo 4.21. En başarılı bulunan olasılık yoğunluk fonksiyonlarının frekans dağılımlarının gelişim çağlarına göre Ki-kare (X^2) Testi sonuçları... | 140 |
| Tablo 4.22. En başarılı bulunan olasılık yoğunluk fonksiyonlarının frekans dağılımlarının meşcere tiplerine göre Ki-kare (X^2) Testi sonuçları..... | 141 |
| Tablo 4.23. En başarılı bulunan olasılık yoğunluk fonksiyonlarının frekans dağılımlarının meşcere tiplerine göre Ki-kare (X^2) Testi sonuçları (I. Bonitet)..... | 142 |
| Tablo 4.24. En başarılı bulunan olasılık yoğunluk fonksiyonlarının frekans dağılımlarının meşcere tiplerine göre Ki-kare (X^2) Testi sonuçları (II. Bonitet) | 143 |
| Tablo 4.25. En başarılı bulunan olasılık yoğunluk fonksiyonlarının frekans dağılımlarının meşcere tiplerine göre Ki-kare (X^2) Testi sonuçları (III. Bonitet) | 144 |

1. GİRİŞ

Ormanlar, geçmişten günümüze kadar insanların yaşamında vazgeçilmez bir unsur olmuş ve insanların barınma, beslenme, ısınma vb. zorunlu ihtiyaçlarının karşılanmasında kullanılmışlardır. Söz konusu ihtiyaçlar ve bu ihtiyaçlar sonucu ortaya çıkan talepler nüfus artışı ve teknolojik gelişmelere paralel olarak çeşitlenmiş ve talep miktarında da önemli artışlar olmuştur. Orman kaynaklarının aktüel durumları ile insanların ormanlardan talepleri arasındaki denge dikkate alındığında, ormanlardan optimal ve sürdürülebilir bir faydalanmanın sağlanabilmesi için ormanların gelişigüzel değil planlı bir şekilde kullanılması gerektiği açıktır. Ormanların sürdürülebilirlik ilkesi çerçevesinde işletilebilmesi için kullanılacak temel araç orman amenajman planlarıdır (Eraslan ve Şad, 1993; Eler, 2001; Eraslan ve Eler, 2003; Kapucu, 2004; Asan, 2013).

Büyüme ve artım verileri, orman amenajman planlarının düzenlenmesinde ihtiyaç duyulan en temel bilgilerdir. Bu veriler ile orman kaynaklarının büyüme ve artım potansiyelleri ile ormanların sunduğu ürün ve hizmetlerin geleceğe ilişkin projeksiyonları ortaya konulabilmektedir (Vanclay, 1994). Ormanların planlanması ve planların uygulamaya aktarılmasında ihtiyaç duyulan bu temel bilgiler büyüme ve artım modelleri yardımıyla elde edilebilirler (Gadow ve Hui, 1999). Büyüme ve artım modelleri, temel alınan model ünitesinin büyüklüğüne bağlı olarak (i) Meşcere Modelleri, (ii) Çap Sınıfı Modelleri ve (iii) Tek Ağaç Modelleri olmak üzere üç gruba ayrılmaktadır (Burkhart, 1979; Gadow ve Hui, 1999; Mısır, 2003). Büyüme ve artım modellerinin geliştirilmesi için ihtiyaç duyulan veriler, modellerin geliştirilmesinde kullanılacak yöntemler ve modellerin sunacağı bilgiler söz konusu modellerin bulunduğu sınıfa göre farklılık göstermektedir. İlk grupta yer alan meşcere modelleri, modelleme ünitesi olarak meşcereleri temel alan ve meşcerelerin yaş, verim gücü ve sıklık gibi çeşitli özelliklerinin bir fonksiyonu olarak ağaç sayısı, orta çap, orta boy, üstboy, meşcere göğüs yüzeyi ve meşcere hacmi gibi temel meşcere parametrelerinin aktüel ve gelecekteki durumları ile ilgili genel bilgiler veren modellerdir. Modelleme ünitesi olarak meşcereleri oluşturan ağaçları bireysel olarak ele alan tek ağaç modelleri ise söz konusu meşcere özelliklerinin ağaçların büyüme ve artım dinamikleri

üzerindeki etkilerini inceleyerek çap, boy, göğüs yüzeyi ve hacim gibi tek ağaç özelliklerinin büyüme ve artım değerlerini sunan modellerdir. Meşcere modelleri ile tek ağaç modellerinin arasında yer alan çap sınıfı modellerinde modelleme ünitesi olarak belirli çap aralıkları (1, 2 veya 4 cm gibi) esas alınarak oluşturulan çap basamakları temel alınmakta ve meşcereyi oluşturan ağaçların oluşturulan çap basamaklarına dağılımları modellenmektedir (Vanclay, 1994; Gadow ve Hui, 1999; Poudel ve Cao, 2013).

Çap ya da daha teknik ifadeyle göğüs yüksekliği çapı gerek tek ağaçlara ve gerekse meşcerelere ilişkin büyüme ve artım değerlerinin ortaya konulabilmesi için geliştirilecek tüm modellerde kullanılacak değişkenler arasında en kolay ölçülebilenidir. Bunun yanında, çap değişkeninin diğer hacim elemanları (boy, göğüs yüzeyi ve hacim gibi) ile göstermiş olduğu yüksek korelasyon da bu değişkeninin söz konusu modelleme çalışmalarındaki vazgeçilmezliğinin bir diğer önemli nedenidir. Bunlara ek olarak, işletmeye konu ormanlardan elde edilebilecek odun kökenli ürün çeşitlerinin nitelik ve niceliklerinin belirlenebilmesinde de çap değerlerinden yararlanılmaktadır. Bu nedenlerle çeşitli amaçlarla yapılan orman envanteri çalışmalarının tamamında ağaç çapları en önemli veri niteliğindedir (Schreuder ve Swank, 1964; Gadow ve Hui, 1999; Yavuz vd., 2002; Carus ve Çatal, 2008).

Günümüzde ormanlar, orman amenajman planlarının düzenlenmesi sırasında toplumun ve piyasanın orman ürün ve hizmetlerine olan talepleri göz önünde bulundurularak çok amaçlı planlama yaklaşımına göre planlanmaktadır. Ormancılığın gerek planlama aşamasındaki karar verme süreçlerinde ve gerekse işletmecilik aşamasındaki bakım, üretim vb. birçok uygulamada meşcereleri oluşturan ağaçların çap basamaklarına dağılımı ile ilgili bilgiler büyük öneme sahiptir. Bu bilgiler, bir taraftan işletmeye konu meşcerenin farklı silvikültürel müdahaleler sonucunda ortaya çıkacak olası meşcere yapılarını ortaya koyarken, diğer taraftan işletme amaçlarına bağlı olarak odun üretimi fonksiyonu ile işletilen ormanlarda ilgili meşcereden elde edilebilecek endüstriyel odunların çeşit, miktar ve finansal getirileri hakkında ya da ekolojik fonksiyonla işletilen ormanlarda yine ilgili meşcerenin söz konusu ekolojik fonksiyonu karşılama potansiyeli hakkında öngörü sağlamaktadır (Hyink ve Moser, 1983; Rennols vd., 1985; Maltamo, 1997; Laar ve Akça, 2007;

Gorgoso vd., 2012). Bunların yanında, son yıllarda etkisini daha da net olarak gösteren küresel iklim değişikliği ile mücadelenin temel araçlarından biri olan ormanlarda depolanan karbon stoğunun ve söz konusu karbon depolama fonksiyonunu üstlenen orman biyokütlesinin miktarının ortaya konulmasında meşcerelerdeki çap dağılımı verilerine ihtiyaç duyulmaktadır (Chen, 2004; Coomes ve Allen, 2007; Özçelik vd., 2016).

Çap sınıfı modelleri, orman ekosistemlerinin temel unsuru olan ağaçları büyüme ve artım modellerinin temel bileşeni olan çap değerlerine göre gruplandırarak her bir grup içerisinde yer alan ağaç sayılarının toplam ağaç sayısı içerisindeki dağılımının modellendiği büyüme modeli yapısıdır. Bu model yapısında ağaçlar veri yapısı ve çalışma amacına bağlı olarak 1, 2 veya 4 cm gibi eşit genişlikteki çap sınıflarına (çap basamaklarına) dağıtılarak her bir çap basamağında yer alan ağaç sayısı belirlenmekte ve çap basamaklarında yer alan ağaç sayıları sonucu elde edilen bu frekans dağılımı modellenmeye çalışılmaktadır (Vanclay, 1994; Gadov ve Hui, 1999). Bu modeller, meşcereyi oluşturan ağaçların çap basamaklarına dağılımının çeşitli dağılım fonksiyonları yardımıyla tahmin edilmesi suretiyle meşcere yapısını belirlemek amacıyla kullanılırlar (Loetsch vd., 1973; Gorgoso vd., 2007). Geliştirilen çap sınıfı modelleri ile her bir çap basamağı için birim alandaki ağaç sayısı, göğüs yüzeyi, hacim, biyokütle, karbon stoğu vb. bilgiler elde edilebilmektedir (Kangas ve Maltamo, 2000; Poudel ve Cao, 2013).

Çap dağılımlarının modellenmesinde kullanılan yöntemler, “parametrik” ve “parametrik olmayan” yöntemler olmak üzere iki ana grupta toplanmaktadır. İlk grupta çap dağılımını belirli matematiksel fonksiyon formları (olasılık yoğunluk fonksiyonları) ile tanımlayan modeller yer alırken, ikinci grupta çap basamaklarındaki ağaç yüzdelerinin tahmin edilmesi yöntemi ve en yakın k adet komşu ağaç sayısına dayanan yöntem gibi önceden belirlenmiş herhangi bir matematiksel fonksiyondan yararlanılmayan modeller yer almaktadır. Sözü edilen çap dağılımı model formları arasında literatürde en çok tercih edileni olasılık yoğunluk fonksiyonlarını temel alan çap dağılımı modelleri olmakla birlikte, en yakın k sayıda komşu ağaç sayısına dayalı modeller de önemli bir yere sahiptir (Duan vd., 2013).

Çap dağılımlarının modellenmesi ile ilgili çalışmaların tarihsel gelişim süreci incelenecek olursa; Loetsch vd. (1973), bu konudaki çalışmaların 1900'lü yıllardan daha önce başladığını ifade etmiş ve Leak (1965) ve Packard (2000) de çap dağılımlarına ilişkin ilk araştırmaların Gram'ın (1883) kayın meşcerelerinin çap dağılımlarını normal dağılım ile ve De Liocourt'un (1898) değişikyaşlı göknar meşcerelerinin çap dağılımlarını üstel dağılım ile modellediği çalışmalar olduğunu belirtmişlerdir. Çap dağılımları, 1930'lu yıllarda matematiksel seriler yardımıyla modellenmeye çalışılırken 1960'lı yıllardan itibaren olasılık yoğunluk fonksiyonların kullanımı öne çıkmıştır (Packard, 2000). Olasılık yoğunluk fonksiyonları, ormancılık bilimi ölçeğinde değerlendirildiğinde, toplam ağaç sayısının çap basamaklarına oransal olarak dağılımını modelleyen teorik dağılım fonksiyonlarıdır (Burkhardt ve Tomé, 2012). Ormancılıkta en çok tercih edilen olasılık yoğunluk fonksiyonları; Beta, Gamma, Johnson SB, Normal, Lognormal ve Weibull fonksiyonlarıdır (Bailey ve Dell, 1973; Rennols vd., 1985; Maltamo, 1997; Liu vd., 2002). Olasılık yoğunluk fonksiyonlarının ormancılık araştırmalarında kullanımına örnek olarak; Beta dağılımı için Clutter ve Bennet (1965), Maltamo vd. (1995), Cao (1997) ve Gorgoso-Varela vd. (2008), Gamma dağılımı için Nelson (1964), Bailey (1980), Lawless (1982) ve Carus (1996), Johnson SB dağılımı için Hafley ve Schreuder (1977), Parresol (2003), Scolforo vd. (2003), Fonseca vd. (2009) ve Mayrinck vd. (2018), Normal dağılım için Clutter ve Bennet (1965) ve Bailey (1980), Lognormal dağılım için Bliss ve Reinker (1964), Lappi ve Bailey (1987), Lima vd. (2017) ve Ezenwenyi vd. (2018) ve Weibull dağılımı için Bailey ve Dell (1973), Borders vd. (1987), Maltamo vd. (1995), Palahí vd. (2006a), Gorgoso vd. (2012), Diamantopoulou vd. (2015), Miranda vd. (2018) ve Pogoda vd. (2019) verilebilir. Bu fonksiyonlar yardımıyla, belirli bir çap basamağındaki ağaç sayısının toplam ağaç sayısına oranı tahmin edilmektedir. Söz konusu fonksiyonlar oransal tahminlerde bulunmak üzere geliştirilmiş olduklarından elde edilen sonuçlar da 0 (%0) ile 1 (%100) arasında değişmektedir (Bailey ve Dell, 1973).

Olasılık yoğunluk fonksiyonlarının parametrelerinin belirlenmesinde kullanılan yöntemler; (i) Parametre Tahmin (Parameter Prediction) Yöntemi ve (ii) Parametre Çözümleme (Parameter Recovery) Yöntemi olmak üzere iki gruba ayrılmaktadır (Hyink ve Moser, 1983; Gadow ve Hui, 1999; Siipilehto vd., 2007). Fonksiyon

parametreleri, her iki yöntemde de ortalap, üstboy, yaş, sıklık gibi meşcere özellikleri kullanılarak tahmin edilirken, iki yöntem arasındaki fark parametrelerin tahmininde söz konusu meşcere özellikleri ile fonksiyon parametrelerinin farklı yöntemlerle ilişkilendirilmesinden kaynaklanmaktadır. İlk yöntemde, fonksiyon parametreleri ile çeşitli meşcere özellikleri arasındaki ilişkiler ampirik fonksiyonlar yardımıyla ortaya konulmakta ve parametreler ilgili meşcere özelliklerinin doğrudan kullanıldığı bu fonksiyonlar ile tahmin edilmektedir. İkinci yöntemde ise öncelikle çap dağılımlarına ilişkin yüzdeler ya da momentler ile meşcere özellikleri arasındaki ilişkiler belirlenmekte ve fonksiyon parametreleri de bu ilişkilere bağlı olarak çözümlenmektedir (Bailey vd., 1981; Burk ve Newberry, 1984; Brooks vd., 1992; Kangas ve Maltamo, 2000; Gorgoso vd., 2007; Burkhart ve Tomé, 2012).

Poudel ve Cao (2013), çap dağılım modellerinin başarısının seçilen dağılım fonksiyonunun parametrelerinin başarılı şekilde tahmin edilmesine bağlı olduğunu belirtmektedir. Parametre tahminleri ile ilgili olarak yukarıda açıklanan Parametre Tahmin Yöntemleri grubunda Maksimum Olabilirlik Yöntemi, Doğrusal Regresyon Yöntemi ve Doğrusal Olmayan Regresyon Yöntemi gibi yöntemler bulunurken, Parametre Çözümleme Yöntemleri grubunda ise Momentler Yöntemi ve Yüzdeler Yöntemi yer almaktadır (Binoti vd., 2012; Burkhart ve Tomé, 2012; Poudel ve Cao, 2013). Zarnoch ve Dell (1985), Weibull dağılımının parametrelerinin tahmin edilmesinde Maksimum Olabilirlik Yöntemi'nin Yüzdeler Yöntemi'ne göre daha başarılı olduğunu belirlemişlerdir. Yine Weibull dağılımının parametreleri için Maksimum Olabilirlik, Momentler ve Yüzdeler yöntemlerini karşılaştıran iki çalışmadan Shiver (1988) Maksimum Olabilirlik Yöntemi'ni başarılı bulurken, Liu vd. (2004) ise Yüzdeler Yöntemi'nin en düşük hatalara sahip olduğu sonucunu elde etmişlerdir. Chen (2004) tarafından yapılan bir diğer araştırmada, Weibull, Johnson SB ve Lognormal dağılımlarının parametrelerinin belirlenmesinde her üç dağılım için de Parametre Çözümleme Yöntemleri daha başarılı bulunmuştur. Liu vd. (2009) de karşılaştırdıkları 6 farklı yöntem arasında Yüzdeler Yöntemi'ni en başarılı bulmuşlardır. Duan vd. (2013) ise konuya farklı bir bakış açısı ile yaklaşarak, dağılım modelleri için geliştirilmiş olan ve çap dağılımlarının modellenmesinde de sıklıkla kullanılan birçok yazılımda Doğrusal Olmayan Regresyon Yöntemi'nin tercih edilmesi nedeniyle bu yöntemin de başarılı sonuçlar verdiğini ifade etmiştir. Verilen

örneklerden de anlaşılacağı üzere sözü edilen yöntemlerden hiçbirinin kesin olarak diğerlerinden daha başarılı olduğunu söylemek mümkün değildir. Miranda vd. (2018), yöntemlerin başarılarının beklenen doğruluk düzeyine ve seçilen dağılım fonksiyonunun formuna bağlı olarak değişebileceğini belirtmiştir.

Çap dağılımlarının modellenmesi ile ilgili bir diğer önemli konu da modellenecek dağılım fonksiyonuna karar verilmesidir. Ağaçların çap basamaklarına dağılımını etkileyen en önemli faktörler ağaç türü, yetiştirme ortamı verim gücü (bonitet sınıfı), meşcere yaşı, meşcere yapısı ve meşcere sıklığıdır (Kalıpsız, 1998). Liu vd. (2014), tüm dağılım fonksiyonlarının güçlü ve zayıf yönlerinin bulunduğunu ve araştırmaya konu olan meşcere için kullanılabilirliğinin meşcere yaşı, meşcere yapısı (eşityaşlı ya da deşikyaşlı), tür kompozisyonu (saf veya karışık) vb. meşcere özelliklerine bağlı olduğunu ifade etmiştir. Wang ve Rennolls (2005) ise çap dağılımlarının modellenmesinde kullanılan fonksiyonların meşcere özelliklerine bağlı olarak kimi durumlarda oldukça başarılı sonuçlar verirken kimi durumlarda ise başarısız olabileceğini ve bu nedenle de hiçbir dağılım fonksiyonunun her durumda en başarılı fonksiyon olarak nitelendirilemeyeceğini belirtmiştir. Hafley ve Schreuder (1977) dağılım fonksiyonlarının seçiminde; parametre tahmininin kolay yapılabilmesi, dağılım şeklinin başarılı bir şekilde ortaya konulabilmesi, farklı çap basamaklarındaki oranların tahmininde kullanılan çözümleme yöntemlerinin basit olması ve dağılımlara ilişkin tahmin başarılarının yüksek olması gibi kriterlerin dikkate alınması gerektiğini önermişlerdir.

Yukarıdaki açıklamalardan da anlaşılacağı üzere çap dağılımlarının modellenmesi ile ilgili araştırmalarda genellikle iki temel araştırma konusu üzerinde durulmaktadır. Bunlardan ilki araştırma alanı için en uygun dağılım fonksiyonunun belirlenmesi, diğeri ise önceden kararlaştırılan bir dağılım fonksiyonunun parametrelerinin belirlenmesinde en uygun yöntemin seçilmesidir.

Bu çalışmada, Kastamonu yöresinin önemli orman ağacı türlerinden olan sarıçam (*Pinus sylvestris* L.) için ağaç sayısı, orta çap, sıklık, bonitet sınıfı, gelişim çağı, kapalılık ve meşcere tipi gibi farklı meşcere özelliklerine bağlı olarak çap dağılımlarının modellenmesinde en uygun dağılım fonksiyonunun çeşitli istatistiksel

ölçütler yardımıyla belirlenmesi amaçlanmıştır. Bu amaçla, ormancılık literatüründe sıklıkla tercih edilen Beta, Gamma, Johnson SB, Normal, Lognormal ve Weibull dağılımları meşcere özellikleri dikkate alınarak karşılaştırılmıştır.



2. LİTERATÜR ÖZETİ

Uluslararası ve ulusal literatürde çap dağılımlarının modellenmesi ile ilgili olarak çeşitli ağaç türleri ve bu ağaç türlerinin farklı yayılış alanları için çok sayıda araştırma yapılmıştır. Konu ile ilgili literatür bilgileri uluslararası ve ulusal çalışmalar olarak ayrı ayrı aşağıda açıklanmaya çalışılmıştır.

Clutter ve Bennett (1965), çap dağılımı konusunda yapılan ilk çalışmalardan biri olan araştırmalarında farklı sıklık derecelerine sahip *Pinus elliottii* ağaçlandırmalarında çap dağılımlarını Beta dağılımı ile modellemiş ve başarılı sonuçlar elde etmişlerdir.

Bailey ve Dell (1973), çap dağılımlarını modellenmesinde Weibull dağılımının kullanım olanaklarını geçmişte yapılan bazı çalışmalardan elde ettikleri örnek verileri kullanarak araştırmışlar ve elde ettikleri sonuçlar doğrultusunda bu dağılımın ormancılıkta kullanımını önermişlerdir.

Hafley ve Schreuder (1977), *Pinus taeda*, *Pinus palustris* ve *Pinus echinata* meşcerelerindeki çap dağılımlarını modellemek üzere Beta, Gamma, Johnson SB, Normal, Lognormal ve Weibull dağılımlarını karşılaştırmışlar ve Johnson SB dağılımının diğer dağılım fonksiyonlarına göre daha başarılı olduğunu belirlemişlerdir.

Little (1983), Amerika Birleşik Devletleri'nin Cascade Crest bölgesindeki *Pseudotsuga menziesii-Tsuga heterophylla* karışık meşcerelerinde çap dağılımlarının modellenmesi için Weibull dağılımını tercih etmiş ve parametre tahminlerinde de maksimum olabilirlik yöntemini kullanmıştır.

Rennols vd. (1985), İngiltere'deki *Picea sitchensis* ve diğer iğneyapraklı ağaç türlerinin oluşturduğu meşcerelerde çap dağılımlarını Weibull dağılımı ile modelleyerek başarılı sonuçlar elde etmişlerdir.

Magnussen (1986), Danimarka'da yayılış gösteren *Picea abies* meşcerelerinin çap dağılımlarının modellenmesi için Weibull dağılımından yararlanmış ve başarılı sonuçlar elde etmiştir.

Maltamo vd. (1995), Finlandiya'daki *Pinus sylvestris* ve *Picea abies* meşcereleri için Beta ve Weibull dağılımlarını ve bu dağılımların parametre tahminlerinde kullanılan yöntemleri karşılaştırmışlardır. Çalışma sonuçlarına göre, çap dağılımlarını modelleme başarıları bakımından her iki dağılım da birbirlerine benzer sonuçlar göstermiştir. Weibull fonksiyonunun parametreleri maksimum olabilirlik yöntemi ile ve Beta fonksiyonunun parametreleri ise regresyon yöntemi ile tahmin edilmiş ve her iki yöntem için de başarılı sonuçlar elde edilmiştir.

Lindsay vd. (1996), Yeni Zelanda'daki *Pinus radiata* meşcerelerinin çap dağılımlarının modellenmesinde Weibull ve Burr dağılımlarının başarılarını incelemişler ve değerlendirme sonucunda Burr dağılımının daha başarılı olduğu sonucuna ulaşmışlardır.

Maltamo (1997), Finlandiya'daki *Pinus sylvestris*-*Picea abies* karışık meşcerelerinin çap dağılımlarını ortaya konulmasında Weibull dağılımını tercih ederek dağılımın parametrelerinin belirlenmesinde her iki türe ilişkin verilerin birlikte kullanılması ile ayrı ayrı kullanılması arasında başarı bakımından bir fark olup olmadığını incelemiş ve türlere ilişkin verilerin ayrı ayrı kullanılmasının parametre tahmin başarısını artırdığını ortaya koymuştur.

Kamziah vd. (2000), Malezya'nın Selangor ve Pahang eyaletlerinde yayılış gösteren farklı ağaç türlerinden (*Shorea macroptera*, *Shorea leprosula*, *Swietenia macrophylla*, *Hopea sangal*, *Mesua ferrea*, *Madhuca utilis*, *Scorodocarpus borneensis*, *Shorea bracteolata*, *Shorea resinosa*, *Anisoptera scaphula*, *Shorea curtisii*, *Koompassia malaccensis* ve *Dyera costulata*) oluşan değişikyaşlı meşcereler ile eşityaşlı *Acacie mangium* meşcerelerinin çap dağılımlarının tahmin edilmesinde kullanılmak üzere 5 farklı dağılım fonksiyonunu (Gamma, Johnson SB, Normal, Lognormal ve Weibull) karşılaştırmışlardır. Çalışma sonuçları, Johnson SB dağılımının gerek değişikyaşlı ve gerekse eşityaşlı meşcerelerde en başarılı sonuçlara sahip olduğunu göstermiştir.

Liu vd. (2002), Amerika Birleşik Devletleri'nin kuzaydoğusunda bulunan *Abies balsamea-Picea rubens* ve *Abies balsamea-Picea glauca* karışık meşcerelerinde Weibull dağılımı ile bu dağılımdan yararlanılarak elde edilen Sınırlı Karışım Modeli (Finite Mixture Model) dağılımını karşılaştırmışlar ve her iki meşcere yapısında da geliştirilen yeni dağılım modeli için başarılı sonuçlar elde etmişlerdir.

Mabvurira vd. (2002), Zimbabwe'de bulunan *Eucalyptus grandis* ağaçlandırmaları için çap dağılımlarını modellemek üzere tercih ettikleri Weibull dağılımının parametrelerinin tahmin edilmesinde bağımsız değişken olarak üstboy, meşcere yaşı, bonitet endeksi ve ağaç sayısı değişkenlerini içeren regresyon modellerinden yararlanmışlar ve bu değişkenlere meşcere göğüs yüzeyinin dahil edilip edilmemesinin parametre tahminlerindeki başarı üzerine etkisi olup olmadığını incelemişlerdir. Elde edilen sonuçlar, regresyon modellerine meşcere göğüs yüzeyinin dahil edilmesiyle parametre tahminlerindeki başarı düzeyinin arttığını göstermiştir.

Nanos ve Montero (2002), İspanya'nın Segovia bölgesindeki eşityaşlı *Pinus pinaster* meşcerelerinin çap dağılımlarının modellenmesinde Weibull ve Chaudhry-Ahmad olasılık yoğunluk fonksiyonlarını kullanmışlar, fonksiyonlara ilişkin parametreleri ise maksimum olabilirlik ve jeostatistiksel yaklaşım olmak üzere iki farklı yöntemle çözümlenmişlerdir. Araştırma sonuçlarına göre, Weibull dağılımının parametrelerinin tahmininde jeostatistiksel yaklaşım ve Chaudhry-Ahmad fonksiyonunun parametrelerinin tahmininde ise maksimum olabilirlik yöntemi daha başarılı bulunmuştur.

Cao (2004), ABD'nin Los Angeles eyaletinde bulunan *Pinus taeda* ağaçlandırmalarında, 5 farklı aralama müdahalesi uygulanan örnek alanlarda 5, 6, 8, 9, 11, 13, 20 ve 21 yaşlarında ölçülen çap değerlerini kullanarak Weibull fonksiyonu yardımıyla çap dağılımlarının modellenmesini amaçlamıştır. Weibull fonksiyonunun parametrelerinin tahmininde; (i) Meşcere özellikleri yardımıyla parametre tahmini, (ii) Momentler, (iii) Yüzdeler, (iv) Hibrit (Momentler ve Yüzdeler), (v) Maksimum Olabilirlik ve (vi) Kümülatif Dağılım Fonksiyonu yöntemleri denenmiş ve Maksimum Olabilirlik ve Kümülatif Dağılım Fonksiyonu yöntemleri daha başarılı bulunmuştur.

Chen (2004), Kanada'nın Manitoba eyaletindeki dört farklı orman yapısının (*Populous tremuloides*, *Pinus banksiana*, *Picea mariana* ve karışık meşcereler) biyokütle tahmin modellerinde kullanılmak üzere çap dağılımlarını Johnson SB, Lognormal ve Weibull dağılımları ile modellemeye çalışmışlar ve en başarılı dağılım tahminlerinin Johnson SB dağılımı ile elde edildiğini belirlemişlerdir.

Bullock ve Burkhart (2005), ABD'nin Virginia ve North Carolina eyaletlerinde bulunan ve 5-11 yaş aralığındaki genç *Pinus taeda* ağaçlandırmalarına ilişkin çap dağılımlarının modellenmesi amacıyla Weibull, Normal, Lognormal, Gamma ve Johnson SB dağılımlarını incelemişler ve Weibull dağılımının en uygun model olduğunu belirlemişlerdir. Seçilen modelin parametrelerinin tahmininde ise yüzdelere yöntemi kullanmışlar ve başarılı sonuçlar elde etmişlerdir.

Nord-Larsen ve Cao (2006), Danimarka'daki eşityaşlı *Fagus sylvatica* meşcerelerine ilişkin çap dağılımlarının modellenmesinde Weibull dağılımını ve model parametrelerinin tahmininde ise kümülatif yoğunluk fonksiyonlarını kullanmışlardır.

Palahí vd. (2006a), Katalonya bölgesinde yayılış gösteren 8 ağaç türü (*Pinus sylvestris*, *Pinus uncinata*, *Pinus pinea*, *Pinus halepensis*, *Pinus nigra*, *Abies alba*, *Quercus ilex* ve *Quercus suber*) için Weibull dağılımının parametrelerinin tahmin edilmesinde ağaç sayısı, meşcere göğüs yüzeyi, aritmetik ortaçap, göğüs yüzeyi ortaçağı, medyan çap ve göğüs yüzeyi medyan çapı gibi veriler yardımıyla uygulanacak kalibrasyon işleminin dağılım fonksiyonunun tahmini başarısı üzerine etkisini incelemişler ve kalibre edilmiş fonksiyonun başarısını daha yüksek bulmuşlardır.

Palahí vd. (2006b), İspanya'nın Katalonya bölgesindeki *Pinus sylvestris*, *Pinus nigra* ve *Pinus halepensis* meşcereleri için çap dağılımlarını modellemek üzere seçtikleri Weibull fonksiyonunun parametrelerini belirlemek üzere regresyon yöntemi ile optimizasyon yöntemini karşılaştırmışlar ve optimizasyon yönteminin daha başarılı olduğu sonucunu elde etmişlerdir.

Palahí vd. (2007), Beta, Johnson's SB, Weibull ve değiştirilmiş Weibull dağılımları yardımıyla İspanya'nın Katalonya bölgesi ormanlarındaki çap dağılımlarını

modellemeye çalıştıkları arařtırmalarında en başarılı sonuçların deęiřtirilmiř Weibull daęılımını ile elde edildięini belirtmiřlerdir.

Gorgoso vd. (2007), İřpanya'daki *Betula alba* meřcerelerindeki ap daęılımlarını modellemek amacıyla Weibull daęılımını tercih etmiřler ve bu daęılımın parametrelerinin belirlenmesinde drt yntemi (Maksimum olabilirlik, Momentler, Yzdeler ve Doęrusal olmayan regresyon) karřılařtırmıřlardır. Parametre tahminlerinde en başarılı sonuçlar doęrusal olmayan regresyon yntemi ile elde edilmiřtir.

Siipilehto vd. (2007), Finlandiya'daki *Pinus sylvestris* meřcerelerinde ap daęılımlarını modellemek zere Johnson SB daęılımından yararlanmıřlar ve bu daęılımın parametrelerinin tahmininde kullanılan 4 farklı yntemi (Doęrusal regresyon, ok deęiřkenli doęrusal regresyon, Karıřık etkili model ve ok deęiřkenli karıřık etkili model) karřılařtırmıřlardır. Elde edilen sonuçlara gre, ok deęiřkenli yntemler daha başarılı bulunmuřtur.

Gorgoso-Varela vd. (2008), İřpanya'daki *Betula alba* ve *Quercus robur* meřcereleri iin Beta fonksiyonu ile ap daęılımlarını modellemek amacıyla yapmıř oldukları alıřmalarında parametre tahminlerinde momentler yntemini kullanmıřlar ve başarılı sonuçlar elde etmiřlerdir.

Lei (2008), Pekin'de yayılıř gsteren *Pinus tabulaeformis* meřcerelerinin ap daęılımlarını modellemek zere setięi Weibull daęılımının parametrelerinin tahmin edilmesindeki başarıları bakımından maksimum olabilirlik, momentler ve regresyon yntemlerini karřılařtırmıř ve momentler ynteminin dięer yntemlere gre daha başarılı olduęunu belirlemiřtir.

Fonseca vd. (2009), Portekiz'deki *Pinus pinaster* meřcereleri iin Johnson's SB daęılımını yardımıyla ap daęılımlarını modellemeye alıřmıřlar, parametre tahminlerinde ise momentler yntemini tercih etmiřler ve başarılı sonuçlar elde etmiřlerdir.

Jiang ve Brooks (2009), Amerika Birleşik Devletleri'nin Georgia eyaletindeki *Pinus palustris* ağaçlandırmalarının çap dağılımlarını modellemek üzere seçtikleri Weibull dağılımının parametrelerinin tahmin edilmesinde yüzdeler ve kümülatif olasılık fonksiyonu yöntemlerini karşılaştırmışlar ve parametre tahminleri için yüzdeler yöntemini daha uygun bulmuşlardır.

Chiu vd. (2010), Tayvan'da yayılış gösteren *Taiwania cryptomerioides* ağaçlandırmalarında çap dağılımlarının aralama şiddeti ve yaşa bağlı değişimini incelemek amacıyla yaptıkları araştırmada çap dağılımlarının modellenmesinde Normal, Weibull, 2 parametrelili Logit-lojistik ve 4 parametrelili Logit-lojistik dağılımlarından yararlanmışlar ve 4 parametrelili Logit-lojistik dağılım en başarılı dağılım fonksiyonu olarak belirlenmiştir.

Stankova ve Dieguez-Aranda (2010), Bulgaristan'da bulunan *Pinus sylvestris* ağaçlandırmalarının çap dağılımlarının Weibull dağılımı ile modellenmesinde üçü parametre çözümlene yöntemi ve üçü de parametre tahmin yöntemi olmak üzere 6 yöntemi karşılaştırmışlar ve parametre çözümlene yöntemlerini daha başarılı bulmuşlardır.

Stankova ve Zlatanov (2010), Bulgaristan'daki *Pinus nigra* meşcerelerinin çap dağılımlarını modellemek için Borders vd. (1987) tarafından önerilen yüzde esaslı dağılım ve bu dağılımın değiştirilmiş bir formu ile Weibull dağılımı olmak üzere üç farklı dağılımı karşılaştırmışlar ve Weibull dağılımını diğer dağılımlara göre daha başarılı bulmuşlardır.

Khongor vd. (2011), Moğolistan'da yayılış gösteren *Larix sibirica* meşcerelerinin çap dağılımlarının modellenmesindeki başarıları bakımından Johnson SB, Weibull ve Burr dağılımlarını karşılaştırmışlar ve en iyi model performansının Johnson SB dağılımına ait olduğunu belirtmişlerdir.

Mateus ve Tomé (2011), Portekiz'deki *Eucalyptus globulus* ağaçlandırmaları için çap dağılımlarını modellemek üzere seçtikleri Johnson SB dağılımının parametrelerinin tahmin edilmesinde momentler yönteminin başarılı olduğu sonucuna ulaşmışlardır.

Xu vd. (2011), Çin'in Muling bölgesindeki ormanlarda çap dağılımlarının modellenmesi amacıyla yapmış oldukları çalışmada Beta, Normal, Johnson SB, Weibull ve Üstel dağılımları karşılaştırmışlar ve çeşitli orman formları için en başarılı dağılım tahminlerinin Üstel dağılım ile elde edildiğini belirtmişlerdir.

Binoti vd. (2012), Brezilya'nın Mato Grosso eyaletinde yayılış gösteren *Tectona grandis* meşcerelerindeki çap dağılımlarının silvikültürel bakım müdahaleleri öncesi ve sonrası durumlarının incelenmesi amacıyla yapmış oldukları çalışmada çeşitli olasılık yoğunluk fonksiyonlarını (Log-lojistik, Burr, Hiperbolik, Weibull, Fatigue Life, Nakagami, Gamma, Genelleştirilmiş Gamma, Lojistik, Genelleştirilmiş Lojistik, Frechet, Beta ve Dagum) değerlendirmişlerdir. Yapılan karşılaştırmalarda, bakım müdahaleleri sonrasındaki çap dağılımının modellenmesinde en uygun dağılımın Hiperbolik dağılım olduğunu ortaya koymuşlardır.

Gorgoso vd. (2012), İspanya'daki *Pinus pinaster*, *Pinus radiata* ve *Pinus sylvestris* meşcereleri için Weibull, Johnson SB ve Beta dağılımları yardımıyla çap dağılımlarını modellemeye çalışmışlar ve *Pinus pinaster* ve *Pinus radiata* meşcereleri için Johnson SB ve Beta dağılımlarının, *Pinus sylvestris* meşcereleri için ise Weibull ve Johnson SB dağılımlarının daha başarılı sonuçlar verdiğini belirtmişlerdir.

Duan vd. (2013), Çin'deki *Cunninghamia lanceolata* ağaçlandırmaları için çap dağılımlarını modellemek üzere Richards ve Weibull dağılımlarını karşılaştırmışlar ve Richards dağılımının daha başarılı olduğunu belirlemişlerdir.

Poudel ve Cao (2013), *Pinus taeda* meşcereleri için çap dağılımlarını modellemek üzere Weibull dağılımını seçmişler ve parametre tahminleri için temelde maksimum olabilirlik, momentler ve yüzdeler yöntemleri ile bunların çeşitli hibritlerine dayanan 10 farklı yöntemi karşılaştırmışlardır.

Aigbe ve Omokhua (2014), Nijerya'nın güneydoğusunda yer alan tropik yağmur ormanlarına ilişkin çap dağılımlarının modellenmesi amacıyla yapmış oldukları çalışmada, 6 olasılık yoğunluk fonksiyonunu (Beta, Johnson SB, Weibull, Burr, Lognormal ve Gamma) incelemişlerdir. Kolmogorov-Smirnov ve Ki-kare testlerini

kullanarak yaptıkları karşılaştırmalarda Weibull ve Johnson SB dağılımlarının en uygun dağılımlar olduğunu belirlemişlerdir.

Lima vd. (2014), Brezilya'nın farklı orman formlarındaki çap dağılımlarının modellenmesinde 10 farklı olasılık yoğunluk fonksiyonunu (Beta, Gamma, Johnson SB, Lognormal, Üstel, Weibull, Logit-lojistik, Birnbaum-Saunders, Weibull ve değiştirilmiş Weibull) karşılaştırmışlar ve dağılımlarının tahmin başarılarının orman formuna göre farklılık gösterdiğini belirlemişlerdir. Elde edilen sonuçlar doğrultusunda ise birçok orman formu için Weibull ve Logit-lojistik dağılımlarının başarılı sonuçlar verdiğini belirtmişlerdir.

Liu vd. (2014), Çin'de *Larix gmelinii*, *Betula platyphylla* ve *Pinus sylvestris* var. *mongolica* türlerinin oluşturduğu karışık meşcereler için çap dağılımlarını modellemek üzere Weibull dağılımı ile bu dağılımdan yararlanılarak elde edilen Sınırlı Karışım Modeli (Finite Mixture Model) dağılımını karşılaştırmışlar ve geliştirilen yeni dağılım modeli için daha başarılı sonuçlar elde ettiklerini belirtmişlerdir.

Sanquetta vd. (2014), Brezilya'daki *Acacia mearnsii* meşcerelerinin çap dağılımlarını modellemek üzere öncelikle Gamma, Normal, Lognormal ve Weibull dağılımlarını karşılaştırmışlar, daha sonra bu dağılımlar arasından en başarılı buldukları Weibull dağılımının parametrelerinin tahmin edilmesinde kullanılan regresyon denklemlerine meteorolojik verilerin ve toprağın bazı kimyasal özelliklerinin katkısını araştırmışlardır. Çalışma sonuçları, meteorolojik veriler arasından özellikle yağış miktarının parametre tahminlerinde olumlu katkılar sağladığını ortaya koymuştur.

Larsary vd. (2016), İran'ın değişikyaşlı karışık *Fagus orientalis* meşcerelerinin çap ve boy dağılımlarını Beta, Gamma, Johnson SB, Lognormal ve Weibull dağılımları ile modellemeye çalıştıkları araştırmalarında, modellerin çap dağılımı ile ilgili başarılarının meşcere yaşına göre değiştiğini belirlemişler ve genç meşcerelerde Lognormal, orta yaşlı meşcerelerde Weibull ve yaşlı meşcerelerde ise Johnson SB dağılımlarının daha başarılı olduğunu belirlemişlerdir. Boy dağılımlarında ise Johnson SB dağılımı oldukça başarılı bulunmuştur.

Sghaier vd. (2016), Tunus'ta yayılış gösteren *Tetraclinis articulata* meşcerelerinin çap dağılımlarının modellenmesi amacıyla Normal ve Weibull dağılımlarını ve Weibull dağılımının parametre tahminlerinde ise maksimum olabilirlik ve momentler yöntemlerini karşılaştırmışlardır. Çalışma sonuçlarına göre çap dağılımlarının modellenmesinde Weibull dağılımı ve bu dağılımın parametrelerinin tahmininde ise maksimum olabilirlik yöntemi daha başarılı bulunmuştur.

Lima vd. (2017), Brezilya'nın tropik ormanlarındaki çap dağılımlarını modellemek üzere Gamma, Lognormal, Weibull ve Burr dağılımlarını denemişler ve *Mimosa ophthalmocentra* ve *Bauhinia cheilantha* meşcereleri için Burr dağılımını, *Poincianella bracteosa*, *Aspidosperma pyrifolium* ve *Myracrodum urundeuva* meşcereleri için ise Lognormal dağılımını daha başarılı bulmuşlardır.

Ezenwenyi vd. (2018), Nijerya'nın güneybatısında yer alan tropik yağmur ormanlarında bulunan *Nauclea diderrichii* ağaçlandırmalarına ilişkin çap dağılımlarının modellenmesi amacıyla yapmış oldukları çalışmada, Weibull ve Lognormal dağılımlarını incelemişler ve Lognormal dağılımının daha uygun olduğunu belirlemişlerdir.

Mayrinck vd. (2018), Brezilya'daki *Khaya ivorensis* meşcerelerinde çap dağılımlarının modellenmesi amacıyla Beta, Gamma, Johnson SB ve Weibull dağılımlarını ve bu dağılımlara ilişkin parametrelerin tahmininde kullanılan bazı yöntemleri (Maksimum olabilirlik, Momentler, Yüzdeler, Mod, Regresyon ve Knoebel-Burkhart) karşılaştırmışlardır. Çalışma sonuçlarına göre, en başarılı dağılımın Johnson SB dağılımı olduğu ve bu dağılıma ilişkin parametrelerin tahmininde ise en başarılı yöntemin momentler yöntemi olduğu belirlenmiştir.

Miranda vd. (2018), Brezilya'nın *Eucalyptus grandis* x *Eucalyptus urophylla* hibriti ağaçlandırma alanlarında çap dağılımlarını modellemek üzere Weibull dağılımından yararlanmışlar ve parametre tahminleri için de aşamalı regresyon yönteminin daha başarılı olduğunu ifade etmişlerdir.

Pogoda vd. (2019), Polonya'da yayılış gösteren *Alnus glutinosa* meşcerelerinde çap dağılımlarını modellemek üzere Weibull dağılımı ile yüzdelerle dayalı parametrik

olmayan bir dağılım modelini karşılatırmıřlar ve parametrik olmayan modeli daha başarılı bulmuřlardır.

Schmidt vd. (2019), Brezilya'nın Minas Gerais eyaltinde *Eucalyptus* sp. klonları ile oluşturulmuř meřcerelerdeki ap dađılımlarını Weibull dađılımını ile modellemiřler ve bu dađılımın meřcere yařı, bonitet sınıfı ve meřcere sıklıđına göre davranıřlarını incelemiřlerdir.

ap dađılımları üzerine lkemizde yapılan alıřmalara iliřkin zet bilgiler de ařađıda aıklanmıřtır.

Carus (1996), eřityařlı *Fagus orientalis* meřcerelerin ap dađılımlarını modellemek zere Beta, Gamma, Normal ve Weibull dađılımlarını karřılařtırmıř ve Gamma dađılımının en başarılı fonksiyon olduđunu belirlemiřtir.

Atıcı (1998) ve Carus (1998), yapmıř oldukları alıřmalarda *Fagus orientalis* meřcerelerinin sırasıyla deđiřikyařlı ve eřityařlı kuruluřlarına iliřkin byme ve artım iliřkilerini incelemiřler ve alıřmalarında ilgili meřcerelere iliřkin ap dađılımlarını da modellemiřlerdir.

Yavuz vd. (2002) tarafından yapılan arařtırmada, dođal ve yapay diřbudak (*Fraxinus* sp.) meřcerelerinin ap dađılımlarının modellenmesinde Gamma, Normal, Lognormal ve Weibull dađılımları karřılařtırılmıř ve her iki meřcere yapısı iin de Weibull dađılımını en başarılı bulunmuřtur.

Carus ve atal (2008), Ađlasun yresi (Burdur) eřityařlı *Pinus brutia* meřcerelerinin ap dađılımlarının modellenmesinde Beta, Gamma, Normal, Lognormal ve Weibull dađılımlarını karřılařtırmıřlar ve Lognormal dađılımın en başarılı dađılım olduđunu belirlemiřlerdir.

Ercanlı ve Yavuz (2010), Trabzon ve Giresun yresi *Picea orientalis*-*Pinus sylvestris* karıřık meřcerelerinin ap dađılımlarının modellenmesinde Gamma, Beta, Lognormal, Normal, Johnson SB ve Weibull dađılımlarını karřılařtırmıřlar ve *Picea orientalis* iin

Johnson SB ve *Pinus sylvestris* için ise Weibull dağılımını en başarılı fonksiyonlar olarak belirlemişlerdir.

Sönmez vd. (2010), Artvin'deki *Picea orientalis* meşcerelerinin çap dağılımlarının modellenmesinde Beta, Gamma, Normal, Lognormal, Johnson SB ve Weibull dağılımlarını karşılaştırmışlar ve en başarılı dağılımın Johnson SB fonksiyonu olduğunu bildirmişlerdir.

Carus ve Çatal (2011), Akdeniz bölgesi *Pinus nigra* meşcerelerinin çap dağılımlarının modellenmesi amacıyla yaptıkları çalışmada en başarılı dağılımın Lognormal dağılım olduğunu belirlemişlerdir.

Kahrıman ve Yavuz (2011), Karadeniz Bölgesi *Pinus sylvestris-Fagus orientalis* karışık meşcerelerinin çap dağılımlarını belirlemek üzere Beta, Gamma, Normal, Lognormal, Johnson SB ve Weibull dağılımlarını karşılaştırmışlar ve her iki ağaç türü için de en başarılı dağılımın Johnson SB olduğu sonucunu elde etmişlerdir.

Sakıcı ve Gülsunar (2012), Ayancık Orman İşletme Müdürlüğü (Sinop) sınırları içerisinde bulunan *Abies nordmanniana* subsp. *bornmulleriana*-*Pinus sylvestris* karışık meşcerelerindeki *Abies nordmanniana* subsp. *bornmulleriana* ağaçlarının çap dağılımlarını modellemede Üstel ve Weibull dağılımlarının farklı formlarını karşılaştırmışlar ve her iki dağılım için de parametre sayısının daha fazla olduğu fonksiyon formlarının daha başarılı olduğunu belirlemişlerdir.

Ercanlı vd. (2013), Trabzon ve Giresun yöresi *Picea orientalis-Pinus sylvestris* karışık meşcerelerinin çap dağılımlarını modellemek üzere Weibull dağılımından yararlanılmış ve dağılımın parametrelerini belirlemek üzere yüzdeler ve momentler yöntemlerini karşılaştırarak %25, %50 ve %63'lük çap değerlerinin kullanan yöntemin daha başarılı olduğunu belirlemişlerdir.

Karakaş (2013), Kahramanmaraş yöresindeki *Pinus pinea* meşcerelerinin çap dağılımlarının modellenmesinde Weibull dağılımını tercih ederek parametre tahminleri için maksimum olabilirlik, yüzdeler ve hibrit yöntemlerini karşılaştırmıştır.

Çalışma sonuçlarına göre %25, %50 ve %95'lik çap değerlerinin kullanıldığı yöntem en başarılı parametre tahmin yöntemi olmuştur.

Bolat (2014), Kestel Orman İşletme Şefliği (Bursa) meşcereleri için çap dağılımlarını modellemek üzere Weibull fonksiyonundan yararlanmış ve parametre tahminleri için ise maksimum olabilirlik ve yüzdeler yöntemlerini karşılaştırmıştır. %31 ve %63'lük çap değerlerini kullanan yöntem en başarılı bulunmuştur.

Doğdaş (2014), Ağlasun yöresi (Burdur) *Pinus brutia* meşcerelerinin çap dağılımlarının modellenmesinde Beta, Gamma, Normal, Lognormal, Johnson SB ve Weibull dağılımlarını karşılaştırmışlar ve en başarılı dağılımın Johnson SB olduğunu belirlemişlerdir.

Diamantopoulou vd. (2015), Akdeniz Bölgesi'ndeki *Juniperus excelsa* meşcerelerinin çap dağılımının modellenmesi amacıyla Weibull dağılımının parametrelerinin tahmininde maksimum olabilirlik ve momentler yöntemlerini ve bu yöntemlerde parametre tahminleri için regresyon ve yapay sinir ağları yaklaşımlarını karşılaştırmışlardır. Çalışma sonuçlarına göre, parametre tahmininde Maksimum Olabilirlik Yöntemi ve bu yöntemin çözümünde ise Yapay Sinir Ağları yaklaşımı daha başarılı bulunmuştur.

Güneş (2015), Isparta yöresindeki eşityaşlı *Pinus brutia* meşcereleri için çap dağılımlarının farklı yaş ve bonitet sınıflarındaki değişimini belirlemek üzere Beta, Gamma, Normal, Lognormal ve Weibull dağılımlarını incelemiş ve Gamma dağılımını diğer dağılımlara göre daha başarılı bulmuştur.

Sönmez vd. (2015), Artvin yöresi *Picea orientalis* meşcerelerinin çap dağılımlarının bonitet ve yaşa göre değişimini inceledikleri çalışmada 60 farklı olasılık yoğunluk fonksiyonunu karşılaştırmışlardır. Yaş sınıfları bakımından III, IV, V ve IX. yaş sınıflarında Weibull, II, VI ve VIII. yaş sınıflarında Johnson SB ve VII. yaş sınıflarında Beta dağılımının ve bonitet sınıfları bakımından ise I. ve II. bonitet sınıflarında Beta, III. bonitet sınıfında Johnson SB ve IV. ve V. bonitet sınıflarında ise Weibull dağılımının daha başarılı olduğunu belirlemişlerdir.

Özçelik vd. (2016), Batı Akdeniz bölgesi *Pinus brutia* meşcerelerinin çap dağılımlarını Johnson SB dağılımı yardımıyla modellemişlerdir.

Özdemir (2016), Belgrad ormanı (İstanbul) *Pseudotsuga menziesii* meşcerelerinin çap dağılımlarını modellemek üzere yaptığı çalışmada Weibull dağılımından yararlanmıştır.

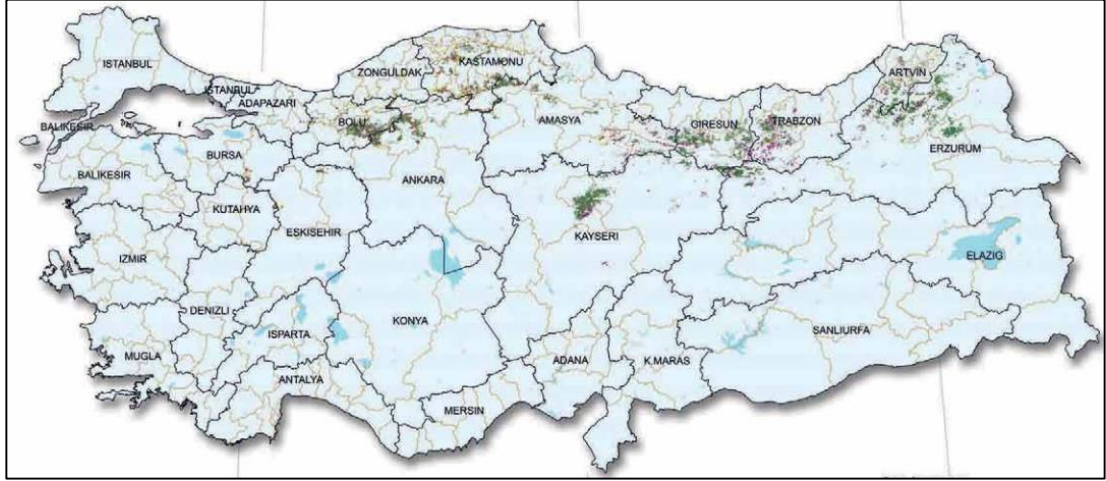
Sakıcı vd. (2016), Taşköprü Orman İşletme Müdürlüğü (Kastamonu) *Pinus nigra* meşcerelerindeki farklı yaş, bonitet ve sıklık sınıfları için çap dağılımlarının modellenmesi amacıyla Beta, Gamma, Johnson SB, Lognormal, Normal ve Weibull dağılımlarını karşılaştırmışlar ve meşcere yapılarının büyük çoğunluğu için Weibull dağılımını en başarılı bulmuşlardır.

Alkan (2019), Akdeniz Bölgesi *Abies cilicica* meşcerelerinde çap dağılımlarını modellemek için Johnson SB dağılımından yararlanmış ve başarılı sonuçlar elde etmiştir.

3. MATERYAL VE YÖNTEM

3.1. Materyal

Ülkemizde yaklaşık 0,9 milyon ha verimli (normal kapalı) ve yaklaşık 0,6 milyon ha verimsiz (boşluklu kapalı) olmak üzere toplam 1,5 milyon ha'ın üzerinde bir yayılış alanına sahip olan sarıçam (*Pinus sylvestris* L.), iğne yapraklı ağaçlar arasında kızılçam ve karaçamdan sonra en geniş yayılış alanına sahip ağaç türüdür ve 22,3 milyon ha olan ülkemiz toplam orman varlığının %6,8'lik kısmını oluşturmaktadır (OGM, 2015). Sarıçamın Türkiye'deki yayılışı Şekil 3.1.'de verilmiştir.



Şekil 3.1. Sarıçamın Türkiye'deki yayılışı (OGM, 2013)

Toplam yüzölçümü yaklaşık 1,3 milyon ha olan Kastamonu, ülkemizin orman varlığı bakımından en zengin illerinden biri olup, ilin toplam orman varlığı OGM (2015) verilerine göre 873 651 ha ve il sınırları içerisindeki orman işletme şefliklerine ait orman amenajman planlarından elde edilen verilere göre ise 878 598 ha'dır. Çalışmaya konu edilen Kastamonu ili saf sarıçam meşcerelerinin alansal büyüklüğü ise 45 897 ha verimli ve 15 613 ha verimsiz olmak üzere toplam 61 510 ha olup Kastamonu ormanlarının %7'sini oluşturmaktadır.

Çalışma alanı olarak seçilen Kastamonu ilinde bulunan Orman İşletme Müdürlüklerinin coğrafik konumları Şekil 3.2.'de ve Kastamonu ili toplam yüzölçümü

içerisinde orman alanlarının verimli ve verimsiz ormanlar olarak dağılımları ile çalışmaya konu saf sarıçam ormanlarının bu ormanlar içerisindeki yeri Orman İşletme Müdürlüğü (OİM) ve Orman İşletme Şefliği (OİŞ) ölçeğinde Tablo 3.1.'de verilmiştir.



Şekil 3.2. Çalışma alanı

Kastamonu Orman Bölge Müdürlüğü'nün Kastamonu ili sınırları içerisinde kalan 16 adet OİM bünyesinde bulunan toplam 89 adet OİŞ'ne ait halihazırda kullanılan orman amenajman planlarından elde edilen veriler yardımıyla hazırlanan Tablo 3.1. incelendiğinde, Kastamonu ili saf sarıçam meşcerelerinin yaklaşık %28'inin (16 927 ha) Küre OİM sınırları içerisinde ve yaklaşık %21'inin (12 633 ha) Taşköprü OİM sınırları içerisinde yer aldığı görülmektedir. Bir başka ifadeyle, Kastamonu ili ormanlarındaki saf sarıçam meşcerelerinin yaklaşık yarısı Küre ve Taşköprü OİM'lerinde bulunmaktadır. Buna karşın, Pınarbaşı OİM'de yok denecek kadar az (96 ha) saf sarıçam meşceresi bulunmakta, Azdavay, Bozkurt, Cide, Hanönü ve Samatlar OİM'lerindeki sarıçam meşcerelerinin toplam alanı (3 120 ha) ise Kastamonu ili saf sarıçam meşcerelerinin yalnızca %5'ine tekabül etmektedir.

Tablo 3.1. *Kastamonu ili saf sarıçam ormanlarının genel orman varlığı içerisindeki durumu*

| Orman İşletme Müdürlüğü | Orman İşletme Şefliği | Verimli Orman (ha) | Verimsiz Orman (ha) | Toplam Orman Alanı (ha) | Açıklık Alan (ha) | Genel Toplam (ha) | Sarıçam | | | |
|-------------------------|-----------------------|--------------------|---------------------|-------------------------|-------------------|-------------------|----------------|----------------|----------------|------------|
| | | | | | | | Verimli (ha) | Verimsiz (ha) | Toplam (ha) | % |
| Araç | Araç | 12 270,0 | 2 867,3 | 15 137,3 | 6 000,5 | 21 137,8 | 0,0 | 0,0 | 0,0 | 0,0 |
| | Boyalı | 7 342,0 | 2 932,3 | 10 274,3 | 4 883,2 | 15 157,5 | 253,0 | 92,9 | 345,9 | 3,4 |
| | Dereyayla | 8 445,7 | 2 384,6 | 10 830,3 | 3 689,7 | 14 520,0 | 1 009,8 | 170,5 | 1 180,3 | 10,9 |
| | Gölcük | 4 739,3 | 457,1 | 5 196,4 | 2 232,0 | 7 428,4 | 33,4 | 0,0 | 33,4 | 0,6 |
| | Karkalmaz | 6 555,6 | 519,3 | 7 074,9 | 1 524,2 | 8 599,1 | 47,4 | 0,0 | 47,4 | 0,7 |
| | Sıragözü | 6 272,2 | 496,0 | 6 768,2 | 2 223,7 | 8 991,9 | 300,5 | 50,1 | 350,6 | 5,2 |
| | Toplam | 45 624,8 | 9 656,6 | 55 281,4 | 20 553,3 | 75 834,7 | 1 644,1 | 313,5 | 1 957,6 | 3,5 |
| Azdavay | Azdavay | 7 001,2 | 2 222,5 | 9 223,7 | 7 001,2 | 2 222,5 | 68,8 | 21,9 | 90,7 | 1,0 |
| | Kirazdağı | 14 611,8 | 8 133,4 | 22 745,2 | 14 611,8 | 8 133,4 | 402,0 | 240,5 | 642,5 | 2,8 |
| | Kırkbudak | 7 901,0 | 2 961,2 | 10 862,2 | 4 348,8 | 15 211,0 | 2,8 | 10,3 | 13,1 | 0,1 |
| | Kırkpınar | 5 886,8 | 1 337,3 | 7 224,1 | 2 860,8 | 10 084,9 | 0,0 | 12,4 | 12,4 | 0,2 |
| | Çamlıbuk | 4 742,9 | 391,5 | 5 134,4 | 947,4 | 6 081,8 | 41,5 | 24,4 | 65,9 | 1,3 |
| | Göktaş | 5 844,3 | 1 211,6 | 7 055,9 | 2 760,6 | 9 816,5 | 7,4 | 5,3 | 12,7 | 0,2 |
| | Toplam | 45 988,0 | 16 257,5 | 62 245,5 | 32 530,6 | 51 550,1 | 522,5 | 314,8 | 837,3 | 1,3 |
| Bozkurt | Abana | 1 537,9 | 183,9 | 1 721,8 | 1 293,5 | 3 015,3 | 0,0 | 0,0 | 0,0 | 0,0 |
| | Bozkurt | 7 427,9 | 851,2 | 8 279,1 | 2 494,7 | 10 773,8 | 475,2 | 13,1 | 488,3 | 5,9 |
| | Şeyhşaban | 4 140,7 | 561,5 | 4 702,2 | 1 320,0 | 6 022,2 | 161,9 | 0,0 | 161,9 | 3,4 |
| | Tezcan | 4 116,6 | 455,4 | 4 572,0 | 1 700,8 | 6 272,8 | 0,0 | 0,0 | 0,0 | 0,0 |
| | Göynük | 4 901,0 | 743,9 | 5 644,9 | 1 735,9 | 7 380,8 | 0,0 | 0,0 | 0,0 | 0,0 |
| | Toplam | 22 124,1 | 2 795,9 | 24 920,0 | 8 544,9 | 33 464,9 | 637,1 | 13,1 | 650,2 | 2,6 |
| Cide | Aydos | 14 644,2 | 3 285,1 | 17 929,3 | 13 853,3 | 31 782,6 | 0,0 | 0,0 | 0,0 | 0,0 |
| | Cide | 4 474,3 | 1 357,8 | 5 832,1 | 3 605,0 | 9 437,1 | 4,4 | 0,0 | 4,4 | 0,1 |
| | Dağlı | 2 685,7 | 476,6 | 3 162,3 | 1 507,4 | 4 669,7 | 2,9 | 34,6 | 37,5 | 1,2 |
| | Güren | 10 978,3 | 3 126,1 | 14 104,4 | 7 056,4 | 21 160,8 | 183,1 | 94,3 | 277,4 | 2,0 |
| | Kızılcasu | 5 902,7 | 1 564,8 | 7 467,6 | 1 584,9 | 9 052,4 | 44,5 | 131,7 | 176,2 | 2,4 |
| | Şehdağ | 2 551,5 | 430,7 | 2 982,2 | 1 116,7 | 4 098,9 | 0,0 | 0,0 | 0,0 | 0,0 |
| | Toplam | 41 236,7 | 10 241,1 | 51 477,9 | 28 723,7 | 80 201,5 | 234,9 | 260,6 | 495,5 | 1,0 |
| Çatalzeytin | Çatalzeytin | 6 841,9 | 347,0 | 7 188,9 | 2 593,0 | 9 781,9 | 21,5 | 18,8 | 40,3 | 0,6 |
| | Karacakaya | 5 707,2 | 559,8 | 6 267,0 | 1 767,1 | 8 034,1 | 545,4 | 283,1 | 828,5 | 13,2 |
| | Akçay | 6 759,9 | 933,5 | 7 693,4 | 4 153,5 | 11 846,9 | 98,1 | 31,3 | 129,4 | 1,7 |
| | Toplam | 19 309,0 | 1 840,3 | 21 149,3 | 8 513,6 | 29 662,9 | 665,0 | 333,2 | 998,2 | 4,7 |
| Daday | Ballıdağ | 9 365,3 | 2 272,2 | 11 637,5 | 1 841,7 | 13 479,2 | 1 282,0 | 1 005,3 | 2 287,3 | 19,7 |
| | Sarıçam | 10 278,1 | 1 270,4 | 11 548,5 | 3 375,0 | 14 923,5 | 898,8 | 41,6 | 940,4 | 8,1 |
| | Savaş | 11 792,8 | 5 877,0 | 17 669,8 | 9 488,6 | 27 158,4 | 809,6 | 315,2 | 1 124,8 | 16,8 |
| | Yayla | 6 488,0 | 205,9 | 6 693,9 | 2 565,4 | 9 259,3 | 103,1 | 36,4 | 139,5 | 1,2 |
| | Daday | 8 949,3 | 2 794,1 | 11 743,4 | 5 053,8 | 16 797,2 | 914,5 | 1 009,8 | 1 924,3 | 16,4 |
| | Çamlıbel | 7 914,4 | 495,2 | 8 409,6 | 1 641,4 | 10 051,0 | 244,7 | 34,3 | 279,0 | 3,3 |
| | Toplam | 54 787,9 | 12 914,8 | 67 702,7 | 23 965,9 | 91 668,6 | 4 252,7 | 2 442,6 | 6 695,3 | 9,9 |
| Hanönü | Gökırmak | 4 786,7 | 744,1 | 5 530,8 | 1 627,2 | 7 158,0 | 204,1 | 0,0 | 204,1 | 3,7 |
| | Günlüburun | 5 187,1 | 4 286,9 | 9 474,0 | 2 948,5 | 12 422,5 | 244,1 | 49,5 | 293,6 | 3,1 |
| | Hanönü | 3 490,6 | 2 228,3 | 5 718,9 | 1 979,2 | 7 698,1 | 62,5 | 15,1 | 77,6 | 1,4 |
| | Kuzalıç | 4 753,9 | 1 103,2 | 5 857,1 | 803,0 | 6 660,1 | 106,8 | 0,0 | 106,8 | 1,8 |
| | Çatalçam | 4 799,5 | 1 398,4 | 6 197,9 | 1 054,8 | 7 252,7 | 79,8 | 35,0 | 114,8 | 1,9 |
| | Toplam | 23 017,8 | 9 760,9 | 32 778,7 | 8 412,7 | 41 191,4 | 697,3 | 99,6 | 796,9 | 2,4 |
| İhsangazi | Eceler | 8 352,9 | 2 142,3 | 10 495,2 | 3 946,5 | 14 441,7 | 876,6 | 350,3 | 1 226,9 | 11,7 |
| | İhsangazi | 4 517,0 | 2 028,9 | 6 545,9 | 5 439,9 | 11 985,8 | 64,4 | 12,0 | 76,4 | 1,2 |
| | Kirazlitepe | 4 106,9 | 1 242,0 | 5 348,9 | 2 827,5 | 8 176,4 | 370,1 | 36,7 | 406,8 | 7,6 |
| | Mergüze | 7 269,7 | 3 073,5 | 10 343,2 | 6 128,6 | 16 471,8 | 145,6 | 124,7 | 270,3 | 2,6 |
| | Toplam | 24 246,5 | 8 486,7 | 32 733,2 | 18 342,5 | 51 075,7 | 1 456,7 | 523,7 | 1 980,4 | 6,1 |
| İnebolu | Doğanyurt | 5 759,2 | 938,0 | 6 697,2 | 3 530,8 | 10 228,0 | 112,3 | 3,5 | 115,8 | 1,7 |
| | Gemiciler | 11 016,6 | 949,5 | 11 966,1 | 1 698,8 | 13 664,9 | 237,1 | 357,2 | 594,3 | 5,0 |
| | İnebolu | 9 387,9 | 1 845,9 | 11 233,8 | 6 318,6 | 17 552,4 | 263,3 | 142,9 | 406,2 | 3,6 |
| | Özlüce | 8 430,6 | 1 986,9 | 10 417,5 | 4 052,3 | 14 469,8 | 125,0 | 37,3 | 162,3 | 1,6 |

Tablo 3.1.'in devamı

| Orman İşletme Müdürlüğü | Orman İşletme Şefliği | Verimli Orman (ha) | Verimsiz Orman (ha) | Toplam Orman Alanı (ha) | Açıklık Alan (ha) | Genel Toplam (ha) | Sarıçam | | | |
|-------------------------|-----------------------|--------------------|---------------------|-------------------------|-------------------|-------------------|--------------|---------------|-------------|------|
| | | | | | | | Verimli (ha) | Verimsiz (ha) | Toplam (ha) | % |
| İnebolu | Altınkum | 5 750,4 | 1 115,1 | 6 865,5 | 3 688,1 | 10 553,6 | 10,2 | 0,0 | 10,2 | 0,1 |
| | Toplam | 40 344,7 | 68 35,4 | 47 180,1 | 19 288,6 | 66 468,7 | 747,9 | 540,9 | 1 288,8 | 2,7 |
| Karadere | Akkaya | 9 244,6 | 345,9 | 9 590,5 | 3 102,6 | 12 693,1 | 953,6 | 29,6 | 983,2 | 10,3 |
| | Handüzü | 5 098,4 | 104,2 | 5 202,6 | 894,4 | 6 097,0 | 418,6 | 60,7 | 479,3 | 9,2 |
| | Kadıdağı | 8 054,5 | 538,4 | 8 592,9 | 6 706,3 | 15 299,2 | 1 574,8 | 92,3 | 1 667,1 | 19,4 |
| | Karadere | 9 202,8 | 427,6 | 9 630,4 | 5 077,6 | 14 708,0 | 2 044,9 | 204,8 | 2 249,7 | 23,4 |
| | Kaşçılar | 10 029,9 | 1 158,2 | 11 188,1 | 15 186,7 | 26 374,8 | 776,7 | 42,5 | 819,2 | 7,3 |
| | Çaltepe | 9 852,4 | 490,8 | 10 343,2 | 4 782,3 | 15 125,5 | 0,0 | 0,0 | 0,0 | 0,0 |
| | Toplam | 51 482,6 | 3 065,1 | 54 547,7 | 35 749,9 | 90 297,6 | 5 768,6 | 429,9 | 6 198,5 | 11,4 |
| Kastamonu | Bostan | 6 252,5 | 125,9 | 6 378,4 | 1 910,3 | 8 288,7 | 533,9 | 2,2 | 536,1 | 8,4 |
| | Gölköy | 11 971,7 | 1 828,5 | 13 800,2 | 20 227,4 | 34 027,6 | 118,8 | 75,7 | 194,5 | 1,4 |
| | Kastamonu | 15 762,7 | 887,2 | 16 649,9 | 7 703,5 | 24 353,4 | 337,6 | 58,1 | 395,7 | 2,4 |
| | Kuzkaya | 9 323,5 | 773,2 | 10 096,7 | 8 110,8 | 18 207,5 | 664,4 | 196,3 | 860,7 | 8,5 |
| | Değirmenciler | 8 996,5 | 4 317,0 | 13 313,5 | 8 602,4 | 21 915,9 | 78,4 | 95,2 | 173,6 | 1,3 |
| Toplam | 52 306,9 | 7 931,8 | 60 238,7 | 46 554,4 | 106 793,1 | 1 733,1 | 427,5 | 2 160,6 | 3,6 | |
| Küre | Ağlı | 11 240,2 | 1 342,2 | 12 582,4 | 14 681,3 | 27 263,7 | 2 991,6 | 705,0 | 3 696,6 | 29,4 |
| | Devrekani | 13 430,6 | 4 041,8 | 17 472,4 | 35 047,0 | 52 519,4 | 4 948,2 | 1 375,1 | 6 323,3 | 36,2 |
| | Kösreli | 8 321,0 | 1 203,0 | 9 524,0 | 2 967,3 | 12 491,3 | 226,4 | 389,4 | 615,8 | 6,5 |
| | Küre | 13 182,4 | 3 025,0 | 16 207,4 | 4 953,3 | 21 160,7 | 920,8 | 1 261,5 | 2 182,3 | 13,5 |
| | Şenlik | 14 187,8 | 3 719,1 | 17 906,9 | 10 817,6 | 28 724,5 | 2 840,3 | 1 268,8 | 4 109,1 | 22,9 |
| Toplam | 60 362,0 | 13 331,1 | 73 693,1 | 68 466,5 | 142 159,6 | 11 927,3 | 4 999,8 | 16 927,1 | 23,0 | |
| Pınarbaşı | Çöme | 10 090,7 | 989,4 | 11 080,1 | 3 957,2 | 15 037,3 | 0,0 | 0,0 | 0,0 | 0,0 |
| | Kurtgirmez | 17 544,3 | 7 697,7 | 25 242,0 | 9 152,0 | 8 392,3 | 44,5 | 26,4 | 70,9 | 0,3 |
| | Sarınc | 4 270,7 | 355,7 | 4 626,4 | 1 479,8 | 6 106,2 | 25,5 | 0,0 | 25,5 | 0,6 |
| | Sorkun | 7 033,6 | 1 687,3 | 8 720,9 | 5 204,1 | 13 925,0 | 0,0 | 0,0 | 0,0 | 0,0 |
| Toplam | 38 939,3 | 10 730,1 | 49 669,4 | 19 793,1 | 43 460,8 | 70,0 | 26,4 | 96,4 | 0,2 | |
| Samatlar | Aksudere | 11 768,3 | 9 329,1 | 21 097,4 | 6 198,0 | 27 295,4 | 38,4 | 0,0 | 38,4 | 0,2 |
| | Dorukyayla | 5 848,2 | 717,4 | 6 565,6 | 590,6 | 7 156,2 | 101,1 | 16,7 | 117,8 | 1,8 |
| | İğdir | 9 173,9 | 855,3 | 10 029,2 | 5 654,1 | 15 683,3 | 12,5 | 0,0 | 12,5 | 0,1 |
| | Kartalsuyu | 9 495,8 | 1 961,4 | 11 457,2 | 4 627,7 | 16 084,9 | 113,9 | 57,9 | 171,8 | 1,5 |
| Toplam | 36 286,2 | 12 863,2 | 49 149,4 | 17 070,4 | 66 219,8 | 265,9 | 74,6 | 340,5 | 0,7 | |
| Taşköprü | Bayam | 10 303,4 | 2 558,4 | 12 861,8 | 3 144,4 | 16 006,2 | 1 138,6 | 51,2 | 1 189,8 | 9,3 |
| | Çiftlik | 6 818,6 | 1 034,1 | 7 852,7 | 1 585,3 | 9 438,0 | 2 577,5 | 631,7 | 3 209,2 | 40,9 |
| | Düzdağ | 6 705,7 | 3 600,2 | 10 305,9 | 2 770,1 | 13 076,0 | 1 187,5 | 714,4 | 1 901,9 | 18,5 |
| | Dikmen | 5 602,1 | 1 280,6 | 6 882,7 | 2 111,0 | 8 993,7 | 917,8 | 26,3 | 944,1 | 13,7 |
| | Karatepe | 12 161,4 | 6 470,3 | 18 631,7 | 14 648,5 | 33 280,2 | 183,3 | 22,7 | 206,0 | 1,1 |
| | Kırççam | 6 112,1 | 622,5 | 6 734,6 | 2 310,2 | 9 044,8 | 515,7 | 27,7 | 543,4 | 8,1 |
| | Koçanlı | 9 579,3 | 2 370,6 | 11 949,9 | 4 136,7 | 16 086,6 | 2 498,3 | 1 134,2 | 3 632,5 | 30,4 |
| | Saraycık | 5 619,1 | 510,3 | 6 129,4 | 2 222,5 | 8 351,9 | 671,8 | 42,1 | 713,9 | 11,6 |
| | Sarıkaya | 6 076,2 | 5 762,5 | 11 838,7 | 3 782,8 | 15 621,5 | 203,4 | 81,2 | 284,6 | 2,4 |
| | Taşköprü | 6 117,4 | 5 825,7 | 11 943,1 | 23 015,2 | 34 958,3 | 0,0 | 0,0 | 0,0 | 0,0 |
| | Tekçam | 7 374,2 | 1 014,2 | 8 388,4 | 3 402,3 | 11 790,7 | 7,2 | 0,0 | 7,2 | 0,1 |
| Toplam | 82 469,5 | 31 049,4 | 113 518,9 | 63 129,0 | 176 647,9 | 9 901,1 | 2 731,5 | 12 632,6 | 11,1 | |
| Tosya | Ahlatdağ | 6 071,8 | 4 574,3 | 10 646,1 | 5 609,5 | 16 255,6 | 138,2 | 210,4 | 348,6 | 3,3 |
| | Akseki | 7 173,1 | 8 352,1 | 15 525,2 | 8 835,0 | 24 360,2 | 405,1 | 302,8 | 707,9 | 4,6 |
| | Çaldağ | 8 615,3 | 2 474,4 | 11 089,7 | 3 473,5 | 14 563,2 | 85,4 | 87,5 | 172,9 | 1,6 |
| | Çiçekli | 7 318,8 | 1 548,6 | 8 867,4 | 2 824,2 | 11 691,6 | 636,0 | 182,9 | 818,9 | 9,2 |
| | Dedemdağ | 7 351,4 | 931,0 | 8 282,4 | 5 850,2 | 14 132,6 | 724,5 | 172,1 | 896,6 | 10,8 |
| | Kösdağ | 5 402,7 | 1 505,6 | 6 908,3 | 1 816,5 | 8 724,8 | 2 419,9 | 104,8 | 2 524,7 | 36,5 |
| | Tosya | 8 306,0 | 3 946,0 | 12 252,0 | 8 824,5 | 21 076,5 | 874,9 | 917,8 | 1 792,7 | 14,6 |
| | Yeşilgöl | 6 566,9 | 2 174,8 | 8 741,7 | 2 959,9 | 11 701,6 | 89,4 | 103,0 | 192,4 | 2,2 |
| Toplam | 56 806,0 | 25 506,8 | 82 312,8 | 40 193,3 | 122 506,1 | 5 373,4 | 2 081,3 | 7 454,7 | 9,1 | |
| Genel Toplam | 695 332,0 | 183 266,7 | 878 598,8 | 459 832,4 | 1 269 203,4 | 45 897,6 | 15 613,0 | 61 510,6 | 7,0 | |

Kastamonu ili saf sarıçam meşcerelerinin meşcere tiplerine dağılımı, 89 OİŞ'ne ait güncel orman amenajman planlarında yer alan meşcere tiplerine dağılım tablolarından elde edilen verilerin birleştirilmesiyle belirlenmiştir (Tablo 3.2.). Elde edilen sonuçlar incelendiğinde, meşcerelerin yaklaşık %16'sının genç (a, ab ve b çağlarında), %27'sinin orta yaşlı (bc ve c çağlarında) ve %32'sinin de yaşlı (cd ve d çağlarında) verimli meşcereler olduğu, kalan %25'lik kısmın ise verimsiz (bozuk) meşcerelerden oluştuğu anlaşılmaktadır. Meşcere tipleri, orman amenajman planlarında yer alan meşcere tiplerine dağılım tablolarında yazılı halleriyle alınmış ve herhangi bir düzeltme veya birleştirme yapılmamıştır.

Tablo 3.2. *Kastamonu ili sarıçam ormanlarının meşcere tiplerine dağılımı*

| Meşcere Tipi | Alan (ha) | % | Meşcere Tipi | Alan (ha) | % |
|--------------|-----------|-------|--------------|-----------|--------|
| BÇs | 14 899,7 | 24,22 | Çscd1/ab2 | 27,3 | 0,04 |
| BÇs-E | 14,8 | 0,02 | Çscd1/ab3 | 12,3 | 0,02 |
| BÇs-T | 698,5 | 1,14 | Çscd1-T | 83,2 | 0,14 |
| Çs0 | 10,0 | 0,02 | Çscd2 | 6 381,2 | 10,37 |
| Çs0a | 9,6 | 0,02 | Çscd2/0a | 2,5 | 0,00 |
| Çsa | 1 377,9 | 2,24 | Çscd2/a | 4,9 | 0,01 |
| Çsa0 | 725,4 | 1,18 | Çscd2-T | 66,7 | 0,11 |
| Çsa0-T | 13,4 | 0,02 | Çscd3 | 6 950,7 | 11,30 |
| Çsa3 | 898,7 | 1,46 | Çsd | 15,7 | 0,03 |
| Çsab1 | 39,6 | 0,06 | Çsd/0a | 44,3 | 0,07 |
| Çsab2 | 226,6 | 0,37 | Çsd/a | 102,2 | 0,17 |
| Çsab3 | 2 852,7 | 4,64 | Çsd/a0 | 72,9 | 0,12 |
| Çsb1 | 27,3 | 0,04 | Çsd/a3 | 65,3 | 0,11 |
| Çsb2 | 238,6 | 0,39 | Çsd/ab3 | 20,0 | 0,03 |
| Çsb3 | 3 139,9 | 5,10 | Çsd/b2 | 75,9 | 0,12 |
| Çsb4 | 35,5 | 0,06 | Çsd1 | 279,0 | 0,45 |
| Çsbc1 | 796,3 | 1,29 | Çsd1/0 | 21,8 | 0,04 |
| Çsbc2 | 3 539,0 | 5,75 | Çsd1/0a | 44,6 | 0,07 |
| Çsbc3 | 6 722,1 | 10,93 | Çsd1/a | 251,5 | 0,41 |
| Çsc1 | 109,7 | 0,18 | Çsd1/a0 | 41,4 | 0,07 |
| Çsc2 | 794,2 | 1,29 | Çsd1/b3 | 10,2 | 0,02 |
| Çsc3 | 4 559,0 | 7,41 | Çsd2 | 1 169,5 | 1,90 |
| Çscd1 | 3 425,0 | 5,57 | Çsd2/a0 | 11,0 | 0,02 |
| Çscd1/0 | 8,9 | 0,01 | Çsd3 | 333,6 | 0,54 |
| Çscd1/0a | 14,9 | 0,02 | Çsde2 | 75,7 | 0,12 |
| Çscd1/a | 17,3 | 0,03 | Çse1 | 63,3 | 0,10 |
| Çscd1/a0 | 89,4 | 0,15 | TOPLAM | 61 510,6 | 100,00 |

Kastamonu ili saf sarıçam meşcerelerinin bonitet sınıfı, gelişim çağı, kapalılık ve sıklık gibi farklı meşcere özelliklerine bağlı olarak çap dağılımlarının modellenmesinin amaçlandığı bu çalışmada, çalışma materyali olarak söz konusu meşcere özellikleri bakımından farklılık gösteren meşcerelere ilişkin örnek alan verilerine ihtiyaç duyulmuştur. Bu veriler, çalışma alanında bulunan OİŞ'lerde halihazırda kullanılan güncel orman amenajman planlarının hazırlanması sürecinde 2008-2013 yılları arasında yapılan arazi çalışmaları ile alınan ve Orman Genel Müdürlüğü'ne bağlı Orman İdaresi ve Planlama Dairesi Başkanlığı arşivinde bulunan örnek alan karnelerinden elde edilmiştir. Sözü edilen örnek alan karnelerinde;

- Örnek alana ilişkin meşcere yaşı ve üstboy verileri kullanılarak Alemdağ (1967) tarafından düzenlenen bonitet endeks tablosu yardımıyla belirlenen bonitet sınıfı (I. bonitet: 14,5-20,5 m, II. bonitet: 20,5-26,5 m ve III. bonitet: 26,5-32,5 m),
- Arazi çalışmaları sırasında ölçülen çap değerleri,
- Ölçülen çap değerlerinden yararlanılarak hesaplanan meşcere orta çapı (d_{ort}) yardımıyla belirlenen gelişim çağıları (a: $d_{ort} < 8$ cm, b: $8 \text{ cm} \leq d_{ort} < 20$ cm, c: $20 \text{ cm} \leq d_{ort} < 36$ cm ve d: $d_{ort} \leq 36$ cm),
- Örnek alandaki ağaçların toprağı örtme dereceleri yardımıyla belirlenen kapalılık sınıfları (1 kapalı: %11-40, 2 kapalı: %41-70 ve 3 kapalı: >%70),
- Gelişim çağı ile kapalılık sınıfı özelliklerinin birlikte kullanılmasıyla belirlenen meşcere tipleri

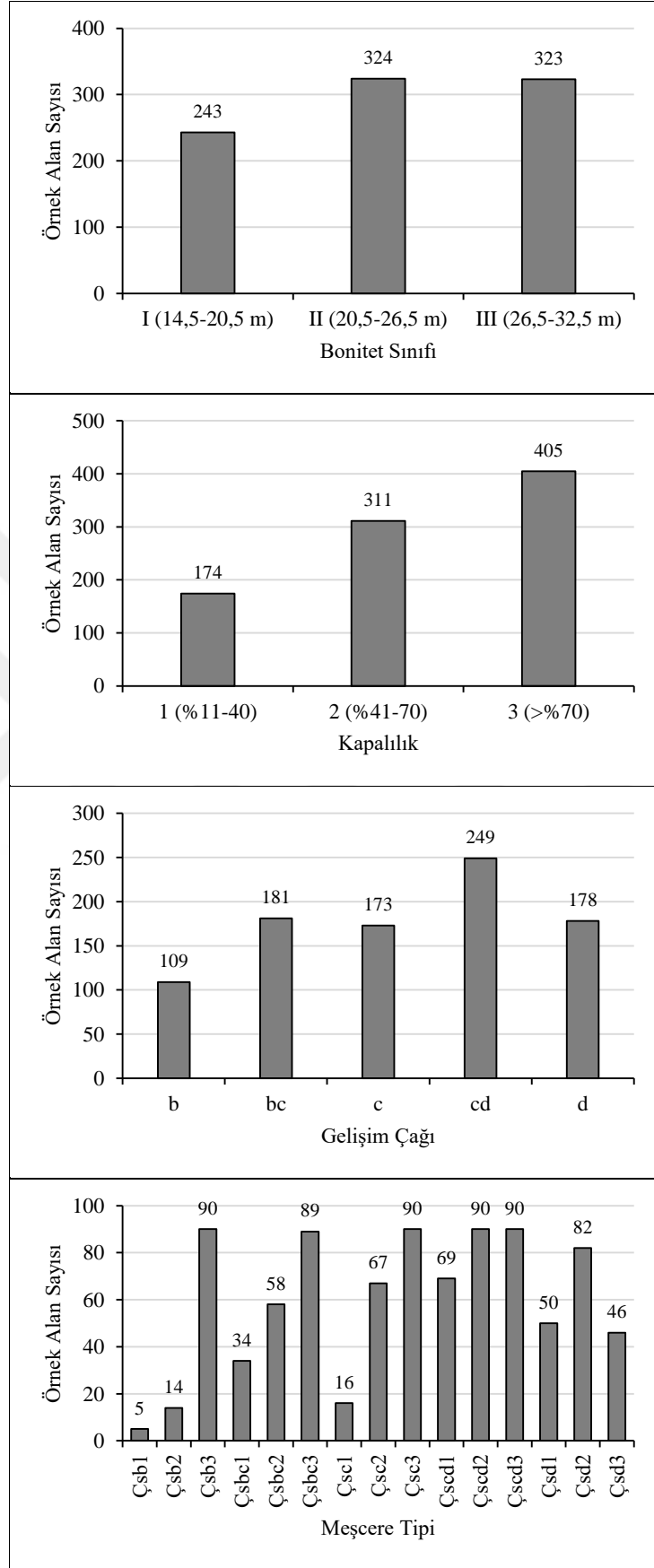
bilgileri yer almaktadır.

Çalışma kapsamında kullanılacak verilerin elde edilmesi amacıyla Orman Genel Müdürlüğü arşivinde bulunan çok sayıda örnek alan karnesi arasından saf sarıçam meşcerelerinden alınmış 2 346 adet örnek alan karnesi temin edilmiştir. Çalışma, farklı meşcere özelliklerine göre çap dağılımlarının incelenmesi amacıyla yürütüldüğünden örnek alanlara ait bonitet sınıfları ve meşcere tipleri, meşcere özellikleri farklılıklarının tanımlanmasında kullanılmıştır. Sözü edilen farklılıkların çap dağılımları üzerindeki etkisinin başarılı şekilde ortaya konulabilmesi için her meşcere tipinin farklı bonitet sınıflarından 30'ar adet örnek alan seçilmesi kararlaştırılmıştır. Temin edilen örnek alan karnelerinin meşcere özelliklerine dağılımlarının elverdiği ölçüde bu karara uyulmuş, diğer durumlarda ise maksimum sayıda örnek alan alınması yoluna gidilmiş ve 890 adet örnek alan karnesinin çalışmada kullanılabilmesine karar verilmiştir.

Çalışma kapsamında kullanılacak örnek alanların belirlenmesi amacıyla temin edilen örnek alanların ve bu örnek alanlar arasından çalışmada kullanılmasına karar verilen 890 adet örnek alanın meşcere tiplerine ve bonitet sınıflarına dağılımı Tablo 3.3.'te verilmiştir. Tablo 3.3. incelendiğinde, 15 farklı meşcere tipi ve 3 bonitet sınıfı dikkate alınarak 45 farklı meşcere özelliği kombinasyonu oluşturulduğu ve bu kombinasyonların yarıdan fazlası için 30 veya 30'a yakın sayıda örnek alan alındığı, ancak bazı kombinasyonlar için (özellikle 1 kapalı meşcereler) arşivdeki yetersizlikler ve bazı örnek alanların ait olduğu kombinasyonu tam olarak temsil etmemesi gibi nedenlerle bu sayıya ulaşamadığı ve daha düşük sayıda örnek alanlarla yetinilmek zorunda kaldığı görülmektedir. Çalışmada kullanılan örnek alanların bonitet sınıflarına, kapalılık sınıflarına, gelişim çağlarına ve meşcere tiplerine dağılımları Şekil 3.3.'te verilmiştir. 1 kapalı meşcerelerden alınan örnek alan sayılarının diğer kapalılık sınıflarına göre daha düşük olduğu Şekil 3.3.'te de görülmektedir.

Tablo 3.3. Çalışma kapsamında kullanılan örnek alanların dağılımı

| Meşcere Tipi | Orman Genel Müdürlüğü'nden Temin Edilen Örnek Alan Sayıları | | | | Çalışma Kapsamında Değerlendirilen Örnek Alan Sayıları | | | |
|-----------------|--|----------------|-----------------|--------|---|----------------|-----------------|--------|
| | I. Bonitet | II. Bonitet | III. Bonitet | Toplam | I. Bonitet | II. Bonitet | III. Bonitet | Toplam |
| Çsb1 | 3 | 2 | 1 | 6 | 3 | 2 | - | 5 |
| Çsb2 | 2 | 3 | 10 | 15 | 2 | 3 | 9 | 14 |
| Çsb3 | 47 | 105 | 69 | 221 | 30 | 30 | 30 | 90 |
| Çsbc1 | - | 8 | 30 | 38 | - | 7 | 27 | 34 |
| Çsbc2 | 6 | 24 | 56 | 86 | 5 | 23 | 30 | 58 |
| Çsbc3 | 94 | 166 | 107 | 367 | 30 | 30 | 29 | 89 |
| Çsc1 | 3 | 6 | 8 | 17 | 3 | 5 | 8 | 16 |
| Çsc2 | 20 | 36 | 22 | 78 | 17 | 30 | 20 | 67 |
| Çsc3 | 93 | 162 | 72 | 327 | 30 | 30 | 30 | 90 |
| Çscd1 | 15 | 33 | 32 | 80 | 11 | 29 | 29 | 69 |
| Çscd2 | 66 | 181 | 112 | 359 | 30 | 30 | 30 | 90 |
| Çscd3 | 123 | 270 | 90 | 483 | 30 | 30 | 30 | 90 |
| Çsd1 | 10 | 30 | 20 | 60 | 9 | 24 | 17 | 50 |
| Çsd2 | 32 | 77 | 43 | 152 | 25 | 30 | 27 | 82 |
| Çsd3 | 22 | 27 | 8 | 57 | 18 | 21 | 7 | 46 |
| Toplam | 536 | 1130 | 680 | 2346 | 243 | 324 | 323 | 890 |



Şekil 3.3. Örnek alanların meşcere özelliklerine göre dağılımı

Değerlendirmeye alınan örnek alanların büyüklükleri incelendiğinde, örnek alan büyüklüğünün meşcere kapalılığına bağlı olarak genellikle 1 kapalı meşcerelerde 800 m², 2 kapalı meşcerelerde 600 m² ve 3 kapalı meşcerelerde 400 m² olduğu, ancak bazı örnek alanların büyüklüğünün ise bu kuralın dışında kaldığı görülmüştür. Bu durum, bazı örnek alanlarda arzu edilen sayıda örnek ağaç bulunmaması nedeniyle örnek alanın büyütülmesinden veya tam aksine bazı örnek alanlarda da oldukça fazla sayıda örnek ağaç bulunması nedeniyle örnek alanın küçültülmesinden kaynaklanmaktadır.

Çalışma kapsamında değerlendirilmesine karar verilen örnek alanların alındığı OİM ve OİŞ'ler ile örnek alanlara ilişkin meşcere tipi, örnek alan büyüklüğü, ağaç sayısı, orta çap ve sıklık değerleri I. bonitet sınıfı için Tablo 3.4'te, II. bonitet sınıfı için Tablo 3.5'te ve III. bonitet sınıfı için de Tablo 3.6'da verilmiştir. Tablolarda yer alan bilgilerden ağaç sayısı ve orta çap değerleri için aşağıdaki (3.1) ve (3.2) numaralı denklemlerden yararlanılmış, sıklık değerinin belirlenmesi için ise Curtis vd. (1981) tarafından geliştirilen (3.3) numaralı denklem kullanılmıştır.

$$N = \frac{10000}{\text{ÖAB}} n \quad (3.1)$$

$$d_q = \sqrt{\frac{\sum d_i^2}{n}} \quad (3.2)$$

$$SD = \frac{\pi}{4} \frac{\sum d_i^2}{\sqrt{d_q}} \quad (3.3)$$

Bu denklemlerde;

N: Ağaç sayısı (adet/ha),

n: Örnek alandaki ağaç sayısı (adet),

ÖAB: Örnek alan büyüklüğü (m²),

d_q: Meşcere orta çapı (cm),

d_i: Örnek alanlardaki ağaçların göğüs yüksekliği çapları (cm),

SD: Sıklık derecesi.

Tablo 3.4. Örnek alanlara ilişkin bilgiler (I. Bonitet)

| Örnek Alan No | Orman İşletme Müdürlüğü | Orman İşletme Şefliği | Meşcere Tipi | Örnek Alan Büyüklüğü (m ²) | Ağaç Sayısı (n) | Ağaç Sayısı (N/ha) | Orta Çap (cm) | Minimum Çap (cm) | Maksimum Çap (cm) | Sıklık |
|---------------|-------------------------|-----------------------|--------------|--|-----------------|--------------------|---------------|------------------|-------------------|--------|
| 1001 | Taşköprü | Çiftlik | Çsb1 | 800 | 17 | 213 | 18,7 | 16 | 20 | 1,35 |
| 1002 | Taşköprü | Çiftlik | Çsb1 | 800 | 16 | 200 | 15,0 | 9 | 20 | 0,91 |
| 1003 | Taşköprü | Koçanlı | Çsb1 | 800 | 32 | 400 | 11,8 | 8 | 19 | 1,28 |
| 1004 | Çatalzeytin | Akçay | Çsb2 | 600 | 54 | 900 | 11,3 | 8 | 27 | 2,69 |
| 1005 | İnebolu | Gemiciler | Çsb2 | 600 | 69 | 1150 | 13,6 | 8 | 25 | 4,52 |
| 1006 | Araç | Dereyayla | Çsb3 | 400 | 51 | 1275 | 11,1 | 8 | 17 | 3,70 |
| 1007 | Araç | Dereyayla | Çsb3 | 400 | 41 | 1025 | 13,5 | 8 | 22 | 4,00 |
| 1008 | Araç | Dereyayla | Çsb3 | 400 | 71 | 1775 | 12,1 | 8 | 21 | 5,87 |
| 1009 | Araç | Dereyayla | Çsb3 | 400 | 44 | 1100 | 12,2 | 8 | 19 | 3,67 |
| 1010 | Araç | Dereyayla | Çsb3 | 600 | 42 | 700 | 13,7 | 8 | 19 | 2,78 |
| 1011 | Araç | Dereyayla | Çsb3 | 400 | 33 | 825 | 17,5 | 10 | 27 | 4,73 |
| 1012 | Araç | Dereyayla | Çsb3 | 600 | 56 | 933 | 14,9 | 8 | 22 | 4,19 |
| 1013 | Araç | Dereyayla | Çsb3 | 600 | 37 | 617 | 14,5 | 9 | 20 | 2,66 |
| 1014 | Araç | Dereyayla | Çsb3 | 600 | 49 | 817 | 15,3 | 8 | 26 | 3,82 |
| 1015 | Araç | Dereyayla | Çsb3 | 600 | 47 | 783 | 15,8 | 8 | 21 | 3,88 |
| 1016 | Taşköprü | Çiftlik | Çsb3 | 600 | 24 | 400 | 10,8 | 8 | 19 | 1,11 |
| 1017 | Taşköprü | Çiftlik | Çsb3 | 400 | 44 | 1100 | 14,1 | 8 | 30 | 4,58 |
| 1018 | Taşköprü | Çiftlik | Çsb3 | 400 | 56 | 1400 | 12,9 | 8 | 36 | 5,07 |
| 1019 | Taşköprü | Çiftlik | Çsb3 | 400 | 21 | 525 | 14,9 | 8 | 27 | 2,37 |
| 1020 | Taşköprü | Çiftlik | Çsb3 | 400 | 34 | 850 | 13,5 | 8 | 28 | 3,31 |
| 1021 | Taşköprü | Kırkçam | Çsb3 | 400 | 44 | 1100 | 12,8 | 9 | 16 | 3,96 |
| 1022 | Taşköprü | Koçanlı | Çsb3 | 400 | 72 | 1800 | 13,2 | 8 | 21 | 6,80 |
| 1023 | Taşköprü | Koçanlı | Çsb3 | 400 | 84 | 2100 | 11,2 | 8 | 18 | 6,16 |
| 1024 | Taşköprü | Koçanlı | Çsb3 | 400 | 47 | 1175 | 14,2 | 8 | 23 | 4,92 |
| 1025 | Taşköprü | Koçanlı | Çsb3 | 400 | 38 | 950 | 14,2 | 8 | 22 | 3,99 |
| 1026 | Taşköprü | Koçanlı | Çsb3 | 400 | 26 | 650 | 14,1 | 8 | 20 | 2,70 |
| 1027 | Taşköprü | Koçanlı | Çsb3 | 400 | 48 | 1200 | 14,3 | 8 | 23 | 5,07 |
| 1028 | Taşköprü | Koçanlı | Çsb3 | 400 | 138 | 3450 | 11,1 | 8 | 20 | 9,95 |
| 1029 | Taşköprü | Koçanlı | Çsb3 | 400 | 56 | 1400 | 13,1 | 8 | 20 | 5,22 |
| 1030 | Taşköprü | Koçanlı | Çsb3 | 400 | 58 | 1450 | 14,7 | 8 | 23 | 6,39 |
| 1031 | Taşköprü | Koçanlı | Çsb3 | 400 | 43 | 1075 | 18,3 | 9 | 32 | 6,60 |
| 1032 | Taşköprü | Koçanlı | Çsb3 | 600 | 20 | 333 | 9,7 | 8 | 15 | 0,79 |
| 1033 | Tosya | Kösdağ | Çsb3 | 400 | 34 | 850 | 13,6 | 8 | 18 | 3,36 |
| 1034 | Tosya | Kösdağ | Çsb3 | 400 | 44 | 1100 | 14,1 | 9 | 20 | 4,57 |
| 1035 | Tosya | Kösdağ | Çsb3 | 400 | 46 | 1150 | 11,7 | 8 | 25 | 3,61 |
| 1036 | Taşköprü | Çiftlik | Çsbc2 | 600 | 23 | 383 | 21,6 | 8 | 50 | 3,01 |
| 1037 | Taşköprü | Koçanlı | Çsbc2 | 800 | 28 | 350 | 12,7 | 8 | 33 | 1,24 |
| 1038 | Taşköprü | Koçanlı | Çsbc2 | 600 | 40 | 667 | 25,7 | 8 | 46 | 6,80 |
| 1039 | Taşköprü | Koçanlı | Çsbc2 | 600 | 30 | 500 | 17,4 | 8 | 30 | 2,85 |
| 1040 | Tosya | Çiçekli | Çsbc2 | 400 | 22 | 550 | 17,3 | 8 | 23 | 3,10 |
| 1041 | Araç | Dereyayla | Çsbc3 | 400 | 28 | 700 | 17,9 | 12 | 24 | 4,17 |
| 1042 | Daday | Daday | Çsbc3 | 600 | 32 | 533 | 16,4 | 9 | 26 | 2,79 |
| 1043 | İhsangazi | Kirazlıtepe | Çsbc3 | 400 | 50 | 1250 | 20,8 | 9 | 32 | 9,30 |
| 1044 | İhsangazi | Kirazlıtepe | Çsbc3 | 400 | 43 | 1075 | 17,2 | 8 | 28 | 6,00 |
| 1045 | İhsangazi | Kirazlıtepe | Çsbc3 | 400 | 66 | 1650 | 14,4 | 8 | 22 | 7,08 |
| 1046 | İhsangazi | Kirazlıtepe | Çsbc3 | 400 | 41 | 1025 | 24,2 | 8 | 40 | 9,57 |
| 1047 | Karadere | Karadere | Çsbc3 | 600 | 28 | 467 | 23,1 | 8 | 34 | 4,06 |
| 1048 | Karadere | Karadere | Çsbc3 | 600 | 38 | 633 | 16,3 | 8 | 25 | 3,29 |
| 1049 | Küre | Kösreli | Çsbc3 | 400 | 72 | 1800 | 17,0 | 8 | 29 | 9,87 |
| 1050 | Küre | Şenlik | Çsbc3 | 400 | 48 | 1200 | 13,4 | 8 | 28 | 4,64 |
| 1051 | Taşköprü | Çiftlik | Çsbc3 | 400 | 24 | 600 | 19,5 | 10 | 38 | 4,06 |
| 1052 | Taşköprü | Çiftlik | Çsbc3 | 400 | 98 | 2450 | 15,6 | 8 | 26 | 11,88 |
| 1053 | Taşköprü | Çiftlik | Çsbc3 | 400 | 44 | 1100 | 17,9 | 8 | 32 | 6,56 |
| 1054 | Taşköprü | Çiftlik | Çsbc3 | 400 | 48 | 1200 | 17,2 | 8 | 39 | 6,74 |
| 1055 | Taşköprü | Çiftlik | Çsbc3 | 400 | 56 | 1400 | 15,1 | 8 | 24 | 6,46 |
| 1056 | Taşköprü | Çiftlik | Çsbc3 | 400 | 36 | 900 | 17,0 | 8 | 25 | 4,96 |
| 1057 | Taşköprü | Çiftlik | Çsbc3 | 400 | 62 | 1550 | 14,3 | 8 | 22 | 6,58 |
| 1058 | Taşköprü | Çiftlik | Çsbc3 | 400 | 44 | 1100 | 16,8 | 8 | 35 | 5,93 |
| 1059 | Taşköprü | Dikmen | Çsbc3 | 400 | 41 | 1025 | 16,4 | 8 | 26 | 5,35 |
| 1060 | Taşköprü | Düzdağ | Çsbc3 | 400 | 49 | 1225 | 18,0 | 8 | 25 | 7,33 |
| 1061 | Taşköprü | Karatepe | Çsbc3 | 400 | 31 | 775 | 18,9 | 10 | 34 | 4,98 |
| 1062 | Taşköprü | Karatepe | Çsbc3 | 400 | 39 | 975 | 21,4 | 13 | 30 | 7,58 |
| 1063 | Taşköprü | Kırkçam | Çsbc3 | 400 | 16 | 400 | 19,5 | 8 | 32 | 2,71 |
| 1064 | Taşköprü | Kırkçam | Çsbc3 | 400 | 44 | 1100 | 15,6 | 9 | 25 | 5,30 |
| 1065 | Taşköprü | Koçanlı | Çsbc3 | 400 | 53 | 1325 | 18,6 | 8 | 28 | 8,33 |
| 1066 | Taşköprü | Koçanlı | Çsbc3 | 400 | 37 | 925 | 19,5 | 8 | 30 | 6,23 |
| 1067 | Taşköprü | Koçanlı | Çsbc3 | 600 | 33 | 550 | 20,6 | 10 | 41 | 4,04 |
| 1068 | Taşköprü | Koçanlı | Çsbc3 | 400 | 53 | 1325 | 19,7 | 8 | 60 | 9,10 |

Tablo 3.4. 'ün devamı

| Örnek Alan No | Orman İşletme Müdürlüğü | Orman İşletme Şefliği | Meşcere Tipi | Örnek Alan Büyüklüğü (m ²) | Ağaç Sayısı (n) | Ağaç Sayısı (N/ha) | Orta Çap (cm) | Minimum Çap (cm) | Maksimum Çap (cm) | Sıklık |
|---------------|-------------------------|-----------------------|--------------|--|-----------------|--------------------|---------------|------------------|-------------------|--------|
| 1069 | Taşköprü | Koçanlı | Çsbc3 | 400 | 60 | 1500 | 19,8 | 8 | 64 | 10,37 |
| 1070 | Taşköprü | Saraycık | Çsbc3 | 400 | 29 | 725 | 19,4 | 8 | 46 | 4,84 |
| 1071 | Taşköprü | Çiftlik | Çsc1 | 800 | 15 | 188 | 21,3 | 8 | 30 | 1,45 |
| 1072 | Taşköprü | Çiftlik | Çsc1 | 800 | 20 | 250 | 21,7 | 9 | 34 | 1,98 |
| 1073 | Taşköprü | Koçanlı | Çsc1 | 800 | 27 | 338 | 17,2 | 8 | 43 | 1,89 |
| 1074 | Daday | Sarıçam | Çsc2 | 600 | 37 | 617 | 23,3 | 8 | 48 | 5,46 |
| 1075 | Daday | Sarıçam | Çsc2 | 600 | 35 | 583 | 22,2 | 8 | 40 | 4,79 |
| 1076 | Daday | Sarıçam | Çsc2 | 600 | 25 | 417 | 22,7 | 8 | 53 | 3,54 |
| 1077 | Taşköprü | Çiftlik | Çsc2 | 600 | 33 | 550 | 27,7 | 8 | 55 | 6,28 |
| 1078 | Taşköprü | Düzdağ | Çsc2 | 600 | 32 | 533 | 19,7 | 8 | 31 | 3,66 |
| 1079 | Taşköprü | Koçanlı | Çsc2 | 600 | 29 | 483 | 25,3 | 8 | 36 | 4,82 |
| 1080 | Taşköprü | Koçanlı | Çsc2 | 800 | 25 | 313 | 24,7 | 9 | 45 | 3,00 |
| 1081 | Taşköprü | Saraycık | Çsc2 | 600 | 22 | 367 | 25,8 | 8 | 38 | 3,78 |
| 1082 | Taşköprü | Saraycık | Çsc2 | 600 | 32 | 533 | 27,3 | 8 | 37 | 5,98 |
| 1083 | Taşköprü | Saraycık | Çsc2 | 400 | 32 | 800 | 24,1 | 8 | 41 | 7,43 |
| 1084 | Taşköprü | Saraycık | Çsc2 | 600 | 26 | 433 | 27,6 | 8 | 56 | 4,94 |
| 1085 | Taşköprü | Saraycık | Çsc2 | 600 | 26 | 433 | 23,9 | 9 | 51 | 3,97 |
| 1086 | Hanönü | Günlüburun | Çsc2 | 800 | 21 | 263 | 22,9 | 9 | 54 | 2,25 |
| 1087 | Hanönü | Günlüburun | Çsc2 | 600 | 27 | 450 | 24,1 | 8 | 58 | 4,17 |
| 1088 | Taşköprü | Çiftlik | Çsc2 | 600 | 25 | 417 | 26,3 | 8 | 60 | 4,41 |
| 1089 | Taşköprü | Koçanlı | Çsc2 | 400 | 29 | 725 | 25,4 | 10 | 41 | 7,28 |
| 1090 | Taşköprü | Saraycık | Çsc2 | 600 | 16 | 267 | 29,5 | 9 | 41 | 3,36 |
| 1091 | Araç | Dereyayla | Çsc3 | 400 | 31 | 775 | 24,3 | 9 | 60 | 7,27 |
| 1092 | Araç | Dereyayla | Çsc3 | 400 | 32 | 800 | 26,4 | 15 | 42 | 8,53 |
| 1093 | Daday | Çamlıbel | Çsc3 | 400 | 32 | 800 | 26,9 | 17 | 37 | 8,76 |
| 1094 | Daday | Daday | Çsc3 | 400 | 30 | 750 | 26,3 | 8 | 40 | 7,94 |
| 1095 | Daday | Sarıçam | Çsc3 | 400 | 21 | 525 | 27,4 | 8 | 47 | 5,91 |
| 1096 | Daday | Sarıçam | Çsc3 | 400 | 34 | 850 | 26,8 | 8 | 38 | 9,25 |
| 1097 | Karadere | Karadere | Çsc3 | 400 | 48 | 1200 | 21,2 | 8 | 33 | 9,20 |
| 1098 | Taşköprü | Çiftlik | Çsc3 | 400 | 24 | 600 | 24,5 | 8 | 80 | 5,70 |
| 1099 | Taşköprü | Çiftlik | Çsc3 | 400 | 27 | 675 | 28,3 | 10 | 41 | 7,96 |
| 1100 | Taşköprü | Çiftlik | Çsc3 | 400 | 26 | 650 | 28,8 | 20 | 42 | 7,87 |
| 1101 | Taşköprü | Çiftlik | Çsc3 | 400 | 28 | 700 | 27,5 | 8 | 64 | 7,94 |
| 1102 | Taşköprü | Çiftlik | Çsc3 | 400 | 18 | 450 | 26,5 | 15 | 39 | 4,83 |
| 1103 | Taşköprü | Dikmen | Çsc3 | 400 | 34 | 850 | 21,1 | 8 | 39 | 6,48 |
| 1104 | Taşköprü | Dikmen | Çsc3 | 400 | 16 | 400 | 21,6 | 9 | 28 | 3,16 |
| 1105 | Taşköprü | Dikmen | Çsc3 | 400 | 20 | 500 | 22,1 | 11 | 28 | 4,07 |
| 1106 | Taşköprü | Düzdağ | Çsc3 | 400 | 44 | 1100 | 21,7 | 9 | 35 | 8,70 |
| 1107 | Taşköprü | Düzdağ | Çsc3 | 400 | 41 | 1025 | 25,7 | 15 | 36 | 10,50 |
| 1108 | Taşköprü | Düzdağ | Çsc3 | 400 | 38 | 950 | 21,5 | 13 | 31 | 7,45 |
| 1109 | Taşköprü | Düzdağ | Çsc3 | 400 | 28 | 700 | 24,3 | 8 | 36 | 6,58 |
| 1110 | Taşköprü | Kırkçam | Çsc3 | 400 | 26 | 650 | 22,5 | 15 | 27 | 5,46 |
| 1111 | Taşköprü | Kırkçam | Çsc3 | 400 | 22 | 550 | 26,7 | 17 | 33 | 5,97 |
| 1112 | Taşköprü | Koçanlı | Çsc3 | 400 | 23 | 575 | 28,2 | 8 | 42 | 6,77 |
| 1113 | Taşköprü | Koçanlı | Çsc3 | 400 | 49 | 1225 | 16,7 | 8 | 25 | 6,54 |
| 1114 | Taşköprü | Koçanlı | Çsc3 | 400 | 45 | 1125 | 16,5 | 8 | 23 | 5,94 |
| 1115 | Taşköprü | Koçanlı | Çsc3 | 400 | 23 | 575 | 24,6 | 9 | 40 | 5,51 |
| 1116 | Taşköprü | Koçanlı | Çsc3 | 400 | 27 | 675 | 23,0 | 12 | 38 | 5,83 |
| 1117 | Taşköprü | Saraycık | Çsc3 | 400 | 24 | 600 | 22,4 | 8 | 35 | 4,98 |
| 1118 | Taşköprü | Saraycık | Çsc3 | 400 | 17 | 425 | 24,4 | 8 | 35 | 4,03 |
| 1119 | Taşköprü | Saraycık | Çsc3 | 400 | 19 | 475 | 22,1 | 8 | 28 | 3,88 |
| 1120 | Taşköprü | Saraycık | Çsc3 | 400 | 18 | 450 | 34,4 | 11 | 64 | 7,11 |
| 1121 | Karadere | Kadıdağı | Çscd1 | 800 | 13 | 163 | 27,6 | 8 | 41 | 1,85 |
| 1122 | Taşköprü | Koçanlı | Çscd1 | 800 | 22 | 275 | 32,4 | 9 | 50 | 3,98 |
| 1123 | Taşköprü | Bayam | Çscd1 | 800 | 9 | 113 | 24,1 | 8 | 33 | 1,04 |
| 1124 | Taşköprü | Bayam | Çscd1 | 800 | 19 | 238 | 32,2 | 10 | 44 | 3,40 |
| 1125 | Taşköprü | Bayam | Çscd1 | 800 | 6 | 75 | 27,2 | 8 | 40 | 0,84 |
| 1126 | Taşköprü | Bayam | Çscd1 | 800 | 10 | 125 | 36,6 | 9 | 51 | 2,17 |
| 1127 | Taşköprü | Çiftlik | Çscd1 | 600 | 16 | 267 | 30,9 | 10 | 56 | 3,59 |
| 1128 | Taşköprü | Çiftlik | Çscd1 | 800 | 19 | 238 | 30,9 | 10 | 51 | 3,20 |
| 1129 | Taşköprü | Kırkçam | Çscd1 | 800 | 26 | 325 | 27,3 | 10 | 44 | 3,64 |
| 1130 | Taşköprü | Kırkçam | Çscd1 | 800 | 19 | 238 | 24,4 | 13 | 33 | 2,25 |
| 1131 | Taşköprü | Kırkçam | Çscd1 | 800 | 19 | 238 | 31,0 | 9 | 43 | 3,21 |
| 1132 | Daday | Sarıçam | Çscd2 | 600 | 29 | 483 | 26,1 | 8 | 42 | 5,06 |
| 1133 | Daday | Sarıçam | Çscd2 | 400 | 34 | 850 | 24,0 | 8 | 49 | 7,86 |
| 1134 | Hanönü | Günlüburun | Çscd2 | 400 | 29 | 725 | 31,8 | 17 | 50 | 10,22 |
| 1135 | Hanönü | Kuzalıç | Çscd2 | 800 | 24 | 300 | 37,5 | 24 | 46 | 5,40 |
| 1136 | İnebolu | İnebolu | Çscd2 | 600 | 25 | 417 | 30,6 | 10 | 53 | 5,55 |

Tablo 3.4. 'ün devamı

| Örnek Alan No | Orman İşletme Müdürlüğü | Orman İşletme Şefliği | Meşcere Tipi | Örnek Alan Büyüklüğü (m ²) | Ağaç Sayısı (n) | Ağaç Sayısı (N/ha) | Orta Çap (cm) | Minimum Çap (cm) | Maksimum Çap (cm) | Sıklık |
|---------------|-------------------------|-----------------------|--------------|--|-----------------|--------------------|---------------|------------------|-------------------|--------|
| 1137 | Küre | Şenlik | Çsed2 | 600 | 35 | 583 | 25,9 | 10 | 40 | 6,05 |
| 1138 | Taşköprü | Bayam | Çsed2 | 600 | 14 | 233 | 34,3 | 23 | 45 | 3,68 |
| 1139 | Taşköprü | Çiftlik | Çsed2 | 600 | 31 | 517 | 31,7 | 10 | 51 | 7,24 |
| 1140 | Taşköprü | Çiftlik | Çsed2 | 600 | 24 | 400 | 27,0 | 8 | 61 | 4,40 |
| 1141 | Taşköprü | Dikmen | Çsed2 | 600 | 23 | 383 | 26,3 | 8 | 59 | 4,06 |
| 1142 | Taşköprü | Düzdağ | Çsed2 | 800 | 32 | 400 | 30,4 | 10 | 49 | 5,26 |
| 1143 | Taşköprü | Düzdağ | Çsed2 | 600 | 28 | 467 | 27,5 | 9 | 43 | 5,29 |
| 1144 | Taşköprü | Kırkçam | Çsed2 | 400 | 15 | 375 | 32,8 | 18 | 44 | 5,54 |
| 1145 | Taşköprü | Kırkçam | Çsed2 | 800 | 21 | 263 | 35,5 | 8 | 55 | 4,36 |
| 1146 | Taşköprü | Kırkçam | Çsed2 | 800 | 31 | 388 | 28,8 | 8 | 41 | 4,70 |
| 1147 | Taşköprü | Kırkçam | Çsed2 | 800 | 31 | 388 | 27,4 | 15 | 50 | 4,36 |
| 1148 | Taşköprü | Koçanlı | Çsed2 | 600 | 21 | 350 | 36,2 | 8 | 56 | 5,98 |
| 1149 | Taşköprü | Koçanlı | Çsed2 | 600 | 23 | 383 | 29,5 | 12 | 46 | 4,83 |
| 1150 | Taşköprü | Koçanlı | Çsed2 | 600 | 15 | 250 | 27,8 | 8 | 37 | 2,87 |
| 1151 | Taşköprü | Saraycık | Çsed2 | 600 | 26 | 433 | 28,9 | 8 | 47 | 5,28 |
| 1152 | Taşköprü | Saraycık | Çsed2 | 600 | 25 | 417 | 32,5 | 8 | 55 | 6,06 |
| 1153 | Taşköprü | Saraycık | Çsed2 | 800 | 26 | 325 | 21,3 | 8 | 55 | 2,51 |
| 1154 | Taşköprü | Saraycık | Çsed2 | 800 | 28 | 350 | 28,7 | 8 | 59 | 4,23 |
| 1155 | Taşköprü | Saraycık | Çsed2 | 600 | 33 | 550 | 25,8 | 9 | 44 | 5,65 |
| 1156 | Taşköprü | Saraycık | Çsed2 | 600 | 24 | 400 | 27,5 | 8 | 58 | 4,53 |
| 1157 | Taşköprü | Saraycık | Çsed2 | 600 | 11 | 183 | 35,8 | 10 | 57 | 3,09 |
| 1158 | Taşköprü | Sarıkaya | Çsed2 | 600 | 28 | 467 | 24,7 | 8 | 46 | 4,49 |
| 1159 | Tosya | Çiçekli | Çsed2 | 600 | 26 | 433 | 29,4 | 12 | 45 | 5,41 |
| 1160 | Tosya | Tosya | Çsed2 | 400 | 33 | 825 | 21,7 | 9 | 34 | 6,54 |
| 1161 | Tosya | Tosya | Çsed2 | 600 | 36 | 600 | 22,5 | 8 | 39 | 5,04 |
| 1162 | Araç | Dereyayla | Çsed3 | 400 | 34 | 850 | 29,0 | 8 | 50 | 10,40 |
| 1163 | Araç | Dereyayla | Çsed3 | 400 | 26 | 650 | 32,1 | 8 | 57 | 9,30 |
| 1164 | Daday | Sarıçam | Çsed3 | 400 | 24 | 600 | 31,5 | 8 | 53 | 8,34 |
| 1165 | Daday | Sarıçam | Çsed3 | 400 | 37 | 925 | 25,8 | 8 | 40 | 9,51 |
| 1166 | Daday | Sarıçam | Çsed3 | 400 | 26 | 650 | 29,9 | 10 | 61 | 8,32 |
| 1167 | Daday | Sarıçam | Çsed3 | 400 | 24 | 600 | 31,2 | 15 | 48 | 8,20 |
| 1168 | Daday | Sarıçam | Çsed3 | 400 | 17 | 425 | 34,7 | 28 | 46 | 6,83 |
| 1169 | İhsangazi | Kirazlıtepe | Çsed3 | 400 | 23 | 575 | 31,4 | 10 | 45 | 7,92 |
| 1170 | Karadere | Kaşcılar | Çsed3 | 400 | 28 | 700 | 29,3 | 8 | 53 | 8,72 |
| 1171 | Taşköprü | Çiftlik | Çsed3 | 400 | 17 | 425 | 33,4 | 9 | 50 | 6,44 |
| 1172 | Taşköprü | Çiftlik | Çsed3 | 400 | 20 | 500 | 35,1 | 23 | 53 | 8,16 |
| 1173 | Taşköprü | Çiftlik | Çsed3 | 400 | 19 | 475 | 31,3 | 8 | 53 | 6,53 |
| 1174 | Taşköprü | Çiftlik | Çsed3 | 400 | 31 | 775 | 25,5 | 8 | 50 | 7,85 |
| 1175 | Taşköprü | Çiftlik | Çsed3 | 400 | 33 | 825 | 24,8 | 8 | 52 | 8,01 |
| 1176 | Taşköprü | Düzdağ | Çsed3 | 400 | 26 | 650 | 30,4 | 14 | 47 | 8,56 |
| 1177 | Taşköprü | Kırkçam | Çsed3 | 400 | 30 | 750 | 27,5 | 8 | 54 | 8,48 |
| 1178 | Taşköprü | Kırkçam | Çsed3 | 400 | 23 | 575 | 28,9 | 8 | 46 | 7,00 |
| 1179 | Taşköprü | Kırkçam | Çsed3 | 400 | 21 | 525 | 30,4 | 11 | 58 | 6,91 |
| 1180 | Taşköprü | Koçanlı | Çsed3 | 400 | 25 | 625 | 30,9 | 13 | 46 | 8,41 |
| 1181 | Taşköprü | Koçanlı | Çsed3 | 400 | 29 | 725 | 24,0 | 8 | 56 | 6,71 |
| 1182 | Taşköprü | Koçanlı | Çsed3 | 400 | 31 | 775 | 23,0 | 10 | 40 | 6,71 |
| 1183 | Taşköprü | Koçanlı | Çsed3 | 400 | 30 | 750 | 28,1 | 8 | 63 | 8,79 |
| 1184 | Taşköprü | Koçanlı | Çsed3 | 400 | 12 | 300 | 31,6 | 12 | 48 | 4,18 |
| 1185 | Taşköprü | Saraycık | Çsed3 | 400 | 18 | 450 | 34,8 | 8 | 61 | 7,24 |
| 1186 | Taşköprü | Saraycık | Çsed3 | 400 | 19 | 475 | 34,0 | 9 | 50 | 7,40 |
| 1187 | Taşköprü | Saraycık | Çsed3 | 400 | 36 | 900 | 21,2 | 8 | 40 | 6,88 |
| 1188 | Taşköprü | Saraycık | Çsed3 | 400 | 25 | 625 | 27,6 | 8 | 51 | 7,10 |
| 1189 | Taşköprü | Saraycık | Çsed3 | 400 | 21 | 525 | 31,1 | 8 | 54 | 7,16 |
| 1190 | Taşköprü | Saraycık | Çsed3 | 400 | 15 | 375 | 31,7 | 8 | 54 | 5,25 |
| 1191 | Tosya | Kösdağ | Çsed3 | 400 | 22 | 550 | 33,6 | 9 | 59 | 8,41 |
| 1192 | Araç | Dereyayla | Çsd1 | 800 | 9 | 113 | 44,7 | 36 | 55 | 2,64 |
| 1193 | Araç | Dereyayla | Çsd1 | 800 | 7 | 88 | 49,2 | 44 | 54 | 2,37 |
| 1194 | Araç | Dereyayla | Çsd1 | 800 | 6 | 75 | 38,9 | 28 | 49 | 1,43 |
| 1195 | Daday | Ballıdağ | Çsd1 | 800 | 4 | 50 | 40,2 | 36 | 45 | 1,00 |
| 1196 | Taşköprü | Çiftlik | Çsd1 | 600 | 14 | 233 | 34,7 | 9 | 65 | 3,74 |
| 1197 | Taşköprü | Düzdağ | Çsd1 | 800 | 17 | 213 | 39,5 | 8 | 82 | 4,14 |
| 1198 | Taşköprü | Düzdağ | Çsd1 | 800 | 23 | 288 | 30,6 | 8 | 58 | 3,82 |
| 1199 | Taşköprü | Bayam | Çsd1 | 800 | 4 | 50 | 42,3 | 38 | 46 | 1,08 |
| 1200 | Taşköprü | Sarıkaya | Çsd1 | 800 | 13 | 163 | 45,2 | 9 | 74 | 3,88 |
| 1201 | Araç | Dereyayla | Çsd2 | 600 | 14 | 233 | 40,5 | 8 | 63 | 4,73 |
| 1202 | Araç | Dereyayla | Çsd2 | 600 | 18 | 300 | 40,1 | 18 | 62 | 5,97 |
| 1203 | Araç | Dereyayla | Çsd2 | 600 | 23 | 383 | 42,9 | 9 | 59 | 8,46 |
| 1204 | Daday | Sarıçam | Çsd2 | 400 | 15 | 375 | 37,3 | 20 | 57 | 6,71 |

Tablo 3.4. 'ün devamı

| Örnek Alan No | Orman İşletme Müdürlüğü | Orman İşletme Şefliği | Meşcere Tipi | Örnek Alan Büyüklüğü (m ²) | Ağaç Sayısı (n) | Ağaç Sayısı (N/ha) | Orta Çap (cm) | Minimum Çap (cm) | Maksimum Çap (cm) | Sıklık |
|---------------|-------------------------|-----------------------|--------------|--|-----------------|--------------------|---------------|------------------|-------------------|--------|
| 1205 | Daday | Sarıçam | Çsd2 | 600 | 18 | 300 | 37,6 | 9 | 59 | 5,43 |
| 1206 | Daday | Sarıçam | Çsd2 | 600 | 20 | 333 | 32,5 | 8 | 53 | 4,84 |
| 1207 | Taşköprü | Bayam | Çsd2 | 600 | 9 | 150 | 38,1 | 8 | 45 | 2,77 |
| 1208 | Taşköprü | Bayam | Çsd2 | 800 | 13 | 163 | 44,7 | 19 | 62 | 3,81 |
| 1209 | Taşköprü | Bayam | Çsd2 | 600 | 14 | 233 | 35,1 | 10 | 52 | 3,82 |
| 1210 | Taşköprü | Bayam | Çsd2 | 600 | 16 | 267 | 35,4 | 15 | 43 | 4,42 |
| 1211 | Taşköprü | Bayam | Çsd2 | 600 | 16 | 267 | 38,5 | 11 | 56 | 4,99 |
| 1212 | Taşköprü | Çiftlik | Çsd2 | 600 | 13 | 217 | 43,1 | 24 | 55 | 4,80 |
| 1213 | Taşköprü | Çiftlik | Çsd2 | 600 | 27 | 450 | 35,9 | 9 | 54 | 7,61 |
| 1214 | Taşköprü | Dikmen | Çsd2 | 600 | 32 | 533 | 38,4 | 18 | 55 | 9,98 |
| 1215 | Taşköprü | Saraycık | Çsd2 | 600 | 15 | 250 | 42,8 | 22 | 54 | 5,49 |
| 1216 | Taşköprü | Saraycık | Çsd2 | 800 | 18 | 225 | 39,1 | 25 | 47 | 4,31 |
| 1217 | Taşköprü | Saraycık | Çsd2 | 600 | 18 | 300 | 36,6 | 8 | 57 | 5,21 |
| 1218 | Taşköprü | Saraycık | Çsd2 | 600 | 15 | 250 | 45,0 | 8 | 72 | 5,93 |
| 1219 | Taşköprü | Saraycık | Çsd2 | 600 | 12 | 200 | 44,4 | 8 | 55 | 4,64 |
| 1220 | Taşköprü | Saraycık | Çsd2 | 600 | 25 | 417 | 38,1 | 25 | 58 | 7,70 |
| 1221 | Taşköprü | Saraycık | Çsd2 | 600 | 13 | 217 | 48,1 | 36 | 62 | 5,67 |
| 1222 | Taşköprü | Sarıkaya | Çsd2 | 600 | 24 | 400 | 37,3 | 12 | 53 | 7,17 |
| 1223 | Taşköprü | Sarıkaya | Çsd2 | 600 | 18 | 300 | 42,1 | 17 | 60 | 6,43 |
| 1224 | Taşköprü | Saraycık | Çsd2 | 600 | 18 | 300 | 34,4 | 8 | 51 | 4,75 |
| 1225 | Tosya | Kösdağ | Çsd2 | 600 | 20 | 333 | 38,4 | 25 | 50 | 6,24 |
| 1226 | Çatalzeytin | Karacakaya | Çsd3 | 600 | 25 | 417 | 35,9 | 8 | 52 | 7,04 |
| 1227 | Çatalzeytin | Karacakaya | Çsd3 | 600 | 21 | 350 | 41,6 | 15 | 58 | 7,38 |
| 1228 | Çatalzeytin | Karacakaya | Çsd3 | 400 | 31 | 775 | 31,1 | 8 | 48 | 10,54 |
| 1229 | Taşköprü | Çiftlik | Çsd3 | 600 | 12 | 200 | 42,9 | 31 | 54 | 4,41 |
| 1230 | Taşköprü | Çiftlik | Çsd3 | 400 | 15 | 375 | 40,7 | 8 | 54 | 7,64 |
| 1231 | Taşköprü | Çiftlik | Çsd3 | 400 | 20 | 500 | 34,3 | 9 | 49 | 7,90 |
| 1232 | Taşköprü | Saraycık | Çsd3 | 400 | 12 | 300 | 38,5 | 10 | 52 | 5,63 |
| 1233 | Taşköprü | Saraycık | Çsd3 | 400 | 23 | 575 | 27,5 | 8 | 42 | 6,51 |
| 1234 | Taşköprü | Saraycık | Çsd3 | 400 | 19 | 475 | 33,3 | 8 | 52 | 7,18 |
| 1235 | Taşköprü | Saraycık | Çsd3 | 600 | 24 | 400 | 35,0 | 8 | 50 | 6,50 |
| 1236 | Taşköprü | Saraycık | Çsd3 | 600 | 20 | 333 | 38,5 | 9 | 52 | 6,25 |
| 1237 | Taşköprü | Saraycık | Çsd3 | 800 | 22 | 275 | 32,1 | 14 | 50 | 3,93 |
| 1238 | Taşköprü | Saraycık | Çsd3 | 400 | 11 | 275 | 34,8 | 24 | 53 | 4,43 |
| 1239 | Taşköprü | Saraycık | Çsd3 | 600 | 15 | 250 | 45,5 | 33 | 54 | 6,03 |
| 1240 | Taşköprü | Saraycık | Çsd3 | 400 | 16 | 400 | 28,4 | 17 | 42 | 4,75 |
| 1241 | Taşköprü | Saraycık | Çsd3 | 400 | 17 | 425 | 37,4 | 8 | 46 | 7,62 |
| 1242 | Taşköprü | Saraycık | Çsd3 | 400 | 19 | 475 | 33,6 | 8 | 46 | 7,28 |
| 1243 | Taşköprü | Saraycık | Çsd3 | 400 | 15 | 375 | 31,8 | 8 | 52 | 5,28 |

Tablo 3.5. Örnek alanlara ilişkin bilgiler (II. Bonitet)

| Örnek Alan No | Orman İşletme Müdürlüğü | Orman İşletme Şefliği | Meşcere Tipi | Örnek Alan Büyüklüğü (m ²) | Ağaç Sayısı (n) | Ağaç Sayısı (N/ha) | Orta Çap (cm) | Minimum Çap (cm) | Maksimum Çap (cm) | Sıklık |
|---------------|-------------------------|-----------------------|--------------|--|-----------------|--------------------|---------------|------------------|-------------------|--------|
| 2001 | Taşköprü | Çiftlik | Çsb1 | 800 | 29 | 363 | 12,4 | 8 | 19 | 1,24 |
| 2002 | Taşköprü | Koçanlı | Çsb1 | 800 | 27 | 338 | 11,6 | 8 | 22 | 1,05 |
| 2003 | İnebolu | Gemiciler | Çsb2 | 400 | 28 | 700 | 14,3 | 8 | 20 | 2,98 |
| 2004 | Tosya | Kösdağ | Çsb2 | 800 | 24 | 300 | 18,9 | 15 | 24 | 1,93 |
| 2005 | Tosya | Kösdağ | Çsb2 | 600 | 26 | 433 | 14,2 | 8 | 18 | 1,81 |
| 2006 | Araç | Dereyayla | Çsb3 | 400 | 66 | 1650 | 11,8 | 8 | 18 | 5,25 |
| 2007 | Araç | Dereyayla | Çsb3 | 400 | 36 | 900 | 15,8 | 10 | 20 | 4,44 |
| 2008 | Araç | Dereyayla | Çsb3 | 400 | 75 | 1875 | 9,8 | 8 | 14 | 4,48 |
| 2009 | Araç | Dereyayla | Çsb3 | 400 | 49 | 1225 | 12,2 | 8 | 20 | 4,12 |
| 2010 | Bozkurt | Şeyhşaban | Çsb3 | 400 | 54 | 1350 | 11,1 | 8 | 18 | 3,92 |
| 2011 | Bozkurt | Şeyhşaban | Çsb3 | 400 | 63 | 1575 | 10,7 | 8 | 17 | 4,30 |
| 2012 | Daday | Ballıdağ | Çsb3 | 400 | 41 | 1025 | 14,4 | 8 | 22 | 4,38 |
| 2013 | Daday | Çamlıbel | Çsb3 | 400 | 78 | 1950 | 10,0 | 8 | 15 | 4,83 |
| 2014 | Daday | Çamlıbel | Çsb3 | 400 | 86 | 2150 | 14,8 | 8 | 28 | 9,59 |
| 2015 | Daday | Sarıçam | Çsb3 | 400 | 43 | 1075 | 15,8 | 9 | 27 | 5,29 |
| 2016 | Daday | Sarıçam | Çsb3 | 400 | 55 | 1375 | 16,3 | 10 | 25 | 7,11 |
| 2017 | Daday | Sarıçam | Çsb3 | 400 | 82 | 2050 | 12,5 | 8 | 20 | 7,07 |
| 2018 | Daday | Savaş | Çsb3 | 400 | 44 | 1100 | 13,9 | 8 | 22 | 4,50 |
| 2019 | Daday | Savaş | Çsb3 | 400 | 44 | 1100 | 16,8 | 9 | 28 | 5,96 |
| 2020 | Karadere | Akkaya | Çsb3 | 400 | 43 | 1075 | 11,1 | 8 | 18 | 3,12 |
| 2021 | Karadere | Akkaya | Çsb3 | 400 | 69 | 1725 | 13,0 | 8 | 20 | 6,35 |
| 2022 | Karadere | Akkaya | Çsb3 | 400 | 90 | 2250 | 11,6 | 8 | 26 | 7,00 |
| 2023 | Karadere | Akkaya | Çsb3 | 400 | 70 | 1750 | 13,6 | 8 | 21 | 6,87 |
| 2024 | Karadere | Kadıdağı | Çsb3 | 400 | 21 | 525 | 16,2 | 10 | 22 | 2,68 |
| 2025 | Karadere | Karadere | Çsb3 | 400 | 73 | 1825 | 11,4 | 8 | 18 | 5,54 |
| 2026 | Karadere | Karadere | Çsb3 | 400 | 53 | 1325 | 15,2 | 8 | 21 | 6,19 |
| 2027 | Karadere | Karadere | Çsb3 | 400 | 54 | 1350 | 14,8 | 8 | 23 | 6,01 |
| 2028 | Samatlar | Kartalsuyu | Çsb3 | 400 | 69 | 1725 | 11,6 | 8 | 16 | 5,33 |
| 2029 | Taşköprü | Çiftlik | Çsb3 | 400 | 34 | 850 | 13,1 | 8 | 23 | 3,15 |
| 2030 | Taşköprü | Kırkçam | Çsb3 | 400 | 49 | 1225 | 16,8 | 8 | 22 | 6,62 |
| 2031 | Taşköprü | Koçanlı | Çsb3 | 400 | 67 | 1675 | 14,3 | 8 | 22 | 7,08 |
| 2032 | Taşköprü | Koçanlı | Çsb3 | 400 | 55 | 1375 | 12,8 | 8 | 28 | 4,95 |
| 2033 | Taşköprü | Koçanlı | Çsb3 | 400 | 62 | 1550 | 13,3 | 8 | 19 | 5,87 |
| 2034 | Taşköprü | Koçanlı | Çsb3 | 400 | 48 | 1200 | 12,7 | 8 | 18 | 4,26 |
| 2035 | Tosya | Kösdağ | Çsb3 | 400 | 49 | 1225 | 11,8 | 8 | 18 | 3,92 |
| 2036 | Karadere | Kadıdağı | Çsbc1 | 400 | 12 | 300 | 18,9 | 8 | 35 | 1,94 |
| 2037 | Karadere | Karadere | Çsbc1 | 400 | 28 | 700 | 12,1 | 8 | 21 | 2,31 |
| 2038 | Kastamonu | Kuzyaka | Çsbc1 | 600 | 18 | 300 | 15,1 | 8 | 26 | 1,38 |
| 2039 | Kastamonu | Kuzyaka | Çsbc1 | 600 | 18 | 300 | 24,0 | 9 | 32 | 2,77 |
| 2040 | Küre | Şenlik | Çsbc1 | 600 | 20 | 333 | 21,1 | 8 | 44 | 2,53 |
| 2041 | Küre | Şenlik | Çsbc1 | 800 | 12 | 150 | 22,1 | 12 | 27 | 1,22 |
| 2042 | Küre | Şenlik | Çsbc1 | 600 | 21 | 350 | 18,5 | 8 | 26 | 2,18 |
| 2043 | Daday | Ballıdağ | Çsbc2 | 600 | 40 | 667 | 18,7 | 8 | 31 | 4,25 |
| 2044 | Daday | Ballıdağ | Çsbc2 | 400 | 37 | 925 | 18,4 | 8 | 44 | 5,72 |
| 2045 | Daday | Ballıdağ | Çsbc2 | 600 | 27 | 450 | 17,0 | 8 | 26 | 2,47 |
| 2046 | Daday | Ballıdağ | Çsbc2 | 600 | 29 | 483 | 17,2 | 8 | 37 | 2,71 |
| 2047 | İhsangazi | Kirazlıtepe | Çsbc2 | 800 | 53 | 663 | 17,2 | 8 | 38 | 3,70 |
| 2048 | Karadere | Kadıdağı | Çsbc2 | 600 | 20 | 333 | 18,3 | 9 | 28 | 2,04 |
| 2049 | Karadere | Kadıdağı | Çsbc2 | 800 | 34 | 425 | 17,7 | 11 | 22 | 2,48 |
| 2050 | Karadere | Kadıdağı | Çsbc2 | 800 | 44 | 550 | 17,7 | 9 | 28 | 3,23 |
| 2051 | Karadere | Karadere | Çsbc2 | 600 | 35 | 583 | 16,6 | 8 | 23 | 3,08 |
| 2052 | Karadere | Kaşcılar | Çsbc2 | 600 | 34 | 567 | 18,1 | 9 | 25 | 3,43 |
| 2053 | Karadere | Kaşcılar | Çsbc2 | 800 | 40 | 500 | 18,6 | 8 | 33 | 3,15 |
| 2054 | Kastamonu | Kuzyaka | Çsbc2 | 600 | 38 | 633 | 16,2 | 8 | 38 | 3,24 |
| 2055 | Kastamonu | Kuzyaka | Çsbc2 | 600 | 19 | 317 | 24,0 | 8 | 39 | 2,92 |
| 2056 | Küre | Şenlik | Çsbc2 | 400 | 31 | 775 | 14,9 | 8 | 33 | 3,50 |
| 2057 | Taşköprü | Çiftlik | Çsbc2 | 600 | 37 | 617 | 20,2 | 10 | 31 | 4,39 |
| 2058 | Taşköprü | Çiftlik | Çsbc2 | 800 | 35 | 438 | 17,4 | 8 | 34 | 2,49 |
| 2059 | Taşköprü | Çiftlik | Çsbc2 | 600 | 28 | 467 | 17,3 | 8 | 27 | 2,64 |
| 2060 | Taşköprü | Çiftlik | Çsbc2 | 400 | 104 | 2600 | 10,9 | 8 | 17 | 7,37 |
| 2061 | Taşköprü | Koçanlı | Çsbc2 | 800 | 9 | 113 | 23,3 | 10 | 39 | 1,00 |
| 2062 | Tosya | Çiçekli | Çsbc2 | 600 | 32 | 533 | 22,9 | 8 | 43 | 4,58 |
| 2063 | Tosya | Dedemdağ | Çsbc2 | 600 | 21 | 350 | 22,2 | 8 | 40 | 2,87 |
| 2064 | Tosya | Tosya | Çsbc2 | 600 | 41 | 683 | 15,9 | 9 | 30 | 3,39 |
| 2065 | Tosya | Tosya | Çsbc2 | 600 | 35 | 583 | 20,3 | 9 | 33 | 4,19 |
| 2066 | Araç | Dereyayla | Çsbc3 | 400 | 35 | 875 | 17,8 | 8 | 48 | 5,17 |
| 2067 | Araç | Dereyayla | Çsbc3 | 400 | 40 | 1000 | 15,5 | 8 | 23 | 4,79 |
| 2068 | Daday | Daday | Çsbc3 | 400 | 45 | 1125 | 19,4 | 8 | 42 | 7,52 |

Tablo 3.5.'in devamı

| Örnek Alan No | Orman İşletme Müdürlüğü | Orman İşletme Şefliği | Meşçere Tipi | Örnek Alan Büyüklüğü (m ²) | Ağaç Sayısı (n) | Ağaç Sayısı (N/ha) | Orta Çap (cm) | Minimum Çap (cm) | Maksimum Çap (cm) | Sıklık |
|---------------|-------------------------|-----------------------|--------------|--|-----------------|--------------------|---------------|------------------|-------------------|--------|
| 2069 | İnebolu | İnebolu | Çsbc3 | 400 | 57 | 1425 | 16,6 | 8 | 27 | 7,56 |
| 2070 | Karadere | Akkaya | Çsbc3 | 400 | 48 | 1200 | 17,7 | 8 | 26 | 7,00 |
| 2071 | Karadere | Akkaya | Çsbc3 | 400 | 65 | 1625 | 14,7 | 8 | 22 | 7,17 |
| 2072 | Karadere | Akkaya | Çsbc3 | 400 | 44 | 1100 | 19,1 | 8 | 36 | 7,23 |
| 2073 | Karadere | Akkaya | Çsbc3 | 400 | 49 | 1225 | 13,6 | 8 | 23 | 4,84 |
| 2074 | Karadere | Kadıdağı | Çsbc3 | 400 | 30 | 750 | 18,4 | 8 | 27 | 4,66 |
| 2075 | Karadere | Kadıdağı | Çsbc3 | 400 | 68 | 1700 | 19,4 | 8 | 45 | 11,38 |
| 2076 | Karadere | Karadere | Çsbc3 | 400 | 55 | 1375 | 18,3 | 8 | 31 | 8,46 |
| 2077 | Karadere | Karadere | Çsbc3 | 400 | 29 | 725 | 20,7 | 8 | 31 | 5,36 |
| 2078 | Karadere | Karadere | Çsbc3 | 400 | 31 | 775 | 19,8 | 8 | 47 | 5,36 |
| 2079 | Karadere | Karadere | Çsbc3 | 400 | 28 | 700 | 12,1 | 8 | 21 | 2,31 |
| 2080 | Karadere | Karadere | Çsbc3 | 400 | 44 | 1100 | 17,0 | 8 | 27 | 6,06 |
| 2081 | Karadere | Karadere | Çsbc3 | 400 | 55 | 1375 | 14,5 | 8 | 26 | 5,99 |
| 2082 | Karadere | Karadere | Çsbc3 | 400 | 70 | 1750 | 17,5 | 8 | 29 | 10,05 |
| 2083 | Küre | Ağlı | Çsbc3 | 400 | 43 | 1075 | 20,1 | 9 | 34 | 7,63 |
| 2084 | Küre | Şenlik | Çsbc3 | 400 | 44 | 1100 | 14,7 | 8 | 29 | 4,89 |
| 2085 | Küre | Şenlik | Çsbc3 | 400 | 32 | 800 | 20,8 | 8 | 31 | 5,94 |
| 2086 | Taşköprü | Bayam | Çsbc3 | 400 | 44 | 1100 | 19,0 | 8 | 34 | 7,16 |
| 2087 | Taşköprü | Çiftlik | Çsbc3 | 400 | 55 | 1375 | 11,4 | 8 | 19 | 4,13 |
| 2088 | Taşköprü | Çiftlik | Çsbc3 | 400 | 52 | 1300 | 23,7 | 8 | 45 | 11,75 |
| 2089 | Taşköprü | Çiftlik | Çsbc3 | 400 | 46 | 1150 | 16,7 | 8 | 25 | 6,14 |
| 2090 | Taşköprü | Dikmen | Çsbc3 | 400 | 25 | 625 | 15,4 | 8 | 40 | 2,95 |
| 2091 | Taşköprü | Düzdağ | Çsbc3 | 400 | 57 | 1425 | 19,1 | 11 | 28 | 9,31 |
| 2092 | Taşköprü | Koçanlı | Çsbc3 | 400 | 41 | 1025 | 15,8 | 8 | 24 | 5,06 |
| 2093 | Taşköprü | Koçanlı | Çsbc3 | 400 | 53 | 1325 | 14,7 | 8 | 55 | 5,83 |
| 2094 | Taşköprü | Koçanlı | Çsbc3 | 400 | 38 | 950 | 22,2 | 8 | 40 | 7,77 |
| 2095 | Tosya | Tosya | Çsbc3 | 400 | 39 | 975 | 21,5 | 8 | 37 | 7,63 |
| 2096 | Taşköprü | Çiftlik | Çsc1 | 800 | 26 | 325 | 16,7 | 8 | 25 | 1,75 |
| 2097 | Taşköprü | Çiftlik | Çsc1 | 800 | 36 | 450 | 19,5 | 8 | 30 | 3,05 |
| 2098 | Taşköprü | Çiftlik | Çsc1 | 600 | 24 | 400 | 27,2 | 8 | 46 | 4,46 |
| 2099 | Taşköprü | Çiftlik | Çsc1 | 600 | 14 | 233 | 21,2 | 8 | 49 | 1,78 |
| 2100 | Tosya | Tosya | Çsc1 | 600 | 21 | 350 | 19,9 | 8 | 42 | 2,44 |
| 2101 | Daday | Ballıdağ | Çsc2 | 400 | 24 | 600 | 22,6 | 8 | 38 | 5,06 |
| 2102 | Daday | Ballıdağ | Çsc2 | 600 | 33 | 550 | 20,8 | 8 | 30 | 4,08 |
| 2103 | Daday | Ballıdağ | Çsc2 | 600 | 23 | 383 | 27,0 | 23 | 37 | 4,22 |
| 2104 | Daday | Ballıdağ | Çsc2 | 600 | 37 | 617 | 23,5 | 8 | 48 | 5,53 |
| 2105 | Daday | Ballıdağ | Çsc2 | 600 | 13 | 217 | 27,9 | 19 | 43 | 2,51 |
| 2106 | Daday | Ballıdağ | Çsc2 | 600 | 18 | 300 | 29,5 | 10 | 40 | 3,77 |
| 2107 | Daday | Ballıdağ | Çsc2 | 600 | 26 | 433 | 23,3 | 8 | 42 | 3,83 |
| 2108 | Daday | Daday | Çsc2 | 600 | 26 | 433 | 27,3 | 11 | 39 | 4,85 |
| 2109 | Daday | Daday | Çsc2 | 600 | 25 | 417 | 28,7 | 8 | 48 | 5,04 |
| 2110 | Daday | Daday | Çsc2 | 400 | 27 | 675 | 21,2 | 9 | 34 | 5,18 |
| 2111 | Daday | Daday | Çsc2 | 600 | 33 | 550 | 26,4 | 16 | 37 | 5,84 |
| 2112 | Daday | Daday | Çsc2 | 600 | 28 | 467 | 26,1 | 8 | 38 | 4,90 |
| 2113 | Daday | Daday | Çsc2 | 600 | 50 | 833 | 20,8 | 9 | 36 | 6,20 |
| 2114 | Daday | Daday | Çsc2 | 600 | 37 | 617 | 20,1 | 8 | 44 | 4,38 |
| 2115 | Karadere | Kadıdağı | Çsc2 | 600 | 26 | 433 | 24,5 | 8 | 36 | 4,12 |
| 2116 | Karadere | Kadıdağı | Çsc2 | 800 | 38 | 475 | 23,5 | 9 | 36 | 4,25 |
| 2117 | Taşköprü | Bayam | Çsc2 | 600 | 19 | 317 | 23,1 | 8 | 40 | 2,75 |
| 2118 | Taşköprü | Bayam | Çsc2 | 400 | 9 | 225 | 27,8 | 8 | 38 | 2,59 |
| 2119 | Taşköprü | Bayam | Çsc2 | 600 | 18 | 300 | 21,5 | 8 | 31 | 2,34 |
| 2120 | Taşköprü | Bayam | Çsc2 | 600 | 18 | 300 | 23,4 | 8 | 52 | 2,66 |
| 2121 | Taşköprü | Çiftlik | Çsc2 | 600 | 13 | 217 | 29,9 | 17 | 39 | 2,79 |
| 2122 | Taşköprü | Çiftlik | Çsc2 | 600 | 14 | 233 | 20,8 | 11 | 32 | 1,73 |
| 2123 | Taşköprü | Çiftlik | Çsc2 | 800 | 26 | 325 | 21,2 | 8 | 38 | 2,49 |
| 2124 | Taşköprü | Çiftlik | Çsc2 | 600 | 30 | 500 | 19,2 | 8 | 27 | 3,29 |
| 2125 | Taşköprü | Çiftlik | Çsc2 | 600 | 12 | 200 | 19,6 | 8 | 35 | 1,37 |
| 2126 | Taşköprü | Düzdağ | Çsc2 | 600 | 35 | 583 | 22,9 | 9 | 37 | 5,03 |
| 2127 | Taşköprü | Düzdağ | Çsc2 | 400 | 22 | 550 | 23,3 | 9 | 45 | 4,86 |
| 2128 | Taşköprü | Düzdağ | Çsc2 | 600 | 25 | 417 | 27,0 | 14 | 45 | 4,59 |
| 2129 | Taşköprü | Düzdağ | Çsc2 | 600 | 17 | 283 | 29,0 | 15 | 43 | 3,48 |
| 2130 | Taşköprü | Düzdağ | Çsc2 | 800 | 27 | 338 | 21,6 | 8 | 39 | 2,66 |
| 2131 | Araç | Dereyayla | Çsc3 | 400 | 32 | 800 | 24,0 | 8 | 35 | 7,39 |
| 2132 | Daday | Ballıdağ | Çsc3 | 400 | 43 | 1075 | 19,8 | 8 | 36 | 7,42 |
| 2133 | Daday | Ballıdağ | Çsc3 | 400 | 26 | 650 | 20,6 | 8 | 31 | 4,76 |
| 2134 | Daday | Ballıdağ | Çsc3 | 400 | 31 | 775 | 25,6 | 9 | 38 | 7,89 |
| 2135 | Daday | Daday | Çsc3 | 400 | 46 | 1150 | 24,6 | 8 | 40 | 10,99 |
| 2136 | Daday | Sarıçam | Çsc3 | 400 | 41 | 1025 | 21,1 | 13 | 35 | 7,81 |

Tablo 3.5. 'in devamı

| Örnek Alan No | Orman İşletme Müdürlüğü | Orman İşletme Şefliği | Meşcere Tipi | Örnek Alan Büyüklüğü (m ²) | Ağaç Sayısı (n) | Ağaç Sayısı (N/ha) | Orta Çap (cm) | Minimum Çap (cm) | Maksimum Çap (cm) | Sıklık |
|---------------|-------------------------|-----------------------|--------------|--|-----------------|--------------------|---------------|------------------|-------------------|--------|
| 2137 | Daday | Sarıçam | Çsc3 | 400 | 39 | 975 | 21,8 | 8 | 46 | 7,78 |
| 2138 | Karadere | Kadıdağı | Çsc3 | 400 | 26 | 650 | 23,2 | 10 | 45 | 5,72 |
| 2139 | Karadere | Karadere | Çsc3 | 400 | 33 | 825 | 21,0 | 8 | 43 | 6,25 |
| 2140 | Karadere | Karadere | Çsc3 | 400 | 24 | 600 | 25,5 | 20 | 34 | 6,06 |
| 2141 | Karadere | Kaşçılar | Çsc3 | 400 | 29 | 725 | 21,7 | 9 | 30 | 5,74 |
| 2142 | Karadere | Kaşçılar | Çsc3 | 400 | 35 | 875 | 23,6 | 9 | 33 | 7,86 |
| 2143 | Samatlar | Kartalsuyu | Çsc3 | 600 | 27 | 450 | 27,4 | 12 | 35 | 5,07 |
| 2144 | Taşköprü | Bayam | Çsc3 | 400 | 24 | 600 | 26,3 | 15 | 38 | 6,36 |
| 2145 | Taşköprü | Bayam | Çsc3 | 400 | 33 | 825 | 20,2 | 8 | 38 | 5,86 |
| 2146 | Taşköprü | Bayam | Çsc3 | 400 | 33 | 825 | 20,2 | 8 | 37 | 5,89 |
| 2147 | Taşköprü | Bayam | Çsc3 | 400 | 26 | 650 | 25,8 | 8 | 54 | 6,70 |
| 2148 | Taşköprü | Bayam | Çsc3 | 400 | 40 | 1000 | 20,1 | 8 | 40 | 7,05 |
| 2149 | Taşköprü | Bayam | Çsc3 | 400 | 34 | 850 | 26,0 | 13 | 36 | 8,85 |
| 2150 | Taşköprü | Çiftlik | Çsc3 | 400 | 35 | 875 | 24,2 | 9 | 45 | 8,16 |
| 2151 | Taşköprü | Çiftlik | Çsc3 | 400 | 20 | 500 | 30,2 | 9 | 49 | 6,53 |
| 2152 | Taşköprü | Çiftlik | Çsc3 | 400 | 36 | 900 | 25,0 | 13 | 35 | 8,82 |
| 2153 | Taşköprü | Çiftlik | Çsc3 | 400 | 29 | 725 | 17,3 | 9 | 28 | 4,10 |
| 2154 | Taşköprü | Dikmen | Çsc3 | 400 | 25 | 625 | 26,8 | 10 | 43 | 6,81 |
| 2155 | Taşköprü | Dikmen | Çsc3 | 400 | 26 | 650 | 20,2 | 8 | 29 | 4,64 |
| 2156 | Taşköprü | Düzdağ | Çsc3 | 400 | 40 | 1000 | 20,7 | 13 | 28 | 7,41 |
| 2157 | Taşköprü | Düzdağ | Çsc3 | 400 | 39 | 975 | 22,8 | 11 | 36 | 8,34 |
| 2158 | Taşköprü | Kırççam | Çsc3 | 400 | 24 | 600 | 16,4 | 8 | 28 | 3,12 |
| 2159 | Taşköprü | Koçanlı | Çsc3 | 400 | 34 | 850 | 24,4 | 9 | 47 | 8,05 |
| 2160 | Taşköprü | Koçanlı | Çsc3 | 400 | 25 | 625 | 26,9 | 12 | 44 | 6,84 |
| 2161 | Araç | Dereyayla | Çscd1 | 600 | 14 | 233 | 36,8 | 9 | 55 | 4,10 |
| 2162 | Araç | Dereyayla | Çscd1 | 800 | 29 | 363 | 26,4 | 12 | 41 | 3,86 |
| 2163 | Araç | Dereyayla | Çscd1 | 800 | 23 | 288 | 31,5 | 10 | 54 | 3,98 |
| 2164 | Çatalzeytin | Karacakaya | Çscd1 | 800 | 14 | 175 | 38,8 | 25 | 51 | 3,32 |
| 2165 | Daday | Ballıdağ | Çscd1 | 600 | 13 | 217 | 22,7 | 8 | 47 | 1,84 |
| 2166 | Daday | Daday | Çscd1 | 600 | 17 | 283 | 31,3 | 25 | 43 | 3,89 |
| 2167 | Daday | Daday | Çscd1 | 800 | 29 | 363 | 27,0 | 8 | 83 | 3,99 |
| 2168 | Daday | Sarıçam | Çscd1 | 800 | 20 | 250 | 32,4 | 8 | 60 | 3,63 |
| 2169 | Daday | Sarıçam | Çscd1 | 800 | 15 | 188 | 25,0 | 9 | 46 | 1,84 |
| 2170 | Daday | Savaş | Çscd1 | 800 | 18 | 225 | 37,0 | 19 | 51 | 3,98 |
| 2171 | Daday | Savaş | Çscd1 | 600 | 17 | 283 | 36,7 | 19 | 52 | 4,95 |
| 2172 | Daday | Savaş | Çscd1 | 800 | 20 | 250 | 20,0 | 8 | 59 | 1,76 |
| 2173 | Karadere | Akkaya | Çscd1 | 800 | 22 | 275 | 24,0 | 8 | 46 | 2,54 |
| 2174 | Karadere | Kadıdağı | Çscd1 | 800 | 24 | 300 | 26,6 | 9 | 44 | 3,23 |
| 2175 | Taşköprü | Çiftlik | Çscd1 | 800 | 35 | 438 | 27,0 | 10 | 72 | 4,82 |
| 2176 | Taşköprü | Düzdağ | Çscd1 | 800 | 12 | 150 | 35,9 | 11 | 55 | 2,53 |
| 2177 | Taşköprü | Düzdağ | Çscd1 | 800 | 20 | 250 | 34,9 | 9 | 50 | 4,05 |
| 2178 | Taşköprü | Düzdağ | Çscd1 | 800 | 14 | 175 | 30,5 | 10 | 48 | 2,32 |
| 2179 | Taşköprü | Düzdağ | Çscd1 | 800 | 17 | 213 | 29,2 | 8 | 50 | 2,64 |
| 2180 | Taşköprü | Kırççam | Çscd1 | 800 | 9 | 113 | 28,1 | 8 | 43 | 1,32 |
| 2181 | Taşköprü | Kırççam | Çscd1 | 800 | 12 | 150 | 39,7 | 24 | 58 | 2,94 |
| 2182 | Taşköprü | Koçanlı | Çscd1 | 800 | 23 | 288 | 26,3 | 10 | 48 | 3,05 |
| 2183 | Taşköprü | Koçanlı | Çscd1 | 800 | 15 | 188 | 40,6 | 9 | 68 | 3,81 |
| 2184 | Taşköprü | Koçanlı | Çscd1 | 800 | 24 | 300 | 31,7 | 16 | 62 | 4,20 |
| 2185 | Taşköprü | Koçanlı | Çscd1 | 800 | 15 | 188 | 27,8 | 9 | 57 | 2,16 |
| 2186 | Tosya | Akseki | Çscd1 | 600 | 23 | 383 | 27,7 | 8 | 49 | 4,38 |
| 2187 | Tosya | Çiçekli | Çscd1 | 800 | 13 | 163 | 40,4 | 10 | 53 | 3,28 |
| 2188 | Tosya | Dedemdağ | Çscd1 | 800 | 16 | 200 | 39,7 | 13 | 54 | 3,93 |
| 2189 | Tosya | Tosya | Çscd1 | 800 | 9 | 113 | 27,0 | 10 | 45 | 1,24 |
| 2190 | Araç | Dereyayla | Çscd2 | 600 | 23 | 383 | 28,3 | 8 | 48 | 4,53 |
| 2191 | Çatalzeytin | Karacakaya | Çscd2 | 600 | 24 | 400 | 37,2 | 19 | 49 | 7,11 |
| 2192 | Daday | Ballıdağ | Çscd2 | 600 | 20 | 333 | 27,5 | 8 | 46 | 3,78 |
| 2193 | Daday | Çamlıbel | Çscd2 | 600 | 25 | 417 | 27,9 | 8 | 67 | 4,82 |
| 2194 | Daday | Daday | Çscd2 | 600 | 24 | 400 | 31,2 | 20 | 54 | 5,47 |
| 2195 | Daday | Sarıçam | Çscd2 | 600 | 31 | 517 | 27,7 | 8 | 41 | 5,90 |
| 2196 | Daday | Sarıçam | Çscd2 | 600 | 26 | 433 | 32,1 | 12 | 47 | 6,20 |
| 2197 | Hanönü | Günlüburun | Çscd2 | 600 | 31 | 517 | 28,4 | 9 | 61 | 6,14 |
| 2198 | İnebolu | İnebolu | Çscd2 | 600 | 39 | 650 | 21,8 | 8 | 32 | 5,20 |
| 2199 | Karadere | Kadıdağı | Çscd2 | 600 | 15 | 250 | 37,1 | 17 | 47 | 4,44 |
| 2200 | Karadere | Karadere | Çscd2 | 600 | 10 | 167 | 39,0 | 10 | 52 | 3,19 |
| 2201 | Karadere | Kaşçılar | Çscd2 | 600 | 28 | 467 | 28,1 | 8 | 67 | 5,45 |
| 2202 | Kastamonu | Kuzyaka | Çscd2 | 600 | 21 | 350 | 34,2 | 21 | 48 | 5,49 |
| 2203 | Kastamonu | Kuzyaka | Çscd2 | 600 | 32 | 533 | 24,5 | 10 | 39 | 5,08 |
| 2204 | Samatlar | Kartalsuyu | Çscd2 | 600 | 40 | 667 | 25,8 | 8 | 50 | 6,86 |

Tablo 3.5. 'in devamı

| Örnek Alan No | Orman İşletme Müdürlüğü | Orman İşletme Şefliği | Meşcere Tipi | Örnek Alan Büyüklüğü (m ²) | Ağaç Sayısı (n) | Ağaç Sayısı (N/ha) | Orta Çap (cm) | Minimum Çap (cm) | Maksimum Çap (cm) | Sıklık |
|---------------|-------------------------|-----------------------|--------------|--|-----------------|--------------------|---------------|------------------|-------------------|--------|
| 2205 | Taşköprü | Bayam | Çscd2 | 600 | 21 | 350 | 28,6 | 9 | 37 | 4,20 |
| 2206 | Taşköprü | Bayam | Çscd2 | 600 | 31 | 517 | 27,3 | 8 | 50 | 5,77 |
| 2207 | Taşköprü | Bayam | Çscd2 | 600 | 17 | 283 | 25,5 | 8 | 53 | 2,87 |
| 2208 | Taşköprü | Bayam | Çscd2 | 600 | 18 | 300 | 30,2 | 8 | 45 | 3,91 |
| 2209 | Taşköprü | Çiftlik | Çscd2 | 600 | 16 | 267 | 32,3 | 9 | 65 | 3,84 |
| 2210 | Taşköprü | Düzdağ | Çscd2 | 600 | 30 | 500 | 27,0 | 8 | 46 | 5,51 |
| 2211 | Taşköprü | Kırkçam | Çscd2 | 600 | 20 | 333 | 35,8 | 9 | 57 | 5,61 |
| 2212 | Taşköprü | Koçanlı | Çscd2 | 600 | 24 | 400 | 28,1 | 8 | 44 | 4,67 |
| 2213 | Taşköprü | Koçanlı | Çscd2 | 600 | 20 | 333 | 39,0 | 8 | 69 | 6,38 |
| 2214 | Tosya | Akseki | Çscd2 | 600 | 23 | 383 | 32,4 | 12 | 50 | 5,54 |
| 2215 | Tosya | Çiçekli | Çscd2 | 600 | 34 | 567 | 29,5 | 8 | 46 | 7,13 |
| 2216 | Tosya | Kösdağ | Çscd2 | 600 | 26 | 433 | 31,3 | 9 | 54 | 5,94 |
| 2217 | Tosya | Kösdağ | Çscd2 | 600 | 25 | 417 | 28,4 | 9 | 49 | 4,96 |
| 2218 | Tosya | Tosya | Çscd2 | 600 | 11 | 183 | 27,8 | 10 | 42 | 2,10 |
| 2219 | Tosya | Tosya | Çscd2 | 600 | 30 | 500 | 24,0 | 8 | 45 | 4,60 |
| 2220 | Araç | Dereyayla | Çscd3 | 400 | 26 | 650 | 29,1 | 18 | 50 | 8,00 |
| 2221 | Araç | Dereyayla | Çscd3 | 400 | 29 | 725 | 26,5 | 8 | 55 | 7,78 |
| 2222 | Daday | Ballıdağ | Çscd3 | 400 | 34 | 850 | 28,6 | 15 | 52 | 10,22 |
| 2223 | Daday | Sarıçam | Çscd3 | 400 | 45 | 1125 | 23,0 | 17 | 32 | 9,75 |
| 2224 | Karadere | Akkaya | Çscd3 | 600 | 24 | 400 | 38,7 | 24 | 52 | 7,57 |
| 2225 | Karadere | Akkaya | Çscd3 | 600 | 28 | 467 | 30,8 | 8 | 50 | 6,26 |
| 2226 | Karadere | Akkaya | Çscd3 | 400 | 53 | 1325 | 20,9 | 8 | 42 | 9,96 |
| 2227 | Karadere | Kadıdağı | Çscd3 | 400 | 28 | 700 | 24,2 | 9 | 44 | 6,53 |
| 2228 | Karadere | Kadıdağı | Çscd3 | 400 | 24 | 600 | 26,4 | 14 | 53 | 6,38 |
| 2229 | Karadere | Kadıdağı | Çscd3 | 400 | 20 | 500 | 38,1 | 8 | 59 | 9,22 |
| 2230 | Karadere | Kadıdağı | Çscd3 | 400 | 23 | 575 | 34,3 | 10 | 55 | 9,07 |
| 2231 | Karadere | Karadere | Çscd3 | 400 | 33 | 825 | 27,6 | 11 | 46 | 9,39 |
| 2232 | Karadere | Karadere | Çscd3 | 400 | 35 | 875 | 35,3 | 8 | 52 | 14,38 |
| 2233 | Karadere | Karadere | Çscd3 | 400 | 18 | 450 | 41,6 | 14 | 59 | 9,48 |
| 2234 | Karadere | Karadere | Çscd3 | 400 | 30 | 750 | 27,8 | 11 | 49 | 8,63 |
| 2235 | Karadere | Karadere | Çscd3 | 400 | 35 | 875 | 22,1 | 8 | 64 | 7,15 |
| 2236 | Karadere | Karadere | Çscd3 | 400 | 27 | 675 | 26,5 | 10 | 40 | 7,22 |
| 2237 | Kastamonu | Bostan | Çscd3 | 600 | 32 | 533 | 31,9 | 8 | 59 | 7,55 |
| 2238 | Kastamonu | Kastamonu | Çscd3 | 400 | 21 | 525 | 31,6 | 9 | 44 | 7,32 |
| 2239 | Kastamonu | Kastamonu | Çscd3 | 400 | 29 | 725 | 25,8 | 16 | 49 | 7,48 |
| 2240 | Taşköprü | Bayam | Çscd3 | 400 | 21 | 525 | 30,6 | 8 | 50 | 6,96 |
| 2241 | Taşköprü | Çiftlik | Çscd3 | 400 | 27 | 675 | 22,5 | 9 | 43 | 5,65 |
| 2242 | Taşköprü | Çiftlik | Çscd3 | 400 | 28 | 700 | 27,6 | 8 | 48 | 7,99 |
| 2243 | Taşköprü | Koçanlı | Çscd3 | 400 | 25 | 625 | 29,9 | 17 | 41 | 8,04 |
| 2244 | Taşköprü | Koçanlı | Çscd3 | 400 | 25 | 625 | 26,1 | 8 | 57 | 6,54 |
| 2245 | Taşköprü | Koçanlı | Çscd3 | 400 | 23 | 575 | 31,2 | 8 | 63 | 7,85 |
| 2246 | Tosya | Kösdağ | Çscd3 | 400 | 31 | 775 | 23,5 | 13 | 39 | 6,92 |
| 2247 | Tosya | Tosya | Çscd3 | 400 | 30 | 750 | 24,8 | 8 | 42 | 7,27 |
| 2248 | Tosya | Tosya | Çscd3 | 400 | 30 | 750 | 25,5 | 8 | 42 | 7,58 |
| 2249 | Tosya | Tosya | Çscd3 | 600 | 28 | 467 | 34,0 | 16 | 51 | 7,25 |
| 2250 | Bozkurt | Şeyhşaban | Çsd1 | 800 | 10 | 125 | 40,5 | 19 | 50 | 2,53 |
| 2251 | Bozkurt | Şeyhşaban | Çsd1 | 800 | 11 | 138 | 43,2 | 18 | 51 | 3,07 |
| 2252 | Bozkurt | Şeyhşaban | Çsd1 | 600 | 9 | 150 | 41,8 | 35 | 52 | 3,18 |
| 2253 | Çatalzeytin | Karacakaya | Çsd1 | 800 | 8 | 100 | 55,4 | 12 | 70 | 3,24 |
| 2254 | Çatalzeytin | Karacakaya | Çsd1 | 600 | 24 | 400 | 30,9 | 13 | 45 | 5,40 |
| 2255 | Çatalzeytin | Karacakaya | Çsd1 | 800 | 10 | 125 | 39,4 | 8 | 67 | 2,43 |
| 2256 | Daday | Ballıdağ | Çsd1 | 800 | 11 | 138 | 32,7 | 14 | 46 | 2,02 |
| 2257 | Daday | Ballıdağ | Çsd1 | 800 | 6 | 75 | 47,3 | 36 | 56 | 1,91 |
| 2258 | Daday | Ballıdağ | Çsd1 | 800 | 7 | 88 | 55,2 | 46 | 67 | 2,82 |
| 2259 | Karadere | Kadıdağı | Çsd1 | 800 | 12 | 150 | 43,7 | 33 | 55 | 3,40 |
| 2260 | Karadere | Kadıdağı | Çsd1 | 800 | 13 | 163 | 39,4 | 32 | 46 | 3,15 |
| 2261 | Karadere | Kadıdağı | Çsd1 | 800 | 19 | 238 | 39,2 | 32 | 50 | 4,58 |
| 2262 | Karadere | Kadıdağı | Çsd1 | 800 | 8 | 100 | 41,5 | 30 | 47 | 2,10 |
| 2263 | Karadere | Kadıdağı | Çsd1 | 600 | 9 | 150 | 32,6 | 9 | 45 | 2,19 |
| 2264 | Karadere | Kadıdağı | Çsd1 | 600 | 13 | 217 | 35,1 | 8 | 70 | 3,53 |
| 2265 | Karadere | Kadıdağı | Çsd1 | 400 | 13 | 325 | 33,9 | 8 | 55 | 5,04 |
| 2266 | Taşköprü | Çiftlik | Çsd1 | 800 | 14 | 175 | 42,3 | 8 | 55 | 3,78 |
| 2267 | Taşköprü | Çiftlik | Çsd1 | 800 | 13 | 163 | 44,2 | 35 | 53 | 3,75 |
| 2268 | Taşköprü | Düzdağ | Çsd1 | 800 | 10 | 125 | 47,7 | 36 | 59 | 3,24 |
| 2269 | Taşköprü | Düzdağ | Çsd1 | 800 | 6 | 75 | 45,8 | 22 | 59 | 1,82 |
| 2270 | Taşköprü | Koçanlı | Çsd1 | 800 | 5 | 63 | 55,9 | 45 | 59 | 2,05 |
| 2271 | Taşköprü | Sarıkaya | Çsd1 | 800 | 9 | 113 | 50,5 | 21 | 70 | 3,17 |
| 2272 | Taşköprü | Sarıkaya | Çsd1 | 800 | 7 | 88 | 62,6 | 37 | 84 | 3,40 |

Tablo 3.5. 'in devamı

| Örnek Alan No | Orman İşletme Müdürlüğü | Orman İşletme Şefliği | Meşcere Tipi | Örnek Alan Büyüklüğü (m ²) | Ağaç Sayısı (n) | Ağaç Sayısı (N/ha) | Orta Çap (cm) | Minimum Çap (cm) | Maksimum Çap (cm) | Sıklık |
|---------------|-------------------------|-----------------------|--------------|--|-----------------|--------------------|---------------|------------------|-------------------|--------|
| 2273 | Taşköprü | Sarıkaya | Çsd1 | 800 | 16 | 200 | 41,8 | 17 | 62 | 4,24 |
| 2274 | Araç | Dereyayla | Çsd2 | 800 | 12 | 150 | 48,7 | 33 | 70 | 4,00 |
| 2275 | Çatalzeytin | Karacakaya | Çsd2 | 600 | 21 | 350 | 41,6 | 17 | 59 | 7,37 |
| 2276 | Çatalzeytin | Karacakaya | Çsd2 | 600 | 37 | 617 | 29,4 | 8 | 63 | 7,73 |
| 2277 | Daday | Daday | Çsd2 | 800 | 20 | 250 | 40,5 | 10 | 54 | 5,06 |
| 2278 | Daday | Sarıçam | Çsd2 | 600 | 22 | 367 | 35,5 | 17 | 46 | 6,09 |
| 2279 | Daday | Sarıçam | Çsd2 | 600 | 16 | 267 | 35,5 | 9 | 47 | 4,42 |
| 2280 | Daday | Sarıçam | Çsd2 | 600 | 14 | 233 | 38,3 | 10 | 49 | 4,35 |
| 2281 | Daday | Savaş | Çsd2 | 800 | 16 | 200 | 38,8 | 10 | 49 | 3,79 |
| 2282 | Daday | Savaş | Çsd2 | 800 | 18 | 225 | 44,4 | 23 | 59 | 5,22 |
| 2283 | Daday | Savaş | Çsd2 | 800 | 11 | 138 | 49,9 | 36 | 61 | 3,80 |
| 2284 | Daday | Savaş | Çsd2 | 800 | 16 | 200 | 37,3 | 10 | 54 | 3,57 |
| 2285 | Hanönü | Günlüburun | Çsd2 | 800 | 23 | 288 | 35,3 | 12 | 59 | 4,73 |
| 2286 | Hanönü | Günlüburun | Çsd2 | 600 | 23 | 383 | 37,6 | 17 | 60 | 6,93 |
| 2287 | Hanönü | Günlüburun | Çsd2 | 600 | 29 | 483 | 35,1 | 14 | 65 | 7,88 |
| 2288 | Hanönü | Hanönü | Çsd2 | 400 | 18 | 450 | 31,6 | 12 | 55 | 6,28 |
| 2289 | Taşköprü | Bayam | Çsd2 | 600 | 15 | 250 | 38,7 | 21 | 58 | 4,72 |
| 2290 | Taşköprü | Bayam | Çsd2 | 400 | 20 | 500 | 32,8 | 10 | 60 | 7,38 |
| 2291 | Taşköprü | Bayam | Çsd2 | 600 | 21 | 350 | 29,9 | 9 | 51 | 4,48 |
| 2292 | Taşköprü | Bayam | Çsd2 | 600 | 25 | 417 | 35,1 | 13 | 57 | 6,82 |
| 2293 | Taşköprü | Bayam | Çsd2 | 800 | 12 | 150 | 33,8 | 9 | 48 | 2,32 |
| 2294 | Taşköprü | Çiftlik | Çsd2 | 600 | 12 | 200 | 49,7 | 10 | 66 | 5,49 |
| 2295 | Taşköprü | Çiftlik | Çsd2 | 600 | 12 | 200 | 37,6 | 12 | 57 | 3,62 |
| 2296 | Taşköprü | Dikmen | Çsd2 | 600 | 17 | 283 | 37,2 | 10 | 48 | 5,04 |
| 2297 | Taşköprü | Düzdağ | Çsd2 | 800 | 23 | 288 | 34,1 | 8 | 50 | 4,49 |
| 2298 | Taşköprü | Düzdağ | Çsd2 | 800 | 14 | 175 | 47,0 | 23 | 64 | 4,43 |
| 2299 | Taşköprü | Düzdağ | Çsd2 | 600 | 32 | 533 | 24,5 | 8 | 46 | 5,07 |
| 2300 | Taşköprü | Sarıkaya | Çsd2 | 600 | 12 | 200 | 39,2 | 24 | 51 | 3,85 |
| 2301 | Tosya | Kösdağ | Çsd2 | 800 | 22 | 275 | 33,5 | 9 | 49 | 4,19 |
| 2302 | Tosya | Kösdağ | Çsd2 | 800 | 17 | 213 | 40,0 | 19 | 55 | 4,22 |
| 2303 | Tosya | Tosya | Çsd2 | 800 | 15 | 188 | 41,8 | 8 | 72 | 3,98 |
| 2304 | Karadere | Karadere | Çsd3 | 600 | 9 | 150 | 44,5 | 11 | 68 | 3,49 |
| 2305 | Taşköprü | Çiftlik | Çsd3 | 400 | 17 | 425 | 34,9 | 19 | 44 | 6,87 |
| 2306 | Tosya | Kösdağ | Çsd3 | 800 | 20 | 250 | 47,5 | 36 | 61 | 6,43 |
| 2307 | Tosya | Kösdağ | Çsd3 | 600 | 24 | 400 | 38,1 | 10 | 53 | 7,38 |
| 2308 | Tosya | Kösdağ | Çsd3 | 400 | 16 | 400 | 43,6 | 9 | 65 | 9,05 |
| 2309 | Tosya | Kösdağ | Çsd3 | 600 | 19 | 317 | 38,1 | 8 | 64 | 5,86 |
| 2310 | Tosya | Kösdağ | Çsd3 | 600 | 25 | 417 | 34,1 | 9 | 56 | 6,51 |
| 2311 | Tosya | Kösdağ | Çsd3 | 600 | 16 | 267 | 41,0 | 17 | 57 | 5,50 |
| 2312 | Tosya | Kösdağ | Çsd3 | 600 | 17 | 283 | 39,3 | 8 | 53 | 5,47 |
| 2313 | Tosya | Kösdağ | Çsd3 | 600 | 18 | 300 | 43,6 | 13 | 62 | 6,79 |
| 2314 | Tosya | Kösdağ | Çsd3 | 800 | 27 | 338 | 42,6 | 12 | 66 | 7,36 |
| 2315 | Tosya | Kösdağ | Çsd3 | 600 | 22 | 367 | 36,6 | 14 | 61 | 6,37 |
| 2316 | Tosya | Kösdağ | Çsd3 | 400 | 24 | 600 | 27,8 | 11 | 56 | 6,92 |
| 2317 | Tosya | Kösdağ | Çsd3 | 600 | 26 | 433 | 37,3 | 12 | 54 | 7,74 |
| 2318 | Tosya | Tosya | Çsd3 | 600 | 37 | 617 | 36,7 | 9 | 50 | 10,77 |
| 2319 | Tosya | Tosya | Çsd3 | 600 | 41 | 683 | 32,9 | 9 | 57 | 10,12 |
| 2320 | Tosya | Tosya | Çsd3 | 600 | 45 | 750 | 36,5 | 9 | 68 | 12,97 |
| 2321 | Tosya | Tosya | Çsd3 | 600 | 31 | 517 | 35,2 | 12 | 58 | 8,48 |
| 2322 | Tosya | Tosya | Çsd3 | 400 | 26 | 650 | 36,1 | 11 | 68 | 11,08 |
| 2323 | Tosya | Tosya | Çsd3 | 600 | 62 | 1033 | 32,0 | 8 | 56 | 14,67 |
| 2324 | Tosya | Tosya | Çsd3 | 600 | 46 | 767 | 34,5 | 8 | 65 | 12,18 |

Tablo 3.6. Örnek alanlara ilişkin bilgiler (III. Bonitet)

| Örnek Alan No | Orman İşletme Müdürlüğü | Orman İşletme Şefliği | Meşçere Tipi | Örnek Alan Büyüklüğü (m ²) | Ağaç Sayısı (n) | Ağaç Sayısı (N/ha) | Orta Çap (cm) | Minimum Çap (cm) | Maksimum Çap (cm) | Sıklık |
|---------------|-------------------------|-----------------------|--------------|--|-----------------|--------------------|---------------|------------------|-------------------|--------|
| 3001 | İhsangazi | Eceler | Çsb2 | 600 | 31 | 517 | 15,3 | 9 | 22 | 2,44 |
| 3002 | İhsangazi | Eceler | Çsb2 | 600 | 25 | 417 | 14,0 | 8 | 23 | 1,72 |
| 3003 | Tosya | Kösdağ | Çsb2 | 400 | 30 | 750 | 10,2 | 8 | 17 | 1,93 |
| 3004 | Tosya | Kösdağ | Çsb2 | 400 | 27 | 675 | 11,9 | 8 | 17 | 2,19 |
| 3005 | Tosya | Kösdağ | Çsb2 | 400 | 27 | 675 | 9,7 | 8 | 13 | 1,61 |
| 3006 | Tosya | Kösdağ | Çsb2 | 800 | 32 | 400 | 16,7 | 9 | 28 | 2,14 |
| 3007 | Tosya | Kösdağ | Çsb2 | 400 | 22 | 550 | 14,6 | 10 | 23 | 2,40 |
| 3008 | Tosya | Kösdağ | Çsb2 | 600 | 24 | 400 | 10,5 | 8 | 16 | 1,07 |
| 3009 | Tosya | Kösdağ | Çsb2 | 600 | 30 | 500 | 11,6 | 8 | 17 | 1,55 |
| 3010 | Araç | Karkalmaz | Çsb3 | 400 | 98 | 2450 | 10,7 | 8 | 15 | 6,77 |
| 3011 | Bozkurt | Bozkurt | Çsb3 | 400 | 54 | 1350 | 11,6 | 8 | 23 | 4,19 |
| 3012 | Bozkurt | Bozkurt | Çsb3 | 400 | 56 | 1400 | 12,7 | 8 | 20 | 4,98 |
| 3013 | Bozkurt | Bozkurt | Çsb3 | 400 | 47 | 1175 | 12,7 | 8 | 19 | 4,16 |
| 3014 | Bozkurt | Bozkurt | Çsb3 | 400 | 83 | 2075 | 12,0 | 8 | 24 | 6,74 |
| 3015 | Daday | Savaş | Çsb3 | 400 | 79 | 1975 | 11,4 | 8 | 19 | 5,98 |
| 3016 | Karadere | Akkaya | Çsb3 | 600 | 48 | 800 | 13,4 | 8 | 24 | 3,07 |
| 3017 | Karadere | Akkaya | Çsb3 | 600 | 43 | 717 | 11,4 | 8 | 18 | 2,18 |
| 3018 | Karadere | Kadıdağı | Çsb3 | 400 | 39 | 975 | 13,6 | 8 | 23 | 3,83 |
| 3019 | Karadere | Kadıdağı | Çsb3 | 400 | 47 | 1175 | 11,4 | 8 | 15 | 3,54 |
| 3020 | Karadere | Kadıdağı | Çsb3 | 400 | 57 | 1425 | 12,4 | 8 | 18 | 4,86 |
| 3021 | Karadere | Karadere | Çsb3 | 400 | 36 | 900 | 15,1 | 8 | 25 | 4,13 |
| 3022 | Karadere | Karadere | Çsb3 | 400 | 53 | 1325 | 12,5 | 8 | 22 | 4,58 |
| 3023 | Karadere | Karadere | Çsb3 | 400 | 43 | 1075 | 13,0 | 8 | 32 | 3,94 |
| 3024 | Kastamonu | Bostan | Çsb3 | 400 | 49 | 1225 | 12,9 | 8 | 28 | 4,46 |
| 3025 | Kastamonu | Değirmenciler | Çsb3 | 400 | 32 | 800 | 13,0 | 8 | 30 | 2,95 |
| 3026 | Küre | Ağlı | Çsb3 | 400 | 50 | 1250 | 11,3 | 8 | 21 | 3,73 |
| 3027 | Küre | Ağlı | Çsb3 | 400 | 46 | 1150 | 14,0 | 8 | 25 | 4,74 |
| 3028 | Küre | Devrekani | Çsb3 | 400 | 30 | 750 | 12,8 | 8 | 19 | 2,71 |
| 3029 | Küre | Devrekani | Çsb3 | 400 | 40 | 1000 | 11,6 | 8 | 17 | 3,10 |
| 3030 | Küre | Şenlik | Çsb3 | 400 | 41 | 1025 | 13,5 | 8 | 25 | 4,00 |
| 3031 | Taşköprü | Karatepe | Çsb3 | 400 | 33 | 825 | 15,5 | 9 | 20 | 3,95 |
| 3032 | Taşköprü | Koçanlı | Çsb3 | 600 | 29 | 483 | 14,4 | 8 | 23 | 2,08 |
| 3033 | Tosya | Çiçekli | Çsb3 | 400 | 28 | 700 | 11,6 | 8 | 19 | 2,17 |
| 3034 | Tosya | Dedemdağ | Çsb3 | 600 | 44 | 733 | 15,7 | 8 | 34 | 3,59 |
| 3035 | Tosya | Kösdağ | Çsb3 | 400 | 29 | 725 | 15,4 | 9 | 23 | 3,45 |
| 3036 | Tosya | Kösdağ | Çsb3 | 400 | 39 | 975 | 10,9 | 8 | 14 | 2,75 |
| 3037 | Tosya | Kösdağ | Çsb3 | 400 | 27 | 675 | 15,3 | 10 | 19 | 3,18 |
| 3038 | Tosya | Tosya | Çsb3 | 400 | 27 | 675 | 14,6 | 9 | 20 | 2,96 |
| 3039 | Tosya | Tosya | Çsb3 | 400 | 24 | 600 | 19,1 | 9 | 26 | 3,94 |
| 3040 | Karadere | Kadıdağı | Çsbc1 | 600 | 30 | 500 | 15,8 | 8 | 28 | 2,47 |
| 3041 | Karadere | Kadıdağı | Çsbc1 | 600 | 19 | 317 | 16,4 | 8 | 24 | 1,66 |
| 3042 | Karadere | Kadıdağı | Çsbc1 | 800 | 32 | 400 | 17,6 | 10 | 24 | 2,31 |
| 3043 | Karadere | Kadıdağı | Çsbc1 | 800 | 17 | 213 | 18,7 | 8 | 28 | 1,35 |
| 3044 | Karadere | Karadere | Çsbc1 | 800 | 14 | 175 | 23,1 | 11 | 39 | 1,53 |
| 3045 | Karadere | Karadere | Çsbc1 | 800 | 15 | 188 | 20,0 | 13 | 28 | 1,32 |
| 3046 | Karadere | Karadere | Çsbc1 | 600 | 19 | 317 | 16,5 | 8 | 23 | 1,67 |
| 3047 | Karadere | Kaşçılar | Çsbc1 | 800 | 13 | 163 | 21,2 | 8 | 28 | 1,25 |
| 3048 | Karadere | Kaşçılar | Çsbc1 | 400 | 12 | 300 | 18,9 | 8 | 35 | 1,94 |
| 3049 | Karadere | Kaşçılar | Çsbc1 | 600 | 19 | 317 | 16,4 | 8 | 24 | 1,66 |
| 3050 | Kastamonu | Bostan | Çsbc1 | 800 | 16 | 200 | 22,9 | 8 | 53 | 1,72 |
| 3051 | Kastamonu | Bostan | Çsbc1 | 800 | 17 | 213 | 18,7 | 8 | 28 | 1,35 |
| 3052 | Kastamonu | Bostan | Çsbc1 | 600 | 19 | 317 | 16,4 | 8 | 24 | 1,66 |
| 3053 | Kastamonu | Kuzyaka | Çsbc1 | 600 | 16 | 267 | 18,0 | 8 | 33 | 1,60 |
| 3054 | Kastamonu | Kuzyaka | Çsbc1 | 800 | 15 | 188 | 18,6 | 8 | 28 | 1,19 |
| 3055 | Kastamonu | Kuzyaka | Çsbc1 | 600 | 19 | 317 | 16,2 | 8 | 30 | 1,61 |
| 3056 | Kastamonu | Kuzyaka | Çsbc1 | 800 | 13 | 163 | 21,1 | 10 | 33 | 1,23 |
| 3057 | Kastamonu | Kuzyaka | Çsbc1 | 600 | 19 | 317 | 12,5 | 8 | 21 | 1,10 |
| 3058 | Küre | Devrekani | Çsbc1 | 600 | 20 | 333 | 21,1 | 8 | 44 | 2,53 |
| 3059 | Küre | Devrekani | Çsbc1 | 800 | 21 | 263 | 16,9 | 8 | 42 | 1,43 |
| 3060 | Küre | Devrekani | Çsbc1 | 600 | 29 | 483 | 15,7 | 9 | 27 | 2,37 |
| 3061 | Küre | Devrekani | Çsbc1 | 800 | 9 | 113 | 23,4 | 11 | 38 | 1,00 |
| 3062 | Küre | Devrekani | Çsbc1 | 400 | 37 | 925 | 12,2 | 8 | 21 | 3,11 |
| 3063 | Küre | Şenlik | Çsbc1 | 600 | 29 | 483 | 15,7 | 9 | 27 | 2,37 |
| 3064 | Küre | Şenlik | Çsbc1 | 800 | 21 | 263 | 16,9 | 8 | 42 | 1,43 |
| 3065 | Küre | Şenlik | Çsbc1 | 400 | 37 | 925 | 12,2 | 8 | 21 | 3,11 |
| 3066 | Küre | Şenlik | Çsbc1 | 600 | 36 | 600 | 15,5 | 8 | 31 | 2,86 |
| 3067 | Karadere | Kadıdağı | Çsbc2 | 800 | 24 | 300 | 21,3 | 8 | 33 | 2,31 |
| 3068 | Karadere | Kadıdağı | Çsbc2 | 400 | 15 | 375 | 21,9 | 8 | 34 | 3,02 |

Tablo 3.6.'nın devamı

| Örnek Alan No | Orman İşletme Müdürlüğü | Orman İşletme Şefliği | Meşçere Tipi | Örnek Alan Büyüklüğü (m ²) | Ağaç Sayısı (n) | Ağaç Sayısı (N/ha) | Orta Çap (cm) | Minimum Çap (cm) | Maksimum Çap (cm) | Sıklık |
|---------------|-------------------------|-----------------------|--------------|--|-----------------|--------------------|---------------|------------------|-------------------|--------|
| 3069 | Karadere | Karadere | Çsbc2 | 600 | 19 | 317 | 16,5 | 8 | 23 | 1,67 |
| 3070 | Kastamonu | Bostan | Çsbc2 | 600 | 38 | 633 | 16,4 | 8 | 30 | 3,29 |
| 3071 | Kastamonu | Değirmenciler | Çsbc2 | 600 | 25 | 417 | 18,3 | 8 | 31 | 2,55 |
| 3072 | Kastamonu | Gölköy | Çsbc2 | 600 | 66 | 1100 | 12,6 | 8 | 19 | 3,87 |
| 3073 | Kastamonu | Gölköy | Çsbc2 | 600 | 26 | 433 | 24,1 | 17 | 36 | 4,04 |
| 3074 | Kastamonu | Gölköy | Çsbc2 | 600 | 17 | 283 | 24,2 | 8 | 35 | 2,65 |
| 3075 | Kastamonu | Gölköy | Çsbc2 | 600 | 25 | 417 | 22,7 | 11 | 32 | 3,53 |
| 3076 | Kastamonu | Gölköy | Çsbc2 | 600 | 57 | 950 | 13,4 | 8 | 23 | 3,65 |
| 3077 | Kastamonu | Gölköy | Çsbc2 | 600 | 26 | 433 | 22,1 | 13 | 29 | 3,53 |
| 3078 | Kastamonu | Gölköy | Çsbc2 | 600 | 16 | 267 | 22,0 | 8 | 37 | 2,16 |
| 3079 | Kastamonu | Kastamonu | Çsbc2 | 400 | 37 | 925 | 16,8 | 8 | 30 | 4,98 |
| 3080 | Kastamonu | Kastamonu | Çsbc2 | 600 | 35 | 583 | 18,1 | 8 | 30 | 3,53 |
| 3081 | Kastamonu | Kastamonu | Çsbc2 | 400 | 16 | 400 | 21,9 | 10 | 31 | 3,22 |
| 3082 | Kastamonu | Kuzyaka | Çsbc2 | 600 | 29 | 483 | 19,1 | 8 | 32 | 3,17 |
| 3083 | Kastamonu | Kuzyaka | Çsbc2 | 600 | 26 | 433 | 21,4 | 8 | 37 | 3,37 |
| 3084 | Küre | Ağlı | Çsbc2 | 600 | 27 | 450 | 19,3 | 8 | 34 | 2,99 |
| 3085 | Küre | Ağlı | Çsbc2 | 600 | 28 | 467 | 21,1 | 8 | 34 | 3,55 |
| 3086 | Küre | Devrekani | Çsbc2 | 600 | 29 | 483 | 19,1 | 8 | 42 | 3,18 |
| 3087 | Küre | Devrekani | Çsbc2 | 600 | 51 | 850 | 13,7 | 8 | 30 | 3,39 |
| 3088 | Küre | Devrekani | Çsbc2 | 600 | 32 | 533 | 16,4 | 8 | 34 | 2,77 |
| 3089 | Küre | Devrekani | Çsbc2 | 600 | 26 | 433 | 14,9 | 8 | 27 | 1,96 |
| 3090 | Küre | Devrekani | Çsbc2 | 600 | 24 | 400 | 19,8 | 9 | 31 | 2,76 |
| 3091 | Küre | Devrekani | Çsbc2 | 600 | 27 | 450 | 14,6 | 8 | 21 | 1,97 |
| 3092 | Küre | Şenlik | Çsbc2 | 600 | 38 | 633 | 18,9 | 8 | 32 | 4,10 |
| 3093 | Küre | Şenlik | Çsbc2 | 400 | 32 | 800 | 16,5 | 8 | 32 | 4,21 |
| 3094 | Küre | Şenlik | Çsbc2 | 400 | 34 | 850 | 15,5 | 8 | 25 | 4,09 |
| 3095 | Tosya | Akseki | Çsbc2 | 600 | 20 | 333 | 19,3 | 12 | 28 | 2,22 |
| 3096 | Tosya | Dedemdağ | Çsbc2 | 600 | 27 | 450 | 20,7 | 9 | 33 | 3,32 |
| 3097 | Bozkurt | Bozkurt | Çsbc3 | 400 | 61 | 1525 | 17,7 | 8 | 36 | 8,88 |
| 3098 | Cide | Güren | Çsbc3 | 400 | 52 | 1300 | 16,0 | 8 | 32 | 6,54 |
| 3099 | Cide | Kızılcasu | Çsbc3 | 400 | 41 | 1025 | 16,9 | 8 | 27 | 5,61 |
| 3100 | Hanönü | Hanönü | Çsbc3 | 400 | 55 | 1375 | 14,3 | 8 | 23 | 5,84 |
| 3101 | Hanönü | Hanönü | Çsbc3 | 400 | 39 | 975 | 17,5 | 8 | 26 | 5,62 |
| 3102 | İhsangazi | İhsangazi | Çsbc3 | 400 | 38 | 950 | 18,9 | 8 | 34 | 6,11 |
| 3103 | Karadere | Kadıdağı | Çsbc3 | 400 | 58 | 1450 | 16,2 | 9 | 25 | 7,41 |
| 3104 | Karadere | Kadıdağı | Çsbc3 | 400 | 56 | 1400 | 15,9 | 8 | 26 | 6,97 |
| 3105 | Karadere | Kadıdağı | Çsbc3 | 400 | 40 | 1000 | 14,7 | 8 | 24 | 4,43 |
| 3106 | Karadere | Kadıdağı | Çsbc3 | 400 | 38 | 950 | 15,9 | 8 | 31 | 4,75 |
| 3107 | Karadere | Kadıdağı | Çsbc3 | 400 | 39 | 975 | 19,5 | 8 | 33 | 6,61 |
| 3108 | Karadere | Karadere | Çsbc3 | 400 | 34 | 850 | 19,9 | 10 | 31 | 5,91 |
| 3109 | Karadere | Karadere | Çsbc3 | 400 | 47 | 1175 | 17,0 | 8 | 31 | 6,48 |
| 3110 | Karadere | Kaşçılar | Çsbc3 | 400 | 37 | 925 | 17,9 | 9 | 30 | 5,48 |
| 3111 | Karadere | Kaşçılar | Çsbc3 | 400 | 60 | 1500 | 14,7 | 8 | 26 | 6,61 |
| 3112 | Karadere | Kaşçılar | Çsbc3 | 400 | 39 | 975 | 17,0 | 9 | 36 | 5,37 |
| 3113 | Kastamonu | Değirmenciler | Çsbc3 | 400 | 30 | 750 | 19,5 | 9 | 30 | 5,06 |
| 3114 | Kastamonu | Kuzyaka | Çsbc3 | 400 | 30 | 750 | 15,9 | 8 | 22 | 3,72 |
| 3115 | Küre | Ağlı | Çsbc3 | 400 | 36 | 900 | 24,7 | 14 | 40 | 8,68 |
| 3116 | Küre | Ağlı | Çsbc3 | 400 | 71 | 1775 | 18,6 | 8 | 37 | 11,16 |
| 3117 | Küre | Devrekani | Çsbc3 | 400 | 57 | 1425 | 17,9 | 8 | 28 | 8,49 |
| 3118 | Küre | Devrekani | Çsbc3 | 400 | 20 | 500 | 25,9 | 16 | 30 | 5,19 |
| 3119 | Küre | Küre | Çsbc3 | 400 | 28 | 700 | 17,2 | 8 | 25 | 3,91 |
| 3120 | Küre | Şenlik | Çsbc3 | 400 | 22 | 550 | 24,0 | 9 | 47 | 5,07 |
| 3121 | Küre | Şenlik | Çsbc3 | 400 | 26 | 650 | 16,7 | 9 | 28 | 3,49 |
| 3122 | Taşköprü | Karatepe | Çsbc3 | 400 | 25 | 625 | 18,0 | 8 | 27 | 3,75 |
| 3123 | Taşköprü | Koçanlı | Çsbc3 | 400 | 48 | 1200 | 15,9 | 8 | 21 | 5,96 |
| 3124 | Tosya | Dedemdağ | Çsbc3 | 400 | 31 | 775 | 20,4 | 11 | 37 | 5,60 |
| 3125 | Tosya | Tosya | Çsbc3 | 400 | 77 | 1925 | 18,0 | 8 | 51 | 11,57 |
| 3126 | Karadere | Handüzü | Çsc1 | 800 | 33 | 413 | 31,4 | 8 | 84 | 5,70 |
| 3127 | Karadere | Karadere | Çsc1 | 600 | 26 | 433 | 25,8 | 9 | 44 | 4,47 |
| 3128 | Karadere | Karadere | Çsc1 | 400 | 6 | 150 | 28,0 | 8 | 48 | 1,75 |
| 3129 | Küre | Şenlik | Çsc1 | 800 | 28 | 350 | 17,6 | 8 | 39 | 2,02 |
| 3130 | Taşköprü | Koçanlı | Çsc1 | 800 | 37 | 463 | 25,8 | 8 | 58 | 4,76 |
| 3131 | Tosya | Çiçekli | Çsc1 | 600 | 8 | 133 | 28,8 | 16 | 46 | 1,62 |
| 3132 | Tosya | Çiçekli | Çsc1 | 800 | 23 | 288 | 28,2 | 9 | 39 | 3,39 |
| 3133 | Tosya | Çiçekli | Çsc1 | 800 | 15 | 188 | 32,3 | 14 | 46 | 2,70 |
| 3134 | Daday | Daday | Çsc2 | 600 | 17 | 283 | 24,1 | 17 | 32 | 2,63 |
| 3135 | Daday | Daday | Çsc2 | 600 | 31 | 517 | 26,7 | 10 | 36 | 5,59 |
| 3136 | Daday | Daday | Çsc2 | 800 | 28 | 350 | 28,3 | 8 | 48 | 4,14 |

Tablo 3.6.'nın devamı

| Örnek Alan No | Orman İşletme Müdürlüğü | Orman İşletme Şefliği | Meşcere Tipi | Örnek Alan Büyüklüğü (m ²) | Ağaç Sayısı (n) | Ağaç Sayısı (N/ha) | Orta Çap (cm) | Minimum Çap (cm) | Maksimum Çap (cm) | Sıklık |
|---------------|-------------------------|-----------------------|--------------|--|-----------------|--------------------|---------------|------------------|-------------------|--------|
| 3137 | Daday | Daday | Çsc2 | 400 | 21 | 525 | 25,0 | 14 | 39 | 5,17 |
| 3138 | Daday | Daday | Çsc2 | 600 | 18 | 300 | 27,2 | 8 | 46 | 3,34 |
| 3139 | Karadere | Kadıdağı | Çsc2 | 800 | 27 | 338 | 22,0 | 12 | 29 | 2,74 |
| 3140 | Karadere | Kadıdağı | Çsc2 | 600 | 23 | 383 | 25,2 | 9 | 34 | 3,80 |
| 3141 | Küre | Ağlı | Çsc2 | 600 | 23 | 383 | 28,1 | 8 | 42 | 4,48 |
| 3142 | Küre | Ağlı | Çsc2 | 800 | 35 | 438 | 26,9 | 9 | 39 | 4,80 |
| 3143 | Küre | Ağlı | Çsc2 | 800 | 15 | 188 | 32,3 | 14 | 46 | 2,70 |
| 3144 | Küre | Ağlı | Çsc2 | 600 | 25 | 417 | 25,0 | 8 | 42 | 4,08 |
| 3145 | Taşköprü | Koçanlı | Çsc2 | 600 | 20 | 333 | 21,7 | 8 | 28 | 2,64 |
| 3146 | Taşköprü | Koçanlı | Çsc2 | 800 | 14 | 175 | 22,6 | 8 | 34 | 1,47 |
| 3147 | Taşköprü | Koçanlı | Çsc2 | 800 | 14 | 175 | 22,8 | 10 | 32 | 1,50 |
| 3148 | Tosya | Dedemdağ | Çsc2 | 800 | 23 | 288 | 28,2 | 9 | 39 | 3,39 |
| 3149 | Tosya | Dedemdağ | Çsc2 | 600 | 23 | 383 | 30,8 | 14 | 38 | 5,13 |
| 3150 | Tosya | Dedemdağ | Çsc2 | 600 | 28 | 467 | 24,2 | 8 | 45 | 4,35 |
| 3151 | Tosya | Kösdağ | Çsc2 | 600 | 24 | 400 | 31,7 | 11 | 62 | 5,61 |
| 3152 | Tosya | Kösdağ | Çsc2 | 800 | 35 | 438 | 31,1 | 8 | 48 | 5,96 |
| 3153 | Tosya | Tosya | Çsc2 | 600 | 30 | 500 | 32,0 | 9 | 57 | 7,10 |
| 3154 | Araç | Dereyayla | Çsc3 | 400 | 44 | 1100 | 23,1 | 8 | 44 | 9,59 |
| 3155 | Bozkurt | Bozkurt | Çsc3 | 400 | 22 | 550 | 22,8 | 8 | 34 | 4,69 |
| 3156 | Bozkurt | Bozkurt | Çsc3 | 400 | 21 | 525 | 21,1 | 9 | 36 | 4,00 |
| 3157 | Bozkurt | Bozkurt | Çsc3 | 400 | 26 | 650 | 16,3 | 8 | 30 | 3,35 |
| 3158 | Bozkurt | Bozkurt | Çsc3 | 400 | 30 | 750 | 24,5 | 8 | 41 | 7,13 |
| 3159 | Bozkurt | Bozkurt | Çsc3 | 400 | 33 | 825 | 21,4 | 10 | 39 | 6,42 |
| 3160 | Bozkurt | Bozkurt | Çsc3 | 400 | 24 | 600 | 16,0 | 8 | 27 | 3,01 |
| 3161 | Bozkurt | Bozkurt | Çsc3 | 400 | 30 | 750 | 20,4 | 8 | 28 | 5,42 |
| 3162 | Bozkurt | Bozkurt | Çsc3 | 400 | 24 | 600 | 20,9 | 8 | 32 | 4,49 |
| 3163 | Daday | Çamlıbel | Çsc3 | 400 | 45 | 1125 | 19,0 | 8 | 35 | 7,29 |
| 3164 | Daday | Sarıçam | Çsc3 | 400 | 36 | 900 | 21,8 | 8 | 34 | 7,21 |
| 3165 | Hanönü | Gökırmak | Çsc3 | 400 | 30 | 750 | 24,6 | 9 | 39 | 7,19 |
| 3166 | Hanönü | Gökırmak | Çsc3 | 400 | 26 | 650 | 26,8 | 9 | 40 | 7,06 |
| 3167 | Hanönü | Kuzalıç | Çsc3 | 400 | 38 | 950 | 24,1 | 12 | 40 | 8,82 |
| 3168 | Karadere | Karadere | Çsc3 | 400 | 34 | 850 | 24,5 | 8 | 37 | 8,08 |
| 3169 | Karadere | Kaşçılar | Çsc3 | 400 | 30 | 750 | 19,7 | 8 | 30 | 5,16 |
| 3170 | Küre | Ağlı | Çsc3 | 400 | 26 | 650 | 28,0 | 15 | 39 | 7,54 |
| 3171 | Küre | Ağlı | Çsc3 | 400 | 19 | 475 | 27,5 | 13 | 40 | 5,37 |
| 3172 | Küre | Ağlı | Çsc3 | 400 | 33 | 825 | 25,4 | 8 | 42 | 8,28 |
| 3173 | Küre | Ağlı | Çsc3 | 400 | 21 | 525 | 31,0 | 18 | 42 | 7,13 |
| 3174 | Küre | Ağlı | Çsc3 | 400 | 36 | 900 | 23,0 | 8 | 46 | 7,77 |
| 3175 | Küre | Devrekani | Çsc3 | 400 | 20 | 500 | 28,7 | 11 | 54 | 6,02 |
| 3176 | Küre | Devrekani | Çsc3 | 400 | 26 | 650 | 21,0 | 8 | 30 | 4,90 |
| 3177 | Küre | Küre | Çsc3 | 400 | 28 | 700 | 23,5 | 8 | 37 | 6,27 |
| 3178 | Küre | Şenlik | Çsc3 | 400 | 28 | 700 | 23,4 | 8 | 35 | 6,22 |
| 3179 | Küre | Şenlik | Çsc3 | 400 | 21 | 525 | 23,6 | 8 | 35 | 4,73 |
| 3180 | Küre | Şenlik | Çsc3 | 400 | 34 | 850 | 20,9 | 8 | 37 | 6,36 |
| 3181 | Taşköprü | Koçanlı | Çsc3 | 400 | 23 | 575 | 26,3 | 16 | 37 | 6,09 |
| 3182 | Tosya | Dedemdağ | Çsc3 | 400 | 42 | 1050 | 18,1 | 8 | 41 | 6,37 |
| 3183 | Tosya | Dedemdağ | Çsc3 | 600 | 39 | 650 | 21,4 | 8 | 34 | 5,06 |
| 3184 | Çatalzeytin | Karacakaya | Çscd1 | 800 | 11 | 138 | 34,5 | 17 | 45 | 2,19 |
| 3185 | Daday | Daday | Çscd1 | 800 | 16 | 200 | 29,3 | 11 | 43 | 2,49 |
| 3186 | Daday | Daday | Çscd1 | 800 | 17 | 213 | 29,3 | 10 | 44 | 2,65 |
| 3187 | Daday | Daday | Çscd1 | 600 | 15 | 250 | 29,6 | 9 | 45 | 3,17 |
| 3188 | Daday | Daday | Çscd1 | 800 | 25 | 313 | 19,5 | 8 | 37 | 2,11 |
| 3189 | Daday | Daday | Çscd1 | 800 | 15 | 188 | 33,5 | 19 | 49 | 2,85 |
| 3190 | Karadere | Karadere | Çscd1 | 600 | 23 | 383 | 21,3 | 8 | 57 | 2,96 |
| 3191 | Karadere | Karadere | Çscd1 | 800 | 24 | 300 | 22,7 | 8 | 48 | 2,56 |
| 3192 | Karadere | Karadere | Çscd1 | 600 | 14 | 233 | 25,8 | 8 | 58 | 2,40 |
| 3193 | Karadere | Karadere | Çscd1 | 600 | 13 | 217 | 22,4 | 8 | 40 | 1,81 |
| 3194 | Kastamonu | Bostan | Çscd1 | 800 | 20 | 250 | 28,4 | 9 | 50 | 2,97 |
| 3195 | Kastamonu | Kastamonu | Çscd1 | 800 | 13 | 163 | 33,8 | 8 | 51 | 2,51 |
| 3196 | Kastamonu | Kuzyaka | Çscd1 | 800 | 19 | 238 | 24,3 | 8 | 38 | 2,23 |
| 3197 | Küre | Ağlı | Çscd1 | 800 | 13 | 163 | 33,5 | 9 | 55 | 2,47 |
| 3198 | Küre | Ağlı | Çscd1 | 800 | 18 | 225 | 35,0 | 23 | 48 | 3,65 |
| 3199 | Küre | Ağlı | Çscd1 | 800 | 14 | 175 | 39,6 | 30 | 50 | 3,42 |
| 3200 | Küre | Ağlı | Çscd1 | 800 | 20 | 250 | 30,6 | 9 | 45 | 3,32 |
| 3201 | Küre | Şenlik | Çscd1 | 800 | 18 | 225 | 29,9 | 9 | 50 | 2,88 |
| 3202 | Taşköprü | Koçanlı | Çscd1 | 600 | 19 | 317 | 32,9 | 8 | 60 | 4,69 |
| 3203 | Tosya | Akseki | Çscd1 | 800 | 14 | 175 | 27,4 | 14 | 41 | 1,97 |
| 3204 | Tosya | Akseki | Çscd1 | 800 | 13 | 163 | 36,2 | 9 | 61 | 2,77 |

Tablo 3.6.'nın devamı

| Örnek Alan No | Orman İşletme Müdürlüğü | Orman İşletme Şefliği | Meşcere Tipi | Örnek Alan Büyüklüğü (m ²) | Ağaç Sayısı (n) | Ağaç Sayısı (N/ha) | Orta Çap (cm) | Minimum Çap (cm) | Maksimum Çap (cm) | Sıklık |
|---------------|-------------------------|-----------------------|--------------|--|-----------------|--------------------|---------------|------------------|-------------------|--------|
| 3205 | Tosya | Dedemdağ | Çscd1 | 800 | 13 | 163 | 31,7 | 24 | 51 | 2,27 |
| 3206 | Tosya | Dedemdağ | Çscd1 | 800 | 20 | 250 | 33,2 | 17 | 52 | 3,75 |
| 3207 | Tosya | Dedemdağ | Çscd1 | 800 | 21 | 263 | 39,1 | 12 | 56 | 5,04 |
| 3208 | Tosya | Dedemdağ | Çscd1 | 800 | 14 | 175 | 34,5 | 8 | 54 | 2,78 |
| 3209 | Tosya | Kösdağ | Çscd1 | 800 | 21 | 263 | 26,4 | 10 | 45 | 2,79 |
| 3210 | Tosya | Kösdağ | Çscd1 | 800 | 24 | 300 | 28,7 | 8 | 58 | 3,62 |
| 3211 | Tosya | Kösdağ | Çscd1 | 800 | 17 | 213 | 34,6 | 17 | 51 | 3,40 |
| 3212 | Tosya | Kösdağ | Çscd1 | 800 | 19 | 238 | 27,7 | 10 | 59 | 2,71 |
| 3213 | Araç | Dereyayla | Çscd2 | 600 | 25 | 417 | 28,0 | 8 | 56 | 4,85 |
| 3214 | Daday | Daday | Çscd2 | 600 | 27 | 450 | 26,5 | 9 | 41 | 4,83 |
| 3215 | Daday | Savaş | Çscd2 | 600 | 25 | 417 | 29,0 | 9 | 46 | 5,10 |
| 3216 | Hanönü | Çatalçam | Çscd2 | 800 | 17 | 213 | 32,4 | 8 | 66 | 3,07 |
| 3217 | Hanönü | Gökırmak | Çscd2 | 600 | 14 | 233 | 34,3 | 13 | 47 | 3,67 |
| 3218 | Hanönü | Gökırmak | Çscd2 | 600 | 27 | 450 | 19,7 | 8 | 48 | 3,09 |
| 3219 | Karadere | Kadıdağı | Çscd2 | 600 | 21 | 350 | 32,3 | 9 | 70 | 5,05 |
| 3220 | Karadere | Karadere | Çscd2 | 600 | 29 | 483 | 26,0 | 9 | 60 | 5,02 |
| 3221 | Karadere | Karadere | Çscd2 | 600 | 18 | 300 | 27,9 | 8 | 52 | 3,46 |
| 3222 | Karadere | Karadere | Çscd2 | 600 | 28 | 467 | 38,5 | 8 | 90 | 8,74 |
| 3223 | Karadere | Karadere | Çscd2 | 600 | 23 | 383 | 37,2 | 9 | 59 | 6,82 |
| 3224 | Kastamonu | Bostan | Çscd2 | 600 | 32 | 533 | 26,8 | 8 | 55 | 5,81 |
| 3225 | Kastamonu | Kuzyaka | Çscd2 | 600 | 16 | 267 | 32,9 | 13 | 46 | 3,95 |
| 3226 | Küre | Ağlı | Çscd2 | 600 | 23 | 383 | 31,7 | 9 | 47 | 5,36 |
| 3227 | Küre | Ağlı | Çscd2 | 600 | 19 | 317 | 38,3 | 22 | 51 | 5,90 |
| 3228 | Küre | Ağlı | Çscd2 | 600 | 32 | 533 | 28,1 | 9 | 50 | 6,22 |
| 3229 | Küre | Devrekani | Çscd2 | 600 | 17 | 283 | 30,8 | 8 | 46 | 3,81 |
| 3230 | Küre | Küre | Çscd2 | 600 | 24 | 400 | 23,0 | 8 | 38 | 3,46 |
| 3231 | Küre | Şenlik | Çscd2 | 600 | 28 | 467 | 30,3 | 8 | 44 | 6,11 |
| 3232 | Küre | Şenlik | Çscd2 | 600 | 26 | 433 | 26,8 | 8 | 52 | 4,71 |
| 3233 | Taşköprü | Koçanlı | Çscd2 | 600 | 18 | 300 | 35,7 | 17 | 53 | 5,02 |
| 3234 | Tosya | Çiçekli | Çscd2 | 600 | 12 | 200 | 29,8 | 10 | 55 | 2,56 |
| 3235 | Tosya | Dedemdağ | Çscd2 | 600 | 22 | 367 | 29,4 | 8 | 50 | 4,59 |
| 3236 | Tosya | Dedemdağ | Çscd2 | 600 | 17 | 283 | 35,8 | 13 | 48 | 4,77 |
| 3237 | Tosya | Kösdağ | Çscd2 | 600 | 21 | 350 | 32,4 | 11 | 43 | 5,06 |
| 3238 | Tosya | Kösdağ | Çscd2 | 600 | 16 | 267 | 33,9 | 13 | 52 | 4,14 |
| 3239 | Tosya | Kösdağ | Çscd2 | 600 | 43 | 717 | 24,0 | 8 | 43 | 6,62 |
| 3240 | Tosya | Kösdağ | Çscd2 | 600 | 17 | 283 | 29,9 | 8 | 40 | 3,64 |
| 3241 | Tosya | Kösdağ | Çscd2 | 600 | 20 | 333 | 31,7 | 15 | 53 | 4,67 |
| 3242 | Tosya | Kösdağ | Çscd2 | 600 | 21 | 350 | 28,1 | 9 | 49 | 4,09 |
| 3243 | Cide | Kızılcasu | Çscd3 | 400 | 45 | 1125 | 21,6 | 9 | 38 | 8,88 |
| 3244 | Daday | Daday | Çscd3 | 400 | 38 | 950 | 25,4 | 8 | 53 | 9,56 |
| 3245 | İhsangazi | Kirazlıtepe | Çscd3 | 400 | 15 | 375 | 29,3 | 11 | 48 | 4,67 |
| 3246 | İhsangazi | Kirazlıtepe | Çscd3 | 400 | 23 | 575 | 38,5 | 8 | 71 | 10,79 |
| 3247 | İhsangazi | Kirazlıtepe | Çscd3 | 400 | 24 | 600 | 26,2 | 12 | 49 | 6,32 |
| 3248 | Karadere | Kadıdağı | Çscd3 | 600 | 37 | 617 | 23,7 | 8 | 54 | 5,57 |
| 3249 | Karadere | Karadere | Çscd3 | 400 | 24 | 600 | 28,7 | 10 | 65 | 7,23 |
| 3250 | Karadere | Karadere | Çscd3 | 400 | 22 | 550 | 40,2 | 12 | 66 | 11,00 |
| 3251 | Karadere | Karadere | Çscd3 | 400 | 23 | 575 | 35,0 | 12 | 67 | 9,34 |
| 3252 | Karadere | Karadere | Çscd3 | 400 | 11 | 275 | 42,0 | 20 | 52 | 5,88 |
| 3253 | Karadere | Kaçıcılar | Çscd3 | 400 | 36 | 900 | 21,2 | 8 | 56 | 6,87 |
| 3254 | Kastamonu | Kuzyaka | Çscd3 | 400 | 22 | 550 | 32,1 | 13 | 44 | 7,86 |
| 3255 | Küre | Ağlı | Çscd3 | 600 | 35 | 583 | 27,5 | 8 | 47 | 6,62 |
| 3256 | Küre | Devrekani | Çscd3 | 400 | 21 | 525 | 30,2 | 9 | 45 | 6,83 |
| 3257 | Küre | Devrekani | Çscd3 | 400 | 34 | 850 | 27,3 | 10 | 42 | 9,52 |
| 3258 | Küre | Şenlik | Çscd3 | 400 | 20 | 500 | 30,3 | 8 | 36 | 6,55 |
| 3259 | Taşköprü | Koçanlı | Çscd3 | 400 | 22 | 550 | 32,3 | 13 | 44 | 7,92 |
| 3260 | Taşköprü | Koçanlı | Çscd3 | 400 | 14 | 350 | 36,8 | 11 | 57 | 6,13 |
| 3261 | Tosya | Akseki | Çscd3 | 400 | 18 | 450 | 38,9 | 21 | 52 | 8,56 |
| 3262 | Tosya | Akseki | Çscd3 | 400 | 37 | 925 | 29,8 | 16 | 44 | 11,82 |
| 3263 | Tosya | Dedemdağ | Çscd3 | 400 | 22 | 550 | 30,9 | 8 | 45 | 7,40 |
| 3264 | Tosya | Dedemdağ | Çscd3 | 400 | 19 | 475 | 42,4 | 24 | 61 | 10,31 |
| 3265 | Tosya | Dedemdağ | Çscd3 | 400 | 19 | 475 | 35,2 | 10 | 51 | 7,79 |
| 3266 | Tosya | Kösdağ | Çscd3 | 400 | 23 | 575 | 32,6 | 8 | 54 | 8,41 |
| 3267 | Tosya | Kösdağ | Çscd3 | 400 | 47 | 1175 | 24,5 | 8 | 42 | 11,16 |
| 3268 | Tosya | Kösdağ | Çscd3 | 400 | 35 | 875 | 30,3 | 8 | 50 | 11,44 |
| 3269 | Tosya | Kösdağ | Çscd3 | 400 | 17 | 425 | 36,6 | 13 | 51 | 7,40 |
| 3270 | Tosya | Kösdağ | Çscd3 | 400 | 39 | 975 | 27,2 | 8 | 52 | 10,87 |
| 3271 | Tosya | Kösdağ | Çscd3 | 400 | 28 | 700 | 31,7 | 21 | 42 | 9,82 |
| 3272 | Tosya | Kösdağ | Çscd3 | 400 | 29 | 725 | 27,9 | 19 | 37 | 8,40 |

Tablo 3.6.'nın devamı

| Örnek Alan No | Orman İşletme Müdürlüğü | Orman İşletme Şefliği | Meşcere Tipi | Örnek Alan Büyüklüğü (m ²) | Ağaç Sayısı (n) | Ağaç Sayısı (N/ha) | Orta Çap (cm) | Minimum Çap (cm) | Maksimum Çap (cm) | Sıklık |
|---------------|-------------------------|-----------------------|--------------|--|-----------------|--------------------|---------------|------------------|-------------------|--------|
| 3273 | Çatalzeytin | Karacakaya | Çsd1 | 800 | 18 | 225 | 36,3 | 9 | 73 | 3,86 |
| 3274 | Çatalzeytin | Karacakaya | Çsd1 | 800 | 9 | 113 | 38,0 | 8 | 59 | 2,07 |
| 3275 | Daday | Ballıdağ | Çsd1 | 800 | 11 | 138 | 39,0 | 18 | 50 | 2,63 |
| 3276 | Daday | Savaş | Çsd1 | 800 | 8 | 100 | 37,2 | 10 | 50 | 1,78 |
| 3277 | Daday | Savaş | Çsd1 | 800 | 11 | 138 | 36,1 | 8 | 47 | 2,34 |
| 3278 | Daday | Savaş | Çsd1 | 800 | 13 | 163 | 37,8 | 22 | 45 | 2,96 |
| 3279 | Küre | Ağlı | Çsd1 | 800 | 12 | 150 | 36,6 | 8 | 52 | 2,61 |
| 3280 | Karadere | Handüzü | Çsd1 | 800 | 9 | 113 | 85,3 | 13 | 120 | 6,96 |
| 3281 | Karadere | Handüzü | Çsd1 | 800 | 8 | 100 | 43,1 | 24 | 61 | 2,22 |
| 3282 | Karadere | Handüzü | Çsd1 | 800 | 6 | 75 | 57,2 | 41 | 72 | 2,55 |
| 3283 | Karadere | Handüzü | Çsd1 | 800 | 8 | 100 | 60,4 | 37 | 76 | 3,68 |
| 3284 | Karadere | Handüzü | Çsd1 | 800 | 8 | 100 | 60,4 | 37 | 76 | 3,68 |
| 3285 | Karadere | Kadıdağı | Çsd1 | 800 | 5 | 63 | 70,3 | 61 | 83 | 2,89 |
| 3286 | Karadere | Kadıdağı | Çsd1 | 800 | 9 | 113 | 63,0 | 8 | 100 | 4,42 |
| 3287 | Karadere | Karadere | Çsd1 | 600 | 14 | 233 | 34,2 | 8 | 55 | 3,67 |
| 3288 | Küre | Ağlı | Çsd1 | 800 | 24 | 300 | 37,2 | 8 | 57 | 5,34 |
| 3289 | Küre | Ağlı | Çsd1 | 800 | 9 | 113 | 47,1 | 9 | 59 | 2,86 |
| 3290 | Çatalzeytin | Karacakaya | Çsd2 | 600 | 14 | 233 | 42,6 | 26 | 60 | 5,10 |
| 3291 | Çatalzeytin | Karacakaya | Çsd2 | 600 | 20 | 333 | 41,2 | 11 | 55 | 6,91 |
| 3292 | Çatalzeytin | Karacakaya | Çsd2 | 800 | 18 | 225 | 36,9 | 10 | 53 | 3,96 |
| 3293 | Çatalzeytin | Karacakaya | Çsd2 | 600 | 13 | 217 | 42,4 | 28 | 54 | 4,69 |
| 3294 | Daday | Savaş | Çsd2 | 800 | 11 | 138 | 36,1 | 8 | 47 | 2,34 |
| 3295 | Daday | Savaş | Çsd2 | 800 | 13 | 163 | 37,8 | 22 | 45 | 2,96 |
| 3296 | Hanönü | Gökırmak | Çsd2 | 600 | 22 | 367 | 41,3 | 24 | 56 | 7,63 |
| 3297 | Hanönü | Gökırmak | Çsd2 | 800 | 26 | 325 | 33,7 | 9 | 52 | 4,99 |
| 3298 | Küre | Ağlı | Çsd2 | 800 | 18 | 225 | 40,9 | 11 | 58 | 4,61 |
| 3299 | Küre | Ağlı | Çsd2 | 800 | 27 | 338 | 36,4 | 9 | 58 | 5,82 |
| 3300 | Küre | Ağlı | Çsd2 | 400 | 27 | 675 | 32,3 | 13 | 40 | 9,71 |
| 3301 | Taşköprü | Bayam | Çsd2 | 600 | 22 | 367 | 34,7 | 8 | 45 | 5,88 |
| 3302 | Tosya | Çaldağ | Çsd2 | 600 | 17 | 283 | 39,1 | 8 | 55 | 5,43 |
| 3303 | Tosya | Çaldağ | Çsd2 | 600 | 14 | 233 | 35,2 | 8 | 57 | 3,83 |
| 3304 | Tosya | Kösdağ | Çsd2 | 800 | 25 | 313 | 34,0 | 11 | 73 | 4,86 |
| 3305 | Tosya | Kösdağ | Çsd2 | 600 | 23 | 383 | 35,4 | 8 | 69 | 6,33 |
| 3306 | Tosya | Kösdağ | Çsd2 | 600 | 19 | 317 | 38,1 | 8 | 56 | 5,84 |
| 3307 | Tosya | Kösdağ | Çsd2 | 800 | 11 | 138 | 44,2 | 19 | 66 | 3,18 |
| 3308 | Tosya | Kösdağ | Çsd2 | 800 | 22 | 275 | 44,9 | 8 | 74 | 6,49 |
| 3309 | Tosya | Kösdağ | Çsd2 | 800 | 17 | 213 | 45,8 | 29 | 68 | 5,17 |
| 3310 | Tosya | Kösdağ | Çsd2 | 800 | 24 | 300 | 30,7 | 9 | 68 | 4,01 |
| 3311 | Tosya | Kösdağ | Çsd2 | 800 | 16 | 200 | 44,8 | 11 | 66 | 4,71 |
| 3312 | Tosya | Kösdağ | Çsd2 | 800 | 29 | 363 | 39,0 | 15 | 58 | 6,92 |
| 3313 | Tosya | Kösdağ | Çsd2 | 600 | 19 | 317 | 33,4 | 11 | 60 | 4,80 |
| 3314 | Tosya | Kösdağ | Çsd2 | 800 | 14 | 175 | 48,0 | 18 | 67 | 4,56 |
| 3315 | Tosya | Kösdağ | Çsd2 | 600 | 15 | 250 | 32,2 | 13 | 52 | 3,59 |
| 3316 | Tosya | Kösdağ | Çsd2 | 600 | 19 | 317 | 32,4 | 9 | 50 | 4,59 |
| 3317 | Karadere | Akkaya | Çsd3 | 400 | 20 | 500 | 40,2 | 10 | 62 | 10,00 |
| 3318 | Karadere | Karadere | Çsd3 | 600 | 11 | 183 | 53,4 | 20 | 68 | 5,61 |
| 3319 | Karadere | Karadere | Çsd3 | 600 | 21 | 350 | 36,4 | 8 | 58 | 6,04 |
| 3320 | Samatlar | Dorukyayla | Çsd3 | 600 | 28 | 467 | 32,9 | 9 | 49 | 6,93 |
| 3321 | Samatlar | Dorukyayla | Çsd3 | 800 | 32 | 400 | 33,4 | 9 | 47 | 6,07 |
| 3322 | Tosya | Kösdağ | Çsd3 | 600 | 25 | 417 | 37,9 | 12 | 65 | 7,63 |
| 3323 | Tosya | Dedemdağ | Çsd3 | 400 | 18 | 450 | 42,2 | 29 | 64 | 9,69 |

3.2. Yöntem

Kastamonu yöresi saf sarıçam meşcerelerinin çap dağılımlarının çeşitli meşcere özellikleri dikkate alınarak modellenmesi amacıyla bonitet sınıfı, gelişim çağı ve kapalılık bakımından farklı özelliklere sahip meşcerelerden alınmış olan toplam 890 adet örnek alan verisinden yararlanılmıştır. Verilerin analize hazır hale getirilmesinde öncelikle tüm örnek alanlar örnek alan büyüklüklerine bağlı olarak ormancılıkta kullanılan standart birim alana (1 ha) dönüştürülmüştür. Söz konusu dönüştürme işleminde Hektara Çevirme Katsayısı ($HÇK=10000/ÖAB$) değerlerinden yararlanılmış olup, bu katsayı 400 m² büyüklüğündeki örnek alanlar için 25, 600 m² büyüklüğündeki örnek alanlar için 16,67 ve 800 m² büyüklüğündeki örnek alanlar için 12,5'tir. Tüm örnek alanlar bu katsayılar yardımıyla standart büyüklüğe dönüştürüldükten sonra, her bir örnek alanda ağaçlar göğüs çaplarına bağlı olarak 4 cm genişliğindeki (8,0-11,9 cm, 12,0-15,9 cm, ..., 72,0-75,9 cm gibi) çap basamaklarına (10, 14, ..., 74 cm gibi) dağıtılmıştır.

Her bir örnek alandaki çap dağılımının modellenmesinde, çap dağılımları ile ilgili literatürde sıklıkla tercih edilen Beta, Gamma, Johnson SB, Lognormal, Normal ve Weibull dağılımlarına ilişkin olasılık yoğunluk fonksiyonlarından yararlanılmıştır. Bu fonksiyonların modellenmesi bir başka ifade ile fonksiyonlara ilişkin parametre tahminleri, parametre tahmin yöntemi olarak Maksimum Olabilirlik Yöntemini kullanan EasyFit 5.5 Professional yazılımı yardımıyla yapılmıştır (Mathwave, 2015). Bu yazılım, içeriğinde bu çalışmada tercih edilen fonksiyonlar da dahil olmak üzere 56 farklı olasılık yoğunluk fonksiyonu ile bu fonksiyonların parametre sayıları bakımından farklı formlarını bulundurmakta olup, herhangi bir çalışmaya ilişkin veri setinin seçilen olasılık yoğunluk fonksiyonuna göre modellemesini yapmakta ve ilgili fonksiyonun parametrelerini tahmin etmektedir.

Çalışmada kullanılan olasılık yoğunluk fonksiyonları ve bu fonksiyonlara ilişkin olarak her bir örnek alan için elde edilen sonuçların gerek örnek alan bazında ve gerekse meşcere özellikleri bakımından karşılaştırılmasında dikkate alınan istatistiksel karşılaştırma ölçütleri aşağıda detaylı olarak açıklanmaya çalışılmıştır.

3.2.1. Olasılık Yoğunluk Fonksiyonları

Herhangi bir x değişkeni, alabileceği değerleri belirli bir olasılıkla alıyorsa bu değişkene *rastgele değişken* (veya *rassal değişken*) adı verilmektedir. Bu değişkenler, *kesikli (süreksiz) rastgele değişkenler* ve *kesiksiz (sürekli) rastgele değişkenler* olmak üzere iki gruba ayrılmaktadır. Bir rastgele değişkenin değerleri sayım yolu ile elde ediliyorsa bu tür değişkenler kesikli değişken, ölçüm yoluyla elde ediliyorsa sürekli değişken olarak adlandırılmaktadır (Ünver vd., 2011; Karagöz, 2015).

Bir x rastgele değişkeninin alacağı değerlere ilişkin olasılıkların belirlenmesinde kullanılan fonksiyonlara *olasılık yoğunluk fonksiyonu* adı verilmektedir. Bu fonksiyonlar, rastgele değişkenin tanım aralığı içinde kalan olası değerleri alma olasılıklarına dair oransal bilgiler vermektedir. Söz konusu olasılıklar 0 (%0) ile 1 (%100) aralığında değerler almakta ve rastgele değişkenin tanım aralığında alabileceği tüm değerlere ilişkin olasılıklar toplamı da 1'e (%100) eşit olmaktadır. Olasılık yoğunluk fonksiyonları da ilgilenilen rastgele değişkenin kesikli veya sürekli olmasına bağlı olarak *kesikli olasılık yoğunluk fonksiyonu* ve *sürekli olasılık yoğunluk fonksiyonu* şeklinde gruplandırılmaktadır (Spiegel ve Stephens, 1999; Akalp, 2016).

Ormancılık uygulamalarında ve ormancılık alanında yapılan çeşitli araştırmalarda en temel değişkenlerden biri olan çap değerleri ölçüm yoluyla elde edildiklerinden ve belirli bir tanım aralığı için tüm değerleri alabildiklerinden sürekli rastgele değişken özelliği taşımaktadırlar. Herhangi bir çap değerinin ilgilenilen meşcerede bulunma olasılığının ya da başka bir ifadeyle çap değerlerinin ilgilenilen meşcere içerisindeki dağılımlarının ortaya konulmasında da sürekli değişkenler için geliştirilen olasılık yoğunluk fonksiyonlarından yararlanılmaktadır. Bu fonksiyonlar, ormancılıkta herhangi bir çap değerini (26 cm gibi) veya belirli aralıklarla oluşturulmuş çap sınıflarına ilişkin değerleri (24-28 cm aralığı gibi) bağımsız değişken olarak kullanarak söz konusu çap değerine sahip ağaçların sayısının meşceredeki toplam ağaç sayısına oranını tahmin etmek üzere kullanılırlar. Olasılık yoğunluk fonksiyonu yardımıyla belirlenen oranın meşceredeki toplam ağaç sayısı ile çarpılmasıyla da ilgili çap veya çap sınıfı değerine sahip ağaç sayısı belirlenir.

Kastamonu yöresi saf sarıçam meşcerelerine ilişkin çap dağılım modellerinin geliştirilmesinin amaçlandığı bu çalışmada, yukarıda da belirtildiği gibi Beta, Gamma, Johnson SB, Lognormal, Normal ve Weibull dağılımlarına ilişkin olasılık yoğunluk fonksiyonlarından yararlanılmıştır. Bu fonksiyonlardan Gamma, Lognormal ve Weibull dağılımlarının, parametre sayılarına bağlı olarak geliştirilmiş olan ikişer farklı formu dikkate alınmıştır. Bunlar; Gamma dağılımı için iki ve üç parametrelili Gamma fonksiyonları (Gamma-2p ve Gamma-3p), Lognormal dağılımı için iki ve üç parametrelili Lognormal fonksiyonları (Lognormal-2p ve Lognormal-3p) ve Weibull dağılımı için iki ve üç parametrelili Weibull fonksiyonlarıdır (Weibull-2p ve Weibull-3p). Çalışmada kullanılan olasılık yoğunluk fonksiyonları Tablo 3.7.'de verilmiştir.

Tablo 3.7. Çalışma kapsamında değerlendirilen olasılık yoğunluk fonksiyonları

| Dağılım | Olasılık Yoğunluk Fonksiyonu | Açıklama |
|--|--|---|
| Beta (Clutter ve Bennet, 1965) | $f(x) = \frac{1}{B(\alpha_1, \alpha_2)} \frac{(x-a)^{\alpha_1-1} (b-x)^{\alpha_2-1}}{(b-a)^{\alpha_1+\alpha_2-1}}$ | α_1, α_2, a, b : Parametreler $B(\alpha_1, \alpha_2)$: Beta fonksiyonu $a \leq x \leq b, \alpha_1 > 0, \alpha_2 > 0$ |
| Gamma-2p (Nelson, 1964) | $f(x) = \frac{x^{\alpha-1}}{\beta^\alpha \Gamma(\alpha)} e^{-\frac{x}{\beta}}$ | α, β : Parametreler $\Gamma(\alpha)$: Gamma fonksiyonu $\alpha > 0, \beta > 0$ |
| Gamma-3p (Lawless, 1982) | $f(x) = \frac{(x-\gamma)^{\alpha-1}}{\beta^\alpha \Gamma(\alpha)} e^{-\frac{(x-\gamma)}{\beta}}$ | α, β, γ : Parametreler $\Gamma(\alpha)$: Gamma fonksiyonu $\alpha > 0, \beta > 0, \gamma \leq x \leq +\infty$ |
| Johnson SB (Johnson, 1949) | $f(x) = \frac{\delta}{\lambda \sqrt{2\pi z(1-z)}} e^{-\frac{1}{2}(\gamma + \delta \ln(\frac{z}{z-1}))^2}$ | $\delta, \lambda, \gamma, \xi$: Parametreler $z = \frac{x-\xi}{\lambda}$ $\xi \leq x \leq \xi + \lambda, \delta > 0, \gamma > 0$ |
| Lognormal-2p (Bliss ve Reinker, 1964) | $f(x) = \frac{1}{x\sigma\sqrt{2\pi}} e^{-\frac{1}{2}\left(\frac{\ln x - \mu}{\sigma}\right)^2}$ | μ, σ : Parametreler |
| Lognormal-3p (Bliss ve Reinker, 1964) | $f(x) = \frac{1}{(x-\gamma)\sigma\sqrt{2\pi}} e^{-\frac{1}{2}\left(\frac{\ln(x-\gamma) - \mu}{\sigma}\right)^2}$ | μ, σ, γ : Parametreler $\gamma \leq x \leq +\infty$ |
| Normal (Bailey, 1980) | $f(x) = \frac{1}{\sigma\sqrt{2\pi}} e^{-\frac{1}{2}\left(\frac{x-\mu}{\sigma}\right)^2}$ | μ, σ : Parametreler |
| Weibull-2p (Schreuder ve Swank, 1964) | $f(x) = \frac{\alpha}{\beta} \left(\frac{x}{\beta}\right)^{\alpha-1} e^{-\left(\frac{x}{\beta}\right)^\alpha}$ | α, β : Parametreler $\alpha > 0, \beta > 0$ |
| Weibull-3p (Bailey ve Dell, 1973) | $f(x) = \frac{\alpha}{\beta} \left(\frac{x-\gamma}{\beta}\right)^{\alpha-1} e^{-\left(\frac{x-\gamma}{\beta}\right)^\alpha}$ | α, β, γ : Parametreler $\alpha > 0, \beta > 0, \gamma \leq x \leq +\infty$ |

3.2.2. İstatistiksel Değerlendirme

Her bir örnek alan için EasyFit 5.5 Professional yazılımı kullanılarak parametreleri belirlenen olasılık yoğunluk fonksiyonlarının, ilgili örnek alana özgü çap dağılımına istatistiksel olarak uygunluğuna karar verilmesinde Kolmogorov-Smirnov (*KS*), Anderson-Darling (*AD*) ve Ki-kare (X^2) istatistiklerinden yararlanılmıştır. Kullanılan yazılımda *KS*, *AD* ve X^2 istatistikleri doğrudan hesaplanmakta ve değerlendirmeye alınan olasılık yoğunluk fonksiyonları da başarıları bakımından bu istatistiklere göre ayrı ayrı sıralanmaktadır. Dolayısıyla, olasılık yoğunluk fonksiyonlarının örnek alanlara ilişkin uygunluklarının ve başarı sıralamalarının değerlendirilmesinde ihtiyaç duyulan bu istatistikler de EasyFit 5.5 Professional yazılımı ile elde edilmiştir. Ancak, bu yazılımın kimi durumlarda herhangi bir fonksiyonu çözümleyebilmesine bir başka ifadeyle bir fonksiyonun parametrelerini hesaplayabilmesine karşın *KS*, *AD* ve X^2 istatistiklerinden bazılarını hesaplayamadığı ve sıralamaya dahil etmediği bilinmektedir. Bu olumsuzluğun giderilebilmesi için, *KS*, *AD* ve X^2 istatistiklerine ilave bir istatistiksel ölçüte ihtiyaç duyulmuş ve bu amaçla Reynolds vd. (1988) tarafından geliştirilen Hata İndeksi (*e*) ölçütünden yararlanılmıştır.

$$e = \sum_{j=1}^k |n_t - n| \quad (3.4)$$

Bu denklemde;

k: İlgili örnek alandaki çap basamağı sayısı,

n: İlgili örnek alanda *j*'inci çap basamağında ölçülen ağaç sayısı (adet),

n_t: İlgili örnek alanda *j*'inci çap basamağı için olasılık yoğunluk fonksiyonu ile tahmin edilen ağaç sayısı (adet),

Herhangi bir örnek alan için, olasılık yoğunluk fonksiyonlarının hata indeksi (*e*) değerlerine göre karşılaştırılmasında Poudel ve Cao (2013) tarafından önerilen rölatif sıralama yöntemi kullanılmıştır. Bu yöntem, fonksiyonları aşağıdaki denklem yardımıyla en başarılıdan en başarısıza doğru 1 ile *m* (karşılaştırılan fonksiyon sayısı) arasında sıralamaktadır. Rölatif sırası 1 olan model en başarılı ve *m* olan model de en

başarısız model olmakta, diğer modeller de 1'den büyük m 'den küçük rölatif değerler olarak sıralanmaktadır.

$$R_i = 1 + \frac{(m - 1)(e_i - e_{min})}{(e_{maks} - e_{min})} \quad (3.5)$$

Bu denklemde;

R_i : i . fonksiyona ilişkin rölatif sıra,

e_i : i . fonksiyona ilişkin istatistiksel ölçüt değeri,

e_{min} : Fonksiyonlar arasındaki en düşük e_i değeri,

e_{maks} : Fonksiyonlar arasındaki en yüksek e_i değeri,

m : Karşılaştırılan fonksiyon sayısı.

Yukarıda açıklanan istatistiksel ölçütler (KS , AD , X^2 ve e) yardımıyla her bir örnek alan için, ilgili istatistiksel ölçüte göre olasılık yoğunluk fonksiyonlarının başarı sıralamaları yapılmış ve o örnek alan için her bir ölçüt için ayrı ayrı olacak şekilde en başarılı olasılık yoğunluk fonksiyonu kararlaştırılmıştır. Fonksiyonların KS , AD ve X^2 istatistiklerine göre belirlenen başarı sıralarının (1'den 9'a kadar) frekans dağılımları tablolaştırılarak fonksiyonların genel başarı eğilimleri belirlenmeye çalışılmıştır.

Olasılık yoğunluk fonksiyonlarının başarı sıralamalarının meşceredeki ağaç sayısı, meşcere orta çapı ve sıklık derecesi gibi meşcere özellikleri bakımından istatistiksel olarak anlamlı farklılık gösterip göstermediğinin belirlenmesinde Kruskal-Wallis Testi'nden yararlanılmıştır. Bu testin uygulanmasında, örnek alanlar için e ölçütüne göre en başarılı bulunan olasılık yoğunluk fonksiyonlarının frekans dağılımları gruplandırma faktörü ve ilgili örnek alana ilişkin sözü edilen meşcere özellikleri de bağımsız değişken olarak dikkate alınmıştır. Olasılık yoğunluk fonksiyonlarının başarı sıralamalarının bonitet sınıfı, kapalılık, gelişim çağı ve meşcere tipi gibi kategorik meşcere özelliklerine göre değişiminin incelenmesinde ise Ki-kare (X^2) Testi kullanılmıştır. Bu testin uygulanmasında da yine örnek alanlar için e ölçütüne göre en başarılı bulunan olasılık yoğunluk fonksiyonlarının ilgilenilen meşcere özelliğine göre frekans dağılımlarından yararlanılmıştır. Çalışma kapsamında gerçekleştirilen istatistiksel analizler için açık erişim özelliğine sahip olan Jamovi yazılımından yararlanılmıştır (The Jamovi Project, 2019).

Çalıřma kapsamında, istatistiksel karşılařtırmalar sonucunda çeřitli meřcere özellikleri bakımından en başarılı bulunan olasılık yoğunluk fonksiyonlarının meřcere tiplerine göre tahmin davranıřlarının ortaya konulması amacıyla da her bir meřcere tipi için seçilen temsili örnek alanlardaki çap basamaklarına göre ölçülen ve ilgili olasılık yoğunluk fonksiyonu ile tahmin edilen ağaç sayılarının gösterildiđi grafikler çizilmiřtir.



4. BULGULAR

Çalışma kapsamında değerlendirilmek üzere Kastamonu yöresi saf sarıçam meşcerelerinden alınan ve bonitet sınıfı, kapalılık sınıfı, gelişim çağı ve meşcere tipleri bakımından farklı meşcere özelliklerine sahip 890 adet örnek alana ilişkin çap dağılımları, Beta, Gamma-2p, Gamma-3p, Johnson SB, Lognormal-2p, Lognormal-3p, Normal, Weibull-2p ve Weibull-3p olasılık yoğunluk fonksiyonları kullanılarak EasyFit 5.5 Professional yazılımı kullanılarak modellenmiş ve fonksiyonlara ilişkin parametreler her bir örnek alan için ayrı ayrı belirlenmiştir. Bunun yanında, fonksiyonların Kolmogorov-Smirnov (*KS*), Anderson-Darling (*AD*) ve Ki-kare (X^2) istatistiklerine göre başarı sıralamaları da yine her bir örnek alan için tespit edilmiştir. Bu sıralamalara ilişkin sonuçlar; *KS* istatistiğine göre I. bonitet sınıfı için Tablo 4.1.'de, II. bonitet sınıfı için Tablo 4.2.'de ve III. bonitet sınıfı için Tablo 4.3.'te, *AD* istatistiğine göre I. bonitet sınıfı için Tablo 4.4.'te, II. bonitet sınıfı için Tablo 4.5.'te ve III. bonitet sınıfı için Tablo 4.6.'da ve X^2 istatistiğine göre de I. bonitet sınıfı için Tablo 4.7.'de, II. bonitet sınıfı için Tablo 4.8.'de ve III. bonitet sınıfı için Tablo 4.9.'da verilmiştir. Tablolarda, parametre değerleri hesaplanamayan olasılık yoğunluk fonksiyonları için “Çözümsüz” ifadesi kullanılmış, parametre değerleri hesaplanmış olmasına karşın ilgili test istatistiği hesaplanamayan fonksiyonlar için ise sıra numarası yerine “---” yazılmıştır. Tabloların son sütunlarında ise ilgili örnek alan için en başarılı bulunan (1. sırada yer alan) olasılık yoğunluk fonksiyonu verilmiştir.

Olasılık yoğunluk fonksiyonlarının *KS*, *AD* ve X^2 istatistiklerine göre sıralamalarının frekans dağılımları Tablo 4.10.'da görülmektedir. İlgili tabloda görüleceği üzere 890 adet örnek alan için en fazla sayıda 1. sırayı alan fonksiyon her üç istatistiksel ölçüt için de (*KS*: 400, *AD*: 352 ve X^2 : 207 örnek alan) Johnson SB fonksiyonudur. 12 örnek alanda Beta, 63 örnek alanda Johnson SB ve 67 örnek alanda Weibull-3p fonksiyonu çözümlenememiştir. Bunun yanında; 11 örnek alanda Beta, 42 örnek alanda Gamma-3p, 5 örnek alanda Johnson SB, 53 örnek alanda Lognormal-3p ve 44 örnek alanda Weibull-3p fonksiyonları için *KS* ve *AD* istatistikleri ve 216 örnek alanda Beta, 281 örnek alanda Gamma-3p, 205 örnek alanda Johnson SB, 168 örnek alanda Lognormal-3p ve 281 örnek alanda Weibull-3p fonksiyonları için X^2 istatistiği hesaplanamamıştır.

Tablo 4.1. *Olasılık yoğunluk fonksiyonlarının Kolmogorov-Smirnov (KS) istatistiğine göre sıralamaları (I. Bonitet)*

| Örnek Alan No | Meşçere Tipi | Olasılık Yoğunluk Fonksiyonları | | | | | | | | | En Başarılı Dağılım |
|---------------|--------------|---------------------------------|----------|----------|------------|--------------|--------------|--------|------------|------------|---------------------|
| | | Beta | Gamma-2p | Gamma-3p | Johnson SB | Lognormal-2p | Lognormal-3p | Normal | Weibull-2p | Weibull-3p | |
| 1001 | Çsb1 | --- | 2 | 5 | Çözümsüz | 4 | --- | 3 | 1 | --- | Weibull-2p |
| 1002 | Çsb1 | 6 | 4 | 9 | 1 | 5 | 8 | 3 | 2 | 7 | Johnson SB |
| 1003 | Çsb1 | 6 | 3 | --- | 1 | 5 | --- | 4 | 2 | 7 | Johnson SB |
| 1004 | Çsb2 | 6 | 2 | --- | 1 | 5 | 7 | 4 | 3 | 8 | Johnson SB |
| 1005 | Çsb2 | 1 | 5 | 9 | 4 | 6 | 8 | 3 | 2 | 7 | Beta |
| 1006 | Çsb3 | 6 | 3 | --- | 1 | 5 | --- | 4 | 2 | --- | Johnson SB |
| 1007 | Çsb3 | 7 | 2 | 8 | 3 | 1 | 9 | 4 | 6 | 5 | Lognormal-2p |
| 1008 | Çsb3 | 8 | 2 | 5 | 1 | 6 | --- | 4 | 3 | 7 | Johnson SB |
| 1009 | Çsb3 | 6 | 3 | 7 | 1 | 5 | --- | 4 | 2 | --- | Johnson SB |
| 1010 | Çsb3 | 2 | 6 | 5 | 3 | 8 | 4 | 1 | 7 | 9 | Normal |
| 1011 | Çsb3 | Çözümsüz | 4 | 1 | Çözümsüz | 6 | 2 | 5 | 7 | 3 | Gamma-3p |
| 1012 | Çsb3 | 9 | 2 | 5 | 4 | 3 | 6 | 7 | 8 | 1 | Weibull-3p |
| 1013 | Çsb3 | 9 | 1 | 4 | 3 | 5 | 2 | 7 | 8 | 6 | Gamma-2p |
| 1014 | Çsb3 | 5 | 3 | 9 | 2 | 1 | 4 | 6 | 7 | 8 | Lognormal-2p |
| 1015 | Çsb3 | 9 | 7 | 6 | 1 | 8 | 5 | 4 | 3 | 2 | Johnson SB |
| 1016 | Çsb3 | 6 | 1 | 7 | 5 | 4 | --- | 3 | 2 | --- | Gamma-2p |
| 1017 | Çsb3 | 7 | 2 | 8 | 3 | 1 | 9 | 4 | 5 | 6 | Lognormal-2p |
| 1018 | Çsb3 | --- | 2 | 6 | 5 | 4 | --- | 1 | 3 | --- | Normal |
| 1019 | Çsb3 | 7 | 4 | 8 | 2 | 3 | 9 | 5 | 6 | 1 | Weibull-3p |
| 1020 | Çsb3 | 6 | 1 | 7 | 2 | 5 | --- | 3 | 4 | 8 | Gamma-2p |
| 1021 | Çsb3 | 8 | 7 | 5 | 2 | 9 | 4 | 3 | 1 | 6 | Weibull-2p |
| 1022 | Çsb3 | 8 | 1 | 9 | 2 | 4 | 7 | 5 | 6 | 3 | Gamma-2p |
| 1023 | Çsb3 | 6 | 3 | --- | 1 | 5 | --- | 4 | 2 | 7 | Johnson SB |
| 1024 | Çsb3 | 6 | 2 | 8 | 1 | 4 | 9 | 3 | 5 | 7 | Johnson SB |
| 1025 | Çsb3 | 7 | 1 | 8 | 2 | 3 | 9 | 4 | 5 | 6 | Gamma-2p |
| 1026 | Çsb3 | 7 | 2 | 9 | 1 | 5 | 4 | 3 | 6 | 8 | Johnson SB |
| 1027 | Çsb3 | 7 | 2 | 9 | 1 | 4 | 8 | 3 | 5 | 6 | Johnson SB |
| 1028 | Çsb3 | 1 | 2 | --- | 3 | 6 | --- | 5 | 4 | --- | Beta |
| 1029 | Çsb3 | 7 | 4 | 8 | 1 | 5 | 9 | 3 | 2 | 6 | Johnson SB |
| 1030 | Çsb3 | 5 | 3 | 9 | 4 | 1 | 2 | 6 | 7 | 8 | Lognormal-2p |
| 1031 | Çsb3 | 9 | 5 | 3 | 2 | 6 | 1 | 7 | 8 | 4 | Lognormal-3p |
| 1032 | Çsb3 | 5 | 1 | --- | Çözümsüz | 4 | --- | 3 | 2 | --- | Gamma-2p |
| 1033 | Çsb3 | 8 | 4 | 9 | 1 | 5 | 7 | 3 | 2 | 6 | Johnson SB |
| 1034 | Çsb3 | 9 | 3 | 4 | 1 | 6 | 2 | 5 | 8 | 7 | Johnson SB |
| 1035 | Çsb3 | --- | 1 | 6 | 4 | 5 | 7 | 2 | 3 | --- | Gamma-2p |
| 1036 | Çsbc2 | 9 | 4 | 1 | 3 | 2 | 8 | 7 | 5 | 6 | Gamma-3p |
| 1037 | Çsbc2 | 6 | 1 | 7 | 2 | 5 | --- | 3 | 4 | --- | Gamma-2p |
| 1038 | Çsbc2 | 9 | 5 | 4 | 1 | 8 | 2 | 7 | 6 | 3 | Johnson SB |
| 1039 | Çsbc2 | 8 | 4 | 9 | 1 | 5 | 6 | 3 | 2 | 7 | Johnson SB |
| 1040 | Çsbc2 | 8 | 6 | 5 | 1 | 7 | 4 | 3 | 2 | Çözümsüz | Johnson SB |
| 1041 | Çsbc3 | 9 | 4 | 3 | 2 | 5 | 1 | 7 | 8 | 6 | Lognormal-3p |
| 1042 | Çsbc3 | 9 | 6 | 5 | 2 | 7 | 4 | 3 | 1 | 8 | Weibull-2p |
| 1043 | Çsbc3 | 3 | 7 | 5 | 4 | 9 | 6 | 2 | 8 | 1 | Weibull-3p |
| 1044 | Çsbc3 | 7 | 4 | 8 | 1 | 5 | 6 | 2 | 3 | 9 | Johnson SB |
| 1045 | Çsbc3 | 6 | 1 | 5 | 2 | 4 | 3 | 7 | 8 | 9 | Gamma-2p |
| 1046 | Çsbc3 | 9 | 5 | 7 | 1 | 8 | 4 | 3 | 2 | 6 | Johnson SB |
| 1047 | Çsbc3 | 2 | 8 | 6 | 1 | 9 | 5 | 4 | 3 | 7 | Johnson SB |
| 1048 | Çsbc3 | 9 | 7 | 5 | 2 | 8 | 4 | 3 | 1 | 6 | Weibull-2p |
| 1049 | Çsbc3 | 7 | 3 | 9 | 1 | 2 | 4 | 6 | 8 | 5 | Johnson SB |
| 1050 | Çsbc3 | 6 | 1 | --- | 4 | 5 | --- | 2 | 3 | --- | Gamma-2p |
| 1051 | Çsbc3 | 9 | 1 | 8 | 4 | 2 | 3 | 5 | 6 | 7 | Gamma-2p |
| 1052 | Çsbc3 | 7 | 3 | 9 | 1 | 5 | 4 | 2 | 6 | 8 | Johnson SB |
| 1053 | Çsbc3 | 6 | 4 | 9 | 1 | 3 | 2 | 7 | 8 | 5 | Johnson SB |
| 1054 | Çsbc3 | 8 | 3 | 2 | Çözümsüz | 4 | 1 | 5 | 7 | 6 | Lognormal-3p |
| 1055 | Çsbc3 | 7 | 4 | 8 | 1 | 5 | 9 | 2 | 3 | 6 | Johnson SB |
| 1056 | Çsbc3 | 4 | 7 | 6 | 1 | 9 | 5 | 2 | 3 | 8 | Johnson SB |
| 1057 | Çsbc3 | 8 | 2 | 9 | 3 | 1 | 5 | 4 | 6 | 7 | Lognormal-2p |

Tablo 4.1.'in devamı

| Örnek Alan No | Mesçere Tipi | Olasılık Yoğunluk Fonksiyonları | | | | | | | | | En Başarılı Dağılım |
|---------------|--------------|---------------------------------|----------|----------|------------|--------------|--------------|--------|------------|------------|---------------------|
| | | Beta | Gamma-2p | Gamma-3p | Johnson SB | Lognormal-2p | Lognormal-3p | Normal | Weibull-2p | Weibull-3p | |
| 1058 | Çsbc3 | 8 | 4 | 9 | 2 | 6 | 7 | 3 | 5 | 1 | Weibull-3p |
| 1059 | Çsbc3 | 8 | 5 | 9 | 1 | 6 | 4 | 3 | 2 | 7 | Johnson SB |
| 1060 | Çsbc3 | 9 | 7 | 4 | 2 | 8 | 3 | 1 | 6 | 5 | Normal |
| 1061 | Çsbc3 | Çözümsüz | 4 | 5 | Çözümsüz | 7 | 6 | 2 | 3 | 1 | Weibull-3p |
| 1062 | Çsbc3 | 9 | 5 | 4 | 1 | 3 | 6 | 7 | 8 | 2 | Johnson SB |
| 1063 | Çsbc3 | 8 | 4 | 7 | 1 | 5 | 9 | 3 | 2 | 6 | Johnson SB |
| 1064 | Çsbc3 | 6 | 5 | 9 | 1 | 7 | 4 | 2 | 3 | 8 | Johnson SB |
| 1065 | Çsbc3 | 6 | 1 | 2 | 3 | 7 | 4 | 8 | 9 | 5 | Gamma-2p |
| 1066 | Çsbc3 | 7 | 5 | 9 | 1 | 4 | 8 | 3 | 2 | 6 | Johnson SB |
| 1067 | Çsbc3 | 6 | 2 | 9 | 3 | 1 | 4 | 7 | 5 | 8 | Lognormal-2p |
| 1068 | Çsbc3 | 6 | 2 | 8 | 7 | 1 | 9 | 4 | 3 | 5 | Lognormal-2p |
| 1069 | Çsbc3 | 6 | 1 | 9 | 4 | 2 | 3 | 5 | 7 | 8 | Gamma-2p |
| 1070 | Çsbc3 | 8 | 2 | 7 | 4 | 3 | 9 | 6 | 5 | 1 | Weibull-3p |
| 1071 | Çsc1 | 3 | 8 | 7 | 1 | 9 | 6 | 5 | 4 | 2 | Johnson SB |
| 1072 | Çsc1 | 4 | 8 | 6 | 1 | 9 | 2 | 5 | 3 | 7 | Johnson SB |
| 1073 | Çsc1 | 6 | 2 | --- | 4 | 5 | --- | 1 | 3 | 7 | Normal |
| 1074 | Çsc2 | 1 | 5 | 9 | 4 | 6 | 8 | 2 | 3 | 7 | Beta |
| 1075 | Çsc2 | 9 | 3 | 6 | 1 | 2 | 7 | 5 | 4 | 8 | Johnson SB |
| 1076 | Çsc2 | 1 | 3 | 9 | 2 | 4 | 8 | 5 | 6 | 7 | Beta |
| 1077 | Çsc2 | Çözümsüz | 5 | 2 | Çözümsüz | 7 | 3 | 1 | 4 | 6 | Normal |
| 1078 | Çsc2 | 2 | 4 | 9 | 1 | 7 | 5 | 6 | 3 | 8 | Johnson SB |
| 1079 | Çsc2 | 4 | 8 | 5 | 2 | 9 | 7 | 6 | 1 | 3 | Weibull-2p |
| 1080 | Çsc2 | 4 | 6 | 9 | 2 | 7 | 5 | 1 | 3 | 8 | Normal |
| 1081 | Çsc2 | 7 | 8 | 6 | 1 | 9 | 5 | 4 | 3 | 2 | Johnson SB |
| 1082 | Çsc2 | 4 | 7 | 5 | 1 | 8 | 2 | 3 | 6 | Çözümsüz | Johnson SB |
| 1083 | Çsc2 | 8 | 5 | 9 | 1 | 6 | 7 | 2 | 3 | 4 | Johnson SB |
| 1084 | Çsc2 | 7 | 2 | 4 | 6 | 3 | 1 | 9 | 8 | 5 | Lognormal-3p |
| 1085 | Çsc2 | 7 | 2 | 4 | 1 | 3 | 9 | 6 | 5 | 8 | Johnson SB |
| 1086 | Çsc2 | 6 | 4 | 1 | 2 | 5 | 9 | 8 | 7 | 3 | Gamma-3p |
| 1087 | Çsc2 | 6 | 1 | --- | 3 | 5 | --- | 2 | 4 | --- | Gamma-2p |
| 1088 | Çsc2 | 8 | 2 | 7 | 6 | 3 | 9 | 5 | 4 | 1 | Weibull-3p |
| 1089 | Çsc2 | 7 | 6 | 3 | 1 | 4 | 5 | 8 | 9 | 2 | Johnson SB |
| 1090 | Çsc2 | 7 | 8 | 9 | 1 | 5 | 4 | 3 | 2 | 6 | Johnson SB |
| 1091 | Çsc3 | 4 | 1 | 5 | 9 | 3 | 7 | 8 | 2 | 6 | Gamma-2p |
| 1092 | Çsc3 | 9 | 6 | 3 | 1 | 8 | 2 | 5 | 7 | 4 | Johnson SB |
| 1093 | Çsc3 | 5 | 7 | 3 | 1 | 2 | 4 | 8 | 9 | 6 | Johnson SB |
| 1094 | Çsc3 | 4 | 1 | 3 | Çözümsüz | 7 | 2 | 6 | 8 | 5 | Gamma-2p |
| 1095 | Çsc3 | 6 | 5 | 9 | 1 | 7 | 3 | 2 | 4 | 8 | Johnson SB |
| 1096 | Çsc3 | 2 | 9 | 7 | 1 | 8 | 5 | 6 | 4 | 3 | Johnson SB |
| 1097 | Çsc3 | 4 | 8 | 7 | 1 | 9 | 6 | 5 | 2 | 3 | Johnson SB |
| 1098 | Çsc3 | 5 | 3 | 8 | 9 | 1 | 2 | 7 | 4 | 6 | Lognormal-2p |
| 1099 | Çsc3 | 7 | 1 | 2 | Çözümsüz | 8 | 3 | 4 | 6 | 5 | Gamma-2p |
| 1100 | Çsc3 | 2 | 5 | 9 | 4 | 6 | 7 | 3 | 1 | 8 | Weibull-2p |
| 1101 | Çsc3 | 6 | 3 | 8 | 2 | 1 | 9 | 5 | 4 | 7 | Lognormal-2p |
| 1102 | Çsc3 | 3 | 7 | 6 | Çözümsüz | 8 | 4 | 2 | 5 | 1 | Weibull-3p |
| 1103 | Çsc3 | 7 | 2 | 9 | 1 | 4 | 5 | 6 | 3 | 8 | Johnson SB |
| 1104 | Çsc3 | 2 | 7 | 5 | 6 | 8 | 4 | 3 | 1 | Çözümsüz | Weibull-2p |
| 1105 | Çsc3 | 8 | 7 | 6 | 1 | 9 | 5 | 4 | 3 | 2 | Johnson SB |
| 1106 | Çsc3 | 1 | 3 | 5 | 2 | 6 | 7 | 8 | 9 | 4 | Beta |
| 1107 | Çsc3 | 3 | 7 | 5 | 1 | 8 | 4 | 6 | 9 | 2 | Johnson SB |
| 1108 | Çsc3 | 6 | 8 | 4 | 1 | 9 | 2 | 3 | 7 | 5 | Johnson SB |
| 1109 | Çsc3 | 8 | 7 | 2 | 6 | 9 | 3 | 4 | 1 | 5 | Weibull-2p |
| 1110 | Çsc3 | 8 | 6 | 5 | 2 | 7 | 3 | 4 | 1 | Çözümsüz | Weibull-2p |
| 1111 | Çsc3 | 2 | 9 | 7 | 1 | 8 | 6 | 5 | 3 | 4 | Johnson SB |
| 1112 | Çsc3 | 1 | 7 | 5 | Çözümsüz | 8 | 4 | 3 | 6 | 2 | Beta |
| 1113 | Çsc3 | 7 | 5 | 8 | 2 | 6 | 9 | 3 | 1 | 4 | Weibull-2p |
| 1114 | Çsc3 | 8 | 7 | 6 | 1 | 9 | 5 | 4 | 3 | 2 | Johnson SB |
| 1115 | Çsc3 | 2 | 6 | 4 | 1 | 7 | 5 | 9 | 8 | 3 | Johnson SB |
| 1116 | Çsc3 | 9 | 6 | 2 | 5 | 4 | 1 | 7 | 8 | 3 | Lognormal-3p |

Tablo 4.1.'in devamı

| Örnek Alan No | Mesçere Tipi | Olasılık Yoğunluk Fonksiyonları | | | | | | | | | En Başarılı Dağılım |
|---------------|--------------|---------------------------------|----------|----------|------------|--------------|--------------|--------|------------|------------|---------------------|
| | | Beta | Gamma-2p | Gamma-3p | Johnson SB | Lognormal-2p | Lognormal-3p | Normal | Weibull-2p | Weibull-3p | |
| 1117 | Çsc3 | 6 | 7 | 9 | 1 | 5 | 4 | 3 | 2 | 8 | Johnson SB |
| 1118 | Çsc3 | 7 | 5 | 8 | 1 | 6 | 9 | 3 | 2 | 4 | Johnson SB |
| 1119 | Çsc3 | 1 | 8 | 6 | 3 | 4 | 5 | 7 | 2 | Çözümsüz | Beta |
| 1120 | Çsc3 | 9 | 6 | 4 | 5 | 2 | 3 | 8 | 7 | 1 | Weibull-3p |
| 1121 | Çscd1 | 6 | 5 | 8 | 1 | 4 | 9 | 3 | 2 | 7 | Johnson SB |
| 1122 | Çscd1 | 3 | 8 | 7 | 1 | 9 | 6 | 5 | 4 | 2 | Johnson SB |
| 1123 | Çscd1 | 1 | 8 | 9 | 2 | 7 | 5 | 4 | 3 | 6 | Beta |
| 1124 | Çscd1 | 6 | 8 | 5 | 2 | 9 | 3 | 4 | 7 | 1 | Weibull-3p |
| 1125 | Çscd1 | 7 | 6 | 8 | 1 | 5 | 9 | 3 | 2 | 4 | Johnson SB |
| 1126 | Çscd1 | 2 | 7 | 6 | 1 | 8 | 5 | 4 | 3 | Çözümsüz | Johnson SB |
| 1127 | Çscd1 | 4 | 7 | 9 | 1 | 6 | 5 | 2 | 3 | 8 | Johnson SB |
| 1128 | Çscd1 | 2 | 8 | 9 | 1 | 3 | 6 | 7 | 5 | 4 | Johnson SB |
| 1129 | Çscd1 | 2 | 7 | 9 | 1 | 4 | 6 | 5 | 3 | 8 | Johnson SB |
| 1130 | Çscd1 | 9 | 7 | 6 | 2 | 8 | 5 | 4 | 1 | 3 | Weibull-2p |
| 1131 | Çscd1 | 7 | 8 | 4 | 1 | 9 | 5 | 3 | 6 | 2 | Johnson SB |
| 1132 | Çscd2 | 7 | 5 | 9 | 1 | 8 | 3 | 2 | 4 | 6 | Johnson SB |
| 1133 | Çscd2 | 9 | 1 | 8 | 2 | 3 | 7 | 5 | 4 | 6 | Gamma-2p |
| 1134 | Çscd2 | 3 | 6 | 2 | Çözümsüz | 8 | 1 | 5 | 7 | 4 | Lognormal-3p |
| 1135 | Çscd2 | 9 | 7 | 5 | 2 | 8 | 4 | 3 | 6 | 1 | Weibull-3p |
| 1136 | Çscd2 | 4 | 6 | 2 | Çözümsüz | 8 | 3 | 1 | 7 | 5 | Normal |
| 1137 | Çscd2 | 2 | 9 | 6 | 1 | 8 | 5 | 4 | 3 | 7 | Johnson SB |
| 1138 | Çscd2 | 9 | 4 | 5 | 1 | 2 | 6 | 7 | 8 | 3 | Johnson SB |
| 1139 | Çscd2 | 7 | 8 | 6 | 3 | 9 | 5 | 4 | 2 | 1 | Weibull-3p |
| 1140 | Çscd2 | 6 | 5 | 2 | 9 | 3 | 1 | 8 | 7 | 4 | Lognormal-3p |
| 1141 | Çscd2 | 6 | 4 | 9 | 3 | 5 | 8 | 2 | 1 | 7 | Weibull-2p |
| 1142 | Çscd2 | 5 | 8 | 4 | 1 | 9 | 3 | 2 | 6 | 7 | Johnson SB |
| 1143 | Çscd2 | 9 | 8 | 6 | 1 | 7 | 4 | 5 | 2 | 3 | Johnson SB |
| 1144 | Çscd2 | 9 | 1 | 2 | 6 | 8 | 3 | 4 | 7 | 5 | Gamma-2p |
| 1145 | Çscd2 | Çözümsüz | 8 | 6 | 1 | 7 | 5 | 4 | 3 | 2 | Johnson SB |
| 1146 | Çscd2 | 1 | 9 | 6 | 2 | 8 | 7 | 5 | 4 | 3 | Beta |
| 1147 | Çscd2 | 3 | 6 | 4 | 1 | 7 | 5 | 8 | 9 | 2 | Johnson SB |
| 1148 | Çscd2 | 3 | 8 | 7 | 1 | 9 | 5 | 6 | 4 | 2 | Johnson SB |
| 1149 | Çscd2 | 8 | 6 | 3 | Çözümsüz | 7 | 2 | 1 | 4 | 5 | Normal |
| 1150 | Çscd2 | 8 | 6 | 5 | 1 | 7 | 4 | 3 | 2 | Çözümsüz | Johnson SB |
| 1151 | Çscd2 | 2 | 5 | 9 | 1 | 7 | 8 | 4 | 3 | 6 | Johnson SB |
| 1152 | Çscd2 | 9 | 8 | 6 | 1 | 7 | 5 | 4 | 2 | 3 | Johnson SB |
| 1153 | Çscd2 | 8 | 4 | 1 | 5 | 3 | 9 | 7 | 6 | 2 | Gamma-3p |
| 1154 | Çscd2 | 8 | 1 | 9 | 6 | 4 | 7 | 5 | 3 | 2 | Gamma-2p |
| 1155 | Çscd2 | 4 | 6 | 9 | 1 | 7 | 5 | 3 | 2 | 8 | Johnson SB |
| 1156 | Çscd2 | 5 | 1 | 8 | 2 | 4 | 9 | 7 | 6 | 3 | Gamma-2p |
| 1157 | Çscd2 | 7 | 5 | 8 | 2 | 4 | 9 | 6 | 3 | 1 | Weibull-3p |
| 1158 | Çscd2 | 3 | 5 | 9 | 2 | 6 | 4 | 7 | 8 | 1 | Weibull-3p |
| 1159 | Çscd2 | 9 | 7 | 3 | 5 | 8 | 2 | 1 | 4 | 6 | Normal |
| 1160 | Çscd2 | 9 | 8 | 6 | 1 | 7 | 5 | 3 | 2 | 4 | Johnson SB |
| 1161 | Çscd2 | 5 | 1 | 9 | 4 | 2 | 3 | 7 | 6 | 8 | Gamma-2p |
| 1162 | Çscd3 | 2 | 8 | 9 | 1 | 4 | 7 | 6 | 3 | 5 | Johnson SB |
| 1163 | Çscd3 | Çözümsüz | 6 | 5 | Çözümsüz | 7 | 4 | 3 | 1 | 2 | Weibull-2p |
| 1164 | Çscd3 | 2 | 7 | 4 | Çözümsüz | 8 | 3 | 6 | 5 | 1 | Weibull-3p |
| 1165 | Çscd3 | 7 | 5 | 9 | 1 | 4 | 8 | 3 | 2 | 6 | Johnson SB |
| 1166 | Çscd3 | 6 | 1 | 9 | 5 | 2 | 4 | 7 | 3 | 8 | Gamma-2p |
| 1167 | Çscd3 | 4 | 2 | 6 | 3 | 1 | 5 | 8 | 9 | 7 | Lognormal-2p |
| 1168 | Çscd3 | 7 | 3 | 8 | 1 | 2 | 9 | 4 | 6 | 5 | Johnson SB |
| 1169 | Çscd3 | 7 | 8 | 6 | 1 | 9 | 5 | 4 | 3 | 2 | Johnson SB |
| 1170 | Çscd3 | 2 | 5 | 9 | 1 | 4 | 3 | 7 | 6 | 8 | Johnson SB |
| 1171 | Çscd3 | 8 | 7 | 5 | 1 | 9 | 4 | 3 | 6 | 2 | Johnson SB |
| 1172 | Çscd3 | 7 | 4 | 6 | 2 | 1 | 5 | 8 | 9 | 3 | Lognormal-2p |
| 1173 | Çscd3 | 1 | 7 | 4 | Çözümsüz | 8 | 3 | 2 | 6 | 5 | Beta |
| 1174 | Çscd3 | 9 | 1 | 5 | 6 | 3 | 2 | 7 | 4 | 8 | Gamma-2p |

Tablo 4.1.'in devamı

| Örnek Alan No | Mesçere Tipi | Olasılık Yoğunluk Fonksiyonları | | | | | | | | | En Başarılı Dağılım |
|---------------|--------------|---------------------------------|----------|----------|------------|--------------|--------------|--------|------------|------------|---------------------|
| | | Beta | Gamma-2p | Gamma-3p | Johnson SB | Lognormal-2p | Lognormal-3p | Normal | Weibull-2p | Weibull-3p | |
| 1175 | Çscd3 | 8 | 1 | 7 | 2 | 5 | 9 | 4 | 3 | 6 | Gamma-2p |
| 1176 | Çscd3 | 1 | 8 | 6 | 2 | 9 | 5 | 4 | 3 | 7 | Beta |
| 1177 | Çscd3 | Çözümsüz | 2 | 3 | Çözümsüz | 4 | 1 | 6 | 7 | 5 | Lognormal-3p |
| 1178 | Çscd3 | 7 | 6 | 8 | 1 | 5 | 4 | 3 | 2 | 9 | Johnson SB |
| 1179 | Çscd3 | 4 | 5 | 9 | 2 | 8 | 7 | 3 | 1 | 6 | Weibull-2p |
| 1180 | Çscd3 | Çözümsüz | 4 | 1 | Çözümsüz | 7 | 2 | 3 | 6 | 5 | Gamma-3p |
| 1181 | Çscd3 | 7 | 1 | 8 | 3 | 4 | 9 | 5 | 2 | 6 | Gamma-2p |
| 1182 | Çscd3 | 1 | 4 | 5 | 3 | 7 | 6 | 8 | 9 | 2 | Beta |
| 1183 | Çscd3 | 6 | 2 | 9 | 1 | 4 | 3 | 7 | 5 | 8 | Johnson SB |
| 1184 | Çscd3 | 6 | 8 | 3 | 4 | 9 | 2 | 1 | 5 | 7 | Normal |
| 1185 | Çscd3 | 6 | 4 | 9 | 1 | 5 | 8 | 2 | 3 | 7 | Johnson SB |
| 1186 | Çscd3 | 5 | 7 | 3 | 4 | 8 | 2 | 1 | 6 | Çözümsüz | Normal |
| 1187 | Çscd3 | 7 | 4 | 9 | 1 | 5 | 6 | 3 | 2 | 8 | Johnson SB |
| 1188 | Çscd3 | 1 | 6 | 8 | 3 | 5 | 2 | 9 | 7 | 4 | Beta |
| 1189 | Çscd3 | 6 | 2 | 8 | 4 | 3 | 9 | 5 | 1 | 7 | Weibull-2p |
| 1190 | Çscd3 | 7 | 6 | 3 | 1 | 2 | 5 | 9 | 8 | 4 | Johnson SB |
| 1191 | Çscd3 | 4 | 5 | 8 | 6 | 3 | 2 | 9 | 7 | 1 | Weibull-3p |
| 1192 | Çsd1 | 7 | 3 | 9 | 1 | 4 | 5 | 2 | 6 | 8 | Johnson SB |
| 1193 | Çsd1 | 7 | 4 | 9 | 6 | 5 | 8 | 3 | 1 | 2 | Weibull-2p |
| 1194 | Çsd1 | 9 | 2 | 7 | 3 | 5 | 4 | 1 | 6 | 8 | Normal |
| 1195 | Çsd1 | 6 | 3 | --- | 2 | 5 | --- | 4 | 1 | --- | Weibull-2p |
| 1196 | Çsd1 | 6 | 2 | 8 | 5 | 4 | 7 | 3 | 1 | --- | Weibull-2p |
| 1197 | Çsd1 | 6 | 2 | 4 | 1 | 7 | 3 | 9 | 8 | 5 | Johnson SB |
| 1198 | Çsd1 | 3 | 6 | 2 | 4 | 5 | 9 | 8 | 7 | 1 | Weibull-3p |
| 1199 | Çsd1 | 5 | 6 | 4 | 2 | 7 | 3 | 1 | 8 | 9 | Normal |
| 1200 | Çsd1 | 9 | 6 | 5 | 2 | 8 | 4 | 3 | 7 | 1 | Weibull-3p |
| 1201 | Çsd2 | 7 | 6 | 5 | 1 | 9 | 3 | 4 | 8 | 2 | Johnson SB |
| 1202 | Çsd2 | 2 | 7 | 6 | Çözümsüz | 8 | 4 | 1 | 5 | 3 | Normal |
| 1203 | Çsd2 | 2 | 7 | 6 | 1 | 8 | 4 | 3 | 5 | Çözümsüz | Johnson SB |
| 1204 | Çsd2 | 8 | 2 | 4 | Çözümsüz | 1 | 3 | 6 | 7 | 5 | Lognormal-2p |
| 1205 | Çsd2 | 1 | 9 | 6 | 2 | 8 | 7 | 4 | 3 | 5 | Beta |
| 1206 | Çsd2 | 8 | 5 | 7 | 1 | 6 | 9 | 4 | 2 | 3 | Johnson SB |
| 1207 | Çsd2 | 5 | 6 | 4 | 1 | 8 | 3 | 2 | 7 | Çözümsüz | Johnson SB |
| 1208 | Çsd2 | 7 | 8 | 3 | 1 | 9 | 5 | 4 | 2 | 6 | Johnson SB |
| 1209 | Çsd2 | 5 | 6 | 4 | Çözümsüz | 8 | 2 | 1 | 7 | 3 | Normal |
| 1210 | Çsd2 | 7 | 5 | 4 | 1 | 6 | 3 | 2 | 8 | Çözümsüz | Johnson SB |
| 1211 | Çsd2 | 8 | 4 | 3 | 5 | 9 | 2 | 1 | 7 | 6 | Normal |
| 1212 | Çsd2 | 9 | 7 | 6 | 2 | 8 | 4 | 3 | 1 | 5 | Weibull-2p |
| 1213 | Çsd2 | 8 | 7 | 1 | 5 | 9 | 3 | 2 | 6 | 4 | Gamma-3p |
| 1214 | Çsd2 | 4 | 8 | 7 | 1 | 9 | 6 | 5 | 3 | 2 | Johnson SB |
| 1215 | Çsd2 | 3 | 8 | 6 | 1 | 7 | 5 | 4 | 2 | Çözümsüz | Johnson SB |
| 1216 | Çsd2 | 6 | 8 | 5 | 2 | 9 | 3 | 4 | 1 | 7 | Weibull-2p |
| 1217 | Çsd2 | 1 | 9 | 8 | 2 | 4 | 7 | 5 | 3 | 6 | Beta |
| 1218 | Çsd2 | 5 | 7 | 9 | 1 | 6 | 4 | 3 | 2 | 8 | Johnson SB |
| 1219 | Çsd2 | 5 | 6 | 4 | 1 | 7 | 2 | 3 | 8 | Çözümsüz | Johnson SB |
| 1220 | Çsd2 | 4 | 6 | 2 | 5 | 7 | 3 | 8 | 9 | 1 | Weibull-3p |
| 1221 | Çsd2 | 5 | 4 | 9 | 3 | 2 | 1 | 6 | 8 | 7 | Lognormal-3p |
| 1222 | Çsd2 | 3 | 8 | 7 | 2 | 9 | 6 | 5 | 4 | 1 | Weibull-3p |
| 1223 | Çsd2 | 9 | 7 | 6 | 1 | 8 | 3 | 2 | 5 | 4 | Johnson SB |
| 1224 | Çsd2 | 6 | 5 | 8 | 1 | 7 | 3 | 2 | 4 | Çözümsüz | Johnson SB |
| 1225 | Çsd2 | 6 | 8 | 7 | 1 | 9 | 4 | 3 | 2 | 5 | Johnson SB |
| 1226 | Çsd3 | 2 | 8 | 5 | 1 | 7 | 4 | 6 | 3 | Çözümsüz | Johnson SB |
| 1227 | Çsd3 | 6 | 8 | 7 | 2 | 9 | 5 | 3 | 4 | 1 | Weibull-3p |
| 1228 | Çsd3 | 2 | 8 | 7 | 1 | 9 | 6 | 5 | 4 | 3 | Johnson SB |
| 1229 | Çsd3 | 9 | 6 | 7 | 2 | 8 | 5 | 4 | 1 | 3 | Weibull-2p |
| 1230 | Çsd3 | 1 | 7 | 4 | 6 | 8 | 2 | 3 | 5 | Çözümsüz | Beta |
| 1231 | Çsd3 | 3 | 9 | 5 | 4 | 2 | 7 | 6 | 1 | 8 | Weibull-2p |
| 1232 | Çsd3 | 4 | 6 | 1 | 7 | 8 | 3 | 2 | 5 | Çözümsüz | Gamma-3p |

Tablo 4.1.'in devamı

| Örnek Alan No | Mesçere Tipi | Olasılık Yoğunluk Fonksiyonları | | | | | | | | | En Başarılı Dağılım |
|---------------|--------------|---------------------------------|----------|----------|------------|--------------|--------------|--------|------------|------------|---------------------|
| | | Beta | Gamma-2p | Gamma-3p | Johnson SB | Lognormal-2p | Lognormal-3p | Normal | Weibull-2p | Weibull-3p | |
| 1233 | Çsd3 | 6 | 7 | 5 | 2 | 9 | 4 | 3 | 8 | 1 | Weibull-3p |
| 1234 | Çsd3 | 7 | 8 | 6 | 1 | 9 | 5 | 4 | 3 | 2 | Johnson SB |
| 1235 | Çsd3 | 3 | 8 | 6 | 1 | 7 | 5 | 4 | 2 | Çözümsüz | Johnson SB |
| 1236 | Çsd3 | 4 | 7 | 5 | 1 | 8 | 3 | 2 | 6 | Çözümsüz | Johnson SB |
| 1237 | Çsd3 | 4 | 6 | 1 | Çözümsüz | 7 | 2 | 3 | 8 | 5 | Gamma-3p |
| 1238 | Çsd3 | 7 | 1 | 8 | 3 | 2 | 9 | 4 | 5 | 6 | Gamma-2p |
| 1239 | Çsd3 | 8 | 7 | 6 | 1 | 9 | 5 | 4 | 2 | 3 | Johnson SB |
| 1240 | Çsd3 | 6 | 2 | 8 | 5 | 4 | 7 | 3 | 1 | --- | Weibull-2p |
| 1241 | Çsd3 | 8 | 5 | 4 | 1 | 6 | 3 | 2 | 7 | Çözümsüz | Johnson SB |
| 1242 | Çsd3 | 2 | 7 | 3 | 6 | 8 | 4 | 5 | 1 | Çözümsüz | Weibull-2p |
| 1243 | Çsd3 | 1 | 5 | 9 | 2 | 3 | 6 | 8 | 4 | 7 | Beta |

Tablo 4.2. *Olasılık yoğunluk fonksiyonlarının Kolmogorov-Smirnov (KS) istatistiğine göre sıralamaları (II. Bonitet)*

| Örnek Alan No | Meşçere Tipi | Olasılık Yoğunluk Fonksiyonları | | | | | | | | | En Başarılı Dağılım |
|---------------|--------------|---------------------------------|----------|----------|------------|--------------|--------------|--------|------------|------------|---------------------|
| | | Beta | Gamma-2p | Gamma-3p | Johnson SB | Lognormal-2p | Lognormal-3p | Normal | Weibull-2p | Weibull-3p | |
| 2001 | Çsb1 | 7 | 4 | 9 | 1 | 5 | 6 | 3 | 2 | 8 | Johnson SB |
| 2002 | Çsb1 | 6 | 1 | --- | 2 | 5 | --- | 4 | 3 | 7 | Gamma-2p |
| 2003 | Çsb2 | 7 | 4 | 9 | 1 | 5 | 2 | 3 | 6 | 8 | Johnson SB |
| 2004 | Çsb2 | 2 | 6 | 4 | Çözümsüz | 5 | 3 | 7 | 8 | 1 | Weibull-3p |
| 2005 | Çsb2 | 9 | 1 | 2 | 5 | 6 | 3 | 4 | 8 | 7 | Gamma-2p |
| 2006 | Çsb3 | 6 | 3 | --- | 1 | 5 | --- | 4 | 2 | --- | Johnson SB |
| 2007 | Çsb3 | 9 | 8 | 6 | 2 | 7 | 5 | 4 | 1 | 3 | Weibull-2p |
| 2008 | Çsb3 | 5 | 1 | 6 | Çözümsüz | 4 | 7 | 3 | 2 | --- | Gamma-2p |
| 2009 | Çsb3 | 7 | 2 | --- | 1 | 5 | 6 | 4 | 3 | --- | Johnson SB |
| 2010 | Çsb3 | 6 | 1 | --- | 5 | 4 | --- | 3 | 2 | --- | Gamma-2p |
| 2011 | Çsb3 | 1 | 4 | 7 | 2 | 6 | --- | 5 | 3 | --- | Beta |
| 2012 | Çsb3 | 7 | 4 | 9 | 1 | 5 | 8 | 3 | 2 | 6 | Johnson SB |
| 2013 | Çsb3 | 5 | 1 | 6 | Çözümsüz | 4 | --- | 3 | 2 | --- | Gamma-2p |
| 2014 | Çsb3 | 7 | 2 | 9 | 1 | 3 | 8 | 5 | 6 | 4 | Johnson SB |
| 2015 | Çsb3 | 2 | 9 | 7 | 3 | 8 | 6 | 4 | 1 | 5 | Weibull-2p |
| 2016 | Çsb3 | 4 | 8 | 6 | 5 | 9 | 7 | 1 | 3 | 2 | Normal |
| 2017 | Çsb3 | 7 | 3 | 8 | 5 | 4 | 9 | 2 | 1 | 6 | Weibull-2p |
| 2018 | Çsb3 | 7 | 1 | 9 | 2 | 3 | 6 | 4 | 5 | 8 | Gamma-2p |
| 2019 | Çsb3 | 8 | 2 | 4 | Çözümsüz | 7 | 3 | 1 | 6 | 5 | Normal |
| 2020 | Çsb3 | 6 | 1 | --- | 5 | 4 | --- | 3 | 2 | --- | Gamma-2p |
| 2021 | Çsb3 | 8 | 3 | 9 | 1 | 5 | 7 | 2 | 4 | 6 | Johnson SB |
| 2022 | Çsb3 | 6 | 2 | 7 | 1 | 5 | --- | 4 | 3 | --- | Johnson SB |
| 2023 | Çsb3 | 8 | 3 | 9 | 1 | 5 | 7 | 2 | 4 | 6 | Johnson SB |
| 2024 | Çsb3 | 3 | 9 | 7 | 1 | 8 | 5 | 6 | 2 | 4 | Johnson SB |
| 2025 | Çsb3 | --- | 3 | --- | 1 | 5 | 6 | 4 | 2 | --- | Johnson SB |
| 2026 | Çsb3 | 2 | 4 | 6 | 5 | 1 | 7 | 8 | 9 | 3 | Lognormal-2p |
| 2027 | Çsb3 | 6 | 2 | 9 | 3 | 1 | 4 | 5 | 7 | 8 | Lognormal-2p |
| 2028 | Çsb3 | --- | 3 | --- | 1 | 5 | --- | 4 | 2 | 6 | Johnson SB |
| 2029 | Çsb3 | 6 | 2 | --- | 1 | 5 | --- | 4 | 3 | --- | Johnson SB |
| 2030 | Çsb3 | 4 | 8 | 7 | 1 | 9 | 6 | 5 | 2 | 3 | Johnson SB |
| 2031 | Çsb3 | 8 | 4 | 9 | 1 | 5 | 6 | 3 | 2 | 7 | Johnson SB |
| 2032 | Çsb3 | 6 | 2 | 8 | 1 | 5 | 7 | 3 | 4 | --- | Johnson SB |
| 2033 | Çsb3 | 2 | 6 | 9 | 3 | 7 | 4 | 1 | 5 | 8 | Normal |
| 2034 | Çsb3 | 8 | 4 | 7 | 1 | 5 | 9 | 3 | 2 | 6 | Johnson SB |
| 2035 | Çsb3 | 7 | 3 | 6 | 1 | 5 | --- | 4 | 2 | --- | Johnson SB |
| 2036 | Çsbc1 | 8 | 1 | 9 | 5 | 2 | 3 | 4 | 6 | 7 | Gamma-2p |
| 2037 | Çsbc1 | 6 | 1 | --- | 5 | 4 | --- | 3 | 2 | --- | Gamma-2p |
| 2038 | Çsbc1 | 6 | 3 | --- | 1 | 5 | 7 | 4 | 2 | --- | Johnson SB |
| 2039 | Çsbc1 | 2 | 8 | 4 | 1 | 9 | 7 | 5 | 3 | 6 | Johnson SB |
| 2040 | Çsbc1 | 3 | 5 | 8 | 2 | 4 | 1 | 7 | 6 | 9 | Lognormal-3p |
| 2041 | Çsbc1 | 8 | 5 | 3 | 2 | 7 | 6 | 4 | 1 | Çözümsüz | Weibull-2p |
| 2042 | Çsbc1 | 1 | 8 | 7 | 2 | 9 | 5 | 4 | 6 | 3 | Beta |
| 2043 | Çsbc2 | 7 | 6 | 9 | 1 | 5 | 4 | 3 | 2 | 8 | Johnson SB |
| 2044 | Çsbc2 | 7 | 1 | 9 | 2 | 3 | 8 | 4 | 5 | 6 | Gamma-2p |
| 2045 | Çsbc2 | 7 | 5 | 9 | 1 | 6 | 4 | 3 | 2 | 8 | Johnson SB |
| 2046 | Çsbc2 | 8 | 1 | 6 | 3 | 2 | 9 | 5 | 4 | 7 | Gamma-2p |
| 2047 | Çsbc2 | 2 | 3 | 8 | 4 | 5 | 1 | 7 | 6 | 9 | Lognormal-3p |
| 2048 | Çsbc2 | 1 | 5 | 2 | Çözümsüz | 7 | 3 | 6 | 8 | 4 | Beta |
| 2049 | Çsbc2 | 2 | 8 | 7 | 3 | 9 | 6 | 5 | 1 | 4 | Weibull-2p |
| 2050 | Çsbc2 | 6 | 5 | 9 | 1 | 2 | 3 | 7 | 8 | 4 | Johnson SB |
| 2051 | Çsbc2 | 9 | 7 | 6 | 1 | 8 | 4 | 3 | 2 | 5 | Johnson SB |
| 2052 | Çsbc2 | 4 | 8 | 6 | 2 | 3 | 7 | 5 | 1 | Çözümsüz | Weibull-2p |
| 2053 | Çsbc2 | 7 | 2 | 8 | 1 | 3 | 4 | 5 | 6 | 9 | Johnson SB |
| 2054 | Çsbc2 | 6 | 2 | 7 | 3 | 1 | 9 | 4 | 5 | 8 | Lognormal-2p |
| 2055 | Çsbc2 | 6 | 8 | 5 | 1 | 9 | 4 | 3 | 2 | 7 | Johnson SB |
| 2056 | Çsbc2 | 8 | 3 | 1 | 5 | 7 | 9 | 4 | 6 | 2 | Gamma-3p |
| 2057 | Çsbc2 | 7 | 3 | 5 | 2 | 4 | 1 | 8 | 9 | 6 | Lognormal-3p |

Tablo 4.2. 'nin devamı

| Örnek Alan No | Meşçere Tipi | Olasılık Yoğunluk Fonksiyonları | | | | | | | | | En Başarılı Dağılım |
|---------------|--------------|---------------------------------|----------|----------|------------|--------------|--------------|--------|------------|------------|---------------------|
| | | Beta | Gamma-2p | Gamma-3p | Johnson SB | Lognormal-2p | Lognormal-3p | Normal | Weibull-2p | Weibull-3p | |
| 2058 | Çsbc2 | 8 | 4 | 9 | 1 | 3 | 7 | 6 | 5 | 2 | Johnson SB |
| 2059 | Çsbc2 | 7 | 6 | 2 | 4 | 5 | 3 | 8 | 9 | 1 | Weibull-3p |
| 2060 | Çsbc2 | 6 | 3 | 8 | 1 | 5 | -- | 4 | 2 | 7 | Johnson SB |
| 2061 | Çsbc2 | 7 | 4 | 9 | 5 | 6 | 3 | 2 | 1 | 8 | Weibull-2p |
| 2062 | Çsbc2 | 2 | 5 | 9 | 3 | 4 | 1 | 8 | 6 | 7 | Lognormal-3p |
| 2063 | Çsbc2 | 9 | 4 | 6 | 3 | 8 | 5 | 2 | 1 | 7 | Weibull-2p |
| 2064 | Çsbc2 | 3 | 4 | 9 | 1 | 2 | 5 | 6 | 7 | 8 | Johnson SB |
| 2065 | Çsbc2 | 4 | 7 | 6 | Çözümsüz | 8 | 5 | 3 | 2 | 1 | Weibull-3p |
| 2066 | Çsbc3 | 4 | 3 | 9 | 7 | 1 | 2 | 6 | 5 | 8 | Lognormal-2p |
| 2067 | Çsbc3 | 7 | 3 | 9 | 1 | 4 | 2 | 5 | 6 | 8 | Johnson SB |
| 2068 | Çsbc3 | 2 | 3 | 9 | 1 | 4 | 5 | 6 | 7 | 8 | Johnson SB |
| 2069 | Çsbc3 | 4 | 6 | 9 | 2 | 7 | 5 | 3 | 1 | 8 | Weibull-2p |
| 2070 | Çsbc3 | 1 | 8 | 7 | 3 | 9 | 6 | 5 | 2 | 4 | Beta |
| 2071 | Çsbc3 | 4 | 1 | 9 | 3 | 2 | 5 | 6 | 7 | 8 | Gamma-2p |
| 2072 | Çsbc3 | 9 | 6 | 2 | 3 | 5 | 4 | 7 | 8 | 1 | Weibull-3p |
| 2073 | Çsbc3 | 7 | 5 | 9 | 1 | 6 | 8 | 4 | 3 | 2 | Johnson SB |
| 2074 | Çsbc3 | 5 | 1 | 2 | 3 | 7 | 4 | 8 | 9 | 6 | Gamma-2p |
| 2075 | Çsbc3 | 2 | 4 | 9 | 1 | 3 | 5 | 6 | 7 | 8 | Johnson SB |
| 2076 | Çsbc3 | 7 | 4 | 9 | 3 | 2 | 1 | 5 | 6 | 8 | Lognormal-3p |
| 2077 | Çsbc3 | 8 | 6 | 4 | 1 | 2 | 5 | 9 | 7 | 3 | Johnson SB |
| 2078 | Çsbc3 | 6 | 3 | 7 | Çözümsüz | 4 | 5 | 1 | 2 | 8 | Normal |
| 2079 | Çsbc3 | 6 | 1 | --- | 5 | 4 | --- | 3 | 2 | --- | Gamma-2p |
| 2080 | Çsbc3 | 7 | 5 | 9 | 1 | 6 | 4 | 3 | 2 | 8 | Johnson SB |
| 2081 | Çsbc3 | 6 | 2 | 8 | 3 | 1 | 9 | 4 | 5 | 7 | Lognormal-2p |
| 2082 | Çsbc3 | 9 | 4 | 3 | 2 | 6 | 5 | 7 | 8 | 1 | Weibull-3p |
| 2083 | Çsbc3 | 9 | 7 | 5 | 4 | 8 | 3 | 2 | 1 | 6 | Weibull-2p |
| 2084 | Çsbc3 | 9 | 4 | 2 | 3 | 7 | 8 | 5 | 6 | 1 | Weibull-3p |
| 2085 | Çsbc3 | 8 | 7 | 2 | 1 | 9 | 3 | 6 | 4 | 5 | Johnson SB |
| 2086 | Çsbc3 | 1 | 6 | 9 | 2 | 7 | 5 | 4 | 3 | 8 | Beta |
| 2087 | Çsbc3 | 6 | 1 | --- | 2 | 5 | --- | 4 | 3 | --- | Gamma-2p |
| 2088 | Çsbc3 | 7 | 6 | 2 | 1 | 5 | 4 | 8 | 9 | 3 | Johnson SB |
| 2089 | Çsbc3 | 7 | 5 | 9 | 1 | 6 | 4 | 3 | 2 | 8 | Johnson SB |
| 2090 | Çsbc3 | --- | 3 | --- | 5 | 4 | 6 | 1 | 2 | --- | Normal |
| 2091 | Çsbc3 | 2 | 8 | 7 | 1 | 9 | 6 | 3 | 5 | 4 | Johnson SB |
| 2092 | Çsbc3 | 7 | 4 | 8 | 1 | 5 | 9 | 3 | 2 | 6 | Johnson SB |
| 2093 | Çsbc3 | --- | 4 | --- | --- | 3 | --- | 2 | 1 | --- | Weibull-2p |
| 2094 | Çsbc3 | 9 | 3 | 7 | 1 | 2 | 8 | 6 | 5 | 4 | Johnson SB |
| 2095 | Çsbc3 | 4 | 7 | 6 | Çözümsüz | 8 | 3 | 1 | 5 | 2 | Normal |
| 2096 | Çsc1 | 7 | 4 | 9 | 1 | 5 | 6 | 3 | 2 | 8 | Johnson SB |
| 2097 | Çsc1 | 3 | 9 | 7 | 1 | 8 | 6 | 5 | 2 | 4 | Johnson SB |
| 2098 | Çsc1 | 9 | 1 | 3 | 5 | 6 | 4 | 8 | 7 | 2 | Gamma-2p |
| 2099 | Çsc1 | 9 | 6 | 1 | 4 | 5 | 2 | 8 | 7 | 3 | Gamma-3p |
| 2100 | Çsc1 | 7 | 3 | 9 | 2 | 4 | 8 | 6 | 5 | 1 | Weibull-3p |
| 2101 | Çsc2 | 7 | 4 | 8 | 1 | 5 | 9 | 3 | 2 | 6 | Johnson SB |
| 2102 | Çsc2 | 3 | 8 | 5 | 1 | 9 | 7 | 6 | 4 | 2 | Johnson SB |
| 2103 | Çsc2 | 2 | 6 | 3 | 5 | 7 | 1 | 8 | 9 | 4 | Lognormal-3p |
| 2104 | Çsc2 | 8 | 4 | 9 | 2 | 7 | 5 | 3 | 1 | 6 | Weibull-2p |
| 2105 | Çsc2 | 8 | 4 | 9 | 3 | 5 | 6 | 2 | 1 | 7 | Weibull-2p |
| 2106 | Çsc2 | 2 | 9 | 7 | 3 | 8 | 5 | 6 | 1 | 4 | Weibull-2p |
| 2107 | Çsc2 | 7 | 3 | 8 | 2 | 4 | 9 | 6 | 5 | 1 | Weibull-3p |
| 2108 | Çsc2 | 2 | 8 | 6 | 3 | 9 | 5 | 4 | 7 | 1 | Weibull-3p |
| 2109 | Çsc2 | 3 | 7 | 5 | Çözümsüz | 8 | 4 | 2 | 6 | 1 | Weibull-3p |
| 2110 | Çsc2 | 9 | 7 | 5 | 1 | 8 | 3 | 2 | 6 | 4 | Johnson SB |
| 2111 | Çsc2 | 9 | 8 | 6 | 1 | 7 | 5 | 3 | 2 | 4 | Johnson SB |
| 2112 | Çsc2 | 3 | 8 | 7 | 1 | 9 | 5 | 6 | 4 | 2 | Johnson SB |
| 2113 | Çsc2 | 9 | 4 | 2 | 3 | 8 | 1 | 6 | 5 | 7 | Lognormal-3p |
| 2114 | Çsc2 | 7 | 1 | 8 | 2 | 3 | 9 | 5 | 4 | 6 | Gamma-2p |
| 2115 | Çsc2 | 7 | 3 | 4 | 2 | 1 | 6 | 9 | 8 | 5 | Lognormal-2p |
| 2116 | Çsc2 | 6 | 8 | 4 | 3 | 9 | 1 | 2 | 7 | 5 | Lognormal-3p |

Tablo 4.2. 'nin devamı

| Örnek Alan No | Meşçere Tipi | Olasılık Yoğunluk Fonksiyonları | | | | | | | | | En Başarılı Dağılım |
|---------------|--------------|---------------------------------|----------|----------|------------|--------------|--------------|--------|------------|------------|---------------------|
| | | Beta | Gamma-2p | Gamma-3p | Johnson SB | Lognormal-2p | Lognormal-3p | Normal | Weibull-2p | Weibull-3p | |
| 2117 | Çsc2 | 4 | 6 | 9 | 1 | 3 | 2 | 8 | 7 | 5 | Johnson SB |
| 2118 | Çsc2 | 2 | 7 | 6 | 1 | 8 | 4 | 3 | 5 | Çözümsüz | Johnson SB |
| 2119 | Çsc2 | 7 | 5 | 9 | 4 | 6 | 3 | 2 | 1 | 8 | Weibull-2p |
| 2120 | Çsc2 | 6 | 2 | 9 | 1 | 3 | 8 | 4 | 5 | 7 | Johnson SB |
| 2121 | Çsc2 | 9 | 8 | 5 | 1 | 7 | 6 | 4 | 3 | 2 | Johnson SB |
| 2122 | Çsc2 | 9 | 7 | 5 | 3 | 8 | 4 | 2 | 1 | 6 | Weibull-2p |
| 2123 | Çsc2 | 8 | 3 | 9 | 2 | 6 | 7 | 5 | 4 | 1 | Weibull-3p |
| 2124 | Çsc2 | 7 | 5 | 8 | 1 | 4 | 9 | 3 | 2 | 6 | Johnson SB |
| 2125 | Çsc2 | 6 | 3 | 7 | 1 | 5 | --- | 4 | 2 | --- | Johnson SB |
| 2126 | Çsc2 | 7 | 8 | 5 | 4 | 9 | 3 | 1 | 2 | 6 | Normal |
| 2127 | Çsc2 | 7 | 4 | 9 | 3 | 6 | 5 | 1 | 2 | 8 | Normal |
| 2128 | Çsc2 | 7 | 2 | 5 | 3 | 9 | 4 | 1 | 8 | 6 | Normal |
| 2129 | Çsc2 | 5 | 7 | 4 | 3 | 9 | 1 | 2 | 8 | 6 | Lognormal-3p |
| 2130 | Çsc2 | 5 | 3 | 9 | 4 | 2 | 1 | 7 | 6 | 8 | Lognormal-3p |
| 2131 | Çsc3 | 4 | 8 | 7 | 2 | 9 | 6 | 5 | 3 | 1 | Weibull-3p |
| 2132 | Çsc3 | 7 | 4 | 9 | 1 | 6 | 5 | 3 | 2 | 8 | Johnson SB |
| 2133 | Çsc3 | 5 | 8 | 7 | 2 | 9 | 6 | 4 | 1 | 3 | Weibull-2p |
| 2134 | Çsc3 | 2 | 8 | 6 | 3 | 9 | 5 | 4 | 7 | 1 | Weibull-3p |
| 2135 | Çsc3 | 7 | 8 | 6 | 1 | 9 | 4 | 3 | 2 | 5 | Johnson SB |
| 2136 | Çsc3 | 5 | 1 | 9 | 2 | 4 | 7 | 3 | 6 | 8 | Gamma-2p |
| 2137 | Çsc3 | 7 | 4 | 3 | 1 | 6 | 5 | 8 | 9 | 2 | Johnson SB |
| 2138 | Çsc3 | 8 | 4 | 5 | Çözümsüz | 7 | 3 | 2 | 1 | 6 | Weibull-2p |
| 2139 | Çsc3 | 8 | 4 | 7 | 1 | 6 | 9 | 2 | 3 | 5 | Johnson SB |
| 2140 | Çsc3 | 9 | 2 | 5 | 3 | 1 | 4 | 6 | 8 | 7 | Lognormal-2p |
| 2141 | Çsc3 | 6 | 8 | 5 | 1 | 9 | 3 | 4 | 2 | 7 | Johnson SB |
| 2142 | Çsc3 | 2 | 9 | 7 | 1 | 8 | 6 | 5 | 3 | 4 | Johnson SB |
| 2143 | Çsc3 | 4 | 9 | 5 | 1 | 8 | 7 | 6 | 2 | 3 | Johnson SB |
| 2144 | Çsc3 | 6 | 1 | 4 | 5 | 3 | 2 | 8 | 9 | 7 | Gamma-2p |
| 2145 | Çsc3 | 6 | 2 | 8 | 1 | 3 | 9 | 5 | 4 | 7 | Johnson SB |
| 2146 | Çsc3 | 6 | 4 | 8 | 1 | 5 | 9 | 3 | 2 | 7 | Johnson SB |
| 2147 | Çsc3 | 8 | 1 | 5 | Çözümsüz | 7 | 3 | 6 | 2 | 4 | Gamma-2p |
| 2148 | Çsc3 | 7 | 2 | 8 | 1 | 3 | 9 | 5 | 4 | 6 | Johnson SB |
| 2149 | Çsc3 | 3 | 8 | 6 | 2 | 9 | 5 | 1 | 7 | 4 | Normal |
| 2150 | Çsc3 | 2 | 5 | 3 | 4 | 6 | 1 | 7 | 9 | 8 | Lognormal-3p |
| 2151 | Çsc3 | 3 | 7 | 5 | Çözümsüz | 8 | 4 | 2 | 6 | 1 | Weibull-3p |
| 2152 | Çsc3 | 7 | 8 | 6 | 1 | 9 | 4 | 5 | 2 | 3 | Johnson SB |
| 2153 | Çsc3 | 2 | 4 | 3 | Çözümsüz | 8 | 5 | 6 | 7 | 1 | Weibull-3p |
| 2154 | Çsc3 | 2 | 6 | 4 | Çözümsüz | 8 | 1 | 3 | 7 | 5 | Lognormal-3p |
| 2155 | Çsc3 | 9 | 7 | 6 | 1 | 8 | 5 | 4 | 2 | 3 | Johnson SB |
| 2156 | Çsc3 | 4 | 3 | 5 | 1 | 9 | 6 | 7 | 8 | 2 | Johnson SB |
| 2157 | Çsc3 | 9 | 6 | 3 | 1 | 4 | 5 | 7 | 8 | 2 | Johnson SB |
| 2158 | Çsc3 | 7 | 3 | 9 | 1 | 2 | 8 | 4 | 5 | 6 | Johnson SB |
| 2159 | Çsc3 | 9 | 1 | 3 | 5 | 4 | 2 | 8 | 7 | 6 | Gamma-2p |
| 2160 | Çsc3 | 9 | 1 | 4 | 2 | 6 | 3 | 7 | 8 | 5 | Gamma-2p |
| 2161 | Çscd1 | 3 | 6 | 9 | 1 | 7 | 5 | 4 | 2 | 8 | Johnson SB |
| 2162 | Çscd1 | 4 | 6 | 7 | 1 | 9 | 5 | 3 | 2 | 8 | Johnson SB |
| 2163 | Çscd1 | 9 | 5 | 8 | 1 | 7 | 4 | 3 | 2 | 6 | Johnson SB |
| 2164 | Çscd1 | 8 | 4 | 9 | 1 | 5 | 7 | 6 | 3 | 2 | Johnson SB |
| 2165 | Çscd1 | 4 | 2 | 5 | 6 | 1 | 9 | 8 | 7 | 3 | Lognormal-2p |
| 2166 | Çscd1 | 6 | 3 | 8 | 1 | 2 | 9 | 4 | 5 | 7 | Johnson SB |
| 2167 | Çscd1 | 8 | 5 | 2 | 1 | 6 | 7 | 3 | 4 | 9 | Johnson SB |
| 2168 | Çscd1 | 7 | 6 | 8 | 1 | 5 | 9 | 4 | 3 | 2 | Johnson SB |
| 2169 | Çscd1 | 7 | 5 | 9 | 2 | 6 | 4 | 3 | 1 | 8 | Weibull-2p |
| 2170 | Çscd1 | 3 | 9 | 4 | 1 | 8 | 7 | 5 | 2 | 6 | Johnson SB |
| 2171 | Çscd1 | 9 | 6 | 1 | 5 | 8 | 2 | 4 | 7 | 3 | Gamma-3p |
| 2172 | Çscd1 | 5 | 4 | 6 | --- | 2 | --- | 3 | 1 | --- | Weibull-2p |
| 2173 | Çscd1 | 6 | 1 | 7 | 2 | 4 | 9 | 5 | 3 | 8 | Gamma-2p |
| 2174 | Çscd1 | 9 | 8 | 5 | 1 | 7 | 6 | 3 | 2 | 4 | Johnson SB |

Tablo 4.2. 'nin devamı

| Örnek Alan No | Mesçere Tipi | Olasılık Yoğunluk Fonksiyonları | | | | | | | | | En Başarılı Dağılım |
|---------------|----------------|---------------------------------|----------|----------|------------|--------------|--------------|--------|------------|------------|---------------------|
| | | Beta | Gamma-2p | Gamma-3p | Johnson SB | Lognormal-2p | Lognormal-3p | Normal | Weibull-2p | Weibull-3p | |
| 2175 | Çscd1 | 8 | 3 | 9 | 7 | 1 | 2 | 6 | 5 | 4 | Lognormal-2p |
| 2176 | Çscd1 | 2 | 8 | 6 | 1 | 9 | 5 | 4 | 7 | 3 | Johnson SB |
| 2177 | Çscd1 | 8 | 4 | 3 | 5 | 9 | 2 | 1 | 7 | 6 | Normal |
| 2178 | Çscd1 | 9 | 7 | 4 | 5 | 8 | 3 | 2 | 6 | 1 | Weibull-3p |
| 2179 | Çscd1 | 6 | 5 | 8 | 1 | 3 | 9 | 4 | 2 | 7 | Johnson SB |
| 2180 | Çscd1 | 3 | 8 | 6 | 1 | 9 | 5 | 4 | 7 | 2 | Johnson SB |
| 2181 | Çscd1 | 8 | 6 | 1 | 5 | 4 | 2 | 7 | 9 | 3 | Gamma-3p |
| 2182 | Çscd1 | 3 | 7 | 4 | 2 | 1 | 6 | 9 | 8 | 5 | Lognormal-2p |
| 2183 | Çscd1 | 7 | 8 | 6 | 2 | 9 | 3 | 1 | 4 | 5 | Normal |
| 2184 | Çscd1 | 9 | 3 | 4 | 5 | 1 | 2 | 7 | 8 | 6 | Lognormal-2p |
| 2185 | Çscd1 | 8 | 3 | 9 | 1 | 6 | 2 | 5 | 4 | 7 | Johnson SB |
| 2186 | Çscd1 | 7 | 5 | 9 | 1 | 6 | 4 | 2 | 3 | 8 | Johnson SB |
| 2187 | Çscd1 | 4 | 6 | 5 | 1 | 8 | 2 | 3 | 7 | Çözümsüz | Johnson SB |
| 2188 | Çscd1 | 1 | 7 | 5 | 2 | 8 | 6 | 4 | 3 | Çözümsüz | Beta |
| 2189 | Çscd1 | 3 | 5 | 9 | 1 | 4 | 8 | 7 | 6 | 2 | Johnson SB |
| 2190 | Çscd2 | 8 | 6 | 9 | 1 | 7 | 4 | 3 | 2 | 5 | Johnson SB |
| 2191 | Çscd2 | 1 | 8 | 7 | 3 | 9 | 5 | 6 | 4 | 2 | Beta |
| 2192 | Çscd2 | 6 | 3 | 9 | 4 | 2 | 1 | 7 | 5 | 8 | Lognormal-3p |
| 2193 | Çscd2 | 8 | 6 | 2 | 4 | 3 | 9 | 7 | 5 | 1 | Weibull-3p |
| 2194 | Çscd2 | 6 | 2 | 8 | 3 | 4 | 1 | 5 | 7 | 9 | Lognormal-3p |
| 2195 | Çscd2 | 2 | 8 | 5 | 1 | 9 | 7 | 6 | 3 | 4 | Johnson SB |
| 2196 | Çscd2 | 9 | 1 | 3 | 2 | 6 | 5 | 7 | 8 | 4 | Gamma-2p |
| 2197 | Çscd2 Çözümsüz | 4 | 2 | 8 | 3 | 1 | 7 | 6 | 5 | 5 | Lognormal-3p |
| 2198 | Çscd2 | 3 | 7 | 6 | Çözümsüz | 8 | 5 | 4 | 1 | 2 | Weibull-2p |
| 2199 | Çscd2 | 7 | 6 | 5 | 1 | 8 | 4 | 3 | 2 | Çözümsüz | Johnson SB |
| 2200 | Çscd2 | 1 | 7 | 6 | 2 | 8 | 4 | 3 | 5 | Çözümsüz | Beta |
| 2201 | Çscd2 | 9 | 4 | 6 | 2 | 5 | 7 | 1 | 3 | 8 | Normal |
| 2202 | Çscd2 | 9 | 2 | 3 | 5 | 4 | 1 | 7 | 8 | 6 | Lognormal-3p |
| 2203 | Çscd2 | 2 | 9 | 6 | 1 | 7 | 5 | 4 | 3 | 8 | Johnson SB |
| 2204 | Çscd2 | 9 | 5 | 7 | 1 | 8 | 4 | 3 | 2 | 6 | Johnson SB |
| 2205 | Çscd2 | 3 | 7 | 6 | 2 | 8 | 5 | 4 | 1 | Çözümsüz | Weibull-2p |
| 2206 | Çscd2 | 7 | 4 | 6 | 1 | 5 | 9 | 3 | 2 | 8 | Johnson SB |
| 2207 | Çscd2 | 8 | 4 | 7 | 1 | 3 | 9 | 6 | 5 | 2 | Johnson SB |
| 2208 | Çscd2 | 7 | 2 | 4 | 3 | 1 | 6 | 9 | 8 | 5 | Lognormal-2p |
| 2209 | Çscd2 | 7 | 1 | 8 | 4 | 2 | 9 | 6 | 3 | 5 | Gamma-2p |
| 2210 | Çscd2 | 8 | 7 | 5 | 1 | 9 | 4 | 3 | 2 | 6 | Johnson SB |
| 2211 | Çscd2 | 7 | 8 | 5 | 1 | 9 | 4 | 2 | 6 | 3 | Johnson SB |
| 2212 | Çscd2 | 4 | 7 | 6 | Çözümsüz | 8 | 2 | 1 | 5 | 3 | Normal |
| 2213 | Çscd2 | 9 | 7 | 5 | 1 | 8 | 4 | 3 | 6 | 2 | Johnson SB |
| 2214 | Çscd2 | 9 | 7 | 5 | 3 | 8 | 4 | 2 | 1 | 6 | Weibull-2p |
| 2215 | Çscd2 | 9 | 7 | 6 | 1 | 8 | 5 | 3 | 4 | 2 | Johnson SB |
| 2216 | Çscd2 | 2 | 7 | 9 | 1 | 6 | 5 | 8 | 3 | 4 | Johnson SB |
| 2217 | Çscd2 | 9 | 7 | 5 | 1 | 8 | 3 | 2 | 6 | 4 | Johnson SB |
| 2218 | Çscd2 | 2 | 6 | 8 | 1 | 7 | 5 | 3 | 4 | 9 | Johnson SB |
| 2219 | Çscd2 | 9 | 7 | 5 | 3 | 8 | 4 | 1 | 2 | 6 | Normal |
| 2220 | Çscd3 Çözümsüz | 6 | 2 | 3 | 5 | 1 | 7 | 8 | 4 | 4 | Lognormal-3p |
| 2221 | Çscd3 | 9 | 1 | 4 | 3 | 6 | 2 | 8 | 7 | 5 | Gamma-2p |
| 2222 | Çscd3 | 7 | 1 | 6 | 4 | 2 | 3 | 8 | 9 | 5 | Gamma-2p |
| 2223 | Çscd3 | 1 | 4 | 8 | 2 | 6 | 9 | 3 | 5 | 7 | Beta |
| 2224 | Çscd3 | 7 | 8 | 6 | 1 | 9 | 4 | 3 | 2 | 5 | Johnson SB |
| 2225 | Çscd3 | 9 | 7 | 3 | 1 | 8 | 6 | 4 | 2 | 5 | Johnson SB |
| 2226 | Çscd3 | 9 | 3 | 8 | 1 | 2 | 7 | 5 | 4 | 6 | Johnson SB |
| 2227 | Çscd3 | 9 | 3 | 7 | 1 | 2 | 8 | 6 | 5 | 4 | Johnson SB |
| 2228 | Çscd3 | 7 | 2 | 4 | 9 | 1 | 3 | 6 | 8 | 5 | Lognormal-2p |
| 2229 | Çscd3 | 5 | 6 | 9 | 1 | 7 | 2 | 4 | 3 | 8 | Johnson SB |
| 2230 | Çscd3 | 2 | 7 | 9 | 1 | 8 | 5 | 6 | 3 | 4 | Johnson SB |
| 2231 | Çscd3 | 2 | 8 | 4 | 1 | 7 | 6 | 9 | 3 | 5 | Johnson SB |
| 2232 | Çscd3 | 3 | 8 | 7 | 2 | 9 | 6 | 4 | 5 | 1 | Weibull-3p |

Tablo 4.2.'nin devamı

| Örnek Alan No | Mesjere Tipi | Olasılık Yoğunluk Fonksiyonları | | | | | | | | | En Başarılı Dağılım |
|---------------|--------------|---------------------------------|----------|----------|------------|--------------|--------------|--------|------------|------------|---------------------|
| | | Beta | Gamma-2p | Gamma-3p | Johnson SB | Lognormal-2p | Lognormal-3p | Normal | Weibull-2p | Weibull-3p | |
| 2233 | Çscd3 | 7 | 8 | 6 | 5 | 9 | 4 | 2 | 3 | 1 | Weibull-3p |
| 2234 | Çscd3 | 9 | 8 | 6 | 1 | 7 | 4 | 3 | 2 | 5 | Johnson SB |
| 2235 | Çscd3 | 7 | 6 | 1 | 5 | 3 | 9 | 4 | 2 | 8 | Gamma-3p |
| 2236 | Çscd3 | 2 | 9 | 8 | 1 | 4 | 7 | 6 | 3 | 5 | Johnson SB |
| 2237 | Çscd3 | 3 | 6 | 2 | 5 | 9 | 1 | 8 | 7 | 4 | Lognormal-3p |
| 2238 | Çscd3 | 2 | 8 | 4 | 1 | 9 | 5 | 6 | 3 | 7 | Johnson SB |
| 2239 | Çscd3 | 7 | 3 | 4 | 9 | 2 | 1 | 5 | 8 | 6 | Lognormal-3p |
| 2240 | Çscd3 | 5 | 6 | 9 | 4 | 7 | 8 | 2 | 1 | 3 | Weibull-2p |
| 2241 | Çscd3 | 9 | 1 | 4 | 5 | 2 | 3 | 7 | 8 | 6 | Gamma-2p |
| 2242 | Çscd3 | 7 | 4 | 9 | 1 | 3 | 2 | 8 | 6 | 5 | Johnson SB |
| 2243 | Çscd3 | 1 | 8 | 6 | 2 | 7 | 5 | 4 | 9 | 3 | Beta |
| 2244 | Çscd3 | 9 | 3 | 6 | 7 | 4 | 1 | 5 | 2 | 8 | Lognormal-3p |
| 2245 | Çscd3 | 3 | 5 | 9 | 1 | 6 | 2 | 8 | 7 | 4 | Johnson SB |
| 2246 | Çscd3 | 5 | 7 | 3 | 4 | 6 | 1 | 8 | 9 | 2 | Lognormal-3p |
| 2247 | Çscd3 | 1 | 4 | 9 | 2 | 5 | 6 | 8 | 7 | 3 | Beta |
| 2248 | Çscd3 | 7 | 4 | 9 | 1 | 2 | 3 | 8 | 5 | 6 | Johnson SB |
| 2249 | Çscd3 | 3 | 9 | 7 | 1 | 8 | 6 | 5 | 2 | 4 | Johnson SB |
| 2250 | Çsd1 | 4 | 7 | 6 | 1 | 8 | 5 | 2 | 3 | Çözümsüz | Johnson SB |
| 2251 | Çsd1 | 5 | 7 | 4 | 1 | 8 | 3 | 2 | 6 | Çözümsüz | Johnson SB |
| 2252 | Çsd1 | 3 | 2 | 6 | 4 | 1 | 5 | 8 | 9 | 7 | Lognormal-2p |
| 2253 | Çsd1 | 4 | 5 | 8 | 3 | 6 | 9 | 1 | 2 | 7 | Normal |
| 2254 | Çsd1 | 9 | 7 | 3 | 1 | 8 | 4 | 5 | 6 | 2 | Johnson SB |
| 2255 | Çsd1 | 9 | 7 | 5 | 1 | 8 | 4 | 3 | 6 | 2 | Johnson SB |
| 2256 | Çsd1 | 7 | 4 | 8 | 1 | 3 | 9 | 5 | 2 | 6 | Johnson SB |
| 2257 | Çsd1 | 2 | 8 | 7 | 3 | 9 | 5 | 4 | 1 | 6 | Weibull-2p |
| 2258 | Çsd1 | 5 | 7 | 1 | 3 | 6 | 4 | 8 | 9 | 2 | Gamma-3p |
| 2259 | Çsd1 | 4 | 6 | 1 | 3 | 9 | 5 | 8 | 7 | 2 | Gamma-3p |
| 2260 | Çsd1 | 3 | 7 | 9 | 1 | 8 | 6 | 5 | 2 | 4 | Johnson SB |
| 2261 | Çsd1 | 7 | 4 | 9 | 1 | 5 | 8 | 3 | 2 | 6 | Johnson SB |
| 2262 | Çsd1 | 8 | 7 | 4 | 2 | 3 | 6 | 5 | 1 | Çözümsüz | Weibull-2p |
| 2263 | Çsd1 | 6 | 5 | 7 | Çözümsüz | 4 | 8 | 3 | 1 | 2 | Weibull-2p |
| 2264 | Çsd1 | 6 | 3 | 8 | 1 | 2 | 9 | 5 | 4 | 7 | Johnson SB |
| 2265 | Çsd1 | 7 | 3 | 6 | 5 | 1 | 9 | 4 | 2 | 8 | Lognormal-2p |
| 2266 | Çsd1 | 2 | 6 | 5 | 1 | 8 | 3 | 4 | 7 | Çözümsüz | Johnson SB |
| 2267 | Çsd1 | 9 | 6 | 1 | 2 | 5 | 4 | 7 | 8 | 3 | Gamma-3p |
| 2268 | Çsd1 | 8 | 6 | 9 | 2 | 5 | 4 | 3 | 1 | 7 | Weibull-2p |
| 2269 | Çsd1 | 2 | 8 | 6 | 1 | 7 | 5 | 4 | 3 | Çözümsüz | Johnson SB |
| 2270 | Çsd1 | 7 | 6 | 2 | Çözümsüz | 5 | 3 | 4 | 1 | Çözümsüz | Weibull-2p |
| 2271 | Çsd1 | 9 | 7 | 6 | 5 | 8 | 4 | 2 | 3 | 1 | Weibull-3p |
| 2272 | Çsd1 | 9 | 5 | 4 | 8 | 6 | 1 | 3 | 7 | 2 | Lognormal-3p |
| 2273 | Çsd1 | 9 | 7 | 5 | 6 | 8 | 3 | 2 | 4 | 1 | Weibull-3p |
| 2274 | Çsd2 | 5 | 7 | 3 | 1 | 6 | 2 | 8 | 9 | 4 | Johnson SB |
| 2275 | Çsd2 | 7 | 6 | 5 | Çözümsüz | 8 | 4 | 2 | 3 | 1 | Weibull-3p |
| 2276 | Çsd2 | 5 | 3 | 9 | 4 | 1 | 2 | 7 | 6 | 8 | Lognormal-2p |
| 2277 | Çsd2 | 2 | 7 | 3 | 1 | 8 | 6 | 5 | 4 | Çözümsüz | Johnson SB |
| 2278 | Çsd2 | 8 | 7 | 6 | 2 | 9 | 5 | 4 | 3 | 1 | Weibull-3p |
| 2279 | Çsd2 | 1 | 8 | 6 | 3 | 7 | 4 | 5 | 2 | Çözümsüz | Beta |
| 2280 | Çsd2 | 1 | 7 | 6 | 3 | 8 | 4 | 2 | 5 | Çözümsüz | Beta |
| 2281 | Çsd2 | 1 | 7 | 5 | 6 | 8 | 3 | 4 | 2 | Çözümsüz | Beta |
| 2282 | Çsd2 | 8 | 5 | 3 | Çözümsüz | 7 | 2 | 1 | 6 | 4 | Normal |
| 2283 | Çsd2 | 5 | 6 | 4 | 1 | 3 | 7 | 8 | 9 | 2 | Johnson SB |
| 2284 | Çsd2 | 1 | 6 | 9 | 2 | 7 | 4 | 3 | 5 | 8 | Beta |
| 2285 | Çsd2 | 1 | 6 | 8 | 4 | 9 | 7 | 2 | 3 | 5 | Beta |
| 2286 | Çsd2 | 9 | 7 | 5 | 4 | 8 | 3 | 1 | 2 | 6 | Normal |
| 2287 | Çsd2 | 7 | 6 | 1 | 2 | 3 | 5 | 9 | 8 | 4 | Gamma-3p |
| 2288 | Çsd2 | 4 | 5 | 9 | 2 | 7 | 6 | 1 | 3 | 8 | Normal |
| 2289 | Çsd2 | 2 | 4 | 6 | 3 | 5 | 1 | 8 | 9 | 7 | Lognormal-3p |
| 2290 | Çsd2 | 3 | 6 | 9 | 1 | 5 | 2 | 8 | 7 | 4 | Johnson SB |

Tablo 4.2.'nin devamı

| Örnek Alan No | Mesçere Tipi | Olasılık Yoğunluk Fonksiyonları | | | | | | | | | En Başarılı Dağılım |
|---------------|--------------|---------------------------------|----------|----------|------------|--------------|--------------|--------|------------|------------|---------------------|
| | | Beta | Gamma-2p | Gamma-3p | Johnson SB | Lognormal-2p | Lognormal-3p | Normal | Weibull-2p | Weibull-3p | |
| 2291 | Çsd2 | 6 | 7 | 9 | 1 | 4 | 5 | 3 | 2 | 8 | Johnson SB |
| 2292 | Çsd2 | 8 | 5 | 2 | 3 | 4 | 6 | 9 | 7 | 1 | Weibull-3p |
| 2293 | Çsd2 | 2 | 8 | 6 | 1 | 7 | 4 | 5 | 3 | Çözümsüz | Johnson SB |
| 2294 | Çsd2 | 3 | 6 | 5 | 1 | 7 | 4 | 2 | 8 | Çözümsüz | Johnson SB |
| 2295 | Çsd2 | 2 | 7 | 9 | 1 | 8 | 5 | 4 | 3 | 6 | Johnson SB |
| 2296 | Çsd2 | 2 | 7 | 6 | 1 | 8 | 3 | 4 | 5 | Çözümsüz | Johnson SB |
| 2297 | Çsd2 | 3 | 8 | 7 | 1 | 9 | 5 | 4 | 6 | 2 | Johnson SB |
| 2298 | Çsd2 | 3 | 9 | 7 | 4 | 8 | 6 | 5 | 1 | 2 | Weibull-2p |
| 2299 | Çsd2 | 7 | 3 | 8 | 2 | 1 | 9 | 5 | 4 | 6 | Lognormal-2p |
| 2300 | Çsd2 | 9 | 7 | 6 | 3 | 8 | 5 | 4 | 1 | 2 | Weibull-2p |
| 2301 | Çsd2 | 5 | 8 | 7 | 1 | 9 | 4 | 3 | 6 | 2 | Johnson SB |
| 2302 | Çsd2 | 3 | 9 | 5 | 1 | 8 | 7 | 6 | 2 | 4 | Johnson SB |
| 2303 | Çsd2 | 6 | 4 | 9 | 5 | 7 | 2 | 1 | 3 | 8 | Normal |
| 2304 | Çsd3 | 5 | 7 | 1 | 3 | 6 | 4 | 8 | 9 | 2 | Gamma-3p |
| 2305 | Çsd3 | 6 | 8 | 5 | 2 | 9 | 4 | 3 | 7 | 1 | Weibull-3p |
| 2306 | Çsd3 | 1 | 9 | 6 | 4 | 8 | 7 | 5 | 3 | 2 | Beta |
| 2307 | Çsd3 | Çözümsüz | 7 | 6 | 2 | 8 | 5 | 4 | 3 | 1 | Weibull-3p |
| 2308 | Çsd3 | 2 | 7 | 6 | 1 | 8 | 4 | 3 | 5 | Çözümsüz | Johnson SB |
| 2309 | Çsd3 | 9 | 7 | 5 | 3 | 8 | 2 | 1 | 4 | 6 | Normal |
| 2310 | Çsd3 | 1 | 6 | 8 | 2 | 4 | 9 | 7 | 5 | 3 | Beta |
| 2311 | Çsd3 | 8 | 6 | 3 | Çözümsüz | 7 | 2 | 1 | 5 | 4 | Normal |
| 2312 | Çsd3 | 2 | 7 | 6 | 1 | 8 | 5 | 3 | 4 | Çözümsüz | Johnson SB |
| 2313 | Çsd3 | 6 | 8 | 7 | 2 | 9 | 5 | 4 | 3 | 1 | Weibull-3p |
| 2314 | Çsd3 | 5 | 7 | 9 | 1 | 8 | 4 | 3 | 2 | 6 | Johnson SB |
| 2315 | Çsd3 | 9 | 7 | 6 | 1 | 8 | 4 | 2 | 3 | 5 | Johnson SB |
| 2316 | Çsd3 | 7 | 6 | 2 | 3 | 4 | 1 | 9 | 8 | 5 | Lognormal-3p |
| 2317 | Çsd3 | 7 | 8 | 3 | 6 | 9 | 5 | 2 | 1 | 4 | Weibull-2p |
| 2318 | Çsd3 | 2 | 7 | 5 | 1 | 8 | 6 | 4 | 3 | Çözümsüz | Johnson SB |
| 2319 | Çsd3 | 2 | 8 | 5 | 1 | 9 | 6 | 4 | 3 | 7 | Johnson SB |
| 2320 | Çsd3 | 4 | 6 | 3 | Çözümsüz | 8 | 2 | 1 | 7 | 5 | Normal |
| 2321 | Çsd3 | 5 | 6 | 9 | 1 | 8 | 3 | 2 | 4 | 7 | Johnson SB |
| 2322 | Çsd3 | 3 | 7 | 4 | Çözümsüz | 8 | 5 | 1 | 2 | 6 | Normal |
| 2323 | Çsd3 | 8 | 7 | 5 | 1 | 9 | 4 | 2 | 3 | 6 | Johnson SB |
| 2324 | Çsd3 | 9 | 7 | 5 | 2 | 8 | 4 | 1 | 3 | 6 | Normal |

Tablo 4.3. *Olasılık yoğunluk fonksiyonlarının Kolmogorov-Smirnov (KS) istatistiğine göre sıralamaları (III. Bonitet)*

| Örnek Alan No | Meşçere Tipi | Olasılık Yoğunluk Fonksiyonları | | | | | | | | | En Başarılı Dağılım |
|---------------|--------------|---------------------------------|----------|----------|------------|--------------|--------------|--------|------------|------------|---------------------|
| | | Beta | Gamma-2p | Gamma-3p | Johnson SB | Lognormal-2p | Lognormal-3p | Normal | Weibull-2p | Weibull-3p | |
| 3001 | Çsb2 | 1 | 9 | 5 | 3 | 7 | 6 | 8 | 2 | 4 | Beta |
| 3002 | Çsb2 | 7 | 5 | 8 | 1 | 6 | 9 | 4 | 3 | 2 | Johnson SB |
| 3003 | Çsb2 | 5 | 1 | --- | 6 | 4 | 7 | 3 | 2 | 8 | Gamma-2p |
| 3004 | Çsb2 | 8 | 4 | 7 | 2 | 6 | 9 | 5 | 3 | 1 | Weibull-3p |
| 3005 | Çsb2 | --- | 1 | --- | Çözümsüz | 4 | --- | 3 | 2 | 5 | Gamma-2p |
| 3006 | Çsb2 | 7 | 4 | 9 | 1 | 5 | 6 | 2 | 3 | 8 | Johnson SB |
| 3007 | Çsb2 | 9 | 4 | 5 | 3 | 1 | 2 | 7 | 8 | 6 | Lognormal-2p |
| 3008 | Çsb2 | 6 | 1 | --- | 3 | 5 | 7 | 4 | 2 | --- | Gamma-2p |
| 3009 | Çsb2 | 4 | 5 | 9 | 1 | 6 | 8 | 3 | 2 | 7 | Johnson SB |
| 3010 | Çsb3 | 5 | 2 | 6 | Çözümsüz | 4 | --- | 3 | 1 | 7 | Weibull-2p |
| 3011 | Çsb3 | 6 | 2 | --- | 1 | 5 | --- | 4 | 3 | 7 | Johnson SB |
| 3012 | Çsb3 | 8 | 4 | 6 | 2 | 5 | 9 | 3 | 1 | 7 | Weibull-2p |
| 3013 | Çsb3 | 8 | 5 | 9 | 2 | 6 | 7 | 4 | 3 | 1 | Weibull-3p |
| 3014 | Çsb3 | 6 | 2 | 9 | 1 | 5 | 7 | 4 | 3 | 8 | Johnson SB |
| 3015 | Çsb3 | 7 | 2 | 6 | 1 | 5 | 9 | 4 | 3 | 8 | Johnson SB |
| 3016 | Çsb3 | 9 | 1 | 8 | 3 | 6 | 7 | 4 | 2 | 5 | Gamma-2p |
| 3017 | Çsb3 | 6 | 3 | --- | 1 | 5 | --- | 4 | 2 | --- | Johnson SB |
| 3018 | Çsb3 | 8 | 2 | 9 | 1 | 4 | 7 | 3 | 6 | 5 | Johnson SB |
| 3019 | Çsb3 | --- | 4 | 7 | Çözümsüz | 3 | 5 | 2 | 1 | 6 | Weibull-2p |
| 3020 | Çsb3 | 6 | 4 | 8 | 1 | 5 | 9 | 3 | 2 | 7 | Johnson SB |
| 3021 | Çsb3 | 7 | 4 | 9 | 3 | 5 | 8 | 2 | 1 | 6 | Weibull-2p |
| 3022 | Çsb3 | 6 | 2 | --- | 1 | 5 | --- | 4 | 3 | 7 | Johnson SB |
| 3023 | Çsb3 | --- | 1 | --- | 2 | 5 | --- | 3 | 4 | --- | Gamma-2p |
| 3024 | Çsb3 | 6 | 2 | --- | 1 | 5 | --- | 3 | 4 | --- | Johnson SB |
| 3025 | Çsb3 | 6 | 1 | --- | 4 | 5 | --- | 2 | 3 | 7 | Gamma-2p |
| 3026 | Çsb3 | 6 | 2 | --- | 3 | 5 | --- | 4 | 1 | 7 | Weibull-2p |
| 3027 | Çsb3 | 6 | 1 | 9 | 3 | 2 | 5 | 4 | 7 | 8 | Gamma-2p |
| 3028 | Çsb3 | 7 | 4 | 8 | 1 | 5 | 9 | 3 | 2 | 6 | Johnson SB |
| 3029 | Çsb3 | 4 | 3 | --- | 1 | 6 | --- | 5 | 2 | 7 | Johnson SB |
| 3030 | Çsb3 | 8 | 1 | 9 | 3 | 4 | 7 | 5 | 6 | 2 | Gamma-2p |
| 3031 | Çsb3 | 8 | 7 | 6 | 2 | 5 | 3 | 4 | 1 | Çözümsüz | Weibull-2p |
| 3032 | Çsb3 | 7 | 4 | 9 | 1 | 5 | 8 | 3 | 2 | 6 | Johnson SB |
| 3033 | Çsb3 | 6 | 3 | --- | 1 | 5 | --- | 4 | 2 | --- | Johnson SB |
| 3034 | Çsb3 | 6 | 1 | 8 | 2 | 5 | --- | 3 | 4 | 7 | Gamma-2p |
| 3035 | Çsb3 | 9 | 4 | 5 | 3 | 1 | 6 | 7 | 8 | 2 | Lognormal-2p |
| 3036 | Çsb3 | --- | 2 | --- | Çözümsüz | 4 | 5 | 3 | 1 | --- | Weibull-2p |
| 3037 | Çsb3 | 8 | 7 | 6 | 1 | 3 | 4 | 5 | 2 | Çözümsüz | Johnson SB |
| 3038 | Çsb3 | 5 | 2 | 9 | 3 | 1 | 4 | 6 | 7 | 8 | Lognormal-2p |
| 3039 | Çsb3 | 9 | 1 | 2 | 3 | 7 | 4 | 6 | 8 | 5 | Gamma-2p |
| 3040 | Çsbc1 | 3 | 4 | 9 | 1 | 2 | 5 | 6 | 7 | 8 | Johnson SB |
| 3041 | Çsbc1 | 6 | 5 | 8 | 1 | 4 | 9 | 3 | 2 | 7 | Johnson SB |
| 3042 | Çsbc1 | 2 | 7 | 6 | 3 | 9 | 5 | 1 | 8 | 4 | Normal |
| 3043 | Çsbc1 | 8 | 6 | 1 | Çözümsüz | 7 | 3 | 2 | 5 | 4 | Gamma-3p |
| 3044 | Çsbc1 | 7 | 3 | 9 | 8 | 6 | 2 | 4 | 5 | 1 | Weibull-3p |
| 3045 | Çsbc1 | 1 | 5 | 9 | 3 | 4 | 2 | 6 | 7 | 8 | Beta |
| 3046 | Çsbc1 | 3 | 8 | 7 | 1 | 9 | 5 | 6 | 2 | 4 | Johnson SB |
| 3047 | Çsbc1 | 2 | 8 | 7 | 1 | 9 | 6 | 5 | 4 | 3 | Johnson SB |
| 3048 | Çsbc1 | 8 | 1 | 9 | 5 | 2 | 3 | 4 | 6 | 7 | Gamma-2p |
| 3049 | Çsbc1 | 6 | 5 | 8 | 1 | 4 | 9 | 3 | 2 | 7 | Johnson SB |
| 3050 | Çsbc1 | 9 | 5 | 2 | 3 | 4 | 8 | 7 | 6 | 1 | Weibull-3p |
| 3051 | Çsbc1 | 8 | 6 | 1 | Çözümsüz | 7 | 3 | 2 | 5 | 4 | Gamma-3p |
| 3052 | Çsbc1 | 6 | 5 | 8 | 1 | 4 | 9 | 3 | 2 | 7 | Johnson SB |
| 3053 | Çsbc1 | 7 | 4 | 9 | 3 | 5 | 8 | 1 | 2 | 6 | Normal |
| 3054 | Çsbc1 | 9 | 7 | 5 | 3 | 8 | 4 | 1 | 2 | 6 | Normal |
| 3055 | Çsbc1 | 6 | 2 | 8 | 3 | 1 | 9 | 4 | 5 | 7 | Lognormal-2p |
| 3056 | Çsbc1 | 6 | 3 | 8 | 1 | 2 | 9 | 5 | 4 | 7 | Johnson SB |
| 3057 | Çsbc1 | 5 | 1 | --- | 6 | 4 | 8 | 3 | 2 | 7 | Gamma-2p |

Tablo 4.3. 'ün devamı

| Örnek Alan No | Mesçere Tipi | Olasılık Yoğunluk Fonksiyonları | | | | | | | | | En Başarılı Dağılım |
|---------------|--------------|---------------------------------|----------|----------|------------|--------------|--------------|--------|------------|------------|---------------------|
| | | Beta | Gamma-2p | Gamma-3p | Johnson SB | Lognormal-2p | Lognormal-3p | Normal | Weibull-2p | Weibull-3p | |
| 3058 | Çsbc1 | 3 | 5 | 8 | 2 | 4 | 1 | 7 | 6 | 9 | Lognormal-3p |
| 3059 | Çsbc1 | 5 | 2 | --- | --- | 1 | --- | 4 | 3 | 6 | Lognormal-2p |
| 3060 | Çsbc1 | 7 | 1 | 8 | 2 | 3 | 9 | 4 | 5 | 6 | Gamma-2p |
| 3061 | Çsbc1 | 9 | 5 | 4 | 7 | 8 | 3 | 2 | 1 | 6 | Weibull-2p |
| 3062 | Çsbc1 | 7 | 2 | 6 | 1 | 5 | --- | 4 | 3 | --- | Johnson SB |
| 3063 | Çsbc1 | 7 | 1 | 8 | 2 | 3 | 9 | 4 | 5 | 6 | Gamma-2p |
| 3064 | Çsbc1 | 5 | 2 | --- | --- | 1 | --- | 4 | 3 | 6 | Lognormal-2p |
| 3065 | Çsbc1 | 7 | 2 | 6 | 1 | 5 | --- | 4 | 3 | --- | Johnson SB |
| 3066 | Çsbc1 | 7 | 4 | 8 | 2 | 6 | 9 | 3 | 5 | 1 | Weibull-3p |
| 3067 | Çsbc2 | 9 | 3 | 4 | 5 | 6 | 2 | 7 | 8 | 1 | Weibull-3p |
| 3068 | Çsbc2 | 1 | 6 | 4 | 2 | 5 | 7 | 9 | 8 | 3 | Beta |
| 3069 | Çsbc2 | 3 | 8 | 7 | 1 | 9 | 5 | 6 | 2 | 4 | Johnson SB |
| 3070 | Çsbc2 | 8 | 4 | 9 | 1 | 5 | 7 | 2 | 3 | 6 | Johnson SB |
| 3071 | Çsbc2 | 8 | 2 | 3 | 1 | 5 | 9 | 6 | 4 | 7 | Johnson SB |
| 3072 | Çsbc2 | 9 | 5 | 8 | 2 | 7 | 3 | 6 | 4 | 1 | Weibull-3p |
| 3073 | Çsbc2 | 5 | 3 | 9 | 1 | 2 | 4 | 6 | 7 | 8 | Johnson SB |
| 3074 | Çsbc2 | 5 | 7 | 6 | 1 | 8 | 3 | 4 | 2 | Çözümsüz | Johnson SB |
| 3075 | Çsbc2 | 2 | 6 | 4 | 1 | 3 | 7 | 9 | 8 | 5 | Johnson SB |
| 3076 | Çsbc2 | 8 | 4 | 7 | 2 | 6 | 1 | 5 | 3 | 9 | Lognormal-3p |
| 3077 | Çsbc2 | 9 | 7 | 3 | 1 | 8 | 5 | 6 | 2 | 4 | Johnson SB |
| 3078 | Çsbc2 | 6 | 4 | 8 | 1 | 5 | 9 | 3 | 2 | 7 | Johnson SB |
| 3079 | Çsbc2 | 4 | 3 | 9 | 1 | 2 | 5 | 6 | 7 | 8 | Johnson SB |
| 3080 | Çsbc2 | 7 | 4 | 8 | 1 | 5 | 9 | 3 | 2 | 6 | Johnson SB |
| 3081 | Çsbc2 | 1 | 4 | 6 | 2 | 3 | 7 | 9 | 8 | 5 | Beta |
| 3082 | Çsbc2 | 5 | 4 | 9 | 3 | 7 | 6 | 2 | 1 | 8 | Weibull-2p |
| 3083 | Çsbc2 | 7 | 4 | 9 | 1 | 5 | 8 | 2 | 3 | 6 | Johnson SB |
| 3084 | Çsbc2 | 8 | 6 | 4 | Çözümsüz | 7 | 3 | 2 | 1 | 5 | Weibull-2p |
| 3085 | Çsbc2 | 7 | 2 | 8 | 3 | 6 | 1 | 5 | 4 | 9 | Lognormal-3p |
| 3086 | Çsbc2 | 7 | 1 | 6 | 3 | 2 | 9 | 5 | 4 | 8 | Gamma-2p |
| 3087 | Çsbc2 | 8 | 1 | 7 | 4 | 5 | 9 | 2 | 3 | 6 | Gamma-2p |
| 3088 | Çsbc2 | 7 | 3 | 9 | 1 | 2 | 8 | 4 | 5 | 6 | Johnson SB |
| 3089 | Çsbc2 | 6 | 1 | 8 | 4 | 5 | --- | 3 | 2 | 7 | Gamma-2p |
| 3090 | Çsbc2 | 4 | 5 | 9 | 1 | 2 | 3 | 7 | 6 | 8 | Johnson SB |
| 3091 | Çsbc2 | 6 | 5 | 8 | 1 | 4 | 9 | 3 | 2 | 7 | Johnson SB |
| 3092 | Çsbc2 | 8 | 3 | 7 | 1 | 2 | 4 | 6 | 5 | 9 | Johnson SB |
| 3093 | Çsbc2 | 6 | 2 | 7 | 1 | 5 | --- | 3 | 4 | --- | Johnson SB |
| 3094 | Çsbc2 | 7 | 3 | 9 | 1 | 2 | 8 | 4 | 5 | 6 | Johnson SB |
| 3095 | Çsbc2 | 6 | 3 | 8 | 2 | 1 | 9 | 4 | 5 | 7 | Lognormal-2p |
| 3096 | Çsbc2 | 8 | 7 | 5 | 3 | 9 | 4 | 2 | 1 | 6 | Weibull-2p |
| 3097 | Çsbc3 | 4 | 3 | 9 | 1 | 2 | 5 | 6 | 7 | 8 | Johnson SB |
| 3098 | Çsbc3 | 4 | 1 | 9 | 5 | 2 | 3 | 6 | 7 | 8 | Gamma-2p |
| 3099 | Çsbc3 | 8 | 4 | 9 | 1 | 6 | 5 | 2 | 3 | 7 | Johnson SB |
| 3100 | Çsbc3 | 6 | 4 | 8 | 1 | 5 | 9 | 2 | 3 | 7 | Johnson SB |
| 3101 | Çsbc3 | 6 | 5 | 9 | 2 | 7 | 4 | 3 | 1 | 8 | Weibull-2p |
| 3102 | Çsbc3 | 9 | 3 | 6 | 1 | 2 | 8 | 5 | 4 | 7 | Johnson SB |
| 3103 | Çsbc3 | 6 | 5 | 4 | 1 | 2 | 3 | 8 | 9 | 7 | Johnson SB |
| 3104 | Çsbc3 | 9 | 6 | 3 | 1 | 4 | 5 | 7 | 8 | 2 | Johnson SB |
| 3105 | Çsbc3 | 6 | 3 | 9 | 1 | 2 | 8 | 4 | 5 | 7 | Johnson SB |
| 3106 | Çsbc3 | 8 | 2 | 7 | 1 | 4 | 9 | 5 | 6 | 3 | Johnson SB |
| 3107 | Çsbc3 | 2 | 6 | 9 | 1 | 7 | 5 | 4 | 3 | 8 | Johnson SB |
| 3108 | Çsbc3 | 9 | 8 | 5 | 1 | 7 | 6 | 3 | 2 | 4 | Johnson SB |
| 3109 | Çsbc3 | 4 | 5 | 9 | 1 | 3 | 2 | 6 | 7 | 8 | Johnson SB |
| 3110 | Çsbc3 | 7 | 2 | 9 | 1 | 5 | 6 | 3 | 4 | 8 | Johnson SB |
| 3111 | Çsbc3 | 6 | 3 | 9 | 2 | 1 | 8 | 4 | 5 | 7 | Lognormal-2p |
| 3112 | Çsbc3 | 5 | 3 | 9 | 1 | 4 | 2 | 6 | 7 | 8 | Johnson SB |
| 3113 | Çsbc3 | 9 | 7 | 4 | 2 | 8 | 1 | 5 | 6 | 3 | Lognormal-3p |
| 3114 | Çsbc3 | 8 | 6 | 9 | 1 | 7 | 4 | 3 | 2 | 5 | Johnson SB |
| 3115 | Çsbc3 | 4 | 6 | 8 | 3 | 9 | 7 | 1 | 2 | 5 | Normal |
| 3116 | Çsbc3 | 8 | 1 | 3 | Çözümsüz | 6 | 2 | 4 | 7 | 5 | Gamma-2p |

Tablo 4.3. 'ün devamı

| Örnek Alan No | Meşçere Tipi | Olasılık Yoğunluk Fonksiyonları | | | | | | | | | En Başarılı Dağılım |
|---------------|--------------|---------------------------------|----------|----------|------------|--------------|--------------|--------|------------|------------|---------------------|
| | | Beta | Gamma-2p | Gamma-3p | Johnson SB | Lognormal-2p | Lognormal-3p | Normal | Weibull-2p | Weibull-3p | |
| 3117 | Çsbc3 | 7 | 2 | 9 | 1 | 4 | 3 | 5 | 6 | 8 | Johnson SB |
| 3118 | Çsbc3 | 8 | 7 | 5 | 1 | 3 | 4 | 6 | 2 | Çözümsüz | Johnson SB |
| 3119 | Çsbc3 | 5 | 6 | 8 | 3 | 7 | 4 | 2 | 1 | 9 | Weibull-2p |
| 3120 | Çsbc3 | Çözümsüz | 6 | 5 | 1 | 2 | 3 | 7 | 8 | 4 | Johnson SB |
| 3121 | Çsbc3 | 5 | 4 | 9 | 2 | 3 | 1 | 6 | 7 | 8 | Lognormal-3p |
| 3122 | Çsbc3 | 2 | 9 | 8 | 1 | 5 | 4 | 6 | 3 | 7 | Johnson SB |
| 3123 | Çsbc3 | 1 | 7 | 4 | 2 | 5 | 6 | 8 | 9 | 3 | Beta |
| 3124 | Çsbc3 | 5 | 4 | 3 | Çözümsüz | 1 | 2 | 7 | 8 | 6 | Lognormal-2p |
| 3125 | Çsbc3 | 7 | 2 | 8 | 6 | 5 | 9 | 3 | 4 | 1 | Weibull-3p |
| 3126 | Çsc1 | 6 | 4 | 7 | 1 | 2 | 3 | 9 | 5 | 8 | Johnson SB |
| 3127 | Çsc1 | 6 | 5 | 9 | 2 | 7 | 4 | 1 | 3 | 8 | Normal |
| 3128 | Çsc1 | 3 | 2 | --- | Çözümsüz | 5 | --- | 4 | 1 | --- | Weibull-2p |
| 3129 | Çsc1 | 7 | 1 | 8 | 5 | 3 | 9 | 4 | 2 | 6 | Gamma-2p |
| 3130 | Çsc1 | 7 | 2 | 8 | 6 | 3 | 9 | 5 | 4 | 1 | Weibull-3p |
| 3131 | Çsc1 | 2 | 5 | 9 | 1 | 6 | 4 | 8 | 7 | 3 | Johnson SB |
| 3132 | Çsc1 | 1 | 9 | 7 | 2 | 8 | 6 | 5 | 4 | 3 | Beta |
| 3133 | Çsc1 | 9 | 7 | 6 | 2 | 8 | 5 | 4 | 1 | 3 | Weibull-2p |
| 3134 | Çsc2 | 8 | 4 | 9 | 1 | 3 | 2 | 5 | 6 | 7 | Johnson SB |
| 3135 | Çsc2 | 1 | 7 | 4 | 3 | 8 | 5 | 6 | 2 | Çözümsüz | Beta |
| 3136 | Çsc2 | 2 | 7 | 6 | Çözümsüz | 8 | 5 | 1 | 3 | 4 | Normal |
| 3137 | Çsc2 | 2 | 6 | 5 | 1 | 3 | 4 | 7 | 8 | 9 | Johnson SB |
| 3138 | Çsc2 | 9 | 8 | 6 | 1 | 7 | 5 | 3 | 4 | 2 | Johnson SB |
| 3139 | Çsc2 | 3 | 7 | 6 | 5 | 9 | 1 | 2 | 8 | 4 | Lognormal-3p |
| 3140 | Çsc2 | 8 | 4 | 1 | Çözümsüz | 7 | 3 | 5 | 2 | 6 | Gamma-3p |
| 3141 | Çsc2 | 1 | 6 | 4 | 3 | 5 | 7 | 8 | 2 | 9 | Beta |
| 3142 | Çsc2 | 2 | 9 | 5 | 1 | 8 | 6 | 4 | 3 | 7 | Johnson SB |
| 3143 | Çsc2 | 9 | 7 | 6 | 2 | 8 | 5 | 4 | 1 | 3 | Weibull-2p |
| 3144 | Çsc2 | 6 | 5 | 9 | 3 | 7 | 4 | 1 | 2 | 8 | Normal |
| 3145 | Çsc2 | 2 | 9 | 7 | 1 | 8 | 5 | 6 | 3 | 4 | Johnson SB |
| 3146 | Çsc2 | 7 | 5 | 8 | 1 | 4 | 9 | 3 | 2 | 6 | Johnson SB |
| 3147 | Çsc2 | 9 | 8 | 6 | 1 | 7 | 5 | 4 | 2 | 3 | Johnson SB |
| 3148 | Çsc2 | 1 | 8 | 6 | 2 | 7 | 5 | 4 | 3 | Çözümsüz | Beta |
| 3149 | Çsc2 | 1 | 8 | 7 | 5 | 3 | 4 | 6 | 2 | Çözümsüz | Beta |
| 3150 | Çsc2 | 8 | 4 | 9 | 3 | 6 | 5 | 1 | 2 | 7 | Normal |
| 3151 | Çsc2 | 7 | 2 | 1 | 6 | 5 | 3 | 9 | 8 | 4 | Gamma-3p |
| 3152 | Çsc2 | 5 | 8 | 7 | 1 | 9 | 6 | 2 | 3 | 4 | Johnson SB |
| 3153 | Çsc2 | 2 | 6 | 9 | 1 | 8 | 5 | 3 | 4 | 7 | Johnson SB |
| 3154 | Çsc3 | 7 | 2 | 9 | 1 | 4 | 3 | 6 | 5 | 8 | Johnson SB |
| 3155 | Çsc3 | 8 | 3 | 4 | 5 | 9 | 6 | 7 | 2 | 1 | Weibull-3p |
| 3156 | Çsc3 | 4 | 6 | 9 | 3 | 5 | 2 | 8 | 7 | 1 | Weibull-3p |
| 3157 | Çsc3 | 8 | 2 | 3 | 1 | 7 | 9 | 4 | 5 | 6 | Johnson SB |
| 3158 | Çsc3 | 9 | 7 | 6 | 2 | 8 | 5 | 4 | 1 | 3 | Weibull-2p |
| 3159 | Çsc3 | 9 | 4 | 2 | 3 | 6 | 5 | 7 | 8 | 1 | Weibull-3p |
| 3160 | Çsc3 | 7 | 4 | 8 | 1 | 5 | 9 | 3 | 2 | 6 | Johnson SB |
| 3161 | Çsc3 | 9 | 7 | 3 | 2 | 8 | 4 | 5 | 1 | 6 | Weibull-2p |
| 3162 | Çsc3 | 8 | 7 | 6 | 1 | 9 | 3 | 4 | 2 | 5 | Johnson SB |
| 3163 | Çsc3 | 1 | 6 | 9 | 2 | 7 | 5 | 4 | 3 | 8 | Beta |
| 3164 | Çsc3 | 3 | 9 | 7 | 1 | 8 | 6 | 5 | 2 | 4 | Johnson SB |
| 3165 | Çsc3 | 2 | 6 | 9 | 1 | 8 | 5 | 4 | 3 | 7 | Johnson SB |
| 3166 | Çsc3 | 3 | 8 | 7 | 1 | 9 | 6 | 5 | 2 | 4 | Johnson SB |
| 3167 | Çsc3 | Çözümsüz | 6 | 1 | 5 | 4 | 3 | 7 | 8 | 2 | Gamma-3p |
| 3168 | Çsc3 | 2 | 8 | 7 | 1 | 9 | 6 | 4 | 3 | 5 | Johnson SB |
| 3169 | Çsc3 | 2 | 7 | 5 | 1 | 4 | 6 | 9 | 8 | 3 | Johnson SB |
| 3170 | Çsc3 | 8 | 7 | 6 | 3 | 9 | 5 | 4 | 2 | 1 | Weibull-3p |
| 3171 | Çsc3 | 7 | 6 | 4 | 2 | 3 | 5 | 8 | 9 | 1 | Weibull-3p |
| 3172 | Çsc3 | 6 | 7 | 5 | 4 | 9 | 3 | 1 | 2 | 8 | Normal |
| 3173 | Çsc3 | 9 | 1 | 2 | 6 | 5 | 3 | 7 | 8 | 4 | Gamma-2p |
| 3174 | Çsc3 | 8 | 4 | 7 | 1 | 5 | 9 | 2 | 3 | 6 | Johnson SB |

Tablo 4.3. 'ün devamı

| Örnek Alan No | Meşçere Tipi | Olasılık Yoğunluk Fonksiyonları | | | | | | | | | En Başarılı Dağılım |
|---------------|--------------|---------------------------------|----------|----------|------------|--------------|--------------|--------|------------|------------|---------------------|
| | | Beta | Gamma-2p | Gamma-3p | Johnson SB | Lognormal-2p | Lognormal-3p | Normal | Weibull-2p | Weibull-3p | |
| 3175 | Çsc3 | 4 | 8 | 7 | 1 | 9 | 3 | 6 | 2 | 5 | Johnson SB |
| 3176 | Çsc3 | 3 | 8 | 7 | 2 | 9 | 6 | 5 | 4 | 1 | Weibull-3p |
| 3177 | Çsc3 | 9 | 7 | 6 | 1 | 8 | 5 | 3 | 4 | 2 | Johnson SB |
| 3178 | Çsc3 | 3 | 8 | 7 | 2 | 9 | 5 | 4 | 6 | 1 | Weibull-3p |
| 3179 | Çsc3 | 9 | 7 | 6 | 4 | 8 | 1 | 2 | 5 | 3 | Lognormal-3p |
| 3180 | Çsc3 | 8 | 6 | 9 | 3 | 7 | 4 | 2 | 1 | 5 | Weibull-2p |
| 3181 | Çsc3 | 9 | 6 | 4 | 2 | 8 | 5 | 3 | 1 | 7 | Weibull-2p |
| 3182 | Çsc3 | 7 | 2 | 8 | 6 | 1 | 9 | 4 | 3 | 5 | Lognormal-2p |
| 3183 | Çsc3 | 2 | 8 | 7 | 1 | 9 | 6 | 5 | 4 | 3 | Johnson SB |
| 3184 | Çscd1 | 1 | 8 | 6 | 3 | 7 | 5 | 4 | 2 | Çözümsüz | Beta |
| 3185 | Çscd1 | 2 | 9 | 7 | 4 | 8 | 6 | 5 | 3 | 1 | Weibull-3p |
| 3186 | Çscd1 | 2 | 8 | 7 | 1 | 9 | 4 | 3 | 5 | 6 | Johnson SB |
| 3187 | Çscd1 | 8 | 7 | 1 | 5 | 9 | 4 | 6 | 3 | 2 | Gamma-3p |
| 3188 | Çscd1 | 7 | 4 | 9 | 1 | 3 | 8 | 6 | 5 | 2 | Johnson SB |
| 3189 | Çscd1 | 5 | 8 | 4 | 6 | 9 | 3 | 1 | 2 | 7 | Normal |
| 3190 | Çscd1 | 5 | 4 | --- | --- | 1 | 6 | 3 | 2 | 7 | Lognormal-2p |
| 3191 | Çscd1 | 9 | 6 | 1 | 3 | 4 | 5 | 8 | 7 | 2 | Gamma-3p |
| 3192 | Çscd1 | 3 | 1 | 4 | 9 | 2 | 5 | 8 | 6 | 7 | Gamma-2p |
| 3193 | Çscd1 | 7 | 3 | 9 | 1 | 5 | 6 | 4 | 2 | 8 | Johnson SB |
| 3194 | Çscd1 | 3 | 2 | 9 | 1 | 4 | 5 | 8 | 7 | 6 | Johnson SB |
| 3195 | Çscd1 | 6 | 8 | 9 | 1 | 3 | 5 | 7 | 2 | 4 | Johnson SB |
| 3196 | Çscd1 | 9 | 4 | 2 | 7 | 8 | 3 | 6 | 1 | 5 | Weibull-2p |
| 3197 | Çscd1 | 6 | 5 | 8 | 1 | 4 | 9 | 3 | 2 | 7 | Johnson SB |
| 3198 | Çscd1 | 1 | 5 | 6 | 4 | 3 | 7 | 8 | 9 | 2 | Beta |
| 3199 | Çscd1 | 7 | 5 | 9 | 1 | 6 | 4 | 3 | 2 | 8 | Johnson SB |
| 3200 | Çscd1 | 5 | 8 | 7 | 1 | 9 | 6 | 3 | 4 | 2 | Johnson SB |
| 3201 | Çscd1 | 1 | 8 | 9 | 2 | 5 | 6 | 4 | 3 | 7 | Beta |
| 3202 | Çscd1 | 7 | 3 | 8 | 2 | 4 | 5 | 6 | 1 | 9 | Weibull-2p |
| 3203 | Çscd1 | 1 | 6 | 9 | 2 | 4 | 3 | 7 | 5 | 8 | Beta |
| 3204 | Çscd1 | 2 | 6 | 8 | 1 | 9 | 5 | 3 | 4 | 7 | Johnson SB |
| 3205 | Çscd1 | 8 | 5 | 9 | 2 | 4 | 3 | 6 | 7 | 1 | Weibull-3p |
| 3206 | Çscd1 | 9 | 6 | 3 | 1 | 5 | 4 | 7 | 8 | 2 | Johnson SB |
| 3207 | Çscd1 | 6 | 8 | 7 | 4 | 9 | 3 | 2 | 5 | 1 | Weibull-3p |
| 3208 | Çscd1 | 5 | 4 | 8 | 1 | 6 | 9 | 2 | 3 | 7 | Johnson SB |
| 3209 | Çscd1 | 4 | 7 | 8 | 1 | 5 | 6 | 2 | 3 | 9 | Johnson SB |
| 3210 | Çscd1 | 4 | 5 | 9 | 1 | 3 | 2 | 8 | 7 | 6 | Johnson SB |
| 3211 | Çscd1 | 9 | 7 | 6 | 4 | 8 | 5 | 3 | 1 | 2 | Weibull-2p |
| 3212 | Çscd1 | 7 | 4 | 9 | 2 | 6 | 5 | 3 | 1 | 8 | Weibull-2p |
| 3213 | Çscd2 | 4 | 3 | 9 | 1 | 7 | 8 | 5 | 2 | 6 | Johnson SB |
| 3214 | Çscd2 | 9 | 7 | 6 | 1 | 8 | 5 | 3 | 2 | 4 | Johnson SB |
| 3215 | Çscd2 | 4 | 9 | 7 | 1 | 8 | 6 | 5 | 2 | 3 | Johnson SB |
| 3216 | Çscd2 | 7 | 4 | 5 | 2 | 3 | 9 | 8 | 6 | 1 | Weibull-3p |
| 3217 | Çscd2 | 6 | 9 | 7 | 1 | 8 | 4 | 5 | 2 | 3 | Johnson SB |
| 3218 | Çscd2 | 7 | 1 | 8 | 4 | 2 | 9 | 6 | 5 | 3 | Gamma-2p |
| 3219 | Çscd2 | 8 | 3 | 9 | 2 | 7 | 5 | 4 | 1 | 6 | Weibull-2p |
| 3220 | Çscd2 | 7 | 2 | 9 | 1 | 4 | 3 | 6 | 5 | 8 | Johnson SB |
| 3221 | Çscd2 | 8 | 4 | 7 | 2 | 5 | 9 | 6 | 3 | 1 | Weibull-3p |
| 3222 | Çscd2 | 3 | 7 | 4 | Çözümsüz | 8 | 5 | 1 | 2 | 6 | Normal |
| 3223 | Çscd2 | 2 | 8 | 6 | 1 | 9 | 7 | 4 | 5 | 3 | Johnson SB |
| 3224 | Çscd2 | 7 | 1 | 9 | 5 | 3 | 6 | 4 | 2 | 8 | Gamma-2p |
| 3225 | Çscd2 | 8 | 7 | 3 | 1 | 9 | 5 | 4 | 2 | 6 | Johnson SB |
| 3226 | Çscd2 | 1 | 8 | 7 | 2 | 9 | 6 | 5 | 4 | 3 | Beta |
| 3227 | Çscd2 | 8 | 3 | 1 | Çözümsüz | 5 | 2 | 4 | 7 | 6 | Gamma-3p |
| 3228 | Çscd2 | 9 | 8 | 5 | 1 | 7 | 3 | 6 | 2 | 4 | Johnson SB |
| 3229 | Çscd2 | 6 | 4 | 8 | 1 | 5 | 9 | 3 | 2 | 7 | Johnson SB |
| 3230 | Çscd2 | 9 | 7 | 6 | 3 | 8 | 4 | 2 | 1 | 5 | Weibull-2p |
| 3231 | Çscd2 | 7 | 9 | 6 | 1 | 8 | 5 | 4 | 3 | 2 | Johnson SB |
| 3232 | Çscd2 | 7 | 3 | 8 | 2 | 4 | 9 | 6 | 5 | 1 | Weibull-3p |

Tablo 4.3. 'ün devamı

| Örnek Alan No | Meşçere Tipi | Olasılık Yoğunluk Fonksiyonları | | | | | | | | | En Başarılı Dağılım |
|---------------|--------------|---------------------------------|----------|----------|------------|--------------|--------------|--------|------------|------------|---------------------|
| | | Beta | Gamma-2p | Gamma-3p | Johnson SB | Lognormal-2p | Lognormal-3p | Normal | Weibull-2p | Weibull-3p | |
| 3233 | Çscd2 | 9 | 7 | 6 | 1 | 8 | 5 | 4 | 3 | 2 | Johnson SB |
| 3234 | Çscd2 | 4 | 6 | 7 | 1 | 3 | 2 | 9 | 8 | 5 | Johnson SB |
| 3235 | Çscd2 | 9 | 3 | 2 | 4 | 6 | 5 | 8 | 7 | 1 | Weibull-3p |
| 3236 | Çscd2 | 2 | 7 | 6 | 1 | 8 | 5 | 4 | 3 | Çözümsüz | Johnson SB |
| 3237 | Çscd2 | 1 | 8 | 6 | 2 | 7 | 4 | 5 | 3 | Çözümsüz | Beta |
| 3238 | Çscd2 | 4 | 7 | 2 | Çözümsüz | 8 | 1 | 5 | 6 | 3 | Lognormal-3p |
| 3239 | Çscd2 | 9 | 3 | 5 | 1 | 6 | 4 | 7 | 8 | 2 | Johnson SB |
| 3240 | Çscd2 | 7 | 8 | 4 | 1 | 9 | 3 | 2 | 5 | 6 | Johnson SB |
| 3241 | Çscd2 | 6 | 4 | 9 | 1 | 3 | 2 | 8 | 7 | 5 | Johnson SB |
| 3242 | Çscd2 | 7 | 5 | 9 | 1 | 6 | 4 | 3 | 2 | 8 | Johnson SB |
| 3243 | Çscd3 | 9 | 6 | 1 | 4 | 3 | 5 | 7 | 8 | 2 | Gamma-3p |
| 3244 | Çscd3 | 7 | 2 | 9 | 4 | 1 | 3 | 8 | 6 | 5 | Lognormal-2p |
| 3245 | Çscd3 | 3 | 4 | 9 | 2 | 5 | 1 | 8 | 7 | 6 | Lognormal-3p |
| 3246 | Çscd3 | 7 | 4 | 9 | 5 | 2 | 1 | 6 | 3 | 8 | Lognormal-3p |
| 3247 | Çscd3 | 4 | 3 | 8 | 1 | 5 | 2 | 6 | 7 | 9 | Johnson SB |
| 3248 | Çscd3 | 3 | 5 | 9 | 2 | 4 | 1 | 6 | 7 | 8 | Lognormal-3p |
| 3249 | Çscd3 | 6 | 4 | 2 | 9 | 5 | 3 | 7 | 8 | 1 | Weibull-3p |
| 3250 | Çscd3 | 1 | 8 | 6 | 2 | 9 | 5 | 3 | 4 | 7 | Beta |
| 3251 | Çscd3 | 7 | 1 | 9 | 3 | 4 | 6 | 5 | 2 | 8 | Gamma-2p |
| 3252 | Çscd3 | 9 | 8 | 7 | 2 | 3 | 6 | 5 | 1 | 4 | Weibull-2p |
| 3253 | Çscd3 | 7 | 4 | 1 | 6 | 2 | 8 | 5 | 3 | 9 | Gamma-3p |
| 3254 | Çscd3 | 8 | 7 | 6 | 2 | 9 | 5 | 4 | 3 | 1 | Weibull-3p |
| 3255 | Çscd3 | 8 | 4 | 7 | 2 | 5 | 9 | 3 | 1 | 6 | Weibull-2p |
| 3256 | Çscd3 | 8 | 7 | 1 | 3 | 9 | 4 | 6 | 2 | 5 | Gamma-3p |
| 3257 | Çscd3 | 9 | 7 | 1 | 4 | 8 | 2 | 6 | 5 | 3 | Gamma-3p |
| 3258 | Çscd3 | 2 | 6 | 3 | 8 | 7 | 5 | 4 | 1 | Çözümsüz | Weibull-2p |
| 3259 | Çscd3 | 9 | 7 | 6 | 1 | 8 | 3 | 4 | 2 | 5 | Johnson SB |
| 3260 | Çscd3 | 1 | 7 | 8 | 2 | 9 | 5 | 3 | 4 | 6 | Beta |
| 3261 | Çscd3 | 2 | 8 | 7 | 1 | 9 | 4 | 3 | 5 | 6 | Johnson SB |
| 3262 | Çscd3 | 9 | 6 | 4 | 1 | 3 | 5 | 7 | 8 | 2 | Johnson SB |
| 3263 | Çscd3 | 7 | 8 | 6 | 3 | 9 | 4 | 5 | 2 | 1 | Weibull-3p |
| 3264 | Çscd3 | 5 | 7 | 3 | 1 | 4 | 6 | 8 | 9 | 2 | Johnson SB |
| 3265 | Çscd3 | 2 | 9 | 6 | 7 | 8 | 4 | 5 | 3 | 1 | Weibull-3p |
| 3266 | Çscd3 | 7 | 5 | 9 | 1 | 3 | 6 | 4 | 2 | 8 | Johnson SB |
| 3267 | Çscd3 | 9 | 7 | 6 | 2 | 8 | 5 | 3 | 1 | 4 | Weibull-2p |
| 3268 | Çscd3 | 4 | 8 | 6 | 1 | 9 | 5 | 3 | 2 | 7 | Johnson SB |
| 3269 | Çscd3 | 3 | 8 | 6 | 1 | 9 | 7 | 5 | 4 | 2 | Johnson SB |
| 3270 | Çscd3 | 6 | 1 | 3 | 2 | 7 | 4 | 9 | 8 | 5 | Gamma-2p |
| 3271 | Çscd3 | 2 | 3 | 8 | 1 | 7 | 4 | 5 | 6 | 9 | Johnson SB |
| 3272 | Çscd3 | 4 | 3 | 1 | Çözümsüz | 7 | 2 | 5 | 8 | 6 | Gamma-3p |
| 3273 | Çsd1 | 3 | 5 | 9 | 1 | 4 | 6 | 8 | 7 | 2 | Johnson SB |
| 3274 | Çsd1 | 2 | 5 | 9 | 1 | 7 | 8 | 3 | 4 | 6 | Johnson SB |
| 3275 | Çsd1 | 8 | 4 | 1 | 5 | 7 | 2 | 3 | 6 | Çözümsüz | Gamma-3p |
| 3276 | Çsd1 | 1 | 6 | 5 | 8 | 7 | 3 | 4 | 2 | Çözümsüz | Beta |
| 3277 | Çsd1 | 2 | 7 | 6 | 1 | 8 | 3 | 4 | 5 | Çözümsüz | Johnson SB |
| 3278 | Çsd1 | 2 | 7 | 4 | 8 | 6 | 3 | 5 | 1 | Çözümsüz | Weibull-2p |
| 3279 | Çsd1 | 3 | 8 | 7 | 1 | 9 | 4 | 5 | 6 | 2 | Johnson SB |
| 3280 | Çsd1 | 7 | 6 | 5 | 2 | 9 | 4 | 3 | 8 | 1 | Weibull-3p |
| 3281 | Çsd1 | 7 | 5 | 2 | 6 | 4 | 1 | 8 | 9 | 3 | Lognormal-3p |
| 3282 | Çsd1 | 7 | 5 | 9 | 1 | 4 | 8 | 6 | 3 | 2 | Johnson SB |
| 3283 | Çsd1 | 9 | 7 | 6 | 5 | 8 | 3 | 2 | 4 | 1 | Weibull-3p |
| 3284 | Çsd1 | 9 | 7 | 6 | 5 | 8 | 3 | 2 | 4 | 1 | Weibull-3p |
| 3285 | Çsd1 | 2 | 3 | 6 | Çözümsüz | 5 | --- | 4 | 1 | 7 | Weibull-2p |
| 3286 | Çsd1 | 6 | 7 | 1 | 2 | 3 | 4 | 8 | 5 | 9 | Gamma-3p |
| 3287 | Çsd1 | 5 | 6 | 9 | 1 | 7 | 3 | 2 | 4 | 8 | Johnson SB |
| 3288 | Çsd1 | 5 | 8 | 7 | 2 | 9 | 4 | 6 | 3 | 1 | Weibull-3p |
| 3289 | Çsd1 | 4 | 6 | 5 | 1 | 8 | 2 | 3 | 7 | Çözümsüz | Johnson SB |
| 3290 | Çsd2 | 9 | 6 | 4 | 1 | 7 | 3 | 5 | 8 | 2 | Johnson SB |

Tablo 4.3. 'ün devamı

| Örnek Alan No | Meşçere Tipi | Olasılık Yoğunluk Fonksiyonları | | | | | | | | | En Başarılı Dağılım |
|---------------|--------------|---------------------------------|----------|----------|------------|--------------|--------------|--------|------------|------------|---------------------|
| | | Beta | Gamma-2p | Gamma-3p | Johnson SB | Lognormal-2p | Lognormal-3p | Normal | Weibull-2p | Weibull-3p | |
| 3291 | Çsd2 | 2 | 8 | 5 | 1 | 7 | 6 | 4 | 3 | Çözümsüz | Johnson SB |
| 3292 | Çsd2 | 3 | 8 | 7 | 2 | 9 | 6 | 5 | 4 | 1 | Weibull-3p |
| 3293 | Çsd2 | 8 | 4 | 3 | 2 | 7 | 1 | 6 | 9 | 5 | Lognormal-3p |
| 3294 | Çsd2 | 2 | 7 | 6 | 1 | 8 | 3 | 4 | 5 | Çözümsüz | Johnson SB |
| 3295 | Çsd2 | 2 | 7 | 4 | 8 | 6 | 3 | 5 | 1 | Çözümsüz | Weibull-2p |
| 3296 | Çsd2 | 9 | 7 | 6 | 1 | 8 | 5 | 3 | 2 | 4 | Johnson SB |
| 3297 | Çsd2 | 7 | 9 | 6 | 1 | 8 | 4 | 5 | 3 | 2 | Johnson SB |
| 3298 | Çsd2 | 5 | 8 | 6 | 1 | 9 | 3 | 4 | 7 | 2 | Johnson SB |
| 3299 | Çsd2 | 3 | 8 | 7 | 1 | 9 | 6 | 5 | 4 | 2 | Johnson SB |
| 3300 | Çsd2 | 2 | 7 | 6 | 1 | 8 | 5 | 3 | 4 | Çözümsüz | Johnson SB |
| 3301 | Çsd2 | 8 | 7 | 5 | 1 | 4 | 2 | 3 | 6 | Çözümsüz | Johnson SB |
| 3302 | Çsd2 | 4 | 6 | 9 | 1 | 7 | 5 | 3 | 2 | 8 | Johnson SB |
| 3303 | Çsd2 | 2 | 6 | 9 | 1 | 7 | 5 | 3 | 4 | 8 | Johnson SB |
| 3304 | Çsd2 | 7 | 5 | 2 | 6 | 4 | 1 | 9 | 8 | 3 | Lognormal-3p |
| 3305 | Çsd2 | 2 | 6 | 8 | 1 | 4 | 3 | 7 | 5 | 9 | Johnson SB |
| 3306 | Çsd2 | 8 | 7 | 5 | 2 | 9 | 3 | 4 | 6 | 1 | Weibull-3p |
| 3307 | Çsd2 | 1 | 7 | 6 | Çözümsüz | 8 | 5 | 4 | 3 | 2 | Beta |
| 3308 | Çsd2 | 3 | 5 | 9 | 4 | 1 | 2 | 8 | 6 | 7 | Lognormal-2p |
| 3309 | Çsd2 | 6 | 2 | 8 | 1 | 3 | 9 | 5 | 4 | 7 | Johnson SB |
| 3310 | Çsd2 | 8 | 2 | 9 | 1 | 3 | 4 | 7 | 5 | 6 | Johnson SB |
| 3311 | Çsd2 | 5 | 8 | 6 | 2 | 9 | 3 | 4 | 7 | 1 | Weibull-3p |
| 3312 | Çsd2 | 9 | 7 | 6 | 2 | 8 | 5 | 4 | 3 | 1 | Weibull-3p |
| 3313 | Çsd2 | 2 | 7 | 4 | 1 | 5 | 6 | 9 | 8 | 3 | Johnson SB |
| 3314 | Çsd2 | 3 | 6 | 4 | 2 | 9 | 5 | 7 | 1 | 8 | Weibull-2p |
| 3315 | Çsd2 | 1 | 8 | 9 | 2 | 6 | 3 | 7 | 4 | 5 | Beta |
| 3316 | Çsd2 | 3 | 8 | 6 | 1 | 9 | 5 | 4 | 7 | 2 | Johnson SB |
| 3317 | Çsd3 | 1 | 7 | 4 | 2 | 9 | 6 | 8 | 3 | 5 | Beta |
| 3318 | Çsd3 | 1 | 8 | 6 | 2 | 4 | 7 | 5 | 3 | Çözümsüz | Beta |
| 3319 | Çsd3 | 6 | 5 | 8 | 1 | 4 | 9 | 3 | 2 | 7 | Johnson SB |
| 3320 | Çsd3 | 3 | 8 | 7 | 1 | 9 | 6 | 5 | 4 | 2 | Johnson SB |
| 3321 | Çsd3 | 9 | 7 | 6 | 3 | 8 | 5 | 4 | 1 | 2 | Weibull-2p |
| 3322 | Çsd3 | 6 | 5 | 9 | 1 | 7 | 3 | 2 | 4 | 8 | Johnson SB |
| 3323 | Çsd3 | 9 | 1 | 7 | 5 | 2 | 6 | 3 | 4 | 8 | Gamma-2p |

Tablo 4.4. *Olasılık yoğunluk fonksiyonlarının Anderson-Darling (AD) istatistiğine göre sıralamaları (I. Bonitet)*

| Örnek Alan No | Meşçere Tipi | Olasılık Yoğunluk Fonksiyonları | | | | | | | | | En Başarılı Dağılım |
|---------------|--------------|---------------------------------|----------|----------|------------|--------------|--------------|--------|------------|------------|---------------------|
| | | Beta | Gamma-2p | Gamma-3p | Johnson SB | Lognormal-2p | Lognormal-3p | Normal | Weibull-2p | Weibull-3p | |
| 1001 | Çsb1 | --- | 2 | 5 | Çözümsüz | 4 | --- | 3 | 1 | --- | Weibull-2p |
| 1002 | Çsb1 | 8 | 4 | 9 | 2 | 5 | 6 | 3 | 1 | 7 | Weibull-2p |
| 1003 | Çsb1 | 6 | 3 | --- | 1 | 5 | --- | 4 | 2 | 7 | Johnson SB |
| 1004 | Çsb2 | 6 | 2 | --- | 1 | 5 | 7 | 3 | 4 | 8 | Johnson SB |
| 1005 | Çsb2 | 6 | 2 | 9 | 1 | 5 | 8 | 3 | 4 | 7 | Johnson SB |
| 1006 | Çsb3 | 6 | 2 | --- | 5 | 4 | --- | 3 | 1 | --- | Weibull-2p |
| 1007 | Çsb3 | 7 | 1 | 8 | 2 | 3 | 9 | 4 | 5 | 6 | Gamma-2p |
| 1008 | Çsb3 | 7 | 2 | 6 | 1 | 4 | --- | 3 | 5 | 8 | Johnson SB |
| 1009 | Çsb3 | 6 | 3 | 7 | 1 | 5 | --- | 4 | 2 | --- | Johnson SB |
| 1010 | Çsb3 | 9 | 6 | 5 | 2 | 7 | 4 | 3 | 1 | 8 | Weibull-2p |
| 1011 | Çsb3 | Çözümsüz | 4 | 2 | Çözümsüz | 6 | 3 | 5 | 7 | 1 | Weibull-3p |
| 1012 | Çsb3 | 9 | 7 | 3 | 1 | 8 | 4 | 2 | 5 | 6 | Johnson SB |
| 1013 | Çsb3 | 9 | 3 | 5 | 1 | 6 | 4 | 2 | 7 | 8 | Johnson SB |
| 1014 | Çsb3 | 9 | 2 | 7 | 1 | 4 | 6 | 3 | 5 | 8 | Johnson SB |
| 1015 | Çsb3 | 9 | 8 | 5 | 1 | 7 | 6 | 4 | 3 | 2 | Johnson SB |
| 1016 | Çsb3 | 6 | 1 | 7 | 3 | 5 | --- | 4 | 2 | --- | Gamma-2p |
| 1017 | Çsb3 | 9 | 1 | 8 | 5 | 2 | 7 | 3 | 4 | 6 | Gamma-2p |
| 1018 | Çsb3 | --- | 2 | 6 | 4 | 1 | --- | 3 | 5 | --- | Lognormal-2p |
| 1019 | Çsb3 | 5 | 1 | 9 | 7 | 2 | 8 | 3 | 4 | 6 | Gamma-2p |
| 1020 | Çsb3 | 6 | 2 | 7 | 1 | 3 | --- | 4 | 5 | 8 | Johnson SB |
| 1021 | Çsb3 | 9 | 6 | 5 | 2 | 7 | 4 | 3 | 1 | 8 | Weibull-2p |
| 1022 | Çsb3 | 8 | 2 | 9 | 1 | 3 | 6 | 4 | 5 | 7 | Johnson SB |
| 1023 | Çsb3 | 6 | 3 | --- | 1 | 5 | --- | 4 | 2 | 7 | Johnson SB |
| 1024 | Çsb3 | 9 | 4 | 8 | 1 | 5 | 7 | 3 | 2 | 6 | Johnson SB |
| 1025 | Çsb3 | 7 | 2 | 8 | 1 | 4 | 9 | 3 | 5 | 6 | Johnson SB |
| 1026 | Çsb3 | 9 | 4 | 8 | 1 | 6 | 5 | 3 | 2 | 7 | Johnson SB |
| 1027 | Çsb3 | 7 | 2 | 9 | 1 | 4 | 8 | 3 | 5 | 6 | Johnson SB |
| 1028 | Çsb3 | 6 | 1 | --- | 5 | 4 | --- | 3 | 2 | --- | Gamma-2p |
| 1029 | Çsb3 | 7 | 2 | 8 | 1 | 5 | 9 | 4 | 3 | 6 | Johnson SB |
| 1030 | Çsb3 | 8 | 1 | 9 | 2 | 3 | 4 | 5 | 6 | 7 | Gamma-2p |
| 1031 | Çsb3 | 9 | 1 | 3 | 4 | 5 | 2 | 7 | 8 | 6 | Gamma-2p |
| 1032 | Çsb3 | 5 | 2 | --- | Çözümsüz | 4 | --- | 3 | 1 | --- | Weibull-2p |
| 1033 | Çsb3 | 6 | 4 | 9 | 1 | 5 | 8 | 3 | 2 | 7 | Johnson SB |
| 1034 | Çsb3 | 9 | 6 | 5 | 3 | 7 | 4 | 1 | 2 | 8 | Normal |
| 1035 | Çsb3 | --- | 1 | 6 | 3 | 4 | 7 | 2 | 5 | --- | Gamma-2p |
| 1036 | Çsbc2 | 8 | 2 | 6 | 1 | 3 | 9 | 5 | 4 | 7 | Johnson SB |
| 1037 | Çsbc2 | 6 | 2 | 7 | 1 | 3 | --- | 4 | 5 | --- | Johnson SB |
| 1038 | Çsbc2 | 9 | 5 | 3 | 1 | 8 | 2 | 7 | 6 | 4 | Johnson SB |
| 1039 | Çsbc2 | 9 | 4 | 7 | 1 | 5 | 6 | 3 | 2 | 8 | Johnson SB |
| 1040 | Çsbc2 | 8 | 7 | 5 | 1 | 6 | 4 | 3 | 2 | Çözümsüz | Johnson SB |
| 1041 | Çsbc3 | 9 | 3 | 5 | 1 | 6 | 4 | 2 | 7 | 8 | Johnson SB |
| 1042 | Çsbc3 | 9 | 6 | 5 | 2 | 7 | 4 | 3 | 1 | 8 | Weibull-2p |
| 1043 | Çsbc3 | 2 | 6 | 4 | 3 | 8 | 5 | 7 | 9 | 1 | Weibull-3p |
| 1044 | Çsbc3 | 7 | 4 | 9 | 1 | 5 | 6 | 2 | 3 | 8 | Johnson SB |
| 1045 | Çsbc3 | 9 | 3 | 7 | 1 | 6 | 4 | 2 | 5 | 8 | Johnson SB |
| 1046 | Çsbc3 | 9 | 7 | 5 | 1 | 8 | 4 | 3 | 2 | 6 | Johnson SB |
| 1047 | Çsbc3 | 9 | 8 | 6 | 1 | 7 | 5 | 4 | 2 | 3 | Johnson SB |
| 1048 | Çsbc3 | 9 | 7 | 5 | 1 | 8 | 4 | 3 | 2 | 6 | Johnson SB |
| 1049 | Çsbc3 | 9 | 1 | 7 | 2 | 3 | 5 | 4 | 6 | 8 | Gamma-2p |
| 1050 | Çsbc3 | 6 | 2 | --- | 1 | 3 | --- | 4 | 5 | --- | Johnson SB |
| 1051 | Çsbc3 | 8 | 2 | 6 | 7 | 1 | 3 | 4 | 5 | 9 | Lognormal-2p |
| 1052 | Çsbc3 | 8 | 4 | 9 | 1 | 6 | 5 | 2 | 3 | 7 | Johnson SB |
| 1053 | Çsbc3 | 8 | 2 | 9 | 1 | 3 | 4 | 5 | 6 | 7 | Johnson SB |
| 1054 | Çsbc3 | 8 | 2 | 4 | Çözümsüz | 1 | 3 | 6 | 7 | 5 | Lognormal-2p |
| 1055 | Çsbc3 | 8 | 3 | 9 | 1 | 5 | 7 | 2 | 4 | 6 | Johnson SB |
| 1056 | Çsbc3 | 9 | 6 | 5 | 1 | 8 | 4 | 3 | 2 | 7 | Johnson SB |
| 1057 | Çsbc3 | 8 | 2 | 9 | 1 | 3 | 6 | 4 | 5 | 7 | Johnson SB |

Tablo 4.4. 'ün devamı

| Örnek Alan No | Meşçere Tipi | Olasılık Yoğunluk Fonksiyonları | | | | | | | | | En Başarılı Dağılım |
|---------------|--------------|---------------------------------|----------|----------|------------|--------------|--------------|--------|------------|------------|---------------------|
| | | Beta | Gamma-2p | Gamma-3p | Johnson SB | Lognormal-2p | Lognormal-3p | Normal | Weibull-2p | Weibull-3p | |
| 1058 | Çsbc3 | 8 | 2 | 9 | 1 | 3 | 6 | 4 | 5 | 7 | Johnson SB |
| 1059 | Çsbc3 | 9 | 5 | 8 | 1 | 6 | 4 | 3 | 2 | 7 | Johnson SB |
| 1060 | Çsbc3 | 9 | 7 | 6 | 1 | 8 | 5 | 4 | 3 | 2 | Johnson SB |
| 1061 | Çsbc3 | Çözümsüz | 2 | 4 | Çözümsüz | 6 | 5 | 3 | 7 | 1 | Weibull-3p |
| 1062 | Çsbc3 | 9 | 6 | 2 | 1 | 7 | 3 | 5 | 8 | 4 | Johnson SB |
| 1063 | Çsbc3 | 9 | 4 | 8 | 1 | 5 | 7 | 3 | 2 | 6 | Johnson SB |
| 1064 | Çsbc3 | 8 | 5 | 9 | 1 | 6 | 4 | 3 | 2 | 7 | Johnson SB |
| 1065 | Çsbc3 | 1 | 6 | 4 | 2 | 7 | 5 | 8 | 9 | 3 | Beta |
| 1066 | Çsbc3 | 8 | 4 | 9 | 5 | 3 | 6 | 2 | 1 | 7 | Weibull-2p |
| 1067 | Çsbc3 | 8 | 1 | 9 | 3 | 2 | 4 | 5 | 6 | 7 | Gamma-2p |
| 1068 | Çsbc3 | 5 | 2 | 8 | 6 | 1 | 9 | 4 | 3 | 7 | Lognormal-2p |
| 1069 | Çsbc3 | 6 | 3 | 9 | 7 | 1 | 2 | 5 | 4 | 8 | Lognormal-2p |
| 1070 | Çsbc3 | 6 | 2 | 9 | 3 | 1 | 8 | 5 | 4 | 7 | Lognormal-2p |
| 1071 | Çsc1 | 9 | 7 | 6 | 2 | 8 | 5 | 4 | 3 | 1 | Weibull-3p |
| 1072 | Çsc1 | 9 | 7 | 5 | 2 | 8 | 4 | 3 | 1 | 6 | Weibull-2p |
| 1073 | Çsc1 | 6 | 2 | --- | 1 | 3 | --- | 5 | 4 | 7 | Johnson SB |
| 1074 | Çsc2 | 6 | 4 | 9 | 3 | 5 | 8 | 1 | 2 | 7 | Normal |
| 1075 | Çsc2 | 6 | 2 | 7 | 1 | 4 | 8 | 5 | 3 | 9 | Johnson SB |
| 1076 | Çsc2 | 8 | 2 | 7 | 1 | 3 | 6 | 5 | 4 | 9 | Johnson SB |
| 1077 | Çsc2 | Çözümsüz | 4 | 2 | Çözümsüz | 7 | 1 | 3 | 5 | 6 | Lognormal-3p |
| 1078 | Çsc2 | 7 | 5 | 9 | 6 | 4 | 3 | 2 | 1 | 8 | Weibull-2p |
| 1079 | Çsc2 | 9 | 7 | 3 | 8 | 6 | 4 | 2 | 5 | 1 | Weibull-3p |
| 1080 | Çsc2 | 7 | 5 | 9 | 2 | 6 | 4 | 3 | 1 | 8 | Weibull-2p |
| 1081 | Çsc2 | 9 | 7 | 5 | 2 | 8 | 4 | 3 | 6 | 1 | Weibull-3p |
| 1082 | Çsc2 | 8 | 6 | 4 | 7 | 5 | 3 | 2 | 1 | Çözümsüz | Weibull-2p |
| 1083 | Çsc2 | 7 | 3 | 9 | 5 | 4 | 8 | 2 | 1 | 6 | Weibull-2p |
| 1084 | Çsc2 | 9 | 4 | 3 | 6 | 2 | 1 | 8 | 7 | 5 | Lognormal-3p |
| 1085 | Çsc2 | 8 | 2 | 6 | 1 | 3 | 9 | 5 | 4 | 7 | Johnson SB |
| 1086 | Çsc2 | 5 | 2 | 6 | 8 | 1 | 7 | 4 | 3 | 9 | Lognormal-2p |
| 1087 | Çsc2 | 6 | 2 | --- | 1 | 3 | --- | 5 | 4 | --- | Johnson SB |
| 1088 | Çsc2 | 8 | 2 | 7 | 5 | 1 | 9 | 4 | 3 | 6 | Lognormal-2p |
| 1089 | Çsc2 | 9 | 6 | 1 | 3 | 5 | 4 | 8 | 7 | 2 | Gamma-3p |
| 1090 | Çsc2 | 7 | 6 | 9 | 8 | 2 | 4 | 5 | 1 | 3 | Weibull-2p |
| 1091 | Çsc3 | 8 | 4 | 3 | 9 | 1 | 2 | 7 | 6 | 5 | Lognormal-2p |
| 1092 | Çsc3 | 9 | 5 | 3 | 2 | 8 | 1 | 4 | 7 | 6 | Lognormal-3p |
| 1093 | Çsc3 | 2 | 4 | 5 | 3 | 7 | 6 | 8 | 9 | 1 | Weibull-3p |
| 1094 | Çsc3 | 3 | 7 | 2 | Çözümsüz | 8 | 1 | 4 | 6 | 5 | Lognormal-3p |
| 1095 | Çsc3 | 9 | 6 | 8 | 1 | 5 | 3 | 2 | 4 | 7 | Johnson SB |
| 1096 | Çsc3 | 9 | 8 | 6 | 1 | 7 | 5 | 4 | 2 | 3 | Johnson SB |
| 1097 | Çsc3 | 3 | 8 | 6 | 9 | 7 | 5 | 4 | 1 | 2 | Weibull-2p |
| 1098 | Çsc3 | 6 | 3 | 8 | 9 | 2 | 1 | 5 | 4 | 7 | Lognormal-3p |
| 1099 | Çsc3 | 4 | 7 | 1 | Çözümsüz | 8 | 2 | 3 | 6 | 5 | Gamma-3p |
| 1100 | Çsc3 | 7 | 4 | 8 | 3 | 5 | 6 | 2 | 1 | 9 | Weibull-2p |
| 1101 | Çsc3 | 9 | 4 | 8 | 2 | 5 | 7 | 3 | 1 | 6 | Weibull-2p |
| 1102 | Çsc3 | 2 | 7 | 4 | Çözümsüz | 8 | 3 | 1 | 6 | 5 | Normal |
| 1103 | Çsc3 | 8 | 3 | 9 | 6 | 2 | 5 | 4 | 1 | 7 | Weibull-2p |
| 1104 | Çsc3 | 8 | 6 | 4 | 7 | 5 | 3 | 2 | 1 | Çözümsüz | Weibull-2p |
| 1105 | Çsc3 | 9 | 7 | 6 | 3 | 8 | 5 | 4 | 1 | 2 | Weibull-2p |
| 1106 | Çsc3 | 2 | 7 | 4 | 1 | 9 | 5 | 6 | 8 | 3 | Johnson SB |
| 1107 | Çsc3 | 1 | 7 | 4 | 2 | 8 | 5 | 6 | 9 | 3 | Beta |
| 1108 | Çsc3 | 9 | 7 | 4 | 1 | 8 | 3 | 2 | 6 | 5 | Johnson SB |
| 1109 | Çsc3 | 9 | 7 | 4 | 1 | 8 | 5 | 3 | 2 | 6 | Johnson SB |
| 1110 | Çsc3 | 8 | 7 | 5 | 2 | 6 | 4 | 3 | 1 | Çözümsüz | Weibull-2p |
| 1111 | Çsc3 | 9 | 8 | 6 | 1 | 7 | 5 | 4 | 2 | 3 | Johnson SB |
| 1112 | Çsc3 | 1 | 7 | 5 | Çözümsüz | 8 | 4 | 3 | 6 | 2 | Beta |
| 1113 | Çsc3 | 9 | 4 | 7 | 1 | 5 | 8 | 3 | 2 | 6 | Johnson SB |
| 1114 | Çsc3 | 9 | 8 | 5 | 1 | 7 | 6 | 4 | 2 | 3 | Johnson SB |
| 1115 | Çsc3 | 3 | 7 | 4 | 1 | 6 | 5 | 8 | 9 | 2 | Johnson SB |
| 1116 | Çsc3 | 9 | 4 | 2 | 8 | 3 | 1 | 6 | 7 | 5 | Lognormal-3p |

Tablo 4.4. 'ün devamı

| Örnek Alan No | Mesçere Tipi | Olasılık Yoğunluk Fonksiyonları | | | | | | | | | En Başarılı Dağılım |
|---------------|----------------|---------------------------------|----------|----------|------------|--------------|--------------|--------|------------|------------|---------------------|
| | | Beta | Gamma-2p | Gamma-3p | Johnson SB | Lognormal-2p | Lognormal-3p | Normal | Weibull-2p | Weibull-3p | |
| 1117 | Çsc3 | 8 | 5 | 9 | 6 | 4 | 3 | 2 | 1 | 7 | Weibull-2p |
| 1118 | Çsc3 | 6 | 4 | 8 | 5 | 3 | 9 | 2 | 1 | 7 | Weibull-2p |
| 1119 | Çsc3 | 8 | 6 | 4 | 7 | 5 | 2 | 3 | 1 | Çözümsüz | Weibull-2p |
| 1120 | Çsc3 | 9 | 4 | 3 | 8 | 2 | 1 | 7 | 6 | 5 | Lognormal-3p |
| 1121 | Çscd1 | 8 | 4 | 9 | 5 | 3 | 6 | 2 | 1 | 7 | Weibull-2p |
| 1122 | Çscd1 | 8 | 6 | 4 | 9 | 7 | 3 | 2 | 5 | 1 | Weibull-3p |
| 1123 | Çscd1 | 6 | 5 | 8 | 7 | 4 | 3 | 2 | 1 | 9 | Weibull-2p |
| 1124 | Çscd1 | 9 | 7 | 4 | 5 | 8 | 3 | 2 | 6 | 1 | Weibull-3p |
| 1125 | Çscd1 | 7 | 4 | 9 | 5 | 3 | 6 | 2 | 1 | 8 | Weibull-2p |
| 1126 | Çscd1 | 8 | 6 | 3 | 7 | 5 | 2 | 1 | 4 | Çözümsüz | Normal |
| 1127 | Çscd1 | 7 | 5 | 9 | 1 | 6 | 4 | 3 | 2 | 8 | Johnson SB |
| 1128 | Çscd1 | 8 | 6 | 9 | 1 | 4 | 3 | 7 | 2 | 5 | Johnson SB |
| 1129 | Çscd1 | 7 | 5 | 9 | 6 | 4 | 3 | 2 | 1 | 8 | Weibull-2p |
| 1130 | Çscd1 | 9 | 7 | 6 | 2 | 8 | 5 | 4 | 1 | 3 | Weibull-2p |
| 1131 | Çscd1 | 9 | 7 | 5 | 1 | 8 | 4 | 3 | 6 | 2 | Johnson SB |
| 1132 | Çscd2 | 8 | 6 | 9 | 1 | 5 | 4 | 3 | 2 | 7 | Johnson SB |
| 1133 | Çscd2 | 6 | 1 | 9 | 5 | 2 | 8 | 4 | 3 | 7 | Gamma-2p |
| 1134 | Çscd2 | 3 | 7 | 4 | Çözümsüz | 8 | 2 | 1 | 5 | 6 | Normal |
| 1135 | Çscd2 | 9 | 7 | 5 | 1 | 8 | 4 | 3 | 6 | 2 | Johnson SB |
| 1136 | Çscd2 | 4 | 7 | 3 | Çözümsüz | 8 | 2 | 1 | 6 | 5 | Normal |
| 1137 | Çscd2 | 9 | 8 | 4 | 5 | 7 | 3 | 2 | 1 | 6 | Weibull-2p |
| 1138 | Çscd2 | 9 | 6 | 3 | 1 | 4 | 5 | 7 | 8 | 2 | Johnson SB |
| 1139 | Çscd2 | 9 | 7 | 5 | 8 | 6 | 4 | 3 | 1 | 2 | Weibull-2p |
| 1140 | Çscd2 | 8 | 5 | 2 | 9 | 3 | 1 | 7 | 6 | 4 | Lognormal-3p |
| 1141 | Çscd2 | 9 | 4 | 7 | 3 | 5 | 8 | 2 | 1 | 6 | Weibull-2p |
| 1142 | Çscd2 | 9 | 7 | 5 | 1 | 8 | 4 | 3 | 2 | 6 | Johnson SB |
| 1143 | Çscd2 | 9 | 7 | 6 | 2 | 8 | 4 | 3 | 5 | 1 | Weibull-3p |
| 1144 | Çscd2 | 9 | 7 | 1 | 4 | 8 | 3 | 2 | 6 | 5 | Gamma-3p |
| 1145 | Çscd2 Çözümsüz | 7 | 5 | 2 | 8 | 4 | 3 | 6 | 6 | 1 | Weibull-3p |
| 1146 | Çscd2 | 8 | 7 | 4 | 9 | 6 | 5 | 3 | 1 | 2 | Weibull-2p |
| 1147 | Çscd2 | 2 | 6 | 1 | 9 | 5 | 4 | 7 | 8 | 3 | Gamma-3p |
| 1148 | Çscd2 | 9 | 7 | 4 | 8 | 6 | 3 | 2 | 5 | 1 | Weibull-3p |
| 1149 | Çscd2 | 8 | 4 | 2 | Çözümsüz | 7 | 1 | 3 | 6 | 5 | Lognormal-3p |
| 1150 | Çscd2 | 8 | 7 | 5 | 1 | 6 | 4 | 3 | 2 | Çözümsüz | Johnson SB |
| 1151 | Çscd2 | 7 | 5 | 9 | 6 | 3 | 4 | 2 | 1 | 8 | Weibull-2p |
| 1152 | Çscd2 | 9 | 7 | 3 | 8 | 6 | 2 | 1 | 5 | 4 | Normal |
| 1153 | Çscd2 | 6 | 2 | 7 | 3 | 1 | 9 | 5 | 4 | 8 | Lognormal-2p |
| 1154 | Çscd2 | 6 | 2 | 9 | 1 | 4 | 7 | 5 | 3 | 8 | Johnson SB |
| 1155 | Çscd2 | 7 | 5 | 9 | 1 | 6 | 4 | 3 | 2 | 8 | Johnson SB |
| 1156 | Çscd2 | 5 | 2 | 6 | 7 | 1 | 9 | 4 | 3 | 8 | Lognormal-2p |
| 1157 | Çscd2 | 5 | 3 | 8 | 7 | 1 | 9 | 4 | 2 | 6 | Lognormal-2p |
| 1158 | Çscd2 | 7 | 2 | 9 | 1 | 3 | 4 | 6 | 5 | 8 | Johnson SB |
| 1159 | Çscd2 | 9 | 7 | 5 | 2 | 8 | 4 | 3 | 1 | 6 | Weibull-2p |
| 1160 | Çscd2 | 9 | 7 | 6 | 1 | 8 | 5 | 4 | 2 | 3 | Johnson SB |
| 1161 | Çscd2 | 7 | 1 | 9 | 2 | 3 | 4 | 6 | 5 | 8 | Gamma-2p |
| 1162 | Çscd3 | 8 | 6 | 9 | 7 | 4 | 2 | 3 | 1 | 5 | Weibull-2p |
| 1163 | Çscd3 Çözümsüz | 6 | 4 | Çözümsüz | 7 | 3 | 1 | 2 | 5 | Normal | |
| 1164 | Çscd3 | 4 | 7 | 3 | Çözümsüz | 8 | 1 | 2 | 6 | 5 | Lognormal-3p |
| 1165 | Çscd3 | 9 | 4 | 8 | 5 | 3 | 7 | 2 | 1 | 6 | Weibull-2p |
| 1166 | Çscd3 | 8 | 2 | 7 | 5 | 1 | 3 | 6 | 4 | 9 | Lognormal-2p |
| 1167 | Çscd3 | 3 | 1 | 4 | 5 | 6 | 2 | 8 | 9 | 7 | Gamma-2p |
| 1168 | Çscd3 | 6 | 2 | 8 | 1 | 3 | 9 | 4 | 5 | 7 | Johnson SB |
| 1169 | Çscd3 | 7 | 8 | 5 | 1 | 9 | 4 | 3 | 6 | 2 | Johnson SB |
| 1170 | Çscd3 | 7 | 5 | 9 | 1 | 3 | 4 | 6 | 2 | 8 | Johnson SB |
| 1171 | Çscd3 | 9 | 7 | 5 | 2 | 8 | 4 | 3 | 6 | 1 | Weibull-3p |
| 1172 | Çscd3 | 9 | 3 | 5 | 1 | 4 | 6 | 7 | 8 | 2 | Johnson SB |
| 1173 | Çscd3 | 1 | 7 | 4 | Çözümsüz | 8 | 3 | 2 | 6 | 5 | Beta |
| 1174 | Çscd3 | 9 | 1 | 4 | 5 | 3 | 2 | 8 | 7 | 6 | Gamma-2p |

Tablo 4.4. 'ün devamı

| Örnek Alan No | Mesçere Tipi | Olasılık Yoğunluk Fonksiyonları | | | | | | | | | En Başarılı Dağılım |
|---------------|--------------|---------------------------------|----------|----------|------------|--------------|--------------|--------|------------|------------|---------------------|
| | | Beta | Gamma-2p | Gamma-3p | Johnson SB | Lognormal-2p | Lognormal-3p | Normal | Weibull-2p | Weibull-3p | |
| 1175 | Çscd3 | 8 | 2 | 9 | 1 | 3 | 6 | 5 | 4 | 7 | Johnson SB |
| 1176 | Çscd3 | 9 | 7 | 5 | 1 | 8 | 4 | 3 | 2 | 6 | Johnson SB |
| 1177 | Çscd3 | Çözümsüz | 3 | 2 | Çözümsüz | 4 | 1 | 6 | 7 | 5 | Lognormal-3p |
| 1178 | Çscd3 | 7 | 6 | 9 | 1 | 5 | 4 | 3 | 2 | 8 | Johnson SB |
| 1179 | Çscd3 | 9 | 2 | 5 | 1 | 7 | 6 | 8 | 4 | 3 | Johnson SB |
| 1180 | Çscd3 | Çözümsüz | 5 | 1 | Çözümsüz | 7 | 2 | 3 | 6 | 4 | Gamma-3p |
| 1181 | Çscd3 | 7 | 1 | 8 | 2 | 3 | 9 | 5 | 4 | 6 | Gamma-2p |
| 1182 | Çscd3 | 2 | 3 | 5 | 4 | 7 | 6 | 8 | 9 | 1 | Weibull-3p |
| 1183 | Çscd3 | 9 | 2 | 8 | 1 | 6 | 5 | 4 | 3 | 7 | Johnson SB |
| 1184 | Çscd3 | 9 | 7 | 5 | 2 | 8 | 4 | 3 | 1 | 6 | Weibull-2p |
| 1185 | Çscd3 | 7 | 4 | 8 | 5 | 3 | 6 | 1 | 2 | 9 | Normal |
| 1186 | Çscd3 | 8 | 6 | 3 | 7 | 5 | 2 | 1 | 4 | Çözümsüz | Normal |
| 1187 | Çscd3 | 6 | 3 | 9 | 5 | 4 | 7 | 2 | 1 | 8 | Weibull-2p |
| 1188 | Çscd3 | 6 | 3 | 9 | 7 | 2 | 1 | 5 | 4 | 8 | Lognormal-3p |
| 1189 | Çscd3 | 7 | 4 | 9 | 1 | 3 | 6 | 5 | 2 | 8 | Johnson SB |
| 1190 | Çscd3 | 8 | 5 | 1 | 9 | 2 | 3 | 7 | 6 | 4 | Gamma-3p |
| 1191 | Çscd3 | 6 | 3 | 9 | 8 | 2 | 1 | 5 | 4 | 7 | Lognormal-3p |
| 1192 | Çsd1 | 8 | 2 | 9 | 1 | 4 | 5 | 3 | 6 | 7 | Johnson SB |
| 1193 | Çsd1 | 6 | 3 | 9 | 5 | 4 | 8 | 2 | 1 | 7 | Weibull-2p |
| 1194 | Çsd1 | 9 | 2 | 6 | 1 | 4 | 3 | 5 | 7 | 8 | Johnson SB |
| 1195 | Çsd1 | 6 | 3 | --- | 1 | 5 | --- | 4 | 2 | --- | Johnson SB |
| 1196 | Çsd1 | 6 | 2 | 8 | 5 | 3 | 7 | 4 | 1 | --- | Weibull-2p |
| 1197 | Çsd1 | 3 | 4 | 2 | 5 | 9 | 1 | 8 | 6 | 7 | Lognormal-3p |
| 1198 | Çsd1 | 5 | 2 | 7 | 8 | 1 | 9 | 4 | 3 | 6 | Lognormal-2p |
| 1199 | Çsd1 | 9 | 4 | 6 | 1 | 7 | 5 | 3 | 2 | 8 | Johnson SB |
| 1200 | Çsd1 | 9 | 7 | 5 | 2 | 8 | 4 | 3 | 6 | 1 | Weibull-3p |
| 1201 | Çsd2 | 9 | 7 | 5 | 2 | 8 | 4 | 3 | 6 | 1 | Weibull-3p |
| 1202 | Çsd2 | 2 | 7 | 4 | Çözümsüz | 8 | 3 | 1 | 6 | 5 | Normal |
| 1203 | Çsd2 | 7 | 6 | 4 | 8 | 5 | 3 | 1 | 2 | Çözümsüz | Normal |
| 1204 | Çsd2 | 8 | 4 | 3 | Çözümsüz | 7 | 2 | 1 | 6 | 5 | Normal |
| 1205 | Çsd2 | 8 | 6 | 1 | 9 | 2 | 4 | 7 | 5 | 3 | Gamma-3p |
| 1206 | Çsd2 | 8 | 4 | 9 | 5 | 3 | 7 | 2 | 1 | 6 | Weibull-2p |
| 1207 | Çsd2 | 7 | 6 | 3 | 8 | 5 | 2 | 1 | 4 | Çözümsüz | Normal |
| 1208 | Çsd2 | 9 | 7 | 5 | 1 | 8 | 6 | 4 | 2 | 3 | Johnson SB |
| 1209 | Çsd2 | 2 | 7 | 4 | Çözümsüz | 8 | 3 | 1 | 6 | 5 | Normal |
| 1210 | Çsd2 | 8 | 6 | 3 | 4 | 7 | 2 | 1 | 5 | Çözümsüz | Normal |
| 1211 | Çsd2 | 9 | 7 | 4 | 3 | 8 | 2 | 1 | 6 | 5 | Normal |
| 1212 | Çsd2 | 9 | 8 | 6 | 1 | 7 | 5 | 4 | 2 | 3 | Johnson SB |
| 1213 | Çsd2 | 7 | 8 | 6 | 1 | 9 | 4 | 3 | 5 | 2 | Johnson SB |
| 1214 | Çsd2 | 6 | 8 | 7 | 3 | 9 | 5 | 4 | 2 | 1 | Weibull-3p |
| 1215 | Çsd2 | 8 | 6 | 5 | 1 | 7 | 4 | 3 | 2 | Çözümsüz | Johnson SB |
| 1216 | Çsd2 | 9 | 7 | 5 | 2 | 8 | 3 | 4 | 1 | 6 | Weibull-2p |
| 1217 | Çsd2 | 9 | 8 | 4 | 2 | 7 | 5 | 6 | 1 | 3 | Weibull-2p |
| 1218 | Çsd2 | 9 | 5 | 8 | 6 | 4 | 2 | 1 | 3 | 7 | Normal |
| 1219 | Çsd2 | 7 | 6 | 3 | 8 | 5 | 1 | 2 | 4 | Çözümsüz | Lognormal-3p |
| 1220 | Çsd2 | 8 | 5 | 2 | 9 | 4 | 1 | 6 | 7 | 3 | Lognormal-3p |
| 1221 | Çsd2 | 8 | 4 | 9 | 1 | 3 | 2 | 5 | 7 | 6 | Johnson SB |
| 1222 | Çsd2 | 4 | 8 | 7 | 2 | 9 | 6 | 3 | 5 | 1 | Weibull-3p |
| 1223 | Çsd2 | 9 | 7 | 4 | 3 | 8 | 2 | 1 | 6 | 5 | Normal |
| 1224 | Çsd2 | 8 | 5 | 7 | 6 | 4 | 2 | 1 | 3 | Çözümsüz | Normal |
| 1225 | Çsd2 | 9 | 7 | 5 | 1 | 8 | 4 | 3 | 2 | 6 | Johnson SB |
| 1226 | Çsd3 | 8 | 6 | 3 | 7 | 5 | 2 | 1 | 4 | Çözümsüz | Normal |
| 1227 | Çsd3 | 9 | 7 | 6 | 2 | 8 | 5 | 3 | 4 | 1 | Weibull-3p |
| 1228 | Çsd3 | 3 | 8 | 7 | 4 | 9 | 6 | 5 | 2 | 1 | Weibull-3p |
| 1229 | Çsd3 | 9 | 7 | 5 | 3 | 8 | 2 | 1 | 6 | 4 | Normal |
| 1230 | Çsd3 | 7 | 5 | 3 | 8 | 6 | 2 | 1 | 4 | Çözümsüz | Normal |
| 1231 | Çsd3 | 2 | 8 | 5 | 1 | 9 | 7 | 4 | 6 | 3 | Johnson SB |
| 1232 | Çsd3 | 8 | 6 | 3 | 4 | 7 | 2 | 1 | 5 | Çözümsüz | Normal |

Tablo 4.4. 'ün devamı

| Örnek Alan No | Mesçere Tipi | Olasılık Yoğunluk Fonksiyonları | | | | | | | | | En Başarılı Dağılım |
|---------------|--------------|---------------------------------|----------|----------|------------|--------------|--------------|--------|------------|------------|---------------------|
| | | Beta | Gamma-2p | Gamma-3p | Johnson SB | Lognormal-2p | Lognormal-3p | Normal | Weibull-2p | Weibull-3p | |
| 1233 | Çsd3 | 9 | 7 | 5 | 2 | 8 | 4 | 3 | 6 | 1 | Weibull-3p |
| 1234 | Çsd3 | 9 | 7 | 6 | 2 | 8 | 5 | 3 | 4 | 1 | Weibull-3p |
| 1235 | Çsd3 | 8 | 6 | 3 | 7 | 5 | 2 | 1 | 4 | Çözümsüz | Normal |
| 1236 | Çsd3 | 8 | 5 | 3 | 6 | 7 | 2 | 1 | 4 | Çözümsüz | Normal |
| 1237 | Çsd3 | 2 | 7 | 6 | Çözümsüz | 8 | 3 | 1 | 5 | 4 | Normal |
| 1238 | Çsd3 | 6 | 1 | 9 | 3 | 2 | 8 | 4 | 5 | 7 | Gamma-2p |
| 1239 | Çsd3 | 9 | 7 | 6 | 2 | 8 | 5 | 4 | 1 | 3 | Weibull-2p |
| 1240 | Çsd3 | 6 | 2 | 8 | 5 | 4 | 7 | 3 | 1 | --- | Weibull-2p |
| 1241 | Çsd3 | 8 | 6 | 4 | 1 | 7 | 3 | 2 | 5 | Çözümsüz | Johnson SB |
| 1242 | Çsd3 | 6 | 7 | 4 | 8 | 5 | 3 | 2 | 1 | Çözümsüz | Weibull-2p |
| 1243 | Çsd3 | 6 | 4 | 9 | 7 | 3 | 1 | 5 | 2 | 8 | Lognormal-3p |

Tablo 4.5. Olasılık yoğunluk fonksiyonlarının Anderson-Darling (AD) istatistiğine göre sıralamaları (II. Bonitet)

| Örnek Alan No | Meşçere Tipi | Olasılık Yoğunluk Fonksiyonları | | | | | | | | | En Başarılı Dağılım |
|---------------|--------------|---------------------------------|----------|----------|------------|--------------|--------------|--------|------------|------------|---------------------|
| | | Beta | Gamma-2p | Gamma-3p | Johnson SB | Lognormal-2p | Lognormal-3p | Normal | Weibull-2p | Weibull-3p | |
| 2001 | Çsb1 | 6 | 3 | 9 | 1 | 5 | 7 | 4 | 2 | 8 | Johnson SB |
| 2002 | Çsb1 | 6 | 1 | --- | 2 | 5 | --- | 3 | 4 | 7 | Gamma-2p |
| 2003 | Çsb2 | 7 | 5 | 9 | 2 | 6 | 4 | 3 | 1 | 8 | Weibull-2p |
| 2004 | Çsb2 | 2 | 3 | 4 | Çözümsüz | 6 | 5 | 7 | 8 | 1 | Weibull-3p |
| 2005 | Çsb2 | 9 | 8 | 3 | 2 | 6 | 4 | 5 | 1 | 7 | Weibull-2p |
| 2006 | Çsb3 | 6 | 3 | --- | 1 | 5 | --- | 4 | 2 | --- | Johnson SB |
| 2007 | Çsb3 | 9 | 8 | 6 | 2 | 7 | 5 | 3 | 1 | 4 | Weibull-2p |
| 2008 | Çsb3 | 5 | 2 | 6 | Çözümsüz | 4 | 7 | 3 | 1 | --- | Weibull-2p |
| 2009 | Çsb3 | 6 | 1 | --- | 5 | 4 | 7 | 3 | 2 | --- | Gamma-2p |
| 2010 | Çsb3 | 6 | 1 | --- | 5 | 4 | --- | 3 | 2 | --- | Gamma-2p |
| 2011 | Çsb3 | 6 | 2 | 7 | 5 | 4 | --- | 3 | 1 | --- | Weibull-2p |
| 2012 | Çsb3 | 7 | 4 | 9 | 1 | 5 | 8 | 3 | 2 | 6 | Johnson SB |
| 2013 | Çsb3 | 5 | 2 | 6 | Çözümsüz | 4 | --- | 3 | 1 | --- | Weibull-2p |
| 2014 | Çsb3 | 9 | 2 | 7 | 1 | 3 | 8 | 4 | 5 | 6 | Johnson SB |
| 2015 | Çsb3 | 9 | 7 | 6 | 2 | 8 | 4 | 3 | 1 | 5 | Weibull-2p |
| 2016 | Çsb3 | 2 | 7 | 5 | 4 | 8 | 6 | 3 | 9 | 1 | Weibull-3p |
| 2017 | Çsb3 | 8 | 3 | 7 | 4 | 5 | 9 | 2 | 1 | 6 | Weibull-2p |
| 2018 | Çsb3 | 8 | 3 | 9 | 1 | 5 | 6 | 2 | 4 | 7 | Johnson SB |
| 2019 | Çsb3 | 8 | 2 | 4 | Çözümsüz | 6 | 3 | 1 | 5 | 7 | Normal |
| 2020 | Çsb3 | 6 | 1 | --- | 3 | 5 | --- | 4 | 2 | --- | Gamma-2p |
| 2021 | Çsb3 | 9 | 2 | 8 | 1 | 5 | 7 | 4 | 3 | 6 | Johnson SB |
| 2022 | Çsb3 | 6 | 1 | 7 | 2 | 5 | --- | 3 | 4 | --- | Gamma-2p |
| 2023 | Çsb3 | 6 | 2 | 9 | 1 | 5 | 8 | 3 | 4 | 7 | Johnson SB |
| 2024 | Çsb3 | 9 | 8 | 6 | 2 | 7 | 4 | 5 | 1 | 3 | Weibull-2p |
| 2025 | Çsb3 | --- | 2 | --- | 5 | 4 | 6 | 3 | 1 | --- | Weibull-2p |
| 2026 | Çsb3 | 1 | 8 | 4 | 3 | 6 | 5 | 7 | 9 | 2 | Beta |
| 2027 | Çsb3 | 9 | 2 | 8 | 1 | 4 | 6 | 3 | 5 | 7 | Johnson SB |
| 2028 | Çsb3 | --- | 4 | --- | 1 | 5 | --- | 3 | 2 | 6 | Johnson SB |
| 2029 | Çsb3 | 6 | 2 | --- | 1 | 5 | --- | 4 | 3 | --- | Johnson SB |
| 2030 | Çsb3 | 9 | 8 | 6 | 2 | 7 | 5 | 4 | 1 | 3 | Weibull-2p |
| 2031 | Çsb3 | 8 | 2 | 9 | 1 | 5 | 6 | 4 | 3 | 7 | Johnson SB |
| 2032 | Çsb3 | 6 | 2 | 8 | 1 | 3 | 7 | 4 | 5 | --- | Johnson SB |
| 2033 | Çsb3 | 9 | 5 | 7 | 2 | 6 | 4 | 3 | 1 | 8 | Weibull-2p |
| 2034 | Çsb3 | 7 | 3 | 9 | 1 | 5 | 6 | 4 | 2 | 8 | Johnson SB |
| 2035 | Çsb3 | 6 | 3 | 7 | 1 | 5 | --- | 4 | 2 | --- | Johnson SB |
| 2036 | Çsbc1 | 8 | 1 | 9 | 4 | 2 | 3 | 5 | 6 | 7 | Gamma-2p |
| 2037 | Çsbc1 | 6 | 1 | --- | 5 | 3 | --- | 4 | 2 | --- | Gamma-2p |
| 2038 | Çsbc1 | 6 | 4 | --- | 2 | 5 | 7 | 3 | 1 | --- | Weibull-2p |
| 2039 | Çsbc1 | 9 | 8 | 3 | 1 | 7 | 6 | 5 | 2 | 4 | Johnson SB |
| 2040 | Çsbc1 | 7 | 3 | 8 | 4 | 2 | 1 | 6 | 5 | 9 | Lognormal-3p |
| 2041 | Çsbc1 | 8 | 7 | 3 | 2 | 6 | 5 | 4 | 1 | Çözümsüz | Weibull-2p |
| 2042 | Çsbc1 | 2 | 8 | 6 | 3 | 9 | 7 | 5 | 1 | 4 | Weibull-2p |
| 2043 | Çsbc2 | 8 | 5 | 9 | 1 | 6 | 4 | 3 | 2 | 7 | Johnson SB |
| 2044 | Çsbc2 | 7 | 2 | 9 | 3 | 1 | 8 | 4 | 5 | 6 | Lognormal-2p |
| 2045 | Çsbc2 | 8 | 5 | 9 | 3 | 6 | 4 | 2 | 1 | 7 | Weibull-2p |
| 2046 | Çsbc2 | 7 | 2 | 9 | 1 | 3 | 8 | 5 | 4 | 6 | Johnson SB |
| 2047 | Çsbc2 | 7 | 1 | 8 | 5 | 2 | 6 | 4 | 3 | 9 | Gamma-2p |
| 2048 | Çsbc2 | 3 | 5 | 2 | Çözümsüz | 7 | 1 | 4 | 8 | 6 | Lognormal-3p |
| 2049 | Çsbc2 | 9 | 8 | 5 | 2 | 6 | 3 | 4 | 1 | 7 | Weibull-2p |
| 2050 | Çsbc2 | 8 | 2 | 9 | 1 | 5 | 3 | 4 | 6 | 7 | Johnson SB |
| 2051 | Çsbc2 | 9 | 8 | 5 | 1 | 7 | 3 | 4 | 2 | 6 | Johnson SB |
| 2052 | Çsbc2 | 7 | 6 | 3 | 8 | 5 | 4 | 2 | 1 | Çözümsüz | Weibull-2p |
| 2053 | Çsbc2 | 9 | 2 | 7 | 1 | 3 | 4 | 5 | 6 | 8 | Johnson SB |
| 2054 | Çsbc2 | 7 | 2 | 8 | 5 | 1 | 9 | 3 | 4 | 6 | Lognormal-2p |
| 2055 | Çsbc2 | 9 | 7 | 5 | 1 | 8 | 4 | 3 | 2 | 6 | Johnson SB |
| 2056 | Çsbc2 | 6 | 2 | 7 | 1 | 3 | 9 | 4 | 5 | 8 | Johnson SB |
| 2057 | Çsbc2 | 9 | 3 | 4 | 1 | 5 | 2 | 7 | 8 | 6 | Johnson SB |

Tablo 4.5. 'in devamı

| Örnek Alan No | Meşçere Tipi | Olasılık Yoğunluk Fonksiyonları | | | | | | | | | En Başarılı Dağılım |
|---------------|--------------|---------------------------------|----------|----------|------------|--------------|--------------|--------|------------|------------|---------------------|
| | | Beta | Gamma-2p | Gamma-3p | Johnson SB | Lognormal-2p | Lognormal-3p | Normal | Weibull-2p | Weibull-3p | |
| 2058 | Çsbc2 | 6 | 1 | 9 | 5 | 2 | 7 | 4 | 3 | 8 | Gamma-2p |
| 2059 | Çsbc2 | 9 | 4 | 1 | 7 | 3 | 2 | 6 | 8 | 5 | Gamma-3p |
| 2060 | Çsbc2 | 6 | 3 | 8 | 1 | 5 | --- | 4 | 2 | 7 | Johnson SB |
| 2061 | Çsbc2 | 9 | 5 | 7 | 3 | 6 | 4 | 2 | 1 | 8 | Weibull-2p |
| 2062 | Çsbc2 | 7 | 3 | 8 | 4 | 2 | 1 | 6 | 5 | 9 | Lognormal-3p |
| 2063 | Çsbc2 | 9 | 2 | 5 | 1 | 8 | 3 | 4 | 6 | 7 | Johnson SB |
| 2064 | Çsbc2 | 8 | 1 | 7 | 2 | 3 | 6 | 4 | 5 | 9 | Gamma-2p |
| 2065 | Çsbc2 | 3 | 7 | 6 | Çözümsüz | 8 | 5 | 2 | 4 | 1 | Weibull-3p |
| 2066 | Çsbc3 | 7 | 3 | 9 | 8 | 1 | 2 | 5 | 4 | 6 | Lognormal-2p |
| 2067 | Çsbc3 | 9 | 5 | 8 | 1 | 6 | 4 | 3 | 2 | 7 | Johnson SB |
| 2068 | Çsbc3 | 8 | 2 | 9 | 1 | 3 | 6 | 4 | 5 | 7 | Johnson SB |
| 2069 | Çsbc3 | 7 | 5 | 9 | 2 | 6 | 4 | 3 | 1 | 8 | Weibull-2p |
| 2070 | Çsbc3 | 3 | 9 | 7 | 2 | 8 | 5 | 6 | 1 | 4 | Weibull-2p |
| 2071 | Çsbc3 | 9 | 2 | 8 | 1 | 4 | 6 | 3 | 5 | 7 | Johnson SB |
| 2072 | Çsbc3 | 9 | 2 | 5 | 1 | 3 | 4 | 7 | 8 | 6 | Johnson SB |
| 2073 | Çsbc3 | 7 | 3 | 9 | 1 | 5 | 8 | 4 | 2 | 6 | Johnson SB |
| 2074 | Çsbc3 | 4 | 6 | 1 | 2 | 7 | 3 | 8 | 9 | 5 | Gamma-3p |
| 2075 | Çsbc3 | 7 | 2 | 8 | 1 | 3 | 6 | 4 | 5 | 9 | Johnson SB |
| 2076 | Çsbc3 | 8 | 1 | 7 | 3 | 2 | 4 | 5 | 6 | 9 | Gamma-2p |
| 2077 | Çsbc3 | 9 | 8 | 3 | 1 | 6 | 4 | 5 | 2 | 7 | Johnson SB |
| 2078 | Çsbc3 | 6 | 1 | 7 | Çözümsüz | 4 | 5 | 2 | 3 | 8 | Gamma-2p |
| 2079 | Çsbc3 | 6 | 1 | --- | 5 | 3 | --- | 4 | 2 | --- | Gamma-2p |
| 2080 | Çsbc3 | 9 | 5 | 7 | 1 | 6 | 4 | 3 | 2 | 8 | Johnson SB |
| 2081 | Çsbc3 | 8 | 1 | 7 | 2 | 3 | 9 | 4 | 5 | 6 | Gamma-2p |
| 2082 | Çsbc3 | 9 | 6 | 4 | 1 | 7 | 3 | 2 | 8 | 5 | Johnson SB |
| 2083 | Çsbc3 | 9 | 7 | 5 | 2 | 8 | 4 | 3 | 1 | 6 | Weibull-2p |
| 2084 | Çsbc3 | 6 | 2 | 9 | 1 | 3 | 8 | 4 | 5 | 7 | Johnson SB |
| 2085 | Çsbc3 | 9 | 7 | 5 | 2 | 8 | 4 | 3 | 1 | 6 | Weibull-2p |
| 2086 | Çsbc3 | 8 | 5 | 9 | 1 | 6 | 4 | 3 | 2 | 7 | Johnson SB |
| 2087 | Çsbc3 | 6 | 2 | --- | 1 | 5 | --- | 4 | 3 | --- | Johnson SB |
| 2088 | Çsbc3 | 9 | 5 | 1 | 6 | 4 | 3 | 7 | 8 | 2 | Gamma-3p |
| 2089 | Çsbc3 | 9 | 5 | 8 | 4 | 6 | 3 | 2 | 1 | 7 | Weibull-2p |
| 2090 | Çsbc3 | --- | 2 | --- | 5 | 1 | 6 | 3 | 4 | --- | Lognormal-2p |
| 2091 | Çsbc3 | 2 | 8 | 6 | 1 | 9 | 5 | 4 | 7 | 3 | Johnson SB |
| 2092 | Çsbc3 | 8 | 3 | 6 | 1 | 5 | 9 | 4 | 2 | 7 | Johnson SB |
| 2093 | Çsbc3 | --- | 2 | --- | --- | 1 | --- | 4 | 3 | --- | Lognormal-2p |
| 2094 | Çsbc3 | 6 | 2 | 9 | 5 | 3 | 7 | 4 | 1 | 8 | Weibull-2p |
| 2095 | Çsbc3 | 3 | 7 | 5 | Çözümsüz | 8 | 2 | 1 | 4 | 6 | Normal |
| 2096 | Çsc1 | 6 | 3 | 9 | 1 | 5 | 8 | 4 | 2 | 7 | Johnson SB |
| 2097 | Çsc1 | 3 | 9 | 7 | 2 | 8 | 6 | 5 | 1 | 4 | Weibull-2p |
| 2098 | Çsc1 | 9 | 7 | 1 | 3 | 8 | 2 | 6 | 4 | 5 | Gamma-3p |
| 2099 | Çsc1 | 5 | 2 | 6 | 9 | 1 | 7 | 4 | 3 | 8 | Lognormal-2p |
| 2100 | Çsc1 | 5 | 1 | 9 | 7 | 2 | 8 | 4 | 3 | 6 | Gamma-2p |
| 2101 | Çsc2 | 9 | 4 | 7 | 5 | 3 | 8 | 2 | 1 | 6 | Weibull-2p |
| 2102 | Çsc2 | 9 | 7 | 4 | 6 | 8 | 5 | 3 | 2 | 1 | Weibull-3p |
| 2103 | Çsc2 | 3 | 4 | 1 | 8 | 5 | 2 | 7 | 9 | 6 | Gamma-3p |
| 2104 | Çsc2 | 8 | 2 | 9 | 1 | 6 | 5 | 4 | 3 | 7 | Johnson SB |
| 2105 | Çsc2 | 8 | 2 | 9 | 1 | 4 | 5 | 3 | 6 | 7 | Johnson SB |
| 2106 | Çsc2 | 9 | 7 | 6 | 1 | 8 | 5 | 4 | 3 | 2 | Johnson SB |
| 2107 | Çsc2 | 8 | 2 | 9 | 5 | 4 | 7 | 3 | 1 | 6 | Weibull-2p |
| 2108 | Çsc2 | 2 | 8 | 6 | 3 | 9 | 5 | 4 | 7 | 1 | Weibull-3p |
| 2109 | Çsc2 | 2 | 7 | 5 | Çözümsüz | 8 | 4 | 1 | 6 | 3 | Normal |
| 2110 | Çsc2 | 9 | 7 | 3 | 1 | 8 | 2 | 5 | 6 | 4 | Johnson SB |
| 2111 | Çsc2 | 9 | 7 | 5 | 1 | 8 | 4 | 3 | 2 | 6 | Johnson SB |
| 2112 | Çsc2 | 9 | 6 | 5 | 8 | 7 | 4 | 3 | 2 | 1 | Weibull-3p |
| 2113 | Çsc2 | 9 | 7 | 5 | 1 | 8 | 4 | 2 | 3 | 6 | Johnson SB |
| 2114 | Çsc2 | 9 | 2 | 7 | 1 | 3 | 8 | 5 | 4 | 6 | Johnson SB |
| 2115 | Çsc2 | 9 | 5 | 3 | 8 | 1 | 4 | 7 | 6 | 2 | Lognormal-2p |
| 2116 | Çsc2 | 4 | 8 | 7 | 2 | 9 | 3 | 1 | 5 | 6 | Normal |

Tablo 4.5.'in devamı

| Örnek Alan No | Meşçere Tipi | Olasılık Yoğunluk Fonksiyonları | | | | | | | | | En Başarılı Dağılım |
|---------------|--------------|---------------------------------|----------|----------|------------|--------------|--------------|--------|------------|------------|---------------------|
| | | Beta | Gamma-2p | Gamma-3p | Johnson SB | Lognormal-2p | Lognormal-3p | Normal | Weibull-2p | Weibull-3p | |
| 2117 | Çsc2 | 7 | 2 | 9 | 1 | 3 | 4 | 6 | 5 | 8 | Johnson SB |
| 2118 | Çsc2 | 8 | 7 | 5 | 1 | 6 | 4 | 2 | 3 | Çözümsüz | Johnson SB |
| 2119 | Çsc2 | 7 | 5 | 9 | 6 | 4 | 3 | 2 | 1 | 8 | Weibull-2p |
| 2120 | Çsc2 | 8 | 2 | 6 | 1 | 3 | 7 | 5 | 4 | 9 | Johnson SB |
| 2121 | Çsc2 | 9 | 8 | 3 | 1 | 7 | 6 | 4 | 2 | 5 | Johnson SB |
| 2122 | Çsc2 | 9 | 7 | 5 | 3 | 8 | 4 | 2 | 1 | 6 | Weibull-2p |
| 2123 | Çsc2 | 6 | 2 | 9 | 1 | 3 | 8 | 5 | 4 | 7 | Johnson SB |
| 2124 | Çsc2 | 7 | 5 | 9 | 1 | 4 | 6 | 3 | 2 | 8 | Johnson SB |
| 2125 | Çsc2 | 6 | 3 | 7 | 1 | 5 | --- | 4 | 2 | --- | Johnson SB |
| 2126 | Çsc2 | 7 | 8 | 3 | 2 | 9 | 1 | 4 | 6 | 5 | Lognormal-3p |
| 2127 | Çsc2 | 7 | 5 | 9 | 3 | 6 | 4 | 2 | 1 | 8 | Weibull-2p |
| 2128 | Çsc2 | 8 | 1 | 4 | 3 | 5 | 2 | 7 | 9 | 6 | Gamma-2p |
| 2129 | Çsc2 | 4 | 8 | 5 | 2 | 9 | 3 | 1 | 7 | 6 | Normal |
| 2130 | Çsc2 | 6 | 3 | 9 | 7 | 2 | 1 | 4 | 5 | 8 | Lognormal-3p |
| 2131 | Çsc3 | 9 | 7 | 6 | 2 | 8 | 5 | 4 | 3 | 1 | Weibull-3p |
| 2132 | Çsc3 | 7 | 4 | 9 | 1 | 6 | 5 | 3 | 2 | 8 | Johnson SB |
| 2133 | Çsc3 | 9 | 7 | 6 | 2 | 8 | 4 | 3 | 1 | 5 | Weibull-2p |
| 2134 | Çsc3 | 3 | 8 | 6 | 2 | 9 | 5 | 4 | 7 | 1 | Weibull-3p |
| 2135 | Çsc3 | 9 | 7 | 6 | 1 | 8 | 4 | 3 | 2 | 5 | Johnson SB |
| 2136 | Çsc3 | 7 | 1 | 9 | 2 | 3 | 6 | 4 | 5 | 8 | Gamma-2p |
| 2137 | Çsc3 | 9 | 2 | 5 | 1 | 3 | 4 | 7 | 8 | 6 | Johnson SB |
| 2138 | Çsc3 | 8 | 4 | 5 | Çözümsüz | 7 | 3 | 1 | 2 | 6 | Normal |
| 2139 | Çsc3 | 9 | 4 | 8 | 1 | 5 | 6 | 3 | 2 | 7 | Johnson SB |
| 2140 | Çsc3 | 9 | 1 | 6 | 4 | 3 | 5 | 2 | 7 | 8 | Gamma-2p |
| 2141 | Çsc3 | 9 | 8 | 5 | 1 | 7 | 4 | 3 | 2 | 6 | Johnson SB |
| 2142 | Çsc3 | 2 | 9 | 7 | 3 | 8 | 6 | 5 | 1 | 4 | Weibull-2p |
| 2143 | Çsc3 | 9 | 7 | 5 | 2 | 8 | 6 | 3 | 1 | 4 | Weibull-2p |
| 2144 | Çsc3 | 5 | 2 | 4 | 6 | 1 | 3 | 8 | 9 | 7 | Lognormal-2p |
| 2145 | Çsc3 | 6 | 2 | 7 | 1 | 4 | 9 | 5 | 3 | 8 | Johnson SB |
| 2146 | Çsc3 | 7 | 2 | 9 | 1 | 5 | 8 | 4 | 3 | 6 | Johnson SB |
| 2147 | Çsc3 | 8 | 1 | 5 | Çözümsüz | 7 | 2 | 4 | 3 | 6 | Gamma-2p |
| 2148 | Çsc3 | 9 | 2 | 7 | 1 | 5 | 8 | 4 | 3 | 6 | Johnson SB |
| 2149 | Çsc3 | 1 | 8 | 6 | 2 | 9 | 5 | 4 | 7 | 3 | Beta |
| 2150 | Çsc3 | 4 | 2 | 3 | 5 | 6 | 1 | 8 | 9 | 7 | Lognormal-3p |
| 2151 | Çsc3 | 3 | 7 | 5 | Çözümsüz | 8 | 4 | 2 | 6 | 1 | Weibull-3p |
| 2152 | Çsc3 | 9 | 7 | 5 | 2 | 8 | 6 | 4 | 1 | 3 | Weibull-2p |
| 2153 | Çsc3 | 2 | 4 | 3 | Çözümsüz | 7 | 5 | 6 | 8 | 1 | Weibull-3p |
| 2154 | Çsc3 | 1 | 7 | 6 | Çözümsüz | 8 | 4 | 2 | 5 | 3 | Beta |
| 2155 | Çsc3 | 9 | 7 | 6 | 3 | 8 | 5 | 4 | 1 | 2 | Weibull-2p |
| 2156 | Çsc3 | 3 | 2 | 4 | 9 | 6 | 5 | 7 | 8 | 1 | Weibull-3p |
| 2157 | Çsc3 | 9 | 4 | 3 | 1 | 6 | 5 | 7 | 8 | 2 | Johnson SB |
| 2158 | Çsc3 | 8 | 2 | 9 | 1 | 3 | 6 | 4 | 5 | 7 | Johnson SB |
| 2159 | Çsc3 | 9 | 1 | 3 | 4 | 5 | 2 | 7 | 8 | 6 | Gamma-2p |
| 2160 | Çsc3 | 9 | 2 | 4 | 3 | 6 | 1 | 5 | 8 | 7 | Lognormal-3p |
| 2161 | Çscd1 | 6 | 5 | 7 | 9 | 4 | 3 | 2 | 1 | 8 | Weibull-2p |
| 2162 | Çscd1 | 9 | 6 | 5 | 1 | 7 | 4 | 3 | 2 | 8 | Johnson SB |
| 2163 | Çscd1 | 8 | 7 | 4 | 9 | 6 | 3 | 2 | 1 | 5 | Weibull-2p |
| 2164 | Çscd1 | 6 | 5 | 9 | 7 | 3 | 2 | 4 | 1 | 8 | Weibull-2p |
| 2165 | Çscd1 | 5 | 2 | 9 | 7 | 1 | 8 | 4 | 3 | 6 | Lognormal-2p |
| 2166 | Çscd1 | 7 | 2 | 8 | 1 | 3 | 9 | 4 | 5 | 6 | Johnson SB |
| 2167 | Çscd1 | 7 | 2 | 6 | 1 | 3 | 8 | 5 | 4 | 9 | Johnson SB |
| 2168 | Çscd1 | 7 | 5 | 9 | 1 | 4 | 6 | 3 | 2 | 8 | Johnson SB |
| 2169 | Çscd1 | 9 | 5 | 8 | 2 | 6 | 4 | 3 | 1 | 7 | Weibull-2p |
| 2170 | Çscd1 | 9 | 8 | 5 | 1 | 7 | 4 | 3 | 2 | 6 | Johnson SB |
| 2171 | Çscd1 | 9 | 7 | 1 | 4 | 8 | 2 | 3 | 6 | 5 | Gamma-3p |
| 2172 | Çscd1 | 5 | 1 | 6 | --- | 2 | --- | 4 | 3 | --- | Gamma-2p |
| 2173 | Çscd1 | 6 | 2 | 7 | 1 | 3 | 8 | 5 | 4 | 9 | Johnson SB |
| 2174 | Çscd1 | 9 | 7 | 4 | 1 | 8 | 3 | 5 | 2 | 6 | Johnson SB |

Tablo 4.5. 'in devamı

| Örnek Alan No | Meşçere Tipi | Olasılık Yoğunluk Fonksiyonları | | | | | | | | | En Başarılı Dağılım |
|---------------|--------------|---------------------------------|----------|----------|------------|--------------|--------------|--------|------------|------------|---------------------|
| | | Beta | Gamma-2p | Gamma-3p | Johnson SB | Lognormal-2p | Lognormal-3p | Normal | Weibull-2p | Weibull-3p | |
| 2175 | Çscd1 | 6 | 3 | 9 | 8 | 2 | 1 | 5 | 4 | 7 | Lognormal-3p |
| 2176 | Çscd1 | 9 | 7 | 5 | 1 | 8 | 4 | 3 | 2 | 6 | Johnson SB |
| 2177 | Çscd1 | 9 | 7 | 3 | 4 | 8 | 2 | 1 | 6 | 5 | Normal |
| 2178 | Çscd1 | 9 | 7 | 5 | 2 | 8 | 4 | 3 | 6 | 1 | Weibull-3p |
| 2179 | Çscd1 | 6 | 4 | 8 | 1 | 5 | 9 | 3 | 2 | 7 | Johnson SB |
| 2180 | Çscd1 | 9 | 8 | 5 | 3 | 7 | 4 | 2 | 6 | 1 | Weibull-3p |
| 2181 | Çscd1 | 9 | 1 | 5 | 2 | 3 | 4 | 7 | 8 | 6 | Gamma-2p |
| 2182 | Çscd1 | 6 | 3 | 2 | 1 | 7 | 4 | 8 | 9 | 5 | Johnson SB |
| 2183 | Çscd1 | 9 | 7 | 5 | 1 | 8 | 4 | 6 | 2 | 3 | Johnson SB |
| 2184 | Çscd1 | 9 | 3 | 4 | 8 | 1 | 2 | 5 | 7 | 6 | Lognormal-2p |
| 2185 | Çscd1 | 8 | 2 | 9 | 1 | 4 | 5 | 6 | 3 | 7 | Johnson SB |
| 2186 | Çscd1 | 9 | 5 | 7 | 1 | 6 | 4 | 2 | 3 | 8 | Johnson SB |
| 2187 | Çscd1 | 8 | 5 | 3 | 7 | 6 | 2 | 1 | 4 | Çözümsüz | Normal |
| 2188 | Çscd1 | 7 | 6 | 4 | 8 | 5 | 3 | 2 | 1 | Çözümsüz | Weibull-2p |
| 2189 | Çscd1 | 5 | 1 | 9 | 6 | 3 | 7 | 4 | 2 | 8 | Gamma-2p |
| 2190 | Çscd2 | 9 | 6 | 8 | 1 | 7 | 4 | 3 | 2 | 5 | Johnson SB |
| 2191 | Çscd2 | 2 | 8 | 7 | 3 | 9 | 6 | 5 | 4 | 1 | Weibull-3p |
| 2192 | Çscd2 | 7 | 4 | 8 | 1 | 5 | 3 | 6 | 2 | 9 | Johnson SB |
| 2193 | Çscd2 | 6 | 2 | 8 | 1 | 3 | 9 | 5 | 4 | 7 | Johnson SB |
| 2194 | Çscd2 | 7 | 3 | 8 | 4 | 2 | 1 | 5 | 6 | 9 | Lognormal-3p |
| 2195 | Çscd2 | 9 | 8 | 5 | 1 | 7 | 6 | 4 | 2 | 3 | Johnson SB |
| 2196 | Çscd2 | 9 | 6 | 2 | 1 | 5 | 4 | 7 | 8 | 3 | Johnson SB |
| 2197 | Çscd2 | Çözümsüz | 4 | 3 | 8 | 2 | 1 | 7 | 6 | 5 | Lognormal-3p |
| 2198 | Çscd2 | 2 | 7 | 6 | Çözümsüz | 8 | 5 | 4 | 3 | 1 | Weibull-3p |
| 2199 | Çscd2 | 8 | 6 | 5 | 2 | 7 | 4 | 3 | 1 | Çözümsüz | Weibull-2p |
| 2200 | Çscd2 | 7 | 6 | 4 | 8 | 5 | 3 | 2 | 1 | Çözümsüz | Weibull-2p |
| 2201 | Çscd2 | 9 | 4 | 8 | 3 | 5 | 7 | 2 | 1 | 6 | Weibull-2p |
| 2202 | Çscd2 | 9 | 1 | 3 | 5 | 4 | 2 | 7 | 8 | 6 | Gamma-2p |
| 2203 | Çscd2 | 9 | 8 | 5 | 1 | 7 | 4 | 3 | 2 | 6 | Johnson SB |
| 2204 | Çscd2 | 9 | 5 | 6 | 1 | 8 | 4 | 3 | 2 | 7 | Johnson SB |
| 2205 | Çscd2 | 7 | 6 | 4 | 8 | 5 | 3 | 2 | 1 | Çözümsüz | Weibull-2p |
| 2206 | Çscd2 | 7 | 2 | 8 | 5 | 4 | 6 | 3 | 1 | 9 | Weibull-2p |
| 2207 | Çscd2 | 8 | 3 | 6 | 1 | 5 | 9 | 4 | 2 | 7 | Johnson SB |
| 2208 | Çscd2 | 9 | 3 | 1 | 7 | 4 | 2 | 8 | 6 | 5 | Gamma-3p |
| 2209 | Çscd2 | 6 | 1 | 9 | 3 | 2 | 8 | 5 | 4 | 7 | Gamma-2p |
| 2210 | Çscd2 | 9 | 7 | 5 | 1 | 8 | 4 | 3 | 2 | 6 | Johnson SB |
| 2211 | Çscd2 | 9 | 8 | 4 | 3 | 7 | 5 | 2 | 6 | 1 | Weibull-3p |
| 2212 | Çscd2 | 2 | 7 | 6 | Çözümsüz | 8 | 3 | 1 | 4 | 5 | Normal |
| 2213 | Çscd2 | 9 | 7 | 5 | 1 | 8 | 4 | 2 | 6 | 3 | Johnson SB |
| 2214 | Çscd2 | 9 | 7 | 5 | 1 | 8 | 4 | 3 | 2 | 6 | Johnson SB |
| 2215 | Çscd2 | 9 | 7 | 6 | 1 | 8 | 5 | 4 | 3 | 2 | Johnson SB |
| 2216 | Çscd2 | 8 | 6 | 9 | 7 | 3 | 2 | 4 | 1 | 5 | Weibull-2p |
| 2217 | Çscd2 | 9 | 7 | 6 | 1 | 8 | 4 | 2 | 3 | 5 | Johnson SB |
| 2218 | Çscd2 | 7 | 6 | 8 | 1 | 5 | 4 | 3 | 2 | 9 | Johnson SB |
| 2219 | Çscd2 | 9 | 7 | 5 | 3 | 8 | 4 | 1 | 2 | 6 | Normal |
| 2220 | Çscd3 | Çözümsüz | 5 | 2 | 6 | 4 | 1 | 7 | 8 | 3 | Lognormal-3p |
| 2221 | Çscd3 | 9 | 1 | 4 | 3 | 6 | 2 | 8 | 7 | 5 | Gamma-2p |
| 2222 | Çscd3 | 7 | 1 | 4 | 5 | 2 | 3 | 8 | 9 | 6 | Gamma-2p |
| 2223 | Çscd3 | 6 | 2 | 8 | 1 | 5 | 9 | 3 | 4 | 7 | Johnson SB |
| 2224 | Çscd3 | 9 | 7 | 6 | 1 | 8 | 4 | 3 | 2 | 5 | Johnson SB |
| 2225 | Çscd3 | 8 | 6 | 4 | 9 | 7 | 5 | 2 | 1 | 3 | Weibull-2p |
| 2226 | Çscd3 | 8 | 2 | 9 | 1 | 3 | 7 | 5 | 4 | 6 | Johnson SB |
| 2227 | Çscd3 | 6 | 2 | 8 | 1 | 3 | 9 | 5 | 4 | 7 | Johnson SB |
| 2228 | Çscd3 | 8 | 5 | 3 | 9 | 2 | 1 | 6 | 7 | 4 | Lognormal-3p |
| 2229 | Çscd3 | 7 | 5 | 9 | 6 | 4 | 2 | 3 | 1 | 8 | Weibull-2p |
| 2230 | Çscd3 | 9 | 7 | 8 | 1 | 6 | 4 | 3 | 2 | 5 | Johnson SB |
| 2231 | Çscd3 | 9 | 5 | 4 | 1 | 6 | 3 | 8 | 7 | 2 | Johnson SB |
| 2232 | Çscd3 | 2 | 8 | 7 | 1 | 9 | 6 | 5 | 4 | 3 | Johnson SB |

Tablo 4.5.'in devamı

| Örnek Alan No | Mesçere Tipi | Olasılık Yoğunluk Fonksiyonları | | | | | | | | | En Başarılı Dağılım |
|---------------|--------------|---------------------------------|----------|----------|------------|--------------|--------------|--------|------------|------------|---------------------|
| | | Beta | Gamma-2p | Gamma-3p | Johnson SB | Lognormal-2p | Lognormal-3p | Normal | Weibull-2p | Weibull-3p | |
| 2233 | Çscd3 | 9 | 7 | 6 | 2 | 8 | 4 | 3 | 5 | 1 | Weibull-3p |
| 2234 | Çscd3 | 9 | 7 | 5 | 1 | 8 | 4 | 3 | 2 | 6 | Johnson SB |
| 2235 | Çscd3 | 7 | 3 | 6 | 2 | 1 | 9 | 5 | 4 | 8 | Lognormal-2p |
| 2236 | Çscd3 | 9 | 7 | 4 | 1 | 8 | 5 | 3 | 2 | 6 | Johnson SB |
| 2237 | Çscd3 | 3 | 5 | 2 | 4 | 9 | 1 | 7 | 8 | 6 | Lognormal-3p |
| 2238 | Çscd3 | 9 | 8 | 6 | 1 | 7 | 3 | 4 | 2 | 5 | Johnson SB |
| 2239 | Çscd3 | 9 | 5 | 2 | 8 | 4 | 1 | 6 | 7 | 3 | Lognormal-3p |
| 2240 | Çscd3 | 9 | 4 | 8 | 5 | 3 | 7 | 2 | 1 | 6 | Weibull-2p |
| 2241 | Çscd3 | 9 | 3 | 4 | 6 | 1 | 2 | 7 | 8 | 5 | Lognormal-2p |
| 2242 | Çscd3 | 6 | 2 | 7 | 9 | 1 | 3 | 5 | 4 | 8 | Lognormal-2p |
| 2243 | Çscd3 | 1 | 7 | 6 | 2 | 8 | 5 | 4 | 9 | 3 | Beta |
| 2244 | Çscd3 | 9 | 1 | 4 | 6 | 3 | 2 | 8 | 5 | 7 | Gamma-2p |
| 2245 | Çscd3 | 7 | 2 | 9 | 6 | 1 | 4 | 5 | 3 | 8 | Lognormal-2p |
| 2246 | Çscd3 | 9 | 5 | 2 | 8 | 3 | 1 | 6 | 7 | 4 | Lognormal-3p |
| 2247 | Çscd3 | 7 | 4 | 9 | 6 | 2 | 1 | 5 | 3 | 8 | Lognormal-3p |
| 2248 | Çscd3 | 7 | 4 | 9 | 1 | 5 | 2 | 6 | 3 | 8 | Johnson SB |
| 2249 | Çscd3 | 9 | 6 | 5 | 8 | 7 | 4 | 3 | 1 | 2 | Weibull-2p |
| 2250 | Çsd1 | 8 | 5 | 3 | 7 | 6 | 2 | 1 | 4 | Çözümsüz | Normal |
| 2251 | Çsd1 | 7 | 6 | 4 | 8 | 5 | 3 | 2 | 1 | Çözümsüz | Weibull-2p |
| 2252 | Çsd1 | 9 | 4 | 2 | 5 | 3 | 1 | 7 | 8 | 6 | Lognormal-3p |
| 2253 | Çsd1 | 6 | 4 | 8 | 5 | 3 | 9 | 2 | 1 | 7 | Weibull-2p |
| 2254 | Çsd1 | 9 | 7 | 4 | 1 | 8 | 6 | 5 | 2 | 3 | Johnson SB |
| 2255 | Çsd1 | 9 | 8 | 5 | 1 | 7 | 4 | 3 | 6 | 2 | Johnson SB |
| 2256 | Çsd1 | 5 | 4 | 9 | 6 | 3 | 7 | 2 | 1 | 8 | Weibull-2p |
| 2257 | Çsd1 | 9 | 7 | 5 | 2 | 8 | 4 | 3 | 1 | 6 | Weibull-2p |
| 2258 | Çsd1 | 9 | 5 | 2 | 3 | 4 | 1 | 7 | 8 | 6 | Lognormal-3p |
| 2259 | Çsd1 | 9 | 4 | 1 | 8 | 5 | 3 | 6 | 7 | 2 | Gamma-3p |
| 2260 | Çsd1 | 9 | 7 | 6 | 1 | 8 | 4 | 3 | 2 | 5 | Johnson SB |
| 2261 | Çsd1 | 7 | 2 | 9 | 1 | 5 | 8 | 4 | 3 | 6 | Johnson SB |
| 2262 | Çsd1 | 8 | 7 | 3 | 1 | 6 | 5 | 4 | 2 | Çözümsüz | Johnson SB |
| 2263 | Çsd1 | 5 | 4 | 7 | Çözümsüz | 3 | 8 | 2 | 1 | 6 | Weibull-2p |
| 2264 | Çsd1 | 6 | 2 | 9 | 4 | 3 | 7 | 5 | 1 | 8 | Weibull-2p |
| 2265 | Çsd1 | 6 | 5 | 8 | 7 | 4 | 9 | 3 | 2 | 1 | Weibull-3p |
| 2266 | Çsd1 | 8 | 5 | 4 | 1 | 7 | 3 | 2 | 6 | Çözümsüz | Johnson SB |
| 2267 | Çsd1 | 9 | 5 | 1 | 7 | 4 | 2 | 6 | 8 | 3 | Gamma-3p |
| 2268 | Çsd1 | 8 | 4 | 9 | 6 | 5 | 3 | 2 | 1 | 7 | Weibull-2p |
| 2269 | Çsd1 | 8 | 6 | 5 | 1 | 7 | 4 | 3 | 2 | Çözümsüz | Johnson SB |
| 2270 | Çsd1 | 7 | 6 | 2 | Çözümsüz | 5 | 3 | 4 | 1 | Çözümsüz | Weibull-2p |
| 2271 | Çsd1 | 9 | 7 | 6 | 2 | 8 | 5 | 3 | 4 | 1 | Weibull-3p |
| 2272 | Çsd1 | 9 | 7 | 4 | 5 | 8 | 3 | 1 | 2 | 6 | Normal |
| 2273 | Çsd1 | 9 | 7 | 5 | 6 | 8 | 3 | 2 | 1 | 4 | Weibull-2p |
| 2274 | Çsd2 | 9 | 5 | 3 | 4 | 2 | 1 | 7 | 8 | 6 | Lognormal-3p |
| 2275 | Çsd2 | 8 | 6 | 4 | Çözümsüz | 7 | 3 | 2 | 5 | 1 | Weibull-3p |
| 2276 | Çsd2 | 7 | 3 | 9 | 8 | 1 | 2 | 5 | 4 | 6 | Lognormal-2p |
| 2277 | Çsd2 | 8 | 6 | 4 | 1 | 7 | 3 | 2 | 5 | Çözümsüz | Johnson SB |
| 2278 | Çsd2 | 9 | 7 | 6 | 2 | 8 | 5 | 4 | 3 | 1 | Weibull-3p |
| 2279 | Çsd2 | 7 | 6 | 4 | 8 | 5 | 3 | 2 | 1 | Çözümsüz | Weibull-2p |
| 2280 | Çsd2 | 8 | 5 | 3 | 7 | 6 | 2 | 1 | 4 | Çözümsüz | Normal |
| 2281 | Çsd2 | 8 | 5 | 3 | 7 | 6 | 2 | 1 | 4 | Çözümsüz | Normal |
| 2282 | Çsd2 | 8 | 6 | 4 | Çözümsüz | 7 | 3 | 2 | 5 | 1 | Weibull-3p |
| 2283 | Çsd2 | 9 | 5 | 3 | 1 | 2 | 6 | 7 | 8 | 4 | Johnson SB |
| 2284 | Çsd2 | 6 | 5 | 9 | 8 | 4 | 3 | 2 | 1 | 7 | Weibull-2p |
| 2285 | Çsd2 | 9 | 5 | 3 | 1 | 6 | 4 | 7 | 8 | 2 | Johnson SB |
| 2286 | Çsd2 | 9 | 7 | 3 | 4 | 8 | 1 | 2 | 5 | 6 | Lognormal-3p |
| 2287 | Çsd2 | 9 | 2 | 4 | 6 | 3 | 1 | 7 | 8 | 5 | Lognormal-3p |
| 2288 | Çsd2 | 8 | 5 | 9 | 1 | 6 | 4 | 3 | 2 | 7 | Johnson SB |
| 2289 | Çsd2 | 9 | 3 | 4 | 1 | 5 | 2 | 6 | 8 | 7 | Johnson SB |
| 2290 | Çsd2 | 6 | 3 | 8 | 9 | 1 | 2 | 5 | 4 | 7 | Lognormal-2p |

Tablo 4.5.'in devamı

| Örnek Alan No | Meşçere Tipi | Olasılık Yoğunluk Fonksiyonları | | | | | | | | | En Başarılı Dağılım |
|---------------|--------------|---------------------------------|----------|----------|------------|--------------|--------------|--------|------------|------------|---------------------|
| | | Beta | Gamma-2p | Gamma-3p | Johnson SB | Lognormal-2p | Lognormal-3p | Normal | Weibull-2p | Weibull-3p | |
| 2291 | Çsd2 | 7 | 5 | 9 | 6 | 4 | 3 | 2 | 1 | 8 | Weibull-2p |
| 2292 | Çsd2 | 9 | 5 | 3 | 1 | 6 | 2 | 8 | 7 | 4 | Johnson SB |
| 2293 | Çsd2 | 8 | 6 | 4 | 7 | 5 | 3 | 2 | 1 | Çözümsüz | Weibull-2p |
| 2294 | Çsd2 | 8 | 6 | 4 | 1 | 7 | 3 | 2 | 5 | Çözümsüz | Johnson SB |
| 2295 | Çsd2 | 8 | 6 | 9 | 7 | 5 | 3 | 2 | 1 | 4 | Weibull-2p |
| 2296 | Çsd2 | 5 | 6 | 3 | 8 | 7 | 1 | 2 | 4 | Çözümsüz | Lognormal-3p |
| 2297 | Çsd2 | 9 | 7 | 5 | 8 | 6 | 4 | 3 | 2 | 1 | Weibull-3p |
| 2298 | Çsd2 | 2 | 8 | 7 | 3 | 9 | 6 | 5 | 4 | 1 | Weibull-3p |
| 2299 | Çsd2 | 5 | 2 | 9 | 7 | 1 | 6 | 4 | 3 | 8 | Lognormal-2p |
| 2300 | Çsd2 | 9 | 7 | 6 | 3 | 8 | 5 | 4 | 1 | 2 | Weibull-2p |
| 2301 | Çsd2 | 9 | 7 | 6 | 1 | 8 | 4 | 3 | 5 | 2 | Johnson SB |
| 2302 | Çsd2 | 9 | 7 | 6 | 1 | 8 | 5 | 4 | 3 | 2 | Johnson SB |
| 2303 | Çsd2 | 9 | 5 | 7 | 6 | 4 | 3 | 1 | 2 | 8 | Normal |
| 2304 | Çsd3 | 8 | 5 | 2 | 9 | 4 | 1 | 6 | 7 | 3 | Lognormal-3p |
| 2305 | Çsd3 | 9 | 7 | 5 | 2 | 8 | 4 | 3 | 6 | 1 | Weibull-3p |
| 2306 | Çsd3 | 2 | 8 | 7 | 3 | 9 | 6 | 5 | 4 | 1 | Weibull-3p |
| 2307 | Çsd3 | Çözümsüz | 6 | 4 | 8 | 7 | 3 | 2 | 5 | 1 | Weibull-3p |
| 2308 | Çsd3 | 7 | 6 | 3 | 8 | 5 | 2 | 1 | 4 | Çözümsüz | Normal |
| 2309 | Çsd3 | 9 | 7 | 4 | 2 | 8 | 3 | 5 | 1 | 6 | Weibull-2p |
| 2310 | Çsd3 | 5 | 3 | 6 | 7 | 2 | 9 | 4 | 1 | 8 | Weibull-2p |
| 2311 | Çsd3 | 8 | 5 | 4 | Çözümsüz | 7 | 3 | 2 | 6 | 1 | Weibull-3p |
| 2312 | Çsd3 | 7 | 6 | 4 | 8 | 5 | 3 | 2 | 1 | Çözümsüz | Weibull-2p |
| 2313 | Çsd3 | 9 | 7 | 6 | 1 | 8 | 5 | 3 | 4 | 2 | Johnson SB |
| 2314 | Çsd3 | 8 | 7 | 9 | 1 | 6 | 4 | 3 | 2 | 5 | Johnson SB |
| 2315 | Çsd3 | 9 | 7 | 5 | 1 | 8 | 3 | 4 | 2 | 6 | Johnson SB |
| 2316 | Çsd3 | 9 | 5 | 1 | 8 | 4 | 2 | 7 | 6 | 3 | Gamma-3p |
| 2317 | Çsd3 | 7 | 8 | 5 | 2 | 9 | 6 | 3 | 1 | 4 | Weibull-2p |
| 2318 | Çsd3 | 8 | 6 | 5 | 1 | 7 | 4 | 3 | 2 | Çözümsüz | Johnson SB |
| 2319 | Çsd3 | 9 | 7 | 5 | 1 | 8 | 4 | 2 | 3 | 6 | Johnson SB |
| 2320 | Çsd3 | 4 | 7 | 3 | Çözümsüz | 8 | 2 | 1 | 6 | 5 | Normal |
| 2321 | Çsd3 | 8 | 5 | 9 | 1 | 7 | 4 | 3 | 2 | 6 | Johnson SB |
| 2322 | Çsd3 | 5 | 7 | 4 | Çözümsüz | 8 | 3 | 1 | 2 | 6 | Normal |
| 2323 | Çsd3 | 9 | 7 | 5 | 1 | 8 | 4 | 3 | 2 | 6 | Johnson SB |
| 2324 | Çsd3 | 9 | 7 | 5 | 2 | 8 | 4 | 1 | 3 | 6 | Normal |

Tablo 4.6. *Olasılık yoğunluk fonksiyonlarının Anderson-Darling (AD) istatistiğine göre sıralamaları (III. Bonitet)*

| Örnek Alan No | Meşçere Tipi | Olasılık Yoğunluk Fonksiyonları | | | | | | | | | En Başarılı Dağılım |
|---------------|--------------|---------------------------------|----------|----------|------------|--------------|--------------|--------|------------|------------|---------------------|
| | | Beta | Gamma-2p | Gamma-3p | Johnson SB | Lognormal-2p | Lognormal-3p | Normal | Weibull-2p | Weibull-3p | |
| 3001 | Çsb2 | 9 | 7 | 3 | 8 | 6 | 5 | 4 | 1 | 2 | Weibull-2p |
| 3002 | Çsb2 | 8 | 2 | 9 | 5 | 4 | 6 | 3 | 1 | 7 | Weibull-2p |
| 3003 | Çsb2 | 5 | 1 | --- | 6 | 4 | 7 | 3 | 2 | 8 | Gamma-2p |
| 3004 | Çsb2 | 8 | 3 | 9 | 1 | 5 | 7 | 4 | 2 | 6 | Johnson SB |
| 3005 | Çsb2 | --- | 2 | --- | Çözümsüz | 4 | --- | 3 | 1 | 5 | Weibull-2p |
| 3006 | Çsb2 | 8 | 3 | 9 | 1 | 5 | 6 | 2 | 4 | 7 | Johnson SB |
| 3007 | Çsb2 | 9 | 1 | 5 | 4 | 2 | 3 | 6 | 8 | 7 | Gamma-2p |
| 3008 | Çsb2 | 6 | 3 | --- | 1 | 5 | 7 | 4 | 2 | --- | Johnson SB |
| 3009 | Çsb2 | 6 | 3 | 9 | 5 | 4 | 8 | 2 | 1 | 7 | Weibull-2p |
| 3010 | Çsb3 | 5 | 2 | 6 | Çözümsüz | 4 | --- | 3 | 1 | 7 | Weibull-2p |
| 3011 | Çsb3 | 6 | 2 | --- | 1 | 5 | --- | 4 | 3 | 7 | Johnson SB |
| 3012 | Çsb3 | 8 | 3 | 6 | 1 | 5 | 9 | 4 | 2 | 7 | Johnson SB |
| 3013 | Çsb3 | 6 | 3 | 9 | 1 | 5 | 8 | 4 | 2 | 7 | Johnson SB |
| 3014 | Çsb3 | 6 | 2 | 9 | 1 | 5 | 7 | 3 | 4 | 8 | Johnson SB |
| 3015 | Çsb3 | 7 | 2 | 6 | 1 | 5 | 9 | 4 | 3 | 8 | Johnson SB |
| 3016 | Çsb3 | 9 | 1 | 8 | 2 | 5 | 6 | 3 | 4 | 7 | Gamma-2p |
| 3017 | Çsb3 | 6 | 3 | --- | 1 | 5 | --- | 4 | 2 | --- | Johnson SB |
| 3018 | Çsb3 | 8 | 2 | 9 | 1 | 4 | 6 | 3 | 5 | 7 | Johnson SB |
| 3019 | Çsb3 | --- | 4 | 7 | Çözümsüz | 3 | 5 | 2 | 1 | 6 | Weibull-2p |
| 3020 | Çsb3 | 6 | 4 | 9 | 1 | 5 | 8 | 3 | 2 | 7 | Johnson SB |
| 3021 | Çsb3 | 9 | 4 | 6 | 3 | 5 | 8 | 2 | 1 | 7 | Weibull-2p |
| 3022 | Çsb3 | 6 | 2 | --- | 1 | 5 | --- | 3 | 4 | 7 | Johnson SB |
| 3023 | Çsb3 | --- | 2 | --- | 1 | 3 | --- | 4 | 5 | --- | Johnson SB |
| 3024 | Çsb3 | 6 | 2 | --- | 1 | 3 | --- | 4 | 5 | --- | Johnson SB |
| 3025 | Çsb3 | 6 | 1 | --- | 3 | 2 | --- | 4 | 5 | 7 | Gamma-2p |
| 3026 | Çsb3 | 6 | 2 | --- | 4 | 5 | --- | 3 | 1 | 7 | Weibull-2p |
| 3027 | Çsb3 | 9 | 1 | 8 | 4 | 3 | 6 | 2 | 5 | 7 | Gamma-2p |
| 3028 | Çsb3 | 6 | 3 | 8 | 1 | 5 | 9 | 4 | 2 | 7 | Johnson SB |
| 3029 | Çsb3 | 6 | 3 | --- | 1 | 5 | --- | 4 | 2 | 7 | Johnson SB |
| 3030 | Çsb3 | 8 | 1 | 9 | 2 | 3 | 7 | 4 | 5 | 6 | Gamma-2p |
| 3031 | Çsb3 | 8 | 6 | 4 | 7 | 5 | 2 | 3 | 1 | Çözümsüz | Weibull-2p |
| 3032 | Çsb3 | 9 | 4 | 8 | 1 | 5 | 6 | 3 | 2 | 7 | Johnson SB |
| 3033 | Çsb3 | 6 | 2 | --- | 1 | 5 | --- | 4 | 3 | --- | Johnson SB |
| 3034 | Çsb3 | 6 | 2 | 8 | 1 | 3 | --- | 5 | 4 | 7 | Johnson SB |
| 3035 | Çsb3 | 9 | 5 | 3 | 1 | 6 | 4 | 7 | 8 | 2 | Johnson SB |
| 3036 | Çsb3 | --- | 2 | --- | Çözümsüz | 4 | 5 | 3 | 1 | --- | Weibull-2p |
| 3037 | Çsb3 | 8 | 7 | 6 | 1 | 3 | 5 | 4 | 2 | Çözümsüz | Johnson SB |
| 3038 | Çsb3 | 9 | 2 | 8 | 1 | 4 | 5 | 3 | 6 | 7 | Johnson SB |
| 3039 | Çsb3 | 9 | 8 | 2 | 1 | 7 | 4 | 5 | 6 | 3 | Johnson SB |
| 3040 | Çsbc1 | 9 | 1 | 8 | 2 | 3 | 5 | 4 | 6 | 7 | Gamma-2p |
| 3041 | Çsbc1 | 8 | 3 | 7 | 5 | 4 | 6 | 2 | 1 | 9 | Weibull-2p |
| 3042 | Çsbc1 | 1 | 9 | 7 | 2 | 8 | 4 | 5 | 6 | 3 | Beta |
| 3043 | Çsbc1 | 8 | 6 | 2 | Çözümsüz | 7 | 3 | 1 | 5 | 4 | Normal |
| 3044 | Çsbc1 | 7 | 4 | 9 | 8 | 3 | 1 | 6 | 5 | 2 | Lognormal-3p |
| 3045 | Çsbc1 | 8 | 1 | 7 | 2 | 3 | 4 | 5 | 6 | 9 | Gamma-2p |
| 3046 | Çsbc1 | 9 | 8 | 6 | 2 | 7 | 5 | 4 | 1 | 3 | Weibull-2p |
| 3047 | Çsbc1 | 9 | 8 | 6 | 2 | 7 | 5 | 4 | 3 | 1 | Weibull-3p |
| 3048 | Çsbc1 | 8 | 1 | 9 | 4 | 2 | 3 | 5 | 6 | 7 | Gamma-2p |
| 3049 | Çsbc1 | 8 | 3 | 7 | 5 | 4 | 6 | 2 | 1 | 9 | Weibull-2p |
| 3050 | Çsbc1 | 9 | 2 | 7 | 1 | 3 | 8 | 5 | 4 | 6 | Johnson SB |
| 3051 | Çsbc1 | 8 | 6 | 2 | Çözümsüz | 7 | 3 | 1 | 5 | 4 | Normal |
| 3052 | Çsbc1 | 8 | 3 | 7 | 5 | 4 | 6 | 2 | 1 | 9 | Weibull-2p |
| 3053 | Çsbc1 | 9 | 4 | 7 | 2 | 5 | 8 | 3 | 1 | 6 | Weibull-2p |
| 3054 | Çsbc1 | 9 | 7 | 5 | 1 | 8 | 4 | 2 | 3 | 6 | Johnson SB |
| 3055 | Çsbc1 | 8 | 1 | 6 | 3 | 2 | 9 | 4 | 5 | 7 | Gamma-2p |
| 3056 | Çsbc1 | 8 | 3 | 6 | 1 | 4 | 7 | 5 | 2 | 9 | Johnson SB |
| 3057 | Çsbc1 | 4 | 1 | --- | 6 | 3 | 8 | 5 | 2 | 7 | Gamma-2p |

Tablo 4.6.'nın devamı

| Örnek Alan No | Mesçere Tipi | Olasılık Yoğunluk Fonksiyonları | | | | | | | | | En Başarılı Dağılım |
|---------------|--------------|---------------------------------|----------|----------|------------|--------------|--------------|--------|------------|------------|---------------------|
| | | Beta | Gamma-2p | Gamma-3p | Johnson SB | Lognormal-2p | Lognormal-3p | Normal | Weibull-2p | Weibull-3p | |
| 3058 | Çsbc1 | 7 | 3 | 8 | 4 | 2 | 1 | 6 | 5 | 9 | Lognormal-3p |
| 3059 | Çsbc1 | 5 | 1 | --- | --- | 2 | --- | 4 | 3 | 6 | Gamma-2p |
| 3060 | Çsbc1 | 8 | 2 | 6 | 1 | 3 | 9 | 4 | 5 | 7 | Johnson SB |
| 3061 | Çsbc1 | 9 | 3 | 2 | 5 | 6 | 1 | 8 | 7 | 4 | Lognormal-3p |
| 3062 | Çsbc1 | 1 | 2 | 7 | 6 | 5 | --- | 4 | 3 | --- | Beta |
| 3063 | Çsbc1 | 8 | 2 | 6 | 1 | 3 | 9 | 4 | 5 | 7 | Johnson SB |
| 3064 | Çsbc1 | 5 | 1 | --- | --- | 2 | --- | 4 | 3 | 6 | Gamma-2p |
| 3065 | Çsbc1 | 1 | 2 | 7 | 6 | 5 | --- | 4 | 3 | --- | Beta |
| 3066 | Çsbc1 | 8 | 2 | 9 | 1 | 5 | 7 | 3 | 4 | 6 | Johnson SB |
| 3067 | Çsbc2 | 9 | 5 | 3 | 1 | 6 | 4 | 7 | 8 | 2 | Johnson SB |
| 3068 | Çsbc2 | 9 | 6 | 4 | 1 | 5 | 2 | 8 | 3 | 7 | Johnson SB |
| 3069 | Çsbc2 | 9 | 8 | 6 | 2 | 7 | 5 | 4 | 1 | 3 | Weibull-2p |
| 3070 | Çsbc2 | 9 | 4 | 6 | 1 | 5 | 8 | 3 | 2 | 7 | Johnson SB |
| 3071 | Çsbc2 | 6 | 2 | 7 | 1 | 3 | 9 | 5 | 4 | 8 | Johnson SB |
| 3072 | Çsbc2 | 6 | 3 | 9 | 1 | 5 | 8 | 4 | 2 | 7 | Johnson SB |
| 3073 | Çsbc2 | 8 | 1 | 9 | 3 | 2 | 5 | 4 | 6 | 7 | Gamma-2p |
| 3074 | Çsbc2 | 8 | 6 | 4 | 7 | 5 | 3 | 1 | 2 | --- | Çözümsüz |
| 3075 | Çsbc2 | 9 | 6 | 2 | 1 | 5 | 4 | 8 | 7 | 3 | Johnson SB |
| 3076 | Çsbc2 | 8 | 2 | 6 | 1 | 5 | 7 | 4 | 3 | 9 | Johnson SB |
| 3077 | Çsbc2 | 9 | 8 | 6 | 1 | 7 | 4 | 5 | 2 | 3 | Johnson SB |
| 3078 | Çsbc2 | 9 | 4 | 8 | 5 | 3 | 6 | 2 | 1 | 7 | Weibull-2p |
| 3079 | Çsbc2 | 8 | 1 | 9 | 2 | 3 | 5 | 4 | 6 | 7 | Gamma-2p |
| 3080 | Çsbc2 | 8 | 4 | 9 | 2 | 5 | 6 | 3 | 1 | 7 | Weibull-2p |
| 3081 | Çsbc2 | 9 | 6 | 4 | 7 | 2 | 5 | 8 | 1 | 3 | Weibull-2p |
| 3082 | Çsbc2 | 7 | 4 | 9 | 3 | 6 | 5 | 2 | 1 | 8 | Weibull-2p |
| 3083 | Çsbc2 | 9 | 4 | 7 | 1 | 5 | 8 | 3 | 2 | 6 | Johnson SB |
| 3084 | Çsbc2 | 8 | 6 | 4 | Çözümsüz | 7 | 3 | 2 | 1 | 5 | Weibull-2p |
| 3085 | Çsbc2 | 8 | 5 | 7 | 2 | 6 | 4 | 3 | 1 | 9 | Weibull-2p |
| 3086 | Çsbc2 | 7 | 2 | 6 | 3 | 1 | 9 | 5 | 4 | 8 | Lognormal-2p |
| 3087 | Çsbc2 | 9 | 1 | 7 | 2 | 4 | 8 | 3 | 5 | 6 | Gamma-2p |
| 3088 | Çsbc2 | 9 | 2 | 6 | 1 | 3 | 7 | 4 | 5 | 8 | Johnson SB |
| 3089 | Çsbc2 | 6 | 2 | 8 | 1 | 3 | --- | 5 | 4 | 7 | Johnson SB |
| 3090 | Çsbc2 | 7 | 5 | 9 | 1 | 4 | 3 | 6 | 2 | 8 | Johnson SB |
| 3091 | Çsbc2 | 7 | 3 | 8 | 5 | 4 | 6 | 2 | 1 | 9 | Weibull-2p |
| 3092 | Çsbc2 | 9 | 1 | 7 | 6 | 2 | 5 | 4 | 3 | 8 | Gamma-2p |
| 3093 | Çsbc2 | 6 | 2 | 7 | 1 | 5 | --- | 4 | 3 | --- | Johnson SB |
| 3094 | Çsbc2 | 8 | 1 | 6 | 5 | 2 | 9 | 4 | 3 | 7 | Gamma-2p |
| 3095 | Çsbc2 | 6 | 1 | 8 | 2 | 3 | 9 | 4 | 5 | 7 | Gamma-2p |
| 3096 | Çsbc2 | 9 | 7 | 5 | 3 | 8 | 4 | 2 | 1 | 6 | Weibull-2p |
| 3097 | Çsbc3 | 7 | 1 | 9 | 2 | 3 | 6 | 4 | 5 | 8 | Gamma-2p |
| 3098 | Çsbc3 | 8 | 2 | 9 | 5 | 1 | 3 | 4 | 6 | 7 | Lognormal-2p |
| 3099 | Çsbc3 | 9 | 4 | 7 | 1 | 6 | 5 | 3 | 2 | 8 | Johnson SB |
| 3100 | Çsbc3 | 8 | 4 | 9 | 1 | 5 | 7 | 3 | 2 | 6 | Johnson SB |
| 3101 | Çsbc3 | 9 | 5 | 8 | 2 | 6 | 4 | 3 | 1 | 7 | Weibull-2p |
| 3102 | Çsbc3 | 9 | 2 | 8 | 1 | 3 | 7 | 5 | 4 | 6 | Johnson SB |
| 3103 | Çsbc3 | 9 | 5 | 7 | 1 | 6 | 3 | 2 | 4 | 8 | Johnson SB |
| 3104 | Çsbc3 | 9 | 3 | 2 | 1 | 4 | 5 | 7 | 8 | 6 | Johnson SB |
| 3105 | Çsbc3 | 9 | 2 | 7 | 1 | 3 | 8 | 4 | 5 | 6 | Johnson SB |
| 3106 | Çsbc3 | 6 | 1 | 8 | 5 | 2 | 9 | 4 | 3 | 7 | Gamma-2p |
| 3107 | Çsbc3 | 9 | 5 | 8 | 1 | 6 | 4 | 3 | 2 | 7 | Johnson SB |
| 3108 | Çsbc3 | 9 | 7 | 4 | 2 | 8 | 6 | 3 | 5 | 1 | Weibull-3p |
| 3109 | Çsbc3 | 7 | 2 | 9 | 1 | 3 | 5 | 4 | 6 | 8 | Johnson SB |
| 3110 | Çsbc3 | 9 | 2 | 8 | 1 | 5 | 6 | 3 | 4 | 7 | Johnson SB |
| 3111 | Çsbc3 | 9 | 2 | 8 | 1 | 3 | 7 | 4 | 5 | 6 | Johnson SB |
| 3112 | Çsbc3 | 7 | 1 | 9 | 3 | 2 | 4 | 5 | 6 | 8 | Gamma-2p |
| 3113 | Çsbc3 | 9 | 7 | 5 | 2 | 8 | 4 | 3 | 1 | 6 | Weibull-2p |
| 3114 | Çsbc3 | 8 | 6 | 9 | 1 | 5 | 4 | 3 | 2 | 7 | Johnson SB |
| 3115 | Çsbc3 | 2 | 5 | 7 | 4 | 8 | 6 | 1 | 9 | 3 | Normal |
| 3116 | Çsbc3 | 8 | 1 | 4 | Çözümsüz | 5 | 3 | 2 | 6 | 7 | Gamma-2p |

Tablo 4.6.'nın devamı

| Örnek Alan No | Meşçere Tipi | Olasılık Yoğunluk Fonksiyonları | | | | | | | | | En Başarılı Dağılım |
|---------------|--------------|---------------------------------|----------|----------|------------|--------------|--------------|--------|------------|------------|---------------------|
| | | Beta | Gamma-2p | Gamma-3p | Johnson SB | Lognormal-2p | Lognormal-3p | Normal | Weibull-2p | Weibull-3p | |
| 3117 | Çsbc3 | 9 | 2 | 8 | 1 | 5 | 4 | 3 | 6 | 7 | Johnson SB |
| 3118 | Çsbc3 | 8 | 6 | 3 | 7 | 2 | 4 | 5 | 1 | Çözümsüz | Weibull-2p |
| 3119 | Çsbc3 | 8 | 5 | 7 | 2 | 6 | 4 | 3 | 1 | 9 | Weibull-2p |
| 3120 | Çsbc3 | Çözümsüz | 4 | 3 | 8 | 1 | 2 | 6 | 7 | 5 | Lognormal-2p |
| 3121 | Çsbc3 | 8 | 1 | 7 | 3 | 2 | 4 | 5 | 6 | 9 | Gamma-2p |
| 3122 | Çsbc3 | 9 | 7 | 4 | 8 | 6 | 3 | 2 | 1 | 5 | Weibull-2p |
| 3123 | Çsbc3 | 9 | 5 | 1 | 7 | 2 | 4 | 6 | 8 | 3 | Gamma-3p |
| 3124 | Çsbc3 | 3 | 5 | 2 | Çözümsüz | 4 | 1 | 6 | 8 | 7 | Lognormal-3p |
| 3125 | Çsbc3 | 9 | 1 | 8 | 2 | 3 | 6 | 5 | 4 | 7 | Gamma-2p |
| 3126 | Çsc1 | 7 | 3 | 8 | 1 | 2 | 4 | 6 | 5 | 9 | Johnson SB |
| 3127 | Çsc1 | 9 | 5 | 7 | 1 | 6 | 4 | 3 | 2 | 8 | Johnson SB |
| 3128 | Çsc1 | 2 | 3 | --- | Çözümsüz | 5 | --- | 4 | 1 | --- | Weibull-2p |
| 3129 | Çsc1 | 7 | 1 | 9 | 3 | 2 | 8 | 5 | 4 | 6 | Gamma-2p |
| 3130 | Çsc1 | 6 | 1 | 9 | 5 | 2 | 8 | 4 | 3 | 7 | Gamma-2p |
| 3131 | Çsc1 | 8 | 3 | 7 | 1 | 4 | 2 | 5 | 6 | 9 | Johnson SB |
| 3132 | Çsc1 | 8 | 7 | 5 | 9 | 6 | 4 | 3 | 2 | 1 | Weibull-3p |
| 3133 | Çsc1 | 9 | 7 | 6 | 2 | 8 | 5 | 3 | 1 | 4 | Weibull-2p |
| 3134 | Çsc2 | 7 | 2 | 9 | 1 | 3 | 4 | 5 | 6 | 8 | Johnson SB |
| 3135 | Çsc2 | 1 | 6 | 5 | 8 | 7 | 4 | 3 | 2 | Çözümsüz | Beta |
| 3136 | Çsc2 | 2 | 7 | 4 | Çözümsüz | 8 | 3 | 1 | 6 | 5 | Normal |
| 3137 | Çsc2 | 7 | 4 | 8 | 1 | 3 | 2 | 5 | 6 | 9 | Johnson SB |
| 3138 | Çsc2 | 9 | 7 | 6 | 1 | 8 | 5 | 2 | 4 | 3 | Johnson SB |
| 3139 | Çsc2 | 1 | 8 | 6 | 3 | 9 | 5 | 4 | 7 | 2 | Beta |
| 3140 | Çsc2 | 8 | 6 | 2 | Çözümsüz | 7 | 1 | 3 | 4 | 5 | Lognormal-3p |
| 3141 | Çsc2 | 3 | 8 | 6 | 2 | 9 | 7 | 5 | 1 | 4 | Weibull-2p |
| 3142 | Çsc2 | 9 | 8 | 5 | 1 | 7 | 6 | 4 | 2 | 3 | Johnson SB |
| 3143 | Çsc2 | 9 | 7 | 6 | 2 | 8 | 5 | 3 | 1 | 4 | Weibull-2p |
| 3144 | Çsc2 | 8 | 5 | 9 | 1 | 6 | 4 | 3 | 2 | 7 | Johnson SB |
| 3145 | Çsc2 | 9 | 8 | 6 | 1 | 7 | 5 | 4 | 2 | 3 | Johnson SB |
| 3146 | Çsc2 | 7 | 5 | 9 | 1 | 4 | 6 | 3 | 2 | 8 | Johnson SB |
| 3147 | Çsc2 | 9 | 7 | 6 | 2 | 8 | 5 | 4 | 1 | 3 | Weibull-2p |
| 3148 | Çsc2 | 7 | 6 | 4 | 8 | 5 | 3 | 2 | 1 | Çözümsüz | Weibull-2p |
| 3149 | Çsc2 | 8 | 5 | 4 | 7 | 6 | 3 | 2 | 1 | Çözümsüz | Weibull-2p |
| 3150 | Çsc2 | 8 | 5 | 9 | 1 | 6 | 4 | 3 | 2 | 7 | Johnson SB |
| 3151 | Çsc2 | 8 | 5 | 2 | 9 | 3 | 1 | 7 | 6 | 4 | Lognormal-3p |
| 3152 | Çsc2 | 9 | 7 | 5 | 8 | 6 | 3 | 2 | 1 | 4 | Weibull-2p |
| 3153 | Çsc2 | 8 | 7 | 9 | 2 | 6 | 4 | 3 | 1 | 5 | Weibull-2p |
| 3154 | Çsc3 | 8 | 5 | 7 | 1 | 6 | 4 | 3 | 2 | 9 | Johnson SB |
| 3155 | Çsc3 | 9 | 7 | 5 | 1 | 8 | 4 | 3 | 2 | 6 | Johnson SB |
| 3156 | Çsc3 | 7 | 1 | 9 | 4 | 2 | 3 | 6 | 5 | 8 | Gamma-2p |
| 3157 | Çsc3 | 6 | 2 | 8 | 1 | 3 | 9 | 4 | 5 | 7 | Johnson SB |
| 3158 | Çsc3 | 9 | 7 | 5 | 2 | 8 | 4 | 3 | 1 | 6 | Weibull-2p |
| 3159 | Çsc3 | 9 | 5 | 1 | 8 | 4 | 3 | 6 | 7 | 2 | Gamma-3p |
| 3160 | Çsc3 | 7 | 3 | 8 | 5 | 4 | 9 | 2 | 1 | 6 | Weibull-2p |
| 3161 | Çsc3 | 9 | 7 | 5 | 3 | 8 | 6 | 4 | 1 | 2 | Weibull-2p |
| 3162 | Çsc3 | 9 | 7 | 5 | 1 | 8 | 4 | 3 | 2 | 6 | Johnson SB |
| 3163 | Çsc3 | 7 | 4 | 9 | 6 | 5 | 3 | 2 | 1 | 8 | Weibull-2p |
| 3164 | Çsc3 | 9 | 7 | 6 | 1 | 8 | 4 | 3 | 2 | 5 | Johnson SB |
| 3165 | Çsc3 | 8 | 7 | 9 | 1 | 6 | 4 | 3 | 2 | 5 | Johnson SB |
| 3166 | Çsc3 | 5 | 8 | 7 | 1 | 9 | 6 | 4 | 3 | 2 | Johnson SB |
| 3167 | Çsc3 | Çözümsüz | 5 | 1 | 6 | 3 | 2 | 7 | 8 | 4 | Gamma-3p |
| 3168 | Çsc3 | 9 | 8 | 6 | 1 | 7 | 4 | 3 | 2 | 5 | Johnson SB |
| 3169 | Çsc3 | 9 | 6 | 7 | 1 | 5 | 3 | 4 | 2 | 8 | Johnson SB |
| 3170 | Çsc3 | 9 | 7 | 6 | 3 | 8 | 5 | 4 | 2 | 1 | Weibull-3p |
| 3171 | Çsc3 | 9 | 5 | 3 | 1 | 6 | 4 | 7 | 8 | 2 | Johnson SB |
| 3172 | Çsc3 | 9 | 7 | 5 | 2 | 8 | 4 | 3 | 1 | 6 | Weibull-2p |
| 3173 | Çsc3 | 9 | 2 | 1 | 6 | 3 | 4 | 7 | 8 | 5 | Gamma-3p |
| 3174 | Çsc3 | 8 | 2 | 7 | 1 | 5 | 9 | 4 | 3 | 6 | Johnson SB |

Tablo 4.6.'nın devamı

| Örnek Alan No | Meşçere Tipi | Olasılık Yoğunluk Fonksiyonları | | | | | | | | | En Başarılı Dağılım |
|---------------|--------------|---------------------------------|----------|----------|------------|--------------|--------------|--------|------------|------------|---------------------|
| | | Beta | Gamma-2p | Gamma-3p | Johnson SB | Lognormal-2p | Lognormal-3p | Normal | Weibull-2p | Weibull-3p | |
| 3175 | Çsc3 | 9 | 7 | 6 | 1 | 8 | 4 | 3 | 2 | 5 | Johnson SB |
| 3176 | Çsc3 | 9 | 7 | 5 | 8 | 6 | 4 | 3 | 2 | 1 | Weibull-3p |
| 3177 | Çsc3 | 9 | 7 | 6 | 1 | 8 | 5 | 3 | 2 | 4 | Johnson SB |
| 3178 | Çsc3 | 9 | 7 | 6 | 1 | 8 | 5 | 4 | 2 | 3 | Johnson SB |
| 3179 | Çsc3 | 9 | 7 | 6 | 4 | 8 | 3 | 2 | 1 | 5 | Weibull-2p |
| 3180 | Çsc3 | 9 | 5 | 8 | 3 | 7 | 4 | 2 | 1 | 6 | Weibull-2p |
| 3181 | Çsc3 | 9 | 6 | 5 | 2 | 7 | 4 | 3 | 1 | 8 | Weibull-2p |
| 3182 | Çsc3 | 6 | 2 | 8 | 5 | 1 | 9 | 4 | 3 | 7 | Lognormal-2p |
| 3183 | Çsc3 | 1 | 8 | 7 | 2 | 9 | 6 | 5 | 4 | 3 | Beta |
| 3184 | Çscd1 | 7 | 6 | 3 | 8 | 5 | 4 | 2 | 1 | Çözümsüz | Weibull-2p |
| 3185 | Çscd1 | 8 | 7 | 5 | 9 | 6 | 4 | 3 | 2 | 1 | Weibull-3p |
| 3186 | Çscd1 | 9 | 8 | 5 | 1 | 7 | 4 | 3 | 2 | 6 | Johnson SB |
| 3187 | Çscd1 | 9 | 7 | 3 | 5 | 8 | 2 | 4 | 1 | 6 | Weibull-2p |
| 3188 | Çscd1 | 6 | 2 | 9 | 1 | 3 | 8 | 5 | 4 | 7 | Johnson SB |
| 3189 | Çscd1 | 4 | 5 | 2 | 3 | 8 | 1 | 7 | 9 | 6 | Lognormal-3p |
| 3190 | Çscd1 | 5 | 2 | --- | --- | 1 | 7 | 4 | 3 | 6 | Lognormal-2p |
| 3191 | Çscd1 | 5 | 1 | 6 | 9 | 2 | 7 | 4 | 3 | 8 | Gamma-2p |
| 3192 | Çscd1 | 8 | 5 | 3 | 9 | 1 | 2 | 7 | 6 | 4 | Lognormal-2p |
| 3193 | Çscd1 | 9 | 3 | 8 | 1 | 5 | 6 | 4 | 2 | 7 | Johnson SB |
| 3194 | Çscd1 | 9 | 2 | 8 | 1 | 4 | 3 | 7 | 6 | 5 | Johnson SB |
| 3195 | Çscd1 | 6 | 5 | 9 | 7 | 2 | 3 | 4 | 1 | 8 | Weibull-2p |
| 3196 | Çscd1 | 9 | 7 | 3 | 4 | 8 | 2 | 5 | 1 | 6 | Weibull-2p |
| 3197 | Çscd1 | 6 | 5 | 7 | 1 | 4 | 9 | 3 | 2 | 8 | Johnson SB |
| 3198 | Çscd1 | 2 | 6 | 4 | 1 | 8 | 5 | 7 | 9 | 3 | Johnson SB |
| 3199 | Çscd1 | 8 | 4 | 9 | 6 | 5 | 3 | 2 | 1 | 7 | Weibull-2p |
| 3200 | Çscd1 | 9 | 7 | 4 | 8 | 6 | 3 | 2 | 5 | 1 | Weibull-3p |
| 3201 | Çscd1 | 8 | 6 | 7 | 1 | 5 | 4 | 3 | 2 | 9 | Johnson SB |
| 3202 | Çscd1 | 9 | 4 | 8 | 1 | 3 | 6 | 5 | 2 | 7 | Johnson SB |
| 3203 | Çscd1 | 8 | 4 | 7 | 6 | 3 | 5 | 2 | 1 | 9 | Weibull-2p |
| 3204 | Çscd1 | 7 | 6 | 9 | 8 | 4 | 5 | 2 | 1 | 3 | Weibull-2p |
| 3205 | Çscd1 | 6 | 2 | 9 | 1 | 3 | 7 | 4 | 5 | 8 | Johnson SB |
| 3206 | Çscd1 | 9 | 6 | 3 | 1 | 5 | 4 | 7 | 8 | 2 | Johnson SB |
| 3207 | Çscd1 | 9 | 7 | 6 | 1 | 8 | 5 | 3 | 4 | 2 | Johnson SB |
| 3208 | Çscd1 | 9 | 4 | 8 | 5 | 3 | 6 | 1 | 2 | 7 | Normal |
| 3209 | Çscd1 | 8 | 5 | 7 | 1 | 4 | 3 | 6 | 2 | 9 | Johnson SB |
| 3210 | Çscd1 | 7 | 4 | 8 | 2 | 3 | 1 | 6 | 5 | 9 | Lognormal-3p |
| 3211 | Çscd1 | 9 | 7 | 6 | 2 | 8 | 5 | 4 | 1 | 3 | Weibull-2p |
| 3212 | Çscd1 | 9 | 5 | 7 | 3 | 6 | 4 | 2 | 1 | 8 | Weibull-2p |
| 3213 | Çscd2 | 8 | 2 | 9 | 1 | 5 | 6 | 4 | 3 | 7 | Johnson SB |
| 3214 | Çscd2 | 9 | 7 | 6 | 1 | 8 | 4 | 3 | 2 | 5 | Johnson SB |
| 3215 | Çscd2 | 9 | 7 | 6 | 1 | 8 | 5 | 4 | 2 | 3 | Johnson SB |
| 3216 | Çscd2 | 5 | 1 | 8 | 7 | 2 | 9 | 4 | 3 | 6 | Gamma-2p |
| 3217 | Çscd2 | 9 | 7 | 6 | 1 | 8 | 5 | 4 | 3 | 2 | Johnson SB |
| 3218 | Çscd2 | 8 | 2 | 7 | 5 | 1 | 9 | 4 | 3 | 6 | Lognormal-2p |
| 3219 | Çscd2 | 9 | 2 | 8 | 1 | 5 | 4 | 6 | 3 | 7 | Johnson SB |
| 3220 | Çscd2 | 8 | 4 | 9 | 1 | 2 | 3 | 6 | 5 | 7 | Johnson SB |
| 3221 | Çscd2 | 7 | 2 | 8 | 5 | 3 | 9 | 4 | 1 | 6 | Weibull-2p |
| 3222 | Çscd2 | 3 | 6 | 2 | Çözümsüz | 8 | 1 | 5 | 4 | 7 | Lognormal-3p |
| 3223 | Çscd2 | 9 | 7 | 5 | 1 | 8 | 6 | 4 | 3 | 2 | Johnson SB |
| 3224 | Çscd2 | 8 | 1 | 9 | 3 | 2 | 5 | 6 | 4 | 7 | Gamma-2p |
| 3225 | Çscd2 | 9 | 7 | 5 | 1 | 8 | 6 | 4 | 2 | 3 | Johnson SB |
| 3226 | Çscd2 | 9 | 8 | 6 | 1 | 7 | 5 | 4 | 3 | 2 | Johnson SB |
| 3227 | Çscd2 | 8 | 5 | 3 | Çözümsüz | 7 | 1 | 2 | 6 | 4 | Lognormal-3p |
| 3228 | Çscd2 | 9 | 7 | 5 | 1 | 8 | 4 | 3 | 2 | 6 | Johnson SB |
| 3229 | Çscd2 | 6 | 4 | 9 | 5 | 3 | 7 | 2 | 1 | 8 | Weibull-2p |
| 3230 | Çscd2 | 9 | 7 | 5 | 3 | 8 | 4 | 1 | 2 | 6 | Normal |
| 3231 | Çscd2 | 9 | 7 | 5 | 8 | 6 | 4 | 2 | 3 | 1 | Weibull-3p |
| 3232 | Çscd2 | 5 | 1 | 9 | 6 | 2 | 8 | 4 | 3 | 7 | Gamma-2p |

Tablo 4.6.'nın devamı

| Örnek Alan No | Mesçere Tipi | Olasılık Yoğunluk Fonksiyonları | | | | | | | | | En Başarılı Dağılım |
|---------------|--------------|---------------------------------|----------|----------|------------|--------------|--------------|--------|------------|------------|---------------------|
| | | Beta | Gamma-2p | Gamma-3p | Johnson SB | Lognormal-2p | Lognormal-3p | Normal | Weibull-2p | Weibull-3p | |
| 3233 | Çscd2 | 9 | 7 | 6 | 2 | 8 | 5 | 4 | 1 | 3 | Weibull-2p |
| 3234 | Çscd2 | 6 | 3 | 8 | 9 | 2 | 1 | 5 | 4 | 7 | Lognormal-3p |
| 3235 | Çscd2 | 9 | 3 | 2 | 7 | 5 | 1 | 8 | 6 | 4 | Lognormal-3p |
| 3236 | Çscd2 | 8 | 6 | 4 | 7 | 5 | 3 | 2 | 1 | Çözümsüz | Weibull-2p |
| 3237 | Çscd2 | 7 | 5 | 4 | 8 | 6 | 1 | 2 | 3 | Çözümsüz | Lognormal-3p |
| 3238 | Çscd2 | 3 | 6 | 2 | Çözümsüz | 8 | 1 | 4 | 7 | 5 | Lognormal-3p |
| 3239 | Çscd2 | 9 | 3 | 4 | 1 | 6 | 2 | 7 | 8 | 5 | Johnson SB |
| 3240 | Çscd2 | 9 | 7 | 6 | 1 | 8 | 5 | 4 | 3 | 2 | Johnson SB |
| 3241 | Çscd2 | 8 | 5 | 9 | 1 | 6 | 4 | 3 | 2 | 7 | Johnson SB |
| 3242 | Çscd2 | 8 | 5 | 9 | 1 | 6 | 4 | 3 | 2 | 7 | Johnson SB |
| 3243 | Çscd3 | 9 | 1 | 2 | 4 | 6 | 3 | 7 | 8 | 5 | Gamma-2p |
| 3244 | Çscd3 | 7 | 2 | 9 | 3 | 1 | 4 | 6 | 5 | 8 | Lognormal-2p |
| 3245 | Çscd3 | 8 | 4 | 9 | 1 | 5 | 2 | 6 | 3 | 7 | Johnson SB |
| 3246 | Çscd3 | 6 | 3 | 9 | 7 | 1 | 2 | 5 | 4 | 8 | Lognormal-2p |
| 3247 | Çscd3 | 8 | 3 | 7 | 1 | 2 | 4 | 5 | 6 | 9 | Johnson SB |
| 3248 | Çscd3 | 8 | 3 | 7 | 4 | 2 | 1 | 6 | 5 | 9 | Lognormal-3p |
| 3249 | Çscd3 | 8 | 5 | 3 | 9 | 2 | 1 | 7 | 6 | 4 | Lognormal-3p |
| 3250 | Çscd3 | 9 | 7 | 5 | 1 | 8 | 4 | 3 | 2 | 6 | Johnson SB |
| 3251 | Çscd3 | 8 | 2 | 9 | 1 | 4 | 6 | 5 | 3 | 7 | Johnson SB |
| 3252 | Çscd3 | 9 | 8 | 6 | 1 | 7 | 5 | 3 | 2 | 4 | Johnson SB |
| 3253 | Çscd3 | 5 | 2 | 6 | 7 | 1 | 9 | 4 | 3 | 8 | Lognormal-2p |
| 3254 | Çscd3 | 9 | 7 | 6 | 2 | 8 | 5 | 4 | 1 | 3 | Weibull-2p |
| 3255 | Çscd3 | 6 | 4 | 8 | 5 | 3 | 9 | 2 | 1 | 7 | Weibull-2p |
| 3256 | Çscd3 | 9 | 7 | 5 | 3 | 8 | 2 | 4 | 1 | 6 | Weibull-2p |
| 3257 | Çscd3 | 9 | 7 | 2 | 5 | 8 | 3 | 4 | 1 | 6 | Weibull-2p |
| 3258 | Çscd3 | 7 | 6 | 3 | 8 | 5 | 4 | 1 | 2 | Çözümsüz | Normal |
| 3259 | Çscd3 | 9 | 7 | 6 | 1 | 8 | 5 | 4 | 2 | 3 | Johnson SB |
| 3260 | Çscd3 | 9 | 8 | 3 | 1 | 7 | 6 | 4 | 2 | 5 | Johnson SB |
| 3261 | Çscd3 | 3 | 8 | 7 | 1 | 9 | 6 | 5 | 2 | 4 | Johnson SB |
| 3262 | Çscd3 | 9 | 5 | 3 | 1 | 6 | 2 | 7 | 8 | 4 | Johnson SB |
| 3263 | Çscd3 | 9 | 7 | 5 | 2 | 8 | 4 | 3 | 6 | 1 | Weibull-3p |
| 3264 | Çscd3 | 9 | 4 | 5 | 1 | 7 | 6 | 3 | 8 | 2 | Johnson SB |
| 3265 | Çscd3 | 8 | 7 | 4 | 9 | 6 | 3 | 5 | 2 | 1 | Weibull-3p |
| 3266 | Çscd3 | 7 | 6 | 9 | 1 | 3 | 4 | 5 | 2 | 8 | Johnson SB |
| 3267 | Çscd3 | 9 | 7 | 5 | 1 | 8 | 4 | 3 | 2 | 6 | Johnson SB |
| 3268 | Çscd3 | 9 | 7 | 5 | 1 | 8 | 4 | 3 | 2 | 6 | Johnson SB |
| 3269 | Çscd3 | 9 | 7 | 6 | 1 | 8 | 5 | 4 | 3 | 2 | Johnson SB |
| 3270 | Çscd3 | 5 | 1 | 2 | 4 | 7 | 3 | 8 | 9 | 6 | Gamma-2p |
| 3271 | Çscd3 | 9 | 4 | 6 | 1 | 5 | 3 | 2 | 7 | 8 | Johnson SB |
| 3272 | Çscd3 | 4 | 3 | 1 | Çözümsüz | 7 | 2 | 5 | 8 | 6 | Gamma-3p |
| 3273 | Çsd1 | 7 | 4 | 9 | 1 | 3 | 2 | 6 | 5 | 8 | Johnson SB |
| 3274 | Çsd1 | 7 | 4 | 9 | 6 | 3 | 8 | 2 | 1 | 5 | Weibull-2p |
| 3275 | Çsd1 | 8 | 6 | 5 | 1 | 7 | 4 | 3 | 2 | Çözümsüz | Johnson SB |
| 3276 | Çsd1 | 7 | 6 | 4 | 8 | 5 | 2 | 3 | 1 | Çözümsüz | Weibull-2p |
| 3277 | Çsd1 | 8 | 5 | 3 | 7 | 6 | 2 | 1 | 4 | Çözümsüz | Normal |
| 3278 | Çsd1 | 7 | 6 | 4 | 8 | 5 | 2 | 3 | 1 | Çözümsüz | Weibull-2p |
| 3279 | Çsd1 | 9 | 8 | 5 | 2 | 7 | 4 | 3 | 6 | 1 | Weibull-3p |
| 3280 | Çsd1 | 9 | 7 | 5 | 2 | 8 | 4 | 3 | 6 | 1 | Weibull-3p |
| 3281 | Çsd1 | 9 | 5 | 2 | 8 | 4 | 1 | 6 | 7 | 3 | Lognormal-3p |
| 3282 | Çsd1 | 6 | 3 | 9 | 1 | 4 | 8 | 5 | 2 | 7 | Johnson SB |
| 3283 | Çsd1 | 9 | 7 | 6 | 3 | 8 | 5 | 4 | 1 | 2 | Weibull-2p |
| 3284 | Çsd1 | 9 | 7 | 6 | 3 | 8 | 5 | 4 | 1 | 2 | Weibull-2p |
| 3285 | Çsd1 | 5 | 2 | 6 | Çözümsüz | 4 | --- | 3 | 1 | 7 | Weibull-2p |
| 3286 | Çsd1 | 6 | 4 | 8 | 7 | 1 | 2 | 5 | 3 | 9 | Lognormal-2p |
| 3287 | Çsd1 | 8 | 5 | 9 | 6 | 4 | 2 | 1 | 3 | 7 | Normal |
| 3288 | Çsd1 | 8 | 7 | 5 | 2 | 9 | 4 | 3 | 6 | 1 | Weibull-3p |
| 3289 | Çsd1 | 7 | 6 | 3 | 8 | 5 | 2 | 1 | 4 | Çözümsüz | Normal |
| 3290 | Çsd2 | 9 | 6 | 3 | 1 | 7 | 2 | 5 | 8 | 4 | Johnson SB |

Tablo 4.6.'nın devamı

| Örnek Alan No | Mesjere Tipi | Olasılık Yoğunluk Fonksiyonları | | | | | | | | | En Başarılı Dağılım |
|---------------|--------------|---------------------------------|----------|----------|------------|--------------|--------------|--------|------------|------------|---------------------|
| | | Beta | Gamma-2p | Gamma-3p | Johnson SB | Lognormal-2p | Lognormal-3p | Normal | Weibull-2p | Weibull-3p | |
| 3291 | Çsd2 | 8 | 5 | 4 | 1 | 7 | 3 | 2 | 6 | Çözümsüz | Johnson SB |
| 3292 | Çsd2 | 9 | 7 | 6 | 1 | 8 | 5 | 3 | 4 | 2 | Johnson SB |
| 3293 | Çsd2 | 9 | 5 | 2 | 1 | 4 | 3 | 7 | 8 | 6 | Johnson SB |
| 3294 | Çsd2 | 8 | 5 | 3 | 7 | 6 | 2 | 1 | 4 | Çözümsüz | Normal |
| 3295 | Çsd2 | 7 | 6 | 4 | 8 | 5 | 2 | 3 | 1 | Çözümsüz | Weibull-2p |
| 3296 | Çsd2 | 9 | 7 | 5 | 1 | 8 | 4 | 3 | 6 | 2 | Johnson SB |
| 3297 | Çsd2 | 8 | 7 | 5 | 9 | 6 | 4 | 3 | 2 | 1 | Weibull-3p |
| 3298 | Çsd2 | 9 | 6 | 4 | 8 | 7 | 3 | 2 | 5 | 1 | Weibull-3p |
| 3299 | Çsd2 | 6 | 8 | 4 | 9 | 7 | 3 | 2 | 5 | 1 | Weibull-3p |
| 3300 | Çsd2 | 8 | 6 | 4 | 5 | 7 | 2 | 1 | 3 | Çözümsüz | Normal |
| 3301 | Çsd2 | 8 | 6 | 4 | 1 | 7 | 3 | 2 | 5 | Çözümsüz | Johnson SB |
| 3302 | Çsd2 | 7 | 5 | 9 | 6 | 4 | 2 | 1 | 3 | 8 | Normal |
| 3303 | Çsd2 | 7 | 5 | 9 | 6 | 4 | 3 | 2 | 1 | 8 | Weibull-2p |
| 3304 | Çsd2 | 7 | 5 | 2 | 9 | 4 | 1 | 8 | 6 | 3 | Lognormal-3p |
| 3305 | Çsd2 | 7 | 3 | 9 | 6 | 1 | 2 | 5 | 4 | 8 | Lognormal-2p |
| 3306 | Çsd2 | 9 | 7 | 6 | 1 | 8 | 5 | 3 | 4 | 2 | Johnson SB |
| 3307 | Çsd2 | 1 | 7 | 5 | Çözümsüz | 8 | 4 | 2 | 6 | 3 | Beta |
| 3308 | Çsd2 | 6 | 4 | 9 | 7 | 1 | 2 | 5 | 3 | 8 | Lognormal-2p |
| 3309 | Çsd2 | 6 | 2 | 7 | 5 | 3 | 9 | 4 | 1 | 8 | Weibull-2p |
| 3310 | Çsd2 | 7 | 3 | 9 | 1 | 2 | 4 | 6 | 5 | 8 | Johnson SB |
| 3311 | Çsd2 | 9 | 7 | 5 | 1 | 8 | 4 | 3 | 6 | 2 | Johnson SB |
| 3312 | Çsd2 | 9 | 7 | 6 | 2 | 8 | 5 | 3 | 4 | 1 | Weibull-3p |
| 3313 | Çsd2 | 9 | 5 | 3 | 1 | 6 | 4 | 8 | 7 | 2 | Johnson SB |
| 3314 | Çsd2 | 9 | 7 | 5 | 1 | 8 | 4 | 3 | 2 | 6 | Johnson SB |
| 3315 | Çsd2 | 7 | 5 | 9 | 1 | 4 | 6 | 3 | 2 | 8 | Johnson SB |
| 3316 | Çsd2 | 9 | 7 | 6 | 1 | 8 | 5 | 3 | 4 | 2 | Johnson SB |
| 3317 | Çsd3 | 9 | 8 | 3 | 1 | 7 | 4 | 6 | 2 | 5 | Johnson SB |
| 3318 | Çsd3 | 8 | 7 | 5 | 1 | 6 | 4 | 3 | 2 | Çözümsüz | Johnson SB |
| 3319 | Çsd3 | 6 | 4 | 9 | 5 | 3 | 8 | 2 | 1 | 7 | Weibull-2p |
| 3320 | Çsd3 | 9 | 6 | 4 | 8 | 7 | 3 | 2 | 5 | 1 | Weibull-3p |
| 3321 | Çsd3 | 9 | 7 | 5 | 2 | 8 | 4 | 3 | 6 | 1 | Weibull-3p |
| 3322 | Çsd3 | 8 | 5 | 9 | 6 | 4 | 3 | 2 | 1 | 7 | Weibull-2p |
| 3323 | Çsd3 | 9 | 2 | 5 | 3 | 1 | 4 | 6 | 8 | 7 | Lognormal-2p |

Tablo 4.7. Olasılık yoğunluk fonksiyonlarının Ki-kare (X^2) istatistiğine göre sıralamaları (I. Bonitet)

| Örnek Alan No | Meşçere Tipi | Olasılık Yoğunluk Fonksiyonları | | | | | | | | | En Başarılı Dağılım |
|---------------|--------------|---------------------------------|----------|----------|------------|--------------|--------------|--------|------------|------------|---------------------|
| | | Beta | Gamma-2p | Gamma-3p | Johnson SB | Lognormal-2p | Lognormal-3p | Normal | Weibull-2p | Weibull-3p | |
| 1001 | Çsb1 | --- | 2 | 5 | Çözümsüz | 4 | --- | 3 | 1 | --- | Weibull-2p |
| 1002 | Çsb1 | 6 | 4 | --- | 2 | 5 | 7 | 1 | 3 | --- | Normal |
| 1003 | Çsb1 | 6 | 3 | --- | 1 | 5 | --- | 4 | 2 | 7 | Johnson SB |
| 1004 | Çsb2 | 6 | 2 | --- | 1 | 5 | 8 | 4 | 3 | 7 | Johnson SB |
| 1005 | Çsb2 | --- | 2 | --- | 1 | 5 | --- | 4 | 3 | --- | Johnson SB |
| 1006 | Çsb3 | 5 | 2 | --- | --- | 4 | --- | 3 | 1 | --- | Weibull-2p |
| 1007 | Çsb3 | 6 | 2 | --- | 1 | 3 | --- | 5 | 4 | --- | Johnson SB |
| 1008 | Çsb3 | 3 | 4 | 2 | 1 | 7 | --- | 6 | 5 | 8 | Johnson SB |
| 1009 | Çsb3 | 6 | 3 | 7 | 1 | 5 | --- | 4 | 2 | --- | Johnson SB |
| 1010 | Çsb3 | 8 | 5 | 4 | 1 | 6 | 3 | 2 | 7 | --- | Johnson SB |
| 1011 | Çsb3 | Çözümsüz | 3 | 2 | Çözümsüz | 6 | 4 | 5 | 7 | 1 | Weibull-3p |
| 1012 | Çsb3 | --- | 6 | 5 | 1 | 7 | 4 | 2 | 8 | 3 | Johnson SB |
| 1013 | Çsb3 | --- | 2 | 4 | 1 | 5 | 3 | 8 | 7 | 6 | Johnson SB |
| 1014 | Çsb3 | 7 | 3 | 9 | 2 | 4 | 5 | 1 | 8 | 6 | Normal |
| 1015 | Çsb3 | --- | 6 | 5 | 1 | 7 | 4 | 3 | 8 | 2 | Johnson SB |
| 1016 | Çsb3 | 6 | 3 | 7 | 1 | 5 | --- | 4 | 2 | --- | Johnson SB |
| 1017 | Çsb3 | 6 | 2 | --- | 5 | 1 | 7 | 3 | 4 | 8 | Lognormal-2p |
| 1018 | Çsb3 | --- | 1 | 6 | 5 | 3 | --- | 2 | 4 | --- | Gamma-2p |
| 1019 | Çsb3 | 5 | 1 | 6 | --- | 2 | --- | 3 | 4 | --- | Gamma-2p |
| 1020 | Çsb3 | 6 | 1 | 7 | 2 | 3 | --- | 4 | 5 | 8 | Gamma-2p |
| 1021 | Çsb3 | 9 | 1 | 7 | 4 | 3 | 6 | 5 | 8 | 2 | Gamma-2p |
| 1022 | Çsb3 | 6 | 2 | --- | 1 | 3 | --- | 5 | 4 | --- | Johnson SB |
| 1023 | Çsb3 | 6 | 2 | --- | 1 | 5 | --- | 4 | 3 | 7 | Johnson SB |
| 1024 | Çsb3 | 7 | 2 | --- | 1 | 4 | 6 | 5 | 3 | 8 | Johnson SB |
| 1025 | Çsb3 | 6 | 4 | --- | 1 | 2 | --- | 3 | 5 | 7 | Johnson SB |
| 1026 | Çsb3 | 7 | 3 | --- | 1 | 5 | 4 | 2 | 6 | --- | Johnson SB |
| 1027 | Çsb3 | 6 | 5 | --- | 1 | 4 | --- | 3 | 2 | --- | Johnson SB |
| 1028 | Çsb3 | 1 | 2 | --- | --- | 5 | --- | 4 | 3 | --- | Beta |
| 1029 | Çsb3 | --- | 3 | --- | 1 | 5 | --- | 4 | 2 | --- | Johnson SB |
| 1030 | Çsb3 | 6 | 2 | --- | 4 | 3 | 5 | 1 | 7 | --- | Normal |
| 1031 | Çsb3 | 6 | 7 | 3 | 2 | 4 | 5 | 9 | 8 | 1 | Weibull-3p |
| 1032 | Çsb3 | 1 | 2 | --- | Çözümsüz | 5 | --- | 3 | 4 | --- | Beta |
| 1033 | Çsb3 | 6 | 4 | --- | 1 | 5 | --- | 3 | 2 | --- | Johnson SB |
| 1034 | Çsb3 | 7 | 3 | 4 | 1 | 5 | 2 | 9 | 8 | 6 | Johnson SB |
| 1035 | Çsb3 | --- | 1 | 6 | 4 | 5 | 7 | 2 | 3 | --- | Gamma-2p |
| 1036 | Çsbc2 | 6 | 3 | --- | 1 | 2 | --- | 5 | 4 | --- | Johnson SB |
| 1037 | Çsbc2 | 6 | 2 | 7 | 1 | 5 | --- | 3 | 4 | --- | Johnson SB |
| 1038 | Çsbc2 | --- | 4 | 3 | 8 | 6 | 2 | 7 | 1 | 5 | Weibull-2p |
| 1039 | Çsbc2 | 7 | 2 | 8 | 1 | 3 | 4 | 5 | 6 | --- | Johnson SB |
| 1040 | Çsbc2 | 8 | 5 | 4 | 7 | 6 | 3 | 2 | 1 | Çözümsüz | Weibull-2p |
| 1041 | Çsbc3 | 1 | 3 | 5 | 2 | 6 | 4 | 9 | 8 | 7 | Beta |
| 1042 | Çsbc3 | 9 | 7 | 8 | 6 | 1 | 5 | 4 | 3 | 2 | Lognormal-2p |
| 1043 | Çsbc3 | 4 | 6 | 3 | 2 | 7 | 1 | 9 | 8 | 5 | Lognormal-3p |
| 1044 | Çsbc3 | 8 | 5 | 7 | 1 | 6 | 2 | 4 | 3 | 9 | Johnson SB |
| 1045 | Çsbc3 | 8 | 5 | 1 | 4 | 7 | 6 | 3 | 9 | 2 | Gamma-3p |
| 1046 | Çsbc3 | --- | 6 | 7 | 2 | 1 | 8 | 4 | 3 | 5 | Lognormal-2p |
| 1047 | Çsbc3 | 1 | 9 | 7 | 2 | 3 | 6 | 5 | 4 | 8 | Beta |
| 1048 | Çsbc3 | --- | 7 | 5 | 1 | 8 | 4 | 3 | 2 | 6 | Johnson SB |
| 1049 | Çsbc3 | 7 | 3 | 8 | 1 | 4 | 2 | 6 | 5 | --- | Johnson SB |
| 1050 | Çsbc3 | 6 | 1 | --- | 2 | 5 | --- | 3 | 4 | --- | Gamma-2p |
| 1051 | Çsbc3 | --- | 4 | 3 | --- | 2 | 1 | 7 | 6 | 5 | Lognormal-3p |
| 1052 | Çsbc3 | 7 | 3 | --- | 2 | 1 | 4 | 6 | 5 | 8 | Lognormal-2p |
| 1053 | Çsbc3 | --- | 3 | --- | 2 | 5 | 6 | 7 | 4 | 1 | Weibull-3p |
| 1054 | Çsbc3 | 1 | 6 | 4 | Çözümsüz | 5 | 3 | 8 | 7 | 2 | Beta |
| 1055 | Çsbc3 | 7 | 1 | 6 | 4 | 5 | --- | 3 | 2 | 8 | Gamma-2p |
| 1056 | Çsbc3 | 9 | 2 | 1 | 4 | 8 | 7 | 5 | 3 | 6 | Gamma-3p |
| 1057 | Çsbc3 | 7 | 5 | --- | 1 | 2 | 4 | 3 | 6 | --- | Johnson SB |

Tablo 4.7.'nin devamı

| Örnek Alan No | Mesçere Tipi | Olasılık Yoğunluk Fonksiyonları | | | | | | | | | En Başarılı Dağılım |
|---------------|--------------|---------------------------------|----------|----------|------------|--------------|--------------|--------|------------|------------|---------------------|
| | | Beta | Gamma-2p | Gamma-3p | Johnson SB | Lognormal-2p | Lognormal-3p | Normal | Weibull-2p | Weibull-3p | |
| 1058 | Çsbc3 | --- | 2 | --- | 4 | 5 | --- | 1 | 3 | --- | Normal |
| 1059 | Çsbc3 | 7 | 5 | --- | 1 | 6 | 4 | 3 | 2 | --- | Johnson SB |
| 1060 | Çsbc3 | --- | 2 | 6 | 3 | 1 | 5 | 7 | 8 | 4 | Lognormal-2p |
| 1061 | Çsbc3 | Çözümsüz | 5 | 2 | Çözümsüz | 3 | 4 | 6 | 7 | 1 | Weibull-3p |
| 1062 | Çsbc3 | 4 | 3 | 5 | 1 | 6 | 8 | 7 | 9 | 2 | Johnson SB |
| 1063 | Çsbc3 | 6 | 3 | 8 | 5 | 4 | --- | 2 | 1 | 7 | Weibull-2p |
| 1064 | Çsbc3 | --- | 3 | 7 | 4 | 5 | 2 | 1 | 6 | 8 | Normal |
| 1065 | Çsbc3 | 1 | 4 | 6 | 2 | 5 | 7 | 8 | 9 | 3 | Beta |
| 1066 | Çsbc3 | 5 | 4 | --- | --- | 3 | 6 | 1 | 2 | --- | Normal |
| 1067 | Çsbc3 | 8 | 3 | --- | 2 | 4 | 1 | 6 | 5 | 7 | Lognormal-3p |
| 1068 | Çsbc3 | 4 | 2 | --- | --- | 1 | --- | 6 | 3 | 5 | Lognormal-2p |
| 1069 | Çsbc3 | --- | 4 | --- | --- | 3 | 1 | 5 | 2 | --- | Lognormal-3p |
| 1070 | Çsbc3 | 6 | 1 | 7 | 2 | 4 | --- | 5 | 3 | --- | Gamma-2p |
| 1071 | Çsc1 | 7 | 8 | 5 | 9 | 2 | 4 | 3 | 6 | 1 | Weibull-3p |
| 1072 | Çsc1 | 9 | 3 | 8 | 2 | 1 | 7 | 6 | 5 | 4 | Lognormal-2p |
| 1073 | Çsc1 | 6 | 1 | --- | 5 | 4 | --- | 2 | 3 | 7 | Gamma-2p |
| 1074 | Çsc2 | --- | 5 | --- | 4 | 3 | --- | 1 | 2 | --- | Normal |
| 1075 | Çsc2 | 7 | 4 | 6 | 1 | 2 | --- | 3 | 5 | --- | Johnson SB |
| 1076 | Çsc2 | --- | 5 | 7 | 1 | 3 | 6 | 2 | 4 | --- | Johnson SB |
| 1077 | Çsc2 | Çözümsüz | 2 | 4 | Çözümsüz | 1 | 3 | 6 | 5 | 7 | Lognormal-2p |
| 1078 | Çsc2 | 2 | 3 | --- | --- | 1 | 5 | 4 | 6 | --- | Lognormal-2p |
| 1079 | Çsc2 | 3 | 2 | 6 | --- | 7 | 5 | 4 | 8 | 1 | Weibull-3p |
| 1080 | Çsc2 | --- | 1 | --- | 3 | 6 | 2 | 5 | 4 | --- | Gamma-2p |
| 1081 | Çsc2 | 5 | 4 | 7 | 1 | 9 | 6 | 3 | 8 | 2 | Johnson SB |
| 1082 | Çsc2 | 2 | 1 | 6 | --- | 3 | 5 | 4 | 7 | Çözümsüz | Gamma-2p |
| 1083 | Çsc2 | 5 | 2 | --- | --- | 4 | --- | 3 | 1 | --- | Weibull-2p |
| 1084 | Çsc2 | 8 | 3 | 5 | 1 | 6 | 4 | 9 | 2 | 7 | Johnson SB |
| 1085 | Çsc2 | 6 | 5 | --- | 2 | 3 | --- | 4 | 1 | --- | Weibull-2p |
| 1086 | Çsc2 | 2 | 5 | --- | --- | 1 | --- | 4 | 3 | --- | Lognormal-2p |
| 1087 | Çsc2 | 6 | 1 | --- | 2 | 5 | --- | 4 | 3 | --- | Gamma-2p |
| 1088 | Çsc2 | --- | 3 | --- | 1 | 4 | --- | 2 | 5 | --- | Johnson SB |
| 1089 | Çsc2 | 6 | 5 | 7 | 3 | 1 | 4 | 8 | 9 | 2 | Lognormal-2p |
| 1090 | Çsc2 | 1 | 7 | --- | --- | 3 | 6 | 5 | 2 | 4 | Beta |
| 1091 | Çsc3 | 4 | 8 | 1 | --- | 3 | 2 | 7 | 5 | 6 | Gamma-3p |
| 1092 | Çsc3 | --- | 4 | 8 | 6 | 5 | 7 | 2 | 1 | 3 | Weibull-2p |
| 1093 | Çsc3 | 3 | 7 | 4 | 2 | 5 | 6 | 8 | 9 | 1 | Weibull-3p |
| 1094 | Çsc3 | 4 | 1 | 5 | Çözümsüz | 2 | 6 | 7 | 8 | 3 | Gamma-2p |
| 1095 | Çsc3 | 7 | 5 | 8 | 6 | 4 | 2 | 1 | 3 | --- | Normal |
| 1096 | Çsc3 | --- | 2 | 4 | 1 | 7 | 5 | 3 | 6 | 8 | Johnson SB |
| 1097 | Çsc3 | 4 | 8 | 3 | --- | 7 | 2 | 1 | 5 | 6 | Normal |
| 1098 | Çsc3 | 6 | 5 | --- | --- | 1 | 2 | 7 | 3 | 4 | Lognormal-2p |
| 1099 | Çsc3 | 4 | 1 | 6 | Çözümsüz | 2 | 5 | 7 | 8 | 3 | Gamma-2p |
| 1100 | Çsc3 | --- | 5 | 7 | 4 | 1 | 6 | 3 | 2 | --- | Lognormal-2p |
| 1101 | Çsc3 | 7 | 4 | --- | 5 | 6 | --- | 2 | 3 | 1 | Weibull-3p |
| 1102 | Çsc3 | 3 | 7 | 6 | Çözümsüz | 8 | 5 | 4 | 1 | 2 | Weibull-2p |
| 1103 | Çsc3 | 6 | 5 | --- | --- | 2 | 1 | 3 | 4 | 7 | Lognormal-3p |
| 1104 | Çsc3 | 1 | 6 | 4 | --- | 7 | 5 | 3 | 2 | Çözümsüz | Beta |
| 1105 | Çsc3 | --- | 6 | 4 | 7 | 8 | 3 | 2 | 5 | 1 | Weibull-3p |
| 1106 | Çsc3 | 5 | 4 | 9 | 7 | 6 | 2 | 1 | 3 | 8 | Normal |
| 1107 | Çsc3 | 8 | 6 | 5 | 7 | 1 | 4 | 3 | 2 | 9 | Lognormal-2p |
| 1108 | Çsc3 | --- | 5 | 7 | 1 | 2 | 6 | 4 | 8 | 3 | Johnson SB |
| 1109 | Çsc3 | 9 | 8 | 4 | 1 | 2 | 6 | 5 | 3 | 7 | Johnson SB |
| 1110 | Çsc3 | 8 | 1 | 4 | 7 | 5 | 3 | 2 | 6 | Çözümsüz | Gamma-2p |
| 1111 | Çsc3 | 1 | 6 | 9 | 5 | 4 | 8 | 7 | 3 | 2 | Beta |
| 1112 | Çsc3 | 8 | 4 | 3 | Çözümsüz | 5 | 2 | 1 | 6 | 7 | Normal |
| 1113 | Çsc3 | 6 | 3 | --- | 5 | 4 | --- | 2 | 1 | --- | Weibull-2p |
| 1114 | Çsc3 | 9 | 7 | 4 | 8 | 5 | 3 | 2 | 1 | 6 | Weibull-2p |
| 1115 | Çsc3 | 6 | 2 | 3 | 7 | 5 | 1 | 9 | 8 | 4 | Lognormal-3p |
| 1116 | Çsc3 | --- | 5 | 3 | --- | 4 | 1 | 6 | 7 | 2 | Lognormal-3p |

Tablo 4.7.'nin devamı

| Örnek Alan No | Mesçere Tipi | Olasılık Yoğunluk Fonksiyonları | | | | | | | | | En Başarılı Dağılım |
|---------------|--------------|---------------------------------|----------|----------|------------|--------------|--------------|--------|------------|------------|---------------------|
| | | Beta | Gamma-2p | Gamma-3p | Johnson SB | Lognormal-2p | Lognormal-3p | Normal | Weibull-2p | Weibull-3p | |
| 1117 | Çsc3 | 6 | 5 | --- | --- | 4 | 2 | 1 | 3 | --- | Normal |
| 1118 | Çsc3 | 4 | 5 | --- | --- | 3 | --- | 2 | 1 | --- | Weibull-2p |
| 1119 | Çsc3 | --- | 5 | 3 | --- | 6 | 2 | 1 | 4 | Çözümsüz | Normal |
| 1120 | Çsc3 | --- | 3 | 4 | --- | 2 | 1 | 7 | 5 | 6 | Lognormal-3p |
| 1121 | Çscd1 | 5 | 3 | --- | --- | 4 | --- | 1 | 2 | --- | Normal |
| 1122 | Çscd1 | 3 | 1 | 7 | --- | 8 | 6 | 5 | 4 | 2 | Gamma-2p |
| 1123 | Çscd1 | 3 | 6 | 8 | --- | 2 | 5 | 4 | 1 | 7 | Weibull-2p |
| 1124 | Çscd1 | 1 | 7 | 6 | 2 | 9 | 5 | 4 | 8 | 3 | Beta |
| 1125 | Çscd1 | 5 | 4 | --- | --- | 2 | 6 | 3 | 1 | --- | Weibull-2p |
| 1126 | Çscd1 | --- | 4 | 3 | --- | 5 | 2 | 1 | 6 | Çözümsüz | Normal |
| 1127 | Çscd1 | --- | 4 | --- | 6 | 1 | 3 | 2 | 5 | --- | Lognormal-2p |
| 1128 | Çscd1 | 5 | 4 | --- | 7 | 6 | 2 | 1 | 3 | 8 | Normal |
| 1129 | Çscd1 | 1 | 7 | --- | --- | 4 | 6 | 2 | 5 | 3 | Beta |
| 1130 | Çscd1 | --- | 6 | 4 | 7 | 1 | 3 | 2 | 8 | 5 | Lognormal-2p |
| 1131 | Çscd1 | --- | 3 | 6 | 2 | 1 | 5 | 4 | 7 | 8 | Lognormal-2p |
| 1132 | Çscd2 | 8 | 6 | --- | 5 | 2 | 3 | 7 | 1 | 4 | Weibull-2p |
| 1133 | Çscd2 | 6 | 2 | --- | --- | 1 | 5 | 4 | 3 | --- | Lognormal-2p |
| 1134 | Çscd2 | 2 | 6 | 4 | Çözümsüz | 7 | 3 | 1 | 8 | 5 | Normal |
| 1135 | Çscd2 | --- | 4 | 3 | 8 | 5 | 2 | 1 | 6 | 7 | Normal |
| 1136 | Çscd2 | 3 | 7 | 5 | Çözümsüz | 1 | 4 | 6 | 8 | 2 | Lognormal-2p |
| 1137 | Çscd2 | 5 | 9 | 3 | 6 | 7 | 2 | 1 | 4 | 8 | Normal |
| 1138 | Çscd2 | --- | 6 | 5 | 3 | 2 | 1 | 8 | 7 | 4 | Lognormal-3p |
| 1139 | Çscd2 | --- | 5 | 4 | --- | 7 | 2 | 1 | 6 | 3 | Normal |
| 1140 | Çscd2 | 6 | 8 | 3 | --- | 5 | 1 | 7 | 4 | 2 | Lognormal-3p |
| 1141 | Çscd2 | 6 | 3 | 7 | 2 | 5 | --- | 4 | 1 | --- | Weibull-2p |
| 1142 | Çscd2 | --- | 8 | 4 | 2 | 7 | 5 | 6 | 3 | 1 | Weibull-3p |
| 1143 | Çscd2 | --- | 6 | 4 | 1 | 8 | 3 | 2 | 5 | 7 | Johnson SB |
| 1144 | Çscd2 | 6 | 2 | 7 | 4 | 1 | 8 | 9 | 5 | 3 | Lognormal-2p |
| 1145 | Çscd2 | Çözümsüz | 1 | 3 | 4 | 7 | 2 | 6 | 8 | 5 | Gamma-2p |
| 1146 | Çscd2 | 3 | 8 | 4 | --- | 7 | 6 | 5 | 2 | 1 | Weibull-3p |
| 1147 | Çscd2 | 7 | 2 | 8 | --- | 4 | 5 | 1 | 3 | 6 | Normal |
| 1148 | Çscd2 | 6 | 8 | 3 | --- | 7 | 4 | 2 | 5 | 1 | Weibull-3p |
| 1149 | Çscd2 | --- | 5 | 3 | Çözümsüz | 1 | 4 | 7 | 6 | 2 | Lognormal-2p |
| 1150 | Çscd2 | --- | 7 | 1 | 6 | 5 | 2 | 3 | 4 | Çözümsüz | Gamma-3p |
| 1151 | Çscd2 | 1 | 4 | --- | --- | 2 | 6 | 3 | 5 | --- | Beta |
| 1152 | Çscd2 | 8 | 6 | 2 | --- | 7 | 3 | 4 | 1 | 5 | Weibull-2p |
| 1153 | Çscd2 | 6 | 1 | --- | 2 | 3 | --- | 4 | 5 | --- | Gamma-2p |
| 1154 | Çscd2 | 6 | 2 | 7 | 1 | 4 | --- | 5 | 3 | --- | Johnson SB |
| 1155 | Çscd2 | --- | 5 | --- | 3 | 4 | 1 | 6 | 2 | --- | Lognormal-3p |
| 1156 | Çscd2 | 3 | 2 | 7 | --- | 6 | 1 | 4 | 5 | --- | Lognormal-3p |
| 1157 | Çscd2 | 4 | 2 | --- | --- | 3 | --- | 5 | 1 | --- | Weibull-2p |
| 1158 | Çscd2 | 6 | 7 | --- | 1 | 5 | 2 | 4 | 3 | --- | Johnson SB |
| 1159 | Çscd2 | --- | 2 | 6 | 7 | 8 | 5 | 4 | 3 | 1 | Weibull-3p |
| 1160 | Çscd2 | --- | 7 | 3 | 1 | 6 | 5 | 4 | 8 | 2 | Johnson SB |
| 1161 | Çscd2 | --- | 3 | --- | 5 | 1 | 2 | 6 | 4 | --- | Lognormal-2p |
| 1162 | Çscd3 | 2 | 6 | --- | --- | 3 | 4 | 7 | 5 | 1 | Weibull-3p |
| 1163 | Çscd3 | Çözümsüz | 7 | 5 | Çözümsüz | 2 | 4 | 3 | 1 | 6 | Weibull-2p |
| 1164 | Çscd3 | 7 | 1 | 5 | Çözümsüz | 8 | 6 | 4 | 3 | 2 | Gamma-2p |
| 1165 | Çscd3 | 5 | 3 | --- | --- | 4 | --- | 2 | 1 | 6 | Weibull-2p |
| 1166 | Çscd3 | 4 | 5 | 8 | 7 | 2 | 1 | 3 | 9 | 6 | Lognormal-3p |
| 1167 | Çscd3 | 6 | 2 | 5 | 4 | 1 | 3 | 7 | 8 | 9 | Lognormal-2p |
| 1168 | Çscd3 | 6 | 1 | --- | 3 | 2 | --- | 5 | 4 | --- | Gamma-2p |
| 1169 | Çscd3 | 4 | 1 | 6 | 3 | 9 | 7 | 8 | 5 | 2 | Gamma-2p |
| 1170 | Çscd3 | 2 | 4 | --- | 1 | 5 | 6 | 3 | 7 | --- | Johnson SB |
| 1171 | Çscd3 | 9 | 2 | 3 | 7 | 1 | 4 | 5 | 8 | 6 | Lognormal-2p |
| 1172 | Çscd3 | --- | 2 | 7 | 5 | 3 | 6 | 1 | 8 | 4 | Normal |
| 1173 | Çscd3 | 2 | 8 | 5 | Çözümsüz | 6 | 4 | 3 | 7 | 1 | Weibull-3p |
| 1174 | Çscd3 | 9 | 8 | 4 | 2 | 5 | 7 | 1 | 6 | 3 | Normal |

Tablo 4.7.'nin devamı

| Örnek Alan No | Mesçere Tipi | Olasılık Yoğunluk Fonksiyonları | | | | | | | | | En Başarılı Dağılım |
|---------------|--------------|---------------------------------|----------|----------|------------|--------------|--------------|--------|------------|------------|---------------------|
| | | Beta | Gamma-2p | Gamma-3p | Johnson SB | Lognormal-2p | Lognormal-3p | Normal | Weibull-2p | Weibull-3p | |
| 1175 | Çscd3 | --- | 5 | --- | 4 | 3 | --- | 1 | 2 | --- | Normal |
| 1176 | Çscd3 | 5 | 2 | 4 | 8 | 9 | 1 | 6 | 7 | 3 | Lognormal-3p |
| 1177 | Çscd3 | Çözümsüz | 5 | 4 | Çözümsüz | 2 | 3 | 7 | 6 | 1 | Weibull-3p |
| 1178 | Çscd3 | 6 | 1 | --- | 4 | 7 | 5 | 3 | 2 | --- | Gamma-2p |
| 1179 | Çscd3 | 2 | 3 | 5 | 7 | 9 | 8 | 1 | 4 | 6 | Normal |
| 1180 | Çscd3 | Çözümsüz | 4 | 3 | Çözümsüz | 5 | 2 | 1 | 7 | 6 | Normal |
| 1181 | Çscd3 | 6 | 2 | --- | 3 | 5 | --- | 1 | 4 | --- | Normal |
| 1182 | Çscd3 | 7 | 3 | 6 | 5 | 8 | 4 | 1 | 2 | 9 | Normal |
| 1183 | Çscd3 | --- | 4 | 6 | 3 | 2 | 1 | 5 | 7 | 8 | Lognormal-3p |
| 1184 | Çscd3 | 5 | 9 | 4 | 6 | 1 | 3 | 7 | 8 | 2 | Lognormal-2p |
| 1185 | Çscd3 | 4 | 2 | --- | --- | 5 | --- | 1 | 3 | 6 | Normal |
| 1186 | Çscd3 | 2 | 7 | 4 | --- | 1 | 5 | 3 | 6 | Çözümsüz | Lognormal-2p |
| 1187 | Çscd3 | 5 | 4 | --- | --- | 3 | --- | 2 | 1 | 6 | Weibull-2p |
| 1188 | Çscd3 | 1 | 6 | --- | --- | 4 | 2 | 3 | 5 | --- | Beta |
| 1189 | Çscd3 | 6 | 3 | --- | 4 | 2 | 8 | 5 | 1 | 7 | Weibull-2p |
| 1190 | Çscd3 | 8 | 2 | 6 | --- | 5 | 1 | 4 | 3 | 7 | Lognormal-3p |
| 1191 | Çscd3 | 1 | 6 | --- | --- | 5 | 2 | 3 | 4 | --- | Beta |
| 1192 | Çsd1 | 3 | 5 | --- | 1 | 6 | 2 | 4 | 7 | --- | Johnson SB |
| 1193 | Çsd1 | 6 | 4 | --- | 1 | 5 | --- | 3 | 2 | --- | Johnson SB |
| 1194 | Çsd1 | 7 | 8 | 4 | 9 | 2 | 1 | 5 | 6 | 3 | Lognormal-3p |
| 1195 | Çsd1 | 6 | 3 | --- | 1 | 5 | --- | 4 | 2 | --- | Johnson SB |
| 1196 | Çsd1 | 5 | 3 | 7 | --- | 1 | 6 | 4 | 2 | --- | Lognormal-2p |
| 1197 | Çsd1 | 2 | 6 | 1 | 9 | 7 | 3 | 8 | 4 | 5 | Gamma-3p |
| 1198 | Çsd1 | 2 | 3 | --- | --- | 5 | --- | 4 | 1 | --- | Weibull-2p |
| 1199 | Çsd1 | 7 | 4 | 3 | 6 | 5 | 2 | 1 | 9 | 8 | Normal |
| 1200 | Çsd1 | --- | 1 | 3 | 6 | 5 | 2 | 8 | 4 | 7 | Gamma-2p |
| 1201 | Çsd2 | 1 | 8 | 7 | 3 | 2 | 6 | 5 | 9 | 4 | Beta |
| 1202 | Çsd2 | 3 | 1 | 5 | Çözümsüz | 8 | 4 | 7 | 6 | 2 | Gamma-2p |
| 1203 | Çsd2 | 3 | 7 | 2 | --- | 4 | 1 | 6 | 5 | Çözümsüz | Lognormal-3p |
| 1204 | Çsd2 | --- | 5 | 2 | Çözümsüz | 7 | 4 | 3 | 1 | 6 | Weibull-2p |
| 1205 | Çsd2 | 6 | 5 | 2 | --- | 1 | 4 | 7 | 8 | 3 | Lognormal-2p |
| 1206 | Çsd2 | 5 | 3 | --- | --- | 4 | --- | 2 | 1 | --- | Weibull-2p |
| 1207 | Çsd2 | 2 | 3 | 6 | --- | 7 | 5 | 4 | 1 | Çözümsüz | Weibull-2p |
| 1208 | Çsd2 | 4 | 5 | 9 | 1 | 3 | 7 | 8 | 2 | 6 | Johnson SB |
| 1209 | Çsd2 | 3 | 1 | 7 | Çözümsüz | 4 | 6 | 5 | 8 | 2 | Gamma-2p |
| 1210 | Çsd2 | 8 | 1 | 4 | 7 | 5 | 2 | 3 | 6 | Çözümsüz | Gamma-2p |
| 1211 | Çsd2 | 3 | 1 | 2 | 7 | 8 | 4 | 5 | 9 | 6 | Gamma-2p |
| 1212 | Çsd2 | 5 | 9 | 7 | 6 | 8 | 4 | 3 | 1 | 2 | Weibull-2p |
| 1213 | Çsd2 | 2 | 1 | 5 | 8 | 4 | 6 | 7 | 3 | 9 | Gamma-2p |
| 1214 | Çsd2 | 8 | 5 | 4 | 6 | 9 | 3 | 2 | 7 | 1 | Weibull-3p |
| 1215 | Çsd2 | --- | 3 | 6 | 2 | 1 | 5 | 4 | 7 | Çözümsüz | Lognormal-2p |
| 1216 | Çsd2 | --- | 1 | 7 | 4 | 2 | 6 | 5 | 8 | 3 | Gamma-2p |
| 1217 | Çsd2 | 8 | 2 | 4 | 9 | 1 | 6 | 7 | 5 | 3 | Lognormal-2p |
| 1218 | Çsd2 | 3 | 5 | --- | --- | 6 | 2 | 1 | 4 | --- | Normal |
| 1219 | Çsd2 | 6 | 7 | 5 | --- | 4 | 2 | 3 | 1 | Çözümsüz | Weibull-2p |
| 1220 | Çsd2 | 5 | 8 | 7 | --- | 3 | 4 | 2 | 1 | 6 | Weibull-2p |
| 1221 | Çsd2 | 8 | 7 | --- | 5 | 1 | 2 | 6 | 3 | 4 | Lognormal-2p |
| 1222 | Çsd2 | 6 | 5 | 3 | 7 | 9 | 2 | 1 | 4 | 8 | Normal |
| 1223 | Çsd2 | 8 | 7 | 2 | 5 | 1 | 3 | 4 | 9 | 6 | Lognormal-2p |
| 1224 | Çsd2 | 4 | 6 | --- | --- | 5 | 2 | 1 | 3 | Çözümsüz | Normal |
| 1225 | Çsd2 | 9 | 8 | 6 | 2 | 1 | 5 | 4 | 3 | 7 | Lognormal-2p |
| 1226 | Çsd3 | --- | 2 | 4 | --- | 1 | 5 | 3 | 6 | Çözümsüz | Lognormal-2p |
| 1227 | Çsd3 | --- | 7 | 4 | 5 | 8 | 3 | 6 | 1 | 2 | Weibull-2p |
| 1228 | Çsd3 | 7 | 3 | 6 | 1 | 9 | 5 | 4 | 8 | 2 | Johnson SB |
| 1229 | Çsd3 | --- | 7 | 6 | 2 | 8 | 5 | 4 | 1 | 3 | Weibull-2p |
| 1230 | Çsd3 | 1 | 7 | 5 | --- | 3 | 4 | 2 | 6 | Çözümsüz | Beta |
| 1231 | Çsd3 | 1 | 7 | 8 | 2 | 3 | 5 | 4 | 6 | 9 | Beta |
| 1232 | Çsd3 | --- | 4 | 5 | 3 | 6 | 2 | 1 | 7 | Çözümsüz | Normal |

Tablo 4.7.'nin devamı

| Örnek Alan No | Mesçere Tipi | Olasılık Yoğunluk Fonksiyonları | | | | | | | | | En Başarılı Dağılım |
|---------------|--------------|---------------------------------|----------|----------|------------|--------------|--------------|--------|------------|------------|---------------------|
| | | Beta | Gamma-2p | Gamma-3p | Johnson SB | Lognormal-2p | Lognormal-3p | Normal | Weibull-2p | Weibull-3p | |
| 1233 | Çsd3 | 5 | 6 | 4 | 1 | 9 | 3 | 2 | 8 | 7 | Johnson SB |
| 1234 | Çsd3 | --- | 6 | 5 | 2 | 8 | 4 | 3 | 7 | 1 | Weibull-3p |
| 1235 | Çsd3 | 7 | 5 | 2 | --- | 6 | 3 | 4 | 1 | Çözümsüz | Weibull-2p |
| 1236 | Çsd3 | --- | 1 | 2 | 3 | 7 | 5 | 4 | 6 | Çözümsüz | Gamma-2p |
| 1237 | Çsd3 | 7 | 8 | 4 | Çözümsüz | 3 | 5 | 6 | 2 | 1 | Weibull-3p |
| 1238 | Çsd3 | 8 | 2 | --- | 5 | 3 | 6 | 1 | 4 | 7 | Normal |
| 1239 | Çsd3 | 9 | 6 | 5 | 8 | 7 | 4 | 3 | 1 | 2 | Weibull-2p |
| 1240 | Çsd3 | 6 | 4 | 8 | 1 | 5 | 7 | 3 | 2 | --- | Johnson SB |
| 1241 | Çsd3 | 2 | 6 | 7 | 8 | 1 | 3 | 4 | 5 | Çözümsüz | Lognormal-2p |
| 1242 | Çsd3 | 7 | 6 | 2 | --- | 5 | 1 | 4 | 3 | Çözümsüz | Lognormal-3p |
| 1243 | Çsd3 | 1 | 5 | --- | --- | 6 | 2 | 4 | 3 | --- | Beta |

Tablo 4.8. Olasılık yoğunluk fonksiyonlarının Ki-kare (X^2) istatistiğine göre sıralamaları (II. Bonitet)

| Örnek Alan No | Meşçere Tipi | Olasılık Yoğunluk Fonksiyonları | | | | | | | | | En Başarılı Dağılım |
|---------------|--------------|---------------------------------|----------|----------|------------|--------------|--------------|--------|------------|------------|---------------------|
| | | Beta | Gamma-2p | Gamma-3p | Johnson SB | Lognormal-2p | Lognormal-3p | Normal | Weibull-2p | Weibull-3p | |
| 2001 | Çsb1 | 6 | 5 | --- | 1 | 3 | --- | 4 | 2 | 7 | Johnson SB |
| 2002 | Çsb1 | 6 | 2 | --- | 1 | 5 | --- | 4 | 3 | 7 | Johnson SB |
| 2003 | Çsb2 | --- | 2 | --- | 4 | 3 | 1 | 6 | 5 | --- | Lognormal-3p |
| 2004 | Çsb2 | 5 | 6 | 2 | Çözümsüz | 4 | 3 | 7 | 8 | 1 | Weibull-3p |
| 2005 | Çsb2 | 4 | 2 | 1 | 8 | 3 | 7 | 6 | 9 | 5 | Gamma-3p |
| 2006 | Çsb3 | 6 | 2 | --- | 1 | 5 | --- | 3 | 4 | --- | Johnson SB |
| 2007 | Çsb3 | 1 | 8 | 7 | 3 | 2 | 6 | 5 | 9 | 4 | Beta |
| 2008 | Çsb3 | 1 | 2 | 6 | Çözümsüz | 5 | 7 | 4 | 3 | --- | Beta |
| 2009 | Çsb3 | 1 | 2 | --- | --- | 5 | 6 | 4 | 3 | --- | Beta |
| 2010 | Çsb3 | 6 | 2 | --- | 1 | 5 | --- | 4 | 3 | --- | Johnson SB |
| 2011 | Çsb3 | 1 | 3 | 6 | --- | 5 | --- | 4 | 2 | --- | Beta |
| 2012 | Çsb3 | 6 | 2 | --- | 1 | 5 | --- | 4 | 3 | --- | Johnson SB |
| 2013 | Çsb3 | 1 | 2 | 6 | Çözümsüz | 5 | --- | 4 | 3 | --- | Beta |
| 2014 | Çsb3 | 6 | 2 | 7 | 1 | 3 | --- | 4 | 5 | --- | Johnson SB |
| 2015 | Çsb3 | 9 | 1 | 7 | 4 | 2 | 6 | 5 | 3 | 8 | Gamma-2p |
| 2016 | Çsb3 | 3 | 2 | 5 | 4 | 7 | 6 | 8 | 9 | 1 | Weibull-3p |
| 2017 | Çsb3 | 7 | 1 | --- | 3 | 4 | 6 | 5 | 2 | --- | Gamma-2p |
| 2018 | Çsb3 | 7 | 2 | --- | 1 | 3 | 5 | 6 | 4 | --- | Johnson SB |
| 2019 | Çsb3 | --- | 3 | 5 | Çözümsüz | 2 | 4 | 6 | 7 | 1 | Weibull-3p |
| 2020 | Çsb3 | 6 | 2 | --- | 1 | 5 | --- | 4 | 3 | --- | Johnson SB |
| 2021 | Çsb3 | 6 | 2 | --- | 1 | 4 | --- | 5 | 3 | --- | Johnson SB |
| 2022 | Çsb3 | 6 | 2 | 7 | 1 | 5 | --- | 3 | 4 | --- | Johnson SB |
| 2023 | Çsb3 | 6 | 3 | --- | 1 | 4 | 8 | 2 | 5 | 7 | Johnson SB |
| 2024 | Çsb3 | 4 | 2 | 1 | 5 | 3 | 9 | 7 | 8 | 6 | Gamma-3p |
| 2025 | Çsb3 | --- | 2 | --- | --- | 4 | 5 | 3 | 1 | --- | Weibull-2p |
| 2026 | Çsb3 | 5 | 1 | 2 | 7 | 4 | 3 | 8 | 9 | 6 | Gamma-2p |
| 2027 | Çsb3 | 7 | 4 | --- | 3 | 5 | 1 | 2 | 6 | --- | Lognormal-3p |
| 2028 | Çsb3 | --- | 4 | --- | 1 | 5 | --- | 3 | 2 | 6 | Johnson SB |
| 2029 | Çsb3 | 6 | 2 | --- | 1 | 5 | --- | 4 | 3 | --- | Johnson SB |
| 2030 | Çsb3 | 9 | 6 | 4 | 7 | 1 | 3 | 2 | 5 | 8 | Lognormal-2p |
| 2031 | Çsb3 | 6 | 3 | 7 | 1 | 5 | --- | 4 | 2 | 8 | Johnson SB |
| 2032 | Çsb3 | 6 | 2 | 7 | 1 | 5 | 8 | 3 | 4 | --- | Johnson SB |
| 2033 | Çsb3 | 8 | 4 | 7 | 1 | 5 | 3 | 2 | 6 | --- | Johnson SB |
| 2034 | Çsb3 | 6 | 3 | --- | 1 | 5 | --- | 4 | 2 | --- | Johnson SB |
| 2035 | Çsb3 | 7 | 3 | 6 | 1 | 5 | --- | 4 | 2 | --- | Johnson SB |
| 2036 | Çsbc1 | 7 | 6 | --- | 2 | 5 | 1 | 4 | 3 | --- | Lognormal-3p |
| 2037 | Çsbc1 | 6 | 2 | --- | 1 | 4 | --- | 3 | 5 | --- | Johnson SB |
| 2038 | Çsbc1 | 6 | 4 | --- | 3 | 5 | 7 | 1 | 2 | --- | Normal |
| 2039 | Çsbc1 | --- | 2 | 6 | 3 | 1 | 8 | 7 | 5 | 4 | Lognormal-2p |
| 2040 | Çsbc1 | 1 | 6 | --- | 3 | 4 | 2 | 7 | 5 | --- | Beta |
| 2041 | Çsbc1 | 6 | 1 | 4 | 8 | 5 | 2 | 3 | 7 | Çözümsüz | Gamma-2p |
| 2042 | Çsbc1 | 3 | 7 | 6 | 5 | 8 | 2 | 1 | 9 | 4 | Normal |
| 2043 | Çsbc2 | 7 | 6 | --- | 1 | 5 | 2 | 3 | 4 | --- | Johnson SB |
| 2044 | Çsbc2 | 5 | 2 | --- | 1 | 3 | --- | 6 | 4 | --- | Johnson SB |
| 2045 | Çsbc2 | 7 | 5 | --- | 4 | 6 | 3 | 2 | 1 | --- | Weibull-2p |
| 2046 | Çsbc2 | 6 | 2 | --- | 1 | 4 | --- | 3 | 5 | 7 | Johnson SB |
| 2047 | Çsbc2 | --- | 1 | --- | --- | 4 | --- | 2 | 3 | 5 | Gamma-2p |
| 2048 | Çsbc2 | 3 | 2 | 5 | Çözümsüz | 4 | 6 | 7 | 8 | 1 | Weibull-3p |
| 2049 | Çsbc2 | --- | 1 | 2 | 7 | 5 | 4 | 3 | 8 | 6 | Gamma-2p |
| 2050 | Çsbc2 | 6 | 2 | --- | 5 | 4 | 3 | 8 | 7 | 1 | Weibull-3p |
| 2051 | Çsbc2 | 9 | 8 | 4 | 2 | 1 | 3 | 5 | 7 | 6 | Lognormal-2p |
| 2052 | Çsbc2 | 7 | 4 | 3 | --- | 5 | 2 | 1 | 6 | Çözümsüz | Normal |
| 2053 | Çsbc2 | 4 | 5 | --- | 1 | 2 | 3 | 7 | 6 | --- | Johnson SB |
| 2054 | Çsbc2 | 6 | 1 | 7 | 2 | 3 | --- | 4 | 5 | --- | Gamma-2p |
| 2055 | Çsbc2 | 5 | 3 | 2 | 7 | 6 | 4 | 9 | 8 | 1 | Weibull-3p |
| 2056 | Çsbc2 | 6 | 2 | --- | 1 | 3 | 7 | 4 | 5 | --- | Johnson SB |
| 2057 | Çsbc2 | 2 | 6 | 3 | 5 | 4 | 7 | 9 | 8 | 1 | Weibull-3p |

Tablo 4.8. 'in devamı

| Örnek Alan No | Meşçere Tipi | Olasılık Yoğunluk Fonksiyonları | | | | | | | | | En Başarılı Dağılım |
|---------------|--------------|---------------------------------|----------|----------|------------|--------------|--------------|--------|------------|------------|---------------------|
| | | Beta | Gamma-2p | Gamma-3p | Johnson SB | Lognormal-2p | Lognormal-3p | Normal | Weibull-2p | Weibull-3p | |
| 2058 | Çsbc2 | 5 | 3 | --- | --- | 4 | --- | 1 | 2 | --- | Normal |
| 2059 | Çsbc2 | 1 | 7 | 4 | 2 | 5 | 6 | 8 | 9 | 3 | Beta |
| 2060 | Çsbc2 | 6 | 2 | 7 | 1 | 5 | --- | 4 | 3 | 8 | Johnson SB |
| 2061 | Çsbc2 | 5 | 7 | 8 | 2 | 1 | 6 | 4 | 3 | --- | Lognormal-2p |
| 2062 | Çsbc2 | 2 | 6 | 3 | 4 | 5 | 1 | 8 | 7 | --- | Lognormal-3p |
| 2063 | Çsbc2 | 8 | 3 | 2 | 4 | 6 | 5 | 7 | 9 | 1 | Weibull-3p |
| 2064 | Çsbc2 | --- | 2 | 8 | 3 | 4 | 1 | 6 | 5 | 7 | Lognormal-3p |
| 2065 | Çsbc2 | 2 | 6 | 5 | Çözümsüz | 7 | 4 | 3 | 8 | 1 | Weibull-3p |
| 2066 | Çsbc3 | --- | 4 | --- | --- | 3 | 1 | 6 | 5 | 2 | Lognormal-3p |
| 2067 | Çsbc3 | 6 | 4 | --- | 2 | 5 | 3 | 1 | 7 | --- | Normal |
| 2068 | Çsbc3 | --- | 3 | --- | 1 | 5 | 2 | 6 | 4 | 7 | Johnson SB |
| 2069 | Çsbc3 | --- | 2 | --- | 6 | 4 | 1 | 5 | 3 | --- | Lognormal-3p |
| 2070 | Çsbc3 | 1 | 4 | 5 | 8 | 7 | 3 | 2 | 6 | 9 | Beta |
| 2071 | Çsbc3 | 7 | 5 | --- | 1 | 2 | 3 | 4 | 6 | 8 | Johnson SB |
| 2072 | Çsbc3 | --- | 2 | 4 | 1 | 5 | 6 | 8 | 7 | 3 | Johnson SB |
| 2073 | Çsbc3 | --- | 3 | --- | 1 | 5 | 6 | 2 | 4 | --- | Johnson SB |
| 2074 | Çsbc3 | 7 | 4 | 3 | 6 | 8 | 2 | 1 | 9 | 5 | Normal |
| 2075 | Çsbc3 | --- | 1 | 7 | 2 | 3 | 4 | 5 | 6 | --- | Gamma-2p |
| 2076 | Çsbc3 | 7 | 4 | 8 | 2 | 1 | 3 | 6 | 5 | --- | Lognormal-2p |
| 2077 | Çsbc3 | 1 | 3 | 4 | 2 | 9 | 5 | 6 | 7 | 8 | Beta |
| 2078 | Çsbc3 | --- | 5 | 6 | Çözümsüz | 1 | 2 | 4 | 3 | --- | Lognormal-2p |
| 2079 | Çsbc3 | 6 | 2 | --- | 1 | 4 | --- | 3 | 5 | --- | Johnson SB |
| 2080 | Çsbc3 | 7 | 4 | 8 | 5 | 6 | 3 | 2 | 1 | --- | Weibull-2p |
| 2081 | Çsbc3 | 6 | 3 | --- | 1 | 4 | --- | 2 | 5 | --- | Johnson SB |
| 2082 | Çsbc3 | 1 | 4 | 5 | 3 | 7 | 6 | 8 | 9 | 2 | Beta |
| 2083 | Çsbc3 | 9 | 7 | 3 | 5 | 8 | 2 | 1 | 6 | 4 | Normal |
| 2084 | Çsbc3 | 6 | 2 | --- | 1 | 3 | --- | 4 | 5 | --- | Johnson SB |
| 2085 | Çsbc3 | 9 | 6 | 5 | 1 | 8 | 4 | 3 | 7 | 2 | Johnson SB |
| 2086 | Çsbc3 | --- | 3 | --- | 1 | 4 | 2 | 5 | 6 | 7 | Johnson SB |
| 2087 | Çsbc3 | 6 | 2 | --- | 1 | 5 | --- | 4 | 3 | --- | Johnson SB |
| 2088 | Çsbc3 | --- | 3 | 5 | 1 | 2 | 6 | 8 | 7 | 4 | Johnson SB |
| 2089 | Çsbc3 | 7 | 5 | --- | 4 | 6 | 3 | 2 | 1 | --- | Weibull-2p |
| 2090 | Çsbc3 | --- | 1 | --- | 5 | 4 | 6 | 2 | 3 | --- | Gamma-2p |
| 2091 | Çsbc3 | 2 | 4 | 5 | 1 | 7 | 6 | 8 | 9 | 3 | Johnson SB |
| 2092 | Çsbc3 | 7 | 5 | 6 | 2 | 3 | --- | 4 | 1 | --- | Weibull-2p |
| 2093 | Çsbc3 | --- | 1 | --- | --- | 2 | --- | 4 | 3 | --- | Gamma-2p |
| 2094 | Çsbc3 | 5 | 4 | --- | --- | 1 | 6 | 2 | 3 | --- | Lognormal-2p |
| 2095 | Çsbc3 | 4 | 7 | 6 | Çözümsüz | 8 | 3 | 2 | 5 | 1 | Weibull-3p |
| 2096 | Çsc1 | 6 | 4 | 7 | 1 | 5 | --- | 3 | 2 | 8 | Johnson SB |
| 2097 | Çsc1 | 1 | 2 | 3 | 7 | 9 | 6 | 5 | 8 | 4 | Beta |
| 2098 | Çsc1 | 9 | 8 | 3 | 5 | 1 | 4 | 7 | 6 | 2 | Lognormal-2p |
| 2099 | Çsc1 | 5 | 4 | --- | --- | 1 | --- | 3 | 2 | --- | Lognormal-2p |
| 2100 | Çsc1 | 5 | 2 | 6 | --- | 1 | 7 | 4 | 3 | --- | Lognormal-2p |
| 2101 | Çsc2 | 5 | 3 | --- | --- | 4 | --- | 1 | 2 | --- | Normal |
| 2102 | Çsc2 | --- | 6 | 4 | 7 | 8 | 3 | 2 | 5 | 1 | Weibull-3p |
| 2103 | Çsc2 | 3 | 7 | 4 | 1 | 6 | 5 | 8 | 9 | 2 | Johnson SB |
| 2104 | Çsc2 | 8 | 3 | --- | 4 | 7 | 6 | 1 | 2 | 5 | Normal |
| 2105 | Çsc2 | --- | 3 | --- | 1 | 4 | 5 | 6 | 2 | 7 | Johnson SB |
| 2106 | Çsc2 | 2 | 1 | 6 | 3 | 9 | 5 | 4 | 8 | 7 | Gamma-2p |
| 2107 | Çsc2 | 5 | 4 | --- | --- | 3 | --- | 2 | 1 | --- | Weibull-2p |
| 2108 | Çsc2 | 6 | 3 | 7 | 4 | 9 | 2 | 1 | 8 | 5 | Normal |
| 2109 | Çsc2 | 3 | 1 | 6 | Çözümsüz | 8 | 5 | 4 | 7 | 2 | Gamma-2p |
| 2110 | Çsc2 | 9 | 2 | 7 | 4 | 1 | 8 | 5 | 3 | 6 | Lognormal-2p |
| 2111 | Çsc2 | --- | 4 | 7 | 1 | 8 | 5 | 3 | 6 | 2 | Johnson SB |
| 2112 | Çsc2 | --- | 5 | 3 | --- | 4 | 2 | 1 | 7 | 6 | Normal |
| 2113 | Çsc2 | --- | 5 | 7 | 2 | 1 | 8 | 4 | 3 | 6 | Lognormal-2p |
| 2114 | Çsc2 | 6 | 1 | --- | 3 | 2 | --- | 5 | 4 | --- | Gamma-2p |
| 2115 | Çsc2 | --- | 3 | 2 | --- | 1 | 4 | 6 | 7 | 5 | Lognormal-2p |
| 2116 | Çsc2 | 5 | 3 | 1 | 6 | 2 | 7 | 8 | 9 | 4 | Gamma-3p |

Tablo 4.8.'in devamı

| Örnek Alan No | Meşçere Tipi | Olasılık Yoğunluk Fonksiyonları | | | | | | | | | En Başarılı Dağılım |
|---------------|--------------|---------------------------------|----------|----------|------------|--------------|--------------|--------|------------|------------|---------------------|
| | | Beta | Gamma-2p | Gamma-3p | Johnson SB | Lognormal-2p | Lognormal-3p | Normal | Weibull-2p | Weibull-3p | |
| 2117 | Çsc2 | 1 | 6 | --- | 4 | 3 | 2 | 7 | 5 | --- | Beta |
| 2118 | Çsc2 | 6 | 8 | 3 | 1 | 7 | 5 | 4 | 2 | Çözümsüz | Johnson SB |
| 2119 | Çsc2 | 7 | 5 | 8 | 1 | 6 | 4 | 3 | 2 | --- | Johnson SB |
| 2120 | Çsc2 | 7 | 3 | 8 | 1 | 5 | --- | 2 | 4 | 6 | Johnson SB |
| 2121 | Çsc2 | 9 | 8 | 5 | 3 | 7 | 4 | 2 | 1 | 6 | Weibull-2p |
| 2122 | Çsc2 | --- | 7 | 3 | 1 | 8 | 2 | 5 | 4 | 6 | Johnson SB |
| 2123 | Çsc2 | 6 | 5 | --- | 2 | 1 | --- | 4 | 3 | --- | Lognormal-2p |
| 2124 | Çsc2 | 7 | 5 | --- | 1 | 4 | 6 | 3 | 2 | --- | Johnson SB |
| 2125 | Çsc2 | 6 | 4 | 7 | 1 | 5 | --- | 3 | 2 | --- | Johnson SB |
| 2126 | Çsc2 | 9 | 5 | 2 | 6 | 7 | 1 | 4 | 3 | 8 | Lognormal-3p |
| 2127 | Çsc2 | --- | 3 | --- | 6 | 2 | 1 | 5 | 4 | --- | Lognormal-3p |
| 2128 | Çsc2 | 4 | 5 | 8 | 7 | 9 | 6 | 1 | 2 | 3 | Normal |
| 2129 | Çsc2 | 5 | 1 | 4 | 7 | 8 | 2 | 6 | 9 | 3 | Gamma-2p |
| 2130 | Çsc2 | 1 | 5 | --- | --- | 4 | 2 | 6 | 3 | --- | Beta |
| 2131 | Çsc3 | 9 | 3 | 2 | 7 | 8 | 6 | 4 | 5 | 1 | Weibull-3p |
| 2132 | Çsc3 | --- | 1 | --- | 4 | 3 | 2 | 6 | 5 | --- | Gamma-2p |
| 2133 | Çsc3 | 7 | 4 | 5 | 9 | 8 | 3 | 2 | 6 | 1 | Weibull-3p |
| 2134 | Çsc3 | 7 | 5 | 3 | 8 | 6 | 2 | 1 | 4 | 9 | Normal |
| 2135 | Çsc3 | --- | 8 | 3 | 2 | 7 | 5 | 1 | 4 | 6 | Normal |
| 2136 | Çsc3 | --- | 2 | --- | 3 | 4 | 1 | 6 | 5 | 7 | Lognormal-3p |
| 2137 | Çsc3 | 3 | 7 | 2 | 4 | 6 | 5 | 9 | 8 | 1 | Weibull-3p |
| 2138 | Çsc3 | 8 | 4 | 5 | Çözümsüz | 7 | 6 | 2 | 1 | 3 | Weibull-2p |
| 2139 | Çsc3 | --- | 4 | --- | 3 | 5 | 6 | 2 | 1 | --- | Weibull-2p |
| 2140 | Çsc3 | --- | 3 | 7 | 5 | 4 | 6 | 2 | 8 | 1 | Weibull-3p |
| 2141 | Çsc3 | 1 | 3 | 5 | 2 | 9 | 6 | 7 | 8 | 4 | Beta |
| 2142 | Çsc3 | 1 | 7 | 5 | 9 | 8 | 4 | 3 | 6 | 2 | Beta |
| 2143 | Çsc3 | 9 | 1 | 4 | 6 | 5 | 3 | 2 | 8 | 7 | Gamma-2p |
| 2144 | Çsc3 | 3 | 5 | 4 | 2 | 8 | 6 | 7 | 9 | 1 | Weibull-3p |
| 2145 | Çsc3 | 6 | 2 | --- | 1 | 4 | --- | 3 | 5 | 7 | Johnson SB |
| 2146 | Çsc3 | 6 | 1 | --- | 4 | 2 | --- | 3 | 5 | --- | Gamma-2p |
| 2147 | Çsc3 | --- | 3 | 5 | Çözümsüz | 6 | 4 | 2 | 7 | 1 | Weibull-3p |
| 2148 | Çsc3 | 6 | 2 | 7 | 1 | 4 | 8 | 5 | 3 | --- | Johnson SB |
| 2149 | Çsc3 | 9 | 5 | 3 | 8 | 6 | 2 | 1 | 7 | 4 | Normal |
| 2150 | Çsc3 | 7 | 5 | 6 | 2 | 1 | 4 | 9 | 8 | 3 | Lognormal-2p |
| 2151 | Çsc3 | 2 | 6 | 5 | Çözümsüz | 7 | 4 | 3 | 8 | 1 | Weibull-3p |
| 2152 | Çsc3 | --- | 3 | 4 | 6 | 8 | 2 | 1 | 7 | 5 | Normal |
| 2153 | Çsc3 | 2 | 4 | 3 | Çözümsüz | 5 | 6 | 7 | 8 | 1 | Weibull-3p |
| 2154 | Çsc3 | 3 | 1 | 6 | Çözümsüz | 2 | 5 | 4 | 8 | 7 | Gamma-2p |
| 2155 | Çsc3 | --- | 4 | 3 | 6 | 7 | 2 | 1 | 5 | 8 | Normal |
| 2156 | Çsc3 | 2 | 6 | 3 | --- | 5 | 4 | 7 | 8 | 1 | Weibull-3p |
| 2157 | Çsc3 | 9 | 6 | 8 | 5 | 3 | 7 | 1 | 2 | 4 | Normal |
| 2158 | Çsc3 | --- | 1 | --- | 2 | 3 | 6 | 4 | 5 | --- | Gamma-2p |
| 2159 | Çsc3 | --- | 6 | 5 | 8 | 4 | 7 | 2 | 1 | 3 | Weibull-2p |
| 2160 | Çsc3 | --- | 7 | 5 | 1 | 6 | 8 | 2 | 3 | 4 | Johnson SB |
| 2161 | Çscd1 | 1 | 6 | 7 | --- | 5 | 3 | 2 | 4 | --- | Beta |
| 2162 | Çscd1 | 9 | 1 | 6 | 8 | 7 | 2 | 4 | 3 | 5 | Gamma-2p |
| 2163 | Çscd1 | 2 | 8 | 1 | --- | 6 | 5 | 3 | 4 | 7 | Gamma-3p |
| 2164 | Çscd1 | 1 | 3 | --- | --- | 6 | 2 | 5 | 4 | --- | Beta |
| 2165 | Çscd1 | 4 | 1 | --- | --- | 3 | 2 | 6 | 5 | --- | Gamma-2p |
| 2166 | Çscd1 | 6 | 1 | --- | 3 | 2 | 7 | 4 | 5 | --- | Gamma-2p |
| 2167 | Çscd1 | 6 | 1 | --- | 3 | 5 | --- | 4 | 2 | 7 | Gamma-2p |
| 2168 | Çscd1 | 1 | 7 | --- | 2 | 3 | 6 | 5 | 4 | --- | Beta |
| 2169 | Çscd1 | 5 | 3 | 8 | 4 | 1 | 7 | 2 | 6 | --- | Lognormal-2p |
| 2170 | Çscd1 | 8 | 2 | 1 | 7 | 9 | 5 | 4 | 6 | 3 | Gamma-3p |
| 2171 | Çscd1 | --- | 7 | 6 | 2 | 8 | 5 | 4 | 3 | 1 | Weibull-3p |
| 2172 | Çscd1 | 5 | 1 | 6 | --- | 3 | --- | 2 | 4 | --- | Gamma-2p |
| 2173 | Çscd1 | 6 | 3 | --- | 2 | 4 | 7 | 5 | 1 | --- | Weibull-2p |
| 2174 | Çscd1 | 7 | 3 | 4 | 5 | 6 | 9 | 1 | 8 | 2 | Normal |

Tablo 4.8. 'in devamı

| Örnek Alan No | Mesçere Tipi | Olasılık Yoğunluk Fonksiyonları | | | | | | | | | En Başarılı Dağılım |
|---------------|--------------|---------------------------------|----------|----------|------------|--------------|--------------|--------|------------|------------|---------------------|
| | | Beta | Gamma-2p | Gamma-3p | Johnson SB | Lognormal-2p | Lognormal-3p | Normal | Weibull-2p | Weibull-3p | |
| 2175 | Çscd1 | 2 | 6 | --- | --- | 4 | 1 | 3 | 5 | --- | Lognormal-3p |
| 2176 | Çscd1 | 1 | 9 | 8 | 4 | 3 | 6 | 5 | 2 | 7 | Beta |
| 2177 | Çscd1 | --- | 2 | 6 | 3 | 1 | 5 | 8 | 7 | 4 | Lognormal-2p |
| 2178 | Çscd1 | 8 | 7 | 5 | 1 | 9 | 4 | 3 | 6 | 2 | Johnson SB |
| 2179 | Çscd1 | 4 | 6 | --- | 1 | 2 | --- | 3 | 5 | --- | Johnson SB |
| 2180 | Çscd1 | 9 | 2 | 6 | 3 | 7 | 5 | 4 | 8 | 1 | Weibull-3p |
| 2181 | Çscd1 | 7 | 1 | 5 | 3 | 2 | 4 | 9 | 8 | 6 | Gamma-2p |
| 2182 | Çscd1 | 7 | 4 | 3 | 6 | 1 | 2 | 9 | 8 | 5 | Lognormal-2p |
| 2183 | Çscd1 | 7 | 3 | 5 | 2 | 8 | 6 | 1 | 9 | 4 | Normal |
| 2184 | Çscd1 | 9 | 2 | 3 | 1 | 5 | 4 | 8 | 7 | 6 | Johnson SB |
| 2185 | Çscd1 | --- | 7 | --- | 4 | 3 | 2 | 6 | 5 | 1 | Weibull-3p |
| 2186 | Çscd1 | 6 | 5 | 8 | 2 | 7 | 3 | 1 | 4 | --- | Normal |
| 2187 | Çscd1 | --- | 5 | 2 | --- | 6 | 3 | 4 | 1 | Çözümsüz | Weibull-2p |
| 2188 | Çscd1 | 1 | 5 | 4 | --- | 7 | 3 | 2 | 6 | Çözümsüz | Beta |
| 2189 | Çscd1 | 1 | 6 | --- | --- | 5 | 2 | 3 | 4 | --- | Beta |
| 2190 | Çscd2 | 7 | 8 | --- | 1 | 6 | 4 | 3 | 2 | 5 | Johnson SB |
| 2191 | Çscd2 | 6 | 4 | 3 | 5 | 8 | 2 | 1 | 9 | 7 | Normal |
| 2192 | Çscd2 | 7 | 5 | 9 | 1 | 2 | 3 | 4 | 6 | 8 | Johnson SB |
| 2193 | Çscd2 | 6 | 4 | --- | 1 | 2 | --- | 5 | 3 | --- | Johnson SB |
| 2194 | Çscd2 | 1 | 4 | --- | 2 | 6 | 3 | 7 | 5 | --- | Beta |
| 2195 | Çscd2 | 1 | 8 | 4 | 7 | 9 | 6 | 5 | 3 | 2 | Beta |
| 2196 | Çscd2 | 4 | 1 | 6 | 3 | 2 | 5 | 8 | 9 | 7 | Gamma-2p |
| 2197 | Çscd2 | Çözümsüz | 4 | 3 | --- | 2 | 1 | 7 | 5 | 6 | Lognormal-3p |
| 2198 | Çscd2 | 1 | 5 | 4 | Çözümsüz | 6 | 3 | 2 | 8 | 7 | Beta |
| 2199 | Çscd2 | 8 | 6 | 3 | 7 | 2 | 4 | 5 | 1 | Çözümsüz | Weibull-2p |
| 2200 | Çscd2 | 5 | 6 | 3 | --- | 4 | 2 | 1 | 7 | Çözümsüz | Normal |
| 2201 | Çscd2 | 6 | 4 | --- | 5 | 3 | 7 | 1 | 2 | 8 | Normal |
| 2202 | Çscd2 | 7 | 1 | 3 | 9 | 4 | 2 | 6 | 5 | 8 | Gamma-2p |
| 2203 | Çscd2 | 7 | 9 | 3 | 2 | 8 | 6 | 5 | 4 | 1 | Weibull-3p |
| 2204 | Çscd2 | --- | 2 | 3 | 6 | 4 | 7 | 5 | 8 | 1 | Weibull-3p |
| 2205 | Çscd2 | 6 | 1 | 4 | --- | 2 | 5 | 3 | 7 | Çözümsüz | Gamma-2p |
| 2206 | Çscd2 | 5 | 4 | --- | --- | 2 | --- | 3 | 1 | 6 | Weibull-2p |
| 2207 | Çscd2 | --- | 4 | 6 | 3 | 2 | 7 | 5 | 1 | --- | Weibull-2p |
| 2208 | Çscd2 | 2 | 3 | 6 | 4 | 1 | 7 | 9 | 8 | 5 | Lognormal-2p |
| 2209 | Çscd2 | 6 | 3 | --- | 2 | 4 | --- | 1 | 5 | --- | Normal |
| 2210 | Çscd2 | 2 | 7 | 5 | 1 | 3 | 9 | 4 | 8 | 6 | Johnson SB |
| 2211 | Çscd2 | 6 | 8 | 3 | 5 | 9 | 4 | 1 | 7 | 2 | Normal |
| 2212 | Çscd2 | 6 | 2 | 8 | Çözümsüz | 1 | 7 | 5 | 4 | 3 | Lognormal-2p |
| 2213 | Çscd2 | --- | 3 | 1 | 2 | 8 | 6 | 5 | 7 | 4 | Gamma-3p |
| 2214 | Çscd2 | --- | 7 | 3 | 2 | 6 | 4 | 5 | 1 | 8 | Weibull-2p |
| 2215 | Çscd2 | --- | 3 | 6 | 2 | 8 | 5 | 4 | 7 | 1 | Weibull-3p |
| 2216 | Çscd2 | 6 | 5 | --- | --- | 7 | 1 | 3 | 2 | 4 | Lognormal-3p |
| 2217 | Çscd2 | --- | 7 | 4 | 1 | 8 | 3 | 2 | 6 | 5 | Johnson SB |
| 2218 | Çscd2 | 5 | 6 | --- | 7 | 3 | 2 | 1 | 4 | --- | Normal |
| 2219 | Çscd2 | --- | 1 | 7 | 5 | 2 | 6 | 4 | 3 | 8 | Gamma-2p |
| 2220 | Çscd3 | Çözümsüz | 6 | 3 | 1 | 5 | 4 | 7 | 8 | 2 | Johnson SB |
| 2221 | Çscd3 | --- | 2 | 5 | 4 | 7 | 3 | 8 | 6 | 1 | Weibull-3p |
| 2222 | Çscd3 | 7 | 4 | 3 | 2 | 5 | 6 | 8 | 9 | 1 | Weibull-3p |
| 2223 | Çscd3 | --- | 1 | 6 | 4 | 3 | --- | 5 | 2 | --- | Gamma-2p |
| 2224 | Çscd3 | 9 | 5 | 4 | 3 | 6 | 7 | 2 | 1 | 8 | Weibull-2p |
| 2225 | Çscd3 | 7 | 5 | 1 | --- | 6 | 3 | 2 | 8 | 4 | Gamma-3p |
| 2226 | Çscd3 | --- | 2 | --- | 1 | 3 | 6 | 5 | 4 | --- | Johnson SB |
| 2227 | Çscd3 | 8 | 5 | 3 | 1 | 6 | --- | 7 | 4 | 2 | Johnson SB |
| 2228 | Çscd3 | 4 | 6 | 1 | --- | 3 | 2 | 8 | 7 | 5 | Gamma-3p |
| 2229 | Çscd3 | 2 | 4 | --- | --- | 6 | 3 | 5 | 1 | 7 | Weibull-2p |
| 2230 | Çscd3 | 3 | 6 | 9 | 7 | 8 | 2 | 1 | 5 | 4 | Normal |
| 2231 | Çscd3 | 9 | 7 | 2 | 5 | 6 | 8 | 4 | 3 | 1 | Weibull-3p |
| 2232 | Çscd3 | 9 | 6 | 4 | 8 | 7 | 3 | 2 | 5 | 1 | Weibull-3p |

Tablo 4.8.'in devamı

| Örnek Alan No | Mesçere Tipi | Olasılık Yoğunluk Fonksiyonları | | | | | | | | | En Başarılı Dağılım |
|---------------|--------------|---------------------------------|----------|----------|------------|--------------|--------------|--------|------------|------------|---------------------|
| | | Beta | Gamma-2p | Gamma-3p | Johnson SB | Lognormal-2p | Lognormal-3p | Normal | Weibull-2p | Weibull-3p | |
| 2233 | Çscd3 | --- | 8 | 4 | 2 | 7 | 6 | 1 | 5 | 3 | Normal |
| 2234 | Çscd3 | --- | 4 | 3 | 6 | 8 | 2 | 5 | 1 | 7 | Weibull-2p |
| 2235 | Çscd3 | 6 | 1 | --- | 5 | 2 | --- | 3 | 4 | 7 | Gamma-2p |
| 2236 | Çscd3 | --- | 6 | 3 | 7 | 2 | 4 | 1 | 8 | 5 | Normal |
| 2237 | Çscd3 | 4 | 2 | 5 | 3 | 8 | 6 | 7 | 9 | 1 | Weibull-3p |
| 2238 | Çscd3 | --- | 3 | 5 | 2 | 1 | 6 | 7 | 4 | 8 | Lognormal-2p |
| 2239 | Çscd3 | --- | 5 | 2 | --- | 4 | 3 | 7 | 6 | 1 | Weibull-3p |
| 2240 | Çscd3 | 5 | 4 | 2 | --- | 6 | --- | 1 | 3 | --- | Normal |
| 2241 | Çscd3 | --- | 4 | 3 | 1 | 5 | 6 | 8 | 7 | 2 | Johnson SB |
| 2242 | Çscd3 | 4 | 3 | 7 | --- | 2 | 1 | 6 | 5 | --- | Lognormal-3p |
| 2243 | Çscd3 | 2 | 8 | 7 | 3 | 9 | 6 | 5 | 1 | 4 | Weibull-2p |
| 2244 | Çscd3 | 7 | 5 | 2 | 1 | 4 | 3 | 9 | 8 | 6 | Johnson SB |
| 2245 | Çscd3 | 2 | 5 | --- | --- | 6 | 1 | 4 | 3 | --- | Lognormal-3p |
| 2246 | Çscd3 | --- | 2 | 4 | 1 | 6 | 5 | 8 | 7 | 3 | Johnson SB |
| 2247 | Çscd3 | 1 | 2 | --- | --- | 5 | 4 | 3 | 6 | --- | Beta |
| 2248 | Çscd3 | 5 | 3 | --- | 6 | 2 | 1 | 7 | 4 | --- | Lognormal-3p |
| 2249 | Çscd3 | --- | 6 | 5 | --- | 7 | 4 | 3 | 1 | 2 | Weibull-2p |
| 2250 | Çsd1 | --- | 3 | 5 | --- | 2 | 4 | 1 | 6 | Çözümsüz | Normal |
| 2251 | Çsd1 | 1 | 7 | 4 | --- | 3 | 5 | 6 | 2 | Çözümsüz | Beta |
| 2252 | Çsd1 | 5 | 7 | 3 | 2 | 6 | 4 | 8 | 9 | 1 | Weibull-3p |
| 2253 | Çsd1 | 5 | 3 | --- | --- | 4 | --- | 2 | 1 | --- | Weibull-2p |
| 2254 | Çsd1 | --- | 3 | 8 | 1 | 2 | 6 | 5 | 4 | 7 | Johnson SB |
| 2255 | Çsd1 | --- | 7 | 2 | 6 | 3 | 1 | 5 | 8 | 4 | Lognormal-3p |
| 2256 | Çsd1 | 1 | 6 | 5 | --- | 2 | 7 | 4 | 3 | --- | Beta |
| 2257 | Çsd1 | 1 | 5 | 4 | 2 | 6 | 8 | 7 | 3 | 9 | Beta |
| 2258 | Çsd1 | 7 | 9 | 5 | 1 | 3 | 4 | 8 | 6 | 2 | Johnson SB |
| 2259 | Çsd1 | 1 | 3 | 6 | --- | 2 | 7 | 4 | 8 | 5 | Beta |
| 2260 | Çsd1 | 1 | 5 | 7 | 2 | 8 | 6 | 4 | 9 | 3 | Beta |
| 2261 | Çsd1 | 6 | 2 | --- | 1 | 4 | --- | 3 | 5 | 7 | Johnson SB |
| 2262 | Çsd1 | 7 | 6 | 3 | 8 | 2 | 5 | 4 | 1 | Çözümsüz | Weibull-2p |
| 2263 | Çsd1 | 5 | 4 | --- | Çözümsüz | 3 | 6 | 2 | 1 | --- | Weibull-2p |
| 2264 | Çsd1 | 7 | 3 | 8 | 1 | 2 | --- | 5 | 4 | 6 | Johnson SB |
| 2265 | Çsd1 | 5 | 3 | --- | --- | 1 | --- | 4 | 2 | 6 | Lognormal-2p |
| 2266 | Çsd1 | 7 | 5 | 1 | 4 | 6 | 2 | 3 | 8 | Çözümsüz | Gamma-3p |
| 2267 | Çsd1 | 8 | 7 | 4 | 2 | 6 | 5 | 9 | 1 | 3 | Weibull-2p |
| 2268 | Çsd1 | 8 | 3 | 5 | --- | 4 | 1 | 2 | 6 | 7 | Lognormal-3p |
| 2269 | Çsd1 | 2 | 8 | 5 | 3 | 4 | 6 | 7 | 1 | Çözümsüz | Weibull-2p |
| 2270 | Çsd1 | --- | 6 | 4 | Çözümsüz | 3 | 5 | 2 | 1 | Çözümsüz | Weibull-2p |
| 2271 | Çsd1 | --- | 1 | 6 | 2 | 7 | 5 | 4 | 8 | 3 | Gamma-2p |
| 2272 | Çsd1 | 6 | 2 | 4 | 8 | 7 | 3 | 5 | 9 | 1 | Weibull-3p |
| 2273 | Çsd1 | 9 | 7 | 6 | 1 | 8 | 5 | 3 | 2 | 4 | Johnson SB |
| 2274 | Çsd2 | 7 | 9 | 6 | 1 | 8 | 5 | 4 | 3 | 2 | Johnson SB |
| 2275 | Çsd2 | 6 | 8 | 4 | Çözümsüz | 7 | 3 | 2 | 5 | 1 | Weibull-3p |
| 2276 | Çsd2 | 4 | 6 | --- | --- | 1 | 2 | 5 | 3 | 7 | Lognormal-2p |
| 2277 | Çsd2 | --- | 1 | 2 | 7 | 5 | 4 | 3 | 6 | Çözümsüz | Gamma-2p |
| 2278 | Çsd2 | 8 | 3 | 7 | 1 | 4 | 6 | 5 | 9 | 2 | Johnson SB |
| 2279 | Çsd2 | 2 | 7 | 4 | --- | 6 | 5 | 3 | 1 | Çözümsüz | Weibull-2p |
| 2280 | Çsd2 | --- | 5 | 1 | --- | 4 | 2 | 3 | 6 | Çözümsüz | Gamma-3p |
| 2281 | Çsd2 | --- | 4 | 3 | --- | 5 | 2 | 1 | 6 | Çözümsüz | Normal |
| 2282 | Çsd2 | 5 | 3 | 4 | Çözümsüz | 7 | 2 | 1 | 8 | 6 | Normal |
| 2283 | Çsd2 | 8 | 4 | 3 | 7 | 2 | 5 | 1 | 9 | 6 | Normal |
| 2284 | Çsd2 | 1 | 4 | --- | --- | 3 | 6 | 5 | 7 | 2 | Beta |
| 2285 | Çsd2 | 3 | 1 | 8 | 4 | 9 | 2 | 6 | 5 | 7 | Gamma-2p |
| 2286 | Çsd2 | 4 | 1 | 9 | 7 | 3 | 8 | 5 | 6 | 2 | Gamma-2p |
| 2287 | Çsd2 | 7 | 9 | 3 | 8 | 2 | 1 | 6 | 5 | 4 | Lognormal-3p |
| 2288 | Çsd2 | 3 | 1 | --- | 2 | 7 | 8 | 5 | 6 | 4 | Gamma-2p |
| 2289 | Çsd2 | 5 | 4 | 3 | 8 | 1 | 2 | 6 | 7 | 9 | Lognormal-2p |
| 2290 | Çsd2 | 8 | 1 | 7 | --- | 6 | 2 | 3 | 5 | 4 | Gamma-2p |

Tablo 4.8.'in devamı

| Örnek Alan No | Mesjere Tipi | Olasılık Yoğunluk Fonksiyonları | | | | | | | | | En Başarılı Dağılım |
|---------------|--------------|---------------------------------|----------|----------|------------|--------------|--------------|--------|------------|------------|---------------------|
| | | Beta | Gamma-2p | Gamma-3p | Johnson SB | Lognormal-2p | Lognormal-3p | Normal | Weibull-2p | Weibull-3p | |
| 2291 | Çsd2 | 1 | 6 | --- | --- | 2 | 3 | 5 | 4 | --- | Beta |
| 2292 | Çsd2 | 9 | 2 | 3 | 1 | 7 | 8 | 6 | 5 | 4 | Johnson SB |
| 2293 | Çsd2 | 2 | 4 | 7 | --- | 3 | 6 | 5 | 1 | Çözümsüz | Weibull-2p |
| 2294 | Çsd2 | --- | 1 | 4 | 6 | 5 | 3 | 2 | 7 | Çözümsüz | Gamma-2p |
| 2295 | Çsd2 | 1 | 4 | --- | --- | 2 | 6 | 7 | 5 | 3 | Beta |
| 2296 | Çsd2 | 7 | 1 | 2 | --- | 6 | 5 | 4 | 3 | Çözümsüz | Gamma-2p |
| 2297 | Çsd2 | --- | 6 | 3 | --- | 7 | 2 | 1 | 5 | 4 | Normal |
| 2298 | Çsd2 | 5 | 2 | 8 | 1 | 9 | 7 | 6 | 3 | 4 | Johnson SB |
| 2299 | Çsd2 | 4 | 2 | 5 | --- | 1 | 7 | 6 | 3 | --- | Lognormal-2p |
| 2300 | Çsd2 | --- | 1 | 4 | 6 | 5 | 2 | 3 | 7 | 8 | Gamma-2p |
| 2301 | Çsd2 | 8 | 9 | 1 | 2 | 4 | 6 | 5 | 7 | 3 | Gamma-3p |
| 2302 | Çsd2 | --- | 3 | 6 | 2 | 8 | 5 | 4 | 7 | 1 | Weibull-3p |
| 2303 | Çsd2 | 6 | 7 | 3 | --- | 1 | 5 | 2 | 4 | --- | Lognormal-2p |
| 2304 | Çsd3 | 5 | 7 | 2 | --- | 6 | 4 | 8 | 3 | 1 | Weibull-3p |
| 2305 | Çsd3 | --- | 2 | 6 | 3 | 8 | 5 | 4 | 7 | 1 | Weibull-3p |
| 2306 | Çsd3 | 7 | 4 | 3 | 6 | 5 | 2 | 1 | 9 | 8 | Normal |
| 2307 | Çsd3 | Çözümsüz | 5 | 4 | --- | 7 | 3 | 2 | 6 | 1 | Weibull-3p |
| 2308 | Çsd3 | 2 | 4 | 3 | --- | 7 | 5 | 1 | 6 | Çözümsüz | Normal |
| 2309 | Çsd3 | --- | 4 | 1 | 8 | 7 | 2 | 5 | 6 | 3 | Gamma-3p |
| 2310 | Çsd3 | 1 | 4 | 6 | --- | 5 | --- | 2 | 3 | --- | Beta |
| 2311 | Çsd3 | 4 | 2 | 1 | Çözümsüz | 5 | 7 | 6 | 8 | 3 | Gamma-3p |
| 2312 | Çsd3 | 5 | 7 | 3 | --- | 4 | 2 | 6 | 1 | Çözümsüz | Weibull-2p |
| 2313 | Çsd3 | --- | 7 | 3 | 2 | 6 | 5 | 4 | 8 | 1 | Weibull-3p |
| 2314 | Çsd3 | 1 | 4 | --- | 2 | 8 | 6 | 7 | 5 | 3 | Beta |
| 2315 | Çsd3 | 9 | 3 | 4 | 7 | 1 | 5 | 8 | 6 | 2 | Lognormal-2p |
| 2316 | Çsd3 | 5 | 2 | 3 | 1 | 6 | 4 | 8 | 9 | 7 | Johnson SB |
| 2317 | Çsd3 | 7 | 1 | 4 | 9 | 6 | 2 | 3 | 5 | 8 | Gamma-2p |
| 2318 | Çsd3 | --- | 2 | 1 | 7 | 6 | 5 | 4 | 3 | Çözümsüz | Gamma-3p |
| 2319 | Çsd3 | 2 | 3 | 7 | 1 | 9 | 6 | 4 | 8 | 5 | Johnson SB |
| 2320 | Çsd3 | 2 | 5 | 3 | Çözümsüz | 6 | 1 | 4 | 7 | 8 | Lognormal-3p |
| 2321 | Çsd3 | 5 | 7 | --- | 3 | 8 | 2 | 1 | 6 | 4 | Normal |
| 2322 | Çsd3 | 5 | 8 | 3 | Çözümsüz | 6 | 4 | 1 | 2 | 7 | Normal |
| 2323 | Çsd3 | 8 | 6 | 1 | 4 | 7 | 5 | 3 | 9 | 2 | Gamma-3p |
| 2324 | Çsd3 | --- | 8 | 4 | 1 | 3 | 5 | 7 | 2 | 6 | Johnson SB |

Tablo 4.9. Olasılık yoğunluk fonksiyonlarının Ki-kare (X^2) istatistiğine göre sıralamaları (III. Bonitet)

| Örnek Alan No | Meşçere Tipi | Olasılık Yoğunluk Fonksiyonları | | | | | | | | | En Başarılı Dağılım |
|---------------|--------------|---------------------------------|----------|----------|------------|--------------|--------------|--------|------------|------------|---------------------|
| | | Beta | Gamma-2p | Gamma-3p | Johnson SB | Lognormal-2p | Lognormal-3p | Normal | Weibull-2p | Weibull-3p | |
| 3001 | Çsb2 | --- | 1 | 7 | --- | 5 | 6 | 4 | 3 | 2 | Gamma-2p |
| 3002 | Çsb2 | --- | 3 | --- | --- | 4 | 5 | 2 | 1 | --- | Weibull-2p |
| 3003 | Çsb2 | 6 | 2 | --- | 1 | 4 | 7 | 5 | 3 | 8 | Johnson SB |
| 3004 | Çsb2 | 6 | 4 | --- | 1 | 3 | --- | 2 | 5 | --- | Johnson SB |
| 3005 | Çsb2 | --- | 1 | --- | Çözümsüz | 4 | --- | 3 | 2 | 5 | Gamma-2p |
| 3006 | Çsb2 | --- | 3 | --- | 2 | 4 | 5 | 1 | 6 | 7 | Normal |
| 3007 | Çsb2 | --- | 1 | 5 | 3 | 2 | 4 | 7 | 8 | 6 | Gamma-2p |
| 3008 | Çsb2 | 6 | 2 | --- | 1 | 5 | 7 | 4 | 3 | --- | Johnson SB |
| 3009 | Çsb2 | --- | 3 | --- | --- | 4 | 6 | 2 | 1 | 5 | Weibull-2p |
| 3010 | Çsb3 | 1 | 3 | 6 | Çözümsüz | 5 | --- | 4 | 2 | 7 | Beta |
| 3011 | Çsb3 | 6 | 2 | --- | 1 | 5 | --- | 3 | 4 | 7 | Johnson SB |
| 3012 | Çsb3 | 6 | 3 | --- | 1 | 5 | --- | 2 | 4 | 7 | Johnson SB |
| 3013 | Çsb3 | 6 | 4 | 7 | 1 | 5 | --- | 3 | 2 | --- | Johnson SB |
| 3014 | Çsb3 | 6 | 2 | 8 | 1 | 5 | 7 | 4 | 3 | 9 | Johnson SB |
| 3015 | Çsb3 | 7 | 2 | 6 | 1 | 5 | 8 | 4 | 3 | 9 | Johnson SB |
| 3016 | Çsb3 | 6 | 1 | 7 | 2 | 5 | --- | 4 | 3 | --- | Gamma-2p |
| 3017 | Çsb3 | 6 | 2 | --- | 1 | 5 | --- | 4 | 3 | --- | Johnson SB |
| 3018 | Çsb3 | 6 | 2 | --- | 1 | 3 | --- | 5 | 4 | --- | Johnson SB |
| 3019 | Çsb3 | --- | 4 | --- | Çözümsüz | 3 | --- | 2 | 1 | --- | Weibull-2p |
| 3020 | Çsb3 | 7 | 3 | --- | 1 | 5 | 6 | 2 | 4 | 8 | Johnson SB |
| 3021 | Çsb3 | 7 | 3 | 6 | 4 | 5 | --- | 2 | 1 | --- | Weibull-2p |
| 3022 | Çsb3 | 6 | 2 | --- | 1 | 5 | --- | 3 | 4 | 7 | Johnson SB |
| 3023 | Çsb3 | --- | 2 | --- | 1 | 5 | --- | 3 | 4 | --- | Johnson SB |
| 3024 | Çsb3 | 6 | 1 | --- | 2 | 5 | --- | 3 | 4 | --- | Gamma-2p |
| 3025 | Çsb3 | 6 | 1 | --- | 5 | 4 | --- | 2 | 3 | 7 | Gamma-2p |
| 3026 | Çsb3 | 6 | 1 | --- | 2 | 5 | --- | 3 | 4 | 7 | Gamma-2p |
| 3027 | Çsb3 | 7 | 6 | --- | 2 | 1 | 3 | 5 | 4 | --- | Lognormal-2p |
| 3028 | Çsb3 | 6 | 3 | 7 | 1 | 5 | --- | 4 | 2 | --- | Johnson SB |
| 3029 | Çsb3 | 2 | 3 | --- | 1 | 6 | --- | 5 | 4 | 7 | Johnson SB |
| 3030 | Çsb3 | 6 | 2 | --- | 1 | 3 | --- | 4 | 5 | --- | Johnson SB |
| 3031 | Çsb3 | --- | 5 | 4 | --- | 6 | 3 | 2 | 1 | Çözümsüz | Weibull-2p |
| 3032 | Çsb3 | 6 | 4 | --- | 5 | 3 | 7 | 2 | 1 | --- | Weibull-2p |
| 3033 | Çsb3 | 6 | 3 | --- | 1 | 5 | --- | 4 | 2 | --- | Johnson SB |
| 3034 | Çsb3 | 6 | 2 | 8 | 1 | 4 | --- | 5 | 3 | 7 | Johnson SB |
| 3035 | Çsb3 | --- | 3 | 4 | 2 | 7 | 5 | 6 | 8 | 1 | Weibull-3p |
| 3036 | Çsb3 | --- | 2 | --- | Çözümsüz | 4 | 5 | 3 | 1 | --- | Weibull-2p |
| 3037 | Çsb3 | 8 | 2 | 1 | 7 | 5 | 4 | 3 | 6 | Çözümsüz | Gamma-3p |
| 3038 | Çsb3 | 5 | 1 | 9 | 2 | 3 | 4 | 7 | 6 | 8 | Gamma-2p |
| 3039 | Çsb3 | --- | 5 | 6 | 1 | 7 | 3 | 4 | 8 | 2 | Johnson SB |
| 3040 | Çsbc1 | 7 | 1 | --- | 3 | 2 | 4 | 6 | 5 | --- | Gamma-2p |
| 3041 | Çsbc1 | 6 | 1 | 8 | --- | 4 | 5 | 3 | 2 | 7 | Gamma-2p |
| 3042 | Çsbc1 | 1 | 6 | 5 | 2 | 9 | 7 | 4 | 8 | 3 | Beta |
| 3043 | Çsbc1 | --- | 3 | 6 | Çözümsüz | 1 | 5 | 7 | 2 | 4 | Lognormal-2p |
| 3044 | Çsbc1 | 1 | 6 | --- | --- | 5 | 4 | 3 | 7 | 2 | Beta |
| 3045 | Çsbc1 | --- | 7 | 3 | 1 | 6 | 2 | 5 | 4 | --- | Johnson SB |
| 3046 | Çsbc1 | 8 | 6 | 4 | 9 | 7 | 3 | 2 | 5 | 1 | Weibull-3p |
| 3047 | Çsbc1 | 9 | 7 | 2 | 3 | 8 | 1 | 5 | 6 | 4 | Lognormal-3p |
| 3048 | Çsbc1 | 7 | 6 | --- | 2 | 5 | 1 | 4 | 3 | --- | Lognormal-3p |
| 3049 | Çsbc1 | 6 | 1 | 8 | --- | 4 | 5 | 3 | 2 | 7 | Gamma-2p |
| 3050 | Çsbc1 | 6 | 3 | --- | 1 | 5 | --- | 4 | 2 | --- | Johnson SB |
| 3051 | Çsbc1 | --- | 3 | 6 | Çözümsüz | 1 | 5 | 7 | 2 | 4 | Lognormal-2p |
| 3052 | Çsbc1 | 6 | 1 | 8 | --- | 4 | 5 | 3 | 2 | 7 | Gamma-2p |
| 3053 | Çsbc1 | 7 | 2 | 8 | 1 | 3 | 6 | 4 | 5 | --- | Johnson SB |
| 3054 | Çsbc1 | 1 | 3 | 4 | 7 | 6 | 5 | 9 | 8 | 2 | Beta |
| 3055 | Çsbc1 | 6 | 3 | 7 | 2 | 1 | --- | 4 | 5 | --- | Lognormal-2p |
| 3056 | Çsbc1 | 3 | 4 | 8 | 1 | 6 | 2 | 5 | 7 | --- | Johnson SB |
| 3057 | Çsbc1 | 6 | 2 | --- | 1 | 4 | 8 | 5 | 3 | 7 | Johnson SB |

Tablo 4.9.'un devamı

| Örnek Alan No | Mesçere Tipi | Olasılık Yoğunluk Fonksiyonları | | | | | | | | | En Başarılı Dağılım |
|---------------|--------------|---------------------------------|----------|----------|------------|--------------|--------------|--------|------------|------------|---------------------|
| | | Beta | Gamma-2p | Gamma-3p | Johnson SB | Lognormal-2p | Lognormal-3p | Normal | Weibull-2p | Weibull-3p | |
| 3058 | Çsbc1 | 1 | 6 | --- | 3 | 4 | 2 | 7 | 5 | --- | Beta |
| 3059 | Çsbc1 | 5 | 1 | --- | --- | 2 | --- | 3 | 4 | 6 | Gamma-2p |
| 3060 | Çsbc1 | 6 | 2 | 7 | 1 | 3 | --- | 5 | 4 | --- | Johnson SB |
| 3061 | Çsbc1 | 1 | 5 | 6 | 3 | 2 | 7 | 9 | 8 | 4 | Beta |
| 3062 | Çsbc1 | 5 | 2 | 6 | --- | 4 | --- | 3 | 1 | --- | Weibull-2p |
| 3063 | Çsbc1 | 6 | 2 | 7 | 1 | 3 | --- | 5 | 4 | --- | Johnson SB |
| 3064 | Çsbc1 | 5 | 1 | --- | --- | 2 | --- | 3 | 4 | 6 | Gamma-2p |
| 3065 | Çsbc1 | 5 | 2 | 6 | --- | 4 | --- | 3 | 1 | --- | Weibull-2p |
| 3066 | Çsbc1 | --- | 1 | --- | 2 | 5 | --- | 3 | 4 | --- | Gamma-2p |
| 3067 | Çsbc2 | --- | 6 | 5 | 1 | 3 | 2 | 7 | 8 | 4 | Johnson SB |
| 3068 | Çsbc2 | 7 | 6 | 2 | 1 | 3 | 5 | 9 | 8 | 4 | Johnson SB |
| 3069 | Çsbc2 | 8 | 6 | 4 | 9 | 7 | 3 | 2 | 5 | 1 | Weibull-3p |
| 3070 | Çsbc2 | 6 | 4 | 7 | 1 | 5 | --- | 2 | 3 | --- | Johnson SB |
| 3071 | Çsbc2 | 6 | 2 | --- | 1 | 3 | --- | 4 | 5 | --- | Johnson SB |
| 3072 | Çsbc2 | 6 | 3 | --- | 1 | 5 | --- | 4 | 2 | --- | Johnson SB |
| 3073 | Çsbc2 | 7 | 5 | 8 | 1 | 6 | 2 | 4 | 3 | --- | Johnson SB |
| 3074 | Çsbc2 | 6 | 1 | 5 | --- | 2 | 4 | 3 | 7 | Çözümsüz | Gamma-2p |
| 3075 | Çsbc2 | 1 | 9 | 7 | 3 | 6 | 8 | 4 | 5 | 2 | Beta |
| 3076 | Çsbc2 | 7 | 4 | 6 | 1 | 5 | --- | 3 | 2 | 8 | Johnson SB |
| 3077 | Çsbc2 | --- | 3 | 6 | 1 | 7 | 5 | 4 | 8 | 2 | Johnson SB |
| 3078 | Çsbc2 | 6 | 3 | 7 | --- | 4 | 5 | 1 | 2 | --- | Normal |
| 3079 | Çsbc2 | 5 | 3 | --- | 1 | 4 | 2 | 6 | 7 | --- | Johnson SB |
| 3080 | Çsbc2 | 6 | 4 | 7 | 2 | 5 | --- | 3 | 1 | --- | Weibull-2p |
| 3081 | Çsbc2 | 3 | 4 | 6 | 1 | 2 | 7 | 8 | 9 | 5 | Johnson SB |
| 3082 | Çsbc2 | --- | 1 | 7 | 4 | 6 | 5 | 2 | 3 | --- | Gamma-2p |
| 3083 | Çsbc2 | 6 | 2 | 9 | 3 | 5 | 8 | 1 | 4 | 7 | Normal |
| 3084 | Çsbc2 | --- | 1 | 5 | Çözümsüz | 2 | 4 | 3 | 7 | 6 | Gamma-2p |
| 3085 | Çsbc2 | 7 | 6 | --- | 2 | 3 | 5 | 4 | 1 | --- | Weibull-2p |
| 3086 | Çsbc2 | --- | 3 | 4 | 1 | 2 | 7 | 6 | 5 | --- | Johnson SB |
| 3087 | Çsbc2 | 6 | 1 | --- | 2 | 4 | 7 | 3 | 5 | --- | Gamma-2p |
| 3088 | Çsbc2 | 6 | 2 | 8 | 1 | 3 | --- | 4 | 5 | 7 | Johnson SB |
| 3089 | Çsbc2 | 6 | 2 | 7 | 1 | 5 | --- | 4 | 3 | 8 | Johnson SB |
| 3090 | Çsbc2 | 3 | 4 | --- | 1 | 2 | 5 | 7 | 6 | --- | Johnson SB |
| 3091 | Çsbc2 | 5 | 2 | --- | --- | 4 | 7 | 1 | 3 | 6 | Normal |
| 3092 | Çsbc2 | --- | 1 | --- | --- | 2 | 3 | 5 | 4 | --- | Gamma-2p |
| 3093 | Çsbc2 | 6 | 4 | 7 | 1 | 5 | --- | 2 | 3 | --- | Johnson SB |
| 3094 | Çsbc2 | --- | 1 | 5 | --- | 2 | --- | 3 | 4 | --- | Gamma-2p |
| 3095 | Çsbc2 | 6 | 2 | 8 | 1 | 3 | --- | 5 | 4 | 7 | Johnson SB |
| 3096 | Çsbc2 | 9 | 6 | 8 | 2 | 1 | 3 | 5 | 4 | 7 | Lognormal-2p |
| 3097 | Çsbc3 | --- | 6 | --- | 2 | 1 | 3 | 4 | 5 | --- | Lognormal-2p |
| 3098 | Çsbc3 | --- | 5 | --- | 2 | 4 | 1 | 7 | 6 | 3 | Lognormal-3p |
| 3099 | Çsbc3 | 7 | 2 | 8 | 1 | 5 | 3 | 6 | 4 | 9 | Johnson SB |
| 3100 | Çsbc3 | 6 | 3 | 7 | 1 | 4 | --- | 2 | 5 | 8 | Johnson SB |
| 3101 | Çsbc3 | 7 | 6 | --- | 2 | 1 | 5 | 4 | 3 | --- | Lognormal-2p |
| 3102 | Çsbc3 | --- | 1 | --- | 3 | 2 | --- | 4 | 5 | --- | Gamma-2p |
| 3103 | Çsbc3 | 9 | 2 | 5 | 6 | 4 | 3 | 7 | 8 | 1 | Weibull-3p |
| 3104 | Çsbc3 | --- | 5 | 3 | 1 | 6 | 4 | 7 | 8 | 2 | Johnson SB |
| 3105 | Çsbc3 | 6 | 1 | 7 | 2 | 3 | --- | 4 | 5 | --- | Gamma-2p |
| 3106 | Çsbc3 | 5 | 1 | --- | --- | 4 | 6 | 2 | 3 | --- | Gamma-2p |
| 3107 | Çsbc3 | 4 | 7 | --- | 1 | 2 | 8 | 6 | 5 | 3 | Johnson SB |
| 3108 | Çsbc3 | --- | 5 | 2 | 8 | 4 | 6 | 7 | 3 | 1 | Weibull-3p |
| 3109 | Çsbc3 | --- | 1 | --- | 2 | 3 | 4 | 5 | 6 | --- | Gamma-2p |
| 3110 | Çsbc3 | 7 | 6 | --- | 3 | 4 | 5 | 1 | 2 | --- | Normal |
| 3111 | Çsbc3 | 6 | 1 | --- | 2 | 3 | 7 | 5 | 4 | --- | Gamma-2p |
| 3112 | Çsbc3 | 3 | 5 | --- | 1 | 7 | 2 | 6 | 4 | --- | Johnson SB |
| 3113 | Çsbc3 | --- | 5 | 3 | 1 | 6 | 4 | 7 | 8 | 2 | Johnson SB |
| 3114 | Çsbc3 | 7 | 6 | --- | 2 | 5 | 1 | 4 | 3 | --- | Lognormal-3p |
| 3115 | Çsbc3 | 2 | 7 | 5 | 9 | 6 | 8 | 4 | 1 | 3 | Weibull-2p |
| 3116 | Çsbc3 | 6 | 5 | 2 | Çözümsüz | 3 | 4 | 8 | 7 | 1 | Weibull-3p |

Tablo 4.9.'un devamı

| Örnek Alan No | Meşçere Tipi | Olasılık Yoğunluk Fonksiyonları | | | | | | | | | En Başarılı Dağılım |
|---------------|--------------|---------------------------------|----------|----------|------------|--------------|--------------|--------|------------|------------|---------------------|
| | | Beta | Gamma-2p | Gamma-3p | Johnson SB | Lognormal-2p | Lognormal-3p | Normal | Weibull-2p | Weibull-3p | |
| 3117 | Çsbc3 | 7 | 1 | 8 | 5 | 6 | 2 | 4 | 3 | --- | Gamma-2p |
| 3118 | Çsbc3 | 1 | 2 | 5 | --- | 3 | 4 | 6 | 7 | Çözümsüz | Beta |
| 3119 | Çsbc3 | 7 | 1 | --- | 5 | 2 | 6 | 4 | 3 | --- | Gamma-2p |
| 3120 | Çsbc3 | Çözümsüz | 5 | 2 | --- | 4 | 3 | 7 | 6 | 1 | Weibull-3p |
| 3121 | Çsbc3 | --- | 4 | 7 | 1 | 3 | 2 | 6 | 5 | --- | Johnson SB |
| 3122 | Çsbc3 | 7 | 2 | 1 | --- | 8 | 5 | 4 | 6 | 3 | Gamma-3p |
| 3123 | Çsbc3 | 2 | 7 | 4 | 1 | 6 | 5 | 8 | 9 | 3 | Johnson SB |
| 3124 | Çsbc3 | 2 | 6 | 1 | Çözümsüz | 7 | 3 | 4 | 8 | 5 | Gamma-3p |
| 3125 | Çsbc3 | 6 | 1 | --- | 4 | 2 | 7 | 5 | 3 | --- | Gamma-2p |
| 3126 | Çsc1 | 7 | 6 | 3 | 1 | 8 | 4 | 5 | 9 | 2 | Johnson SB |
| 3127 | Çsc1 | 8 | 6 | --- | 5 | 2 | 1 | 3 | 4 | 7 | Lognormal-3p |
| 3128 | Çsc1 | 3 | 1 | --- | Çözümsüz | 5 | --- | 4 | 2 | --- | Gamma-2p |
| 3129 | Çsc1 | --- | 1 | 6 | 4 | 2 | --- | 5 | 3 | --- | Gamma-2p |
| 3130 | Çsc1 | 5 | 2 | 6 | --- | 4 | --- | 1 | 3 | --- | Normal |
| 3131 | Çsc1 | 2 | 6 | 1 | 3 | 5 | 4 | 8 | 7 | --- | Gamma-3p |
| 3132 | Çsc1 | 8 | 2 | 5 | --- | 6 | 4 | 3 | 7 | 1 | Weibull-3p |
| 3133 | Çsc1 | --- | 2 | 3 | 6 | 1 | 4 | 7 | 8 | 5 | Lognormal-2p |
| 3134 | Çsc2 | 3 | 8 | --- | 5 | 1 | 2 | 7 | 6 | 4 | Lognormal-2p |
| 3135 | Çsc2 | 4 | 1 | 5 | --- | 7 | 3 | 2 | 6 | Çözümsüz | Gamma-2p |
| 3136 | Çsc2 | 5 | 1 | 2 | Çözümsüz | 8 | 4 | 6 | 7 | 3 | Gamma-2p |
| 3137 | Çsc2 | 2 | 7 | --- | 1 | 6 | 5 | 4 | 3 | --- | Johnson SB |
| 3138 | Çsc2 | --- | 7 | 5 | 1 | 8 | 4 | 3 | 6 | 2 | Johnson SB |
| 3139 | Çsc2 | 3 | 9 | 8 | 4 | 1 | 7 | 6 | 2 | 5 | Lognormal-2p |
| 3140 | Çsc2 | --- | 1 | 3 | Çözümsüz | 4 | 2 | 6 | 7 | 5 | Gamma-2p |
| 3141 | Çsc2 | 8 | 5 | 4 | 6 | 9 | 3 | 2 | 7 | 1 | Weibull-3p |
| 3142 | Çsc2 | 8 | 3 | 1 | 6 | 4 | 2 | 7 | 5 | 9 | Gamma-3p |
| 3143 | Çsc2 | --- | 2 | 3 | 6 | 1 | 4 | 7 | 8 | 5 | Lognormal-2p |
| 3144 | Çsc2 | 6 | 5 | --- | 1 | 3 | 4 | 7 | 2 | --- | Johnson SB |
| 3145 | Çsc2 | 2 | 8 | 7 | 5 | 9 | 6 | 4 | 3 | 1 | Weibull-3p |
| 3146 | Çsc2 | 7 | 6 | --- | 4 | 3 | 5 | 2 | 1 | --- | Weibull-2p |
| 3147 | Çsc2 | 9 | 1 | 7 | 3 | 2 | 6 | 5 | 8 | 4 | Gamma-2p |
| 3148 | Çsc2 | 7 | 1 | 4 | --- | 5 | 3 | 2 | 6 | Çözümsüz | Gamma-2p |
| 3149 | Çsc2 | --- | 2 | 4 | --- | 5 | 3 | 1 | 6 | Çözümsüz | Normal |
| 3150 | Çsc2 | 7 | 4 | --- | 8 | 1 | 5 | 2 | 3 | 6 | Lognormal-2p |
| 3151 | Çsc2 | 7 | 5 | 1 | --- | 4 | 3 | 8 | 6 | 2 | Gamma-3p |
| 3152 | Çsc2 | --- | 5 | 2 | --- | 6 | 3 | 1 | 7 | 4 | Normal |
| 3153 | Çsc2 | 1 | 8 | --- | 2 | 3 | 6 | 7 | 5 | 4 | Beta |
| 3154 | Çsc3 | --- | 2 | 8 | 5 | 3 | 1 | 7 | 4 | 6 | Lognormal-3p |
| 3155 | Çsc3 | 6 | 4 | 2 | 1 | 5 | 9 | 8 | 7 | 3 | Johnson SB |
| 3156 | Çsc3 | 3 | 7 | --- | 2 | 4 | 1 | 6 | 5 | --- | Lognormal-3p |
| 3157 | Çsc3 | 6 | 2 | --- | 1 | 3 | 7 | 4 | 5 | --- | Johnson SB |
| 3158 | Çsc3 | --- | 4 | 6 | 1 | 3 | 5 | 8 | 2 | 7 | Johnson SB |
| 3159 | Çsc3 | 1 | 9 | 5 | 2 | 7 | 6 | 8 | 3 | 4 | Beta |
| 3160 | Çsc3 | 5 | 1 | --- | --- | 3 | --- | 2 | 4 | --- | Gamma-2p |
| 3161 | Çsc3 | --- | 6 | 5 | 8 | 7 | 4 | 3 | 2 | 1 | Weibull-3p |
| 3162 | Çsc3 | --- | 2 | 6 | 3 | 8 | 5 | 1 | 7 | 4 | Normal |
| 3163 | Çsc3 | --- | 4 | --- | --- | 5 | 3 | 2 | 1 | 6 | Weibull-2p |
| 3164 | Çsc3 | 9 | 1 | 2 | 5 | 4 | 8 | 7 | 3 | 6 | Gamma-2p |
| 3165 | Çsc3 | 1 | 8 | --- | 6 | 3 | 7 | 5 | 2 | 4 | Beta |
| 3166 | Çsc3 | 9 | 3 | 2 | 4 | 6 | 8 | 1 | 7 | 5 | Normal |
| 3167 | Çsc3 | Çözümsüz | 7 | 5 | 2 | 6 | 3 | 8 | 1 | 4 | Weibull-2p |
| 3168 | Çsc3 | 9 | 8 | 7 | 1 | 3 | 6 | 2 | 4 | 5 | Johnson SB |
| 3169 | Çsc3 | 5 | 8 | 2 | 1 | 3 | 9 | 7 | 6 | 4 | Johnson SB |
| 3170 | Çsc3 | --- | 1 | 8 | 2 | 6 | 7 | 5 | 4 | 3 | Gamma-2p |
| 3171 | Çsc3 | --- | 4 | 5 | 1 | 7 | 3 | 8 | 2 | 6 | Johnson SB |
| 3172 | Çsc3 | 8 | 4 | 2 | 1 | 3 | 7 | 9 | 6 | 5 | Johnson SB |
| 3173 | Çsc3 | --- | 3 | 2 | 6 | 4 | 1 | 7 | 8 | 5 | Lognormal-3p |
| 3174 | Çsc3 | 6 | 4 | --- | 5 | 3 | --- | 1 | 2 | --- | Normal |

Tablo 4.9.'un devamı

| Örnek Alan No | Meşçere Tipi | Olasılık Yoğunluk Fonksiyonları | | | | | | | | | En Başarılı Dağılım |
|---------------|--------------|---------------------------------|----------|----------|------------|--------------|--------------|--------|------------|------------|---------------------|
| | | Beta | Gamma-2p | Gamma-3p | Johnson SB | Lognormal-2p | Lognormal-3p | Normal | Weibull-2p | Weibull-3p | |
| 3175 | Çsc3 | 4 | 7 | 8 | 5 | 2 | 6 | 1 | 3 | 9 | Normal |
| 3176 | Çsc3 | 7 | 6 | 4 | --- | 8 | 3 | 2 | 5 | 1 | Weibull-3p |
| 3177 | Çsc3 | --- | 8 | 5 | 7 | 6 | 3 | 2 | 1 | 4 | Weibull-2p |
| 3178 | Çsc3 | 9 | 6 | 7 | 1 | 2 | 8 | 5 | 4 | 3 | Johnson SB |
| 3179 | Çsc3 | --- | 3 | 2 | 5 | 1 | 8 | 6 | 7 | 4 | Lognormal-2p |
| 3180 | Çsc3 | 8 | 1 | --- | 3 | 6 | 5 | 2 | 4 | 7 | Gamma-2p |
| 3181 | Çsc3 | 9 | 8 | 5 | 2 | 7 | 4 | 3 | 1 | 6 | Weibull-2p |
| 3182 | Çsc3 | 8 | 2 | 6 | 5 | 1 | 7 | 4 | 3 | --- | Lognormal-2p |
| 3183 | Çsc3 | 5 | 7 | 3 | 4 | 8 | 2 | 1 | 9 | 6 | Normal |
| 3184 | Çscd1 | 5 | 6 | 3 | --- | 7 | 4 | 2 | 1 | Çözümsüz | Weibull-2p |
| 3185 | Çscd1 | 5 | 6 | 7 | --- | 8 | 2 | 1 | 3 | 4 | Normal |
| 3186 | Çscd1 | 9 | 7 | 8 | 1 | 6 | 3 | 2 | 5 | 4 | Johnson SB |
| 3187 | Çscd1 | 1 | 9 | 3 | 6 | 8 | 4 | 7 | 5 | 2 | Beta |
| 3188 | Çscd1 | 6 | 2 | --- | 1 | 3 | --- | 4 | 5 | --- | Johnson SB |
| 3189 | Çscd1 | 7 | 2 | 6 | 3 | 1 | 5 | 9 | 8 | 4 | Lognormal-2p |
| 3190 | Çscd1 | 5 | 1 | --- | --- | 2 | 7 | 3 | 4 | 6 | Gamma-2p |
| 3191 | Çscd1 | 5 | 2 | --- | --- | 1 | --- | 4 | 3 | --- | Lognormal-2p |
| 3192 | Çscd1 | 8 | 7 | 2 | --- | 5 | 6 | 4 | 3 | 1 | Weibull-3p |
| 3193 | Çscd1 | 7 | 6 | --- | 5 | 1 | 2 | 3 | 4 | --- | Lognormal-2p |
| 3194 | Çscd1 | 6 | 3 | 9 | 1 | 8 | 7 | 2 | 5 | 4 | Johnson SB |
| 3195 | Çscd1 | 6 | 3 | --- | --- | 4 | 2 | 5 | 1 | --- | Weibull-2p |
| 3196 | Çscd1 | 7 | 3 | 2 | 4 | 8 | 5 | 9 | 6 | 1 | Weibull-3p |
| 3197 | Çscd1 | 6 | 4 | 8 | 5 | 3 | --- | 1 | 2 | 7 | Normal |
| 3198 | Çscd1 | 4 | 1 | 9 | 6 | 3 | 2 | 8 | 7 | 5 | Gamma-2p |
| 3199 | Çscd1 | 6 | 3 | 7 | --- | 4 | 2 | 1 | 5 | --- | Normal |
| 3200 | Çscd1 | 8 | 7 | 4 | --- | 6 | 3 | 2 | 5 | 1 | Weibull-3p |
| 3201 | Çscd1 | 1 | 6 | 5 | 2 | 8 | 7 | 3 | 4 | --- | Beta |
| 3202 | Çscd1 | 7 | 4 | 9 | 2 | 3 | 1 | 5 | 6 | 8 | Lognormal-3p |
| 3203 | Çscd1 | 1 | 7 | 2 | --- | 6 | 5 | 4 | 3 | --- | Beta |
| 3204 | Çscd1 | 7 | 1 | --- | --- | 5 | 2 | 6 | 3 | 4 | Gamma-2p |
| 3205 | Çscd1 | 6 | 2 | --- | 1 | 4 | --- | 3 | 5 | --- | Johnson SB |
| 3206 | Çscd1 | 6 | 7 | 2 | 3 | 8 | 9 | 5 | 4 | 1 | Weibull-3p |
| 3207 | Çscd1 | 9 | 6 | 2 | 1 | 8 | 5 | 4 | 7 | 3 | Johnson SB |
| 3208 | Çscd1 | 6 | 4 | --- | --- | 1 | 2 | 3 | 5 | --- | Lognormal-2p |
| 3209 | Çscd1 | 4 | 3 | 8 | 5 | 1 | 2 | 6 | 7 | --- | Lognormal-2p |
| 3210 | Çscd1 | 6 | 4 | 1 | 2 | 8 | 5 | 7 | 3 | --- | Gamma-3p |
| 3211 | Çscd1 | --- | 7 | 6 | 1 | 8 | 4 | 5 | 3 | 2 | Johnson SB |
| 3212 | Çscd1 | 7 | 6 | 8 | 2 | 3 | 5 | 4 | 1 | --- | Weibull-2p |
| 3213 | Çscd2 | --- | 1 | --- | 2 | 7 | 6 | 4 | 5 | 3 | Gamma-2p |
| 3214 | Çscd2 | --- | 7 | 6 | 4 | 8 | 3 | 1 | 2 | 5 | Normal |
| 3215 | Çscd2 | 3 | 1 | 4 | 5 | 2 | 9 | 7 | 8 | 6 | Gamma-2p |
| 3216 | Çscd2 | 2 | 4 | --- | --- | 1 | --- | 5 | 3 | --- | Lognormal-2p |
| 3217 | Çscd2 | --- | 1 | 4 | 3 | 5 | 7 | 6 | 8 | 2 | Gamma-2p |
| 3218 | Çscd2 | 6 | 3 | --- | 1 | 2 | --- | 4 | 5 | --- | Johnson SB |
| 3219 | Çscd2 | --- | 1 | 8 | 4 | 7 | 5 | 2 | 3 | 6 | Gamma-2p |
| 3220 | Çscd2 | 1 | 7 | 9 | 6 | 5 | 4 | 2 | 8 | 3 | Beta |
| 3221 | Çscd2 | 5 | 4 | --- | --- | 1 | --- | 3 | 2 | --- | Lognormal-2p |
| 3222 | Çscd2 | 4 | 6 | 3 | Çözümsüz | 8 | 5 | 1 | 7 | 2 | Normal |
| 3223 | Çscd2 | 1 | 8 | 4 | 2 | 9 | 6 | 3 | 5 | 7 | Beta |
| 3224 | Çscd2 | 7 | 1 | 8 | 4 | 3 | 5 | 6 | 2 | --- | Gamma-2p |
| 3225 | Çscd2 | --- | 2 | 5 | 8 | 4 | 6 | 7 | 3 | 1 | Weibull-3p |
| 3226 | Çscd2 | 6 | 8 | 3 | 4 | 5 | 2 | 1 | 7 | 9 | Normal |
| 3227 | Çscd2 | --- | 4 | 6 | Çözümsüz | 1 | 3 | 2 | 7 | 5 | Lognormal-2p |
| 3228 | Çscd2 | --- | 7 | 5 | 8 | 3 | 1 | 4 | 6 | 2 | Lognormal-3p |
| 3229 | Çscd2 | 4 | 5 | --- | --- | 3 | --- | 2 | 1 | --- | Weibull-2p |
| 3230 | Çscd2 | 9 | 8 | 6 | 3 | 7 | 4 | 1 | 2 | 5 | Normal |
| 3231 | Çscd2 | 4 | 7 | 6 | --- | 3 | 1 | 2 | 8 | 5 | Lognormal-3p |
| 3232 | Çscd2 | 1 | 2 | --- | --- | 4 | --- | 5 | 3 | --- | Beta |

Tablo 4.9.'un devamı

| Örnek Alan No | Meşçere Tipi | Olasılık Yoğunluk Fonksiyonları | | | | | | | | | En Başarılı Dağılım |
|---------------|--------------|---------------------------------|----------|----------|------------|--------------|--------------|--------|------------|------------|---------------------|
| | | Beta | Gamma-2p | Gamma-3p | Johnson SB | Lognormal-2p | Lognormal-3p | Normal | Weibull-2p | Weibull-3p | |
| 3233 | Çscd2 | 9 | 1 | 6 | 2 | 5 | 8 | 7 | 4 | 3 | Gamma-2p |
| 3234 | Çscd2 | 2 | 6 | 3 | --- | 7 | 8 | 4 | 5 | 1 | Weibull-3p |
| 3235 | Çscd2 | --- | 4 | 5 | 2 | 3 | 6 | 8 | 7 | 1 | Weibull-3p |
| 3236 | Çscd2 | 7 | 4 | 3 | --- | 6 | 5 | 1 | 2 | Çözümsüz | Normal |
| 3237 | Çscd2 | 6 | 1 | 3 | --- | 7 | 4 | 2 | 5 | Çözümsüz | Gamma-2p |
| 3238 | Çscd2 | 5 | 2 | 4 | Çözümsüz | 1 | 6 | 7 | 8 | 3 | Lognormal-2p |
| 3239 | Çscd2 | 8 | 5 | 9 | 7 | 1 | 4 | 2 | 3 | 6 | Lognormal-2p |
| 3240 | Çscd2 | --- | 7 | 6 | 4 | 3 | 2 | 1 | 5 | 8 | Normal |
| 3241 | Çscd2 | 7 | 1 | 9 | 3 | 6 | 2 | 4 | 5 | 8 | Gamma-2p |
| 3242 | Çscd2 | 2 | 7 | --- | 5 | 6 | 4 | 1 | 3 | --- | Normal |
| 3243 | Çscd3 | --- | 6 | 3 | 1 | 4 | 5 | 8 | 7 | 2 | Johnson SB |
| 3244 | Çscd3 | 5 | 4 | --- | 3 | 2 | 1 | 6 | 7 | --- | Lognormal-3p |
| 3245 | Çscd3 | 2 | 7 | --- | 3 | 8 | 6 | 5 | 4 | 1 | Weibull-3p |
| 3246 | Çscd3 | 3 | 5 | --- | --- | 1 | 2 | 6 | 4 | --- | Lognormal-2p |
| 3247 | Çscd3 | --- | 4 | 3 | 2 | 6 | 1 | 5 | 7 | --- | Lognormal-3p |
| 3248 | Çscd3 | 2 | 5 | 4 | 1 | 6 | 3 | 7 | 8 | --- | Johnson SB |
| 3249 | Çscd3 | --- | 3 | 6 | --- | 2 | 7 | 1 | 4 | 5 | Normal |
| 3250 | Çscd3 | 9 | 4 | 1 | 5 | 6 | 8 | 7 | 2 | 3 | Gamma-3p |
| 3251 | Çscd3 | 7 | 2 | --- | 1 | 3 | 4 | 6 | 5 | --- | Johnson SB |
| 3252 | Çscd3 | 2 | 3 | 5 | 1 | 7 | 4 | 8 | 6 | 9 | Johnson SB |
| 3253 | Çscd3 | 6 | 2 | --- | --- | 1 | 7 | 4 | 3 | 5 | Lognormal-2p |
| 3254 | Çscd3 | 9 | 8 | 2 | 6 | 7 | 1 | 3 | 5 | 4 | Lognormal-3p |
| 3255 | Çscd3 | 5 | 3 | --- | --- | 2 | --- | 4 | 1 | --- | Weibull-2p |
| 3256 | Çscd3 | 8 | 2 | 3 | 9 | 1 | 4 | 7 | 5 | 6 | Lognormal-2p |
| 3257 | Çscd3 | --- | 4 | 1 | 7 | 8 | 2 | 5 | 6 | 3 | Gamma-3p |
| 3258 | Çscd3 | 5 | 2 | 4 | --- | 6 | 3 | 1 | 7 | Çözümsüz | Normal |
| 3259 | Çscd3 | --- | 5 | 6 | 7 | 1 | 3 | 2 | 4 | 8 | Lognormal-2p |
| 3260 | Çscd3 | 8 | 5 | 2 | 6 | 1 | 9 | 7 | 3 | 4 | Lognormal-2p |
| 3261 | Çscd3 | 3 | 8 | 7 | 1 | 9 | 6 | 5 | 2 | 4 | Johnson SB |
| 3262 | Çscd3 | --- | 3 | 4 | 1 | 6 | 5 | 7 | 8 | 2 | Johnson SB |
| 3263 | Çscd3 | 8 | 2 | 1 | 3 | 7 | 6 | 5 | 9 | 4 | Gamma-3p |
| 3264 | Çscd3 | --- | 6 | 3 | 4 | 2 | 5 | 7 | 8 | 1 | Weibull-3p |
| 3265 | Çscd3 | 7 | 6 | 2 | --- | 8 | 5 | 4 | 3 | 1 | Weibull-3p |
| 3266 | Çscd3 | 3 | 8 | --- | 2 | 1 | 4 | 7 | 6 | 5 | Lognormal-2p |
| 3267 | Çscd3 | --- | 8 | 3 | 5 | 7 | 1 | 2 | 4 | 6 | Lognormal-3p |
| 3268 | Çscd3 | 1 | 7 | 5 | 2 | 8 | 4 | 3 | 9 | 6 | Beta |
| 3269 | Çscd3 | 2 | 1 | 8 | 3 | 5 | 7 | 6 | 9 | 4 | Gamma-2p |
| 3270 | Çscd3 | 3 | 7 | 6 | 4 | 1 | 8 | 5 | 9 | 2 | Lognormal-2p |
| 3271 | Çscd3 | 3 | 6 | 9 | 1 | 8 | 7 | 4 | 5 | 2 | Johnson SB |
| 3272 | Çscd3 | 1 | 5 | 4 | Çözümsüz | 6 | 3 | 8 | 7 | 2 | Beta |
| 3273 | Çsd1 | 4 | 7 | --- | 5 | 3 | 1 | 6 | 2 | --- | Lognormal-3p |
| 3274 | Çsd1 | 1 | 4 | --- | --- | 5 | --- | 3 | 2 | 6 | Beta |
| 3275 | Çsd1 | 8 | 1 | 2 | 6 | 7 | 3 | 4 | 5 | Çözümsüz | Gamma-2p |
| 3276 | Çsd1 | 4 | 1 | 6 | --- | 3 | 7 | 5 | 2 | Çözümsüz | Gamma-2p |
| 3277 | Çsd1 | --- | 1 | 2 | --- | 6 | 4 | 3 | 5 | Çözümsüz | Gamma-2p |
| 3278 | Çsd1 | 5 | 6 | 3 | --- | 7 | 2 | 1 | 4 | Çözümsüz | Normal |
| 3279 | Çsd1 | 4 | 2 | 7 | 8 | 9 | 6 | 5 | 3 | 1 | Weibull-3p |
| 3280 | Çsd1 | --- | 3 | 6 | 1 | 4 | 5 | 7 | 8 | 2 | Johnson SB |
| 3281 | Çsd1 | 8 | 5 | 2 | --- | 4 | 3 | 7 | 6 | 1 | Weibull-3p |
| 3282 | Çsd1 | 6 | 3 | --- | 5 | 4 | 7 | 2 | 1 | --- | Weibull-2p |
| 3283 | Çsd1 | --- | 3 | 6 | 1 | 7 | 5 | 2 | 8 | 4 | Johnson SB |
| 3284 | Çsd1 | --- | 3 | 6 | 1 | 7 | 5 | 2 | 8 | 4 | Johnson SB |
| 3285 | Çsd1 | --- | 2 | 5 | Çözümsüz | 4 | --- | 3 | 1 | 6 | Weibull-2p |
| 3286 | Çsd1 | 5 | 3 | --- | --- | 4 | 1 | 6 | 2 | --- | Lognormal-3p |
| 3287 | Çsd1 | 1 | 6 | --- | --- | 5 | 2 | 3 | 4 | --- | Beta |
| 3288 | Çsd1 | 2 | 8 | 6 | 3 | 9 | 5 | 4 | 7 | 1 | Weibull-3p |
| 3289 | Çsd1 | 7 | 4 | 2 | --- | 5 | 1 | 3 | 6 | Çözümsüz | Lognormal-3p |
| 3290 | Çsd2 | 9 | 3 | 4 | 2 | 6 | 5 | 7 | 8 | 1 | Weibull-3p |

Tablo 4.9.'un devamı

| Örnek Alan No | Mesjere Tipi | Olasılık Yoğunluk Fonksiyonları | | | | | | | | | En Başarılı Dağılım |
|---------------|--------------|---------------------------------|----------|----------|------------|--------------|--------------|--------|------------|------------|---------------------|
| | | Beta | Gamma-2p | Gamma-3p | Johnson SB | Lognormal-2p | Lognormal-3p | Normal | Weibull-2p | Weibull-3p | |
| 3291 | Çsd2 | --- | 1 | 5 | 2 | 7 | 3 | 4 | 6 | Çözümsüz | Gamma-2p |
| 3292 | Çsd2 | --- | 8 | 7 | 3 | 2 | 6 | 5 | 1 | 4 | Weibull-2p |
| 3293 | Çsd2 | 8 | 5 | 4 | 2 | 7 | 3 | 9 | 1 | 6 | Weibull-2p |
| 3294 | Çsd2 | --- | 1 | 2 | --- | 6 | 4 | 3 | 5 | Çözümsüz | Gamma-2p |
| 3295 | Çsd2 | 5 | 6 | 3 | --- | 7 | 2 | 1 | 4 | Çözümsüz | Normal |
| 3296 | Çsd2 | --- | 6 | 7 | 1 | 8 | 5 | 3 | 2 | 4 | Johnson SB |
| 3297 | Çsd2 | 3 | 7 | 5 | --- | 2 | 6 | 4 | 8 | 1 | Weibull-3p |
| 3298 | Çsd2 | --- | 2 | 6 | --- | 5 | 4 | 3 | 7 | 1 | Weibull-3p |
| 3299 | Çsd2 | 8 | 6 | 4 | --- | 7 | 3 | 2 | 5 | 1 | Weibull-3p |
| 3300 | Çsd2 | --- | 1 | 4 | 7 | 6 | 3 | 2 | 5 | Çözümsüz | Gamma-2p |
| 3301 | Çsd2 | 8 | 7 | 2 | 1 | 6 | 3 | 5 | 4 | Çözümsüz | Johnson SB |
| 3302 | Çsd2 | 5 | 6 | --- | --- | 4 | 2 | 1 | 3 | --- | Normal |
| 3303 | Çsd2 | 2 | 5 | --- | --- | 6 | 4 | 3 | 1 | --- | Weibull-2p |
| 3304 | Çsd2 | 7 | 3 | 5 | --- | 2 | 1 | 8 | 6 | 4 | Lognormal-3p |
| 3305 | Çsd2 | 1 | 3 | --- | --- | 4 | 5 | 6 | 2 | --- | Beta |
| 3306 | Çsd2 | --- | 2 | 1 | 6 | 5 | 8 | 7 | 3 | 4 | Gamma-3p |
| 3307 | Çsd2 | 3 | 1 | 6 | Çözümsüz | 7 | 5 | 4 | 8 | 2 | Gamma-2p |
| 3308 | Çsd2 | 3 | 4 | --- | --- | 1 | 2 | 6 | 5 | --- | Lognormal-2p |
| 3309 | Çsd2 | 5 | 3 | 7 | --- | 4 | 6 | 2 | 1 | --- | Weibull-2p |
| 3310 | Çsd2 | 2 | 4 | --- | 6 | 3 | 7 | 1 | 5 | --- | Normal |
| 3311 | Çsd2 | --- | 1 | 3 | 6 | 7 | 4 | 2 | 8 | 5 | Gamma-2p |
| 3312 | Çsd2 | --- | 4 | 7 | 3 | 8 | 6 | 5 | 2 | 1 | Weibull-3p |
| 3313 | Çsd2 | 3 | 5 | 8 | 2 | 1 | 6 | 9 | 4 | 7 | Lognormal-2p |
| 3314 | Çsd2 | 7 | 3 | 2 | 9 | 6 | 4 | 5 | 1 | 8 | Weibull-2p |
| 3315 | Çsd2 | 7 | 5 | --- | 3 | 6 | 4 | 1 | 2 | --- | Normal |
| 3316 | Çsd2 | 9 | 8 | 4 | 1 | 7 | 5 | 2 | 6 | 3 | Johnson SB |
| 3317 | Çsd3 | 7 | 8 | 5 | 2 | 1 | 3 | 9 | 4 | 6 | Lognormal-2p |
| 3318 | Çsd3 | 6 | 3 | 4 | 8 | 1 | 5 | 7 | 2 | Çözümsüz | Lognormal-2p |
| 3319 | Çsd3 | 5 | 4 | --- | --- | 2 | --- | 1 | 3 | --- | Normal |
| 3320 | Çsd3 | --- | 7 | 5 | --- | 6 | 3 | 2 | 4 | 1 | Weibull-3p |
| 3321 | Çsd3 | 9 | 8 | 7 | 3 | 5 | 2 | 1 | 6 | 4 | Normal |
| 3322 | Çsd3 | 5 | 3 | --- | --- | 4 | 1 | 2 | 6 | --- | Lognormal-3p |
| 3323 | Çsd3 | --- | 2 | 4 | 5 | 1 | 6 | 8 | 7 | 3 | Lognormal-2p |

Tablo 4.10. *Olasılık yoğunluk fonksiyonlarının Kolmogorov-Smirnov (KS), Anderson-Darling (AD) ve Ki-kare (X^2) istatistiklerine göre sıralamalarına ilişkin frekans dağılımları*

| İstatistiksel Ölçüt | Sıralama | Olasılık Yoğunluk Fonksiyonları | | | | | | | | |
|-------------------------|---------------|---------------------------------|----------|----------|------------|--------------|--------------|--------|------------|------------|
| | | Beta | Gamma-2p | Gamma-3p | Johnson SB | Lognormal-2p | Lognormal-3p | Normal | Weibull-2p | Weibull-3p |
| Kolmogorov-Smirnov (KS) | 1 | 59 | 82 | 33 | 400 | 42 | 47 | 52 | 91 | 84 |
| | 2 | 97 | 83 | 39 | 162 | 59 | 73 | 95 | 191 | 91 |
| | 3 | 66 | 87 | 49 | 103 | 72 | 115 | 184 | 146 | 68 |
| | 4 | 61 | 118 | 74 | 53 | 103 | 135 | 182 | 89 | 75 |
| | 5 | 58 | 92 | 98 | 56 | 136 | 164 | 118 | 86 | 81 |
| | 6 | 122 | 116 | 146 | 26 | 77 | 96 | 94 | 82 | 124 |
| | 7 | 160 | 152 | 99 | 8 | 110 | 63 | 72 | 88 | 108 |
| | 8 | 110 | 128 | 106 | 7 | 158 | 43 | 69 | 81 | 123 |
| | 9 | 134 | 32 | 204 | 7 | 133 | 101 | 24 | 36 | 25 |
| | Çözümsüz ---* | 12 | - | - | 63 | - | - | - | - | - |
| | 11 | - | 42 | 5 | - | 53 | - | - | - | 44 |
| Anderson-Darling (AD) | 1 | 15 | 78 | 22 | 352 | 45 | 58 | 60 | 191 | 69 |
| | 2 | 28 | 159 | 40 | 116 | 64 | 92 | 140 | 195 | 56 |
| | 3 | 22 | 82 | 75 | 67 | 125 | 121 | 240 | 93 | 65 |
| | 4 | 12 | 90 | 98 | 34 | 97 | 208 | 208 | 102 | 41 |
| | 5 | 33 | 116 | 132 | 68 | 148 | 114 | 107 | 99 | 72 |
| | 6 | 117 | 99 | 123 | 44 | 104 | 90 | 52 | 100 | 154 |
| | 7 | 115 | 196 | 92 | 49 | 101 | 50 | 55 | 38 | 164 |
| | 8 | 182 | 66 | 91 | 62 | 178 | 52 | 28 | 51 | 115 |
| | 9 | 343 | 4 | 175 | 30 | 28 | 52 | - | 21 | 43 |
| | Çözümsüz ---* | 12 | - | - | 63 | - | - | - | - | - |
| | 11 | - | 42 | 5 | - | 53 | - | - | - | 44 |
| Ki-kare (X^2) | 1 | 75 | 131 | 31 | 207 | 98 | 59 | 107 | 92 | 90 |
| | 2 | 52 | 155 | 59 | 114 | 97 | 118 | 124 | 100 | 71 |
| | 3 | 44 | 138 | 94 | 65 | 116 | 101 | 137 | 139 | 56 |
| | 4 | 40 | 116 | 96 | 56 | 124 | 107 | 170 | 110 | 71 |
| | 5 | 80 | 101 | 86 | 55 | 157 | 122 | 113 | 127 | 47 |
| | 6 | 164 | 102 | 89 | 43 | 106 | 110 | 74 | 89 | 69 |
| | 7 | 103 | 82 | 85 | 42 | 89 | 63 | 89 | 86 | 74 |
| | 8 | 54 | 51 | 53 | 27 | 73 | 34 | 51 | 102 | 47 |
| | 9 | 50 | 14 | 16 | 13 | 30 | 8 | 25 | 45 | 17 |
| | Çözümsüz ---* | 12 | - | - | 63 | - | - | - | - | - |
| | 216 | - | 281 | 205 | - | 168 | - | - | - | 281 |

*Parametre değerleri hesaplanmış olmasına karşın ilgili test istatistiği hesaplanamayan fonksiyonlar

Kolmogorov-Smirnov (KS), Anderson-Darling (AD) ve Ki-kare (X^2) istatistiklerine göre yapılan başarı sıralamalarında bazı örnek alanlarda olasılık yoğunluk fonksiyonlarının sıralamaya dahil edilemediği ve özellikle X^2 istatistiği için Beta, Gamma-3p, Johnson SB, Lognormal-3p ve Weibull-3p fonksiyonlarında bu durumun daha belirgin olduğu görülmektedir (Tablo 4.10.). Bu duruma bir çözüm olarak, her bir örnek alanda parametreleri hesaplanabilmiş olan olasılık yoğunluk fonksiyonlarına ilişkin hata indeksi (e) değerleri hesaplanmış ve bu değerler yardımıyla olasılık yoğunluk fonksiyonlarının rölatif sıraları (R_i) belirlenmiştir. Bonitet sınıfları için ayrı ayrı olmak üzere e değerleri Tablo 4.11., Tablo 4.12. ve Tablo 4.13.'te ve R_i değerleri de Tablo 4.14., Tablo 4.15. ve Tablo 4.16.'da verilmiştir.

Tablo 4.11. Olasılık yoğunluk fonksiyonlarına ilişkin hata indeksi (e) değerleri (I. Bonitet)

| Örnek Alan No | Mesçere Tipi | Olasılık Yoğunluk Fonksiyonları | | | | | | | | | | |
|---------------|--------------|---------------------------------|----------|----------|------------|--------------|--------------|---------|------------|------------|-----------|------------|
| | | Beta | Gamma-2p | Gamma-3p | Johnson SB | Lognormal-2p | Lognormal-3p | Normal | Weibull-2p | Weibull-3p | Minimum e | Maksimum e |
| 1001 | Çsb1 | 55,6 | 10,2 | 99,4 | Çözümsüz | 4,6 | 100,3 | 13,2 | 60,2 | 84,0 | 4,6 | 100,3 |
| 1002 | Çsb1 | 63,4 | 83,3 | 133,1 | 52,5 | 85,4 | 191,7 | 70,5 | 59,6 | 127,2 | 52,5 | 191,7 |
| 1003 | Çsb1 | 97,6 | 75,2 | 282,0 | 41,3 | 73,8 | 242,6 | 102,9 | 97,1 | 67,0 | 41,3 | 282,0 |
| 1004 | Çsb2 | 372,5 | 216,5 | 391,8 | 73,0 | 182,6 | 213,2 | 269,0 | 369,1 | 106,5 | 73,0 | 391,8 |
| 1005 | Çsb2 | 257,3 | 222,5 | 294,5 | 174,7 | 242,9 | 901,6 | 214,6 | 207,2 | 491,6 | 174,7 | 901,6 |
| 1006 | Çsb3 | 576,8 | 100,9 | 705,0 | 119,0 | 61,0 | 492,0 | 170,4 | 326,7 | 239,5 | 61,0 | 705,0 |
| 1007 | Çsb3 | 377,4 | 202,9 | 593,8 | 247,2 | 172,6 | 1 201,4 | 259,9 | 307,7 | 331,2 | 172,6 | 1 201,4 |
| 1008 | Çsb3 | 1 346,3 | 417,7 | 1 215,7 | 222,3 | 388,3 | 704,2 | 567,0 | 665,0 | 793,3 | 222,3 | 1 346,3 |
| 1009 | Çsb3 | 237,3 | 293,6 | 421,0 | 100,5 | 294,8 | 620,6 | 365,2 | 333,7 | 161,3 | 100,5 | 620,6 |
| 1010 | Çsb3 | 238,6 | 25,2 | 16,0 | 86,6 | 44,9 | 16,1 | 16,0 | 43,2 | 555,8 | 16,0 | 555,8 |
| 1011 | Çsb3 | Çözümsüz | 200,1 | 197,6 | Çözümsüz | 209,2 | 196,1 | 207,0 | 246,9 | 237,0 | 196,1 | 246,9 |
| 1012 | Çsb3 | 321,2 | 38,1 | 37,0 | 60,6 | 64,5 | 35,5 | 51,5 | 132,6 | 55,8 | 35,5 | 321,2 |
| 1013 | Çsb3 | 241,1 | 42,8 | 36,9 | 63,7 | 30,4 | 37,0 | 74,1 | 119,3 | 52,0 | 30,4 | 241,1 |
| 1014 | Çsb3 | 183,5 | 28,7 | 773,4 | 66,6 | 48,2 | 56,2 | 70,6 | 107,4 | 313,0 | 28,7 | 773,4 |
| 1015 | Çsb3 | 287,4 | 39,2 | 30,4 | 53,3 | 69,9 | 30,7 | 31,9 | 105,6 | 41,3 | 30,4 | 287,4 |
| 1016 | Çsb3 | 67,0 | 112,0 | 151,9 | 29,8 | 105,0 | 159,9 | 141,9 | 152,8 | 50,9 | 29,8 | 159,9 |
| 1017 | Çsb3 | 440,7 | 323,8 | 643,6 | 326,5 | 262,4 | 1 083,1 | 415,1 | 446,4 | 772,3 | 262,4 | 1 083,1 |
| 1018 | Çsb3 | 506,4 | 367,3 | 750,7 | 337,6 | 360,4 | 1 009,7 | 479,6 | 545,6 | 778,1 | 337,6 | 1 009,7 |
| 1019 | Çsb3 | 290,8 | 249,1 | 207,3 | 249,4 | 224,7 | 335,3 | 303,4 | 312,5 | 272,9 | 207,3 | 335,3 |
| 1020 | Çsb3 | 445,9 | 213,1 | 318,8 | 149,8 | 258,0 | 797,4 | 312,5 | 331,7 | 254,1 | 149,8 | 797,4 |
| 1021 | Çsb3 | 502,7 | 129,5 | 101,1 | 123,6 | 169,5 | 100,4 | 95,7 | 162,5 | 159,4 | 95,7 | 502,7 |
| 1022 | Çsb3 | 673,9 | 402,0 | 1 530,5 | 470,4 | 347,6 | 1 176,4 | 505,2 | 583,2 | 979,2 | 347,6 | 1 530,5 |
| 1023 | Çsb3 | 495,9 | 370,2 | 1 566,1 | 214,5 | 352,5 | 1 700,0 | 525,6 | 549,7 | 451,1 | 214,5 | 1 700,0 |
| 1024 | Çsb3 | 317,7 | 155,1 | 870,0 | 61,2 | 166,3 | 1 313,1 | 130,6 | 115,3 | 973,2 | 61,2 | 1 313,1 |
| 1025 | Çsb3 | 213,1 | 92,8 | 726,5 | 83,9 | 86,6 | 1 157,5 | 149,1 | 159,5 | 786,4 | 83,9 | 1 157,5 |
| 1026 | Çsb3 | 169,6 | 64,6 | 524,6 | 36,1 | 70,5 | 69,0 | 42,2 | 34,4 | 341,8 | 34,4 | 524,6 |
| 1027 | Çsb3 | 235,0 | 223,3 | 987,7 | 94,0 | 219,5 | 1 198,4 | 284,0 | 274,4 | 481,2 | 94,0 | 1 198,4 |
| 1028 | Çsb3 | 1 641,9 | 1 075,0 | 1 889,2 | 109,9 | 1 068,3 | 1 531,7 | 1 362,2 | 1 480,4 | 390,1 | 109,9 | 1 889,2 |
| 1029 | Çsb3 | 734,2 | 177,6 | 543,3 | 66,4 | 198,8 | 1 170,8 | 248,0 | 277,8 | 458,2 | 66,4 | 1 170,8 |
| 1030 | Çsb3 | 570,6 | 266,3 | 791,9 | 291,6 | 226,3 | 214,7 | 337,0 | 410,6 | 859,9 | 214,7 | 859,9 |
| 1031 | Çsb3 | 516,8 | 223,3 | 231,2 | 232,0 | 233,3 | 225,7 | 270,1 | 279,2 | 252,2 | 223,3 | 516,8 |
| 1032 | Çsb3 | 33,0 | 3,2 | 65,6 | Çözümsüz | 19,9 | 70,8 | 6,0 | 111,3 | 65,8 | 3,2 | 111,3 |
| 1033 | Çsb3 | 199,1 | 289,0 | 834,6 | 82,5 | 281,4 | 652,9 | 288,4 | 226,4 | 271,6 | 82,5 | 834,6 |
| 1034 | Çsb3 | 392,7 | 91,0 | 93,7 | 109,2 | 92,9 | 89,2 | 112,3 | 199,7 | 133,9 | 89,2 | 392,7 |
| 1035 | Çsb3 | 458,6 | 186,0 | 790,8 | 343,4 | 131,3 | 431,6 | 244,1 | 333,0 | 574,6 | 131,3 | 790,8 |
| 1036 | Çsbc2 | 446,7 | 223,7 | 227,9 | 152,7 | 228,3 | 403,3 | 264,3 | 257,5 | 186,0 | 152,7 | 446,7 |
| 1037 | Çsbc2 | 81,4 | 164,4 | 48,3 | 72,0 | 173,7 | 130,4 | 212,6 | 216,0 | 97,2 | 48,3 | 216,0 |
| 1038 | Çsbc2 | 254,3 | 178,4 | 178,4 | 167,4 | 201,9 | 169,7 | 174,7 | 165,6 | 182,9 | 165,6 | 254,3 |
| 1039 | Çsbc2 | 112,7 | 166,8 | 262,5 | 92,3 | 176,0 | 179,9 | 133,2 | 117,4 | 194,3 | 92,3 | 262,5 |
| 1040 | Çsbc2 | 164,3 | 283,7 | 245,8 | 137,8 | 302,7 | 245,5 | 245,3 | 216,7 | Çözümsüz | 137,8 | 302,7 |
| 1041 | Çsbc3 | 307,2 | 44,2 | 41,7 | 63,2 | 40,5 | 40,6 | 65,4 | 136,3 | 59,6 | 40,5 | 307,2 |
| 1042 | Çsbc3 | 158,0 | 120,9 | 114,0 | 84,4 | 139,5 | 99,4 | 71,6 | 61,8 | 146,7 | 61,8 | 158,0 |
| 1043 | Çsbc3 | 143,7 | 158,4 | 151,0 | 145,1 | 215,4 | 151,7 | 169,4 | 228,4 | 171,7 | 143,7 | 228,4 |
| 1044 | Çsbc3 | 304,1 | 317,7 | 443,8 | 274,1 | 335,6 | 343,4 | 288,1 | 287,4 | 576,2 | 274,1 | 576,2 |
| 1045 | Çsbc3 | 487,8 | 72,8 | 83,6 | 153,5 | 61,0 | 50,7 | 150,7 | 255,7 | 193,2 | 50,7 | 487,8 |
| 1046 | Çsbc3 | 442,8 | 475,0 | 459,4 | 416,8 | 475,3 | 450,0 | 413,0 | 410,3 | 448,0 | 410,3 | 475,3 |
| 1047 | Çsbc3 | 110,5 | 149,3 | 133,9 | 89,9 | 160,5 | 133,5 | 133,1 | 116,9 | 131,4 | 89,9 | 160,5 |
| 1048 | Çsbc3 | 240,4 | 104,3 | 66,7 | 65,4 | 129,7 | 62,9 | 45,1 | 32,3 | 85,5 | 32,3 | 240,4 |
| 1049 | Çsbc3 | 483,2 | 343,5 | 1 365,2 | 276,3 | 318,6 | 267,1 | 520,6 | 559,0 | 413,9 | 267,1 | 1 365,2 |
| 1050 | Çsbc3 | 830,3 | 276,3 | 441,8 | 191,3 | 314,9 | 628,3 | 406,0 | 444,0 | 573,5 | 191,3 | 830,3 |
| 1051 | Çsbc3 | 527,6 | 230,6 | 206,8 | 189,4 | 196,6 | 156,2 | 294,1 | 287,5 | 212,8 | 156,2 | 527,6 |
| 1052 | Çsbc3 | 540,0 | 317,7 | 3 387,8 | 215,1 | 396,8 | 345,5 | 163,4 | 179,3 | 1 419,9 | 163,4 | 3 387,8 |
| 1053 | Çsbc3 | 277,8 | 243,3 | 953,5 | 175,5 | 196,5 | 175,4 | 325,9 | 332,9 | 179,2 | 175,4 | 953,5 |
| 1054 | Çsbc3 | 602,0 | 278,5 | 203,9 | Çözümsüz | 180,2 | 181,1 | 345,0 | 323,5 | 278,5 | 180,2 | 602,0 |
| 1055 | Çsbc3 | 282,4 | 255,4 | 456,0 | 181,5 | 301,3 | 1 283,7 | 242,8 | 250,3 | 680,9 | 181,5 | 1 283,7 |
| 1056 | Çsbc3 | 138,2 | 129,7 | 105,3 | 65,2 | 163,2 | 98,4 | 77,4 | 65,1 | 129,0 | 65,1 | 163,2 |
| 1057 | Çsbc3 | 374,0 | 206,3 | 1 688,7 | 195,2 | 198,7 | 182,4 | 276,3 | 331,3 | 659,6 | 182,4 | 1 688,7 |
| 1058 | Çsbc3 | 728,9 | 347,3 | 917,5 | 252,7 | 396,6 | 513,9 | 375,0 | 380,5 | 274,9 | 252,7 | 917,5 |

Tablo 4.11.'in devamı

| Örnek Alan No | Mesçere Tipi | Olasılık Yoğunluk Fonksiyonları | | | | | | | | | | |
|---------------|--------------|---------------------------------|----------|----------|------------|--------------|--------------|--------|------------|------------|-----------|------------|
| | | Beta | Gamma-2p | Gamma-3p | Johnson SB | Lognormal-2p | Lognormal-3p | Normal | Weibull-2p | Weibull-3p | Minimum e | Maksimum e |
| 1059 | Çsbc3 | 221,3 | 288,0 | 553,1 | 167,4 | 321,5 | 273,1 | 218,0 | 173,3 | 390,9 | 167,4 | 553,1 |
| 1060 | Çsbc3 | 353,2 | 134,0 | 44,7 | 49,9 | 162,6 | 44,2 | 43,6 | 77,6 | 36,0 | 36,0 | 353,2 |
| 1061 | Çsbc3 | Çözümsüz | 309,0 | 297,6 | Çözümsüz | 298,9 | 300,6 | 323,0 | 307,6 | 293,3 | 293,3 | 323,0 |
| 1062 | Çsbc3 | 338,4 | 123,4 | 121,9 | 79,2 | 110,6 | 128,1 | 143,0 | 180,8 | 100,7 | 79,2 | 338,4 |
| 1063 | Çsbc3 | 133,1 | 196,0 | 228,6 | 137,9 | 213,0 | 215,8 | 159,4 | 159,8 | 269,6 | 133,1 | 269,6 |
| 1064 | Çsbc3 | 208,4 | 180,5 | 606,7 | 66,0 | 217,8 | 181,7 | 133,5 | 96,3 | 741,3 | 66,0 | 741,3 |
| 1065 | Çsbc3 | 140,8 | 139,3 | 142,9 | 123,2 | 94,8 | 155,6 | 219,8 | 265,2 | 125,0 | 94,8 | 265,2 |
| 1066 | Çsbc3 | 357,5 | 467,4 | 937,7 | 250,3 | 456,8 | 886,8 | 409,8 | 347,4 | 493,8 | 250,3 | 937,7 |
| 1067 | Çsbc3 | 206,5 | 155,9 | 373,5 | 183,2 | 172,4 | 193,1 | 176,7 | 176,8 | 278,1 | 155,9 | 373,5 |
| 1068 | Çsbc3 | 677,5 | 516,4 | 809,9 | 314,0 | 278,4 | 1 434,4 | 600,5 | 465,0 | 581,0 | 278,4 | 1 434,4 |
| 1069 | Çsbc3 | 648,1 | 461,5 | 1 266,8 | 460,4 | 311,5 | 265,7 | 509,1 | 404,2 | 1 015,0 | 265,7 | 1 266,8 |
| 1070 | Çsbc3 | 556,9 | 359,6 | 295,1 | 268,0 | 364,9 | 617,5 | 473,0 | 458,0 | 214,8 | 214,8 | 617,5 |
| 1071 | Çsc1 | 71,8 | 89,7 | 66,7 | 55,4 | 101,4 | 66,9 | 65,3 | 61,6 | 53,4 | 53,4 | 101,4 |
| 1072 | Çsc1 | 92,8 | 103,6 | 88,5 | 84,3 | 108,8 | 86,8 | 84,2 | 83,3 | 95,8 | 83,3 | 108,8 |
| 1073 | Çsc1 | 105,4 | 158,0 | 130,3 | 83,8 | 180,4 | 137,9 | 203,9 | 205,0 | 118,6 | 83,8 | 205,0 |
| 1074 | Çsc2 | 365,7 | 350,4 | 535,7 | 327,1 | 365,6 | 610,9 | 322,1 | 323,5 | 450,5 | 322,1 | 610,9 |
| 1075 | Çsc2 | 516,9 | 170,3 | 281,3 | 78,2 | 203,7 | 575,0 | 185,9 | 172,7 | 446,4 | 78,2 | 575,0 |
| 1076 | Çsc2 | 188,4 | 190,9 | 330,0 | 182,5 | 195,7 | 427,3 | 193,1 | 196,3 | 324,6 | 182,5 | 427,3 |
| 1077 | Çsc2 | Çözümsüz | 239,6 | 232,3 | Çözümsüz | 264,5 | 230,0 | 232,8 | 250,8 | 273,2 | 230,0 | 273,2 |
| 1078 | Çsc2 | 194,2 | 222,6 | 364,2 | 159,0 | 217,5 | 230,5 | 232,7 | 215,8 | 261,6 | 159,0 | 364,2 |
| 1079 | Çsc2 | 260,5 | 302,0 | 241,5 | 217,2 | 293,6 | 242,8 | 241,4 | 236,8 | 165,5 | 165,5 | 302,0 |
| 1080 | Çsc2 | 169,8 | 162,8 | 300,5 | 137,6 | 176,6 | 154,0 | 136,3 | 137,4 | 198,5 | 136,3 | 300,5 |
| 1081 | Çsc2 | 151,6 | 148,6 | 111,7 | 105,3 | 179,2 | 112,0 | 111,2 | 113,8 | 102,4 | 102,4 | 179,2 |
| 1082 | Çsc2 | 265,8 | 296,8 | 243,1 | 159,8 | 328,4 | 242,8 | 241,7 | 253,1 | Çözümsüz | 159,8 | 328,4 |
| 1083 | Çsc2 | 331,7 | 515,6 | 629,6 | 330,7 | 532,9 | 664,9 | 489,8 | 472,1 | 421,9 | 330,7 | 664,9 |
| 1084 | Çsc2 | 195,9 | 151,9 | 160,4 | 178,5 | 157,5 | 155,8 | 192,3 | 165,7 | 165,0 | 151,9 | 195,9 |
| 1085 | Çsc2 | 155,6 | 216,1 | 167,8 | 173,7 | 214,0 | 419,8 | 242,7 | 241,8 | 367,1 | 155,6 | 419,8 |
| 1086 | Çsc2 | 190,1 | 186,7 | 166,4 | 189,3 | 201,2 | 166,7 | 233,8 | 224,4 | 189,1 | 166,4 | 233,8 |
| 1087 | Çsc2 | 123,8 | 247,1 | 317,9 | 150,4 | 293,7 | 434,0 | 283,1 | 280,5 | 202,1 | 123,8 | 434,0 |
| 1088 | Çsc2 | 422,9 | 185,0 | 236,9 | 164,9 | 203,5 | 481,0 | 257,8 | 237,1 | 119,5 | 119,5 | 481,0 |
| 1089 | Çsc2 | 220,4 | 257,7 | 240,3 | 177,5 | 254,0 | 255,0 | 287,8 | 271,9 | 237,8 | 177,5 | 287,8 |
| 1090 | Çsc2 | 128,5 | 206,6 | 242,2 | 134,2 | 196,3 | 196,2 | 195,4 | 187,9 | 198,8 | 128,5 | 242,2 |
| 1091 | Çsc3 | 424,0 | 415,8 | 368,7 | 504,0 | 361,3 | 366,7 | 457,1 | 384,3 | 383,4 | 361,3 | 504,0 |
| 1092 | Çsc3 | 429,8 | 248,6 | 233,8 | 227,4 | 267,2 | 232,7 | 226,8 | 227,9 | 250,9 | 226,8 | 429,8 |
| 1093 | Çsc3 | 52,7 | 52,2 | 33,4 | 48,4 | 25,7 | 33,3 | 111,6 | 207,5 | 69,0 | 25,7 | 207,5 |
| 1094 | Çsc3 | 175,3 | 176,7 | 179,1 | Çözümsüz | 201,5 | 179,0 | 179,5 | 193,7 | 199,7 | 175,3 | 201,5 |
| 1095 | Çsc3 | 378,0 | 400,1 | 436,6 | 336,5 | 414,0 | 327,8 | 325,9 | 335,7 | 474,0 | 325,9 | 474,0 |
| 1096 | Çsc3 | 288,3 | 417,9 | 319,5 | 260,8 | 425,1 | 319,5 | 318,4 | 283,5 | 309,7 | 260,8 | 425,1 |
| 1097 | Çsc3 | 543,8 | 612,4 | 535,8 | 526,0 | 637,5 | 533,8 | 531,6 | 533,5 | 500,5 | 500,5 | 637,5 |
| 1098 | Çsc3 | 542,3 | 501,2 | 492,7 | 592,5 | 313,1 | 340,7 | 554,2 | 365,6 | 506,9 | 313,1 | 592,5 |
| 1099 | Çsc3 | 222,0 | 202,2 | 218,3 | Çözümsüz | 225,2 | 218,9 | 219,3 | 238,6 | 235,0 | 202,2 | 238,6 |
| 1100 | Çsc3 | 361,2 | 310,7 | 570,8 | 314,1 | 316,4 | 335,3 | 308,9 | 314,4 | 359,5 | 308,9 | 570,8 |
| 1101 | Çsc3 | 538,3 | 605,4 | 475,3 | 589,3 | 593,9 | 726,2 | 599,2 | 599,3 | 503,0 | 475,3 | 726,2 |
| 1102 | Çsc3 | 132,4 | 154,5 | 134,9 | Çözümsüz | 177,3 | 134,9 | 134,9 | 141,8 | 143,8 | 132,4 | 177,3 |
| 1103 | Çsc3 | 246,5 | 339,4 | 458,7 | 249,4 | 357,9 | 356,5 | 363,9 | 335,3 | 463,5 | 246,5 | 463,5 |
| 1104 | Çsc3 | 206,6 | 216,7 | 182,2 | 65,9 | 240,1 | 181,9 | 180,6 | 179,8 | Çözümsüz | 65,9 | 240,1 |
| 1105 | Çsc3 | 107,5 | 133,1 | 92,9 | 52,4 | 176,2 | 89,1 | 89,5 | 86,9 | 38,9 | 38,9 | 176,2 |
| 1106 | Çsc3 | 144,6 | 139,6 | 128,4 | 109,9 | 157,2 | 135,8 | 169,6 | 186,1 | 108,1 | 108,1 | 186,1 |
| 1107 | Çsc3 | 55,4 | 54,7 | 35,8 | 38,9 | 103,2 | 36,4 | 61,8 | 146,7 | 37,8 | 35,8 | 146,7 |
| 1108 | Çsc3 | 178,4 | 107,7 | 68,4 | 29,0 | 117,9 | 68,7 | 68,5 | 98,1 | 65,6 | 29,0 | 178,4 |
| 1109 | Çsc3 | 228,9 | 177,1 | 174,3 | 161,0 | 209,6 | 175,0 | 175,0 | 167,2 | 173,2 | 161,0 | 228,9 |
| 1110 | Çsc3 | 469,4 | 199,0 | 171,5 | 131,9 | 239,0 | 166,9 | 168,4 | 137,4 | Çözümsüz | 131,9 | 469,4 |
| 1111 | Çsc3 | 167,4 | 221,3 | 203,2 | 155,2 | 218,4 | 202,8 | 202,4 | 167,4 | 167,8 | 155,2 | 221,3 |
| 1112 | Çsc3 | 307,0 | 329,4 | 313,6 | Çözümsüz | 407,0 | 313,6 | 313,4 | 340,4 | 317,1 | 307,0 | 407,0 |
| 1113 | Çsc3 | 405,5 | 484,4 | 731,8 | 420,9 | 492,2 | 1 265,2 | 451,5 | 437,6 | 476,2 | 405,5 | 1 265,2 |
| 1114 | Çsc3 | 269,0 | 428,1 | 325,6 | 180,3 | 457,6 | 326,5 | 325,6 | 269,2 | 302,7 | 180,3 | 457,6 |
| 1115 | Çsc3 | 304,5 | 259,7 | 257,4 | 265,3 | 260,7 | 261,4 | 307,6 | 301,4 | 254,4 | 254,4 | 307,6 |
| 1116 | Çsc3 | 290,8 | 255,5 | 171,3 | 181,6 | 211,2 | 157,1 | 319,2 | 341,4 | 183,7 | 157,1 | 341,4 |

Tablo 4.11.'in devamı

| Örnek Alan No | Meşçere Tipi | Olasılık Yoğunluk Fonksiyonları | | | | | | | | | | |
|---------------|--------------|---------------------------------|----------|----------|------------|--------------|--------------|--------|------------|------------|-----------|------------|
| | | Beta | Gamma-2p | Gamma-3p | Johnson SB | Lognormal-2p | Lognormal-3p | Normal | Weibull-2p | Weibull-3p | Minimum e | Maksimum e |
| 1117 | Çsc3 | 274,7 | 407,6 | 404,4 | 246,5 | 404,4 | 327,0 | 326,5 | 305,4 | 419,9 | 246,5 | 419,9 |
| 1118 | Çsc3 | 180,4 | 358,9 | 373,8 | 144,3 | 362,3 | 454,7 | 290,1 | 291,2 | 351,4 | 144,3 | 454,7 |
| 1119 | Çsc3 | 279,0 | 329,6 | 291,6 | 172,4 | 324,9 | 290,2 | 290,5 | 279,2 | Çözümsüz | 172,4 | 329,6 |
| 1120 | Çsc3 | 222,3 | 229,7 | 229,0 | 239,6 | 236,3 | 234,9 | 275,7 | 246,1 | 223,9 | 222,3 | 275,7 |
| 1121 | Çscd1 | 126,4 | 156,6 | 148,3 | 124,4 | 157,0 | 126,2 | 131,6 | 131,5 | 171,5 | 124,4 | 171,5 |
| 1122 | Çscd1 | 155,8 | 156,6 | 133,2 | 123,2 | 169,6 | 133,4 | 132,6 | 138,6 | 116,7 | 116,7 | 169,6 |
| 1123 | Çscd1 | 62,9 | 101,6 | 116,8 | 66,2 | 98,8 | 89,9 | 89,6 | 81,2 | 88,2 | 62,9 | 116,8 |
| 1124 | Çscd1 | 187,4 | 193,1 | 181,6 | 169,0 | 199,5 | 181,0 | 181,2 | 178,4 | 167,7 | 167,7 | 199,5 |
| 1125 | Çscd1 | 63,3 | 86,1 | 73,2 | 62,3 | 82,2 | 83,7 | 83,8 | 78,2 | 68,0 | 62,3 | 86,1 |
| 1126 | Çscd1 | 99,5 | 113,3 | 97,4 | 109,4 | 115,2 | 97,5 | 97,1 | 99,0 | Çözümsüz | 97,1 | 115,2 |
| 1127 | Çscd1 | 157,1 | 155,4 | 177,8 | 141,7 | 163,6 | 152,1 | 131,3 | 141,4 | 176,9 | 131,3 | 177,8 |
| 1128 | Çscd1 | 113,3 | 125,4 | 128,7 | 99,3 | 126,7 | 121,4 | 114,7 | 110,6 | 124,9 | 99,3 | 128,7 |
| 1129 | Çscd1 | 171,5 | 221,5 | 224,9 | 187,2 | 210,3 | 207,7 | 198,3 | 191,2 | 189,5 | 171,5 | 224,9 |
| 1130 | Çscd1 | 75,1 | 54,7 | 38,7 | 30,6 | 65,0 | 38,6 | 37,7 | 33,4 | 35,5 | 30,6 | 75,1 |
| 1131 | Çscd1 | 75,3 | 84,9 | 73,2 | 52,6 | 106,2 | 75,3 | 73,5 | 76,2 | 59,3 | 52,6 | 106,2 |
| 1132 | Çscd2 | 215,5 | 247,3 | 404,4 | 202,1 | 248,0 | 211,9 | 212,2 | 209,2 | 243,5 | 202,1 | 404,4 |
| 1133 | Çscd2 | 1 099,1 | 417,9 | 611,9 | 394,1 | 423,5 | 706,2 | 522,5 | 488,2 | 544,4 | 394,1 | 1 099,1 |
| 1134 | Çscd2 | 212,1 | 243,9 | 214,6 | Çözümsüz | 257,1 | 214,5 | 210,8 | 219,6 | 226,6 | 210,8 | 257,1 |
| 1135 | Çscd2 | 188,7 | 37,3 | 25,0 | 21,5 | 46,9 | 25,0 | 24,6 | 35,9 | 24,5 | 21,5 | 188,7 |
| 1136 | Çscd2 | 182,0 | 181,9 | 183,5 | Çözümsüz | 216,8 | 183,5 | 183,0 | 194,5 | 187,1 | 181,9 | 216,8 |
| 1137 | Çscd2 | 330,7 | 401,5 | 375,4 | 374,7 | 390,5 | 375,4 | 375,7 | 363,2 | 374,2 | 330,7 | 401,5 |
| 1138 | Çscd2 | 114,0 | 91,7 | 90,4 | 87,7 | 92,6 | 90,1 | 88,5 | 90,5 | 92,5 | 87,7 | 114,0 |
| 1139 | Çscd2 | 280,4 | 338,1 | 300,7 | 306,5 | 333,5 | 301,5 | 300,5 | 292,8 | 294,7 | 280,4 | 338,1 |
| 1140 | Çscd2 | 349,4 | 297,1 | 247,0 | 260,4 | 227,6 | 212,6 | 367,1 | 299,0 | 267,3 | 212,6 | 367,1 |
| 1141 | Çscd2 | 295,5 | 259,9 | 326,6 | 255,5 | 276,9 | 379,7 | 219,8 | 239,1 | 343,1 | 219,8 | 379,7 |
| 1142 | Çscd2 | 195,4 | 205,7 | 180,3 | 178,8 | 216,6 | 180,0 | 179,4 | 183,1 | 189,1 | 178,8 | 216,6 |
| 1143 | Çscd2 | 247,2 | 296,5 | 240,2 | 210,3 | 306,9 | 238,3 | 237,9 | 231,0 | 215,8 | 210,3 | 306,9 |
| 1144 | Çscd2 | 202,6 | 210,4 | 209,8 | 204,1 | 207,6 | 210,4 | 209,5 | 203,5 | 210,4 | 202,6 | 210,4 |
| 1145 | Çscd2 | Çözümsüz | 186,2 | 167,3 | 164,2 | 185,2 | 165,9 | 166,6 | 170,9 | 155,5 | 155,5 | 186,2 |
| 1146 | Çscd2 | 186,7 | 262,1 | 242,6 | 167,9 | 236,4 | 241,7 | 242,3 | 227,6 | 227,0 | 167,9 | 262,1 |
| 1147 | Çscd2 | 121,5 | 160,4 | 118,2 | 123,2 | 139,7 | 117,0 | 207,8 | 216,0 | 125,7 | 117,0 | 216,0 |
| 1148 | Çscd2 | 218,5 | 249,8 | 191,3 | 135,8 | 265,1 | 191,6 | 190,4 | 206,5 | 144,8 | 135,8 | 265,1 |
| 1149 | Çscd2 | 289,4 | 215,2 | 212,5 | Çözümsüz | 227,2 | 211,8 | 213,0 | 221,8 | 225,2 | 211,8 | 289,4 |
| 1150 | Çscd2 | 224,3 | 199,9 | 179,5 | 150,2 | 205,4 | 179,4 | 179,2 | 174,0 | Çözümsüz | 150,2 | 224,3 |
| 1151 | Çscd2 | 211,5 | 327,2 | 303,9 | 227,0 | 308,4 | 280,0 | 300,3 | 290,0 | 240,6 | 211,5 | 327,2 |
| 1152 | Çscd2 | 316,3 | 301,5 | 255,6 | 286,4 | 320,7 | 255,4 | 255,3 | 277,5 | 258,5 | 255,3 | 320,7 |
| 1153 | Çscd2 | 163,3 | 173,2 | 135,7 | 135,5 | 180,7 | 331,0 | 231,9 | 217,4 | 163,7 | 135,5 | 331,0 |
| 1154 | Çscd2 | 105,4 | 229,1 | 198,3 | 91,4 | 266,7 | 218,6 | 257,3 | 239,0 | 195,9 | 91,4 | 266,7 |
| 1155 | Çscd2 | 226,3 | 228,1 | 409,3 | 164,9 | 242,6 | 200,0 | 180,6 | 182,3 | 280,7 | 164,9 | 409,3 |
| 1156 | Çscd2 | 275,8 | 286,3 | 316,1 | 231,8 | 287,4 | 569,1 | 316,2 | 312,8 | 249,3 | 231,8 | 569,1 |
| 1157 | Çscd2 | 127,2 | 177,8 | 166,9 | 165,6 | 175,0 | 211,3 | 187,0 | 174,2 | 169,8 | 127,2 | 211,3 |
| 1158 | Çscd2 | 251,3 | 207,0 | 270,3 | 194,6 | 211,0 | 205,9 | 223,4 | 221,8 | 222,0 | 194,6 | 270,3 |
| 1159 | Çscd2 | 420,3 | 194,6 | 179,9 | 184,7 | 208,8 | 179,7 | 179,4 | 180,0 | 185,4 | 179,4 | 420,3 |
| 1160 | Çscd2 | 200,7 | 250,1 | 240,1 | 187,5 | 242,8 | 245,7 | 250,8 | 243,8 | 219,2 | 187,5 | 250,8 |
| 1161 | Çscd2 | 184,7 | 124,6 | 359,2 | 131,4 | 130,6 | 132,3 | 150,4 | 144,7 | 208,0 | 124,6 | 359,2 |
| 1162 | Çscd3 | 280,5 | 392,8 | 591,1 | 284,3 | 362,4 | 366,8 | 373,5 | 343,3 | 360,2 | 280,5 | 591,1 |
| 1163 | Çscd3 | Çözümsüz | 386,0 | 338,4 | Çözümsüz | 386,8 | 338,0 | 337,7 | 320,8 | 334,2 | 320,8 | 386,8 |
| 1164 | Çscd3 | 326,1 | 360,0 | 331,6 | Çözümsüz | 371,5 | 331,7 | 329,8 | 315,9 | 331,1 | 315,9 | 371,5 |
| 1165 | Çscd3 | 663,8 | 758,5 | 736,0 | 506,6 | 731,5 | 887,0 | 633,4 | 610,7 | 672,4 | 506,6 | 887,0 |
| 1166 | Çscd3 | 353,5 | 333,3 | 468,2 | 356,5 | 326,8 | 324,7 | 399,4 | 354,5 | 356,9 | 324,7 | 468,2 |
| 1167 | Çscd3 | 278,6 | 277,7 | 279,4 | 274,0 | 270,3 | 278,8 | 284,9 | 301,9 | 284,4 | 270,3 | 301,9 |
| 1168 | Çscd3 | 412,8 | 74,5 | 356,1 | 41,3 | 72,5 | 487,8 | 91,4 | 139,7 | 243,5 | 41,3 | 487,8 |
| 1169 | Çscd3 | 147,9 | 187,9 | 159,3 | 145,9 | 215,1 | 157,8 | 157,4 | 157,9 | 151,0 | 145,9 | 215,1 |
| 1170 | Çscd3 | 360,3 | 424,7 | 669,7 | 360,9 | 418,3 | 420,8 | 441,4 | 425,1 | 474,3 | 360,3 | 669,7 |
| 1171 | Çscd3 | 241,4 | 230,1 | 199,0 | 193,4 | 265,2 | 199,0 | 198,4 | 202,2 | 200,5 | 193,4 | 265,2 |
| 1172 | Çscd3 | 189,2 | 184,6 | 165,8 | 166,2 | 176,9 | 169,8 | 195,3 | 192,8 | 165,1 | 165,1 | 195,3 |
| 1173 | Çscd3 | 362,6 | 386,0 | 363,6 | Çözümsüz | 418,3 | 363,0 | 362,8 | 383,8 | 371,8 | 362,6 | 418,3 |
| 1174 | Çscd3 | 478,5 | 423,1 | 428,5 | 434,5 | 422,3 | 422,6 | 435,1 | 447,3 | 436,1 | 422,3 | 478,5 |

Tablo 4.11.'in devamı

| Örnek Alan No | Mesçere Tipi | Olasılık Yoğunluk Fonksiyonları | | | | | | | | | | |
|---------------|--------------|---------------------------------|----------|----------|------------|--------------|--------------|--------|------------|------------|-----------|------------|
| | | Beta | Gamma-2p | Gamma-3p | Johnson SB | Lognormal-2p | Lognormal-3p | Normal | Weibull-2p | Weibull-3p | Minimum e | Maksimum e |
| 1175 | Çscd3 | 500,1 | 330,1 | 452,2 | 267,8 | 395,7 | 533,5 | 330,4 | 339,9 | 348,7 | 267,8 | 533,5 |
| 1176 | Çscd3 | 281,0 | 339,3 | 312,9 | 271,1 | 339,9 | 305,6 | 291,5 | 285,1 | 316,6 | 271,1 | 339,9 |
| 1177 | Çscd3 | Çözümsüz | 268,6 | 268,9 | Çözümsüz | 273,9 | 266,8 | 297,2 | 280,8 | 277,2 | 266,8 | 297,2 |
| 1178 | Çscd3 | 287,0 | 344,7 | 485,8 | 256,2 | 376,5 | 311,5 | 297,1 | 305,1 | 527,1 | 256,2 | 527,1 |
| 1179 | Çscd3 | 270,2 | 294,1 | 282,9 | 274,3 | 298,6 | 298,7 | 293,7 | 288,4 | 278,9 | 270,2 | 298,7 |
| 1180 | Çscd3 | Çözümsüz | 159,7 | 166,6 | Çözümsüz | 186,6 | 166,4 | 167,2 | 191,4 | 196,0 | 159,7 | 196,0 |
| 1181 | Çscd3 | 322,3 | 311,3 | 563,1 | 331,8 | 361,6 | 762,8 | 296,9 | 321,3 | 398,7 | 296,9 | 762,8 |
| 1182 | Çscd3 | 183,6 | 210,5 | 194,8 | 188,1 | 204,5 | 203,8 | 249,0 | 246,5 | 190,8 | 183,6 | 249,0 |
| 1183 | Çscd3 | 514,2 | 457,2 | 564,4 | 533,5 | 504,0 | 498,3 | 399,0 | 409,6 | 582,0 | 399,0 | 582,0 |
| 1184 | Çscd3 | 216,4 | 215,2 | 201,4 | 201,3 | 217,9 | 201,2 | 200,4 | 199,0 | 208,1 | 199,0 | 217,9 |
| 1185 | Çscd3 | 273,0 | 366,1 | 421,9 | 319,3 | 367,9 | 425,4 | 299,4 | 299,8 | 372,6 | 273,0 | 425,4 |
| 1186 | Çscd3 | 354,7 | 372,8 | 323,5 | 328,2 | 414,8 | 323,6 | 323,4 | 336,8 | Çözümsüz | 323,4 | 414,8 |
| 1187 | Çscd3 | 629,2 | 685,9 | 834,2 | 462,1 | 709,9 | 677,7 | 629,5 | 601,7 | 535,2 | 462,1 | 834,2 |
| 1188 | Çscd3 | 491,0 | 513,8 | 479,1 | 499,7 | 509,2 | 453,2 | 527,0 | 509,2 | 479,8 | 453,2 | 527,0 |
| 1189 | Çscd3 | 370,3 | 431,2 | 428,4 | 389,1 | 434,7 | 568,2 | 411,0 | 419,2 | 408,9 | 370,3 | 568,2 |
| 1190 | Çscd3 | 245,8 | 214,5 | 208,0 | 241,4 | 204,9 | 208,1 | 261,3 | 237,7 | 216,5 | 204,9 | 261,3 |
| 1191 | Çscd3 | 391,7 | 439,5 | 374,3 | 228,5 | 413,0 | 349,7 | 478,7 | 450,8 | 359,1 | 228,5 | 478,7 |
| 1192 | Çsd1 | 28,3 | 28,0 | 118,7 | 25,1 | 29,0 | 31,6 | 27,1 | 25,4 | 42,7 | 25,1 | 118,7 |
| 1193 | Çsd1 | 12,1 | 51,0 | 64,5 | 8,4 | 51,4 | 75,9 | 50,7 | 40,3 | 47,0 | 8,4 | 75,9 |
| 1194 | Çsd1 | 32,1 | 38,2 | 41,4 | 33,2 | 39,5 | 39,4 | 35,8 | 34,7 | 42,3 | 32,1 | 42,3 |
| 1195 | Çsd1 | 10,6 | 19,1 | 42,8 | 5,4 | 19,6 | 45,6 | 19,7 | 16,0 | 23,0 | 5,4 | 45,6 |
| 1196 | Çsd1 | 113,9 | 215,4 | 197,9 | 131,9 | 227,0 | 174,8 | 210,3 | 203,9 | 191,9 | 113,9 | 227,0 |
| 1197 | Çsd1 | 149,4 | 154,2 | 150,9 | 152,4 | 161,0 | 149,7 | 147,6 | 149,2 | 154,6 | 147,6 | 161,0 |
| 1198 | Çsd1 | 201,1 | 210,6 | 176,2 | 261,3 | 196,1 | 292,5 | 244,2 | 223,1 | 168,9 | 168,9 | 292,5 |
| 1199 | Çsd1 | 17,5 | 2,5 | 2,9 | 6,3 | 2,9 | 2,9 | 2,4 | 3,0 | 37,6 | 2,4 | 37,6 |
| 1200 | Çsd1 | 167,1 | 150,5 | 136,2 | 129,3 | 174,5 | 133,8 | 132,3 | 152,4 | 131,3 | 129,3 | 174,5 |
| 1201 | Çsd2 | 189,6 | 536,0 | 168,4 | 165,8 | 196,0 | 166,8 | 166,3 | 170,8 | 164,9 | 164,9 | 536,0 |
| 1202 | Çsd2 | 118,2 | 134,9 | 124,0 | Çözümsüz | 146,6 | 121,5 | 667,6 | 116,4 | 123,0 | 116,4 | 667,6 |
| 1203 | Çsd2 | 237,2 | 343,3 | 310,6 | 197,0 | 361,1 | 303,8 | 299,4 | 321,1 | Çözümsüz | 197,0 | 361,1 |
| 1204 | Çsd2 | 314,9 | 224,6 | 219,2 | Çözümsüz | 235,7 | 218,3 | 206,7 | 204,9 | 236,0 | 204,9 | 314,9 |
| 1205 | Çsd2 | 153,6 | 167,2 | 166,9 | 179,4 | 172,1 | 161,9 | 174,0 | 160,6 | 167,9 | 153,6 | 179,4 |
| 1206 | Çsd2 | 269,0 | 381,5 | 298,4 | 263,7 | 372,0 | 286,8 | 326,5 | 320,8 | 263,2 | 263,2 | 381,5 |
| 1207 | Çsd2 | 111,0 | 131,0 | 124,9 | 76,6 | 160,2 | 120,9 | 118,6 | 144,0 | Çözümsüz | 76,6 | 160,2 |
| 1208 | Çsd2 | 115,6 | 118,6 | 116,9 | 109,6 | 117,4 | 117,5 | 116,9 | 114,9 | 116,4 | 109,6 | 118,6 |
| 1209 | Çsd2 | 189,0 | 186,4 | 189,3 | Çözümsüz | 201,3 | 189,0 | 188,8 | 196,5 | 191,5 | 186,4 | 201,3 |
| 1210 | Çsd2 | 141,5 | 134,7 | 132,0 | 78,4 | 161,3 | 128,8 | 126,6 | 154,5 | Çözümsüz | 78,4 | 161,3 |
| 1211 | Çsd2 | 160,4 | 128,3 | 128,0 | 120,6 | 148,6 | 124,5 | 124,9 | 142,4 | 127,8 | 120,6 | 160,4 |
| 1212 | Çsd2 | 60,0 | 102,4 | 91,5 | 61,1 | 105,4 | 90,9 | 87,9 | 76,6 | 85,0 | 60,0 | 105,4 |
| 1213 | Çsd2 | 147,2 | 177,6 | 156,0 | 149,3 | 195,3 | 153,9 | 153,1 | 140,7 | 152,3 | 140,7 | 195,3 |
| 1214 | Çsd2 | 169,9 | 207,4 | 181,9 | 149,3 | 233,9 | 173,1 | 168,0 | 150,2 | 149,6 | 149,3 | 233,9 |
| 1215 | Çsd2 | 74,3 | 124,6 | 106,9 | 51,1 | 127,5 | 105,1 | 101,1 | 79,9 | Çözümsüz | 51,1 | 127,5 |
| 1216 | Çsd2 | 52,1 | 51,0 | 44,7 | 35,6 | 59,4 | 42,6 | 43,1 | 36,2 | 41,7 | 35,6 | 59,4 |
| 1217 | Çsd2 | 187,4 | 179,6 | 167,6 | 183,8 | 173,9 | 168,3 | 170,2 | 166,2 | 170,5 | 166,2 | 187,4 |
| 1218 | Çsd2 | 210,5 | 251,4 | 253,8 | 202,4 | 242,2 | 217,1 | 211,4 | 212,8 | 250,8 | 202,4 | 253,8 |
| 1219 | Çsd2 | 125,1 | 189,2 | 175,3 | 98,4 | 188,7 | 174,8 | 175,0 | 171,1 | Çözümsüz | 98,4 | 189,2 |
| 1220 | Çsd2 | 133,8 | 146,1 | 87,5 | 98,2 | 128,7 | 82,2 | 181,4 | 218,7 | 97,8 | 82,2 | 218,7 |
| 1221 | Çsd2 | 83,3 | 72,3 | 196,1 | 77,3 | 74,1 | 81,5 | 72,1 | 82,3 | 93,6 | 72,1 | 196,1 |
| 1222 | Çsd2 | 133,3 | 142,6 | 127,9 | 123,2 | 176,4 | 126,1 | 124,5 | 120,9 | 123,3 | 120,9 | 176,4 |
| 1223 | Çsd2 | 169,8 | 134,1 | 136,9 | 134,4 | 138,9 | 136,8 | 137,8 | 142,7 | 143,2 | 134,1 | 169,8 |
| 1224 | Çsd2 | 203,6 | 261,8 | 295,3 | 179,1 | 278,6 | 213,3 | 210,5 | 225,5 | Çözümsüz | 179,1 | 295,3 |
| 1225 | Çsd2 | 107,8 | 121,0 | 116,5 | 101,8 | 121,3 | 116,0 | 113,9 | 109,9 | 120,6 | 101,8 | 121,3 |
| 1226 | Çsd3 | 288,8 | 320,5 | 296,1 | 233,2 | 309,2 | 299,1 | 298,8 | 280,1 | Çözümsüz | 233,2 | 320,5 |
| 1227 | Çsd3 | 196,1 | 198,3 | 182,9 | 178,5 | 220,3 | 177,3 | 173,3 | 178,4 | 164,5 | 164,5 | 220,3 |
| 1228 | Çsd3 | 348,7 | 404,4 | 346,4 | 355,6 | 409,1 | 340,6 | 334,3 | 331,6 | 320,2 | 320,2 | 409,1 |
| 1229 | Çsd3 | 227,5 | 141,5 | 140,1 | 130,5 | 146,3 | 136,7 | 135,5 | 130,7 | 135,3 | 130,5 | 227,5 |
| 1230 | Çsd3 | 233,5 | 255,6 | 233,6 | 249,6 | 285,4 | 230,0 | 227,9 | 233,4 | Çözümsüz | 227,9 | 285,4 |
| 1231 | Çsd3 | 288,1 | 231,3 | 257,3 | 280,2 | 244,9 | 259,6 | 264,1 | 265,1 | 286,9 | 231,3 | 288,1 |
| 1232 | Çsd3 | 269,1 | 250,8 | 243,4 | 273,7 | 280,3 | 241,4 | 240,6 | 246,6 | Çözümsüz | 240,6 | 280,3 |

Tablo 4.11.'in devamı

| Örnek Alan No | Meşçere Tipi | Olasılık Yoğunluk Fonksiyonları | | | | | | | | | Minimum <i>e</i> | Maksimum <i>e</i> |
|---------------|--------------|---------------------------------|----------|----------|------------|--------------|--------------|--------|------------|------------|------------------|-------------------|
| | | Beta | Gamma-2p | Gamma-3p | Johnson SB | Lognormal-2p | Lognormal-3p | Normal | Weibull-2p | Weibull-3p | | |
| 1233 | Çsd3 | 397,4 | 334,0 | 315,4 | 317,9 | 376,4 | 311,7 | 307,2 | 327,7 | 299,4 | 299,4 | 397,4 |
| 1234 | Çsd3 | 389,5 | 380,9 | 351,5 | 335,8 | 403,5 | 347,1 | 342,2 | 356,2 | 324,4 | 324,4 | 403,5 |
| 1235 | Çsd3 | 244,4 | 299,0 | 245,2 | 157,9 | 307,1 | 241,3 | 236,8 | 238,9 | Çözümsüz | 157,9 | 307,1 |
| 1236 | Çsd3 | 228,8 | 225,2 | 211,6 | 180,0 | 267,5 | 206,8 | 203,4 | 223,8 | Çözümsüz | 180,0 | 267,5 |
| 1237 | Çsd3 | 137,1 | 143,9 | 141,1 | Çözümsüz | 146,9 | 139,8 | 138,9 | 138,9 | 141,8 | 137,1 | 146,9 |
| 1238 | Çsd3 | 239,0 | 155,2 | 221,2 | 155,7 | 159,5 | 300,6 | 154,3 | 154,5 | 188,7 | 154,3 | 300,6 |
| 1239 | Çsd3 | 68,5 | 64,8 | 57,6 | 29,1 | 65,0 | 58,0 | 56,1 | 30,6 | 35,7 | 29,1 | 68,5 |
| 1240 | Çsd3 | 80,8 | 410,2 | 427,2 | 103,1 | 414,2 | 224,9 | 424,6 | 384,1 | 254,1 | 80,8 | 427,2 |
| 1241 | Çsd3 | 266,3 | 338,4 | 348,6 | 257,7 | 412,6 | 333,1 | 324,8 | 380,4 | Çözümsüz | 257,7 | 412,6 |
| 1242 | Çsd3 | 296,5 | 385,0 | 343,8 | 298,9 | 368,2 | 339,8 | 338,8 | 326,6 | Çözümsüz | 296,5 | 385,0 |
| 1243 | Çsd3 | 175,9 | 223,0 | 232,9 | 217,8 | 211,2 | 197,8 | 233,3 | 211,2 | 199,8 | 175,9 | 233,3 |

Tablo 4.12. Olasılık yoğunluk fonksiyonlarına ilişkin hata indeksi (e) değerleri (II. Bonitet)

| Örnek Alan No | Mesçere Tipi | Olasılık Yoğunluk Fonksiyonları | | | | | | | | | Minimum e | Maksimum e |
|---------------|--------------|---------------------------------|----------|----------|------------|--------------|--------------|--------|------------|------------|-----------|------------|
| | | Beta | Gamma-2p | Gamma-3p | Johnson SB | Lognormal-2p | Lognormal-3p | Normal | Weibull-2p | Weibull-3p | | |
| 2001 | Çsb1 | 108,2 | 33,2 | 296,2 | 43,3 | 30,2 | 308,8 | 52,1 | 50,2 | 180,3 | 30,2 | 308,8 |
| 2002 | Çsb1 | 147,9 | 113,1 | 125,8 | 13,9 | 109,0 | 119,5 | 141,7 | 161,5 | 32,0 | 13,9 | 161,5 |
| 2003 | Çsb2 | 199,2 | 126,2 | 354,9 | 38,9 | 130,7 | 112,5 | 94,6 | 48,2 | 579,1 | 38,9 | 579,1 |
| 2004 | Çsb2 | 47,1 | 55,8 | 47,7 | Çözümsüz | 46,3 | 45,3 | 71,1 | 114,2 | 63,2 | 45,3 | 114,2 |
| 2005 | Çsb2 | 148,0 | 32,6 | 29,7 | 53,5 | 37,7 | 15,6 | 16,2 | 45,0 | 12,7 | 12,7 | 148,0 |
| 2006 | Çsb3 | 455,9 | 160,6 | 1 452,1 | 190,5 | 143,0 | 1 074,8 | 274,6 | 319,6 | 484,1 | 143,0 | 1 452,1 |
| 2007 | Çsb3 | 253,8 | 112,1 | 81,9 | 56,1 | 134,2 | 60,2 | 41,3 | 54,2 | 38,1 | 38,1 | 253,8 |
| 2008 | Çsb3 | 303,5 | 42,9 | 544,7 | Çözümsüz | 55,7 | 333,9 | 46,4 | 597,3 | 549,2 | 42,9 | 597,3 |
| 2009 | Çsb3 | 953,6 | 330,6 | 798,5 | 46,2 | 350,4 | 529,9 | 417,6 | 411,5 | 351,1 | 46,2 | 953,6 |
| 2010 | Çsb3 | 165,5 | 481,6 | 532,1 | 73,0 | 449,9 | 233,2 | 581,0 | 623,6 | 173,1 | 73,0 | 623,6 |
| 2011 | Çsb3 | 800,9 | 117,3 | 576,9 | 131,0 | 64,5 | 918,2 | 197,2 | 409,4 | 301,5 | 64,5 | 918,2 |
| 2012 | Çsb3 | 208,4 | 292,1 | 808,6 | 143,7 | 301,4 | 1 089,3 | 260,0 | 217,1 | 400,4 | 143,7 | 1 089,3 |
| 2013 | Çsb3 | 358,5 | 60,5 | 602,8 | Çözümsüz | 38,2 | 430,6 | 73,8 | 601,2 | 608,6 | 38,2 | 608,6 |
| 2014 | Çsb3 | 405,8 | 304,1 | 1 189,0 | 188,4 | 322,4 | 1 977,6 | 527,4 | 597,3 | 992,5 | 188,4 | 1 977,6 |
| 2015 | Çsb3 | 641,4 | 545,0 | 511,0 | 480,3 | 566,5 | 500,5 | 486,6 | 450,0 | 504,1 | 450,0 | 641,4 |
| 2016 | Çsb3 | 100,1 | 97,6 | 90,6 | 92,6 | 147,3 | 89,2 | 124,5 | 219,9 | 133,3 | 89,2 | 219,9 |
| 2017 | Çsb3 | 680,4 | 138,4 | 1 491,4 | 247,7 | 141,3 | 2 299,5 | 155,3 | 257,1 | 924,5 | 138,4 | 2 299,5 |
| 2018 | Çsb3 | 211,1 | 59,6 | 1 033,2 | 68,0 | 77,7 | 95,7 | 109,8 | 131,6 | 1 027,5 | 59,6 | 1 033,2 |
| 2019 | Çsb3 | 689,1 | 232,9 | 241,8 | Çözümsüz | 258,0 | 236,2 | 184,1 | 187,6 | 264,9 | 184,1 | 689,1 |
| 2020 | Çsb3 | 182,1 | 335,1 | 404,7 | 79,4 | 328,6 | 469,4 | 418,5 | 415,8 | 149,1 | 79,4 | 469,4 |
| 2021 | Çsb3 | 405,6 | 121,2 | 1 221,6 | 103,3 | 137,2 | 1 459,0 | 218,0 | 261,7 | 1 241,4 | 103,3 | 1 459,0 |
| 2022 | Çsb3 | 981,6 | 638,1 | 522,6 | 268,7 | 598,3 | 1 175,3 | 811,6 | 933,4 | 652,9 | 268,7 | 1 175,3 |
| 2023 | Çsb3 | 1 309,8 | 193,9 | 1 634,8 | 114,8 | 193,9 | 1 105,9 | 320,7 | 352,7 | 589,8 | 114,8 | 1 634,8 |
| 2024 | Çsb3 | 155,1 | 163,5 | 133,9 | 101,6 | 177,0 | 127,8 | 119,9 | 105,2 | 88,3 | 88,3 | 177,0 |
| 2025 | Çsb3 | 941,4 | 100,3 | 477,6 | 197,8 | 45,9 | 795,5 | 205,0 | 383,7 | 470,6 | 45,9 | 941,4 |
| 2026 | Çsb3 | 131,9 | 70,8 | 83,4 | 107,7 | 90,8 | 83,6 | 136,1 | 274,4 | 119,5 | 70,8 | 274,4 |
| 2027 | Çsb3 | 343,7 | 136,6 | 773,1 | 180,2 | 99,7 | 75,1 | 224,3 | 284,2 | 582,3 | 75,1 | 773,1 |
| 2028 | Çsb3 | 1 485,3 | 45,9 | 1 375,9 | 211,7 | 19,1 | 1 443,5 | 142,7 | 252,7 | 806,9 | 19,1 | 1 485,3 |
| 2029 | Çsb3 | 143,6 | 237,0 | 440,2 | 43,3 | 262,0 | 793,1 | 284,2 | 285,9 | 310,8 | 43,3 | 793,1 |
| 2030 | Çsb3 | 342,5 | 380,2 | 303,9 | 216,7 | 418,5 | 289,1 | 269,3 | 196,2 | 163,1 | 163,1 | 418,5 |
| 2031 | Çsb3 | 318,4 | 320,2 | 734,2 | 76,4 | 359,4 | 1 199,2 | 389,8 | 369,4 | 629,2 | 76,4 | 1 199,2 |
| 2032 | Çsb3 | 587,3 | 467,1 | 404,4 | 82,7 | 494,1 | 816,4 | 611,9 | 636,7 | 440,2 | 82,7 | 816,4 |
| 2033 | Çsb3 | 534,3 | 67,4 | 1 077,0 | 186,2 | 112,2 | 44,9 | 31,4 | 134,3 | 1 348,4 | 31,4 | 1 348,4 |
| 2034 | Çsb3 | 334,2 | 181,3 | 561,1 | 135,6 | 175,0 | 737,5 | 238,8 | 198,6 | 568,9 | 135,6 | 737,5 |
| 2035 | Çsb3 | 355,6 | 55,2 | 955,8 | 147,5 | 31,2 | 811,8 | 137,6 | 207,8 | 382,0 | 31,2 | 955,8 |
| 2036 | Çsbc1 | 164,8 | 140,0 | 345,2 | 158,3 | 144,8 | 149,6 | 142,1 | 146,1 | 195,5 | 140,0 | 345,2 |
| 2037 | Çsbc1 | 97,3 | 362,7 | 172,6 | 72,5 | 361,8 | 290,9 | 439,4 | 437,1 | 206,5 | 72,5 | 439,4 |
| 2038 | Çsbc1 | 104,1 | 157,1 | 228,4 | 120,9 | 168,6 | 253,0 | 152,9 | 146,2 | 121,5 | 104,1 | 253,0 |
| 2039 | Çsbc1 | 44,3 | 92,4 | 68,6 | 33,1 | 88,8 | 76,1 | 73,3 | 60,1 | 73,1 | 33,1 | 92,4 |
| 2040 | Çsbc1 | 193,3 | 176,9 | 195,8 | 147,9 | 147,3 | 140,0 | 197,7 | 176,2 | 273,4 | 140,0 | 273,4 |
| 2041 | Çsbc1 | 30,9 | 57,4 | 49,4 | 11,1 | 56,7 | 50,4 | 47,7 | 27,5 | Çözümsüz | 11,1 | 57,4 |
| 2042 | Çsbc1 | 27,4 | 51,1 | 39,6 | 22,8 | 73,8 | 33,8 | 28,2 | 31,0 | 19,9 | 19,9 | 73,8 |
| 2043 | Çsbc2 | 151,1 | 236,8 | 569,8 | 117,9 | 251,2 | 208,6 | 176,8 | 146,3 | 281,1 | 117,9 | 569,8 |
| 2044 | Çsbc2 | 288,3 | 217,4 | 877,6 | 160,4 | 175,0 | 1 116,4 | 288,5 | 293,1 | 340,4 | 160,4 | 1 116,4 |
| 2045 | Çsbc2 | 96,6 | 163,5 | 351,9 | 61,6 | 159,4 | 147,8 | 138,2 | 115,6 | 385,3 | 61,6 | 385,3 |
| 2046 | Çsbc2 | 161,0 | 161,6 | 162,8 | 83,9 | 174,2 | 241,0 | 236,6 | 224,4 | 276,0 | 83,9 | 276,0 |
| 2047 | Çsbc2 | 325,0 | 278,7 | 381,4 | 168,9 | 296,6 | 379,9 | 390,0 | 365,5 | 170,3 | 168,9 | 390,0 |
| 2048 | Çsbc2 | 139,4 | 141,5 | 140,0 | Çözümsüz | 143,4 | 139,3 | 139,1 | 144,7 | 147,2 | 139,1 | 147,2 |
| 2049 | Çsbc2 | 104,1 | 80,0 | 69,3 | 34,7 | 105,8 | 57,9 | 51,3 | 35,8 | 14,4 | 14,4 | 105,8 |
| 2050 | Çsbc2 | 141,4 | 100,1 | 260,6 | 88,0 | 94,5 | 93,5 | 115,0 | 116,4 | 89,4 | 88,0 | 260,6 |
| 2051 | Çsbc2 | 115,0 | 126,2 | 106,7 | 29,2 | 129,3 | 106,0 | 103,8 | 65,3 | 106,3 | 29,2 | 129,3 |
| 2052 | Çsbc2 | 240,5 | 328,6 | 291,3 | 38,2 | 326,9 | 290,7 | 280,0 | 241,6 | Çözümsüz | 38,2 | 328,6 |
| 2053 | Çsbc2 | 100,6 | 51,8 | 200,2 | 55,9 | 63,7 | 66,8 | 83,9 | 93,2 | 393,1 | 51,8 | 393,1 |
| 2054 | Çsbc2 | 258,3 | 212,6 | 161,4 | 183,4 | 178,6 | 756,1 | 283,8 | 283,5 | 367,9 | 161,4 | 756,1 |
| 2055 | Çsbc2 | 105,2 | 140,5 | 125,0 | 99,4 | 144,0 | 115,7 | 107,2 | 106,1 | 135,5 | 99,4 | 144,0 |
| 2056 | Çsbc2 | 556,0 | 227,7 | 286,2 | 123,0 | 271,5 | 516,4 | 304,7 | 319,0 | 160,1 | 123,0 | 556,0 |
| 2057 | Çsbc2 | 171,3 | 153,5 | 151,4 | 134,1 | 149,9 | 149,5 | 175,8 | 179,7 | 158,0 | 134,1 | 179,7 |
| 2058 | Çsbc2 | 304,1 | 188,5 | 328,4 | 139,9 | 183,7 | 243,5 | 231,1 | 220,6 | 216,6 | 139,9 | 328,4 |

Tablo 4.12.'nin devamı

| Örnek Alan No | Mesçere Tipi | Olasılık Yoğunluk Fonksiyonları | | | | | | | | | | |
|---------------|--------------|---------------------------------|----------|----------|------------|--------------|--------------|--------|------------|------------|-----------|------------|
| | | Beta | Gamma-2p | Gamma-3p | Johnson SB | Lognormal-2p | Lognormal-3p | Normal | Weibull-2p | Weibull-3p | Minimum e | Maksimum e |
| 2059 | Çsbc2 | 176,0 | 139,6 | 100,8 | 96,1 | 117,5 | 104,7 | 183,3 | 199,3 | 107,2 | 96,1 | 199,3 |
| 2060 | Çsbc2 | 835,2 | 283,1 | 1 696,2 | 272,7 | 218,9 | 1 066,2 | 454,7 | 671,5 | 441,3 | 218,9 | 1 696,2 |
| 2061 | Çsbc2 | 66,1 | 58,5 | 84,0 | 56,6 | 60,2 | 57,2 | 58,2 | 57,4 | 106,1 | 56,6 | 106,1 |
| 2062 | Çsbc2 | 195,5 | 208,4 | 192,1 | 163,6 | 193,1 | 164,1 | 269,7 | 247,4 | 184,6 | 163,6 | 269,7 |
| 2063 | Çsbc2 | 213,8 | 175,1 | 173,8 | 172,6 | 174,6 | 176,1 | 178,3 | 173,4 | 171,7 | 171,7 | 213,8 |
| 2064 | Çsbc2 | 139,0 | 100,2 | 496,5 | 84,0 | 86,5 | 67,0 | 136,9 | 153,1 | 371,7 | 67,0 | 496,5 |
| 2065 | Çsbc2 | 251,2 | 284,8 | 263,3 | Çözümsüz | 305,3 | 257,8 | 251,6 | 249,7 | 251,9 | 249,7 | 305,3 |
| 2066 | Çsbc3 | 477,7 | 356,4 | 460,7 | 481,5 | 169,6 | 163,7 | 411,1 | 282,2 | 495,3 | 163,7 | 495,3 |
| 2067 | Çsbc3 | 194,2 | 126,3 | 451,3 | 53,0 | 136,2 | 120,4 | 129,7 | 123,5 | 440,7 | 53,0 | 451,3 |
| 2068 | Çsbc3 | 253,6 | 270,3 | 472,3 | 193,2 | 274,8 | 216,4 | 344,0 | 354,1 | 789,6 | 193,2 | 789,6 |
| 2069 | Çsbc3 | 532,4 | 478,1 | 1 161,3 | 436,1 | 488,9 | 453,8 | 426,5 | 413,6 | 821,0 | 413,6 | 1 161,3 |
| 2070 | Çsbc3 | 88,8 | 275,4 | 212,7 | 63,6 | 319,2 | 196,8 | 182,2 | 103,3 | 80,4 | 63,6 | 319,2 |
| 2071 | Çsbc3 | 493,7 | 104,8 | 760,6 | 176,8 | 71,5 | 64,1 | 201,0 | 293,1 | 838,4 | 64,1 | 838,4 |
| 2072 | Çsbc3 | 448,4 | 329,3 | 256,3 | 304,8 | 298,0 | 295,2 | 386,9 | 378,5 | 256,0 | 256,0 | 448,4 |
| 2073 | Çsbc3 | 649,1 | 225,5 | 688,5 | 58,1 | 239,9 | 908,6 | 242,5 | 223,5 | 430,5 | 58,1 | 908,6 |
| 2074 | Çsbc3 | 175,2 | 177,1 | 177,9 | 173,9 | 180,6 | 177,8 | 187,2 | 229,9 | 204,5 | 173,9 | 229,9 |
| 2075 | Çsbc3 | 276,2 | 326,1 | 1 252,1 | 291,1 | 354,1 | 450,1 | 460,0 | 480,4 | 1 391,4 | 276,2 | 1 391,4 |
| 2076 | Çsbc3 | 433,4 | 244,6 | 1 320,8 | 223,3 | 224,4 | 208,6 | 387,2 | 412,5 | 1 086,5 | 208,6 | 1 320,8 |
| 2077 | Çsbc3 | 133,4 | 230,2 | 216,6 | 125,2 | 236,4 | 198,8 | 204,0 | 195,0 | 226,5 | 125,2 | 236,4 |
| 2078 | Çsbc3 | 469,3 | 403,3 | 499,4 | Çözümsüz | 452,8 | 460,4 | 355,8 | 352,7 | 552,3 | 352,7 | 552,3 |
| 2079 | Çsbc3 | 97,3 | 362,7 | 172,6 | 72,5 | 361,8 | 290,9 | 439,4 | 437,1 | 206,5 | 72,5 | 439,4 |
| 2080 | Çsbc3 | 183,6 | 268,7 | 646,2 | 121,1 | 288,5 | 238,3 | 202,6 | 150,1 | 580,0 | 121,1 | 646,2 |
| 2081 | Çsbc3 | 295,2 | 130,9 | 686,4 | 126,5 | 115,2 | 1 586,3 | 230,8 | 286,3 | 505,7 | 115,2 | 1 586,3 |
| 2082 | Çsbc3 | 630,8 | 187,4 | 191,8 | 195,1 | 209,5 | 202,6 | 259,1 | 270,0 | 173,6 | 173,6 | 630,8 |
| 2083 | Çsbc3 | 597,4 | 268,2 | 225,9 | 227,6 | 316,8 | 222,9 | 216,2 | 213,1 | 243,8 | 213,1 | 597,4 |
| 2084 | Çsbc3 | 757,2 | 352,5 | 272,4 | 157,3 | 397,2 | 453,1 | 467,6 | 465,5 | 166,7 | 157,3 | 757,2 |
| 2085 | Çsbc3 | 191,4 | 250,4 | 224,0 | 169,9 | 258,9 | 218,0 | 213,8 | 197,4 | 217,2 | 169,9 | 258,9 |
| 2086 | Çsbc3 | 380,8 | 382,7 | 644,6 | 275,8 | 419,9 | 368,5 | 306,1 | 296,5 | 596,3 | 275,8 | 644,6 |
| 2087 | Çsbc3 | 258,9 | 375,2 | 679,6 | 113,3 | 365,7 | 739,1 | 480,9 | 484,2 | 188,7 | 113,3 | 739,1 |
| 2088 | Çsbc3 | 397,9 | 437,1 | 340,4 | 319,0 | 382,9 | 358,1 | 583,3 | 554,7 | 354,3 | 319,0 | 583,3 |
| 2089 | Çsbc3 | 228,8 | 339,8 | 788,2 | 122,1 | 326,7 | 309,4 | 287,6 | 238,4 | 481,6 | 122,1 | 788,2 |
| 2090 | Çsbc3 | 274,1 | 274,3 | 276,9 | 227,1 | 306,1 | 527,8 | 299,3 | 307,3 | 338,7 | 227,1 | 527,8 |
| 2091 | Çsbc3 | 211,1 | 259,6 | 253,0 | 205,7 | 271,5 | 253,0 | 239,0 | 248,8 | 216,5 | 205,7 | 271,5 |
| 2092 | Çsbc3 | 146,7 | 371,6 | 895,8 | 86,5 | 387,6 | 961,7 | 372,3 | 334,4 | 712,9 | 86,5 | 961,7 |
| 2093 | Çsbc3 | 626,1 | 324,3 | 305,1 | 432,7 | 320,8 | 1 232,9 | 457,6 | 447,0 | 855,3 | 305,1 | 1 232,9 |
| 2094 | Çsbc3 | 695,1 | 456,7 | 488,1 | 292,6 | 482,2 | 833,9 | 471,7 | 455,3 | 408,6 | 292,6 | 833,9 |
| 2095 | Çsbc3 | 519,5 | 553,3 | 522,5 | Çözümsüz | 576,3 | 519,3 | 511,3 | 525,2 | 531,7 | 511,3 | 576,3 |
| 2096 | Çse1 | 44,1 | 174,4 | 186,6 | 33,3 | 181,2 | 226,2 | 171,8 | 150,9 | 120,2 | 33,3 | 226,2 |
| 2097 | Çse1 | 174,4 | 198,7 | 177,4 | 171,1 | 210,5 | 180,6 | 177,2 | 171,6 | 167,3 | 167,3 | 210,5 |
| 2098 | Çse1 | 252,1 | 236,7 | 221,8 | 220,8 | 255,3 | 221,1 | 212,5 | 217,7 | 227,3 | 212,5 | 255,3 |
| 2099 | Çse1 | 149,4 | 133,0 | 76,8 | 130,2 | 136,4 | 143,7 | 180,7 | 169,6 | 127,6 | 76,8 | 180,7 |
| 2100 | Çse1 | 172,2 | 172,5 | 137,0 | 142,2 | 174,1 | 273,3 | 227,1 | 216,5 | 128,6 | 128,6 | 273,3 |
| 2101 | Çse2 | 378,5 | 452,3 | 420,6 | 345,0 | 449,4 | 505,9 | 388,8 | 378,9 | 387,2 | 345,0 | 505,9 |
| 2102 | Çse2 | 206,9 | 260,5 | 209,4 | 122,2 | 284,3 | 205,5 | 195,1 | 189,0 | 114,8 | 114,8 | 284,3 |
| 2103 | Çse2 | 89,2 | 125,3 | 89,7 | 74,9 | 107,1 | 84,8 | 140,2 | 189,1 | 116,3 | 74,9 | 189,1 |
| 2104 | Çse2 | 216,0 | 157,0 | 470,7 | 145,7 | 197,3 | 176,0 | 116,3 | 113,5 | 200,2 | 113,5 | 470,7 |
| 2105 | Çse2 | 122,1 | 123,1 | 181,9 | 118,2 | 121,0 | 120,3 | 127,7 | 130,5 | 118,9 | 118,2 | 181,9 |
| 2106 | Çse2 | 127,0 | 140,1 | 125,0 | 120,5 | 139,3 | 126,3 | 126,7 | 118,4 | 125,7 | 118,4 | 140,1 |
| 2107 | Çse2 | 151,2 | 231,7 | 287,1 | 154,0 | 251,8 | 310,2 | 217,2 | 212,3 | 215,9 | 151,2 | 310,2 |
| 2108 | Çse2 | 214,3 | 249,1 | 238,3 | 208,4 | 281,8 | 232,7 | 229,2 | 246,5 | 210,8 | 208,4 | 281,8 |
| 2109 | Çse2 | 227,1 | 262,7 | 234,7 | Çözümsüz | 312,3 | 232,0 | 228,3 | 252,9 | 231,1 | 227,1 | 312,3 |
| 2110 | Çse2 | 190,3 | 96,7 | 66,6 | 61,6 | 125,2 | 64,3 | 62,8 | 64,8 | 75,0 | 61,6 | 190,3 |
| 2111 | Çse2 | 192,4 | 153,9 | 148,0 | 138,4 | 162,0 | 150,1 | 151,3 | 148,1 | 147,4 | 138,4 | 192,4 |
| 2112 | Çse2 | 210,0 | 276,1 | 236,8 | 191,7 | 295,5 | 230,0 | 226,0 | 225,6 | 190,8 | 190,8 | 295,5 |
| 2113 | Çse2 | 336,2 | 201,3 | 182,7 | 171,0 | 221,0 | 179,5 | 174,9 | 178,8 | 193,5 | 171,0 | 336,2 |
| 2114 | Çse2 | 199,1 | 159,6 | 291,1 | 185,9 | 193,3 | 610,2 | 212,5 | 204,1 | 243,0 | 159,6 | 610,2 |
| 2115 | Çse2 | 205,7 | 203,0 | 196,0 | 199,3 | 213,2 | 195,9 | 198,6 | 198,4 | 190,2 | 190,2 | 213,2 |
| 2116 | Çse2 | 122,1 | 146,3 | 123,1 | 121,1 | 160,0 | 122,5 | 122,6 | 121,9 | 124,8 | 121,1 | 160,0 |

Tablo 4.12.'nin devamı

| Örnek Alan No | Meşçere Tipi | Olasılık Yoğunluk Fonksiyonları | | | | | | | | | | |
|---------------|--------------|---------------------------------|----------|----------|------------|--------------|--------------|--------|------------|------------|-----------|------------|
| | | Beta | Gamma-2p | Gamma-3p | Johnson SB | Lognormal-2p | Lognormal-3p | Normal | Weibull-2p | Weibull-3p | Minimum e | Maksimum e |
| 2117 | Çsc2 | 107,3 | 126,2 | 271,8 | 105,3 | 115,1 | 108,6 | 139,7 | 136,4 | 103,6 | 103,6 | 271,8 |
| 2118 | Çsc2 | 160,6 | 214,2 | 190,4 | 156,7 | 223,5 | 190,5 | 189,5 | 182,0 | Çözümsüz | 156,7 | 223,5 |
| 2119 | Çsc2 | 126,5 | 213,5 | 235,5 | 93,8 | 209,0 | 182,3 | 176,9 | 157,6 | 221,8 | 93,8 | 235,5 |
| 2120 | Çsc2 | 72,4 | 79,1 | 187,0 | 78,7 | 103,6 | 244,4 | 101,6 | 99,9 | 103,3 | 72,4 | 244,4 |
| 2121 | Çsc2 | 22,6 | 85,8 | 75,4 | 16,2 | 83,6 | 75,7 | 73,3 | 57,2 | 60,5 | 16,2 | 85,8 |
| 2122 | Çsc2 | 106,0 | 109,9 | 94,2 | 88,8 | 118,9 | 91,0 | 83,2 | 82,5 | 103,1 | 82,5 | 118,9 |
| 2123 | Çsc2 | 74,5 | 149,1 | 284,0 | 76,0 | 162,0 | 240,3 | 155,6 | 147,3 | 129,9 | 74,5 | 284,0 |
| 2124 | Çsc2 | 95,2 | 291,7 | 306,1 | 72,8 | 292,8 | 511,5 | 245,0 | 218,9 | 253,3 | 72,8 | 511,5 |
| 2125 | Çsc2 | 77,0 | 144,0 | 163,9 | 92,8 | 152,5 | 139,7 | 146,2 | 139,9 | 116,3 | 77,0 | 163,9 |
| 2126 | Çsc2 | 137,0 | 109,3 | 86,4 | 94,1 | 148,5 | 85,4 | 82,0 | 84,9 | 104,1 | 82,0 | 148,5 |
| 2127 | Çsc2 | 334,6 | 303,1 | 576,3 | 290,8 | 329,0 | 302,8 | 247,3 | 263,7 | 338,5 | 247,3 | 576,3 |
| 2128 | Çsc2 | 152,3 | 135,6 | 140,1 | 136,5 | 152,0 | 136,6 | 110,5 | 108,0 | 148,7 | 108,0 | 152,3 |
| 2129 | Çsc2 | 59,0 | 59,1 | 58,5 | 55,5 | 68,4 | 57,5 | 57,4 | 71,2 | 65,0 | 55,5 | 71,2 |
| 2130 | Çsc2 | 131,2 | 105,2 | 114,3 | 70,3 | 78,5 | 52,7 | 152,3 | 143,1 | 105,3 | 52,7 | 152,3 |
| 2131 | Çsc3 | 247,7 | 312,4 | 250,5 | 201,8 | 347,0 | 243,3 | 233,1 | 209,8 | 212,3 | 201,8 | 347,0 |
| 2132 | Çsc3 | 451,5 | 374,0 | 756,8 | 341,7 | 417,8 | 399,3 | 335,9 | 334,6 | 490,5 | 334,6 | 756,8 |
| 2133 | Çsc3 | 170,6 | 170,8 | 117,2 | 113,9 | 201,7 | 113,3 | 105,6 | 93,8 | 110,2 | 93,8 | 201,7 |
| 2134 | Çsc3 | 360,2 | 374,9 | 377,2 | 356,7 | 447,3 | 369,0 | 364,0 | 407,0 | 351,7 | 351,7 | 447,3 |
| 2135 | Çsc3 | 423,0 | 429,7 | 343,8 | 318,6 | 450,3 | 327,5 | 310,7 | 304,6 | 328,1 | 304,6 | 450,3 |
| 2136 | Çsc3 | 333,9 | 303,1 | 825,6 | 301,7 | 313,4 | 359,1 | 302,1 | 316,3 | 706,4 | 301,7 | 825,6 |
| 2137 | Çsc3 | 241,2 | 232,3 | 153,6 | 184,2 | 209,9 | 191,4 | 310,5 | 287,3 | 149,2 | 149,2 | 310,5 |
| 2138 | Çsc3 | 407,4 | 257,2 | 264,1 | Çözümsüz | 297,0 | 254,8 | 217,6 | 219,1 | 285,7 | 217,6 | 407,4 |
| 2139 | Çsc3 | 597,6 | 470,0 | 449,7 | 367,4 | 483,5 | 490,9 | 435,6 | 430,9 | 474,5 | 367,4 | 597,6 |
| 2140 | Çsc3 | 245,8 | 66,3 | 51,5 | 67,6 | 56,2 | 48,4 | 78,7 | 141,2 | 75,5 | 48,4 | 245,8 |
| 2141 | Çsc3 | 334,5 | 373,1 | 375,7 | 315,6 | 365,2 | 379,6 | 382,4 | 381,9 | 365,0 | 315,6 | 382,4 |
| 2142 | Çsc3 | 472,3 | 464,5 | 465,8 | 491,6 | 478,5 | 465,8 | 463,3 | 481,1 | 465,6 | 463,3 | 491,6 |
| 2143 | Çsc3 | 99,8 | 113,3 | 90,0 | 40,0 | 128,2 | 86,4 | 79,8 | 53,5 | 65,9 | 40,0 | 128,2 |
| 2144 | Çsc3 | 202,8 | 198,3 | 199,7 | 203,8 | 187,9 | 196,6 | 221,5 | 259,2 | 228,2 | 187,9 | 259,2 |
| 2145 | Çsc3 | 205,9 | 326,5 | 616,5 | 217,6 | 365,3 | 1 012,3 | 345,1 | 321,9 | 324,5 | 205,9 | 1 012,3 |
| 2146 | Çsc3 | 247,4 | 298,3 | 649,2 | 273,0 | 334,5 | 890,2 | 230,4 | 253,4 | 481,2 | 230,4 | 890,2 |
| 2147 | Çsc3 | 412,7 | 291,6 | 295,4 | Çözümsüz | 303,0 | 297,9 | 283,7 | 271,3 | 283,7 | 271,3 | 412,7 |
| 2148 | Çsc3 | 306,9 | 358,5 | 540,7 | 302,9 | 402,0 | 1 022,8 | 330,3 | 326,3 | 452,2 | 302,9 | 1 022,8 |
| 2149 | Çsc3 | 331,7 | 362,3 | 366,3 | 345,0 | 364,5 | 366,6 | 369,0 | 371,8 | 358,7 | 331,7 | 371,8 |
| 2150 | Çsc3 | 325,0 | 329,5 | 327,5 | 317,6 | 320,2 | 321,5 | 346,7 | 361,9 | 357,9 | 317,6 | 361,9 |
| 2151 | Çsc3 | 385,0 | 405,4 | 392,5 | Çözümsüz | 444,3 | 390,3 | 387,7 | 400,5 | 390,1 | 385,0 | 444,3 |
| 2152 | Çsc3 | 287,7 | 332,0 | 257,7 | 203,5 | 367,7 | 246,8 | 236,5 | 172,7 | 186,1 | 172,7 | 367,7 |
| 2153 | Çsc3 | 159,6 | 167,9 | 166,9 | Çözümsüz | 155,0 | 169,7 | 194,2 | 193,9 | 159,5 | 155,0 | 194,2 |
| 2154 | Çsc3 | 177,8 | 189,6 | 183,6 | Çözümsüz | 232,5 | 180,7 | 180,5 | 222,6 | 202,4 | 177,8 | 232,5 |
| 2155 | Çsc3 | 414,1 | 366,3 | 329,0 | 310,0 | 372,6 | 328,3 | 319,0 | 299,0 | 300,0 | 299,0 | 414,1 |
| 2156 | Çsc3 | 111,7 | 207,9 | 116,9 | 77,4 | 172,6 | 98,8 | 283,2 | 392,8 | 166,8 | 77,4 | 392,8 |
| 2157 | Çsc3 | 214,5 | 162,3 | 159,4 | 124,7 | 172,7 | 170,2 | 221,3 | 245,6 | 130,2 | 124,7 | 245,6 |
| 2158 | Çsc3 | 405,4 | 204,6 | 491,0 | 187,8 | 193,3 | 552,5 | 237,7 | 239,3 | 217,0 | 187,8 | 552,5 |
| 2159 | Çsc3 | 402,5 | 285,5 | 292,7 | 288,1 | 299,5 | 288,7 | 260,5 | 269,0 | 296,8 | 260,5 | 402,5 |
| 2160 | Çsc3 | 330,2 | 208,9 | 212,1 | 209,4 | 223,6 | 207,0 | 206,8 | 214,5 | 224,3 | 206,8 | 330,2 |
| 2161 | Çscd1 | 156,5 | 242,9 | 209,1 | 161,8 | 225,1 | 223,2 | 218,7 | 209,0 | 210,3 | 156,5 | 242,9 |
| 2162 | Çscd1 | 104,9 | 141,9 | 133,0 | 95,6 | 134,4 | 138,1 | 135,5 | 129,6 | 131,8 | 95,6 | 141,9 |
| 2163 | Çscd1 | 222,9 | 214,5 | 194,8 | 208,1 | 207,2 | 220,4 | 223,0 | 216,6 | 196,0 | 194,8 | 223,0 |
| 2164 | Çscd1 | 57,7 | 126,8 | 166,4 | 60,8 | 125,4 | 102,0 | 124,2 | 113,7 | 98,0 | 57,7 | 166,4 |
| 2165 | Çscd1 | 129,0 | 110,2 | 94,9 | 93,0 | 92,6 | 206,4 | 139,1 | 127,9 | 96,4 | 92,6 | 206,4 |
| 2166 | Çscd1 | 130,4 | 76,8 | 173,2 | 80,2 | 71,7 | 325,8 | 91,5 | 119,6 | 259,0 | 71,7 | 325,8 |
| 2167 | Çscd1 | 184,3 | 220,1 | 266,3 | 231,8 | 271,7 | 283,8 | 216,2 | 240,8 | 219,3 | 184,3 | 283,8 |
| 2168 | Çscd1 | 111,0 | 158,1 | 169,7 | 117,9 | 154,2 | 235,7 | 142,0 | 144,0 | 120,9 | 111,0 | 235,7 |
| 2169 | Çscd1 | 148,5 | 148,0 | 160,7 | 141,9 | 154,4 | 145,1 | 136,5 | 139,9 | 142,1 | 136,5 | 160,7 |
| 2170 | Çscd1 | 96,2 | 141,2 | 135,9 | 101,1 | 141,3 | 134,4 | 133,0 | 132,4 | 132,7 | 96,2 | 141,3 |
| 2171 | Çscd1 | 190,4 | 179,2 | 172,8 | 168,8 | 185,5 | 173,0 | 171,7 | 171,3 | 175,4 | 168,8 | 190,4 |
| 2172 | Çscd1 | 94,9 | 152,5 | 238,1 | 87,8 | 177,5 | 106,0 | 212,6 | 195,0 | 101,1 | 87,8 | 238,1 |
| 2173 | Çscd1 | 88,2 | 83,0 | 126,1 | 67,3 | 95,6 | 310,0 | 89,4 | 83,6 | 159,8 | 67,3 | 310,0 |
| 2174 | Çscd1 | 175,2 | 156,8 | 151,4 | 143,4 | 157,4 | 149,9 | 145,8 | 146,8 | 155,0 | 143,4 | 175,2 |

Tablo 4.12.'nin devamı

| Örnek Alan No | Mesçere Tipi | Olasılık Yoğunluk Fonksiyonları | | | | | | | | | | |
|---------------|--------------|---------------------------------|----------|----------|------------|--------------|--------------|--------|------------|------------|-----------|------------|
| | | Beta | Gamma-2p | Gamma-3p | Johnson SB | Lognormal-2p | Lognormal-3p | Normal | Weibull-2p | Weibull-3p | Minimum e | Maksimum e |
| 2175 | Çscd1 | 330,1 | 300,4 | 267,6 | 258,2 | 230,2 | 580,7 | 363,3 | 308,5 | 223,3 | 223,3 | 580,7 |
| 2176 | Çscd1 | 114,9 | 133,3 | 125,8 | 113,8 | 127,9 | 126,2 | 125,5 | 116,2 | 125,6 | 113,8 | 133,3 |
| 2177 | Çscd1 | 166,2 | 137,3 | 135,8 | 138,7 | 152,0 | 135,4 | 137,0 | 141,5 | 144,6 | 135,4 | 166,2 |
| 2178 | Çscd1 | 153,2 | 129,4 | 112,6 | 108,4 | 145,3 | 111,7 | 109,6 | 124,1 | 104,3 | 104,3 | 153,2 |
| 2179 | Çscd1 | 94,3 | 117,1 | 196,9 | 93,9 | 126,4 | 275,9 | 106,6 | 106,0 | 158,2 | 93,9 | 275,9 |
| 2180 | Çscd1 | 108,8 | 112,7 | 100,4 | 103,2 | 120,0 | 99,4 | 98,4 | 102,1 | 95,1 | 95,1 | 120,0 |
| 2181 | Çscd1 | 87,1 | 83,2 | 85,4 | 79,3 | 85,8 | 86,2 | 85,7 | 88,4 | 82,5 | 79,3 | 88,4 |
| 2182 | Çscd1 | 121,3 | 115,6 | 115,8 | 118,1 | 113,7 | 113,8 | 135,8 | 126,4 | 121,8 | 113,7 | 135,8 |
| 2183 | Çscd1 | 128,1 | 140,5 | 134,9 | 124,6 | 138,3 | 134,4 | 130,1 | 130,3 | 134,3 | 124,6 | 140,5 |
| 2184 | Çscd1 | 245,1 | 185,1 | 188,2 | 192,9 | 181,7 | 183,5 | 184,2 | 186,1 | 199,3 | 181,7 | 245,1 |
| 2185 | Çscd1 | 121,2 | 108,7 | 170,0 | 107,3 | 114,3 | 114,7 | 109,7 | 105,8 | 112,4 | 105,8 | 170,0 |
| 2186 | Çscd1 | 260,1 | 272,9 | 347,3 | 233,5 | 282,4 | 245,2 | 237,1 | 239,4 | 275,0 | 233,5 | 347,3 |
| 2187 | Çscd1 | 107,6 | 122,6 | 112,1 | 85,4 | 137,8 | 107,9 | 106,8 | 117,1 | Çözümsüz | 85,4 | 137,8 |
| 2188 | Çscd1 | 117,2 | 175,5 | 154,9 | 130,5 | 169,0 | 155,2 | 152,9 | 140,0 | Çözümsüz | 117,2 | 175,5 |
| 2189 | Çscd1 | 107,1 | 119,5 | 123,7 | 96,9 | 118,2 | 119,3 | 125,4 | 120,2 | 102,8 | 96,9 | 125,4 |
| 2190 | Çscd2 | 232,3 | 200,7 | 261,4 | 188,3 | 218,4 | 183,4 | 185,0 | 180,2 | 195,1 | 180,2 | 261,4 |
| 2191 | Çscd2 | 192,7 | 196,4 | 197,9 | 198,8 | 199,2 | 198,3 | 196,4 | 200,5 | 191,7 | 191,7 | 200,5 |
| 2192 | Çscd2 | 205,5 | 210,1 | 337,4 | 211,5 | 205,4 | 204,3 | 224,9 | 214,0 | 229,3 | 204,3 | 337,4 |
| 2193 | Çscd2 | 204,7 | 242,4 | 272,3 | 171,2 | 251,1 | 374,9 | 311,4 | 278,8 | 200,6 | 171,2 | 374,9 |
| 2194 | Çscd2 | 139,1 | 114,1 | 205,5 | 74,0 | 107,1 | 82,1 | 137,1 | 154,7 | 368,7 | 74,0 | 368,7 |
| 2195 | Çscd2 | 92,3 | 194,4 | 146,4 | 42,3 | 203,2 | 150,6 | 142,3 | 119,3 | 134,7 | 42,3 | 203,2 |
| 2196 | Çscd2 | 183,7 | 180,4 | 176,0 | 150,3 | 186,9 | 178,8 | 190,4 | 192,2 | 173,7 | 150,3 | 192,2 |
| 2197 | Çscd2 | Çözümsüz | 295,9 | 275,2 | 328,3 | 264,7 | 261,6 | 318,1 | 267,2 | 313,5 | 261,6 | 328,3 |
| 2198 | Çscd2 | 164,9 | 228,5 | 202,0 | Çözümsüz | 288,1 | 192,1 | 183,0 | 176,6 | 164,0 | 164,0 | 288,1 |
| 2199 | Çscd2 | 171,4 | 198,9 | 197,5 | 180,3 | 202,4 | 196,9 | 196,5 | 188,0 | Çözümsüz | 171,4 | 202,4 |
| 2200 | Çscd2 | 122,3 | 152,8 | 133,4 | 144,4 | 153,2 | 133,3 | 132,1 | 131,7 | Çözümsüz | 122,3 | 153,2 |
| 2201 | Çscd2 | 368,2 | 349,9 | 344,7 | 342,9 | 370,6 | 427,3 | 317,8 | 338,0 | 333,3 | 317,8 | 427,3 |
| 2202 | Çscd2 | 212,8 | 179,7 | 179,5 | 176,0 | 178,8 | 179,7 | 180,3 | 183,5 | 180,5 | 176,0 | 212,8 |
| 2203 | Çscd2 | 107,5 | 223,8 | 201,0 | 109,8 | 207,2 | 199,8 | 192,1 | 174,5 | 197,3 | 107,5 | 223,8 |
| 2204 | Çscd2 | 203,5 | 173,7 | 188,1 | 148,8 | 206,2 | 164,0 | 156,9 | 153,8 | 188,9 | 148,8 | 206,2 |
| 2205 | Çscd2 | 130,4 | 223,0 | 191,4 | 103,1 | 211,7 | 190,0 | 185,3 | 154,3 | Çözümsüz | 103,1 | 223,0 |
| 2206 | Çscd2 | 149,6 | 274,1 | 265,8 | 131,1 | 282,1 | 345,3 | 254,8 | 247,5 | 219,9 | 131,1 | 345,3 |
| 2207 | Çscd2 | 224,1 | 167,6 | 170,5 | 154,9 | 171,9 | 210,1 | 166,3 | 167,4 | 152,2 | 152,2 | 224,1 |
| 2208 | Çscd2 | 147,9 | 130,6 | 138,9 | 129,2 | 127,1 | 140,0 | 150,6 | 147,8 | 143,0 | 127,1 | 150,6 |
| 2209 | Çscd2 | 156,6 | 167,5 | 201,0 | 162,7 | 176,9 | 250,0 | 171,4 | 173,7 | 165,1 | 156,6 | 250,0 |
| 2210 | Çscd2 | 124,7 | 162,0 | 135,0 | 80,5 | 180,7 | 123,9 | 119,5 | 109,1 | 153,6 | 80,5 | 180,7 |
| 2211 | Çscd2 | 200,9 | 205,4 | 165,7 | 172,4 | 229,8 | 166,3 | 162,7 | 176,3 | 160,1 | 160,1 | 229,8 |
| 2212 | Çscd2 | 144,3 | 153,5 | 147,5 | Çözümsüz | 174,6 | 146,7 | 146,1 | 157,1 | 154,8 | 144,3 | 174,6 |
| 2213 | Çscd2 | 350,5 | 302,6 | 273,7 | 264,7 | 308,7 | 273,2 | 269,8 | 274,5 | 271,9 | 264,7 | 350,5 |
| 2214 | Çscd2 | 159,7 | 164,4 | 163,6 | 154,8 | 164,6 | 165,5 | 167,5 | 166,3 | 158,1 | 154,8 | 167,5 |
| 2215 | Çscd2 | 318,3 | 204,2 | 150,0 | 142,6 | 246,5 | 145,3 | 140,4 | 151,5 | 139,3 | 139,3 | 318,3 |
| 2216 | Çscd2 | 234,5 | 268,6 | 335,1 | 245,5 | 269,1 | 262,6 | 260,3 | 251,4 | 275,3 | 234,5 | 335,1 |
| 2217 | Çscd2 | 341,2 | 190,4 | 153,5 | 158,7 | 227,4 | 151,0 | 146,9 | 159,2 | 155,4 | 146,9 | 341,2 |
| 2218 | Çscd2 | 103,4 | 164,9 | 143,6 | 107,9 | 156,6 | 154,7 | 152,1 | 145,9 | 157,0 | 103,4 | 164,9 |
| 2219 | Çscd2 | 360,1 | 198,8 | 182,6 | 178,3 | 227,4 | 179,3 | 168,0 | 182,8 | 203,3 | 168,0 | 360,1 |
| 2220 | Çscd3 | Çözümsüz | 335,9 | 258,9 | 261,5 | 288,9 | 248,5 | 371,2 | 368,8 | 286,9 | 248,5 | 371,2 |
| 2221 | Çscd3 | 449,2 | 325,3 | 334,0 | 326,9 | 345,0 | 326,3 | 333,2 | 314,7 | 347,2 | 314,7 | 449,2 |
| 2222 | Çscd3 | 325,6 | 319,9 | 313,5 | 310,6 | 311,6 | 312,9 | 343,1 | 336,8 | 312,0 | 310,6 | 343,1 |
| 2223 | Çscd3 | 234,4 | 211,1 | 972,7 | 141,9 | 241,8 | 1 367,3 | 205,9 | 218,7 | 352,1 | 141,9 | 1 367,3 |
| 2224 | Çscd3 | 133,8 | 117,8 | 106,3 | 76,4 | 129,0 | 101,7 | 95,0 | 73,7 | 99,4 | 73,7 | 133,8 |
| 2225 | Çscd3 | 221,6 | 241,2 | 201,4 | 213,6 | 263,1 | 200,3 | 195,4 | 202,8 | 196,5 | 195,4 | 263,1 |
| 2226 | Çscd3 | 867,6 | 360,1 | 680,8 | 183,6 | 383,9 | 1 079,6 | 518,5 | 501,9 | 476,9 | 183,6 | 1 079,6 |
| 2227 | Çscd3 | 680,7 | 292,0 | 320,1 | 216,1 | 283,1 | 622,9 | 349,2 | 335,2 | 214,9 | 214,9 | 680,7 |
| 2228 | Çscd3 | 495,3 | 435,3 | 387,5 | 463,5 | 361,8 | 370,4 | 459,8 | 423,7 | 422,6 | 361,8 | 495,3 |
| 2229 | Çscd3 | 230,4 | 369,2 | 395,4 | 186,7 | 387,2 | 283,7 | 278,7 | 307,5 | 384,3 | 186,7 | 395,4 |
| 2230 | Çscd3 | 386,2 | 427,6 | 596,2 | 361,5 | 438,4 | 399,3 | 397,7 | 389,6 | 408,4 | 361,5 | 596,2 |
| 2231 | Çscd3 | 283,5 | 284,0 | 243,7 | 208,4 | 271,9 | 281,0 | 313,6 | 297,8 | 242,7 | 208,4 | 313,6 |
| 2232 | Çscd3 | 341,3 | 414,6 | 350,4 | 344,9 | 433,1 | 348,1 | 342,0 | 342,1 | 335,6 | 335,6 | 433,1 |

Tablo 4.12.'nin devamı

| Örnek Alan No | Mesçere Tipi | Olasılık Yoğunluk Fonksiyonları | | | | | | | | | | |
|---------------|--------------|---------------------------------|----------|----------|------------|--------------|--------------|---------|------------|------------|-----------|------------|
| | | Beta | Gamma-2p | Gamma-3p | Johnson SB | Lognormal-2p | Lognormal-3p | Normal | Weibull-2p | Weibull-3p | Minimum e | Maksimum e |
| 2233 | Çscd3 | 310,7 | 331,0 | 303,6 | 275,6 | 368,0 | 297,9 | 291,8 | 296,9 | 252,0 | 252,0 | 368,0 |
| 2234 | Çscd3 | 362,8 | 409,8 | 395,4 | 386,2 | 394,2 | 397,1 | 402,5 | 393,2 | 393,9 | 362,8 | 409,8 |
| 2235 | Çscd3 | 332,9 | 250,0 | 390,2 | 334,2 | 333,3 | 1 049,3 | 300,5 | 300,7 | 331,5 | 250,0 | 1 049,3 |
| 2236 | Çscd3 | 219,6 | 274,8 | 234,6 | 183,0 | 280,5 | 232,4 | 224,7 | 224,1 | 239,1 | 183,0 | 280,5 |
| 2237 | Çscd3 | 182,5 | 183,6 | 183,4 | 167,6 | 191,7 | 181,8 | 203,6 | 198,1 | 195,4 | 167,6 | 203,6 |
| 2238 | Çscd3 | 238,8 | 251,8 | 243,8 | 246,3 | 259,8 | 243,3 | 242,1 | 242,6 | 242,4 | 238,8 | 259,8 |
| 2239 | Çscd3 | 493,2 | 439,3 | 263,9 | 342,7 | 332,0 | 212,5 | 482,2 | 489,0 | 313,9 | 212,5 | 493,2 |
| 2240 | Çscd3 | 574,2 | 603,4 | 562,2 | 495,0 | 583,8 | 533,7 | 531,4 | 509,5 | 545,5 | 495,0 | 603,4 |
| 2241 | Çscd3 | 279,2 | 183,6 | 226,1 | 249,0 | 190,9 | 199,2 | 239,1 | 221,9 | 232,1 | 183,6 | 279,2 |
| 2242 | Çscd3 | 272,9 | 287,0 | 347,1 | 219,1 | 278,3 | 272,4 | 349,5 | 321,4 | 205,7 | 205,7 | 349,5 |
| 2243 | Çscd3 | 173,8 | 168,3 | 166,7 | 168,5 | 167,3 | 166,5 | 165,6 | 170,1 | 169,9 | 165,6 | 173,8 |
| 2244 | Çscd3 | 337,0 | 275,4 | 285,8 | 289,7 | 280,2 | 275,4 | 300,8 | 304,2 | 299,5 | 275,4 | 337,0 |
| 2245 | Çscd3 | 325,9 | 381,6 | 392,6 | 312,9 | 371,8 | 306,7 | 414,0 | 402,7 | 326,5 | 306,7 | 414,0 |
| 2246 | Çscd3 | 433,3 | 341,6 | 314,6 | 346,6 | 311,1 | 300,0 | 394,9 | 430,1 | 345,2 | 300,0 | 433,3 |
| 2247 | Çscd3 | 308,9 | 373,3 | 403,0 | 309,4 | 369,8 | 351,1 | 382,6 | 363,0 | 309,3 | 308,9 | 403,0 |
| 2248 | Çscd3 | 267,3 | 340,8 | 450,7 | 251,1 | 358,1 | 345,5 | 286,0 | 294,3 | 357,1 | 251,1 | 450,7 |
| 2249 | Çscd3 | 259,8 | 232,8 | 212,0 | 202,9 | 243,5 | 206,2 | 200,0 | 190,2 | 193,7 | 190,2 | 259,8 |
| 2250 | Çsd1 | 78,6 | 72,4 | 69,8 | 51,3 | 90,5 | 67,0 | 63,9 | 71,8 | Çözümsüz | 51,3 | 90,5 |
| 2251 | Çsd1 | 74,4 | 139,5 | 129,8 | 70,7 | 148,6 | 128,3 | 126,7 | 127,2 | Çözümsüz | 70,7 | 148,6 |
| 2252 | Çsd1 | 62,9 | 36,2 | 45,2 | 44,1 | 37,1 | 43,3 | 38,7 | 57,6 | 47,6 | 36,2 | 62,9 |
| 2253 | Çsd1 | 118,8 | 138,1 | 144,4 | 80,0 | 137,7 | 130,1 | 122,2 | 119,2 | 121,0 | 80,0 | 144,4 |
| 2254 | Çsd1 | 289,2 | 211,6 | 208,4 | 189,3 | 203,4 | 211,4 | 215,2 | 214,9 | 207,1 | 189,3 | 289,2 |
| 2255 | Çsd1 | 157,8 | 149,9 | 136,2 | 129,3 | 157,0 | 135,2 | 133,7 | 141,3 | 132,9 | 129,3 | 157,8 |
| 2256 | Çsd1 | 58,5 | 116,5 | 107,6 | 58,6 | 114,9 | 133,0 | 108,9 | 101,8 | 95,1 | 58,5 | 133,0 |
| 2257 | Çsd1 | 56,1 | 63,4 | 62,8 | 57,2 | 64,1 | 62,1 | 61,3 | 59,4 | 62,7 | 56,1 | 64,1 |
| 2258 | Çsd1 | 50,0 | 47,8 | 53,5 | 45,0 | 49,0 | 52,2 | 47,3 | 49,9 | 53,7 | 45,0 | 53,7 |
| 2259 | Çsd1 | 56,3 | 69,1 | 46,2 | 35,2 | 67,0 | 50,0 | 74,6 | 83,8 | 48,5 | 35,2 | 83,8 |
| 2260 | Çsd1 | 30,8 | 24,4 | 24,7 | 13,7 | 26,6 | 21,8 | 18,9 | 5,1 | 17,8 | 5,1 | 30,8 |
| 2261 | Çsd1 | 33,9 | 98,4 | 202,5 | 26,3 | 103,5 | 212,5 | 98,7 | 89,2 | 129,2 | 26,3 | 212,5 |
| 2262 | Çsd1 | 34,0 | 69,0 | 68,1 | 39,2 | 69,1 | 68,2 | 67,9 | 62,3 | Çözümsüz | 34,0 | 69,1 |
| 2263 | Çsd1 | 138,6 | 214,2 | 143,5 | Çözümsüz | 200,2 | 121,6 | 197,8 | 178,7 | 117,3 | 117,3 | 214,2 |
| 2264 | Çsd1 | 144,0 | 173,2 | 160,7 | 150,7 | 170,7 | 153,1 | 178,6 | 172,3 | 145,6 | 144,0 | 178,6 |
| 2265 | Çsd1 | 171,7 | 362,1 | 258,8 | 179,4 | 341,9 | 314,4 | 358,1 | 332,9 | 239,7 | 171,7 | 362,1 |
| 2266 | Çsd1 | 95,1 | 110,9 | 105,4 | 84,2 | 137,1 | 101,2 | 100,5 | 115,2 | Çözümsüz | 84,2 | 137,1 |
| 2267 | Çsd1 | 82,7 | 65,3 | 59,4 | 55,0 | 64,1 | 61,5 | 67,9 | 82,9 | 58,4 | 55,0 | 82,9 |
| 2268 | Çsd1 | 47,1 | 78,6 | 136,6 | 30,7 | 79,2 | 76,4 | 74,8 | 60,3 | 88,7 | 30,7 | 136,6 |
| 2269 | Çsd1 | 55,4 | 61,3 | 58,2 | 42,3 | 66,1 | 57,3 | 56,5 | 57,4 | Çözümsüz | 42,3 | 66,1 |
| 2270 | Çsd1 | 58,5 | 73,0 | 71,7 | Çözümsüz | 73,3 | 71,3 | 71,0 | 61,0 | Çözümsüz | 58,5 | 73,3 |
| 2271 | Çsd1 | 143,5 | 136,1 | 135,6 | 136,5 | 138,6 | 135,3 | 135,1 | 134,3 | 134,9 | 134,3 | 143,5 |
| 2272 | Çsd1 | 102,1 | 88,9 | 88,5 | 88,5 | 89,3 | 88,5 | 88,4 | 88,8 | 89,9 | 88,4 | 102,1 |
| 2273 | Çsd1 | 108,8 | 106,2 | 93,2 | 87,6 | 111,6 | 91,3 | 89,6 | 87,4 | 91,4 | 87,4 | 111,6 |
| 2274 | Çsd2 | 114,3 | 101,5 | 104,6 | 103,3 | 102,5 | 103,9 | 103,0 | 107,5 | 105,9 | 101,5 | 114,3 |
| 2275 | Çsd2 | 275,1 | 229,0 | 234,0 | Çözümsüz | 252,7 | 230,7 | 228,6 | 249,4 | 227,0 | 227,0 | 275,1 |
| 2276 | Çsd2 | 370,7 | 304,1 | 383,2 | 462,6 | 255,3 | 238,7 | 1 506,6 | 335,4 | 415,6 | 238,7 | 1 506,6 |
| 2277 | Çsd2 | 132,2 | 140,2 | 127,2 | 121,7 | 158,6 | 127,4 | 123,7 | 129,1 | Çözümsüz | 121,7 | 158,6 |
| 2278 | Çsd2 | 170,6 | 200,0 | 183,2 | 153,7 | 224,2 | 176,0 | 172,0 | 160,0 | 144,9 | 144,9 | 224,2 |
| 2279 | Çsd2 | 180,3 | 272,0 | 240,9 | 147,1 | 263,2 | 233,9 | 230,8 | 225,0 | Çözümsüz | 147,1 | 272,0 |
| 2280 | Çsd2 | 165,6 | 167,0 | 160,8 | 162,4 | 195,3 | 157,6 | 153,8 | 172,2 | Çözümsüz | 153,8 | 195,3 |
| 2281 | Çsd2 | 152,5 | 164,1 | 152,8 | 173,7 | 171,7 | 149,7 | 149,2 | 148,1 | Çözümsüz | 148,1 | 173,7 |
| 2282 | Çsd2 | 136,3 | 98,0 | 100,9 | Çözümsüz | 111,7 | 99,3 | 97,3 | 107,2 | 98,3 | 97,3 | 136,3 |
| 2283 | Çsd2 | 40,1 | 47,9 | 47,9 | 39,2 | 48,0 | 48,0 | 47,4 | 49,0 | 48,1 | 39,2 | 49,0 |
| 2284 | Çsd2 | 139,9 | 197,3 | 208,5 | 193,4 | 192,9 | 165,0 | 160,8 | 164,8 | 194,0 | 139,9 | 208,5 |
| 2285 | Çsd2 | 225,9 | 216,3 | 219,1 | 211,5 | 221,0 | 217,9 | 228,2 | 225,9 | 217,1 | 211,5 | 228,2 |
| 2286 | Çsd2 | 217,0 | 169,2 | 161,1 | 154,6 | 181,6 | 159,6 | 153,2 | 154,3 | 164,0 | 153,2 | 217,0 |
| 2287 | Çsd2 | 226,1 | 158,0 | 177,1 | 183,6 | 173,5 | 168,4 | 194,9 | 176,7 | 183,6 | 158,0 | 226,1 |
| 2288 | Çsd2 | 178,6 | 228,8 | 317,9 | 191,8 | 233,0 | 228,4 | 199,0 | 201,4 | 217,2 | 178,6 | 317,9 |
| 2289 | Çsd2 | 114,5 | 112,8 | 118,7 | 107,2 | 119,0 | 113,7 | 107,4 | 111,2 | 122,7 | 107,2 | 122,7 |
| 2290 | Çsd2 | 339,1 | 318,9 | 368,4 | 332,0 | 310,4 | 315,8 | 367,6 | 339,9 | 329,2 | 310,4 | 368,4 |

Tablo 4.12. 'nin devamı

| Örnek Alan No | Mesçere Tipi | Olasılık Yoğunluk Fonksiyonları | | | | | | | | | | |
|---------------|--------------|---------------------------------|----------|----------|------------|--------------|--------------|--------|------------|------------|------------------|-------------------|
| | | Beta | Gamma-2p | Gamma-3p | Johnson SB | Lognormal-2p | Lognormal-3p | Normal | Weibull-2p | Weibull-3p | Minimum <i>e</i> | Maksimum <i>e</i> |
| 2291 | Çsd2 | 133,7 | 216,1 | 204,3 | 151,2 | 196,6 | 201,9 | 190,7 | 179,3 | 180,4 | 133,7 | 216,1 |
| 2292 | Çsd2 | 122,4 | 143,6 | 143,0 | 113,4 | 151,6 | 141,7 | 152,7 | 147,6 | 141,7 | 113,4 | 152,7 |
| 2293 | Çsd2 | 149,2 | 167,6 | 152,8 | 145,4 | 168,7 | 151,1 | 149,3 | 149,0 | Çözümsüz | 145,4 | 168,7 |
| 2294 | Çsd2 | 163,0 | 158,8 | 155,8 | 143,1 | 182,6 | 151,7 | 150,6 | 175,2 | Çözümsüz | 143,1 | 182,6 |
| 2295 | Çsd2 | 142,1 | 166,3 | 247,5 | 153,6 | 164,1 | 154,4 | 151,3 | 145,0 | 160,6 | 142,1 | 247,5 |
| 2296 | Çsd2 | 149,7 | 185,2 | 161,4 | 105,0 | 204,5 | 153,6 | 152,8 | 165,8 | Çözümsüz | 105,0 | 204,5 |
| 2297 | Çsd2 | 112,6 | 146,5 | 120,6 | 90,3 | 155,5 | 118,8 | 117,0 | 115,9 | 102,9 | 90,3 | 155,5 |
| 2298 | Çsd2 | 116,5 | 120,3 | 114,0 | 118,5 | 117,3 | 114,4 | 114,4 | 113,1 | 116,5 | 113,1 | 120,3 |
| 2299 | Çsd2 | 253,0 | 257,7 | 206,5 | 177,7 | 243,6 | 403,0 | 331,6 | 304,5 | 304,9 | 177,7 | 403,0 |
| 2300 | Çsd2 | 86,6 | 48,9 | 43,6 | 39,8 | 56,2 | 38,9 | 36,8 | 37,9 | 40,3 | 36,8 | 86,6 |
| 2301 | Çsd2 | 123,7 | 159,9 | 134,3 | 115,8 | 173,7 | 129,8 | 127,4 | 133,0 | 118,6 | 115,8 | 173,7 |
| 2302 | Çsd2 | 97,2 | 124,5 | 117,4 | 96,7 | 115,1 | 118,2 | 117,9 | 106,8 | 112,9 | 96,7 | 124,5 |
| 2303 | Çsd2 | 161,7 | 162,7 | 170,3 | 148,9 | 162,6 | 328,8 | 145,3 | 138,7 | 167,3 | 138,7 | 328,8 |
| 2304 | Çsd3 | 116,4 | 106,8 | 82,7 | 84,0 | 100,0 | 74,6 | 118,7 | 147,2 | 82,9 | 74,6 | 147,2 |
| 2305 | Çsd3 | 156,7 | 153,8 | 141,7 | 138,4 | 163,3 | 140,4 | 139,0 | 148,6 | 133,5 | 133,5 | 163,3 |
| 2306 | Çsd3 | 104,1 | 152,9 | 134,6 | 100,0 | 172,2 | 131,4 | 125,2 | 119,5 | 88,9 | 88,9 | 172,2 |
| 2307 | Çsd3 | Çözümsüz | 261,0 | 237,5 | 198,6 | 295,3 | 228,5 | 223,3 | 240,6 | 273,5 | 198,6 | 295,3 |
| 2308 | Çsd3 | 346,9 | 409,0 | 358,9 | 338,5 | 405,9 | 354,5 | 351,6 | 346,5 | Çözümsüz | 338,5 | 409,0 |
| 2309 | Çsd3 | 171,5 | 123,8 | 110,5 | 106,3 | 135,7 | 109,1 | 105,0 | 109,1 | 113,7 | 105,0 | 171,5 |
| 2310 | Çsd3 | 280,2 | 330,2 | 338,4 | 240,1 | 326,1 | 530,8 | 307,8 | 300,5 | 272,5 | 240,1 | 530,8 |
| 2311 | Çsd3 | 224,6 | 181,2 | 183,1 | Çözümsüz | 194,6 | 181,0 | 182,2 | 202,5 | 194,4 | 181,0 | 224,6 |
| 2312 | Çsd3 | 187,2 | 226,3 | 207,9 | 145,1 | 222,7 | 205,7 | 202,6 | 195,9 | Çözümsüz | 145,1 | 226,3 |
| 2313 | Çsd3 | 144,1 | 172,2 | 159,6 | 128,5 | 183,8 | 154,3 | 151,7 | 149,5 | 128,8 | 128,5 | 183,8 |
| 2314 | Çsd3 | 219,2 | 272,6 | 277,6 | 218,0 | 271,7 | 248,4 | 244,6 | 247,0 | 263,4 | 218,0 | 277,6 |
| 2315 | Çsd3 | 241,8 | 245,9 | 241,6 | 231,7 | 244,9 | 239,2 | 232,7 | 235,2 | 245,0 | 231,7 | 245,9 |
| 2316 | Çsd3 | 263,8 | 281,2 | 219,1 | 204,2 | 243,2 | 229,3 | 353,4 | 324,0 | 224,7 | 204,2 | 353,4 |
| 2317 | Çsd3 | 113,5 | 134,9 | 109,3 | 94,6 | 155,2 | 109,7 | 103,3 | 95,9 | 93,7 | 93,7 | 155,2 |
| 2318 | Çsd3 | 137,4 | 251,3 | 202,9 | 97,8 | 285,5 | 202,4 | 197,7 | 172,7 | Çözümsüz | 97,8 | 285,5 |
| 2319 | Çsd3 | 427,2 | 471,7 | 412,8 | 399,1 | 492,0 | 401,7 | 396,6 | 412,9 | 433,0 | 396,6 | 492,0 |
| 2320 | Çsd3 | 320,9 | 345,2 | 323,0 | Çözümsüz | 408,8 | 321,3 | 315,8 | 346,7 | 343,2 | 315,8 | 408,8 |
| 2321 | Çsd3 | 257,9 | 313,5 | 391,7 | 230,3 | 312,0 | 277,9 | 269,0 | 263,7 | 303,8 | 230,3 | 391,7 |
| 2322 | Çsd3 | 440,8 | 461,4 | 441,3 | Çözümsüz | 494,1 | 440,6 | 424,2 | 445,5 | 457,1 | 424,2 | 494,1 |
| 2323 | Çsd3 | 322,9 | 438,7 | 352,0 | 278,1 | 453,9 | 342,5 | 326,7 | 320,1 | 358,2 | 278,1 | 453,9 |
| 2324 | Çsd3 | 432,4 | 408,4 | 380,8 | 369,1 | 434,0 | 381,7 | 384,6 | 369,8 | 377,9 | 369,1 | 434,0 |

Tablo 4.13. *Olasılık yoğunluk fonksiyonlarına ilişkin hata indeksi (e) değerleri (III. Bonitet)*

| Örnek Alan No | Mesçere Tipi | Olasılık Yoğunluk Fonksiyonları | | | | | | | | | Minimum e | Maksimum e |
|---------------|--------------|---------------------------------|----------|----------|------------|--------------|--------------|--------|------------|------------|-----------|------------|
| | | Beta | Gamma-2p | Gamma-3p | Johnson SB | Lognormal-2p | Lognormal-3p | Normal | Weibull-2p | Weibull-3p | | |
| 3001 | Çsb2 | 216,9 | 270,0 | 247,4 | 55,5 | 269,3 | 246,6 | 239,0 | 209,4 | 195,8 | 55,5 | 270,0 |
| 3002 | Çsb2 | 272,4 | 143,7 | 224,3 | 51,0 | 147,2 | 432,0 | 142,1 | 125,3 | 111,7 | 51,0 | 432,0 |
| 3003 | Çsb2 | 63,1 | 267,4 | 199,3 | 27,6 | 225,7 | 222,3 | 307,4 | 383,7 | 52,9 | 27,6 | 383,7 |
| 3004 | Çsb2 | 197,5 | 54,8 | 530,2 | 80,2 | 48,2 | 494,4 | 96,4 | 106,7 | 253,1 | 48,2 | 530,2 |
| 3005 | Çsb2 | 77,3 | 0,1 | 146,9 | Çözümsüz | 34,9 | 132,2 | 4,1 | 223,9 | 149,4 | 0,1 | 223,9 |
| 3006 | Çsb2 | 117,1 | 69,0 | 382,4 | 66,2 | 84,5 | 85,1 | 49,1 | 48,2 | 356,0 | 48,2 | 382,4 |
| 3007 | Çsb2 | 234,2 | 124,8 | 108,2 | 122,7 | 107,6 | 104,0 | 152,8 | 186,9 | 122,5 | 104,0 | 234,2 |
| 3008 | Çsb2 | 66,7 | 81,8 | 144,9 | 31,4 | 66,3 | 73,9 | 104,3 | 144,2 | 44,3 | 31,4 | 144,9 |
| 3009 | Çsb2 | 308,9 | 31,5 | 388,4 | 57,2 | 45,3 | 283,2 | 14,7 | 45,3 | 239,4 | 14,7 | 388,4 |
| 3010 | Çsb3 | 740,7 | 72,2 | 733,0 | Çözümsüz | 14,8 | 1 282,7 | 150,2 | 579,0 | 323,0 | 14,8 | 1 282,7 |
| 3011 | Çsb3 | 566,0 | 244,3 | 694,3 | 97,5 | 232,5 | 433,8 | 343,2 | 433,8 | 351,4 | 97,5 | 694,3 |
| 3012 | Çsb3 | 342,2 | 90,8 | 476,8 | 100,4 | 99,3 | 1 476,3 | 179,9 | 227,3 | 520,1 | 90,8 | 1 476,3 |
| 3013 | Çsb3 | 276,0 | 331,5 | 674,3 | 114,3 | 329,8 | 936,1 | 372,5 | 311,0 | 466,8 | 114,3 | 936,1 |
| 3014 | Çsb3 | 836,1 | 612,7 | 1 143,8 | 231,6 | 655,4 | 1 474,0 | 735,4 | 809,2 | 493,6 | 231,6 | 1 474,0 |
| 3015 | Çsb3 | 410,9 | 456,9 | 1 258,9 | 179,8 | 441,3 | 1 174,5 | 606,6 | 621,4 | 301,0 | 179,8 | 1 258,9 |
| 3016 | Çsb3 | 189,0 | 150,0 | 508,4 | 92,9 | 171,9 | 399,6 | 182,6 | 203,0 | 405,2 | 92,9 | 508,4 |
| 3017 | Çsb3 | 469,5 | 32,9 | 475,9 | 85,5 | 14,4 | 462,6 | 77,8 | 127,1 | 213,7 | 14,4 | 475,9 |
| 3018 | Çsb3 | 238,2 | 122,2 | 983,8 | 103,1 | 120,4 | 692,4 | 190,5 | 205,8 | 350,2 | 103,1 | 983,8 |
| 3019 | Çsb3 | 429,6 | 94,8 | 968,8 | Çözümsüz | 128,3 | 972,9 | 33,0 | 51,1 | 933,5 | 33,0 | 972,9 |
| 3020 | Çsb3 | 446,5 | 40,4 | 1 177,5 | 175,5 | 19,7 | 1 579,0 | 121,1 | 166,4 | 592,8 | 19,7 | 1 579,0 |
| 3021 | Çsb3 | 387,5 | 432,0 | 1 023,3 | 414,6 | 447,0 | 832,9 | 411,1 | 396,1 | 517,0 | 387,5 | 1 023,3 |
| 3022 | Çsb3 | 203,9 | 367,4 | 269,4 | 59,1 | 361,9 | 974,7 | 493,4 | 524,2 | 366,2 | 59,1 | 974,7 |
| 3023 | Çsb3 | 730,5 | 354,9 | 302,7 | 150,1 | 406,9 | 777,5 | 485,8 | 513,8 | 381,4 | 150,1 | 777,5 |
| 3024 | Çsb3 | 792,3 | 316,6 | 795,3 | 91,2 | 337,7 | 965,0 | 423,3 | 464,0 | 297,7 | 91,2 | 965,0 |
| 3025 | Çsb3 | 272,6 | 152,3 | 383,8 | 146,1 | 180,1 | 634,2 | 218,1 | 246,5 | 187,2 | 146,1 | 634,2 |
| 3026 | Çsb3 | 440,7 | 128,6 | 910,7 | 238,1 | 105,3 | 813,3 | 183,4 | 290,5 | 440,1 | 105,3 | 910,7 |
| 3027 | Çsb3 | 356,3 | 153,3 | 567,7 | 121,9 | 108,7 | 138,7 | 184,9 | 226,1 | 736,1 | 108,7 | 736,1 |
| 3028 | Çsb3 | 206,9 | 135,1 | 384,1 | 83,8 | 131,2 | 706,8 | 162,4 | 128,1 | 378,6 | 83,8 | 706,8 |
| 3029 | Çsb3 | 700,5 | 62,5 | 702,0 | 116,6 | 44,2 | 685,1 | 133,5 | 198,7 | 266,1 | 44,2 | 702,0 |
| 3030 | Çsb3 | 364,0 | 224,1 | 821,8 | 238,5 | 191,4 | 931,9 | 289,5 | 329,7 | 551,5 | 191,4 | 931,9 |
| 3031 | Çsb3 | 656,9 | 526,6 | 482,4 | 700,6 | 530,0 | 476,3 | 468,2 | 425,4 | Çözümsüz | 425,4 | 700,6 |
| 3032 | Çsb3 | 93,7 | 89,1 | 212,9 | 23,1 | 99,2 | 457,5 | 95,9 | 87,1 | 210,1 | 23,1 | 457,5 |
| 3033 | Çsb3 | 155,5 | 149,3 | 385,8 | 67,2 | 145,2 | 281,0 | 201,4 | 200,9 | 137,1 | 67,2 | 385,8 |
| 3034 | Çsb3 | 166,6 | 324,5 | 276,5 | 135,8 | 375,0 | 421,5 | 426,7 | 417,2 | 238,5 | 135,8 | 426,7 |
| 3035 | Çsb3 | 593,0 | 54,8 | 61,3 | 74,4 | 40,3 | 61,2 | 108,2 | 177,7 | 78,3 | 40,3 | 593,0 |
| 3036 | Çsb3 | 315,9 | 18,7 | 514,1 | Çözümsüz | 12,4 | 461,6 | 55,5 | 205,1 | 247,4 | 12,4 | 514,1 |
| 3037 | Çsb3 | 170,2 | 246,7 | 217,7 | 72,0 | 251,1 | 205,8 | 196,7 | 119,6 | Çözümsüz | 72,0 | 251,1 |
| 3038 | Çsb3 | 171,4 | 65,8 | 378,5 | 91,5 | 50,4 | 47,3 | 108,4 | 139,4 | 246,9 | 47,3 | 378,5 |
| 3039 | Çsb3 | 139,9 | 63,5 | 63,7 | 52,2 | 73,6 | 72,1 | 79,4 | 104,9 | 67,0 | 52,2 | 139,9 |
| 3040 | Çsbc1 | 158,6 | 138,6 | 314,4 | 127,0 | 123,1 | 108,8 | 159,2 | 166,7 | 259,7 | 108,8 | 314,4 |
| 3041 | Çsbc1 | 84,8 | 131,8 | 212,3 | 52,3 | 128,0 | 357,9 | 121,9 | 108,0 | 134,0 | 52,3 | 357,9 |
| 3042 | Çsbc1 | 16,6 | 29,1 | 17,7 | 16,4 | 50,2 | 17,1 | 16,5 | 42,1 | 15,9 | 15,9 | 50,2 |
| 3043 | Çsbc1 | 174,8 | 141,9 | 141,0 | Çözümsüz | 142,3 | 140,7 | 141,7 | 145,5 | 145,1 | 140,7 | 174,8 |
| 3044 | Çsbc1 | 107,9 | 101,3 | 101,4 | 55,9 | 96,3 | 79,8 | 114,0 | 110,9 | 80,1 | 55,9 | 114,0 |
| 3045 | Çsbc1 | 55,1 | 32,8 | 104,5 | 26,6 | 29,7 | 21,9 | 43,9 | 55,3 | 74,0 | 21,9 | 104,5 |
| 3046 | Çsbc1 | 74,9 | 84,9 | 67,3 | 44,2 | 92,6 | 61,7 | 56,9 | 38,4 | 367,9 | 38,4 | 367,9 |
| 3047 | Çsbc1 | 124,9 | 146,3 | 135,9 | 121,4 | 144,4 | 134,3 | 132,7 | 123,6 | 127,2 | 121,4 | 146,3 |
| 3048 | Çsbc1 | 164,8 | 140,0 | 345,2 | 158,3 | 144,8 | 149,6 | 142,1 | 146,1 | 195,5 | 140,0 | 345,2 |
| 3049 | Çsbc1 | 84,8 | 131,8 | 212,3 | 52,3 | 128,0 | 357,9 | 121,9 | 108,0 | 134,0 | 52,3 | 357,9 |
| 3050 | Çsbc1 | 235,4 | 77,6 | 99,8 | 59,4 | 85,5 | 102,4 | 104,2 | 98,4 | 72,1 | 59,4 | 235,4 |
| 3051 | Çsbc1 | 174,8 | 141,9 | 141,0 | Çözümsüz | 142,3 | 140,7 | 141,7 | 145,5 | 145,1 | 140,7 | 174,8 |
| 3052 | Çsbc1 | 84,8 | 131,8 | 212,3 | 52,3 | 128,0 | 357,9 | 121,9 | 108,0 | 134,0 | 52,3 | 357,9 |
| 3053 | Çsbc1 | 166,7 | 195,7 | 217,0 | 187,2 | 199,6 | 237,9 | 186,8 | 184,9 | 146,7 | 146,7 | 237,9 |
| 3054 | Çsbc1 | 64,6 | 43,7 | 38,5 | 32,1 | 46,8 | 37,2 | 29,3 | 26,0 | 40,3 | 26,0 | 64,6 |
| 3055 | Çsbc1 | 107,7 | 53,8 | 183,6 | 53,6 | 54,1 | 358,7 | 89,9 | 96,1 | 165,6 | 53,6 | 358,7 |
| 3056 | Çsbc1 | 43,7 | 63,0 | 111,5 | 40,0 | 57,0 | 204,7 | 73,6 | 67,2 | 96,2 | 40,0 | 204,7 |
| 3057 | Çsbc1 | 17,9 | 216,0 | 132,9 | 4,0 | 221,0 | 110,8 | 252,2 | 230,9 | 100,4 | 4,0 | 252,2 |
| 3058 | Çsbc1 | 196,0 | 176,9 | 195,8 | 147,9 | 147,3 | 140,0 | 197,7 | 176,2 | 273,4 | 140,0 | 273,4 |

Tablo 4.13.'ün devamı

| Örnek Alan No | Mesçere Tipi | Olasılık Yoğunluk Fonksiyonları | | | | | | | | | | |
|---------------|--------------|---------------------------------|----------|----------|------------|--------------|--------------|--------|------------|------------|-----------|------------|
| | | Beta | Gamma-2p | Gamma-3p | Johnson SB | Lognormal-2p | Lognormal-3p | Normal | Weibull-2p | Weibull-3p | Minimum e | Maksimum e |
| 3059 | Çsbc1 | 107,7 | 137,6 | 75,5 | 97,6 | 141,7 | 197,1 | 180,0 | 170,4 | 125,2 | 75,5 | 197,1 |
| 3060 | Çsbc1 | 135,0 | 102,3 | 321,8 | 71,4 | 110,9 | 545,5 | 147,6 | 156,2 | 342,9 | 71,4 | 545,5 |
| 3061 | Çsbc1 | 84,6 | 58,8 | 58,6 | 59,0 | 59,6 | 58,1 | 62,6 | 63,7 | 61,5 | 58,1 | 84,6 |
| 3062 | Çsbc1 | 573,4 | 290,7 | 459,5 | 46,0 | 310,4 | 663,1 | 351,7 | 328,7 | 272,0 | 46,0 | 663,1 |
| 3063 | Çsbc1 | 135,0 | 102,3 | 321,8 | 71,4 | 110,9 | 545,5 | 147,6 | 156,2 | 342,9 | 71,4 | 545,5 |
| 3064 | Çsbc1 | 107,7 | 137,6 | 75,5 | 97,6 | 141,7 | 197,1 | 180,0 | 170,4 | 125,2 | 75,5 | 197,1 |
| 3065 | Çsbc1 | 573,4 | 290,7 | 459,5 | 46,0 | 310,4 | 663,1 | 351,7 | 328,7 | 272,0 | 46,0 | 663,1 |
| 3066 | Çsbc1 | 500,5 | 146,1 | 580,2 | 93,2 | 172,3 | 372,1 | 191,2 | 187,0 | 276,8 | 93,2 | 580,2 |
| 3067 | Çsbc2 | 135,2 | 133,0 | 132,5 | 122,6 | 129,9 | 134,6 | 141,4 | 142,5 | 128,7 | 122,6 | 142,5 |
| 3068 | Çsbc2 | 104,6 | 147,0 | 150,5 | 92,2 | 151,0 | 142,6 | 140,5 | 135,0 | 149,0 | 92,2 | 151,0 |
| 3069 | Çsbc2 | 74,9 | 84,9 | 67,3 | 44,2 | 92,6 | 61,7 | 56,9 | 38,4 | 44,1 | 38,4 | 92,6 |
| 3070 | Çsbc2 | 163,4 | 164,0 | 638,4 | 111,4 | 172,1 | 446,4 | 155,4 | 146,8 | 399,3 | 111,4 | 638,4 |
| 3071 | Çsbc2 | 111,5 | 149,5 | 137,4 | 63,2 | 154,0 | 542,0 | 166,6 | 160,6 | 174,5 | 63,2 | 542,0 |
| 3072 | Çsbc2 | 289,7 | 189,2 | 608,2 | 119,6 | 185,5 | 611,8 | 251,7 | 222,2 | 384,2 | 119,6 | 611,8 |
| 3073 | Çsbc2 | 112,4 | 63,5 | 313,9 | 39,4 | 52,3 | 38,1 | 93,9 | 124,0 | 221,1 | 38,1 | 313,9 |
| 3074 | Çsbc2 | 181,8 | 189,2 | 162,1 | 118,6 | 196,9 | 158,0 | 154,8 | 160,5 | Çözümsüz | 118,6 | 196,9 |
| 3075 | Çsbc2 | 84,0 | 126,2 | 117,9 | 78,4 | 117,1 | 129,7 | 151,5 | 145,6 | 117,7 | 78,4 | 151,5 |
| 3076 | Çsbc2 | 169,6 | 266,4 | 672,6 | 72,0 | 288,3 | 478,7 | 293,7 | 269,5 | 180,5 | 72,0 | 672,6 |
| 3077 | Çsbc2 | 86,7 | 80,9 | 61,6 | 30,2 | 87,7 | 57,8 | 54,7 | 45,4 | 48,2 | 30,2 | 87,7 |
| 3078 | Çsbc2 | 187,7 | 199,8 | 252,5 | 173,2 | 209,5 | 303,1 | 165,1 | 172,3 | 199,4 | 165,1 | 303,1 |
| 3079 | Çsbc2 | 281,8 | 254,8 | 793,6 | 223,8 | 228,6 | 189,0 | 352,4 | 374,3 | 407,0 | 189,0 | 793,6 |
| 3080 | Çsbc2 | 110,8 | 279,8 | 260,0 | 104,3 | 298,1 | 286,4 | 251,0 | 222,4 | 373,5 | 104,3 | 373,5 |
| 3081 | Çsbc2 | 344,3 | 344,7 | 339,8 | 325,0 | 349,6 | 339,6 | 337,7 | 332,1 | 336,0 | 325,0 | 349,6 |
| 3082 | Çsbc2 | 203,5 | 164,5 | 294,2 | 159,3 | 178,3 | 173,9 | 140,1 | 144,5 | 213,2 | 140,1 | 294,2 |
| 3083 | Çsbc2 | 175,5 | 211,2 | 332,1 | 173,4 | 224,0 | 355,4 | 194,5 | 192,7 | 239,8 | 173,4 | 355,4 |
| 3084 | Çsbc2 | 518,2 | 218,4 | 203,7 | Çözümsüz | 242,6 | 202,1 | 197,9 | 210,4 | 217,5 | 197,9 | 518,2 |
| 3085 | Çsbc2 | 254,6 | 249,9 | 355,9 | 227,8 | 258,0 | 236,2 | 227,5 | 229,6 | 463,8 | 227,5 | 463,8 |
| 3086 | Çsbc2 | 438,3 | 192,5 | 157,9 | 162,0 | 197,0 | 345,8 | 250,4 | 251,7 | 392,4 | 157,9 | 438,3 |
| 3087 | Çsbc2 | 169,1 | 159,8 | 291,5 | 112,2 | 191,3 | 420,0 | 224,1 | 243,9 | 480,7 | 112,2 | 480,7 |
| 3088 | Çsbc2 | 149,9 | 157,8 | 249,6 | 117,5 | 143,7 | 454,6 | 213,4 | 219,6 | 184,6 | 117,5 | 454,6 |
| 3089 | Çsbc2 | 62,1 | 185,7 | 219,7 | 37,4 | 200,4 | 266,5 | 231,4 | 220,4 | 132,5 | 37,4 | 266,5 |
| 3090 | Çsbc2 | 77,6 | 130,1 | 170,9 | 70,1 | 118,1 | 121,6 | 140,8 | 131,9 | 119,6 | 70,1 | 170,9 |
| 3091 | Çsbc2 | 177,3 | 230,6 | 348,0 | 143,4 | 230,6 | 232,0 | 215,0 | 200,6 | 280,7 | 143,4 | 348,0 |
| 3092 | Çsbc2 | 455,2 | 199,8 | 296,1 | 150,0 | 210,9 | 183,0 | 230,3 | 223,4 | 561,7 | 150,0 | 561,7 |
| 3093 | Çsbc2 | 488,4 | 338,1 | 395,4 | 192,0 | 397,2 | 447,6 | 383,1 | 359,4 | 269,5 | 192,0 | 488,4 |
| 3094 | Çsbc2 | 580,2 | 315,2 | 688,2 | 276,6 | 321,2 | 827,3 | 351,5 | 353,1 | 388,3 | 276,6 | 827,3 |
| 3095 | Çsbc2 | 116,4 | 72,3 | 137,5 | 63,8 | 62,2 | 445,4 | 99,6 | 118,5 | 121,1 | 62,2 | 445,4 |
| 3096 | Çsbc2 | 171,0 | 169,0 | 151,4 | 138,2 | 187,4 | 143,4 | 130,7 | 131,9 | 167,3 | 130,7 | 187,4 |
| 3097 | Çsbc3 | 256,7 | 187,3 | 1 494,2 | 206,7 | 278,8 | 333,9 | 313,5 | 342,3 | 1 436,3 | 187,3 | 1 494,2 |
| 3098 | Çsbc3 | 560,5 | 394,2 | 1 118,6 | 259,4 | 311,3 | 219,2 | 512,1 | 541,0 | 863,0 | 219,2 | 1 118,6 |
| 3099 | Çsbc3 | 160,5 | 214,6 | 506,6 | 113,6 | 245,4 | 226,0 | 184,3 | 165,6 | 381,5 | 113,6 | 506,6 |
| 3100 | Çsbc3 | 265,9 | 275,3 | 614,6 | 86,9 | 297,0 | 1 398,7 | 230,9 | 204,6 | 968,6 | 86,9 | 1 398,7 |
| 3101 | Çsbc3 | 296,3 | 374,7 | 621,2 | 300,4 | 377,8 | 347,5 | 341,6 | 328,5 | 492,5 | 296,3 | 621,2 |
| 3102 | Çsbc3 | 838,6 | 356,9 | 412,8 | 257,0 | 359,7 | 777,8 | 424,4 | 408,2 | 672,4 | 257,0 | 838,6 |
| 3103 | Çsbc3 | 306,1 | 203,1 | 177,4 | 99,0 | 206,1 | 201,4 | 196,0 | 209,7 | 204,1 | 99,0 | 306,1 |
| 3104 | Çsbc3 | 754,4 | 319,1 | 280,3 | 279,9 | 279,0 | 283,5 | 398,1 | 463,2 | 295,1 | 279,0 | 754,4 |
| 3105 | Çsbc3 | 362,5 | 257,3 | 782,9 | 282,3 | 234,0 | 1 037,2 | 330,2 | 355,3 | 356,9 | 234,0 | 1 037,2 |
| 3106 | Çsbc3 | 538,0 | 356,2 | 422,8 | 263,8 | 398,5 | 515,0 | 371,8 | 368,2 | 523,5 | 263,8 | 538,0 |
| 3107 | Çsbc3 | 359,4 | 314,4 | 468,9 | 275,4 | 311,5 | 312,8 | 292,0 | 284,7 | 304,8 | 275,4 | 468,9 |
| 3108 | Çsbc3 | 345,0 | 263,0 | 263,2 | 188,5 | 271,7 | 268,4 | 267,7 | 285,2 | 237,6 | 188,5 | 345,0 |
| 3109 | Çsbc3 | 254,7 | 175,0 | 755,7 | 144,4 | 161,9 | 160,8 | 254,8 | 283,1 | 304,2 | 144,4 | 755,7 |
| 3110 | Çsbc3 | 235,1 | 264,7 | 555,8 | 212,9 | 281,5 | 291,0 | 241,1 | 244,3 | 501,4 | 212,9 | 555,8 |
| 3111 | Çsbc3 | 333,1 | 233,3 | 1 152,3 | 234,1 | 223,2 | 1 453,4 | 328,6 | 375,6 | 1 327,4 | 223,2 | 1 453,4 |
| 3112 | Çsbc3 | 282,7 | 202,3 | 343,0 | 165,3 | 181,1 | 165,7 | 241,3 | 235,0 | 527,4 | 165,3 | 527,4 |
| 3113 | Çsbc3 | 275,2 | 280,6 | 262,7 | 239,3 | 285,5 | 260,7 | 255,4 | 244,4 | 266,0 | 239,3 | 285,5 |
| 3114 | Çsbc3 | 147,4 | 261,6 | 530,6 | 92,5 | 277,3 | 225,6 | 220,6 | 167,0 | 323,4 | 92,5 | 530,6 |
| 3115 | Çsbc3 | 266,3 | 295,9 | 289,5 | 295,5 | 283,8 | 297,1 | 311,5 | 301,2 | 267,7 | 266,3 | 311,5 |
| 3116 | Çsbc3 | 891,0 | 132,8 | 208,0 | Çözümsüz | 227,9 | 183,6 | 189,5 | 195,5 | 241,0 | 132,8 | 891,0 |

Tablo 4.13.'ün devamı

| Örnek Alan No | Mesçere Tipi | Olasılık Yoğunluk Fonksiyonları | | | | | | | | | | |
|---------------|--------------|---------------------------------|----------|----------|------------|--------------|--------------|--------|------------|------------|-----------|------------|
| | | Beta | Gamma-2p | Gamma-3p | Johnson SB | Lognormal-2p | Lognormal-3p | Normal | Weibull-2p | Weibull-3p | Minimum e | Maksimum e |
| 3117 | Çsbc3 | 242,7 | 187,3 | 1 017,1 | 113,1 | 180,2 | 184,2 | 209,8 | 227,0 | 389,3 | 113,1 | 1 017,1 |
| 3118 | Çsbc3 | 126,5 | 231,7 | 228,9 | 90,7 | 222,4 | 230,1 | 231,7 | 223,1 | Çözümstüz | 90,7 | 231,7 |
| 3119 | Çsbc3 | 207,4 | 222,5 | 412,7 | 193,7 | 227,6 | 208,2 | 198,5 | 192,9 | 547,5 | 192,9 | 547,5 |
| 3120 | Çsbc3 | Çözümstüz | 329,9 | 324,7 | 340,9 | 316,9 | 317,3 | 372,2 | 370,8 | 338,1 | 316,9 | 372,2 |
| 3121 | Çsbc3 | 197,6 | 120,5 | 532,9 | 93,0 | 98,4 | 82,5 | 179,5 | 192,3 | 432,3 | 82,5 | 532,9 |
| 3122 | Çsbc3 | 186,5 | 290,3 | 252,6 | 124,1 | 284,0 | 253,9 | 245,2 | 217,8 | 247,9 | 124,1 | 290,3 |
| 3123 | Çsbc3 | 441,8 | 391,5 | 358,7 | 327,8 | 355,2 | 365,8 | 467,9 | 514,2 | 373,2 | 327,8 | 514,2 |
| 3124 | Çsbc3 | 366,7 | 378,6 | 364,6 | Çözümstüz | 372,9 | 357,4 | 385,5 | 393,8 | 437,9 | 357,4 | 437,9 |
| 3125 | Çsbc3 | 388,5 | 349,6 | 1 298,1 | 442,9 | 558,2 | 1 910,7 | 490,3 | 515,8 | 568,5 | 349,6 | 1 910,7 |
| 3126 | Çsc1 | 196,9 | 179,4 | 136,9 | 137,6 | 166,8 | 159,9 | 219,0 | 189,8 | 140,4 | 136,9 | 219,0 |
| 3127 | Çsc1 | 215,7 | 231,7 | 270,0 | 190,4 | 240,4 | 204,1 | 193,4 | 191,9 | 254,5 | 190,4 | 270,0 |
| 3128 | Çsc1 | 62,6 | 177,3 | 168,1 | Çözümstüz | 183,6 | 87,9 | 189,3 | 169,3 | 126,8 | 62,6 | 189,3 |
| 3129 | Çsc1 | 212,2 | 147,8 | 158,0 | 118,7 | 161,3 | 347,4 | 169,6 | 173,3 | 171,7 | 118,7 | 347,4 |
| 3130 | Çsc1 | 166,8 | 269,0 | 311,5 | 148,2 | 294,2 | 292,8 | 345,0 | 310,9 | 209,6 | 148,2 | 345,0 |
| 3131 | Çsc1 | 114,1 | 112,9 | 125,4 | 97,9 | 110,1 | 95,7 | 117,1 | 117,6 | 104,6 | 95,7 | 125,4 |
| 3132 | Çsc1 | 114,3 | 188,2 | 155,5 | 97,0 | 188,0 | 153,0 | 149,7 | 136,2 | 527,0 | 97,0 | 527,0 |
| 3133 | Çsc1 | 106,7 | 91,2 | 87,3 | 85,2 | 95,0 | 86,8 | 85,7 | 85,2 | 86,9 | 85,2 | 106,7 |
| 3134 | Çsc2 | 217,1 | 88,0 | 235,2 | 84,9 | 86,2 | 70,0 | 99,0 | 108,4 | 146,4 | 70,0 | 235,2 |
| 3135 | Çsc2 | 146,9 | 248,7 | 201,7 | 141,0 | 245,7 | 200,6 | 193,9 | 161,4 | Çözümstüz | 141,0 | 248,7 |
| 3136 | Çsc2 | 119,0 | 151,6 | 129,6 | Çözümstüz | 188,1 | 126,4 | 119,5 | 138,4 | 131,6 | 119,0 | 188,1 |
| 3137 | Çsc2 | 133,0 | 169,2 | 217,5 | 127,6 | 167,8 | 173,3 | 193,0 | 195,6 | 455,8 | 127,6 | 455,8 |
| 3138 | Çsc2 | 208,6 | 218,7 | 190,1 | 173,2 | 220,2 | 186,7 | 180,3 | 179,3 | 181,1 | 173,2 | 220,2 |
| 3139 | Çsc2 | 40,0 | 42,4 | 40,5 | 35,1 | 58,0 | 33,9 | 29,3 | 49,7 | 38,4 | 29,3 | 58,0 |
| 3140 | Çsc2 | 281,2 | 166,7 | 165,1 | Çözümstüz | 178,0 | 166,7 | 169,4 | 168,2 | 180,7 | 165,1 | 281,2 |
| 3141 | Çsc2 | 150,3 | 161,2 | 154,5 | 147,6 | 160,1 | 153,8 | 151,6 | 145,6 | 150,7 | 145,6 | 161,2 |
| 3142 | Çsc2 | 164,9 | 217,0 | 196,6 | 150,4 | 240,1 | 197,2 | 193,7 | 183,0 | 177,8 | 150,4 | 240,1 |
| 3143 | Çsc2 | 106,7 | 91,2 | 87,3 | 85,2 | 95,0 | 86,8 | 85,7 | 85,2 | 86,9 | 85,2 | 106,7 |
| 3144 | Çsc2 | 232,4 | 247,3 | 320,8 | 215,4 | 257,4 | 233,2 | 232,1 | 217,0 | 299,1 | 215,4 | 320,8 |
| 3145 | Çsc2 | 92,7 | 158,6 | 139,7 | 84,9 | 148,2 | 135,4 | 134,5 | 120,9 | 113,4 | 84,9 | 158,6 |
| 3146 | Çsc2 | 53,1 | 110,7 | 132,9 | 68,8 | 110,2 | 183,0 | 102,3 | 98,1 | 112,0 | 53,1 | 183,0 |
| 3147 | Çsc2 | 93,0 | 79,2 | 72,4 | 72,9 | 80,7 | 72,4 | 72,2 | 70,5 | 72,5 | 70,5 | 93,0 |
| 3148 | Çsc2 | 114,3 | 188,2 | 155,5 | 97,0 | 188,0 | 153,0 | 149,7 | 136,2 | Çözümstüz | 97,0 | 188,2 |
| 3149 | Çsc2 | 207,3 | 240,3 | 234,2 | 94,2 | 247,9 | 229,7 | 228,4 | 212,2 | Çözümstüz | 94,2 | 247,9 |
| 3150 | Çsc2 | 185,8 | 191,7 | 250,6 | 164,6 | 212,5 | 190,5 | 165,1 | 169,6 | 217,9 | 164,6 | 250,6 |
| 3151 | Çsc2 | 220,6 | 168,8 | 157,6 | 178,3 | 158,2 | 154,5 | 229,9 | 187,6 | 163,2 | 154,5 | 229,9 |
| 3152 | Çsc2 | 89,4 | 186,1 | 155,8 | 107,7 | 189,4 | 152,3 | 148,1 | 143,8 | 147,8 | 89,4 | 189,4 |
| 3153 | Çsc2 | 316,9 | 331,6 | 320,0 | 289,3 | 325,7 | 302,0 | 294,5 | 293,7 | 322,4 | 289,3 | 331,6 |
| 3154 | Çsc3 | 438,4 | 326,5 | 645,4 | 293,6 | 359,9 | 324,9 | 287,3 | 295,7 | 442,5 | 287,3 | 645,4 |
| 3155 | Çsc3 | 268,2 | 340,2 | 327,1 | 271,2 | 338,7 | 328,8 | 327,0 | 307,1 | 330,5 | 268,2 | 340,2 |
| 3156 | Çsc3 | 181,8 | 243,8 | 597,2 | 166,0 | 240,0 | 199,0 | 269,7 | 265,0 | 190,0 | 166,0 | 597,2 |
| 3157 | Çsc3 | 483,8 | 217,4 | 182,3 | 110,8 | 244,1 | 311,1 | 269,8 | 267,5 | 303,0 | 110,8 | 483,8 |
| 3158 | Çsc3 | 394,3 | 389,1 | 346,8 | 353,5 | 411,8 | 345,6 | 341,2 | 347,2 | 355,2 | 341,2 | 411,8 |
| 3159 | Çsc3 | 244,0 | 231,2 | 191,4 | 127,9 | 216,3 | 200,9 | 276,0 | 289,0 | 190,9 | 127,9 | 289,0 |
| 3160 | Çsc3 | 109,8 | 197,5 | 479,4 | 62,2 | 195,9 | 665,4 | 191,6 | 171,3 | 219,7 | 62,2 | 665,4 |
| 3161 | Çsc3 | 382,1 | 297,9 | 251,1 | 179,1 | 291,6 | 250,5 | 248,1 | 242,5 | 220,8 | 179,1 | 382,1 |
| 3162 | Çsc3 | 271,9 | 293,8 | 277,2 | 255,3 | 301,9 | 280,4 | 279,3 | 264,9 | 277,9 | 255,3 | 301,9 |
| 3163 | Çsc3 | 540,4 | 555,8 | 922,3 | 410,5 | 578,9 | 501,9 | 444,1 | 424,9 | 679,5 | 410,5 | 922,3 |
| 3164 | Çsc3 | 260,2 | 336,2 | 250,8 | 173,4 | 341,1 | 238,8 | 222,1 | 189,0 | 229,7 | 173,4 | 341,1 |
| 3165 | Çsc3 | 160,0 | 341,3 | 551,2 | 167,9 | 333,3 | 311,8 | 302,2 | 288,0 | 311,3 | 160,0 | 551,2 |
| 3166 | Çsc3 | 210,7 | 262,0 | 210,5 | 193,5 | 274,8 | 208,7 | 203,9 | 190,4 | 194,4 | 190,4 | 274,8 |
| 3167 | Çsc3 | Çözümstüz | 181,1 | 104,1 | 102,2 | 124,4 | 91,1 | 275,2 | 338,2 | 165,2 | 91,1 | 338,2 |
| 3168 | Çsc3 | 236,0 | 391,3 | 350,4 | 245,5 | 394,0 | 344,2 | 338,5 | 314,5 | 343,3 | 236,0 | 394,0 |
| 3169 | Çsc3 | 147,0 | 214,2 | 202,6 | 133,0 | 216,9 | 210,4 | 222,7 | 208,3 | 195,8 | 133,0 | 222,7 |
| 3170 | Çsc3 | 358,5 | 247,5 | 237,4 | 243,9 | 262,3 | 234,2 | 231,4 | 233,2 | 228,7 | 228,7 | 358,5 |
| 3171 | Çsc3 | 215,9 | 177,6 | 176,3 | 168,1 | 177,6 | 179,2 | 189,0 | 190,6 | 173,3 | 168,1 | 215,9 |
| 3172 | Çsc3 | 463,6 | 444,1 | 416,4 | 388,6 | 463,2 | 404,9 | 375,9 | 385,4 | 441,0 | 375,9 | 463,6 |
| 3173 | Çsc3 | 375,0 | 164,4 | 162,4 | 160,8 | 164,5 | 161,7 | 160,0 | 171,1 | 165,4 | 160,0 | 375,0 |
| 3174 | Çsc3 | 452,0 | 455,0 | 600,7 | 442,4 | 518,1 | 812,3 | 407,8 | 431,4 | 607,7 | 407,8 | 812,3 |

Tablo 4.13.'ün devamı

| Örnek Alan No | Mesçere Tipi | Olasılık Yoğunluk Fonksiyonları | | | | | | | | | | |
|---------------|--------------|---------------------------------|----------|----------|------------|--------------|--------------|--------|------------|------------|-----------|------------|
| | | Beta | Gamma-2p | Gamma-3p | Johnson SB | Lognormal-2p | Lognormal-3p | Normal | Weibull-2p | Weibull-3p | Minimum e | Maksimum e |
| 3175 | Çsc3 | 355,7 | 371,7 | 365,7 | 361,0 | 371,1 | 368,5 | 370,7 | 366,7 | 360,0 | 355,7 | 371,7 |
| 3176 | Çsc3 | 305,6 | 361,0 | 297,4 | 162,0 | 382,7 | 285,8 | 275,9 | 274,7 | 175,4 | 162,0 | 382,7 |
| 3177 | Çsc3 | 301,8 | 252,4 | 218,9 | 213,2 | 291,9 | 217,8 | 217,5 | 207,6 | 218,9 | 207,6 | 301,8 |
| 3178 | Çsc3 | 202,7 | 277,9 | 244,2 | 174,0 | 319,3 | 245,9 | 242,7 | 219,6 | 234,6 | 174,0 | 319,3 |
| 3179 | Çsc3 | 246,3 | 138,2 | 115,4 | 109,4 | 150,0 | 114,1 | 113,8 | 113,5 | 115,3 | 109,4 | 246,3 |
| 3180 | Çsc3 | 541,7 | 470,5 | 558,8 | 407,9 | 495,9 | 405,3 | 380,0 | 391,5 | 472,4 | 380,0 | 558,8 |
| 3181 | Çsc3 | 275,8 | 189,8 | 178,9 | 159,4 | 195,0 | 176,4 | 163,6 | 134,1 | 189,0 | 134,1 | 275,8 |
| 3182 | Çsc3 | 431,5 | 290,4 | 335,8 | 262,7 | 243,4 | 1 265,4 | 422,9 | 378,6 | 343,9 | 243,4 | 1 265,4 |
| 3183 | Çsc3 | 237,7 | 332,4 | 286,6 | 243,8 | 380,1 | 274,3 | 263,2 | 268,5 | 240,5 | 237,7 | 380,1 |
| 3184 | Çscd1 | 64,8 | 92,3 | 83,0 | 42,0 | 91,3 | 82,7 | 79,8 | 71,8 | Çözüm-süz | 42,0 | 92,3 |
| 3185 | Çscd1 | 136,3 | 184,8 | 165,2 | 150,3 | 172,1 | 167,6 | 166,5 | 152,6 | 153,2 | 136,3 | 184,8 |
| 3186 | Çscd1 | 122,2 | 135,7 | 117,9 | 114,8 | 144,3 | 116,3 | 115,1 | 114,4 | 118,6 | 114,4 | 144,3 |
| 3187 | Çscd1 | 140,2 | 113,7 | 104,6 | 107,2 | 123,6 | 105,0 | 106,0 | 104,6 | 107,6 | 104,6 | 140,2 |
| 3188 | Çscd1 | 90,7 | 137,3 | 239,0 | 80,5 | 135,1 | 261,8 | 163,0 | 155,3 | 145,9 | 80,5 | 261,8 |
| 3189 | Çscd1 | 91,4 | 92,2 | 90,0 | 89,1 | 96,4 | 89,7 | 87,0 | 87,4 | 95,1 | 87,0 | 96,4 |
| 3190 | Çscd1 | 199,3 | 189,2 | 168,3 | 170,6 | 219,7 | 235,2 | 273,4 | 250,7 | 172,6 | 168,3 | 273,4 |
| 3191 | Çscd1 | 163,5 | 166,0 | 149,3 | 160,8 | 178,1 | 182,5 | 225,9 | 205,8 | 154,4 | 149,3 | 225,9 |
| 3192 | Çscd1 | 190,8 | 163,9 | 158,4 | 206,3 | 147,9 | 153,4 | 182,1 | 154,6 | 166,2 | 147,9 | 206,3 |
| 3193 | Çscd1 | 114,1 | 111,5 | 145,8 | 102,6 | 118,4 | 118,8 | 93,9 | 98,7 | 144,3 | 93,9 | 145,8 |
| 3194 | Çscd1 | 86,0 | 78,5 | 157,3 | 60,0 | 76,0 | 75,9 | 93,6 | 84,7 | 72,3 | 60,0 | 157,3 |
| 3195 | Çscd1 | 93,3 | 138,4 | 164,8 | 97,7 | 138,3 | 133,4 | 135,3 | 129,3 | 141,4 | 93,3 | 164,8 |
| 3196 | Çscd1 | 151,5 | 150,2 | 147,4 | 141,0 | 148,1 | 147,2 | 147,3 | 146,1 | 150,4 | 141,0 | 151,5 |
| 3197 | Çscd1 | 70,2 | 113,6 | 115,6 | 70,7 | 118,7 | 187,6 | 98,8 | 98,0 | 121,6 | 70,2 | 187,6 |
| 3198 | Çscd1 | 83,8 | 84,3 | 83,2 | 81,7 | 87,2 | 83,0 | 77,3 | 79,2 | 83,7 | 77,3 | 87,2 |
| 3199 | Çscd1 | 43,2 | 59,0 | 98,5 | 25,3 | 62,7 | 54,4 | 51,5 | 37,6 | 102,0 | 25,3 | 102,0 |
| 3200 | Çscd1 | 171,0 | 187,2 | 156,1 | 143,6 | 200,3 | 152,6 | 146,8 | 156,0 | 116,6 | 116,6 | 200,3 |
| 3201 | Çscd1 | 103,9 | 112,3 | 111,6 | 91,0 | 110,5 | 110,4 | 103,4 | 98,2 | 101,3 | 91,0 | 112,3 |
| 3202 | Çscd1 | 130,0 | 148,9 | 181,2 | 126,5 | 162,4 | 175,7 | 149,6 | 140,6 | 193,4 | 126,5 | 193,4 |
| 3203 | Çscd1 | 92,4 | 114,6 | 118,2 | 87,2 | 112,7 | 111,2 | 110,8 | 106,0 | 122,2 | 87,2 | 122,2 |
| 3204 | Çscd1 | 144,9 | 166,0 | 163,4 | 150,2 | 159,9 | 160,9 | 162,3 | 156,5 | 160,0 | 144,9 | 166,0 |
| 3205 | Çscd1 | 77,6 | 87,6 | 146,6 | 65,4 | 86,7 | 96,1 | 97,7 | 107,8 | 68,8 | 65,4 | 146,6 |
| 3206 | Çscd1 | 134,2 | 106,7 | 108,2 | 109,5 | 106,2 | 107,0 | 114,8 | 114,4 | 108,9 | 106,2 | 134,2 |
| 3207 | Çscd1 | 151,5 | 176,1 | 154,6 | 128,0 | 188,4 | 150,8 | 147,4 | 145,6 | 141,7 | 128,0 | 188,4 |
| 3208 | Çscd1 | 142,5 | 168,4 | 178,9 | 141,9 | 172,4 | 203,0 | 135,2 | 138,3 | 171,8 | 135,2 | 203,0 |
| 3209 | Çscd1 | 82,1 | 106,3 | 146,7 | 82,4 | 105,6 | 105,3 | 96,2 | 97,0 | 182,7 | 82,1 | 182,7 |
| 3210 | Çscd1 | 149,7 | 148,6 | 185,0 | 124,1 | 129,7 | 117,5 | 181,5 | 163,4 | 156,5 | 117,5 | 185,0 |
| 3211 | Çscd1 | 109,3 | 98,4 | 87,3 | 81,2 | 102,5 | 86,0 | 82,0 | 78,0 | 78,7 | 78,0 | 109,3 |
| 3212 | Çscd1 | 187,2 | 177,8 | 216,9 | 168,0 | 185,9 | 176,7 | 154,4 | 164,5 | 193,2 | 154,4 | 216,9 |
| 3213 | Çscd2 | 188,7 | 203,0 | 219,6 | 185,7 | 218,2 | 219,7 | 211,8 | 195,5 | 197,4 | 185,7 | 219,7 |
| 3214 | Çscd2 | 177,9 | 179,9 | 165,8 | 138,1 | 181,7 | 166,0 | 166,5 | 158,6 | 154,8 | 138,1 | 181,7 |
| 3215 | Çscd2 | 210,4 | 203,9 | 193,6 | 190,7 | 208,9 | 191,7 | 188,3 | 188,0 | 189,5 | 188,0 | 210,4 |
| 3216 | Çscd2 | 148,9 | 169,2 | 165,3 | 147,0 | 168,0 | 225,4 | 199,9 | 182,3 | 135,5 | 135,5 | 225,4 |
| 3217 | Çscd2 | 152,3 | 154,7 | 151,8 | 139,2 | 153,5 | 150,5 | 150,2 | 142,3 | 143,8 | 139,2 | 154,7 |
| 3218 | Çscd2 | 187,5 | 156,8 | 257,4 | 186,4 | 176,9 | 477,7 | 161,6 | 172,6 | 195,1 | 156,8 | 477,7 |
| 3219 | Çscd2 | 253,7 | 246,8 | 328,2 | 241,8 | 249,6 | 248,9 | 260,4 | 246,6 | 239,7 | 239,7 | 328,2 |
| 3220 | Çscd2 | 185,7 | 198,8 | 318,6 | 156,4 | 177,5 | 163,3 | 245,6 | 205,3 | 229,2 | 156,4 | 318,6 |
| 3221 | Çscd2 | 129,6 | 183,7 | 185,9 | 132,1 | 187,5 | 265,0 | 182,7 | 180,4 | 165,9 | 129,6 | 265,0 |
| 3222 | Çscd2 | 261,5 | 281,3 | 262,5 | Çözüm-süz | 319,4 | 259,8 | 226,5 | 249,1 | 281,6 | 226,5 | 319,4 |
| 3223 | Çscd2 | 166,4 | 212,3 | 171,7 | 150,1 | 210,8 | 172,3 | 165,9 | 162,0 | 162,9 | 150,1 | 212,3 |
| 3224 | Çscd2 | 259,2 | 239,6 | 425,8 | 264,6 | 266,5 | 298,2 | 233,1 | 243,8 | 288,9 | 233,1 | 425,8 |
| 3225 | Çscd2 | 68,9 | 85,4 | 74,0 | 62,9 | 93,5 | 75,4 | 73,6 | 63,6 | 70,6 | 62,9 | 93,5 |
| 3226 | Çscd2 | 170,5 | 248,5 | 227,2 | 181,7 | 234,5 | 226,1 | 223,7 | 200,7 | 224,3 | 170,5 | 248,5 |
| 3227 | Çscd2 | 215,5 | 136,4 | 134,7 | Çözüm-süz | 139,1 | 133,5 | 133,0 | 137,3 | 136,1 | 133,0 | 215,5 |
| 3228 | Çscd2 | 276,4 | 234,7 | 227,7 | 214,5 | 264,4 | 213,6 | 199,5 | 203,2 | 241,2 | 199,5 | 276,4 |
| 3229 | Çscd2 | 127,0 | 199,4 | 211,3 | 86,2 | 304,8 | 185,9 | 289,4 | 432,0 | 225,5 | 86,2 | 432,0 |
| 3230 | Çscd2 | 317,2 | 226,1 | 215,8 | 213,7 | 242,0 | 215,5 | 215,0 | 215,0 | 222,1 | 213,7 | 317,2 |
| 3231 | Çscd2 | 297,9 | 334,1 | 291,9 | 264,7 | 340,0 | 288,1 | 281,1 | 277,8 | 228,6 | 228,6 | 340,0 |
| 3232 | Çscd2 | 209,5 | 278,2 | 289,8 | 186,2 | 284,2 | 397,3 | 302,8 | 298,6 | 196,5 | 186,2 | 397,3 |

Tablo 4.13.'ün devamı

| Örnek Alan No | Mesçere Tipi | Olasılık Yoğunluk Fonksiyonları | | | | | | | | | | |
|---------------|--------------|---------------------------------|----------|----------|------------|--------------|--------------|--------|------------|------------|-----------|------------|
| | | Beta | Gamma-2p | Gamma-3p | Johnson SB | Lognormal-2p | Lognormal-3p | Normal | Weibull-2p | Weibull-3p | Minimum e | Maksimum e |
| 3233 | Çscd2 | 200,6 | 193,3 | 177,9 | 170,4 | 200,1 | 175,5 | 172,2 | 168,4 | 169,4 | 168,4 | 200,6 |
| 3234 | Çscd2 | 109,7 | 101,6 | 111,6 | 85,1 | 89,3 | 80,1 | 128,9 | 114,4 | 100,0 | 80,1 | 128,9 |
| 3235 | Çscd2 | 150,9 | 145,1 | 144,3 | 142,6 | 136,2 | 146,3 | 168,2 | 163,5 | 148,0 | 136,2 | 168,2 |
| 3236 | Çscd2 | 165,8 | 211,8 | 180,2 | 135,2 | 220,3 | 176,5 | 172,2 | 163,7 | Çözümsüz | 135,2 | 220,3 |
| 3237 | Çscd2 | 172,2 | 239,8 | 215,0 | 194,9 | 255,5 | 198,7 | 199,8 | 187,5 | Çözümsüz | 172,2 | 255,5 |
| 3238 | Çscd2 | 180,6 | 178,2 | 181,2 | Çözümsüz | 177,8 | 181,4 | 183,6 | 189,5 | 187,8 | 177,8 | 189,5 |
| 3239 | Çscd2 | 255,9 | 104,7 | 107,8 | 82,7 | 132,5 | 107,4 | 151,0 | 141,5 | 101,3 | 82,7 | 255,9 |
| 3240 | Çscd2 | 102,4 | 110,7 | 95,4 | 81,5 | 126,7 | 93,6 | 91,9 | 97,0 | 83,2 | 81,5 | 126,7 |
| 3241 | Çscd2 | 150,2 | 162,1 | 278,8 | 139,8 | 170,6 | 162,8 | 142,1 | 144,7 | 175,8 | 139,8 | 278,8 |
| 3242 | Çscd2 | 185,1 | 202,4 | 268,6 | 165,1 | 207,5 | 177,9 | 171,3 | 171,4 | 197,2 | 165,1 | 268,6 |
| 3243 | Çscd3 | 325,1 | 154,7 | 99,6 | 119,8 | 109,6 | 113,8 | 300,0 | 312,1 | 111,4 | 99,6 | 325,1 |
| 3244 | Çscd3 | 308,3 | 274,5 | 633,3 | 317,5 | 315,6 | 361,6 | 370,7 | 330,9 | 354,9 | 274,5 | 633,3 |
| 3245 | Çscd3 | 156,1 | 194,2 | 216,8 | 153,0 | 200,1 | 191,2 | 178,5 | 182,5 | 200,1 | 153,0 | 216,8 |
| 3246 | Çscd3 | 379,4 | 456,7 | 446,0 | 1 356,1 | 455,6 | 451,2 | 446,0 | 448,7 | 428,4 | 379,4 | 1 356,1 |
| 3247 | Çscd3 | 201,0 | 218,9 | 218,6 | 154,9 | 214,0 | 156,5 | 248,2 | 246,3 | 298,1 | 154,9 | 248,2 |
| 3248 | Çscd3 | 199,7 | 203,6 | 383,0 | 154,5 | 153,3 | 161,3 | 291,8 | 264,2 | 367,3 | 153,3 | 383,0 |
| 3249 | Çscd3 | 465,5 | 452,7 | 381,1 | 488,4 | 400,1 | 370,0 | 518,6 | 464,8 | 391,6 | 370,0 | 518,6 |
| 3250 | Çscd3 | 353,9 | 381,8 | 371,0 | 341,4 | 386,4 | 365,2 | 353,6 | 357,7 | 374,0 | 341,4 | 386,4 |
| 3251 | Çscd3 | 333,0 | 326,2 | 433,3 | 318,3 | 342,1 | 379,6 | 332,8 | 324,3 | 401,2 | 318,3 | 433,3 |
| 3252 | Çscd3 | 130,8 | 201,6 | 195,5 | 144,8 | 198,1 | 194,7 | 192,7 | 177,5 | 178,2 | 130,8 | 201,6 |
| 3253 | Çscd3 | 453,6 | 340,5 | 225,9 | 295,6 | 251,6 | 717,9 | 413,0 | 368,0 | 454,0 | 225,9 | 717,9 |
| 3254 | Çscd3 | 243,4 | 215,4 | 201,8 | 206,0 | 241,6 | 195,2 | 194,1 | 196,3 | 194,9 | 194,1 | 243,4 |
| 3255 | Çscd3 | 186,6 | 416,4 | 346,3 | 207,5 | 424,8 | 509,6 | 375,5 | 359,1 | 324,2 | 186,6 | 509,6 |
| 3256 | Çscd3 | 226,2 | 257,0 | 232,9 | 228,5 | 273,3 | 231,5 | 232,2 | 224,5 | 234,3 | 224,5 | 273,3 |
| 3257 | Çscd3 | 338,2 | 256,0 | 226,4 | 238,3 | 264,7 | 228,8 | 238,4 | 241,7 | 239,4 | 226,4 | 338,2 |
| 3258 | Çscd3 | 448,1 | 486,4 | 438,7 | 204,6 | 530,5 | 435,9 | 430,7 | 444,0 | Çözümsüz | 204,6 | 530,5 |
| 3259 | Çscd3 | 146,8 | 127,1 | 94,3 | 73,6 | 146,0 | 89,8 | 87,9 | 83,9 | 92,2 | 73,6 | 146,8 |
| 3260 | Çscd3 | 279,9 | 326,9 | 310,0 | 279,3 | 310,3 | 324,0 | 333,8 | 313,6 | 314,5 | 279,3 | 333,8 |
| 3261 | Çscd3 | 273,6 | 270,1 | 266,2 | 263,3 | 281,2 | 266,4 | 265,1 | 258,8 | 265,5 | 258,8 | 281,2 |
| 3262 | Çscd3 | 399,9 | 164,4 | 151,9 | 131,0 | 155,6 | 162,8 | 208,2 | 246,1 | 147,1 | 131,0 | 399,9 |
| 3263 | Çscd3 | 282,1 | 254,4 | 234,6 | 240,3 | 255,9 | 234,5 | 233,0 | 228,3 | 231,5 | 228,3 | 282,1 |
| 3264 | Çscd3 | 304,2 | 299,5 | 301,0 | 290,3 | 302,5 | 299,9 | 297,4 | 297,7 | 301,3 | 290,3 | 304,2 |
| 3265 | Çscd3 | 442,9 | 506,6 | 458,5 | 488,9 | 481,8 | 462,7 | 462,1 | 436,1 | 819,8 | 436,1 | 819,8 |
| 3266 | Çscd3 | 174,4 | 313,2 | 389,8 | 167,9 | 294,0 | 299,9 | 298,0 | 288,4 | 307,7 | 167,9 | 389,8 |
| 3267 | Çscd3 | 407,0 | 391,1 | 355,7 | 286,8 | 370,9 | 354,5 | 345,7 | 332,2 | 338,9 | 286,8 | 407,0 |
| 3268 | Çscd3 | 222,2 | 346,2 | 281,2 | 170,8 | 324,5 | 270,8 | 262,6 | 235,5 | 285,3 | 170,8 | 346,2 |
| 3269 | Çscd3 | 269,6 | 321,6 | 309,3 | 288,1 | 316,6 | 308,6 | 307,8 | 290,7 | 298,2 | 269,6 | 321,6 |
| 3270 | Çscd3 | 493,0 | 488,4 | 495,5 | 493,9 | 511,7 | 492,2 | 479,1 | 463,8 | 499,4 | 463,8 | 511,7 |
| 3271 | Çscd3 | 118,6 | 169,7 | 175,8 | 101,5 | 177,1 | 164,9 | 178,0 | 195,2 | 180,1 | 101,5 | 195,2 |
| 3272 | Çscd3 | 136,4 | 136,9 | 139,9 | Çözümsüz | 142,1 | 136,6 | 138,8 | 174,7 | 164,5 | 136,4 | 174,7 |
| 3273 | Çsd1 | 131,4 | 142,1 | 196,7 | 133,0 | 132,2 | 130,7 | 163,5 | 146,9 | 137,0 | 130,7 | 196,7 |
| 3274 | Çsd1 | 96,1 | 144,7 | 129,1 | 96,4 | 133,8 | 128,9 | 130,1 | 122,5 | 112,3 | 96,1 | 144,7 |
| 3275 | Çsd1 | 129,5 | 72,8 | 72,8 | 70,0 | 77,8 | 72,5 | 72,3 | 72,6 | Çözümsüz | 70,0 | 129,5 |
| 3276 | Çsd1 | 117,5 | 124,4 | 115,0 | 128,1 | 121,3 | 114,0 | 114,0 | 109,3 | Çözümsüz | 109,3 | 128,1 |
| 3277 | Çsd1 | 97,7 | 94,9 | 90,7 | 88,3 | 125,2 | 84,5 | 84,7 | 106,1 | Çözümsüz | 84,5 | 125,2 |
| 3278 | Çsd1 | 143,5 | 161,8 | 149,9 | 64,3 | 160,9 | 149,7 | 149,5 | 128,9 | Çözümsüz | 64,3 | 161,8 |
| 3279 | Çsd1 | 125,3 | 141,5 | 127,8 | 118,4 | 145,8 | 126,0 | 124,5 | 128,4 | 116,1 | 116,1 | 145,8 |
| 3280 | Çsd1 | 167,7 | 159,2 | 156,7 | 155,8 | 166,0 | 157,1 | 156,5 | 155,3 | 152,3 | 152,3 | 167,7 |
| 3281 | Çsd1 | 103,5 | 92,6 | 92,5 | 105,2 | 93,2 | 92,3 | 94,6 | 96,7 | 93,5 | 92,3 | 105,2 |
| 3282 | Çsd1 | 48,1 | 76,7 | 86,7 | 52,0 | 76,6 | 78,7 | 77,7 | 75,8 | 69,8 | 48,1 | 86,7 |
| 3283 | Çsd1 | 92,7 | 87,7 | 86,2 | 82,9 | 88,5 | 85,7 | 85,3 | 82,6 | 83,2 | 82,6 | 92,7 |
| 3284 | Çsd1 | 92,7 | 87,7 | 86,2 | 82,9 | 88,5 | 85,7 | 85,3 | 82,6 | 83,2 | 82,6 | 92,7 |
| 3285 | Çsd1 | 27,8 | 76,7 | 51,0 | Çözümsüz | 77,6 | 50,7 | 77,4 | 68,1 | 65,8 | 27,8 | 77,6 |
| 3286 | Çsd1 | 120,6 | 139,3 | 131,9 | 142,1 | 133,6 | 134,1 | 140,1 | 135,4 | 133,5 | 120,6 | 142,1 |
| 3287 | Çsd1 | 180,7 | 202,2 | 222,4 | 154,4 | 208,2 | 173,6 | 171,4 | 171,8 | 223,3 | 154,4 | 223,3 |
| 3288 | Çsd1 | 202,2 | 195,8 | 180,9 | 179,3 | 217,6 | 179,5 | 178,5 | 180,1 | 167,4 | 167,4 | 217,6 |
| 3289 | Çsd1 | 113,0 | 102,7 | 100,1 | 86,2 | 132,3 | 94,3 | 94,1 | 117,4 | Çözümsüz | 86,2 | 132,3 |
| 3290 | Çsd2 | 186,9 | 154,4 | 153,2 | 153,3 | 157,6 | 152,4 | 149,1 | 151,8 | 157,5 | 149,1 | 186,9 |

Tablo 4.13. 'ün devamı

| Örnek Alan No | Mesçere Tipi | Olasılık Yoğunluk Fonksiyonları | | | | | | | | | | |
|---------------|--------------|---------------------------------|----------|----------|------------|--------------|--------------|--------|------------|------------|-----------|------------|
| | | Beta | Gamma-2p | Gamma-3p | Johnson SB | Lognormal-2p | Lognormal-3p | Normal | Weibull-2p | Weibull-3p | Minimum e | Maksimum e |
| 3291 | Çsd2 | 167,2 | 182,5 | 164,6 | 163,7 | 221,1 | 161,6 | 157,8 | 177,2 | Çözümsüz | 157,8 | 221,1 |
| 3292 | Çsd2 | 103,4 | 132,0 | 119,3 | 100,1 | 131,3 | 119,2 | 117,4 | 110,6 | 102,5 | 100,1 | 132,0 |
| 3293 | Çsd2 | 55,0 | 55,3 | 55,1 | 43,3 | 53,6 | 55,9 | 57,6 | 68,8 | 54,3 | 43,3 | 68,8 |
| 3294 | Çsd2 | 97,7 | 94,9 | 90,7 | 88,3 | 125,2 | 84,5 | 84,7 | 106,1 | Çözümsüz | 84,5 | 125,2 |
| 3295 | Çsd2 | 143,5 | 161,8 | 149,9 | 64,3 | 160,9 | 149,7 | 149,5 | 128,9 | Çözümsüz | 64,3 | 161,8 |
| 3296 | Çsd2 | 200,5 | 162,7 | 164,2 | 166,9 | 160,7 | 167,5 | 173,9 | 184,2 | 163,1 | 160,7 | 200,5 |
| 3297 | Çsd2 | 220,5 | 233,6 | 205,7 | 199,5 | 217,0 | 201,1 | 199,9 | 190,4 | 188,1 | 188,1 | 233,6 |
| 3298 | Çsd2 | 169,1 | 156,6 | 148,9 | 121,8 | 186,3 | 137,6 | 138,1 | 166,3 | 107,3 | 107,3 | 186,3 |
| 3299 | Çsd2 | 267,6 | 326,9 | 278,2 | 238,1 | 318,7 | 275,6 | 270,2 | 265,2 | 218,7 | 218,7 | 326,9 |
| 3300 | Çsd2 | 407,7 | 389,3 | 361,7 | 348,0 | 480,8 | 342,5 | 334,1 | 359,5 | Çözümsüz | 334,1 | 480,8 |
| 3301 | Çsd2 | 138,8 | 216,0 | 186,6 | 116,9 | 240,6 | 181,9 | 179,5 | 191,0 | Çözümsüz | 116,9 | 240,6 |
| 3302 | Çsd2 | 247,1 | 327,0 | 333,1 | 193,9 | 320,2 | 296,4 | 294,1 | 286,4 | 327,3 | 193,9 | 333,1 |
| 3303 | Çsd2 | 107,1 | 170,5 | 171,6 | 115,5 | 169,5 | 167,5 | 144,3 | 147,7 | 154,2 | 107,1 | 171,6 |
| 3304 | Çsd2 | 236,0 | 221,6 | 165,3 | 204,6 | 174,3 | 141,5 | 288,0 | 237,2 | 167,0 | 141,5 | 288,0 |
| 3305 | Çsd2 | 219,9 | 246,9 | 219,8 | 231,7 | 243,9 | 223,5 | 265,6 | 238,6 | 268,2 | 219,8 | 268,2 |
| 3306 | Çsd2 | 144,3 | 189,7 | 172,7 | 145,2 | 195,9 | 172,4 | 171,3 | 161,0 | 169,5 | 144,3 | 195,9 |
| 3307 | Çsd2 | 126,1 | 136,7 | 132,5 | Çözümsüz | 147,5 | 130,9 | 130,0 | 136,2 | 129,5 | 126,1 | 147,5 |
| 3308 | Çsd2 | 199,2 | 233,9 | 334,9 | 253,6 | 232,1 | 230,7 | 230,2 | 227,4 | 245,3 | 199,2 | 334,9 |
| 3309 | Çsd2 | 97,8 | 135,3 | 162,0 | 108,0 | 510,9 | 206,4 | 137,4 | 132,4 | 141,8 | 97,8 | 510,9 |
| 3310 | Çsd2 | 117,2 | 110,7 | 167,1 | 100,5 | 118,9 | 123,4 | 137,5 | 127,2 | 123,7 | 100,5 | 167,1 |
| 3311 | Çsd2 | 155,5 | 157,6 | 147,9 | 136,5 | 171,8 | 145,1 | 144,4 | 150,7 | 142,1 | 136,5 | 171,8 |
| 3312 | Çsd2 | 214,0 | 216,5 | 195,0 | 177,2 | 224,4 | 193,7 | 191,5 | 180,6 | 185,0 | 177,2 | 224,4 |
| 3313 | Çsd2 | 153,0 | 158,5 | 154,0 | 144,2 | 154,2 | 156,6 | 172,6 | 163,0 | 154,2 | 144,2 | 172,6 |
| 3314 | Çsd2 | 87,8 | 127,9 | 119,0 | 97,4 | 124,1 | 118,9 | 118,2 | 109,8 | 118,0 | 87,8 | 127,9 |
| 3315 | Çsd2 | 190,7 | 217,0 | 230,6 | 202,6 | 218,2 | 217,4 | 202,4 | 201,3 | 205,6 | 190,7 | 230,6 |
| 3316 | Çsd2 | 208,2 | 232,0 | 211,3 | 193,2 | 238,6 | 210,3 | 209,4 | 206,1 | 210,2 | 193,2 | 238,6 |
| 3317 | Çsd3 | 323,0 | 350,8 | 330,6 | 329,4 | 347,8 | 328,7 | 327,2 | 325,9 | 337,1 | 323,0 | 350,8 |
| 3318 | Çsd3 | 172,4 | 172,0 | 169,6 | 169,4 | 175,8 | 169,3 | 168,4 | 166,2 | Çözümsüz | 166,2 | 175,8 |
| 3319 | Çsd3 | 224,8 | 325,3 | 318,0 | 269,3 | 318,3 | 356,9 | 262,5 | 266,8 | 290,6 | 224,8 | 356,9 |
| 3320 | Çsd3 | 188,6 | 236,6 | 180,8 | 128,7 | 268,5 | 169,8 | 161,4 | 180,2 | 89,7 | 89,7 | 268,5 |
| 3321 | Çsd3 | 225,8 | 171,2 | 158,8 | 150,8 | 180,1 | 157,3 | 156,9 | 144,6 | 152,9 | 144,6 | 225,8 |
| 3322 | Çsd3 | 248,3 | 279,2 | 414,2 | 221,5 | 291,6 | 230,7 | 219,9 | 225,6 | 310,4 | 219,9 | 414,2 |
| 3323 | Çsd3 | 305,0 | 166,4 | 201,8 | 180,2 | 171,8 | 184,3 | 168,4 | 160,7 | 207,8 | 160,7 | 305,0 |

Tablo 4.14. *Olasılık yoğunluk fonksiyonlarının hata indeksine göre rölatif sıralamaları (I. Bonitet)*

| Örnek Alan No | Meşçere Tipi | Olasılık Yoğunluk Fonksiyonları | | | | | | | | | En Başarılı Dağılım |
|---------------|--------------|---------------------------------|----------|----------|------------|--------------|--------------|--------|------------|------------|---------------------|
| | | Beta | Gamma-2p | Gamma-3p | Johnson SB | Lognormal-2p | Lognormal-3p | Normal | Weibull-2p | Weibull-3p | |
| 1001 | Çsb1 | 4,73 | 1,41 | 7,94 | Çözümsüz | 1,00 | 8,00 | 1,63 | 5,07 | 6,81 | Lognormal-2p |
| 1002 | Çsb1 | 1,63 | 2,77 | 5,64 | 1,00 | 2,89 | 9,00 | 2,03 | 1,41 | 5,29 | Johnson SB |
| 1003 | Çsb1 | 2,87 | 2,13 | 9,00 | 1,00 | 2,08 | 7,69 | 3,05 | 2,85 | 1,85 | Johnson SB |
| 1004 | Çsb2 | 8,52 | 4,60 | 9,00 | 1,00 | 3,75 | 4,52 | 5,92 | 8,43 | 1,84 | Johnson SB |
| 1005 | Çsb2 | 1,91 | 1,53 | 2,32 | 1,00 | 1,75 | 9,00 | 1,44 | 1,36 | 4,49 | Johnson SB |
| 1006 | Çsb3 | 7,41 | 1,50 | 9,00 | 1,72 | 1,00 | 6,35 | 2,36 | 4,30 | 3,22 | Lognormal-2p |
| 1007 | Çsb3 | 2,59 | 1,24 | 4,28 | 1,58 | 1,00 | 9,00 | 1,68 | 2,05 | 2,23 | Lognormal-2p |
| 1008 | Çsb3 | 9,00 | 2,39 | 8,07 | 1,00 | 2,18 | 4,43 | 3,45 | 4,15 | 5,06 | Johnson SB |
| 1009 | Çsb3 | 3,10 | 3,97 | 5,93 | 1,00 | 3,99 | 9,00 | 5,07 | 4,59 | 1,94 | Johnson SB |
| 1010 | Çsb3 | 4,30 | 1,14 | 1,00 | 2,05 | 1,43 | 1,00 | 1,00 | 1,40 | 9,00 | Normal |
| 1011 | Çsb3 | Çözümsüz | 1,47 | 1,17 | Çözümsüz | 2,54 | 1,00 | 2,28 | 7,00 | 5,82 | Lognormal-3p |
| 1012 | Çsb3 | 9,00 | 1,07 | 1,04 | 1,70 | 1,81 | 1,00 | 1,45 | 3,72 | 1,57 | Lognormal-3p |
| 1013 | Çsb3 | 9,00 | 1,47 | 1,25 | 2,26 | 1,00 | 1,25 | 2,66 | 4,38 | 1,82 | Lognormal-2p |
| 1014 | Çsb3 | 2,66 | 1,00 | 9,00 | 1,41 | 1,21 | 1,30 | 1,45 | 1,84 | 4,05 | Gamma-2p |
| 1015 | Çsb3 | 9,00 | 1,27 | 1,00 | 1,71 | 2,23 | 1,01 | 1,05 | 3,34 | 1,34 | Gamma-3p |
| 1016 | Çsb3 | 3,29 | 6,06 | 8,51 | 1,00 | 5,63 | 9,00 | 7,90 | 8,56 | 2,30 | Johnson SB |
| 1017 | Çsb3 | 2,74 | 1,60 | 4,72 | 1,62 | 1,00 | 9,00 | 2,49 | 2,79 | 5,97 | Lognormal-2p |
| 1018 | Çsb3 | 3,01 | 1,35 | 5,92 | 1,00 | 1,27 | 9,00 | 2,69 | 3,48 | 6,24 | Johnson SB |
| 1019 | Çsb3 | 6,22 | 3,62 | 1,00 | 3,63 | 2,09 | 9,00 | 7,01 | 7,58 | 5,10 | Gamma-3p |
| 1020 | Çsb3 | 4,66 | 1,78 | 3,09 | 1,00 | 2,34 | 9,00 | 3,01 | 3,25 | 2,29 | Johnson SB |
| 1021 | Çsb3 | 9,00 | 1,66 | 1,11 | 1,55 | 2,45 | 1,09 | 1,00 | 2,31 | 2,25 | Normal |
| 1022 | Çsb3 | 3,21 | 1,37 | 9,00 | 1,83 | 1,00 | 6,61 | 2,07 | 2,59 | 5,27 | Lognormal-2p |
| 1023 | Çsb3 | 2,52 | 1,84 | 8,28 | 1,00 | 1,74 | 9,00 | 2,68 | 2,81 | 2,27 | Johnson SB |
| 1024 | Çsb3 | 2,64 | 1,60 | 6,17 | 1,00 | 1,67 | 9,00 | 1,44 | 1,35 | 6,83 | Johnson SB |
| 1025 | Çsb3 | 1,96 | 1,07 | 5,79 | 1,00 | 1,02 | 9,00 | 1,49 | 1,56 | 6,23 | Johnson SB |
| 1026 | Çsb3 | 3,21 | 1,49 | 9,00 | 1,03 | 1,59 | 1,57 | 1,13 | 1,00 | 6,02 | Weibull-2p |
| 1027 | Çsb3 | 2,02 | 1,94 | 7,47 | 1,00 | 1,91 | 9,00 | 2,38 | 2,31 | 3,80 | Johnson SB |
| 1028 | Çsb3 | 7,89 | 5,34 | 9,00 | 1,00 | 5,31 | 7,39 | 6,63 | 7,16 | 2,26 | Johnson SB |
| 1029 | Çsb3 | 5,84 | 1,81 | 4,45 | 1,00 | 1,96 | 9,00 | 2,32 | 2,53 | 3,84 | Johnson SB |
| 1030 | Çsb3 | 5,41 | 1,64 | 8,16 | 1,95 | 1,14 | 1,00 | 2,52 | 3,43 | 9,00 | Lognormal-3p |
| 1031 | Çsb3 | 9,00 | 1,00 | 1,22 | 1,24 | 1,27 | 1,07 | 2,27 | 2,52 | 1,79 | Gamma-2p |
| 1032 | Çsb3 | 2,93 | 1,00 | 5,04 | Çözümsüz | 2,09 | 5,38 | 1,18 | 8,00 | 5,05 | Gamma-2p |
| 1033 | Çsb3 | 2,24 | 3,20 | 9,00 | 1,00 | 3,12 | 7,07 | 3,19 | 2,53 | 3,01 | Johnson SB |
| 1034 | Çsb3 | 9,00 | 1,05 | 1,12 | 1,53 | 1,10 | 1,00 | 1,61 | 3,91 | 2,18 | Lognormal-3p |
| 1035 | Çsb3 | 4,97 | 1,66 | 9,00 | 3,57 | 1,00 | 4,64 | 2,37 | 3,45 | 6,38 | Lognormal-2p |
| 1036 | Çsbc2 | 9,00 | 2,93 | 3,05 | 1,00 | 3,06 | 7,82 | 4,04 | 3,85 | 1,91 | Johnson SB |
| 1037 | Çsbc2 | 2,58 | 6,54 | 1,00 | 2,13 | 6,98 | 4,92 | 8,84 | 9,00 | 3,33 | Gamma-3p |
| 1038 | Çsbc2 | 9,00 | 2,15 | 2,15 | 1,16 | 4,27 | 1,36 | 1,82 | 1,00 | 2,56 | Weibull-2p |
| 1039 | Çsbc2 | 1,96 | 4,50 | 9,00 | 1,00 | 4,93 | 5,12 | 2,92 | 2,18 | 5,80 | Johnson SB |
| 1040 | Çsbc2 | 2,12 | 7,19 | 5,59 | 1,00 | 8,00 | 5,57 | 5,56 | 4,35 | Çözümsüz | Johnson SB |
| 1041 | Çsbc3 | 9,00 | 1,11 | 1,04 | 1,68 | 1,00 | 1,00 | 1,75 | 3,87 | 1,57 | Lognormal-2p |
| 1042 | Çsbc3 | 9,00 | 5,92 | 5,34 | 2,88 | 7,46 | 4,12 | 1,81 | 1,00 | 8,06 | Weibull-2p |
| 1043 | Çsbc3 | 1,00 | 2,39 | 1,69 | 1,13 | 7,77 | 1,76 | 3,43 | 9,00 | 3,64 | Beta |
| 1044 | Çsbc3 | 1,79 | 2,15 | 5,49 | 1,00 | 2,63 | 2,83 | 1,37 | 1,35 | 9,00 | Johnson SB |
| 1045 | Çsbc3 | 9,00 | 1,40 | 1,60 | 2,88 | 1,19 | 1,00 | 2,83 | 4,75 | 3,61 | Lognormal-3p |
| 1046 | Çsbc3 | 4,99 | 8,95 | 7,04 | 1,79 | 9,00 | 5,88 | 1,33 | 1,00 | 5,63 | Weibull-2p |
| 1047 | Çsbc3 | 3,34 | 7,74 | 5,99 | 1,00 | 9,00 | 5,94 | 5,90 | 4,05 | 5,71 | Johnson SB |
| 1048 | Çsbc3 | 9,00 | 3,77 | 2,32 | 2,27 | 4,74 | 2,18 | 1,49 | 1,00 | 3,05 | Weibull-2p |
| 1049 | Çsbc3 | 2,57 | 1,56 | 9,00 | 1,07 | 1,37 | 1,00 | 2,85 | 3,13 | 2,07 | Lognormal-3p |
| 1050 | Çsbc3 | 9,00 | 2,06 | 4,14 | 1,00 | 2,55 | 6,47 | 3,69 | 4,16 | 5,79 | Johnson SB |
| 1051 | Çsbc3 | 9,00 | 2,60 | 2,09 | 1,72 | 1,87 | 1,00 | 3,97 | 3,83 | 2,22 | Lognormal-3p |
| 1052 | Çsbc3 | 1,93 | 1,38 | 9,00 | 1,13 | 1,58 | 1,45 | 1,00 | 1,04 | 4,12 | Normal |
| 1053 | Çsbc3 | 2,05 | 1,70 | 9,00 | 1,00 | 1,22 | 1,00 | 2,55 | 2,62 | 1,04 | Lognormal-3p |
| 1054 | Çsbc3 | 8,00 | 2,63 | 1,39 | Çözümsüz | 1,00 | 1,02 | 3,74 | 3,38 | 2,63 | Lognormal-2p |
| 1055 | Çsbc3 | 1,73 | 1,54 | 2,99 | 1,00 | 1,87 | 9,00 | 1,44 | 1,50 | 4,63 | Johnson SB |
| 1056 | Çsbc3 | 6,96 | 6,27 | 4,28 | 1,00 | 9,00 | 3,71 | 2,00 | 1,00 | 6,21 | Weibull-2p |
| 1057 | Çsbc3 | 2,02 | 1,13 | 9,00 | 1,07 | 1,09 | 1,00 | 1,50 | 1,79 | 3,53 | Lognormal-3p |

Tablo 4.14. 'ün devamı

| Örnek Alan No | Meşçere Tipi | Olasılık Yoğunluk Fonksiyonları | | | | | | | | | En Başarılı Dağılım |
|---------------|--------------|---------------------------------|----------|----------|------------|--------------|--------------|--------|------------|------------|---------------------|
| | | Beta | Gamma-2p | Gamma-3p | Johnson SB | Lognormal-2p | Lognormal-3p | Normal | Weibull-2p | Weibull-3p | |
| 1058 | Çsbc3 | 6,73 | 2,14 | 9,00 | 1,00 | 2,73 | 4,14 | 2,47 | 2,54 | 1,27 | Johnson SB |
| 1059 | Çsbc3 | 2,12 | 3,50 | 9,00 | 1,00 | 4,20 | 3,19 | 2,05 | 1,12 | 5,63 | Johnson SB |
| 1060 | Çsbc3 | 9,00 | 3,47 | 1,22 | 1,35 | 4,19 | 1,21 | 1,19 | 2,05 | 1,00 | Weibull-3p |
| 1061 | Çsbc3 | Çözümsüz | 4,18 | 1,87 | Çözümsüz | 2,13 | 2,47 | 7,00 | 3,90 | 1,00 | Weibull-3p |
| 1062 | Çsbc3 | 9,00 | 2,37 | 2,32 | 1,00 | 1,97 | 2,51 | 2,97 | 4,14 | 1,67 | Johnson SB |
| 1063 | Çsbc3 | 1,00 | 4,69 | 6,60 | 1,28 | 5,68 | 5,85 | 2,54 | 2,57 | 9,00 | Beta |
| 1064 | Çsbc3 | 2,69 | 2,36 | 7,41 | 1,00 | 2,80 | 2,37 | 1,80 | 1,36 | 9,00 | Johnson SB |
| 1065 | Çsbc3 | 3,16 | 3,09 | 3,26 | 2,33 | 1,00 | 3,85 | 6,87 | 9,00 | 2,42 | Lognormal-2p |
| 1066 | Çsbc3 | 2,25 | 3,53 | 9,00 | 1,00 | 3,40 | 8,41 | 2,86 | 2,13 | 3,83 | Johnson SB |
| 1067 | Çsbc3 | 2,86 | 1,00 | 9,00 | 2,01 | 1,61 | 2,37 | 1,76 | 1,77 | 5,49 | Gamma-2p |
| 1068 | Çsbc3 | 3,76 | 2,65 | 4,68 | 1,25 | 1,00 | 9,00 | 3,23 | 2,29 | 3,09 | Lognormal-2p |
| 1069 | Çsbc3 | 4,06 | 2,56 | 9,00 | 2,56 | 1,37 | 1,00 | 2,94 | 2,11 | 6,99 | Lognormal-3p |
| 1070 | Çsbc3 | 7,80 | 3,88 | 2,60 | 2,06 | 3,98 | 9,00 | 6,13 | 5,83 | 1,00 | Weibull-3p |
| 1071 | Çsc1 | 4,06 | 7,05 | 3,21 | 1,33 | 9,00 | 3,25 | 2,98 | 2,35 | 1,00 | Weibull-3p |
| 1072 | Çsc1 | 3,96 | 7,36 | 2,61 | 1,30 | 9,00 | 2,09 | 1,28 | 1,00 | 4,90 | Weibull-2p |
| 1073 | Çsc1 | 2,43 | 5,89 | 4,07 | 1,00 | 7,38 | 4,57 | 8,93 | 9,00 | 3,30 | Johnson SB |
| 1074 | Çsc2 | 2,21 | 1,78 | 6,92 | 1,14 | 2,20 | 9,00 | 1,00 | 1,04 | 4,56 | Normal |
| 1075 | Çsc2 | 8,06 | 2,48 | 4,27 | 1,00 | 3,02 | 9,00 | 2,73 | 2,52 | 6,93 | Johnson SB |
| 1076 | Çsc2 | 1,19 | 1,28 | 5,82 | 1,00 | 1,43 | 9,00 | 1,34 | 1,45 | 5,64 | Johnson SB |
| 1077 | Çsc2 | Çözümsüz | 2,33 | 1,32 | Çözümsüz | 5,79 | 1,00 | 1,39 | 3,89 | 7,00 | Lognormal-3p |
| 1078 | Çsc2 | 2,37 | 3,48 | 9,00 | 1,00 | 3,28 | 3,79 | 3,88 | 3,22 | 5,00 | Johnson SB |
| 1079 | Çsc2 | 6,56 | 9,00 | 5,45 | 4,03 | 8,51 | 5,53 | 5,45 | 5,18 | 1,00 | Weibull-3p |
| 1080 | Çsc2 | 2,64 | 2,29 | 9,00 | 1,06 | 2,96 | 1,87 | 1,00 | 1,05 | 4,03 | Normal |
| 1081 | Çsc2 | 6,13 | 5,81 | 1,96 | 1,30 | 9,00 | 2,00 | 1,91 | 2,19 | 1,00 | Weibull-3p |
| 1082 | Çsc2 | 5,40 | 6,69 | 4,46 | 1,00 | 8,00 | 4,44 | 4,40 | 4,87 | Çözümsüz | Johnson SB |
| 1083 | Çsc2 | 1,02 | 5,42 | 8,15 | 1,00 | 5,84 | 9,00 | 4,81 | 4,38 | 3,18 | Johnson SB |
| 1084 | Çsc2 | 9,00 | 1,00 | 2,55 | 5,84 | 2,02 | 1,71 | 8,36 | 3,50 | 3,38 | Gamma-2p |
| 1085 | Çsc2 | 1,00 | 2,83 | 1,37 | 1,55 | 2,77 | 9,00 | 3,64 | 3,61 | 7,40 | Beta |
| 1086 | Çsc2 | 3,81 | 3,41 | 1,00 | 3,72 | 5,13 | 1,04 | 9,00 | 7,89 | 3,69 | Gamma-3p |
| 1087 | Çsc2 | 1,00 | 4,18 | 6,01 | 1,69 | 5,38 | 9,00 | 5,11 | 5,04 | 3,02 | Beta |
| 1088 | Çsc2 | 7,72 | 2,45 | 3,60 | 2,01 | 2,86 | 9,00 | 4,06 | 3,60 | 1,00 | Weibull-3p |
| 1089 | Çsc2 | 4,11 | 6,81 | 5,56 | 1,00 | 6,55 | 6,62 | 9,00 | 7,84 | 5,37 | Johnson SB |
| 1090 | Çsc2 | 1,00 | 6,50 | 9,00 | 1,40 | 5,77 | 5,76 | 5,70 | 5,18 | 5,95 | Beta |
| 1091 | Çsc3 | 4,51 | 4,05 | 1,41 | 9,00 | 1,00 | 1,30 | 6,37 | 2,29 | 2,24 | Lognormal-2p |
| 1092 | Çsc3 | 9,00 | 1,86 | 1,27 | 1,02 | 2,59 | 1,23 | 1,00 | 1,04 | 1,95 | Normal |
| 1093 | Çsc3 | 2,19 | 2,16 | 1,34 | 2,00 | 1,00 | 1,33 | 4,78 | 9,00 | 2,90 | Lognormal-2p |
| 1094 | Çsc3 | 1,00 | 1,38 | 2,01 | Çözümsüz | 8,00 | 1,99 | 2,12 | 5,91 | 7,52 | Beta |
| 1095 | Çsc3 | 3,81 | 5,01 | 6,98 | 1,58 | 5,76 | 1,10 | 1,00 | 1,53 | 9,00 | Normal |
| 1096 | Çsc3 | 2,34 | 8,65 | 3,86 | 1,00 | 9,00 | 3,86 | 3,80 | 2,11 | 3,38 | Johnson SB |
| 1097 | Çsc3 | 3,53 | 7,53 | 3,06 | 2,49 | 9,00 | 2,94 | 2,82 | 2,93 | 1,00 | Weibull-3p |
| 1098 | Çsc3 | 7,56 | 6,39 | 6,14 | 9,00 | 1,00 | 1,79 | 7,90 | 2,50 | 6,55 | Lognormal-2p |
| 1099 | Çsc3 | 4,82 | 1,00 | 4,11 | Çözümsüz | 5,43 | 4,21 | 4,29 | 8,00 | 7,32 | Gamma-2p |
| 1100 | Çsc3 | 2,60 | 1,05 | 9,00 | 1,16 | 1,23 | 1,81 | 1,00 | 1,17 | 2,55 | Normal |
| 1101 | Çsc3 | 3,01 | 5,15 | 1,00 | 4,63 | 4,78 | 9,00 | 4,95 | 4,95 | 1,88 | Gamma-3p |
| 1102 | Çsc3 | 1,00 | 4,44 | 1,39 | Çözümsüz | 8,00 | 1,39 | 1,38 | 2,47 | 2,77 | Beta |
| 1103 | Çsc3 | 1,00 | 4,42 | 8,83 | 1,11 | 5,11 | 5,05 | 5,33 | 4,28 | 9,00 | Beta |
| 1104 | Çsc3 | 6,65 | 7,06 | 5,67 | 1,00 | 8,00 | 5,66 | 5,61 | 5,58 | Çözümsüz | Johnson SB |
| 1105 | Çsc3 | 5,00 | 6,49 | 4,15 | 1,78 | 9,00 | 3,93 | 3,95 | 3,80 | 1,00 | Weibull-3p |
| 1106 | Çsc3 | 4,74 | 4,23 | 3,08 | 1,18 | 6,04 | 3,84 | 7,31 | 9,00 | 1,00 | Weibull-3p |
| 1107 | Çsc3 | 2,41 | 2,36 | 1,00 | 1,22 | 5,86 | 1,04 | 2,87 | 9,00 | 1,14 | Gamma-3p |
| 1108 | Çsc3 | 9,00 | 5,22 | 3,11 | 1,00 | 5,76 | 3,13 | 3,12 | 4,70 | 2,96 | Johnson SB |
| 1109 | Çsc3 | 9,00 | 2,89 | 2,56 | 1,00 | 6,73 | 2,65 | 2,65 | 1,73 | 2,43 | Johnson SB |
| 1110 | Çsc3 | 8,00 | 2,39 | 1,82 | 1,00 | 3,22 | 1,73 | 1,76 | 1,11 | Çözümsüz | Johnson SB |
| 1111 | Çsc3 | 2,48 | 9,00 | 6,82 | 1,00 | 8,66 | 6,76 | 6,72 | 2,48 | 2,53 | Johnson SB |
| 1112 | Çsc3 | 1,00 | 2,57 | 1,46 | Çözümsüz | 8,00 | 1,46 | 1,45 | 3,34 | 1,70 | Beta |
| 1113 | Çsc3 | 1,00 | 1,73 | 4,04 | 1,14 | 1,81 | 9,00 | 1,43 | 1,30 | 1,66 | Beta |
| 1114 | Çsc3 | 3,56 | 8,15 | 5,19 | 1,00 | 9,00 | 5,22 | 5,19 | 3,57 | 4,53 | Johnson SB |
| 1115 | Çsc3 | 8,53 | 1,79 | 1,45 | 2,65 | 1,95 | 2,06 | 9,00 | 8,06 | 1,00 | Weibull-3p |
| 1116 | Çsc3 | 6,80 | 5,27 | 1,62 | 2,07 | 3,35 | 1,00 | 8,04 | 9,00 | 2,15 | Lognormal-3p |

Tablo 4.14.'ün devamı

| Örnek Alan No | Meşçere Tipi | Olasılık Yoğunluk Fonksiyonları | | | | | | | | | En Başarılı Dağılım |
|---------------|--------------|---------------------------------|----------|----------|------------|--------------|--------------|--------|------------|------------|---------------------|
| | | Beta | Gamma-2p | Gamma-3p | Johnson SB | Lognormal-2p | Lognormal-3p | Normal | Weibull-2p | Weibull-3p | |
| 1117 | Çsc3 | 2,30 | 8,43 | 8,29 | 1,00 | 8,29 | 4,72 | 4,69 | 3,72 | 9,00 | Johnson SB |
| 1118 | Çsc3 | 1,93 | 6,53 | 6,91 | 1,00 | 6,62 | 9,00 | 4,76 | 4,79 | 6,34 | Johnson SB |
| 1119 | Çsc3 | 5,75 | 8,00 | 6,31 | 1,00 | 7,79 | 6,25 | 6,26 | 5,76 | Çözümsüz | Johnson SB |
| 1120 | Çsc3 | 1,00 | 2,11 | 2,00 | 3,58 | 3,10 | 2,88 | 9,00 | 4,56 | 1,24 | Beta |
| 1121 | Çscd1 | 1,33 | 6,47 | 5,05 | 1,00 | 6,52 | 1,31 | 2,21 | 2,21 | 9,00 | Johnson SB |
| 1122 | Çscd1 | 6,92 | 7,05 | 3,50 | 1,99 | 9,00 | 3,53 | 3,41 | 4,32 | 1,00 | Weibull-3p |
| 1123 | Çscd1 | 1,00 | 6,75 | 9,00 | 1,49 | 6,33 | 5,01 | 4,96 | 3,72 | 4,76 | Beta |
| 1124 | Çscd1 | 5,96 | 7,39 | 4,50 | 1,32 | 9,00 | 4,34 | 4,39 | 3,69 | 1,00 | Weibull-3p |
| 1125 | Çscd1 | 1,34 | 9,00 | 4,64 | 1,00 | 7,69 | 8,17 | 8,21 | 6,34 | 2,91 | Johnson SB |
| 1126 | Çscd1 | 1,92 | 7,25 | 1,10 | 5,74 | 8,00 | 1,14 | 1,00 | 1,72 | Çözümsüz | Normal |
| 1127 | Çscd1 | 5,44 | 5,15 | 9,00 | 2,79 | 6,56 | 4,57 | 1,00 | 2,74 | 8,85 | Normal |
| 1128 | Çscd1 | 1,94 | 2,75 | 9,00 | 1,00 | 2,83 | 2,48 | 2,03 | 1,75 | 2,72 | Johnson SB |
| 1129 | Çscd1 | 1,00 | 8,49 | 9,00 | 3,36 | 6,82 | 6,43 | 5,02 | 3,95 | 3,69 | Beta |
| 1130 | Çscd1 | 9,00 | 5,33 | 2,46 | 1,00 | 7,17 | 2,43 | 2,27 | 1,50 | 1,89 | Johnson SB |
| 1131 | Çscd1 | 4,38 | 5,82 | 4,06 | 1,00 | 9,00 | 4,39 | 4,11 | 4,51 | 1,99 | Johnson SB |
| 1132 | Çscd2 | 1,53 | 2,79 | 9,00 | 1,00 | 2,82 | 1,39 | 1,40 | 1,28 | 2,64 | Johnson SB |
| 1133 | Çscd2 | 9,00 | 1,27 | 3,47 | 1,00 | 1,33 | 4,54 | 2,46 | 2,07 | 2,71 | Johnson SB |
| 1134 | Çscd2 | 1,19 | 6,00 | 1,58 | Çözümsüz | 8,00 | 1,56 | 1,00 | 2,33 | 3,38 | Normal |
| 1135 | Çscd2 | 9,00 | 1,76 | 1,17 | 1,00 | 2,21 | 1,17 | 1,15 | 1,69 | 1,14 | Johnson SB |
| 1136 | Çscd2 | 1,01 | 1,00 | 1,32 | Çözümsüz | 8,00 | 1,32 | 1,21 | 3,54 | 2,05 | Gamma-2p |
| 1137 | Çscd2 | 1,00 | 9,00 | 6,06 | 5,98 | 7,76 | 6,06 | 6,09 | 4,68 | 5,91 | Beta |
| 1138 | Çscd2 | 9,00 | 2,22 | 1,83 | 1,00 | 2,48 | 1,73 | 1,24 | 1,84 | 2,47 | Johnson SB |
| 1139 | Çscd2 | 1,00 | 9,00 | 3,82 | 4,61 | 8,36 | 3,92 | 3,79 | 2,72 | 2,98 | Beta |
| 1140 | Çscd2 | 8,08 | 5,37 | 2,78 | 3,47 | 1,78 | 1,00 | 9,00 | 5,48 | 3,83 | Lognormal-3p |
| 1141 | Çscd2 | 4,79 | 3,01 | 6,34 | 2,79 | 3,86 | 9,00 | 1,00 | 1,97 | 7,17 | Normal |
| 1142 | Çscd2 | 4,51 | 6,68 | 1,32 | 1,00 | 9,00 | 1,25 | 1,13 | 1,90 | 3,18 | Johnson SB |
| 1143 | Çscd2 | 4,06 | 8,14 | 3,48 | 1,00 | 9,00 | 3,32 | 3,29 | 2,72 | 1,46 | Johnson SB |
| 1144 | Çscd2 | 1,00 | 8,94 | 8,32 | 2,60 | 6,16 | 9,00 | 8,09 | 1,92 | 8,94 | Beta |
| 1145 | Çscd2 | Çözümsüz | 8,00 | 3,70 | 2,99 | 7,77 | 3,38 | 3,53 | 4,52 | 1,00 | Weibull-3p |
| 1146 | Çscd2 | 2,59 | 9,00 | 7,34 | 1,00 | 6,81 | 7,27 | 7,32 | 6,07 | 6,02 | Johnson SB |
| 1147 | Çscd2 | 1,37 | 4,51 | 1,10 | 1,50 | 2,84 | 1,00 | 8,34 | 9,00 | 1,71 | Lognormal-3p |
| 1148 | Çscd2 | 6,12 | 8,06 | 4,43 | 1,00 | 9,00 | 4,45 | 4,38 | 5,37 | 1,56 | Johnson SB |
| 1149 | Çscd2 | 8,00 | 1,31 | 1,06 | Çözümsüz | 2,39 | 1,00 | 1,11 | 1,90 | 2,21 | Lognormal-3p |
| 1150 | Çscd2 | 8,00 | 5,70 | 3,77 | 1,00 | 6,21 | 3,76 | 3,74 | 3,25 | Çözümsüz | Johnson SB |
| 1151 | Çscd2 | 1,00 | 9,00 | 7,39 | 2,07 | 7,70 | 5,74 | 7,14 | 6,43 | 3,01 | Beta |
| 1152 | Çscd2 | 8,46 | 6,65 | 1,04 | 4,81 | 9,00 | 1,01 | 1,00 | 3,72 | 1,39 | Normal |
| 1153 | Çscd2 | 2,14 | 2,54 | 1,01 | 1,00 | 2,85 | 9,00 | 4,94 | 4,35 | 2,15 | Johnson SB |
| 1154 | Çscd2 | 1,64 | 7,29 | 5,88 | 1,00 | 9,00 | 6,81 | 8,57 | 7,74 | 5,77 | Johnson SB |
| 1155 | Çscd2 | 3,01 | 3,07 | 9,00 | 1,00 | 3,54 | 2,15 | 1,51 | 1,57 | 4,79 | Johnson SB |
| 1156 | Çscd2 | 2,05 | 2,29 | 3,00 | 1,00 | 2,32 | 9,00 | 3,00 | 2,92 | 1,42 | Johnson SB |
| 1157 | Çscd2 | 1,00 | 5,81 | 4,77 | 4,65 | 5,54 | 9,00 | 6,69 | 5,47 | 5,05 | Beta |
| 1158 | Çscd2 | 6,99 | 2,31 | 9,00 | 1,00 | 2,73 | 2,20 | 4,04 | 3,88 | 3,90 | Johnson SB |
| 1159 | Çscd2 | 9,00 | 1,51 | 1,02 | 1,18 | 1,98 | 1,01 | 1,00 | 1,02 | 1,20 | Normal |
| 1160 | Çscd2 | 2,66 | 8,92 | 7,65 | 1,00 | 7,99 | 8,35 | 9,00 | 8,12 | 5,00 | Johnson SB |
| 1161 | Çscd2 | 3,05 | 1,00 | 9,00 | 1,23 | 1,20 | 1,26 | 1,88 | 1,68 | 3,85 | Gamma-2p |
| 1162 | Çscd3 | 1,00 | 3,89 | 9,00 | 1,10 | 3,11 | 3,22 | 3,40 | 2,62 | 3,05 | Beta |
| 1163 | Çscd3 | Çözümsüz | 6,93 | 2,60 | Çözümsüz | 7,00 | 2,56 | 2,54 | 1,00 | 2,22 | Weibull-2p |
| 1164 | Çscd3 | 2,29 | 6,55 | 2,98 | Çözümsüz | 8,00 | 2,99 | 2,76 | 1,00 | 2,92 | Weibull-2p |
| 1165 | Çscd3 | 4,31 | 6,30 | 5,82 | 1,00 | 5,73 | 9,00 | 3,67 | 3,19 | 4,49 | Johnson SB |
| 1166 | Çscd3 | 2,61 | 1,48 | 9,00 | 2,78 | 1,12 | 1,00 | 5,17 | 2,66 | 2,80 | Lognormal-3p |
| 1167 | Çscd3 | 3,10 | 2,87 | 3,30 | 1,94 | 1,00 | 3,15 | 4,69 | 9,00 | 4,58 | Lognormal-2p |
| 1168 | Çscd3 | 7,66 | 1,60 | 6,64 | 1,00 | 1,56 | 9,00 | 1,90 | 2,76 | 4,62 | Johnson SB |
| 1169 | Çscd3 | 1,23 | 5,85 | 2,55 | 1,00 | 9,00 | 2,37 | 2,33 | 2,39 | 1,59 | Johnson SB |
| 1170 | Çscd3 | 1,00 | 2,66 | 9,00 | 1,02 | 2,50 | 2,57 | 3,10 | 2,68 | 3,95 | Beta |
| 1171 | Çscd3 | 6,34 | 5,09 | 1,62 | 1,00 | 9,00 | 1,62 | 1,56 | 1,98 | 1,79 | Johnson SB |
| 1172 | Çscd3 | 7,40 | 6,17 | 1,21 | 1,29 | 4,14 | 2,25 | 9,00 | 8,35 | 1,00 | Weibull-3p |
| 1173 | Çscd3 | 1,00 | 3,94 | 1,12 | Çözümsüz | 8,00 | 1,05 | 1,02 | 3,67 | 2,15 | Beta |
| 1174 | Çscd3 | 9,00 | 1,12 | 1,88 | 2,73 | 1,00 | 1,03 | 2,82 | 4,55 | 2,96 | Lognormal-2p |

Tablo 4.14.'ün devamı

| Örnek Alan No | Meşçere Tipi | Olasılık Yoğunluk Fonksiyonları | | | | | | | | | En Başarılı Dağılım |
|---------------|--------------|---------------------------------|----------|----------|------------|--------------|--------------|--------|------------|------------|---------------------|
| | | Beta | Gamma-2p | Gamma-3p | Johnson SB | Lognormal-2p | Lognormal-3p | Normal | Weibull-2p | Weibull-3p | |
| 1175 | Çscd3 | 8,00 | 2,88 | 6,55 | 1,00 | 4,85 | 9,00 | 2,88 | 3,17 | 3,44 | Johnson SB |
| 1176 | Çscd3 | 2,15 | 8,93 | 5,86 | 1,00 | 9,00 | 5,01 | 3,37 | 2,62 | 6,29 | Johnson SB |
| 1177 | Çscd3 | Çözümsüz | 1,36 | 1,42 | Çözümsüz | 2,40 | 1,00 | 7,00 | 3,78 | 3,06 | Lognormal-3p |
| 1178 | Çscd3 | 1,91 | 3,61 | 7,78 | 1,00 | 4,55 | 2,63 | 2,21 | 2,44 | 9,00 | Johnson SB |
| 1179 | Çscd3 | 1,00 | 7,70 | 4,57 | 2,14 | 8,95 | 9,00 | 7,57 | 6,11 | 3,43 | Beta |
| 1180 | Çscd3 | Çözümsüz | 1,00 | 2,14 | Çözümsüz | 5,46 | 2,12 | 2,24 | 6,25 | 7,00 | Gamma-2p |
| 1181 | Çscd3 | 1,44 | 1,25 | 5,57 | 1,60 | 2,11 | 9,00 | 1,00 | 1,42 | 2,75 | Normal |
| 1182 | Çscd3 | 1,00 | 4,29 | 2,36 | 1,55 | 3,55 | 3,47 | 9,00 | 8,69 | 1,87 | Beta |
| 1183 | Çscd3 | 6,04 | 3,54 | 8,23 | 6,88 | 5,59 | 5,34 | 1,00 | 1,46 | 9,00 | Normal |
| 1184 | Çscd3 | 8,36 | 7,88 | 2,02 | 1,96 | 9,00 | 1,90 | 1,57 | 1,00 | 4,86 | Weibull-2p |
| 1185 | Çscd3 | 1,00 | 5,89 | 8,82 | 3,43 | 5,98 | 9,00 | 2,39 | 2,41 | 6,23 | Beta |
| 1186 | Çscd3 | 3,39 | 4,78 | 1,01 | 1,37 | 8,00 | 1,01 | 1,00 | 2,02 | Çözümsüz | Normal |
| 1187 | Çscd3 | 4,59 | 5,81 | 9,00 | 1,00 | 6,33 | 5,64 | 4,60 | 4,00 | 2,57 | Johnson SB |
| 1188 | Çscd3 | 5,10 | 7,56 | 3,80 | 6,04 | 7,07 | 1,00 | 9,00 | 7,07 | 3,88 | Lognormal-3p |
| 1189 | Çscd3 | 1,00 | 3,46 | 3,35 | 1,76 | 3,60 | 9,00 | 2,65 | 2,98 | 2,56 | Beta |
| 1190 | Çscd3 | 6,79 | 2,36 | 1,44 | 6,17 | 1,00 | 1,45 | 9,00 | 5,65 | 2,64 | Lognormal-2p |
| 1191 | Çscd3 | 6,22 | 7,75 | 5,66 | 1,00 | 6,90 | 4,88 | 9,00 | 8,11 | 5,17 | Johnson SB |
| 1192 | Çsd1 | 1,28 | 1,25 | 9,00 | 1,00 | 1,33 | 1,55 | 1,17 | 1,03 | 2,50 | Johnson SB |
| 1193 | Çsd1 | 1,44 | 6,04 | 7,65 | 1,00 | 6,09 | 9,00 | 6,01 | 4,78 | 5,58 | Johnson SB |
| 1194 | Çsd1 | 1,00 | 5,73 | 8,26 | 1,82 | 6,81 | 6,72 | 3,85 | 3,04 | 9,00 | Beta |
| 1195 | Çsd1 | 2,04 | 3,71 | 8,43 | 1,00 | 3,82 | 9,00 | 3,85 | 3,11 | 4,50 | Johnson SB |
| 1196 | Çsd1 | 1,00 | 8,18 | 6,94 | 2,27 | 9,00 | 5,31 | 7,82 | 7,36 | 6,52 | Beta |
| 1197 | Çsd1 | 2,10 | 4,95 | 2,98 | 3,87 | 9,00 | 2,30 | 1,00 | 1,99 | 5,21 | Normal |
| 1198 | Çsd1 | 3,09 | 3,70 | 1,47 | 6,98 | 2,76 | 9,00 | 5,87 | 4,51 | 1,00 | Weibull-3p |
| 1199 | Çsd1 | 4,44 | 1,02 | 1,10 | 1,88 | 1,11 | 1,10 | 1,00 | 1,12 | 9,00 | Normal |
| 1200 | Çsd1 | 7,70 | 4,75 | 2,23 | 1,00 | 9,00 | 1,80 | 1,53 | 5,09 | 1,37 | Johnson SB |
| 1201 | Çsd2 | 1,53 | 9,00 | 1,08 | 1,02 | 1,67 | 1,04 | 1,03 | 1,13 | 1,00 | Weibull-3p |
| 1202 | Çsd2 | 1,02 | 1,24 | 1,10 | Çözümsüz | 1,38 | 1,06 | 8,00 | 1,00 | 1,08 | Weibull-2p |
| 1203 | Çsd2 | 2,71 | 7,24 | 5,85 | 1,00 | 8,00 | 5,56 | 5,37 | 6,29 | Çözümsüz | Johnson SB |
| 1204 | Çsd2 | 8,00 | 2,25 | 1,91 | Çözümsüz | 2,96 | 1,85 | 1,11 | 1,00 | 2,98 | Weibull-2p |
| 1205 | Çsd2 | 1,00 | 5,22 | 5,12 | 9,00 | 6,74 | 3,55 | 7,33 | 3,17 | 5,41 | Beta |
| 1206 | Çsd2 | 1,39 | 9,00 | 3,38 | 1,04 | 8,36 | 2,60 | 5,28 | 4,90 | 1,00 | Weibull-3p |
| 1207 | Çsd2 | 3,88 | 5,56 | 5,04 | 1,00 | 8,00 | 4,71 | 4,52 | 6,64 | Çözümsüz | Johnson SB |
| 1208 | Çsd2 | 6,27 | 9,00 | 7,49 | 1,00 | 7,91 | 7,99 | 7,44 | 5,70 | 7,03 | Johnson SB |
| 1209 | Çsd2 | 2,23 | 1,00 | 2,39 | Çözümsüz | 8,00 | 2,24 | 2,12 | 5,75 | 3,38 | Gamma-2p |
| 1210 | Çsd2 | 6,32 | 5,75 | 5,53 | 1,00 | 8,00 | 5,26 | 5,07 | 7,43 | Çözümsüz | Johnson SB |
| 1211 | Çsd2 | 9,00 | 2,55 | 2,49 | 1,00 | 6,63 | 1,79 | 1,86 | 5,38 | 2,44 | Johnson SB |
| 1212 | Çsd2 | 1,00 | 8,47 | 6,55 | 1,19 | 9,00 | 6,44 | 5,90 | 3,92 | 5,40 | Beta |
| 1213 | Çsd2 | 1,95 | 6,40 | 3,24 | 2,25 | 9,00 | 2,93 | 2,82 | 1,00 | 2,69 | Weibull-2p |
| 1214 | Çsd2 | 2,95 | 6,50 | 4,08 | 1,00 | 9,00 | 3,25 | 2,76 | 1,08 | 1,02 | Johnson SB |
| 1215 | Çsd2 | 3,12 | 7,73 | 6,11 | 1,00 | 8,00 | 5,95 | 5,58 | 3,64 | Çözümsüz | Johnson SB |
| 1216 | Çsd2 | 6,53 | 6,18 | 4,08 | 1,00 | 9,00 | 3,37 | 3,51 | 1,21 | 3,05 | Johnson SB |
| 1217 | Çsd2 | 9,00 | 6,06 | 1,53 | 7,65 | 3,90 | 1,79 | 2,49 | 1,00 | 2,63 | Weibull-2p |
| 1218 | Çsd2 | 2,26 | 8,62 | 9,00 | 1,00 | 7,19 | 3,29 | 2,39 | 2,62 | 8,53 | Johnson SB |
| 1219 | Çsd2 | 3,06 | 8,00 | 6,93 | 1,00 | 7,96 | 6,89 | 6,91 | 6,60 | Çözümsüz | Johnson SB |
| 1220 | Çsd2 | 4,03 | 4,74 | 1,31 | 1,94 | 3,73 | 1,00 | 6,81 | 9,00 | 1,91 | Lognormal-3p |
| 1221 | Çsd2 | 1,73 | 1,01 | 9,00 | 1,34 | 1,13 | 1,61 | 1,00 | 1,66 | 2,39 | Normal |
| 1222 | Çsd2 | 2,79 | 4,13 | 2,02 | 1,33 | 9,00 | 1,75 | 1,52 | 1,00 | 1,35 | Weibull-2p |
| 1223 | Çsd2 | 9,00 | 1,00 | 1,64 | 1,08 | 2,08 | 1,61 | 1,84 | 2,93 | 3,05 | Gamma-2p |
| 1224 | Çsd2 | 2,47 | 5,98 | 8,00 | 1,00 | 6,99 | 3,06 | 2,89 | 3,79 | Çözümsüz | Johnson SB |
| 1225 | Çsd2 | 3,46 | 8,88 | 7,04 | 1,00 | 9,00 | 6,82 | 5,96 | 4,31 | 8,71 | Johnson SB |
| 1226 | Çsd3 | 5,46 | 8,00 | 6,04 | 1,00 | 7,10 | 6,28 | 6,26 | 4,76 | Çözümsüz | Johnson SB |
| 1227 | Çsd3 | 5,53 | 5,85 | 3,63 | 3,00 | 9,00 | 2,83 | 2,25 | 2,98 | 1,00 | Weibull-3p |
| 1228 | Çsd3 | 3,56 | 8,58 | 3,36 | 4,19 | 9,00 | 2,84 | 2,27 | 2,03 | 1,00 | Weibull-3p |
| 1229 | Çsd3 | 9,00 | 1,91 | 1,79 | 1,00 | 2,31 | 1,51 | 1,42 | 1,01 | 1,40 | Johnson SB |
| 1230 | Çsd3 | 1,68 | 4,37 | 1,69 | 3,64 | 8,00 | 1,25 | 1,00 | 1,66 | Çözümsüz | Normal |
| 1231 | Çsd3 | 9,00 | 1,00 | 4,67 | 7,89 | 2,91 | 4,98 | 5,62 | 5,76 | 8,82 | Gamma-2p |
| 1232 | Çsd3 | 6,01 | 2,79 | 1,49 | 6,83 | 8,00 | 1,14 | 1,00 | 2,06 | Çözümsüz | Normal |

Tablo 4.14.'ün devamı

| Örnek Alan No | Meşçere Tipi | Olasılık Yoğunluk Fonksiyonları | | | | | | | | | En Başarılı Dağılım |
|---------------|--------------|---------------------------------|----------|----------|------------|--------------|--------------|--------|------------|------------|---------------------|
| | | Beta | Gamma-2p | Gamma-3p | Johnson SB | Lognormal-2p | Lognormal-3p | Normal | Weibull-2p | Weibull-3p | |
| 1233 | Çsd3 | 9,00 | 3,82 | 2,31 | 2,51 | 7,28 | 2,00 | 1,64 | 3,31 | 1,00 | Weibull-3p |
| 1234 | Çsd3 | 7,59 | 6,71 | 3,74 | 2,15 | 9,00 | 3,30 | 2,80 | 4,22 | 1,00 | Weibull-3p |
| 1235 | Çsd3 | 5,06 | 7,62 | 5,10 | 1,00 | 8,00 | 4,91 | 4,70 | 4,80 | Çözümsüz | Johnson SB |
| 1236 | Çsd3 | 4,91 | 4,62 | 3,53 | 1,00 | 8,00 | 3,15 | 2,88 | 4,51 | Çözümsüz | Johnson SB |
| 1237 | Çsd3 | 1,00 | 5,86 | 3,86 | Çözümsüz | 8,00 | 2,92 | 2,25 | 2,28 | 4,34 | Beta |
| 1238 | Çsd3 | 5,63 | 1,05 | 4,66 | 1,08 | 1,29 | 9,00 | 1,00 | 1,01 | 2,88 | Normal |
| 1239 | Çsd3 | 9,00 | 8,24 | 6,78 | 1,00 | 8,28 | 6,86 | 6,48 | 1,30 | 2,34 | Johnson SB |
| 1240 | Çsd3 | 1,00 | 8,61 | 9,00 | 1,52 | 8,70 | 4,33 | 8,94 | 8,00 | 5,00 | Beta |
| 1241 | Çsd3 | 1,39 | 4,65 | 5,11 | 1,00 | 8,00 | 4,41 | 4,03 | 6,55 | Çözümsüz | Johnson SB |
| 1242 | Çsd3 | 1,00 | 8,00 | 4,74 | 1,19 | 6,67 | 4,43 | 4,35 | 3,38 | Çözümsüz | Beta |
| 1243 | Çsd3 | 1,00 | 7,57 | 8,94 | 6,84 | 5,92 | 4,05 | 9,00 | 5,92 | 4,33 | Beta |

Tablo 4.15. Olasılık yoğunluk fonksiyonlarının hata indeksine göre rölatif sıralamaları (II. Bonitet)

| Örnek Alan No | Meşçere Tipi | Olasılık Yoğunluk Fonksiyonları | | | | | | | | | En Başarılı Dağılım |
|---------------|--------------|---------------------------------|----------|----------|------------|--------------|--------------|--------|------------|------------|---------------------|
| | | Beta | Gamma-2p | Gamma-3p | Johnson SB | Lognormal-2p | Lognormal-3p | Normal | Weibull-2p | Weibull-3p | |
| 2001 | Çsb1 | 3,24 | 1,09 | 8,64 | 1,38 | 1,00 | 9,00 | 1,63 | 1,57 | 5,31 | Lognormal-2p |
| 2002 | Çsb1 | 8,27 | 6,38 | 7,07 | 1,00 | 6,16 | 6,73 | 7,93 | 9,00 | 1,98 | Johnson SB |
| 2003 | Çsb2 | 3,37 | 2,29 | 5,68 | 1,00 | 2,36 | 2,09 | 1,82 | 1,14 | 9,00 | Johnson SB |
| 2004 | Çsb2 | 1,19 | 2,07 | 1,24 | Çözümsüz | 1,10 | 1,00 | 3,62 | 8,00 | 2,81 | Lognormal-3p |
| 2005 | Çsb2 | 9,00 | 2,17 | 2,00 | 3,41 | 2,48 | 1,17 | 1,20 | 2,91 | 1,00 | Weibull-3p |
| 2006 | Çsb3 | 2,91 | 1,11 | 9,00 | 1,29 | 1,00 | 6,69 | 1,80 | 2,08 | 3,08 | Lognormal-2p |
| 2007 | Çsb3 | 9,00 | 3,75 | 2,62 | 1,67 | 4,56 | 1,82 | 1,12 | 1,60 | 1,00 | Weibull-3p |
| 2008 | Çsb3 | 4,29 | 1,00 | 7,34 | Çözümsüz | 1,16 | 4,67 | 1,04 | 8,00 | 7,39 | Gamma-2p |
| 2009 | Çsb3 | 9,00 | 3,51 | 7,63 | 1,00 | 3,68 | 5,26 | 4,27 | 4,22 | 3,69 | Johnson SB |
| 2010 | Çsb3 | 2,34 | 6,94 | 7,67 | 1,00 | 6,48 | 3,33 | 8,38 | 9,00 | 2,45 | Johnson SB |
| 2011 | Çsb3 | 7,90 | 1,49 | 5,80 | 1,62 | 1,00 | 9,00 | 2,24 | 4,23 | 3,22 | Lognormal-2p |
| 2012 | Çsb3 | 1,55 | 2,25 | 6,62 | 1,00 | 2,33 | 9,00 | 1,98 | 1,62 | 3,17 | Johnson SB |
| 2013 | Çsb3 | 4,93 | 1,27 | 7,93 | Çözümsüz | 1,00 | 5,81 | 1,44 | 7,91 | 8,00 | Lognormal-2p |
| 2014 | Çsb3 | 1,97 | 1,52 | 5,47 | 1,00 | 1,60 | 9,00 | 2,52 | 2,83 | 4,60 | Johnson SB |
| 2015 | Çsb3 | 9,00 | 4,97 | 3,55 | 2,27 | 5,87 | 3,11 | 2,53 | 1,00 | 3,26 | Weibull-2p |
| 2016 | Çsb3 | 1,67 | 1,51 | 1,08 | 1,21 | 4,56 | 1,00 | 3,16 | 9,00 | 3,70 | Lognormal-3p |
| 2017 | Çsb3 | 3,01 | 1,00 | 6,01 | 1,40 | 1,01 | 9,00 | 1,06 | 1,44 | 3,91 | Gamma-2p |
| 2018 | Çsb3 | 2,24 | 1,00 | 9,00 | 1,07 | 1,15 | 1,30 | 1,41 | 1,59 | 8,95 | Gamma-2p |
| 2019 | Çsb3 | 8,00 | 1,68 | 1,80 | Çözümsüz | 2,02 | 1,72 | 1,00 | 1,05 | 2,12 | Normal |
| 2020 | Çsb3 | 3,11 | 6,24 | 7,67 | 1,00 | 6,11 | 9,00 | 7,96 | 7,90 | 2,43 | Johnson SB |
| 2021 | Çsb3 | 2,78 | 1,11 | 7,60 | 1,00 | 1,20 | 9,00 | 1,68 | 1,93 | 7,72 | Johnson SB |
| 2022 | Çsb3 | 7,29 | 4,26 | 3,24 | 1,00 | 3,91 | 9,00 | 5,79 | 6,87 | 4,39 | Johnson SB |
| 2023 | Çsb3 | 7,29 | 1,42 | 9,00 | 1,00 | 1,42 | 6,22 | 2,08 | 2,25 | 3,50 | Johnson SB |
| 2024 | Çsb3 | 7,03 | 7,79 | 5,11 | 2,20 | 9,00 | 4,57 | 3,85 | 2,52 | 1,00 | Weibull-3p |
| 2025 | Çsb3 | 9,00 | 1,49 | 4,86 | 2,36 | 1,00 | 7,70 | 2,42 | 4,02 | 4,79 | Lognormal-2p |
| 2026 | Çsb3 | 3,40 | 1,00 | 1,49 | 2,45 | 1,79 | 1,50 | 3,57 | 9,00 | 2,92 | Gamma-2p |
| 2027 | Çsb3 | 4,08 | 1,71 | 9,00 | 2,20 | 1,28 | 1,00 | 2,71 | 3,40 | 6,81 | Lognormal-3p |
| 2028 | Çsb3 | 9,00 | 1,15 | 8,40 | 2,05 | 1,00 | 8,77 | 1,67 | 2,27 | 5,30 | Lognormal-2p |
| 2029 | Çsb3 | 2,07 | 3,07 | 5,24 | 1,00 | 3,33 | 9,00 | 3,57 | 3,59 | 3,85 | Johnson SB |
| 2030 | Çsb3 | 6,62 | 7,80 | 5,41 | 2,68 | 9,00 | 4,95 | 4,33 | 2,04 | 1,00 | Weibull-3p |
| 2031 | Çsb3 | 2,72 | 2,74 | 5,69 | 1,00 | 3,02 | 9,00 | 3,23 | 3,09 | 4,94 | Johnson SB |
| 2032 | Çsb3 | 6,50 | 5,19 | 4,51 | 1,00 | 5,49 | 9,00 | 6,77 | 7,04 | 4,90 | Johnson SB |
| 2033 | Çsb3 | 4,06 | 1,22 | 7,35 | 1,94 | 1,49 | 1,08 | 1,00 | 1,63 | 9,00 | Normal |
| 2034 | Çsb3 | 3,64 | 1,61 | 6,65 | 1,00 | 1,52 | 9,00 | 2,37 | 1,84 | 6,76 | Johnson SB |
| 2035 | Çsb3 | 3,81 | 1,21 | 9,00 | 2,01 | 1,00 | 7,75 | 1,92 | 2,53 | 4,04 | Lognormal-2p |
| 2036 | Çsbc1 | 1,97 | 1,00 | 9,00 | 1,71 | 1,19 | 1,37 | 1,08 | 1,24 | 3,16 | Gamma-2p |
| 2037 | Çsbc1 | 1,54 | 7,33 | 3,18 | 1,00 | 7,31 | 5,76 | 9,00 | 8,95 | 3,92 | Johnson SB |
| 2038 | Çsbc1 | 1,00 | 3,85 | 7,68 | 1,91 | 4,47 | 9,00 | 3,62 | 3,26 | 1,94 | Beta |
| 2039 | Çsbc1 | 2,51 | 9,00 | 5,80 | 1,00 | 8,52 | 6,81 | 6,43 | 4,65 | 6,40 | Johnson SB |
| 2040 | Çsbc1 | 4,20 | 3,21 | 4,35 | 1,47 | 1,44 | 1,00 | 4,46 | 3,17 | 9,00 | Lognormal-3p |
| 2041 | Çsbc1 | 3,99 | 8,00 | 6,78 | 1,00 | 7,90 | 6,94 | 6,53 | 3,47 | Çözümsüz | Johnson SB |
| 2042 | Çsbc1 | 2,11 | 5,63 | 3,93 | 1,43 | 9,00 | 3,07 | 2,24 | 2,65 | 1,00 | Weibull-3p |
| 2043 | Çsbc2 | 1,59 | 3,11 | 9,00 | 1,00 | 3,36 | 2,61 | 2,04 | 1,50 | 3,89 | Johnson SB |
| 2044 | Çsbc2 | 2,07 | 1,48 | 7,00 | 1,00 | 1,12 | 9,00 | 2,07 | 2,11 | 2,51 | Johnson SB |
| 2045 | Çsbc2 | 1,86 | 3,52 | 8,17 | 1,00 | 3,42 | 3,13 | 2,89 | 2,33 | 9,00 | Johnson SB |
| 2046 | Çsbc2 | 4,21 | 4,23 | 4,28 | 1,00 | 4,76 | 7,54 | 7,36 | 6,85 | 9,00 | Johnson SB |
| 2047 | Çsbc2 | 6,65 | 4,97 | 8,69 | 1,00 | 5,62 | 8,64 | 9,00 | 8,11 | 1,05 | Johnson SB |
| 2048 | Çsbc2 | 1,26 | 3,08 | 1,78 | Çözümsüz | 4,68 | 1,10 | 1,00 | 5,85 | 8,00 | Normal |
| 2049 | Çsbc2 | 8,85 | 6,74 | 5,80 | 2,78 | 9,00 | 4,80 | 4,23 | 2,88 | 1,00 | Weibull-3p |
| 2050 | Çsbc2 | 3,48 | 1,56 | 9,00 | 1,00 | 1,30 | 1,25 | 2,25 | 2,31 | 1,07 | Johnson SB |
| 2051 | Çsbc2 | 7,86 | 8,75 | 7,20 | 1,00 | 9,00 | 7,14 | 6,97 | 3,88 | 7,16 | Johnson SB |
| 2052 | Çsbc2 | 5,88 | 8,00 | 7,10 | 1,00 | 7,96 | 7,08 | 6,83 | 5,90 | Çözümsüz | Johnson SB |
| 2053 | Çsbc2 | 2,14 | 1,00 | 4,48 | 1,10 | 1,28 | 1,35 | 1,75 | 1,97 | 9,00 | Gamma-2p |
| 2054 | Çsbc2 | 2,30 | 1,69 | 1,00 | 1,30 | 1,23 | 9,00 | 2,65 | 2,64 | 3,78 | Gamma-3p |
| 2055 | Çsbc2 | 2,05 | 8,36 | 5,59 | 1,00 | 9,00 | 3,92 | 2,41 | 2,20 | 7,47 | Johnson SB |
| 2056 | Çsbc2 | 9,00 | 2,93 | 4,02 | 1,00 | 3,74 | 8,27 | 4,36 | 4,62 | 1,69 | Johnson SB |
| 2057 | Çsbc2 | 7,53 | 4,41 | 4,03 | 1,00 | 3,77 | 3,70 | 8,32 | 9,00 | 5,19 | Johnson SB |

Tablo 4.15.'in devamı

| Örnek Alan No | Meşçere Tipi | Olasılık Yoğunluk Fonksiyonları | | | | | | | | | En Başarılı Dağılım |
|---------------|--------------|---------------------------------|----------|----------|------------|--------------|--------------|--------|------------|------------|---------------------|
| | | Beta | Gamma-2p | Gamma-3p | Johnson SB | Lognormal-2p | Lognormal-3p | Normal | Weibull-2p | Weibull-3p | |
| 2058 | Çsbc2 | 7,97 | 3,06 | 9,00 | 1,00 | 2,86 | 5,40 | 4,87 | 4,43 | 4,25 | Johnson SB |
| 2059 | Çsbc2 | 7,19 | 4,37 | 1,36 | 1,00 | 2,66 | 1,67 | 7,76 | 9,00 | 1,86 | Johnson SB |
| 2060 | Çsbc2 | 4,34 | 1,35 | 9,00 | 1,29 | 1,00 | 5,59 | 2,28 | 3,45 | 2,20 | Lognormal-2p |
| 2061 | Çsbc2 | 2,53 | 1,30 | 5,43 | 1,00 | 1,58 | 1,10 | 1,26 | 1,12 | 9,00 | Johnson SB |
| 2062 | Çsbc2 | 3,40 | 4,38 | 3,15 | 1,00 | 3,23 | 1,03 | 9,00 | 7,32 | 2,58 | Johnson SB |
| 2063 | Çsbc2 | 9,00 | 1,66 | 1,41 | 1,18 | 1,55 | 1,84 | 2,26 | 1,34 | 1,00 | Weibull-3p |
| 2064 | Çsbc2 | 2,34 | 1,62 | 9,00 | 1,32 | 1,36 | 1,00 | 2,30 | 2,60 | 6,68 | Lognormal-3p |
| 2065 | Çsbc2 | 1,19 | 5,42 | 2,71 | Çözümsüz | 8,00 | 2,02 | 1,24 | 1,00 | 1,28 | Weibull-2p |
| 2066 | Çsbc3 | 8,58 | 5,65 | 8,17 | 8,67 | 1,14 | 1,00 | 6,97 | 3,86 | 9,00 | Lognormal-3p |
| 2067 | Çsbc3 | 3,84 | 2,47 | 9,00 | 1,00 | 2,67 | 2,35 | 2,54 | 2,42 | 8,79 | Johnson SB |
| 2068 | Çsbc3 | 1,81 | 2,03 | 4,74 | 1,00 | 2,09 | 1,31 | 3,02 | 3,16 | 9,00 | Johnson SB |
| 2069 | Çsbc3 | 2,27 | 1,69 | 9,00 | 1,24 | 1,81 | 1,43 | 1,14 | 1,00 | 5,36 | Weibull-2p |
| 2070 | Çsbc3 | 1,79 | 7,63 | 5,67 | 1,00 | 9,00 | 5,17 | 4,71 | 2,24 | 1,52 | Johnson SB |
| 2071 | Çsbc3 | 5,44 | 1,42 | 8,20 | 2,16 | 1,08 | 1,00 | 2,41 | 3,37 | 9,00 | Lognormal-3p |
| 2072 | Çsbc3 | 9,00 | 4,05 | 1,01 | 3,03 | 2,75 | 2,63 | 6,44 | 6,09 | 1,00 | Weibull-3p |
| 2073 | Çsbc3 | 6,56 | 2,57 | 6,93 | 1,00 | 2,71 | 9,00 | 2,73 | 2,56 | 4,50 | Johnson SB |
| 2074 | Çsbc3 | 1,18 | 1,46 | 1,57 | 1,00 | 1,96 | 1,56 | 2,89 | 9,00 | 5,38 | Johnson SB |
| 2075 | Çsbc3 | 1,00 | 1,36 | 8,00 | 1,11 | 1,56 | 2,25 | 2,32 | 2,46 | 9,00 | Beta |
| 2076 | Çsbc3 | 2,62 | 1,26 | 9,00 | 1,11 | 1,11 | 1,00 | 2,29 | 2,47 | 7,32 | Lognormal-3p |
| 2077 | Çsbc3 | 1,59 | 8,56 | 7,58 | 1,00 | 9,00 | 6,29 | 6,67 | 6,02 | 8,29 | Johnson SB |
| 2078 | Çsbc3 | 5,09 | 2,78 | 6,15 | Çözümsüz | 4,51 | 4,78 | 1,11 | 1,00 | 8,00 | Weibull-2p |
| 2079 | Çsbc3 | 1,54 | 7,33 | 3,18 | 1,00 | 7,31 | 5,76 | 9,00 | 8,95 | 3,92 | Johnson SB |
| 2080 | Çsbc3 | 1,95 | 3,25 | 9,00 | 1,00 | 3,55 | 2,79 | 2,24 | 1,44 | 7,99 | Johnson SB |
| 2081 | Çsbc3 | 1,98 | 1,09 | 4,11 | 1,06 | 1,00 | 9,00 | 1,63 | 1,93 | 3,12 | Lognormal-2p |
| 2082 | Çsbc3 | 9,00 | 1,24 | 1,32 | 1,38 | 1,63 | 1,51 | 2,50 | 2,69 | 1,00 | Weibull-3p |
| 2083 | Çsbc3 | 9,00 | 2,15 | 1,27 | 1,30 | 3,16 | 1,20 | 1,06 | 1,00 | 1,64 | Weibull-2p |
| 2084 | Çsbc3 | 9,00 | 3,60 | 2,53 | 1,00 | 4,20 | 4,95 | 5,14 | 5,11 | 1,13 | Johnson SB |
| 2085 | Çsbc3 | 2,93 | 8,24 | 5,86 | 1,00 | 9,00 | 5,33 | 4,95 | 3,48 | 5,26 | Johnson SB |
| 2086 | Çsbc3 | 3,28 | 3,32 | 9,00 | 1,00 | 4,13 | 3,01 | 1,66 | 1,45 | 7,95 | Johnson SB |
| 2087 | Çsbc3 | 2,86 | 4,35 | 8,24 | 1,00 | 4,23 | 9,00 | 5,70 | 5,74 | 1,96 | Johnson SB |
| 2088 | Çsbc3 | 3,39 | 4,57 | 1,65 | 1,00 | 2,94 | 2,18 | 9,00 | 8,13 | 2,07 | Johnson SB |
| 2089 | Çsbc3 | 2,28 | 3,61 | 9,00 | 1,00 | 3,46 | 3,25 | 2,99 | 2,40 | 5,32 | Johnson SB |
| 2090 | Çsbc3 | 2,25 | 2,26 | 2,33 | 1,00 | 3,10 | 9,00 | 2,92 | 3,13 | 3,97 | Johnson SB |
| 2091 | Çsbc3 | 1,66 | 7,55 | 6,75 | 1,00 | 9,00 | 6,75 | 5,04 | 6,23 | 2,31 | Johnson SB |
| 2092 | Çsbc3 | 1,55 | 3,61 | 8,40 | 1,00 | 3,75 | 9,00 | 3,61 | 3,27 | 6,73 | Johnson SB |
| 2093 | Çsbc3 | 3,77 | 1,17 | 1,00 | 2,10 | 1,14 | 9,00 | 2,31 | 2,22 | 5,74 | Gamma-3p |
| 2094 | Çsbc3 | 6,95 | 3,42 | 3,89 | 1,00 | 3,80 | 9,00 | 3,65 | 3,40 | 2,71 | Johnson SB |
| 2095 | Çsbc3 | 1,89 | 5,52 | 2,21 | Çözümsüz | 8,00 | 1,86 | 1,00 | 2,49 | 3,19 | Normal |
| 2096 | Çsc1 | 1,45 | 6,85 | 7,36 | 1,00 | 7,13 | 9,00 | 6,75 | 5,88 | 4,61 | Johnson SB |
| 2097 | Çsc1 | 2,31 | 6,81 | 2,87 | 1,70 | 9,00 | 3,46 | 2,82 | 1,79 | 1,00 | Weibull-3p |
| 2098 | Çsc1 | 8,40 | 5,52 | 2,73 | 2,54 | 9,00 | 2,60 | 1,00 | 1,97 | 3,76 | Normal |
| 2099 | Çsc1 | 6,59 | 5,33 | 1,00 | 5,11 | 5,59 | 6,15 | 9,00 | 8,15 | 4,91 | Gamma-3p |
| 2100 | Çsc1 | 3,41 | 3,43 | 1,46 | 1,75 | 3,51 | 9,00 | 6,45 | 5,86 | 1,00 | Weibull-3p |
| 2101 | Çsc2 | 2,67 | 6,34 | 4,76 | 1,00 | 6,19 | 9,00 | 3,18 | 2,68 | 3,10 | Johnson SB |
| 2102 | Çsc2 | 5,35 | 7,88 | 5,46 | 1,35 | 9,00 | 5,28 | 4,79 | 4,50 | 1,00 | Weibull-3p |
| 2103 | Çsc2 | 2,00 | 4,53 | 2,04 | 1,00 | 3,25 | 1,69 | 5,57 | 9,00 | 3,90 | Johnson SB |
| 2104 | Çsc2 | 3,30 | 1,98 | 9,00 | 1,72 | 2,88 | 2,40 | 1,06 | 1,00 | 2,94 | Weibull-2p |
| 2105 | Çsc2 | 1,50 | 1,62 | 9,00 | 1,00 | 1,36 | 1,27 | 2,20 | 2,54 | 1,09 | Johnson SB |
| 2106 | Çsc2 | 4,17 | 9,00 | 3,46 | 1,78 | 8,69 | 3,93 | 4,07 | 1,00 | 3,71 | Weibull-2p |
| 2107 | Çsc2 | 1,00 | 5,05 | 7,84 | 1,14 | 6,06 | 9,00 | 4,32 | 4,07 | 4,26 | Beta |
| 2108 | Çsc2 | 1,64 | 5,43 | 4,26 | 1,00 | 9,00 | 3,65 | 3,27 | 5,16 | 1,27 | Johnson SB |
| 2109 | Çsc2 | 1,00 | 3,93 | 1,62 | Çözümsüz | 8,00 | 1,40 | 1,10 | 3,12 | 1,33 | Beta |
| 2110 | Çsc2 | 9,00 | 3,18 | 1,31 | 1,00 | 4,95 | 1,17 | 1,08 | 1,20 | 1,83 | Johnson SB |
| 2111 | Çsc2 | 9,00 | 3,29 | 2,43 | 1,00 | 4,50 | 2,74 | 2,91 | 2,44 | 2,34 | Johnson SB |
| 2112 | Çsc2 | 2,47 | 7,51 | 4,51 | 1,07 | 9,00 | 3,99 | 3,69 | 3,66 | 1,00 | Weibull-3p |
| 2113 | Çsc2 | 9,00 | 2,47 | 1,57 | 1,00 | 3,42 | 1,41 | 1,19 | 1,38 | 2,09 | Johnson SB |
| 2114 | Çsc2 | 1,70 | 1,00 | 3,33 | 1,47 | 1,60 | 9,00 | 1,94 | 1,79 | 2,48 | Gamma-2p |
| 2115 | Çsc2 | 6,40 | 5,43 | 3,01 | 4,17 | 9,00 | 2,98 | 3,89 | 3,85 | 1,00 | Weibull-3p |
| 2116 | Çsc2 | 1,20 | 6,19 | 1,41 | 1,00 | 9,00 | 1,28 | 1,31 | 1,16 | 1,76 | Johnson SB |

Tablo 4.15.'in devamı

| Örnek Alan No | Meşçere Tipi | Olasılık Yoğunluk Fonksiyonları | | | | | | | | | En Başarılı Dağılım |
|---------------|--------------|---------------------------------|----------|----------|------------|--------------|--------------|--------|------------|------------|---------------------|
| | | Beta | Gamma-2p | Gamma-3p | Johnson SB | Lognormal-2p | Lognormal-3p | Normal | Weibull-2p | Weibull-3p | |
| 2117 | Çsc2 | 1,17 | 2,07 | 9,00 | 1,08 | 1,54 | 1,24 | 2,71 | 2,56 | 1,00 | Weibull-3p |
| 2118 | Çsc2 | 1,41 | 7,03 | 4,53 | 1,00 | 8,00 | 4,54 | 4,43 | 3,65 | Çözümsüz | Johnson SB |
| 2119 | Çsc2 | 2,85 | 7,76 | 9,00 | 1,00 | 7,51 | 6,00 | 5,69 | 4,60 | 8,23 | Johnson SB |
| 2120 | Çsc2 | 1,00 | 1,31 | 6,33 | 1,30 | 2,45 | 9,00 | 2,36 | 2,28 | 2,44 | Beta |
| 2121 | Çsc2 | 1,74 | 9,00 | 7,80 | 1,00 | 8,75 | 7,84 | 7,57 | 5,71 | 6,09 | Johnson SB |
| 2122 | Çsc2 | 6,16 | 7,01 | 3,57 | 2,37 | 9,00 | 2,87 | 1,14 | 1,00 | 5,53 | Weibull-2p |
| 2123 | Çsc2 | 1,00 | 3,85 | 9,00 | 1,06 | 4,34 | 7,33 | 4,10 | 3,78 | 3,12 | Beta |
| 2124 | Çsc2 | 1,41 | 4,99 | 5,25 | 1,00 | 5,01 | 9,00 | 4,14 | 3,66 | 4,29 | Johnson SB |
| 2125 | Çsc2 | 1,00 | 7,17 | 9,00 | 2,45 | 7,95 | 6,77 | 7,37 | 6,79 | 4,62 | Beta |
| 2126 | Çsc2 | 7,62 | 4,28 | 1,53 | 2,46 | 9,00 | 1,41 | 1,00 | 1,35 | 3,66 | Normal |
| 2127 | Çsc2 | 3,12 | 2,36 | 9,00 | 2,06 | 2,98 | 2,35 | 1,00 | 1,40 | 3,22 | Normal |
| 2128 | Çsc2 | 9,00 | 5,99 | 6,79 | 6,15 | 8,94 | 6,17 | 1,46 | 1,00 | 8,35 | Weibull-2p |
| 2129 | Çsc2 | 2,80 | 2,82 | 2,54 | 1,00 | 7,56 | 1,99 | 1,95 | 9,00 | 5,82 | Johnson SB |
| 2130 | Çsc2 | 7,31 | 5,22 | 5,95 | 2,41 | 3,07 | 1,00 | 9,00 | 8,26 | 5,23 | Lognormal-3p |
| 2131 | Çsc3 | 3,53 | 7,09 | 3,68 | 1,00 | 9,00 | 3,29 | 2,73 | 1,44 | 1,58 | Johnson SB |
| 2132 | Çsc3 | 3,21 | 1,75 | 9,00 | 1,13 | 2,58 | 2,23 | 1,03 | 1,00 | 3,95 | Weibull-2p |
| 2133 | Çsc3 | 6,70 | 6,72 | 2,73 | 2,49 | 9,00 | 2,45 | 1,88 | 1,00 | 2,22 | Weibull-2p |
| 2134 | Çsc3 | 1,72 | 2,95 | 3,13 | 1,42 | 9,00 | 2,45 | 2,03 | 5,62 | 1,00 | Weibull-3p |
| 2135 | Çsc3 | 7,50 | 7,87 | 3,15 | 1,77 | 9,00 | 2,26 | 1,33 | 1,00 | 2,29 | Weibull-2p |
| 2136 | Çsc3 | 1,49 | 1,02 | 9,00 | 1,00 | 1,18 | 1,88 | 1,01 | 1,22 | 7,18 | Johnson SB |
| 2137 | Çsc3 | 5,56 | 5,12 | 1,22 | 2,74 | 4,01 | 3,09 | 9,00 | 7,85 | 1,00 | Weibull-3p |
| 2138 | Çsc3 | 8,00 | 2,46 | 2,71 | Çözümsüz | 3,93 | 2,37 | 1,00 | 1,06 | 3,51 | Normal |
| 2139 | Çsc3 | 9,00 | 4,56 | 3,86 | 1,00 | 5,03 | 5,29 | 3,37 | 3,21 | 4,72 | Johnson SB |
| 2140 | Çsc3 | 9,00 | 1,73 | 1,13 | 1,78 | 1,32 | 1,00 | 2,23 | 4,76 | 2,10 | Lognormal-3p |
| 2141 | Çsc3 | 3,26 | 7,88 | 8,20 | 1,00 | 6,94 | 8,67 | 9,00 | 8,95 | 6,92 | Johnson SB |
| 2142 | Çsc3 | 3,54 | 1,34 | 1,71 | 9,00 | 5,29 | 1,70 | 1,00 | 6,04 | 1,63 | Normal |
| 2143 | Çsc3 | 6,42 | 7,64 | 5,53 | 1,00 | 9,00 | 5,21 | 4,61 | 2,22 | 3,35 | Johnson SB |
| 2144 | Çsc3 | 2,68 | 2,16 | 2,32 | 2,79 | 1,00 | 1,98 | 4,77 | 9,00 | 5,53 | Lognormal-2p |
| 2145 | Çsc3 | 1,00 | 2,20 | 5,07 | 1,12 | 2,58 | 9,00 | 2,38 | 2,15 | 2,18 | Beta |
| 2146 | Çsc3 | 1,21 | 1,82 | 6,08 | 1,52 | 2,26 | 9,00 | 1,00 | 1,28 | 4,04 | Normal |
| 2147 | Çsc3 | 8,00 | 2,01 | 2,19 | Çözümsüz | 2,57 | 2,32 | 1,61 | 1,00 | 1,62 | Weibull-2p |
| 2148 | Çsc3 | 1,04 | 1,62 | 3,64 | 1,00 | 2,10 | 9,00 | 1,30 | 1,26 | 2,66 | Johnson SB |
| 2149 | Çsc3 | 1,00 | 7,10 | 7,90 | 3,64 | 7,54 | 7,96 | 8,44 | 9,00 | 6,39 | Beta |
| 2150 | Çsc3 | 2,34 | 3,16 | 2,80 | 1,00 | 1,47 | 1,71 | 6,27 | 9,00 | 8,28 | Johnson SB |
| 2151 | Çsc3 | 1,00 | 3,41 | 1,89 | Çözümsüz | 8,00 | 1,63 | 1,32 | 2,83 | 1,60 | Beta |
| 2152 | Çsc3 | 5,72 | 7,54 | 4,49 | 2,26 | 9,00 | 4,04 | 3,62 | 1,00 | 1,55 | Weibull-2p |
| 2153 | Çsc3 | 1,82 | 3,31 | 3,12 | Çözümsüz | 1,00 | 3,63 | 8,00 | 7,93 | 1,82 | Lognormal-2p |
| 2154 | Çsc3 | 1,00 | 2,51 | 1,75 | Çözümsüz | 8,00 | 1,37 | 1,35 | 6,73 | 4,16 | Beta |
| 2155 | Çsc3 | 9,00 | 5,68 | 3,08 | 1,77 | 6,11 | 3,04 | 2,39 | 1,00 | 1,07 | Weibull-2p |
| 2156 | Çsc3 | 1,87 | 4,31 | 2,00 | 1,00 | 3,41 | 1,54 | 6,22 | 9,00 | 3,27 | Johnson SB |
| 2157 | Çsc3 | 6,94 | 3,49 | 3,30 | 1,00 | 4,18 | 4,01 | 7,39 | 9,00 | 1,37 | Johnson SB |
| 2158 | Çsc3 | 5,77 | 1,37 | 7,65 | 1,00 | 1,12 | 9,00 | 2,09 | 2,13 | 1,64 | Johnson SB |
| 2159 | Çsc3 | 9,00 | 2,41 | 2,81 | 2,55 | 3,19 | 2,59 | 1,00 | 1,47 | 3,04 | Normal |
| 2160 | Çsc3 | 9,00 | 1,14 | 1,34 | 1,17 | 2,09 | 1,01 | 1,00 | 1,50 | 2,13 | Normal |
| 2161 | Çscd1 | 1,00 | 9,00 | 5,87 | 1,49 | 7,35 | 7,17 | 6,76 | 5,86 | 5,99 | Beta |
| 2162 | Çscd1 | 2,61 | 9,00 | 7,46 | 1,00 | 7,70 | 8,34 | 7,90 | 6,87 | 7,26 | Johnson SB |
| 2163 | Çscd1 | 8,99 | 6,60 | 1,00 | 4,76 | 4,52 | 8,26 | 9,00 | 7,18 | 1,33 | Gamma-3p |
| 2164 | Çscd1 | 1,00 | 6,09 | 9,00 | 1,23 | 5,98 | 4,26 | 5,89 | 5,12 | 3,97 | Beta |
| 2165 | Çscd1 | 3,56 | 2,24 | 1,16 | 1,02 | 1,00 | 9,00 | 4,27 | 3,48 | 1,26 | Lognormal-2p |
| 2166 | Çscd1 | 2,85 | 1,16 | 4,20 | 1,27 | 1,00 | 9,00 | 1,62 | 2,51 | 6,90 | Lognormal-2p |
| 2167 | Çscd1 | 1,00 | 3,88 | 7,59 | 4,82 | 8,03 | 9,00 | 3,57 | 5,54 | 3,82 | Beta |
| 2168 | Çscd1 | 1,00 | 4,02 | 4,77 | 1,44 | 3,77 | 9,00 | 2,99 | 3,12 | 1,64 | Beta |
| 2169 | Çscd1 | 4,96 | 4,80 | 9,00 | 2,77 | 6,91 | 3,82 | 1,00 | 2,10 | 2,83 | Normal |
| 2170 | Çscd1 | 1,00 | 8,99 | 8,04 | 1,87 | 9,00 | 7,78 | 7,53 | 7,42 | 7,48 | Beta |
| 2171 | Çscd1 | 9,00 | 4,84 | 2,49 | 1,00 | 7,19 | 2,53 | 2,07 | 1,90 | 3,44 | Johnson SB |
| 2172 | Çscd1 | 1,38 | 4,44 | 9,00 | 1,00 | 5,77 | 1,97 | 7,64 | 6,71 | 1,70 | Johnson SB |
| 2173 | Çscd1 | 1,69 | 1,52 | 2,94 | 1,00 | 1,93 | 9,00 | 1,73 | 1,54 | 4,05 | Johnson SB |
| 2174 | Çscd1 | 9,00 | 4,35 | 2,99 | 1,00 | 4,52 | 2,62 | 1,59 | 1,85 | 3,91 | Johnson SB |

Tablo 4.15.'in devamı

| Örnek Alan No | Mesçere Tipi | Olasılık Yoğunluk Fonksiyonları | | | | | | | | | En Başarılı Dağılım |
|---------------|--------------|---------------------------------|----------|----------|------------|--------------|--------------|--------|------------|------------|---------------------|
| | | Beta | Gamma-2p | Gamma-3p | Johnson SB | Lognormal-2p | Lognormal-3p | Normal | Weibull-2p | Weibull-3p | |
| 2175 | Çscd1 | 3,39 | 2,73 | 1,99 | 1,78 | 1,16 | 9,00 | 4,13 | 2,91 | 1,00 | Weibull-3p |
| 2176 | Çscd1 | 1,47 | 9,00 | 5,91 | 1,00 | 6,77 | 6,07 | 5,79 | 1,98 | 5,84 | Johnson SB |
| 2177 | Çscd1 | 9,00 | 1,49 | 1,08 | 1,84 | 5,29 | 1,00 | 1,41 | 2,56 | 3,37 | Lognormal-3p |
| 2178 | Çscd1 | 9,00 | 5,11 | 2,36 | 1,66 | 7,72 | 2,21 | 1,86 | 4,24 | 1,00 | Weibull-3p |
| 2179 | Çscd1 | 1,02 | 2,02 | 5,53 | 1,00 | 2,43 | 9,00 | 1,56 | 1,53 | 3,83 | Johnson SB |
| 2180 | Çscd1 | 5,39 | 6,64 | 2,69 | 3,58 | 9,00 | 2,37 | 2,07 | 3,24 | 1,00 | Weibull-3p |
| 2181 | Çscd1 | 7,87 | 4,42 | 6,35 | 1,00 | 6,75 | 7,06 | 6,67 | 9,00 | 3,81 | Johnson SB |
| 2182 | Çscd1 | 3,74 | 1,70 | 1,76 | 2,58 | 1,00 | 1,03 | 9,00 | 5,58 | 3,94 | Lognormal-2p |
| 2183 | Çscd1 | 2,74 | 9,00 | 6,20 | 1,00 | 7,89 | 5,92 | 3,74 | 3,89 | 5,90 | Johnson SB |
| 2184 | Çscd1 | 9,00 | 1,42 | 1,82 | 2,42 | 1,00 | 1,23 | 1,32 | 1,56 | 3,23 | Lognormal-2p |
| 2185 | Çscd1 | 2,92 | 1,35 | 9,00 | 1,18 | 2,06 | 2,11 | 1,49 | 1,00 | 1,82 | Weibull-2p |
| 2186 | Çscd1 | 2,87 | 3,77 | 9,00 | 1,00 | 4,44 | 1,83 | 1,25 | 1,41 | 3,92 | Johnson SB |
| 2187 | Çscd1 | 3,96 | 5,96 | 4,56 | 1,00 | 8,00 | 4,01 | 3,86 | 5,24 | Çözümsüz | Johnson SB |
| 2188 | Çscd1 | 1,00 | 8,00 | 5,53 | 2,59 | 7,22 | 5,56 | 5,29 | 3,74 | Çözümsüz | Beta |
| 2189 | Çscd1 | 3,88 | 7,35 | 8,53 | 1,00 | 6,98 | 7,29 | 9,00 | 7,54 | 2,66 | Johnson SB |
| 2190 | Çscd2 | 6,13 | 3,02 | 9,00 | 1,80 | 4,77 | 1,31 | 1,47 | 1,00 | 2,46 | Weibull-2p |
| 2191 | Çscd2 | 1,93 | 5,32 | 6,62 | 7,43 | 7,80 | 7,00 | 5,25 | 9,00 | 1,00 | Weibull-3p |
| 2192 | Çscd2 | 1,07 | 1,35 | 9,00 | 1,43 | 1,07 | 1,00 | 2,24 | 1,59 | 2,51 | Lognormal-3p |
| 2193 | Çscd2 | 2,31 | 3,80 | 4,97 | 1,00 | 4,14 | 9,00 | 6,50 | 5,22 | 2,16 | Johnson SB |
| 2194 | Çscd2 | 2,77 | 2,09 | 4,57 | 1,00 | 1,90 | 1,22 | 2,71 | 3,19 | 9,00 | Johnson SB |
| 2195 | Çscd2 | 3,49 | 8,56 | 6,18 | 1,00 | 9,00 | 6,38 | 5,97 | 4,83 | 5,59 | Johnson SB |
| 2196 | Çscd2 | 7,37 | 6,75 | 5,91 | 1,00 | 7,98 | 6,45 | 8,66 | 9,00 | 5,46 | Johnson SB |
| 2197 | Çscd2 | Çözümsüz | 4,60 | 2,42 | 8,00 | 1,32 | 1,00 | 6,93 | 1,59 | 6,45 | Lognormal-3p |
| 2198 | Çscd2 | 1,05 | 4,64 | 3,14 | Çözümsüz | 8,00 | 2,59 | 2,07 | 1,71 | 1,00 | Weibull-3p |
| 2199 | Çscd2 | 1,00 | 7,22 | 6,90 | 3,01 | 8,00 | 6,75 | 6,68 | 4,74 | Çözümsüz | Beta |
| 2200 | Çscd2 | 1,00 | 7,91 | 3,51 | 6,00 | 8,00 | 3,48 | 3,22 | 3,12 | Çözümsüz | Beta |
| 2201 | Çscd2 | 4,68 | 3,34 | 2,96 | 2,83 | 4,86 | 9,00 | 1,00 | 2,47 | 2,13 | Normal |
| 2202 | Çscd2 | 9,00 | 1,80 | 1,76 | 1,00 | 1,61 | 1,80 | 1,94 | 2,65 | 1,99 | Johnson SB |
| 2203 | Çscd2 | 1,00 | 9,00 | 7,43 | 1,15 | 7,86 | 7,35 | 6,82 | 5,61 | 7,18 | Beta |
| 2204 | Çscd2 | 8,63 | 4,48 | 6,47 | 1,00 | 9,00 | 3,13 | 2,14 | 1,69 | 6,59 | Johnson SB |
| 2205 | Çscd2 | 2,60 | 8,00 | 6,16 | 1,00 | 7,34 | 6,07 | 5,80 | 3,99 | Çözümsüz | Johnson SB |
| 2206 | Çscd2 | 1,69 | 6,34 | 6,03 | 1,00 | 6,64 | 9,00 | 5,62 | 5,35 | 4,32 | Johnson SB |
| 2207 | Çscd2 | 9,00 | 2,72 | 3,04 | 1,30 | 3,19 | 7,44 | 2,57 | 2,69 | 1,00 | Weibull-3p |
| 2208 | Çscd2 | 8,06 | 2,19 | 5,00 | 1,70 | 1,00 | 5,38 | 9,00 | 8,02 | 6,42 | Lognormal-2p |
| 2209 | Çscd2 | 1,00 | 1,94 | 4,80 | 1,53 | 2,74 | 9,00 | 2,27 | 2,47 | 1,73 | Beta |
| 2210 | Çscd2 | 4,53 | 7,51 | 5,35 | 1,00 | 9,00 | 4,47 | 4,11 | 3,29 | 6,83 | Johnson SB |
| 2211 | Çscd2 | 5,68 | 6,19 | 1,64 | 2,41 | 9,00 | 1,71 | 1,30 | 2,86 | 1,00 | Weibull-3p |
| 2212 | Çscd2 | 1,00 | 3,13 | 1,75 | Çözümsüz | 8,00 | 1,56 | 1,41 | 3,96 | 3,44 | Beta |
| 2213 | Çscd2 | 9,00 | 4,53 | 1,84 | 1,00 | 5,10 | 1,79 | 1,48 | 1,91 | 1,67 | Johnson SB |
| 2214 | Çscd2 | 4,10 | 7,04 | 6,58 | 1,00 | 7,17 | 7,72 | 9,00 | 8,24 | 3,09 | Johnson SB |
| 2215 | Çscd2 | 9,00 | 3,90 | 1,48 | 1,15 | 5,79 | 1,27 | 1,05 | 1,55 | 1,00 | Weibull-3p |
| 2216 | Çscd2 | 1,00 | 3,71 | 9,00 | 1,87 | 3,76 | 3,24 | 3,06 | 2,35 | 4,25 | Beta |
| 2217 | Çscd2 | 9,00 | 2,79 | 1,27 | 1,48 | 4,31 | 1,17 | 1,00 | 1,50 | 1,35 | Normal |
| 2218 | Çscd2 | 1,00 | 9,00 | 6,23 | 1,59 | 7,91 | 7,66 | 7,34 | 6,52 | 7,98 | Beta |
| 2219 | Çscd2 | 9,00 | 2,28 | 1,61 | 1,43 | 3,47 | 1,47 | 1,00 | 1,61 | 2,47 | Normal |
| 2220 | Çscd3 | Çözümsüz | 5,99 | 1,59 | 1,74 | 3,30 | 1,00 | 8,00 | 7,86 | 3,19 | Lognormal-3p |
| 2221 | Çscd3 | 9,00 | 1,63 | 2,15 | 1,72 | 2,80 | 1,69 | 2,10 | 1,00 | 2,94 | Weibull-2p |
| 2222 | Çscd3 | 4,68 | 3,27 | 1,70 | 1,00 | 1,24 | 1,56 | 9,00 | 7,45 | 1,34 | Johnson SB |
| 2223 | Çscd3 | 1,60 | 1,45 | 6,42 | 1,00 | 1,65 | 9,00 | 1,42 | 1,50 | 2,37 | Johnson SB |
| 2224 | Çscd3 | 9,00 | 6,87 | 5,34 | 1,36 | 8,36 | 4,73 | 3,83 | 1,00 | 4,43 | Weibull-2p |
| 2225 | Çscd3 | 4,10 | 6,42 | 1,71 | 3,15 | 9,00 | 1,58 | 1,00 | 1,88 | 1,13 | Normal |
| 2226 | Çscd3 | 7,11 | 2,58 | 5,44 | 1,00 | 2,79 | 9,00 | 3,99 | 3,84 | 3,62 | Johnson SB |
| 2227 | Çscd3 | 9,00 | 2,32 | 2,81 | 1,02 | 2,17 | 8,01 | 3,31 | 3,07 | 1,00 | Weibull-3p |
| 2228 | Çscd3 | 9,00 | 5,40 | 2,54 | 7,09 | 1,00 | 1,52 | 6,87 | 4,71 | 4,64 | Lognormal-2p |
| 2229 | Çscd3 | 2,68 | 7,99 | 9,00 | 1,00 | 8,68 | 4,72 | 4,53 | 5,63 | 8,58 | Johnson SB |
| 2230 | Çscd3 | 1,84 | 3,25 | 9,00 | 1,00 | 3,62 | 2,29 | 2,23 | 1,96 | 2,60 | Johnson SB |
| 2231 | Çscd3 | 6,71 | 6,75 | 3,68 | 1,00 | 5,83 | 6,53 | 9,00 | 7,80 | 3,61 | Johnson SB |
| 2232 | Çscd3 | 1,46 | 7,47 | 2,21 | 1,76 | 9,00 | 2,02 | 1,52 | 1,53 | 1,00 | Weibull-3p |

Tablo 4.15.'in devamı

| Örnek Alan No | Mesçere Tipi | Olasılık Yoğunluk Fonksiyonları | | | | | | | | | En Başarılı Dağılım |
|---------------|--------------|---------------------------------|----------|----------|------------|--------------|--------------|--------|------------|------------|---------------------|
| | | Beta | Gamma-2p | Gamma-3p | Johnson SB | Lognormal-2p | Lognormal-3p | Normal | Weibull-2p | Weibull-3p | |
| 2233 | Çscd3 | 5,05 | 6,45 | 4,56 | 2,62 | 9,00 | 4,17 | 3,74 | 4,09 | 1,00 | Weibull-3p |
| 2234 | Çscd3 | 1,00 | 9,00 | 6,54 | 4,98 | 6,34 | 6,84 | 7,76 | 6,17 | 6,28 | Beta |
| 2235 | Çscd3 | 1,83 | 1,00 | 2,40 | 1,84 | 1,83 | 9,00 | 1,50 | 1,51 | 1,82 | Gamma-2p |
| 2236 | Çscd3 | 4,01 | 8,54 | 5,24 | 1,00 | 9,00 | 5,05 | 4,42 | 4,37 | 5,61 | Johnson SB |
| 2237 | Çscd3 | 4,31 | 4,55 | 4,50 | 1,00 | 6,34 | 4,14 | 9,00 | 7,78 | 7,17 | Johnson SB |
| 2238 | Çscd3 | 1,00 | 5,94 | 2,91 | 3,86 | 9,00 | 2,69 | 2,26 | 2,43 | 2,34 | Beta |
| 2239 | Çscd3 | 9,00 | 7,46 | 2,47 | 4,71 | 4,41 | 1,00 | 8,68 | 8,88 | 3,89 | Lognormal-3p |
| 2240 | Çscd3 | 6,85 | 9,00 | 5,96 | 1,00 | 7,56 | 3,86 | 3,69 | 2,07 | 4,73 | Johnson SB |
| 2241 | Çscd3 | 9,00 | 1,00 | 4,56 | 6,47 | 1,62 | 2,31 | 5,64 | 4,21 | 5,06 | Gamma-2p |
| 2242 | Çscd3 | 4,74 | 5,52 | 8,87 | 1,75 | 5,04 | 4,71 | 9,00 | 7,44 | 1,00 | Weibull-3p |
| 2243 | Çscd3 | 9,00 | 3,66 | 2,12 | 3,85 | 2,67 | 1,94 | 1,00 | 5,34 | 5,17 | Normal |
| 2244 | Çscd3 | 9,00 | 1,00 | 2,34 | 2,86 | 1,62 | 1,00 | 4,29 | 4,73 | 4,13 | Gamma-2p |
| 2245 | Çscd3 | 2,43 | 6,59 | 7,41 | 1,46 | 5,86 | 1,00 | 9,00 | 8,16 | 2,48 | Lognormal-3p |
| 2246 | Çscd3 | 9,00 | 3,50 | 1,88 | 3,80 | 1,67 | 1,00 | 6,69 | 8,81 | 3,71 | Lognormal-3p |
| 2247 | Çscd3 | 1,00 | 6,47 | 9,00 | 1,04 | 6,17 | 4,58 | 7,26 | 5,59 | 1,04 | Beta |
| 2248 | Çscd3 | 1,65 | 4,60 | 9,00 | 1,00 | 5,29 | 4,79 | 2,40 | 2,73 | 5,25 | Johnson SB |
| 2249 | Çscd3 | 9,00 | 5,89 | 3,51 | 2,47 | 7,13 | 2,84 | 2,13 | 1,00 | 1,41 | Weibull-2p |
| 2250 | Çsd1 | 5,87 | 4,76 | 4,30 | 1,00 | 8,00 | 3,80 | 3,24 | 4,66 | Çözümsüz | Johnson SB |
| 2251 | Çsd1 | 1,33 | 7,18 | 6,31 | 1,00 | 8,00 | 6,17 | 6,03 | 6,07 | Çözümsüz | Johnson SB |
| 2252 | Çsd1 | 9,00 | 1,00 | 3,69 | 3,34 | 1,24 | 3,11 | 1,74 | 7,41 | 4,41 | Gamma-2p |
| 2253 | Çsd1 | 5,83 | 8,22 | 9,00 | 1,00 | 8,17 | 7,23 | 6,24 | 5,87 | 6,10 | Johnson SB |
| 2254 | Çsd1 | 9,00 | 2,79 | 2,53 | 1,00 | 2,13 | 2,77 | 3,07 | 3,06 | 2,42 | Johnson SB |
| 2255 | Çsd1 | 9,00 | 6,77 | 2,95 | 1,00 | 8,76 | 2,66 | 2,24 | 4,38 | 2,00 | Johnson SB |
| 2256 | Çsd1 | 1,00 | 7,22 | 6,27 | 1,01 | 7,06 | 9,00 | 6,41 | 5,65 | 4,93 | Beta |
| 2257 | Çsd1 | 1,00 | 8,33 | 7,65 | 2,15 | 9,00 | 6,98 | 6,20 | 4,35 | 7,61 | Beta |
| 2258 | Çsd1 | 5,63 | 3,58 | 8,86 | 1,00 | 4,67 | 7,69 | 3,10 | 5,54 | 9,00 | Johnson SB |
| 2259 | Çsd1 | 4,48 | 6,59 | 2,81 | 1,00 | 6,23 | 3,43 | 7,50 | 9,00 | 3,19 | Johnson SB |
| 2260 | Çsd1 | 9,00 | 7,01 | 7,12 | 3,69 | 7,70 | 6,20 | 5,31 | 1,00 | 4,97 | Weibull-2p |
| 2261 | Çsd1 | 1,33 | 4,10 | 8,57 | 1,00 | 4,32 | 9,00 | 4,11 | 3,70 | 5,42 | Johnson SB |
| 2262 | Çsd1 | 1,00 | 7,99 | 7,80 | 2,04 | 8,00 | 7,83 | 7,76 | 6,66 | Çözümsüz | Beta |
| 2263 | Çsd1 | 2,54 | 8,00 | 2,89 | Çözümsüz | 6,99 | 1,31 | 6,81 | 5,43 | 1,00 | Weibull-3p |
| 2264 | Çsd1 | 1,00 | 7,74 | 4,86 | 2,55 | 7,17 | 3,10 | 9,00 | 7,54 | 1,37 | Beta |
| 2265 | Çsd1 | 1,00 | 9,00 | 4,66 | 1,32 | 8,15 | 6,99 | 8,83 | 7,77 | 3,86 | Beta |
| 2266 | Çsd1 | 2,45 | 4,54 | 3,82 | 1,00 | 8,00 | 3,25 | 3,16 | 5,11 | Çözümsüz | Johnson SB |
| 2267 | Çsd1 | 8,94 | 3,96 | 2,26 | 1,00 | 3,62 | 2,86 | 4,68 | 9,00 | 1,97 | Johnson SB |
| 2268 | Çsd1 | 2,24 | 4,62 | 9,00 | 1,00 | 4,67 | 4,45 | 4,33 | 3,24 | 5,38 | Johnson SB |
| 2269 | Çsd1 | 4,85 | 6,57 | 5,66 | 1,00 | 8,00 | 5,41 | 5,18 | 5,42 | Çözümsüz | Johnson SB |
| 2270 | Çsd1 | 1,00 | 6,87 | 6,33 | Çözümsüz | 7,00 | 6,16 | 6,06 | 2,02 | Çözümsüz | Beta |
| 2271 | Çsd1 | 9,00 | 2,57 | 2,14 | 2,93 | 4,73 | 1,87 | 1,66 | 1,00 | 1,50 | Weibull-2p |
| 2272 | Çsd1 | 9,00 | 1,28 | 1,01 | 1,05 | 1,49 | 1,04 | 1,00 | 1,20 | 1,85 | Normal |
| 2273 | Çsd1 | 8,07 | 7,21 | 2,91 | 1,05 | 9,00 | 2,29 | 1,70 | 1,00 | 2,31 | Weibull-2p |
| 2274 | Çsd2 | 9,00 | 1,00 | 2,90 | 2,10 | 1,62 | 2,46 | 1,92 | 4,73 | 3,73 | Gamma-2p |
| 2275 | Çsd2 | 8,00 | 1,29 | 2,02 | Çözümsüz | 4,73 | 1,53 | 1,23 | 4,26 | 1,00 | Weibull-3p |
| 2276 | Çsd2 | 1,83 | 1,41 | 1,91 | 2,41 | 1,10 | 1,00 | 9,00 | 1,61 | 2,12 | Lognormal-3p |
| 2277 | Çsd2 | 2,99 | 4,50 | 2,05 | 1,00 | 8,00 | 2,09 | 1,39 | 2,40 | Çözümsüz | Johnson SB |
| 2278 | Çsd2 | 3,59 | 6,56 | 4,86 | 1,88 | 9,00 | 4,14 | 3,73 | 2,53 | 1,00 | Weibull-3p |
| 2279 | Çsd2 | 2,86 | 8,00 | 6,26 | 1,00 | 7,51 | 5,86 | 5,69 | 5,37 | Çözümsüz | Johnson SB |
| 2280 | Çsd2 | 2,99 | 3,23 | 2,19 | 2,45 | 8,00 | 1,64 | 1,00 | 4,10 | Çözümsüz | Normal |
| 2281 | Çsd2 | 2,19 | 5,36 | 2,28 | 8,00 | 7,45 | 1,41 | 1,29 | 1,00 | Çözümsüz | Weibull-2p |
| 2282 | Çsd2 | 8,00 | 1,12 | 1,65 | Çözümsüz | 3,58 | 1,36 | 1,00 | 2,78 | 1,19 | Normal |
| 2283 | Çsd2 | 1,74 | 8,07 | 8,09 | 1,00 | 8,13 | 8,16 | 7,71 | 9,00 | 8,28 | Johnson SB |
| 2284 | Çsd2 | 1,00 | 7,69 | 9,00 | 7,23 | 7,17 | 3,92 | 3,43 | 3,90 | 7,31 | Beta |
| 2285 | Çsd2 | 7,94 | 3,32 | 4,68 | 1,00 | 5,58 | 4,11 | 9,00 | 7,94 | 3,72 | Johnson SB |
| 2286 | Çsd2 | 9,00 | 3,01 | 2,00 | 1,18 | 4,56 | 1,80 | 1,00 | 1,14 | 2,35 | Normal |
| 2287 | Çsd2 | 9,00 | 1,00 | 3,24 | 4,01 | 2,82 | 2,22 | 5,34 | 3,19 | 4,01 | Gamma-2p |
| 2288 | Çsd2 | 1,00 | 3,88 | 9,00 | 1,76 | 4,13 | 3,86 | 2,17 | 2,31 | 3,22 | Beta |
| 2289 | Çsd2 | 4,78 | 3,89 | 6,93 | 1,00 | 7,07 | 4,34 | 1,09 | 3,07 | 9,00 | Johnson SB |
| 2290 | Çsd2 | 4,95 | 2,16 | 9,00 | 3,98 | 1,00 | 1,73 | 8,88 | 5,07 | 3,59 | Lognormal-2p |

Tablo 4.15.'in devamı

| Örnek Alan No | Meşçere Tipi | Olasılık Yoğunluk Fonksiyonları | | | | | | | | | En Başarılı Dağılım |
|---------------|--------------|---------------------------------|----------|----------|------------|--------------|--------------|--------|------------|------------|---------------------|
| | | Beta | Gamma-2p | Gamma-3p | Johnson SB | Lognormal-2p | Lognormal-3p | Normal | Weibull-2p | Weibull-3p | |
| 2291 | Çsd2 | 1,00 | 9,00 | 7,85 | 2,70 | 7,11 | 7,62 | 6,54 | 5,43 | 5,54 | Beta |
| 2292 | Çsd2 | 2,84 | 7,15 | 7,02 | 1,00 | 8,78 | 6,75 | 9,00 | 7,96 | 6,77 | Johnson SB |
| 2293 | Çsd2 | 2,17 | 7,66 | 3,23 | 1,00 | 8,00 | 2,73 | 2,18 | 2,09 | Çözümsüz | Johnson SB |
| 2294 | Çsd2 | 4,53 | 3,78 | 3,25 | 1,00 | 8,00 | 2,53 | 2,33 | 6,70 | Çözümsüz | Johnson SB |
| 2295 | Çsd2 | 1,00 | 2,84 | 9,00 | 1,87 | 2,67 | 1,93 | 1,70 | 1,22 | 2,41 | Beta |
| 2296 | Çsd2 | 4,14 | 6,64 | 4,97 | 1,00 | 8,00 | 4,42 | 4,37 | 5,28 | Çözümsüz | Johnson SB |
| 2297 | Çsd2 | 3,73 | 7,89 | 4,71 | 1,00 | 9,00 | 4,49 | 4,28 | 4,14 | 2,55 | Johnson SB |
| 2298 | Çsd2 | 4,83 | 9,00 | 2,00 | 6,99 | 5,63 | 2,45 | 2,46 | 1,00 | 4,81 | Weibull-2p |
| 2299 | Çsd2 | 3,67 | 3,84 | 2,02 | 1,00 | 3,34 | 9,00 | 6,47 | 5,50 | 5,52 | Johnson SB |
| 2300 | Çsd2 | 9,00 | 2,95 | 2,10 | 1,48 | 4,11 | 1,34 | 1,00 | 1,17 | 1,56 | Normal |
| 2301 | Çsd2 | 2,09 | 7,09 | 3,56 | 1,00 | 9,00 | 2,94 | 2,61 | 3,38 | 1,40 | Johnson SB |
| 2302 | Çsd2 | 1,14 | 9,00 | 6,94 | 1,00 | 6,30 | 7,18 | 7,10 | 3,92 | 5,67 | Johnson SB |
| 2303 | Çsd2 | 1,97 | 2,01 | 2,33 | 1,43 | 2,01 | 9,00 | 1,28 | 1,00 | 2,20 | Weibull-2p |
| 2304 | Çsd3 | 5,60 | 4,55 | 1,89 | 2,04 | 3,80 | 1,00 | 5,86 | 9,00 | 1,92 | Lognormal-3p |
| 2305 | Çsd3 | 7,23 | 6,44 | 3,20 | 2,32 | 9,00 | 2,86 | 2,47 | 5,04 | 1,00 | Weibull-3p |
| 2306 | Çsd3 | 2,46 | 7,15 | 5,40 | 2,07 | 9,00 | 5,09 | 4,49 | 3,94 | 1,00 | Weibull-3p |
| 2307 | Çsd3 | Çözümsüz | 5,51 | 3,82 | 1,00 | 8,00 | 3,17 | 2,79 | 4,04 | 6,42 | Johnson SB |
| 2308 | Çsd3 | 1,83 | 8,00 | 3,03 | 1,00 | 7,69 | 2,59 | 2,30 | 1,79 | Çözümsüz | Johnson SB |
| 2309 | Çsd3 | 9,00 | 3,26 | 1,66 | 1,16 | 4,69 | 1,49 | 1,00 | 1,50 | 2,05 | Normal |
| 2310 | Çsd3 | 2,10 | 3,48 | 3,70 | 1,00 | 3,37 | 9,00 | 2,86 | 2,66 | 1,89 | Johnson SB |
| 2311 | Çsd3 | 8,00 | 1,04 | 1,35 | Çözümsüz | 3,19 | 1,00 | 1,21 | 4,46 | 3,16 | Lognormal-3p |
| 2312 | Çsd3 | 4,62 | 8,00 | 6,41 | 1,00 | 7,69 | 6,23 | 5,96 | 5,38 | Çözümsüz | Johnson SB |
| 2313 | Çsd3 | 3,26 | 7,32 | 5,50 | 1,00 | 9,00 | 4,74 | 4,36 | 4,04 | 1,05 | Johnson SB |
| 2314 | Çsd3 | 1,16 | 8,32 | 9,00 | 1,00 | 8,21 | 5,08 | 4,57 | 4,89 | 7,10 | Johnson SB |
| 2315 | Çsd3 | 6,72 | 9,00 | 6,62 | 1,00 | 8,44 | 5,23 | 1,57 | 2,99 | 8,53 | Johnson SB |
| 2316 | Çsd3 | 4,20 | 5,13 | 1,80 | 1,00 | 3,09 | 2,34 | 9,00 | 7,42 | 2,10 | Johnson SB |
| 2317 | Çsd3 | 3,57 | 6,36 | 3,03 | 1,11 | 9,00 | 3,08 | 2,25 | 1,29 | 1,00 | Weibull-3p |
| 2318 | Çsd3 | 2,48 | 6,72 | 4,92 | 1,00 | 8,00 | 4,90 | 4,72 | 3,79 | Çözümsüz | Johnson SB |
| 2319 | Çsd3 | 3,57 | 7,30 | 2,36 | 1,21 | 9,00 | 1,43 | 1,00 | 2,37 | 4,05 | Normal |
| 2320 | Çsd3 | 1,38 | 3,21 | 1,54 | Çözümsüz | 8,00 | 1,41 | 1,00 | 3,32 | 3,06 | Normal |
| 2321 | Çsd3 | 2,37 | 5,12 | 9,00 | 1,00 | 5,05 | 3,36 | 2,92 | 2,65 | 4,64 | Johnson SB |
| 2322 | Çsd3 | 2,67 | 4,73 | 2,72 | Çözümsüz | 8,00 | 2,64 | 1,00 | 3,13 | 4,30 | Normal |
| 2323 | Çsd3 | 3,04 | 8,31 | 4,36 | 1,00 | 9,00 | 3,93 | 3,21 | 2,91 | 4,65 | Johnson SB |
| 2324 | Çsd3 | 8,80 | 5,84 | 2,44 | 1,00 | 9,00 | 2,55 | 2,90 | 1,08 | 2,08 | Johnson SB |

Tablo 4.16. *Olasılık yoğunluk fonksiyonlarının hata indeksine göre rölatif sıralamaları (III. Bonitet)*

| Örnek Alan No | Meşçere Tipi | Olasılık Yoğunluk Fonksiyonları | | | | | | | | | En Başarılı Dağılım |
|---------------|--------------|---------------------------------|----------|----------|------------|--------------|--------------|--------|------------|------------|---------------------|
| | | Beta | Gamma-2p | Gamma-3p | Johnson SB | Lognormal-2p | Lognormal-3p | Normal | Weibull-2p | Weibull-3p | |
| 3001 | Çsb2 | 7,02 | 9,00 | 8,16 | 1,00 | 8,97 | 8,13 | 7,84 | 6,74 | 6,23 | Johnson SB |
| 3002 | Çsb2 | 5,65 | 2,95 | 4,64 | 1,00 | 3,02 | 9,00 | 2,91 | 2,56 | 2,27 | Johnson SB |
| 3003 | Çsb2 | 1,80 | 6,39 | 4,86 | 1,00 | 5,45 | 5,37 | 7,29 | 9,00 | 1,57 | Johnson SB |
| 3004 | Çsb2 | 3,48 | 1,11 | 9,00 | 1,53 | 1,00 | 8,41 | 1,80 | 1,97 | 4,40 | Lognormal-2p |
| 3005 | Çsb2 | 3,41 | 1,00 | 5,59 | Çözümsüz | 2,09 | 5,13 | 1,12 | 8,00 | 5,67 | Gamma-2p |
| 3006 | Çsb2 | 2,65 | 1,50 | 9,00 | 1,43 | 1,87 | 1,88 | 1,02 | 1,00 | 8,37 | Weibull-2p |
| 3007 | Çsb2 | 9,00 | 2,28 | 1,26 | 2,15 | 1,22 | 1,00 | 4,00 | 6,10 | 2,14 | Lognormal-3p |
| 3008 | Çsb2 | 3,48 | 4,55 | 9,00 | 1,00 | 3,46 | 4,00 | 6,14 | 8,95 | 1,90 | Johnson SB |
| 3009 | Çsb2 | 7,30 | 1,36 | 9,00 | 1,91 | 1,65 | 6,75 | 1,00 | 1,65 | 5,81 | Normal |
| 3010 | Çsb3 | 5,01 | 1,32 | 4,97 | Çözümsüz | 1,00 | 8,00 | 1,75 | 4,11 | 2,70 | Lognormal-2p |
| 3011 | Çsb3 | 7,28 | 2,97 | 9,00 | 1,00 | 2,81 | 5,51 | 4,29 | 5,51 | 4,40 | Johnson SB |
| 3012 | Çsb3 | 2,45 | 1,00 | 3,23 | 1,06 | 1,05 | 9,00 | 1,51 | 1,79 | 3,48 | Gamma-2p |
| 3013 | Çsb3 | 2,57 | 3,11 | 6,45 | 1,00 | 3,10 | 9,00 | 3,51 | 2,91 | 4,43 | Johnson SB |
| 3014 | Çsb3 | 4,89 | 3,45 | 6,87 | 1,00 | 3,73 | 9,00 | 4,24 | 4,72 | 2,69 | Johnson SB |
| 3015 | Çsb3 | 2,71 | 3,05 | 9,00 | 1,00 | 2,94 | 8,37 | 4,16 | 4,27 | 1,90 | Johnson SB |
| 3016 | Çsb3 | 2,85 | 2,10 | 9,00 | 1,00 | 2,52 | 6,91 | 2,73 | 3,12 | 7,01 | Johnson SB |
| 3017 | Çsb3 | 8,89 | 1,32 | 9,00 | 2,23 | 1,00 | 8,77 | 2,10 | 2,95 | 4,45 | Lognormal-2p |
| 3018 | Çsb3 | 2,23 | 1,17 | 9,00 | 1,00 | 1,16 | 6,35 | 1,79 | 1,93 | 3,24 | Johnson SB |
| 3019 | Çsb3 | 3,95 | 1,46 | 7,97 | Çözümsüz | 1,71 | 8,00 | 1,00 | 1,14 | 7,71 | Normal |
| 3020 | Çsb3 | 3,19 | 1,11 | 6,94 | 1,80 | 1,00 | 9,00 | 1,52 | 1,75 | 3,94 | Lognormal-2p |
| 3021 | Çsb3 | 1,00 | 1,56 | 9,00 | 1,34 | 1,75 | 6,60 | 1,30 | 1,11 | 2,63 | Beta |
| 3022 | Çsb3 | 2,27 | 3,69 | 2,84 | 1,00 | 3,65 | 9,00 | 4,79 | 5,06 | 3,68 | Johnson SB |
| 3023 | Çsb3 | 8,40 | 3,61 | 2,95 | 1,00 | 4,28 | 9,00 | 5,28 | 5,64 | 3,95 | Johnson SB |
| 3024 | Çsb3 | 7,42 | 3,06 | 7,45 | 1,00 | 3,26 | 9,00 | 4,04 | 4,41 | 2,89 | Johnson SB |
| 3025 | Çsb3 | 3,07 | 1,10 | 4,90 | 1,00 | 1,56 | 9,00 | 2,18 | 2,64 | 1,67 | Johnson SB |
| 3026 | Çsb3 | 4,33 | 1,23 | 9,00 | 2,32 | 1,00 | 8,03 | 1,78 | 2,84 | 4,32 | Lognormal-2p |
| 3027 | Çsb3 | 4,16 | 1,57 | 6,85 | 1,17 | 1,00 | 1,38 | 1,97 | 2,50 | 9,00 | Lognormal-2p |
| 3028 | Çsb3 | 2,58 | 1,66 | 4,86 | 1,00 | 1,61 | 9,00 | 2,01 | 1,57 | 4,79 | Johnson SB |
| 3029 | Çsb3 | 8,98 | 1,22 | 9,00 | 1,88 | 1,00 | 8,79 | 2,09 | 2,88 | 3,70 | Lognormal-2p |
| 3030 | Çsb3 | 2,86 | 1,35 | 7,81 | 1,51 | 1,00 | 9,00 | 2,06 | 2,49 | 4,89 | Lognormal-2p |
| 3031 | Çsb3 | 6,89 | 3,57 | 2,45 | 8,00 | 3,66 | 2,30 | 2,09 | 1,00 | Çözümsüz | Weibull-2p |
| 3032 | Çsb3 | 2,30 | 2,22 | 4,50 | 1,00 | 2,40 | 9,00 | 2,34 | 2,18 | 4,44 | Johnson SB |
| 3033 | Çsb3 | 3,22 | 3,06 | 9,00 | 1,00 | 2,96 | 6,37 | 4,37 | 4,36 | 2,76 | Johnson SB |
| 3034 | Çsb3 | 1,85 | 6,19 | 4,87 | 1,00 | 7,58 | 8,85 | 9,00 | 8,74 | 3,82 | Johnson SB |
| 3035 | Çsb3 | 9,00 | 1,21 | 1,30 | 1,49 | 1,00 | 1,30 | 1,98 | 2,99 | 1,55 | Lognormal-2p |
| 3036 | Çsb3 | 5,24 | 1,09 | 8,00 | Çözümsüz | 1,00 | 7,27 | 1,60 | 3,69 | 4,28 | Lognormal-2p |
| 3037 | Çsb3 | 4,84 | 7,83 | 6,70 | 1,00 | 8,00 | 6,23 | 5,87 | 2,86 | Çözümsüz | Johnson SB |
| 3038 | Çsb3 | 4,00 | 1,45 | 9,00 | 2,07 | 1,07 | 1,00 | 2,47 | 3,22 | 5,82 | Lognormal-3p |
| 3039 | Çsb3 | 9,00 | 2,04 | 2,05 | 1,00 | 2,96 | 2,82 | 3,48 | 5,81 | 2,35 | Johnson SB |
| 3040 | Çsbc1 | 2,94 | 2,16 | 9,00 | 1,71 | 1,55 | 1,00 | 2,96 | 3,25 | 6,87 | Lognormal-3p |
| 3041 | Çsbc1 | 1,85 | 3,08 | 5,19 | 1,00 | 2,98 | 9,00 | 2,82 | 2,46 | 3,14 | Johnson SB |
| 3042 | Çsbc1 | 1,16 | 4,08 | 1,42 | 1,13 | 9,00 | 1,29 | 1,14 | 7,10 | 1,00 | Weibull-3p |
| 3043 | Çsbc1 | 8,00 | 1,25 | 1,06 | Çözümsüz | 1,34 | 1,00 | 1,21 | 2,00 | 1,91 | Lognormal-3p |
| 3044 | Çsbc1 | 8,16 | 7,25 | 7,27 | 1,00 | 6,56 | 4,30 | 9,00 | 8,58 | 4,33 | Johnson SB |
| 3045 | Çsbc1 | 4,22 | 2,05 | 9,00 | 1,46 | 1,76 | 1,00 | 3,13 | 4,24 | 6,04 | Lognormal-3p |
| 3046 | Çsbc1 | 1,89 | 2,13 | 1,70 | 1,14 | 2,32 | 1,57 | 1,45 | 1,00 | 9,00 | Weibull-2p |
| 3047 | Çsbc1 | 2,13 | 9,00 | 5,66 | 1,00 | 8,38 | 5,14 | 4,65 | 1,71 | 2,87 | Johnson SB |
| 3048 | Çsbc1 | 1,97 | 1,00 | 9,00 | 1,71 | 1,19 | 1,37 | 1,08 | 1,24 | 3,16 | Gamma-2p |
| 3049 | Çsbc1 | 1,85 | 3,08 | 5,19 | 1,00 | 2,98 | 9,00 | 2,82 | 2,46 | 3,14 | Johnson SB |
| 3050 | Çsbc1 | 9,00 | 1,83 | 2,83 | 1,00 | 2,19 | 2,95 | 3,03 | 2,77 | 1,58 | Johnson SB |
| 3051 | Çsbc1 | 8,00 | 1,25 | 1,06 | Çözümsüz | 1,34 | 1,00 | 1,21 | 2,00 | 1,91 | Lognormal-3p |
| 3052 | Çsbc1 | 1,85 | 3,08 | 5,19 | 1,00 | 2,98 | 9,00 | 2,82 | 2,46 | 3,14 | Johnson SB |
| 3053 | Çsbc1 | 2,75 | 5,29 | 7,16 | 4,55 | 5,64 | 9,00 | 4,52 | 4,35 | 1,00 | Weibull-3p |
| 3054 | Çsbc1 | 9,00 | 4,66 | 3,60 | 2,27 | 5,32 | 3,33 | 1,70 | 1,00 | 3,97 | Weibull-2p |
| 3055 | Çsbc1 | 2,42 | 1,01 | 4,41 | 1,00 | 1,02 | 9,00 | 1,95 | 2,12 | 3,94 | Johnson SB |
| 3056 | Çsbc1 | 1,18 | 2,12 | 4,47 | 1,00 | 1,82 | 9,00 | 2,63 | 2,32 | 3,73 | Johnson SB |
| 3057 | Çsbc1 | 1,45 | 7,83 | 5,15 | 1,00 | 8,00 | 4,44 | 9,00 | 8,31 | 4,11 | Johnson SB |

Tablo 4.16.'nın devamı

| Örnek Alan No | Meşçere Tipi | Olasılık Yoğunluk Fonksiyonları | | | | | | | | | En Başarılı Dağılım |
|---------------|--------------|---------------------------------|----------|----------|------------|--------------|--------------|--------|------------|------------|---------------------|
| | | Beta | Gamma-2p | Gamma-3p | Johnson SB | Lognormal-2p | Lognormal-3p | Normal | Weibull-2p | Weibull-3p | |
| 3058 | Çsbc1 | 4,36 | 3,21 | 4,35 | 1,47 | 1,44 | 1,00 | 4,46 | 3,17 | 9,00 | Lognormal-3p |
| 3059 | Çsbc1 | 3,12 | 5,08 | 1,00 | 2,45 | 5,35 | 9,00 | 7,88 | 7,25 | 4,27 | Gamma-3p |
| 3060 | Çsbc1 | 2,07 | 1,52 | 5,22 | 1,00 | 1,67 | 9,00 | 2,29 | 2,43 | 5,58 | Johnson SB |
| 3061 | Çsbc1 | 9,00 | 1,21 | 1,15 | 1,27 | 1,47 | 1,00 | 2,36 | 2,69 | 2,03 | Lognormal-3p |
| 3062 | Çsbc1 | 7,84 | 4,17 | 6,36 | 1,00 | 4,43 | 9,00 | 4,96 | 4,66 | 3,93 | Johnson SB |
| 3063 | Çsbc1 | 2,07 | 1,52 | 5,22 | 1,00 | 1,67 | 9,00 | 2,29 | 2,43 | 5,58 | Johnson SB |
| 3064 | Çsbc1 | 3,12 | 5,08 | 1,00 | 2,45 | 5,35 | 9,00 | 7,88 | 7,25 | 4,27 | Gamma-3p |
| 3065 | Çsbc1 | 7,84 | 4,17 | 6,36 | 1,00 | 4,43 | 9,00 | 4,96 | 4,66 | 3,93 | Johnson SB |
| 3066 | Çsbc1 | 7,69 | 1,87 | 9,00 | 1,00 | 2,30 | 5,58 | 2,61 | 2,54 | 4,02 | Johnson SB |
| 3067 | Çsbc2 | 6,07 | 5,18 | 4,98 | 1,00 | 3,93 | 5,83 | 8,56 | 9,00 | 3,46 | Johnson SB |
| 3068 | Çsbc2 | 2,69 | 8,46 | 8,94 | 1,00 | 9,00 | 7,86 | 7,57 | 6,83 | 8,73 | Johnson SB |
| 3069 | Çsbc2 | 6,39 | 7,86 | 5,26 | 1,84 | 9,00 | 4,44 | 3,72 | 1,00 | 1,84 | Weibull-2p |
| 3070 | Çsbc2 | 1,79 | 1,80 | 9,00 | 1,00 | 1,92 | 6,09 | 1,67 | 1,54 | 5,37 | Johnson SB |
| 3071 | Çsbc2 | 1,81 | 2,44 | 2,24 | 1,00 | 2,52 | 9,00 | 2,73 | 2,63 | 2,86 | Johnson SB |
| 3072 | Çsbc2 | 3,76 | 2,13 | 8,94 | 1,00 | 2,07 | 9,00 | 3,15 | 2,67 | 5,30 | Johnson SB |
| 3073 | Çsbc2 | 3,16 | 1,74 | 9,00 | 1,04 | 1,41 | 1,00 | 2,62 | 3,49 | 6,31 | Lognormal-3p |
| 3074 | Çsbc2 | 6,65 | 7,31 | 4,89 | 1,00 | 8,00 | 4,52 | 4,23 | 4,74 | Çözümsüz | Johnson SB |
| 3075 | Çsbc2 | 1,60 | 6,22 | 5,32 | 1,00 | 5,23 | 6,61 | 9,00 | 8,35 | 5,30 | Johnson SB |
| 3076 | Çsbc2 | 2,30 | 3,59 | 9,00 | 1,00 | 3,88 | 6,42 | 3,95 | 3,63 | 2,45 | Johnson SB |
| 3077 | Çsbc2 | 8,86 | 8,05 | 5,36 | 1,00 | 9,00 | 4,85 | 4,41 | 3,12 | 3,51 | Johnson SB |
| 3078 | Çsbc2 | 2,31 | 3,01 | 6,06 | 1,47 | 3,57 | 9,00 | 1,00 | 1,42 | 2,99 | Normal |
| 3079 | Çsbc2 | 2,23 | 1,87 | 9,00 | 1,46 | 1,52 | 1,00 | 3,16 | 3,45 | 3,88 | Lognormal-3p |
| 3080 | Çsbc2 | 1,19 | 6,22 | 5,63 | 1,00 | 6,76 | 6,41 | 5,36 | 4,51 | 9,00 | Johnson SB |
| 3081 | Çsbc2 | 7,26 | 7,42 | 5,80 | 1,00 | 9,00 | 5,73 | 5,11 | 3,32 | 4,59 | Johnson SB |
| 3082 | Çsbc2 | 4,29 | 2,27 | 9,00 | 2,00 | 2,98 | 2,75 | 1,00 | 1,23 | 4,80 | Normal |
| 3083 | Çsbc2 | 1,10 | 2,66 | 7,98 | 1,00 | 3,23 | 9,00 | 1,93 | 1,85 | 3,92 | Johnson SB |
| 3084 | Çsbc2 | 8,00 | 1,45 | 1,13 | Çözümsüz | 1,98 | 1,09 | 1,00 | 1,27 | 1,43 | Normal |
| 3085 | Çsbc2 | 1,92 | 1,76 | 5,35 | 1,01 | 2,03 | 1,29 | 1,00 | 1,07 | 9,00 | Normal |
| 3086 | Çsbc2 | 9,00 | 1,99 | 1,00 | 1,11 | 2,11 | 6,36 | 3,64 | 3,67 | 7,69 | Gamma-3p |
| 3087 | Çsbc2 | 2,23 | 2,03 | 4,89 | 1,00 | 2,72 | 7,68 | 3,43 | 3,86 | 9,00 | Johnson SB |
| 3088 | Çsbc2 | 1,77 | 1,96 | 4,13 | 1,00 | 1,62 | 9,00 | 3,28 | 3,42 | 2,59 | Johnson SB |
| 3089 | Çsbc2 | 1,86 | 6,18 | 7,37 | 1,00 | 6,69 | 9,00 | 7,78 | 7,39 | 4,32 | Johnson SB |
| 3090 | Çsbc2 | 1,59 | 5,76 | 9,00 | 1,00 | 4,81 | 5,09 | 6,61 | 5,91 | 4,93 | Johnson SB |
| 3091 | Çsbc2 | 2,33 | 4,41 | 9,00 | 1,00 | 4,41 | 4,47 | 3,80 | 3,24 | 6,37 | Johnson SB |
| 3092 | Çsbc2 | 6,93 | 1,97 | 3,84 | 1,00 | 2,18 | 1,64 | 2,56 | 2,43 | 9,00 | Johnson SB |
| 3093 | Çsbc2 | 9,00 | 4,94 | 6,49 | 1,00 | 6,54 | 7,90 | 6,16 | 5,52 | 3,09 | Johnson SB |
| 3094 | Çsbc2 | 5,41 | 1,56 | 6,98 | 1,00 | 1,65 | 9,00 | 2,09 | 2,11 | 2,62 | Johnson SB |
| 3095 | Çsbc2 | 2,13 | 1,21 | 2,57 | 1,03 | 1,00 | 9,00 | 1,78 | 2,17 | 2,23 | Lognormal-2p |
| 3096 | Çsbc2 | 6,69 | 6,41 | 3,92 | 2,07 | 9,00 | 2,79 | 1,00 | 1,18 | 6,17 | Normal |
| 3097 | Çsbc3 | 1,42 | 1,00 | 9,00 | 1,12 | 1,56 | 1,90 | 1,77 | 1,95 | 8,65 | Gamma-2p |
| 3098 | Çsbc3 | 4,04 | 2,56 | 9,00 | 1,36 | 1,82 | 1,00 | 3,61 | 3,86 | 6,73 | Lognormal-3p |
| 3099 | Çsbc3 | 1,96 | 3,06 | 9,00 | 1,00 | 3,68 | 3,29 | 2,44 | 2,06 | 6,45 | Johnson SB |
| 3100 | Çsbc3 | 2,09 | 2,15 | 4,22 | 1,00 | 2,28 | 9,00 | 1,88 | 1,72 | 6,38 | Johnson SB |
| 3101 | Çsbc3 | 1,00 | 2,93 | 9,00 | 1,10 | 3,01 | 2,26 | 2,11 | 1,79 | 5,83 | Beta |
| 3102 | Çsbc3 | 9,00 | 2,37 | 3,14 | 1,00 | 2,41 | 8,16 | 3,30 | 3,08 | 6,71 | Johnson SB |
| 3103 | Çsbc3 | 9,00 | 5,02 | 4,03 | 1,00 | 5,14 | 4,96 | 4,75 | 5,28 | 5,06 | Johnson SB |
| 3104 | Çsbc3 | 9,00 | 1,68 | 1,02 | 1,02 | 1,00 | 1,08 | 3,00 | 4,10 | 1,27 | Lognormal-2p |
| 3105 | Çsbc3 | 2,28 | 1,23 | 6,47 | 1,48 | 1,00 | 9,00 | 1,96 | 2,21 | 2,22 | Lognormal-2p |
| 3106 | Çsbc3 | 9,00 | 3,70 | 5,64 | 1,00 | 4,93 | 8,33 | 4,15 | 4,05 | 8,58 | Johnson SB |
| 3107 | Çsbc3 | 4,47 | 2,61 | 9,00 | 1,00 | 2,49 | 2,55 | 1,68 | 1,38 | 2,21 | Johnson SB |
| 3108 | Çsbc3 | 9,00 | 4,81 | 4,82 | 1,00 | 5,25 | 5,09 | 5,05 | 5,94 | 3,51 | Johnson SB |
| 3109 | Çsbc3 | 2,44 | 1,40 | 9,00 | 1,00 | 1,23 | 1,21 | 2,44 | 2,81 | 3,09 | Johnson SB |
| 3110 | Çsbc3 | 1,52 | 2,21 | 9,00 | 1,00 | 2,60 | 2,82 | 1,66 | 1,73 | 7,73 | Johnson SB |
| 3111 | Çsbc3 | 1,71 | 1,07 | 7,04 | 1,07 | 1,00 | 9,00 | 1,69 | 1,99 | 8,18 | Lognormal-2p |
| 3112 | Çsbc3 | 3,59 | 1,82 | 4,93 | 1,00 | 1,35 | 1,01 | 2,68 | 2,54 | 9,00 | Johnson SB |
| 3113 | Çsbc3 | 7,22 | 8,15 | 5,05 | 1,00 | 9,00 | 4,70 | 3,80 | 1,88 | 5,63 | Johnson SB |
| 3114 | Çsbc3 | 2,00 | 4,09 | 9,00 | 1,00 | 4,37 | 3,43 | 3,34 | 2,36 | 5,22 | Johnson SB |
| 3115 | Çsbc3 | 1,00 | 6,25 | 5,10 | 6,17 | 4,10 | 6,46 | 9,00 | 7,19 | 1,25 | Beta |
| 3116 | Çsbc3 | 8,00 | 1,00 | 1,69 | Çözümsüz | 1,88 | 1,47 | 1,52 | 1,58 | 2,00 | Gamma-2p |

Tablo 4.16.'nın devamı

| Örnek Alan No | Meşçere Tipi | Olasılık Yoğunluk Fonksiyonları | | | | | | | | | En Başarılı Dağılım |
|---------------|--------------|---------------------------------|----------|----------|------------|--------------|--------------|--------|------------|------------|---------------------|
| | | Beta | Gamma-2p | Gamma-3p | Johnson SB | Lognormal-2p | Lognormal-3p | Normal | Weibull-2p | Weibull-3p | |
| 3117 | Çsbc3 | 2,15 | 1,66 | 9,00 | 1,00 | 1,59 | 1,63 | 1,86 | 2,01 | 3,44 | Johnson SB |
| 3118 | Çsbc3 | 2,78 | 8,00 | 7,86 | 1,00 | 7,54 | 7,92 | 8,00 | 7,57 | Çözümsüz | Johnson SB |
| 3119 | Çsbc3 | 1,33 | 1,67 | 5,96 | 1,02 | 1,78 | 1,35 | 1,13 | 1,00 | 9,00 | Weibull-2p |
| 3120 | Çsbc3 | Çözümsüz | 2,66 | 2,00 | 4,04 | 1,00 | 1,06 | 8,00 | 7,83 | 3,68 | Lognormal-2p |
| 3121 | Çsbc3 | 3,04 | 1,67 | 9,00 | 1,19 | 1,28 | 1,00 | 2,72 | 2,95 | 7,21 | Lognormal-3p |
| 3122 | Çsbc3 | 4,01 | 9,00 | 7,19 | 1,00 | 8,70 | 7,25 | 6,83 | 5,51 | 6,96 | Johnson SB |
| 3123 | Çsbc3 | 5,89 | 3,73 | 2,33 | 1,00 | 2,18 | 2,63 | 7,01 | 9,00 | 2,95 | Johnson SB |
| 3124 | Çsbc3 | 1,81 | 2,84 | 1,62 | Çözümsüz | 2,35 | 1,00 | 3,45 | 4,16 | 8,00 | Lognormal-3p |
| 3125 | Çsbc3 | 1,20 | 1,00 | 5,86 | 1,48 | 2,07 | 9,00 | 1,72 | 1,85 | 2,12 | Gamma-2p |
| 3126 | Çsc1 | 6,85 | 5,14 | 1,00 | 1,06 | 3,91 | 3,24 | 9,00 | 6,15 | 1,34 | Gamma-3p |
| 3127 | Çsc1 | 3,54 | 5,15 | 9,00 | 1,00 | 6,03 | 2,38 | 1,30 | 1,15 | 7,44 | Johnson SB |
| 3128 | Çsc1 | 1,00 | 7,34 | 6,83 | Çözümsüz | 7,69 | 2,40 | 8,00 | 6,90 | 4,55 | Beta |
| 3129 | Çsc1 | 4,27 | 2,02 | 2,37 | 1,00 | 2,49 | 9,00 | 2,78 | 2,91 | 2,85 | Johnson SB |
| 3130 | Çsc1 | 1,76 | 5,91 | 7,64 | 1,00 | 6,93 | 6,88 | 9,00 | 7,61 | 3,49 | Johnson SB |
| 3131 | Çsc1 | 5,96 | 5,64 | 9,00 | 1,61 | 4,88 | 1,00 | 6,77 | 6,89 | 3,42 | Lognormal-3p |
| 3132 | Çsc1 | 1,32 | 2,70 | 2,09 | 1,00 | 2,69 | 2,04 | 1,98 | 1,73 | 9,00 | Johnson SB |
| 3133 | Çsc1 | 9,00 | 3,21 | 1,78 | 1,00 | 4,63 | 1,59 | 1,16 | 1,00 | 1,61 | Weibull-2p |
| 3134 | Çsc2 | 8,13 | 1,87 | 9,00 | 1,72 | 1,79 | 1,00 | 2,41 | 2,86 | 4,70 | Lognormal-3p |
| 3135 | Çsc2 | 1,38 | 8,00 | 4,94 | 1,00 | 7,81 | 4,87 | 4,44 | 2,33 | Çözümsüz | Johnson SB |
| 3136 | Çsc2 | 1,00 | 4,31 | 2,08 | Çözümsüz | 8,00 | 1,75 | 1,05 | 2,97 | 2,28 | Beta |
| 3137 | Çsc2 | 1,13 | 2,01 | 3,19 | 1,00 | 1,98 | 2,11 | 2,59 | 2,66 | 9,00 | Johnson SB |
| 3138 | Çsc2 | 7,03 | 8,75 | 3,87 | 1,00 | 9,00 | 3,29 | 2,20 | 2,04 | 2,34 | Johnson SB |
| 3139 | Çsc2 | 3,96 | 4,63 | 4,11 | 2,59 | 9,00 | 2,27 | 1,00 | 6,66 | 3,52 | Normal |
| 3140 | Çsc2 | 8,00 | 1,09 | 1,00 | Çözümsüz | 1,78 | 1,09 | 1,26 | 1,19 | 1,94 | Gamma-3p |
| 3141 | Çsc2 | 3,40 | 9,00 | 5,57 | 2,01 | 8,46 | 5,19 | 4,07 | 1,00 | 3,61 | Weibull-2p |
| 3142 | Çsc2 | 2,29 | 6,94 | 5,13 | 1,00 | 9,00 | 5,17 | 4,86 | 3,91 | 3,45 | Johnson SB |
| 3143 | Çsc2 | 9,00 | 3,21 | 1,78 | 1,00 | 4,63 | 1,59 | 1,16 | 1,00 | 1,61 | Weibull-2p |
| 3144 | Çsc2 | 2,29 | 3,42 | 9,00 | 1,00 | 4,19 | 2,35 | 2,27 | 1,12 | 7,35 | Johnson SB |
| 3145 | Çsc2 | 1,84 | 9,00 | 6,95 | 1,00 | 7,87 | 6,49 | 6,39 | 4,91 | 4,10 | Johnson SB |
| 3146 | Çsc2 | 1,00 | 4,54 | 5,91 | 1,96 | 4,52 | 9,00 | 4,03 | 3,77 | 4,62 | Beta |
| 3147 | Çsc2 | 9,00 | 4,11 | 1,67 | 1,86 | 4,64 | 1,68 | 1,61 | 1,00 | 1,71 | Weibull-2p |
| 3148 | Çsc2 | 2,33 | 8,00 | 5,49 | 1,00 | 7,98 | 5,30 | 5,04 | 4,01 | Çözümsüz | Johnson SB |
| 3149 | Çsc2 | 6,15 | 7,65 | 7,37 | 1,00 | 8,00 | 7,17 | 7,11 | 6,37 | Çözümsüz | Johnson SB |
| 3150 | Çsc2 | 2,97 | 3,52 | 9,00 | 1,00 | 5,45 | 3,41 | 1,04 | 1,46 | 5,96 | Johnson SB |
| 3151 | Çsc2 | 8,01 | 2,52 | 1,33 | 3,52 | 1,40 | 1,00 | 9,00 | 4,51 | 1,92 | Lognormal-3p |
| 3152 | Çsc2 | 1,00 | 8,74 | 6,31 | 2,47 | 9,00 | 6,03 | 5,70 | 5,35 | 5,67 | Beta |
| 3153 | Çsc2 | 6,20 | 9,00 | 6,80 | 1,00 | 7,87 | 3,40 | 1,97 | 1,83 | 7,25 | Johnson SB |
| 3154 | Çsc3 | 4,38 | 1,88 | 9,00 | 1,14 | 2,62 | 1,84 | 1,00 | 1,19 | 4,47 | Normal |
| 3155 | Çsc3 | 1,00 | 9,00 | 7,54 | 1,33 | 8,84 | 7,73 | 7,54 | 5,32 | 7,92 | Beta |
| 3156 | Çsc3 | 1,29 | 2,44 | 9,00 | 1,00 | 2,37 | 1,61 | 2,92 | 2,84 | 1,45 | Johnson SB |
| 3157 | Çsc3 | 9,00 | 3,29 | 2,53 | 1,00 | 3,86 | 5,30 | 4,41 | 4,36 | 5,12 | Johnson SB |
| 3158 | Çsc3 | 7,01 | 6,43 | 1,63 | 2,39 | 9,00 | 1,49 | 1,00 | 1,68 | 2,58 | Normal |
| 3159 | Çsc3 | 6,77 | 6,13 | 4,15 | 1,00 | 5,39 | 4,63 | 8,35 | 9,00 | 4,13 | Johnson SB |
| 3160 | Çsc3 | 1,63 | 2,79 | 6,53 | 1,00 | 2,77 | 9,00 | 2,72 | 2,45 | 3,09 | Johnson SB |
| 3161 | Çsc3 | 9,00 | 5,68 | 3,84 | 1,00 | 5,44 | 3,81 | 3,72 | 3,50 | 2,64 | Johnson SB |
| 3162 | Çsc3 | 3,85 | 7,61 | 4,76 | 1,00 | 9,00 | 5,30 | 5,12 | 2,65 | 4,88 | Johnson SB |
| 3163 | Çsc3 | 3,03 | 3,27 | 9,00 | 1,00 | 3,63 | 2,43 | 1,53 | 1,23 | 5,20 | Johnson SB |
| 3164 | Çsc3 | 5,14 | 8,77 | 4,69 | 1,00 | 9,00 | 4,12 | 3,32 | 1,75 | 3,69 | Johnson SB |
| 3165 | Çsc3 | 1,00 | 4,71 | 9,00 | 1,16 | 4,54 | 4,11 | 3,91 | 3,62 | 4,10 | Beta |
| 3166 | Çsc3 | 2,92 | 7,79 | 2,91 | 1,29 | 9,00 | 2,73 | 2,27 | 1,00 | 1,38 | Weibull-2p |
| 3167 | Çsc3 | Çözümsüz | 3,55 | 1,37 | 1,32 | 1,94 | 1,00 | 6,22 | 8,00 | 3,30 | Lognormal-3p |
| 3168 | Çsc3 | 1,00 | 8,86 | 6,79 | 1,48 | 9,00 | 6,48 | 6,19 | 4,97 | 6,13 | Beta |
| 3169 | Çsc3 | 2,24 | 8,25 | 7,21 | 1,00 | 8,49 | 7,91 | 9,00 | 7,72 | 6,61 | Johnson SB |
| 3170 | Çsc3 | 9,00 | 2,16 | 1,53 | 1,94 | 3,07 | 1,34 | 1,17 | 1,28 | 1,00 | Weibull-3p |
| 3171 | Çsc3 | 9,00 | 2,59 | 2,36 | 1,00 | 2,60 | 2,85 | 4,50 | 4,77 | 1,87 | Johnson SB |
| 3172 | Çsc3 | 9,00 | 7,22 | 4,70 | 2,16 | 8,97 | 3,65 | 1,00 | 1,87 | 6,94 | Normal |
| 3173 | Çsc3 | 9,00 | 1,16 | 1,09 | 1,03 | 1,17 | 1,06 | 1,00 | 1,41 | 1,20 | Normal |
| 3174 | Çsc3 | 1,88 | 1,93 | 4,81 | 1,69 | 3,18 | 9,00 | 1,00 | 1,47 | 4,95 | Normal |

Tablo 4.16.'nın devamı

| Örnek Alan No | Meşçere Tipi | Olasılık Yoğunluk Fonksiyonları | | | | | | | | | En Başarılı Dağılım |
|---------------|--------------|---------------------------------|----------|----------|------------|--------------|--------------|--------|------------|------------|---------------------|
| | | Beta | Gamma-2p | Gamma-3p | Johnson SB | Lognormal-2p | Lognormal-3p | Normal | Weibull-2p | Weibull-3p | |
| 3175 | Çsc3 | 1,00 | 9,00 | 6,03 | 3,67 | 8,74 | 7,43 | 8,53 | 6,50 | 3,17 | Beta |
| 3176 | Çsc3 | 6,21 | 8,21 | 5,91 | 1,00 | 9,00 | 5,48 | 5,13 | 5,09 | 1,48 | Johnson SB |
| 3177 | Çsc3 | 9,00 | 4,80 | 1,96 | 1,48 | 8,16 | 1,86 | 1,84 | 1,00 | 1,95 | Weibull-2p |
| 3178 | Çsc3 | 2,58 | 6,72 | 4,86 | 1,00 | 9,00 | 4,96 | 4,78 | 3,51 | 4,34 | Johnson SB |
| 3179 | Çsc3 | 9,00 | 2,68 | 1,35 | 1,00 | 3,37 | 1,27 | 1,26 | 1,24 | 1,34 | Johnson SB |
| 3180 | Çsc3 | 8,23 | 5,05 | 9,00 | 2,25 | 6,18 | 2,13 | 1,00 | 1,51 | 5,13 | Normal |
| 3181 | Çsc3 | 9,00 | 4,14 | 3,53 | 2,43 | 4,44 | 3,39 | 2,66 | 1,00 | 4,10 | Weibull-2p |
| 3182 | Çsc3 | 2,47 | 1,37 | 1,72 | 1,15 | 1,00 | 9,00 | 2,41 | 2,06 | 1,79 | Lognormal-2p |
| 3183 | Çsc3 | 1,00 | 6,32 | 3,75 | 1,34 | 9,00 | 3,06 | 2,43 | 2,73 | 1,16 | Beta |
| 3184 | Çscd1 | 4,17 | 8,00 | 6,71 | 1,00 | 7,85 | 6,66 | 6,26 | 5,15 | Çözümsüz | Johnson SB |
| 3185 | Çscd1 | 1,00 | 9,00 | 5,77 | 3,31 | 6,90 | 6,17 | 5,98 | 3,69 | 3,79 | Beta |
| 3186 | Çscd1 | 3,08 | 6,70 | 1,93 | 1,09 | 9,00 | 1,49 | 1,17 | 1,00 | 2,12 | Weibull-2p |
| 3187 | Çscd1 | 9,00 | 3,05 | 1,00 | 1,60 | 5,27 | 1,09 | 1,32 | 1,02 | 1,68 | Gamma-3p |
| 3188 | Çscd1 | 1,45 | 3,51 | 7,99 | 1,00 | 3,41 | 9,00 | 4,64 | 4,30 | 3,89 | Johnson SB |
| 3189 | Çscd1 | 4,78 | 5,44 | 3,56 | 2,79 | 9,00 | 3,25 | 1,00 | 1,34 | 7,93 | Normal |
| 3190 | Çscd1 | 3,36 | 2,59 | 1,00 | 1,17 | 4,91 | 6,09 | 9,00 | 7,27 | 1,32 | Gamma-3p |
| 3191 | Çscd1 | 2,48 | 2,74 | 1,00 | 2,20 | 4,00 | 4,46 | 9,00 | 6,90 | 1,53 | Gamma-3p |
| 3192 | Çscd1 | 6,88 | 3,20 | 2,43 | 9,00 | 1,00 | 1,75 | 5,68 | 1,92 | 3,51 | Lognormal-2p |
| 3193 | Çscd1 | 4,12 | 3,71 | 9,00 | 2,35 | 4,78 | 4,84 | 1,00 | 1,75 | 8,77 | Normal |
| 3194 | Çscd1 | 3,14 | 2,52 | 9,00 | 1,00 | 2,31 | 2,31 | 3,77 | 3,03 | 2,01 | Johnson SB |
| 3195 | Çscd1 | 1,00 | 6,04 | 9,00 | 1,48 | 6,04 | 5,49 | 5,69 | 5,03 | 6,38 | Beta |
| 3196 | Çscd1 | 9,00 | 7,96 | 5,84 | 1,00 | 6,38 | 5,68 | 5,77 | 4,82 | 8,14 | Johnson SB |
| 3197 | Çscd1 | 1,00 | 3,96 | 4,09 | 1,04 | 4,30 | 9,00 | 2,95 | 2,90 | 4,51 | Beta |
| 3198 | Çscd1 | 6,28 | 6,69 | 5,80 | 4,56 | 9,00 | 5,62 | 1,00 | 2,52 | 6,20 | Normal |
| 3199 | Çscd1 | 2,87 | 4,52 | 8,63 | 1,00 | 4,90 | 4,04 | 3,73 | 2,29 | 9,00 | Johnson SB |
| 3200 | Çscd1 | 6,20 | 7,75 | 4,77 | 3,58 | 9,00 | 4,44 | 3,89 | 4,77 | 1,00 | Weibull-3p |
| 3201 | Çscd1 | 5,87 | 9,00 | 8,76 | 1,00 | 8,34 | 8,30 | 5,67 | 3,72 | 4,88 | Johnson SB |
| 3202 | Çscd1 | 1,41 | 3,68 | 7,54 | 1,00 | 5,29 | 6,88 | 3,76 | 2,69 | 9,00 | Johnson SB |
| 3203 | Çscd1 | 2,18 | 7,27 | 8,09 | 1,00 | 6,82 | 6,49 | 6,40 | 5,30 | 9,00 | Johnson SB |
| 3204 | Çscd1 | 1,00 | 9,00 | 8,01 | 3,00 | 6,69 | 7,06 | 7,59 | 5,39 | 6,73 | Beta |
| 3205 | Çscd1 | 2,20 | 3,19 | 9,00 | 1,00 | 3,10 | 4,02 | 4,18 | 5,18 | 1,34 | Johnson SB |
| 3206 | Çscd1 | 9,00 | 1,15 | 1,57 | 1,94 | 1,00 | 1,24 | 3,45 | 3,36 | 1,77 | Lognormal-2p |
| 3207 | Çscd1 | 4,12 | 7,37 | 4,52 | 1,00 | 9,00 | 4,03 | 3,58 | 3,33 | 2,82 | Johnson SB |
| 3208 | Çscd1 | 1,86 | 4,92 | 6,16 | 1,78 | 5,39 | 9,00 | 1,00 | 1,36 | 5,31 | Normal |
| 3209 | Çscd1 | 1,00 | 2,92 | 6,13 | 1,02 | 2,87 | 2,84 | 2,12 | 2,18 | 9,00 | Beta |
| 3210 | Çscd1 | 4,81 | 4,68 | 9,00 | 1,78 | 2,44 | 1,00 | 8,58 | 6,44 | 5,63 | Lognormal-3p |
| 3211 | Çscd1 | 9,00 | 6,20 | 3,37 | 1,82 | 7,26 | 3,03 | 2,02 | 1,00 | 1,16 | Weibull-2p |
| 3212 | Çscd1 | 5,20 | 4,00 | 9,00 | 2,74 | 5,03 | 3,86 | 1,00 | 2,29 | 5,96 | Normal |
| 3213 | Çscd2 | 1,69 | 5,06 | 8,99 | 1,00 | 8,65 | 9,00 | 7,14 | 3,31 | 3,75 | Johnson SB |
| 3214 | Çscd2 | 8,31 | 8,68 | 6,09 | 1,00 | 9,00 | 6,12 | 6,21 | 4,77 | 4,07 | Johnson SB |
| 3215 | Çscd2 | 9,00 | 6,66 | 2,99 | 1,98 | 8,48 | 2,32 | 1,10 | 1,00 | 1,54 | Weibull-2p |
| 3216 | Çscd2 | 2,19 | 4,00 | 3,65 | 2,03 | 3,89 | 9,00 | 6,73 | 5,17 | 1,00 | Weibull-3p |
| 3217 | Çscd2 | 7,75 | 9,00 | 7,49 | 1,00 | 8,36 | 6,84 | 6,66 | 2,62 | 3,37 | Johnson SB |
| 3218 | Çscd2 | 1,76 | 1,00 | 3,51 | 1,74 | 1,50 | 9,00 | 1,12 | 1,39 | 1,95 | Gamma-2p |
| 3219 | Çscd2 | 2,27 | 1,64 | 9,00 | 1,19 | 1,90 | 1,84 | 2,87 | 1,62 | 1,00 | Weibull-3p |
| 3220 | Çscd2 | 2,44 | 3,09 | 9,00 | 1,00 | 2,04 | 1,34 | 5,40 | 3,41 | 4,59 | Johnson SB |
| 3221 | Çscd2 | 1,00 | 4,20 | 4,33 | 1,15 | 4,42 | 9,00 | 4,14 | 4,00 | 3,14 | Beta |
| 3222 | Çscd2 | 3,64 | 5,13 | 3,71 | Çözümsüz | 8,00 | 3,50 | 1,00 | 2,70 | 5,15 | Normal |
| 3223 | Çscd2 | 3,09 | 9,00 | 3,78 | 1,00 | 8,81 | 3,86 | 3,03 | 2,52 | 2,65 | Johnson SB |
| 3224 | Çscd2 | 2,08 | 1,27 | 9,00 | 2,31 | 2,39 | 3,70 | 1,00 | 1,44 | 3,32 | Normal |
| 3225 | Çscd2 | 2,57 | 6,87 | 3,90 | 1,00 | 9,00 | 4,27 | 3,80 | 1,19 | 3,03 | Johnson SB |
| 3226 | Çscd2 | 1,00 | 9,00 | 6,82 | 2,15 | 7,57 | 6,71 | 6,46 | 4,10 | 6,52 | Beta |
| 3227 | Çscd2 | 8,00 | 1,28 | 1,14 | Çözümsüz | 1,51 | 1,04 | 1,00 | 1,36 | 1,26 | Normal |
| 3228 | Çscd2 | 9,00 | 4,66 | 3,93 | 2,57 | 7,75 | 2,47 | 1,00 | 1,39 | 5,34 | Normal |
| 3229 | Çscd2 | 1,94 | 3,62 | 3,89 | 1,00 | 6,06 | 3,31 | 5,70 | 9,00 | 4,22 | Johnson SB |
| 3230 | Çscd2 | 9,00 | 1,96 | 1,16 | 1,00 | 3,19 | 1,14 | 1,10 | 1,10 | 1,65 | Johnson SB |
| 3231 | Çscd2 | 5,98 | 8,57 | 5,55 | 3,59 | 9,00 | 5,27 | 4,77 | 4,53 | 1,00 | Weibull-3p |
| 3232 | Çscd2 | 1,89 | 4,49 | 4,93 | 1,00 | 4,72 | 9,00 | 5,42 | 5,26 | 1,39 | Johnson SB |

Tablo 4.16.'nın devamı

| Örnek Alan No | Meşçere Tipi | Olasılık Yoğunluk Fonksiyonları | | | | | | | | | En Başarılı Dağılım |
|---------------|--------------|---------------------------------|----------|----------|------------|--------------|--------------|--------|------------|------------|---------------------|
| | | Beta | Gamma-2p | Gamma-3p | Johnson SB | Lognormal-2p | Lognormal-3p | Normal | Weibull-2p | Weibull-3p | |
| 3233 | Çscd2 | 9,00 | 7,18 | 3,37 | 1,48 | 8,87 | 2,77 | 1,93 | 1,00 | 1,25 | Weibull-2p |
| 3234 | Çscd2 | 5,85 | 4,52 | 6,15 | 1,81 | 2,50 | 1,00 | 9,00 | 6,61 | 4,25 | Lognormal-3p |
| 3235 | Çscd2 | 4,69 | 3,24 | 3,03 | 2,61 | 1,00 | 3,54 | 9,00 | 7,84 | 3,95 | Lognormal-2p |
| 3236 | Çscd2 | 3,52 | 7,31 | 4,70 | 1,00 | 8,00 | 4,40 | 4,04 | 3,34 | Çözümsüz | Johnson SB |
| 3237 | Çscd2 | 1,00 | 6,68 | 4,59 | 2,91 | 8,00 | 3,23 | 3,32 | 2,28 | Çözümsüz | Beta |
| 3238 | Çscd2 | 2,67 | 1,25 | 3,01 | Çözümsüz | 1,00 | 3,14 | 4,50 | 8,00 | 6,97 | Lognormal-2p |
| 3239 | Çscd2 | 9,00 | 2,02 | 2,16 | 1,00 | 3,30 | 2,14 | 4,16 | 3,71 | 1,86 | Johnson SB |
| 3240 | Çscd2 | 4,70 | 6,17 | 3,46 | 1,00 | 9,00 | 3,14 | 2,84 | 3,74 | 1,29 | Johnson SB |
| 3241 | Çscd2 | 1,60 | 2,29 | 9,00 | 1,00 | 2,77 | 2,32 | 1,13 | 1,29 | 3,07 | Johnson SB |
| 3242 | Çscd2 | 2,54 | 3,88 | 9,00 | 1,00 | 4,27 | 1,99 | 1,47 | 1,49 | 3,48 | Johnson SB |
| 3243 | Çscd3 | 9,00 | 2,96 | 1,00 | 1,72 | 1,36 | 1,50 | 8,11 | 8,54 | 1,42 | Gamma-3p |
| 3244 | Çscd3 | 1,75 | 1,00 | 9,00 | 1,96 | 1,92 | 2,94 | 3,15 | 2,26 | 2,79 | Gamma-2p |
| 3245 | Çscd3 | 1,39 | 6,16 | 9,00 | 1,00 | 6,90 | 5,78 | 4,20 | 4,70 | 6,90 | Johnson SB |
| 3246 | Çscd3 | 1,00 | 1,63 | 1,55 | 9,00 | 1,62 | 1,59 | 1,55 | 1,57 | 1,40 | Beta |
| 3247 | Çscd3 | 3,58 | 4,58 | 4,56 | 1,00 | 4,30 | 1,09 | 6,21 | 6,11 | 9,00 | Johnson SB |
| 3248 | Çscd3 | 2,62 | 2,75 | 9,00 | 1,04 | 1,00 | 1,28 | 5,83 | 4,86 | 8,45 | Lognormal-2p |
| 3249 | Çscd3 | 6,14 | 5,45 | 1,60 | 7,37 | 2,62 | 1,00 | 9,00 | 6,10 | 2,16 | Lognormal-3p |
| 3250 | Çscd3 | 3,23 | 8,19 | 6,26 | 1,00 | 9,00 | 5,23 | 3,18 | 3,90 | 6,80 | Johnson SB |
| 3251 | Çscd3 | 2,03 | 1,55 | 9,00 | 1,00 | 2,65 | 5,26 | 2,01 | 1,42 | 6,77 | Johnson SB |
| 3252 | Çscd3 | 1,00 | 9,00 | 8,32 | 2,57 | 8,61 | 8,22 | 8,00 | 6,27 | 6,36 | Beta |
| 3253 | Çscd3 | 4,70 | 2,86 | 1,00 | 2,13 | 1,42 | 9,00 | 4,04 | 3,31 | 4,71 | Gamma-3p |
| 3254 | Çscd3 | 9,00 | 4,46 | 2,26 | 2,94 | 8,71 | 1,18 | 1,00 | 1,36 | 1,14 | Normal |
| 3255 | Çscd3 | 1,00 | 6,69 | 4,96 | 1,52 | 6,90 | 9,00 | 5,68 | 5,27 | 4,41 | Beta |
| 3256 | Çscd3 | 1,27 | 6,33 | 2,38 | 1,66 | 9,00 | 2,14 | 2,26 | 1,00 | 2,61 | Weibull-2p |
| 3257 | Çscd3 | 9,00 | 3,12 | 1,00 | 1,85 | 3,74 | 1,17 | 1,86 | 2,10 | 1,93 | Gamma-3p |
| 3258 | Çscd3 | 6,23 | 7,05 | 6,03 | 1,00 | 8,00 | 5,97 | 5,86 | 6,14 | Çözümsüz | Johnson SB |
| 3259 | Çscd3 | 9,00 | 6,84 | 3,26 | 1,00 | 8,91 | 2,77 | 2,56 | 2,13 | 3,03 | Johnson SB |
| 3260 | Çscd3 | 1,09 | 7,98 | 5,51 | 1,00 | 5,54 | 7,55 | 9,00 | 6,03 | 6,16 | Johnson SB |
| 3261 | Çscd3 | 6,29 | 5,02 | 3,62 | 2,60 | 9,00 | 3,72 | 3,24 | 1,00 | 3,38 | Weibull-2p |
| 3262 | Çscd3 | 9,00 | 2,00 | 1,62 | 1,00 | 1,73 | 1,95 | 3,30 | 4,42 | 1,48 | Johnson SB |
| 3263 | Çscd3 | 9,00 | 4,88 | 1,93 | 2,79 | 5,11 | 1,92 | 1,71 | 1,00 | 1,48 | Weibull-2p |
| 3264 | Çscd3 | 9,00 | 6,29 | 7,20 | 1,00 | 8,02 | 6,54 | 5,13 | 5,31 | 7,37 | Johnson SB |
| 3265 | Çscd3 | 1,14 | 2,47 | 1,47 | 2,10 | 1,95 | 1,56 | 1,54 | 1,00 | 9,00 | Weibull-2p |
| 3266 | Çscd3 | 1,23 | 6,24 | 9,00 | 1,00 | 5,54 | 5,76 | 5,69 | 5,35 | 6,04 | Johnson SB |
| 3267 | Çscd3 | 9,00 | 7,94 | 5,58 | 1,00 | 6,59 | 5,51 | 4,92 | 4,02 | 4,46 | Johnson SB |
| 3268 | Çscd3 | 3,35 | 9,00 | 6,04 | 1,00 | 8,01 | 5,56 | 5,19 | 3,95 | 6,22 | Johnson SB |
| 3269 | Çscd3 | 1,00 | 9,00 | 7,10 | 3,84 | 8,23 | 7,00 | 6,88 | 4,25 | 5,40 | Beta |
| 3270 | Çscd3 | 5,88 | 5,11 | 6,29 | 6,02 | 9,00 | 5,74 | 3,56 | 1,00 | 6,94 | Weibull-2p |
| 3271 | Çscd3 | 2,46 | 6,82 | 7,34 | 1,00 | 7,45 | 6,41 | 7,53 | 9,00 | 7,71 | Johnson SB |
| 3272 | Çscd3 | 1,00 | 1,08 | 1,64 | Çözümsüz | 2,05 | 1,04 | 1,43 | 8,00 | 6,14 | Beta |
| 3273 | Çsd1 | 1,08 | 2,38 | 9,00 | 1,28 | 1,18 | 1,00 | 4,97 | 2,96 | 1,77 | Lognormal-3p |
| 3274 | Çsd1 | 1,00 | 9,00 | 6,44 | 1,06 | 7,21 | 6,40 | 6,59 | 5,35 | 3,67 | Beta |
| 3275 | Çsd1 | 8,00 | 1,33 | 1,32 | 1,00 | 1,92 | 1,29 | 1,27 | 1,30 | Çözümsüz | Johnson SB |
| 3276 | Çsd1 | 4,07 | 6,60 | 3,13 | 8,00 | 5,46 | 2,74 | 2,76 | 1,00 | Çözümsüz | Weibull-2p |
| 3277 | Çsd1 | 3,26 | 2,78 | 2,07 | 1,65 | 8,00 | 1,00 | 1,02 | 4,71 | Çözümsüz | Lognormal-3p |
| 3278 | Çsd1 | 6,69 | 8,00 | 7,15 | 1,00 | 7,93 | 7,13 | 7,12 | 5,64 | Çözümsüz | Johnson SB |
| 3279 | Çsd1 | 3,47 | 7,84 | 4,14 | 1,61 | 9,00 | 3,66 | 3,26 | 4,30 | 1,00 | Weibull-3p |
| 3280 | Çsd1 | 9,00 | 4,59 | 3,26 | 2,82 | 8,13 | 3,47 | 3,19 | 2,58 | 1,00 | Weibull-3p |
| 3281 | Çsd1 | 7,95 | 1,22 | 1,17 | 9,00 | 1,56 | 1,00 | 2,47 | 3,73 | 1,79 | Lognormal-3p |
| 3282 | Çsd1 | 1,00 | 6,93 | 9,00 | 1,82 | 6,92 | 7,33 | 7,13 | 6,74 | 5,49 | Beta |
| 3283 | Çsd1 | 9,00 | 5,04 | 3,85 | 1,22 | 5,69 | 3,50 | 3,15 | 1,00 | 1,47 | Weibull-2p |
| 3284 | Çsd1 | 9,00 | 5,04 | 3,85 | 1,22 | 5,69 | 3,50 | 3,15 | 1,00 | 1,47 | Weibull-2p |
| 3285 | Çsd1 | 1,00 | 7,88 | 4,27 | Çözümsüz | 8,00 | 4,23 | 7,97 | 6,67 | 6,35 | Beta |
| 3286 | Çsd1 | 1,00 | 7,96 | 5,20 | 9,00 | 5,82 | 6,03 | 8,24 | 6,50 | 5,81 | Beta |
| 3287 | Çsd1 | 4,06 | 6,55 | 8,90 | 1,00 | 7,25 | 3,23 | 2,97 | 3,02 | 9,00 | Johnson SB |
| 3288 | Çsd1 | 6,53 | 5,52 | 3,14 | 2,89 | 9,00 | 2,92 | 2,76 | 3,02 | 1,00 | Weibull-3p |
| 3289 | Çsd1 | 5,07 | 3,50 | 3,11 | 1,00 | 8,00 | 2,22 | 2,20 | 5,73 | Çözümsüz | Johnson SB |
| 3290 | Çsd2 | 9,00 | 2,12 | 1,85 | 1,88 | 2,79 | 1,69 | 1,00 | 1,57 | 2,77 | Normal |

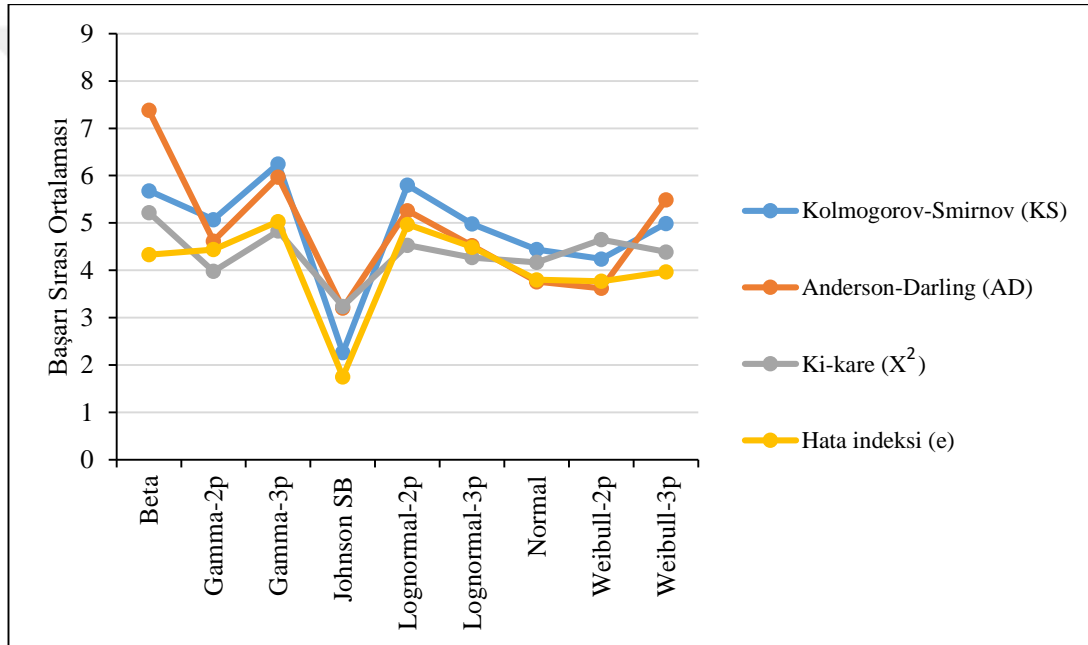
Tablo 4.16.'nın devamı

| Örnek Alan No | Mesçere Tipi | Olasılık Yoğunluk Fonksiyonları | | | | | | | | | En Başarılı Dağılım |
|---------------|--------------|---------------------------------|----------|----------|------------|--------------|--------------|--------|------------|------------|---------------------|
| | | Beta | Gamma-2p | Gamma-3p | Johnson SB | Lognormal-2p | Lognormal-3p | Normal | Weibull-2p | Weibull-3p | |
| 3291 | Çsd2 | 2,03 | 3,73 | 1,74 | 1,64 | 8,00 | 1,42 | 1,00 | 3,15 | Çözümsüz | Normal |
| 3292 | Çsd2 | 1,82 | 9,00 | 5,81 | 1,00 | 8,83 | 5,79 | 5,35 | 3,64 | 1,60 | Johnson SB |
| 3293 | Çsd2 | 4,67 | 4,78 | 4,72 | 1,00 | 4,23 | 4,96 | 5,50 | 9,00 | 4,46 | Johnson SB |
| 3294 | Çsd2 | 3,26 | 2,78 | 2,07 | 1,65 | 8,00 | 1,00 | 1,02 | 4,71 | Çözümsüz | Lognormal-3p |
| 3295 | Çsd2 | 6,69 | 8,00 | 7,15 | 1,00 | 7,93 | 7,13 | 7,12 | 5,64 | Çözümsüz | Johnson SB |
| 3296 | Çsd2 | 9,00 | 1,40 | 1,70 | 2,26 | 1,00 | 2,38 | 3,65 | 5,72 | 1,48 | Lognormal-2p |
| 3297 | Çsd2 | 6,71 | 9,00 | 4,09 | 3,01 | 6,09 | 3,29 | 3,07 | 1,41 | 1,00 | Weibull-3p |
| 3298 | Çsd2 | 7,26 | 5,99 | 5,22 | 2,47 | 9,00 | 4,07 | 4,12 | 6,97 | 1,00 | Weibull-3p |
| 3299 | Çsd2 | 4,62 | 9,00 | 5,40 | 2,43 | 8,40 | 5,21 | 4,81 | 4,44 | 1,00 | Weibull-3p |
| 3300 | Çsd2 | 4,51 | 3,63 | 2,32 | 1,66 | 8,00 | 1,40 | 1,00 | 2,21 | Çözümsüz | Normal |
| 3301 | Çsd2 | 2,24 | 6,61 | 4,95 | 1,00 | 8,00 | 4,68 | 4,54 | 5,19 | Çözümsüz | Johnson SB |
| 3302 | Çsd2 | 4,06 | 8,65 | 9,00 | 1,00 | 8,26 | 6,89 | 6,76 | 6,32 | 8,66 | Johnson SB |
| 3303 | Çsd2 | 1,00 | 8,86 | 9,00 | 2,05 | 8,74 | 8,50 | 5,62 | 6,04 | 6,85 | Beta |
| 3304 | Çsd2 | 6,16 | 5,37 | 2,30 | 4,44 | 2,79 | 1,00 | 9,00 | 6,22 | 2,39 | Lognormal-3p |
| 3305 | Çsd2 | 1,02 | 5,48 | 1,00 | 2,96 | 4,99 | 1,61 | 8,56 | 4,10 | 9,00 | Gamma-3p |
| 3306 | Çsd2 | 1,00 | 8,03 | 5,40 | 1,15 | 9,00 | 5,36 | 5,19 | 3,59 | 4,91 | Beta |
| 3307 | Çsd2 | 1,00 | 4,46 | 3,10 | Çözümsüz | 8,00 | 2,57 | 2,28 | 4,29 | 2,11 | Beta |
| 3308 | Çsd2 | 1,00 | 3,05 | 9,00 | 4,21 | 2,94 | 2,86 | 2,82 | 2,66 | 3,72 | Beta |
| 3309 | Çsd2 | 1,00 | 1,73 | 2,24 | 1,20 | 9,00 | 3,10 | 1,77 | 1,67 | 1,85 | Beta |
| 3310 | Çsd2 | 3,01 | 2,23 | 9,00 | 1,00 | 3,20 | 3,75 | 5,44 | 4,21 | 3,79 | Johnson SB |
| 3311 | Çsd2 | 5,31 | 5,78 | 3,58 | 1,00 | 9,00 | 2,96 | 2,80 | 4,23 | 2,27 | Johnson SB |
| 3312 | Çsd2 | 7,24 | 7,66 | 4,02 | 1,00 | 9,00 | 3,79 | 3,43 | 1,58 | 2,32 | Johnson SB |
| 3313 | Çsd2 | 3,48 | 5,04 | 3,76 | 1,00 | 3,83 | 4,49 | 9,00 | 6,30 | 3,83 | Johnson SB |
| 3314 | Çsd2 | 1,00 | 9,00 | 7,22 | 2,91 | 8,25 | 7,21 | 7,07 | 5,39 | 7,03 | Beta |
| 3315 | Çsd2 | 1,00 | 6,29 | 9,00 | 3,39 | 6,53 | 6,37 | 3,35 | 3,14 | 4,00 | Beta |
| 3316 | Çsd2 | 3,65 | 7,84 | 4,18 | 1,00 | 9,00 | 4,01 | 3,87 | 3,28 | 3,99 | Johnson SB |
| 3317 | Çsd3 | 1,00 | 9,00 | 3,19 | 2,85 | 8,13 | 2,64 | 2,20 | 1,84 | 5,05 | Beta |
| 3318 | Çsd3 | 5,49 | 5,24 | 3,47 | 3,29 | 8,00 | 3,23 | 2,61 | 1,00 | Çözümsüz | Weibull-2p |
| 3319 | Çsd3 | 1,00 | 7,08 | 6,64 | 3,70 | 6,66 | 9,00 | 3,28 | 3,54 | 4,99 | Beta |
| 3320 | Çsd3 | 5,42 | 7,57 | 5,07 | 2,75 | 9,00 | 4,58 | 4,21 | 5,05 | 1,00 | Weibull-3p |
| 3321 | Çsd3 | 9,00 | 3,62 | 2,40 | 1,61 | 4,49 | 2,24 | 2,21 | 1,00 | 1,81 | Weibull-2p |
| 3322 | Çsd3 | 2,17 | 3,44 | 9,00 | 1,07 | 3,95 | 1,45 | 1,00 | 1,24 | 4,73 | Normal |
| 3323 | Çsd3 | 9,00 | 1,32 | 3,28 | 2,08 | 1,62 | 2,31 | 1,43 | 1,00 | 3,61 | Weibull-2p |

Her bir örnek alan için bağımsız olarak uygulanan olasılık yoğunluk fonksiyonlarının dört farklı istatistiksel ölçüte (KS , AD , X^2 ve e) göre ayrı ayrı yapılan sıralamalarının örnek alan bazında tek tek değerlendirilmesi zaman alıcı ve zahmetli olmakla birlikte yapılacak böyle bir değerlendirme ile fonksiyonların genel başarıları hakkında fikir sahibi olmak da güçtür. Bu nedenle, her bir olasılık yoğunluk fonksiyonunun kullanılan istatistiksel ölçütler bakımından örnek alanlara ilişkin sıralamalarının ortalamaları hesaplanmıştır. Elde edilen sonuçlara göre tüm ölçütler için genel başarısı en yüksek olan fonksiyon Johnson SB olurken, en başarısız fonksiyonlar ise KS ve e istatistikleri için Gamma-3p fonksiyonu, AD ve X^2 istatistikleri için ise Beta fonksiyonu olmuştur (Tablo 4.17. ve Şekil 4.1.).

Tablo 4.17. Olasılık yoğunluk fonksiyonlarının başarı sırası ortalamaları

| İstatistiksel Ölçüt | Olasılık Yoğunluk Fonksiyonları | | | | | | | | |
|-------------------------|---------------------------------|----------|----------|------------|--------------|--------------|--------|------------|------------|
| | Beta | Gamma-2p | Gamma-3p | Johnson SB | Lognormal-2p | Lognormal-3p | Normal | Weibull-2p | Weibull-3p |
| Kolmogorov-Smirnov (KS) | 5,68 | 5,07 | 6,25 | 2,26 | 5,80 | 4,98 | 4,44 | 4,24 | 4,99 |
| Anderson-Darling (AD) | 7,38 | 4,62 | 5,97 | 3,20 | 5,26 | 4,52 | 3,76 | 3,62 | 5,49 |
| Ki-kare (X^2) | 5,22 | 3,98 | 4,83 | 3,24 | 4,53 | 4,27 | 4,17 | 4,65 | 4,39 |
| Hata indeksi (e) | 4,33 | 4,44 | 5,03 | 1,75 | 4,97 | 4,49 | 3,80 | 3,77 | 3,97 |



Şekil 4.1. Olasılık yoğunluk fonksiyonlarının istatistiksel ölçütlere göre başarı durumları

Olasılık yoğunluk fonksiyonlarının başarı sıralamalarının meşcerelerin ağaç sayısı (adet/ha), orta çap (cm) ve sıklık derecesi özelliklerine göre istatistiksel olarak farklılık gösterip göstermediği Kruskal-Wallis Testi yardımıyla belirlenmiştir. Testin uygulanışında her bir örnek alan için hata indeksi (e) ölçütüne göre en başarılı bulunan olasılık yoğunluk fonksiyonlarının 890 örnek alan içerisindeki frekans dağılımları gruplandırma faktörü olarak dikkate alınmıştır. Test sonuçları, olasılık yoğunluk fonksiyonlarının en başarılı bulunma durumlarının meşceredeki ağaç sayısı ve meşcere orta çapı değerlerine bağlı olarak farklılık gösterdiğini ($p < 0,05$), ancak sıklık derecesi bakımından ise herhangi bir farklılık bulunmadığını ($p > 0,05$) ortaya koymuştur (Tablo

4.18.). Elde edilen sonuçlar meşceredeki ağaç sayısı bakımından değerlendirilecek olursa; Beta, Gamma-3p, Normal, Weibull-2p ve Weibull-3p fonksiyonlarının ağaç sayısının düşük olduğu meşcerelerde, Gamma-2p, Johnson SB ve Lognormal-3p fonksiyonlarının ağaç sayısının kısmen daha yüksek olduğu meşcerelerde ve Lognormal-2p fonksiyonunun da ağaç sayısının yüksek olduğu meşcerelerde daha başarılı olduğu anlaşılmaktadır. Meşcere orta çapı bakımından yapılan değerlendirmede ise, Gamma-2p, Gamma-3p ve Lognormal-2p fonksiyonlarının orta çapın düşük olduğu meşcerelerde, Johnson SB ve Lognormal-3p fonksiyonlarının orta çapın kısmen daha yüksek olduğu meşcerelerde ve Beta, Normal, Weibull-2p ve Weibull-3p fonksiyonlarının ise meşcere orta çapının yüksek olduğu meşcerelerde daha başarılı olduğu görülmektedir.

Olasılık yoğunluk fonksiyonlarının başarı sıralamalarının meşcerelerin kategorik olarak tanımlanan bonitet sınıfı, kapalılık, gelişim çağı ve meşcere tipi özelliklerine göre değişiminin belirlenmesinde Ki-kare (X^2) Testi kullanılmıştır. Testin uygulanışında her bir örnek alan için hata indeksi (e) ölçütüne göre en başarılı bulunan olasılık yoğunluk fonksiyonlarının ilgilenilen meşcere özelliğine göre 890 örnek alan içerisindeki frekans dağılımlarından yararlanılmıştır. Yapılan istatistiksel analizlere ilişkin sonuçlar, bonitet sınıfları için Tablo 4.19.'da, kapalılık sınıfları için Tablo 4.20.'de, gelişim çağı için Tablo 4.21.'de ve meşcere tipleri için de Tablo 4.22.'de verilmiştir. Gerçekleştirilen X^2 testleri sonucunda, olasılık yoğunluk fonksiyonlarının en başarılı bulunma durumlarının kapalılık sınıfları, gelişim çağı ve meşcere tipleri bakımından istatistiksel olarak anlamlı farklılık gösterdiği ($p < 0,05$), bonitet sınıfları bakımından ise anlamlı bir farklılık bulunmadığı ($p > 0,05$) belirlenmiştir.

Kapalılık sınıfına göre yapılan değerlendirmede, her üç kapalılık sınıfı için de örnek alanlar için en fazla sayıda en başarılı bulunan fonksiyon Johnson SB iken bu fonksiyonu Beta fonksiyonu izlemiştir. Diğer fonksiyonların en başarılı bulunma sayıları ise daha düşük değerler almış ve en az sayıda en başarılı bulunan fonksiyonlar ise 1. kapalılık sınıfı için Gamma-2p, 2. ve 3. kapalılık sınıfları için ise Gamma-3p olmuştur (Tablo 4.20.).

Tablo 4.18. *En başarılı bulunan olasılık yoğunluk fonksiyonlarının frekans dağılımlarının ağaç sayısı, orta çap ve sıklık derecesine göre Kruskal-Wallis Testi sonuçları*

| Meşcere Özelliği | Olasılık Yoğunluk Fonksiyonları | n | Minimum | Maksimum | Ortalama* | Standart Sapma | p |
|-----------------------|---------------------------------|-----|---------|----------|---------------------|----------------|---------|
| Ağaç sayısı (adet/ha) | Beta | 108 | 63 | 1700 | 418,0 ^c | 278,8 | < 0,001 |
| | Gamma-2p | 33 | 150 | 2250 | 796,5 ^{ab} | 540,6 | |
| | Gamma-3p | 22 | 233 | 1325 | 551,0 ^{bc} | 321,4 | |
| | Johnson SB | 388 | 50 | 3450 | 601,4 ^b | 416,2 | |
| | Lognormal-2p | 57 | 213 | 2600 | 931,3 ^a | 567,6 | |
| | Lognormal-3p | 64 | 100 | 1800 | 653,2 ^{ab} | 442,8 | |
| | Normal | 78 | 50 | 2450 | 545,8 ^{bc} | 357,7 | |
| | Weibull-2p | 69 | 100 | 1425 | 490,8 ^{bc} | 297,3 | |
| | Weibull-3p | 71 | 113 | 1750 | 497,3 ^{bc} | 308,8 | |
| Orta çap (cm) | Beta | 108 | 15,1 | 70,3 | 31,7 ^a | 9,2 | < 0,001 |
| | Gamma-2p | 33 | 9,7 | 48,7 | 23,1 ^{bc} | 9,9 | |
| | Gamma-3p | 22 | 12,7 | 35,4 | 22,4 ^{bc} | 6,3 | |
| | Johnson SB | 388 | 10,2 | 55,4 | 25,4 ^b | 9,8 | |
| | Lognormal-2p | 57 | 10,0 | 41,3 | 19,3 ^c | 8,1 | |
| | Lognormal-3p | 64 | 14,1 | 47,5 | 24,2 ^b | 8,0 | |
| | Normal | 78 | 11,4 | 62,6 | 28,8 ^a | 9,1 | |
| | Weibull-2p | 69 | 14,1 | 60,4 | 29,5 ^a | 10,6 | |
| | Weibull-3p | 71 | 14,2 | 85,3 | 28,7 ^{ab} | 10,3 | |
| Sıklık derecesi | Beta | 108 | 1,04 | 11,44 | 5,51 | 2,41 | 0,228 |
| | Gamma-2p | 33 | 0,79 | 11,16 | 5,37 | 2,46 | |
| | Gamma-3p | 22 | 1,24 | 9,34 | 4,38 | 2,10 | |
| | Johnson SB | 388 | 0,84 | 14,67 | 4,82 | 2,16 | |
| | Lognormal-2p | 57 | 1,24 | 10,40 | 4,79 | 2,12 | |
| | Lognormal-3p | 64 | 1,00 | 11,16 | 5,29 | 2,35 | |
| | Normal | 78 | 1,07 | 12,97 | 5,23 | 2,57 | |
| | Weibull-2p | 69 | 1,08 | 11,57 | 5,19 | 2,70 | |
| | Weibull-3p | 71 | 1,45 | 14,38 | 5,23 | 2,64 | |

*Farklı harfler ile gösterilen ortalamalar istatistiksel olarak farklı grupları ifade etmektedir ($p < 0,05$).

Tablo 4.19. *En başarılı bulunan olasılık yoğunluk fonksiyonlarının frekans dağılımlarının bonitet sınıflarına göre Ki-kare (X^2) Testi sonuçları*

| Bonitet Sınıfı | | Olasılık Yoğunluk Fonksiyonları | | | | | | | | | p |
|----------------------|---|---------------------------------|----------|----------|------------|--------------|--------------|--------|------------|------------|-------|
| | | Beta | Gamma-2p | Gamma-3p | Johnson SB | Lognormal-2p | Lognormal-3p | Normal | Weibull-2p | Weibull-3p | |
| I (14,5-20,5 m) | n | 33 | 12 | 6 | 96 | 17 | 19 | 23 | 15 | 22 | 0,219 |
| | % | 13,6 | 4,9 | 2,5 | 39,5 | 7,0 | 7,8 | 9,5 | 6,2 | 9,1 | |
| II (20,5-26,5 m) | n | 37 | 13 | 4 | 144 | 18 | 20 | 27 | 26 | 35 | |
| | % | 11,4 | 4,0 | 1,2 | 44,4 | 5,6 | 6,2 | 8,3 | 8,0 | 10,8 | |
| III (26,5-32,5 m) | n | 38 | 8 | 12 | 148 | 22 | 25 | 28 | 28 | 14 | |
| | % | 11,8 | 2,5 | 3,7 | 45,8 | 6,8 | 7,7 | 8,7 | 8,7 | 4,3 | |

Tablo 4.20. En başarılı bulunan olasılık yoğunluk fonksiyonlarının frekans dağılımlarının kapalılık sınıflarına göre Ki-kare (X^2) Testi sonuçları

| Kapalılık Sınıfı | Olasılık Yoğunluk Fonksiyonları | | | | | | | | | | p |
|------------------|---------------------------------|------------|-----------|------------|--------------|--------------|-----------|------------|------------|-----------|-------|
| | Beta | Gamma-2p | Gamma-3p | Johnson SB | Lognormal-2p | Lognormal-3p | Normal | Weibull-2p | Weibull-3p | | |
| 1 (%11-40) | n % | 27 15,5 | 3 1,7 | 8 4,6 | 73 42,0 | 8 4,6 | 13 7,5 | 12 6,9 | 13 7,5 | 17 9,8 | 0,009 |
| 2 (%41-70) | n % | 39 12,5 | 11 3,5 | 6 1,9 | 149 47,9 | 8 2,6 | 19 6,1 | 31 10,0 | 22 7,1 | 26 8,4 | |
| 3 (>%70) | n % | 42 10,4 | 19 4,7 | 8 2,0 | 166 41,0 | 41 10,1 | 32 7,9 | 35 8,6 | 34 8,4 | 28 6,9 | |

Tablo 4.21. En başarılı bulunan olasılık yoğunluk fonksiyonlarının frekans dağılımlarının gelişim çağlarına göre Ki-kare (X^2) Testi sonuçları

| Gelişim Çağı | Olasılık Yoğunluk Fonksiyonları | | | | | | | | | | p |
|--------------|---------------------------------|------------|----------|------------|--------------|--------------|------------|------------|------------|------------|--------|
| | Beta | Gamma-2p | Gamma-3p | Johnson SB | Lognormal-2p | Lognormal-3p | Normal | Weibull-2p | Weibull-3p | | |
| b | n % | 1 0,9 | 9 8,3 | 2 1,8 | 50 45,9 | 24 22,0 | 9 8,3 | 6 5,5 | 4 3,7 | 4 3,7 | <0,001 |
| bc | n % | 6 3,3 | 7 3,9 | 6 3,3 | 98 54,1 | 11 6,1 | 22 12,2 | 8 4,4 | 13 7,2 | 10 5,5 | |
| c | n % | 27 15,6 | 3 1,7 | 6 3,5 | 68 39,3 | 6 3,5 | 8 4,6 | 20 11,6 | 18 10,4 | 17 9,8 | |
| cd | n % | 43 17,3 | 8 3,2 | 7 2,8 | 99 39,8 | 14 5,6 | 16 6,4 | 25 10,0 | 17 6,8 | 20 8,0 | |
| d | n % | 31 17,4 | 6 3,4 | 1 0,6 | 73 41,0 | 2 1,1 | 9 5,1 | 19 10,7 | 17 9,6 | 20 11,2 | |

Gelişim çağları bakımından yapılan değerlendirmede, tüm gelişim çağları için örnek alanlar için en fazla sayıda en başarılı bulunan fonksiyon Johnson SB olurken bu fonksiyonu b çağında Lognormal-2p, bc çağında Lognormal-3p ve c, cd ve d çağlarında Beta fonksiyonları izlemiştir. Diğer fonksiyonların en başarılı bulunma sayıları daha düşük değerler alırken, en az sayıda en başarılı bulunan fonksiyonlar ise b çağı için Beta, bc çağı için Beta ve Gamma-3p, c çağı Gamma-2p, cd ve d çağları için ise Gamma-3p olmuştur (Tablo 4.21.).

Tablo 4.22. En başarılı bulunan olasılık yoğunluk fonksiyonlarının frekans dağılımlarının meşcere tiplerine göre Ki-kare (X^2) Testi sonuçları

| Meşcere Tipi | Olasılık Yoğunluk Fonksiyonları | | | | | | | | | | P |
|--------------|---------------------------------|----------|----------|------------|--------------|--------------|--------|------------|------------|------|--------|
| | Beta | Gamma-2p | Gamma-3p | Johnson SB | Lognormal-2p | Lognormal-3p | Normal | Weibull-2p | Weibull-3p | | |
| Çsb1 | n | 0 | 0 | 0 | 3 | 2 | 0 | 0 | 0 | 0 | <0,001 |
| | % | 0,0 | 0,0 | 0,0 | 60,0 | 40,0 | 0,0 | 0,0 | 0,0 | 0,0 | |
| Çsb2 | n | 0 | 1 | 0 | 7 | 1 | 2 | 1 | 1 | 1 | |
| | % | 0,0 | 7,1 | 0,0 | 50,0 | 7,1 | 14,3 | 7,1 | 7,1 | 7,1 | |
| Çsb3 | n | 1 | 8 | 2 | 40 | 21 | 7 | 5 | 3 | 3 | |
| | % | 1,1 | 8,9 | 2,2 | 44,4 | 23,3 | 7,8 | 5,6 | 3,3 | 3,3 | |
| Çsbc1 | n | 1 | 2 | 2 | 17 | 0 | 7 | 0 | 2 | 3 | |
| | % | 2,9 | 5,9 | 5,9 | 50,0 | 0,0 | 20,6 | 0,0 | 5,9 | 8,8 | |
| Çsbc2 | n | 0 | 1 | 3 | 38 | 2 | 3 | 6 | 3 | 2 | |
| | % | 0,0 | 1,7 | 5,2 | 65,5 | 3,4 | 5,2 | 10,3 | 5,2 | 3,4 | |
| Çsbc3 | n | 5 | 4 | 1 | 43 | 9 | 12 | 2 | 8 | 5 | |
| | % | 5,6 | 4,5 | 1,1 | 48,3 | 10,1 | 13,5 | 2,2 | 9,0 | 5,6 | |
| Çsc1 | n | 1 | 0 | 2 | 6 | 0 | 1 | 1 | 2 | 3 | |
| | % | 6,3 | 0,0 | 12,5 | 37,5 | 0,0 | 6,3 | 6,3 | 12,5 | 18,8 | |
| Çsc2 | n | 11 | 2 | 2 | 29 | 0 | 4 | 5 | 7 | 7 | |
| | % | 16,4 | 3,0 | 3,0 | 43,3 | 0,0 | 6,0 | 7,5 | 10,4 | 10,4 | |
| Çsc3 | n | 15 | 1 | 2 | 33 | 6 | 3 | 14 | 9 | 7 | |
| | % | 16,7 | 1,1 | 2,2 | 36,7 | 6,7 | 3,3 | 15,6 | 10,0 | 7,8 | |
| Çscd1 | n | 13 | 0 | 4 | 27 | 6 | 2 | 8 | 3 | 6 | |
| | % | 18,8 | 0,0 | 5,8 | 39,1 | 8,7 | 2,9 | 11,6 | 4,3 | 8,7 | |
| Çscd2 | n | 15 | 3 | 0 | 40 | 3 | 6 | 11 | 3 | 9 | |
| | % | 16,7 | 3,3 | 0,0 | 44,4 | 3,3 | 6,7 | 12,2 | 3,3 | 10,0 | |
| Çscd3 | n | 15 | 5 | 3 | 32 | 5 | 8 | 6 | 11 | 5 | |
| | % | 16,7 | 5,6 | 3,3 | 35,6 | 5,6 | 8,9 | 6,7 | 12,2 | 5,6 | |
| Çsd1 | n | 12 | 1 | 0 | 20 | 0 | 3 | 3 | 6 | 5 | |
| | % | 24,0 | 2,0 | 0,0 | 40,0 | 0,0 | 6,0 | 6,0 | 12,0 | 10,0 | |
| Çsd2 | n | 13 | 4 | 1 | 35 | 2 | 4 | 8 | 8 | 7 | |
| | % | 15,9 | 4,9 | 1,2 | 42,7 | 2,4 | 4,9 | 9,8 | 9,8 | 8,5 | |
| Çsd3 | n | 6 | 1 | 0 | 18 | 0 | 2 | 8 | 3 | 8 | |
| | % | 13,0 | 2,2 | 0,0 | 39,1 | 0,0 | 4,3 | 17,4 | 6,5 | 17,4 | |

Meşcere tipleri için yapılan değerlendirmede de yine tüm meşcere tipleri için örnek alanlar için en fazla sayıda en başarılı bulunan fonksiyon Johnson SB olmuş, diğer fonksiyonların en başarılı bulunma sayıları ise daha düşük değerler almıştır (Tablo 4.22.). Ülkemizde meşcere tipleri ayırımında dikkate alınan meşcere özelliklerinin gelişim çağı ve kapallılık sınıfı olduğu düşünüldüğünde, en başarılı bulunan olasılık yoğunluk fonksiyonlarının frekans dağılımlarının Tablo 4.22.'de görüldüğü gibi bonitet sınıfları ayırımına gitmeden değerlendirilmesi de önemli bilgiler sunmakla birlikte bu dağılımların bonitet sınıfları için ayrı ayrı incelenmesi de önemlidir. Çünkü

meşcere özelliklerinin ortaya konulmasında gelişim çağı ve kapalılık sınıfıyla birlikte bonitet sınıfları da oldukça önemli bir meşcere özelliğidir. Bu nedenle, en başarılı bulunan olasılık yoğunluk fonksiyonlarının frekans dağılımları meşcere tiplerine göre her bir bonitet sınıfı için ayrı ayrı olacak şekilde yeniden analiz edilmiştir. Bu analizlere ilişkin sonuçlar I. bonitet sınıfı için Tablo 4.23.'te, II. bonitet sınıfı için Tablo 4.24.'te ve III. bonitet sınıfı için Tablo 4.25.'te verilmiştir.

Tablo 4.23. En başarılı bulunan olasılık yoğunluk fonksiyonlarının frekans dağılımlarının meşcere tiplerine göre Ki-kare (X^2) Testi sonuçları (I. Bonitet)

| Meşcere Tipi | Olasılık Yoğunluk Fonksiyonları | | | | | | | | | | p |
|--------------|---------------------------------|----------|----------|------------|--------------|--------------|--------|------------|------------|------|-------|
| | Beta | Gamma-2p | Gamma-3p | Johnson SB | Lognormal-2p | Lognormal-3p | Normal | Weibull-2p | Weibull-3p | | |
| Çsb1 | n | 0 | 0 | 0 | 2 | 1 | 0 | 0 | 0 | 0 | 0,167 |
| | % | 0,0 | 0,0 | 0,0 | 66,7 | 33,3 | 0,0 | 0,0 | 0,0 | 0,0 | |
| Çsb2 | n | 0 | 0 | 0 | 2 | 0 | 0 | 0 | 0 | 0 | |
| | % | 0,0 | 0,0 | 0,0 | 100,0 | 0,0 | 0,0 | 0,0 | 0,0 | 0,0 | |
| Çsb3 | n | 0 | 3 | 2 | 12 | 6 | 4 | 2 | 1 | 0 | |
| | % | 0,0 | 10,0 | 6,7 | 40,0 | 20,0 | 13,3 | 6,7 | 3,3 | 0,0 | |
| Çsbc2 | n | 0 | 0 | 1 | 3 | 0 | 0 | 0 | 1 | 0 | |
| | % | 0,0 | 0,0 | 20,0 | 60,0 | 0,0 | 0,0 | 0,0 | 20,0 | 0,0 | |
| Çsbc3 | n | 2 | 1 | 0 | 9 | 4 | 6 | 1 | 4 | 3 | |
| | % | 6,7 | 3,3 | 0,0 | 30,0 | 13,3 | 20,0 | 3,3 | 13,3 | 10,0 | |
| Çsc1 | n | 0 | 0 | 0 | 1 | 0 | 0 | 0 | 1 | 1 | |
| | % | 0,0 | 0,0 | 0,0 | 33,3 | 0,0 | 0,0 | 0,0 | 33,3 | 33,3 | |
| Çsc2 | n | 3 | 1 | 1 | 6 | 0 | 1 | 2 | 0 | 3 | |
| | % | 17,6 | 5,9 | 5,9 | 35,3 | 0,0 | 5,9 | 11,8 | 0,0 | 17,6 | |
| Çsc3 | n | 6 | 1 | 2 | 10 | 3 | 1 | 3 | 0 | 4 | |
| | % | 20,0 | 3,3 | 6,7 | 33,3 | 10,0 | 3,3 | 10,0 | 0,0 | 13,3 | |
| Çscd1 | n | 2 | 0 | 0 | 5 | 0 | 0 | 2 | 0 | 2 | |
| | % | 18,2 | 0,0 | 0,0 | 45,5 | 0,0 | 0,0 | 18,2 | 0,0 | 18,2 | |
| Çscd2 | n | 5 | 2 | 0 | 15 | 0 | 3 | 4 | 0 | 1 | |
| | % | 16,7 | 6,7 | 0,0 | 50,0 | 0,0 | 10,0 | 13,3 | 0,0 | 3,3 | |
| Çscd3 | n | 7 | 1 | 0 | 9 | 3 | 3 | 3 | 3 | 1 | |
| | % | 23,3 | 3,3 | 0,0 | 30,0 | 10,0 | 10,0 | 10,0 | 10,0 | 3,3 | |
| Çsd1 | n | 2 | 0 | 0 | 4 | 0 | 0 | 2 | 0 | 1 | |
| | % | 22,2 | 0,0 | 0,0 | 44,4 | 0,0 | 0,0 | 22,2 | 0,0 | 11,1 | |
| Çsd2 | n | 2 | 2 | 0 | 12 | 0 | 1 | 1 | 5 | 2 | |
| | % | 8,0 | 8,0 | 0,0 | 48,0 | 0,0 | 4,0 | 4,0 | 20,0 | 8,0 | |
| Çsd3 | n | 4 | 1 | 0 | 6 | 0 | 0 | 3 | 0 | 4 | |
| | % | 22,2 | 5,6 | 0,0 | 33,3 | 0,0 | 0,0 | 16,7 | 0,0 | 22,2 | |

Tablo 4.24. En başarılı bulunan olasılık yoğunluk fonksiyonlarının frekans dağılımlarının meşçere tiplerine göre Ki-kare (χ^2) Testi sonuçları (II. Bonitet)

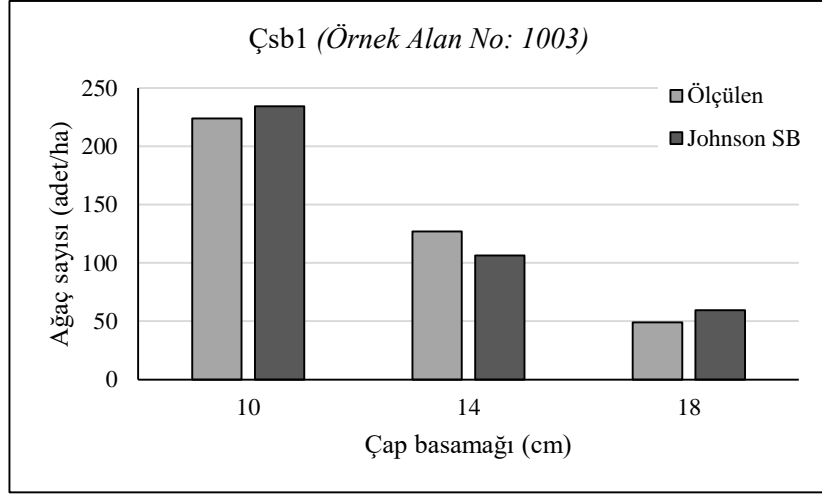
| Meşçere Tipi | Olasılık Yoğunluk Fonksiyonları | | | | | | | | | | P |
|--------------|---------------------------------|----------|----------|------------|--------------|--------------|--------|------------|------------|------|-------|
| | Beta | Gamma-2p | Gamma-3p | Johnson SB | Lognormal-2p | Lognormal-3p | Normal | Weibull-2p | Weibull-3p | | |
| Çsb1 | n | 0 | 0 | 0 | 1 | 1 | 0 | 0 | 0 | 0 | 0,027 |
| | % | 0,0 | 0,0 | 0,0 | 50,0 | 50,0 | 0,0 | 0,0 | 0,0 | 0,0 | |
| Çsb2 | n | 0 | 0 | 0 | 1 | 0 | 1 | 0 | 0 | 1 | |
| | % | 0,0 | 0,0 | 0,0 | 33,3 | 0,0 | 33,3 | 0,0 | 0,0 | 33,3 | |
| Çsb3 | n | 0 | 4 | 0 | 12 | 6 | 2 | 2 | 1 | 3 | |
| | % | 0,0 | 13,3 | 0,0 | 40,0 | 20,0 | 6,7 | 6,7 | 3,3 | 10,0 | |
| Çsbc1 | n | 1 | 1 | 0 | 3 | 0 | 1 | 0 | 0 | 1 | |
| | % | 14,3 | 14,3 | 0,0 | 42,9 | 0,0 | 14,3 | 0,0 | 0,0 | 14,3 | |
| Çsbc2 | n | 0 | 1 | 1 | 15 | 1 | 1 | 1 | 1 | 2 | |
| | % | 0,0 | 4,3 | 4,3 | 65,2 | 4,3 | 4,3 | 4,3 | 4,3 | 8,7 | |
| Çsbc3 | n | 1 | 0 | 1 | 18 | 1 | 3 | 1 | 3 | 2 | |
| | % | 3,3 | 0,0 | 3,3 | 60,0 | 3,3 | 10,0 | 3,3 | 10,0 | 6,7 | |
| Çsc1 | n | 0 | 0 | 1 | 1 | 0 | 0 | 1 | 0 | 2 | |
| | % | 0,0 | 0,0 | 20,0 | 20,0 | 0,0 | 0,0 | 20,0 | 0,0 | 40,0 | |
| Çsc2 | n | 5 | 1 | 0 | 13 | 0 | 1 | 2 | 4 | 4 | |
| | % | 16,7 | 3,3 | 0,0 | 43,3 | 0,0 | 3,3 | 6,7 | 13,3 | 13,3 | |
| Çsc3 | n | 4 | 0 | 0 | 10 | 2 | 1 | 5 | 6 | 2 | |
| | % | 13,3 | 0,0 | 0,0 | 33,3 | 6,7 | 3,3 | 16,7 | 20,0 | 6,7 | |
| Çscd1 | n | 6 | 0 | 1 | 12 | 4 | 1 | 1 | 1 | 3 | |
| | % | 20,7 | 0,0 | 3,4 | 41,4 | 13,8 | 3,4 | 3,4 | 3,4 | 10,3 | |
| Çscd2 | n | 7 | 0 | 0 | 11 | 1 | 2 | 3 | 1 | 5 | |
| | % | 23,3 | 0,0 | 0,0 | 36,7 | 3,3 | 6,7 | 10,0 | 3,3 | 16,7 | |
| Çscd3 | n | 3 | 3 | 0 | 10 | 1 | 4 | 2 | 3 | 4 | |
| | % | 10,0 | 10,0 | 0,0 | 33,3 | 3,3 | 13,3 | 6,7 | 10,0 | 13,3 | |
| Çsd1 | n | 6 | 1 | 0 | 12 | 0 | 0 | 1 | 3 | 1 | |
| | % | 25,0 | 4,2 | 0,0 | 50,0 | 0,0 | 0,0 | 4,2 | 12,5 | 4,2 | |
| Çsd2 | n | 4 | 2 | 0 | 13 | 1 | 1 | 4 | 3 | 2 | |
| | % | 13,3 | 6,7 | 0,0 | 43,3 | 3,3 | 3,3 | 13,3 | 10,0 | 6,7 | |
| Çsd3 | n | 0 | 0 | 0 | 12 | 0 | 2 | 4 | 0 | 3 | |
| | % | 0,0 | 0,0 | 0,0 | 57,1 | 0,0 | 9,5 | 19,0 | 0,0 | 14,3 | |

Olasılık yoğunluk fonksiyonlarının en başarılı bulunma durumlarının meşçere tipleri bakımından farklılık gösterip göstermediğinin belirlenmesi amacıyla bonitet sınıfları için ayrı ayrı yapılan analizler sonucunda, I. bonitet sınıfında anlamlı bir farklılık bulunmadığı ($p>0,05$), II. ve III. bonitet sınıflarında ise anlamlı farklılık bulunduğu ($p<0,05$) belirlenmiştir.

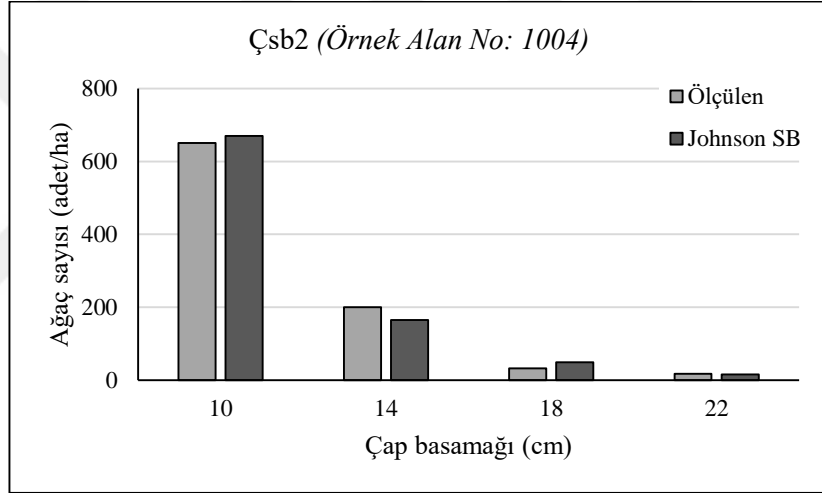
Tablo 4.25. En başarılı bulunan olasılık yoğunluk fonksiyonlarının frekans dağılımlarının meşcere tiplerine göre Ki-kare (X^2) Testi sonuçları (III. Bonitet)

| Meşcere Tipi | Olasılık Yoğunluk Fonksiyonları | | | | | | | | | p | |
|-----------------|---------------------------------|----------|----------|------------|--------------|--------------|--------|------------|------------|------|--------|
| | Beta | Gamma-2p | Gamma-3p | Johnson SB | Lognormal-2p | Lognormal-3p | Normal | Weibull-2p | Weibull-3p | | |
| Çsb2 | n | 0 | 1 | 0 | 4 | 1 | 1 | 1 | 1 | 0 | <0,001 |
| | % | 0,0 | 11,1 | 0,0 | 44,4 | 1,11 | 1,11 | 1,11 | 1,11 | 0,0 | |
| Çsb3 | n | 1 | 1 | 0 | 16 | 9 | 1 | 1 | 1 | 0 | |
| | % | 3,3 | 3,3 | 0,0 | 53,3 | 30,0 | 3,3 | 3,3 | 3,3 | 0,0 | |
| Çsbc1 | n | 0 | 1 | 2 | 14 | 0 | 6 | 0 | 2 | 2 | |
| | % | 0,0 | 3,7 | 7,4 | 51,9 | 0,0 | 22,2 | 0,0 | 7,4 | 7,4 | |
| Çsbc2 | n | 0 | 0 | 1 | 20 | 1 | 2 | 5 | 1 | 0 | |
| | % | 0,0 | 0,0 | 3,3 | 66,7 | 3,3 | 6,7 | 16,7 | 3,3 | 0,0 | |
| Çsbc3 | n | 2 | 3 | 0 | 16 | 4 | 3 | 0 | 1 | 0 | |
| | % | 6,9 | 10,3 | 0,0 | 55,2 | 13,8 | 10,3 | 0,0 | 3,4 | 0,0 | |
| Çsc1 | n | 1 | 0 | 1 | 4 | 0 | 1 | 0 | 1 | 0 | |
| | % | 12,5 | 0,0 | 12,5 | 50,0 | 0,0 | 12,5 | 0,0 | 12,5 | 0,0 | |
| Çsc2 | n | 3 | 0 | 1 | 10 | 0 | 2 | 1 | 3 | 0 | |
| | % | 15,0 | 0,0 | 5,0 | 50,0 | 0,0 | 10,0 | 5,0 | 15,0 | 0,0 | |
| Çsc3 | n | 5 | 0 | 0 | 13 | 1 | 1 | 6 | 3 | 1 | |
| | % | 16,7 | 0,0 | 0,0 | 43,3 | 3,3 | 3,3 | 20,0 | 10,0 | 3,3 | |
| Çscd1 | n | 5 | 0 | 3 | 10 | 2 | 1 | 5 | 2 | 1 | |
| | % | 17,2 | 0,0 | 10,3 | 34,5 | 6,9 | 3,4 | 17,2 | 6,9 | 3,4 | |
| Çscd2 | n | 3 | 1 | 0 | 14 | 2 | 1 | 4 | 2 | 3 | |
| | % | 10,0 | 3,3 | 0,0 | 46,7 | 6,7 | 3,3 | 13,3 | 6,7 | 10,0 | |
| Çscd3 | n | 5 | 1 | 3 | 13 | 1 | 1 | 1 | 5 | 0 | |
| | % | 16,7 | 3,3 | 10,0 | 43,3 | 3,3 | 3,3 | 3,3 | 16,7 | 0,0 | |
| Çsd1 | n | 4 | 0 | 0 | 4 | 0 | 3 | 0 | 3 | 3 | |
| | % | 23,5 | 0,0 | 0,0 | 23,5 | 0,0 | 17,6 | 0,0 | 17,6 | 17,6 | |
| Çsd2 | n | 7 | 0 | 1 | 10 | 1 | 2 | 3 | 0 | 3 | |
| | % | 25,9 | 0,0 | 3,7 | 37,0 | 3,7 | 7,4 | 11,1 | 0,0 | 11,1 | |
| Çsd3 | n | 2 | 0 | 0 | 0 | 0 | 0 | 1 | 3 | 1 | |
| | % | 28,6 | 0,0 | 0,0 | 0,0 | 0,0 | 0,0 | 14,3 | 42,9 | 14,3 | |

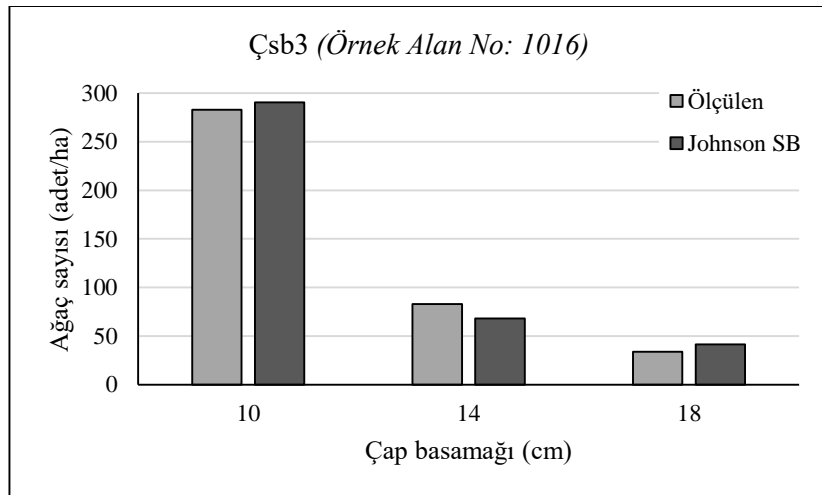
Çalışmada elde edilen bulgular, Kastamonu yöresi saf sarıçam meşcerelerinin çap dağılımlarının modellenmesinde en başarılı olasılık yoğunluk fonksiyonunun Johnson SB fonksiyonu olduğunu göstermektedir. Bu fonksiyonun başarısını görsel olarak da ortaya koyabilmek için örnek alanlardaki çap basamakları için bu fonksiyon yardımıyla hesaplanan tahmini ağaç sayıları ile gerçek ağaç sayılarını karşılaştırmak üzere bonitet sınıfları için ayrı ayrı olacak şekilde her bir meşcere tipi için grafikler çizilmiştir (Şekil 4.2. - Şekil 4.44.). Bu grafikler için meşcere tiplerini temsil edecek örnek alanlar belirlenmiş olup, bu örnek alanların seçiminde ilgili örnek alan için en başarılı olarak belirlenen fonksiyonun Johnson SB olmasına dikkat edilmiştir.



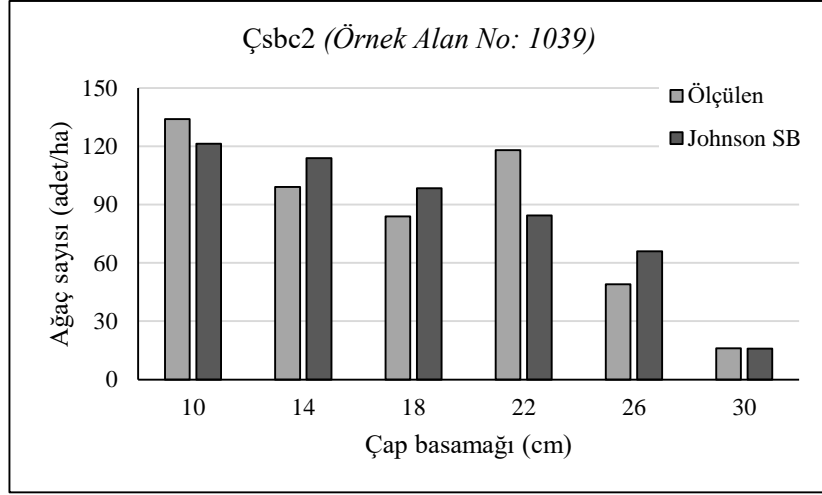
Şekil 4.2. Çsb1 (I. Bonitet) meşceresi için Johnson SB dağılımı



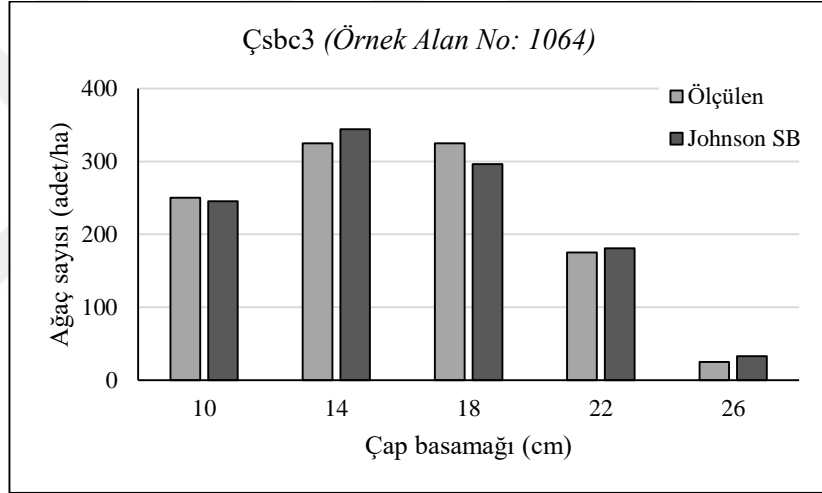
Şekil 4.3. Çsb2 (I. Bonitet) meşceresi için Johnson SB dağılımı



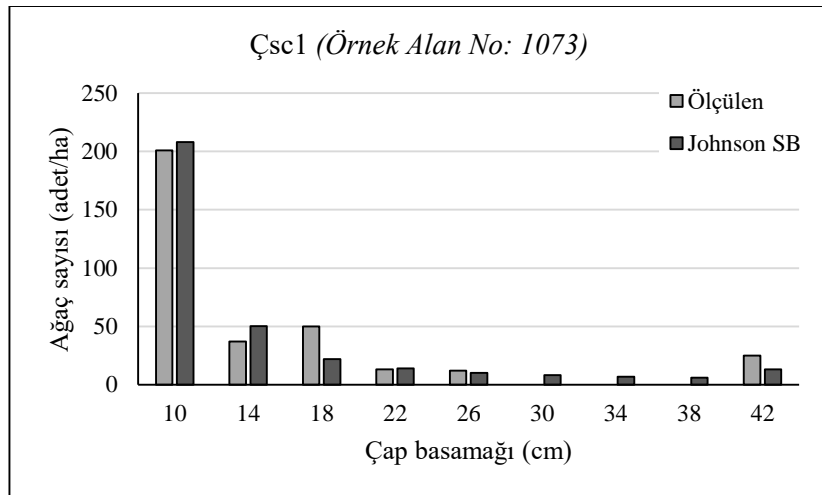
Şekil 4.4. Çsb3 (I. Bonitet) meşceresi için Johnson SB dağılımı



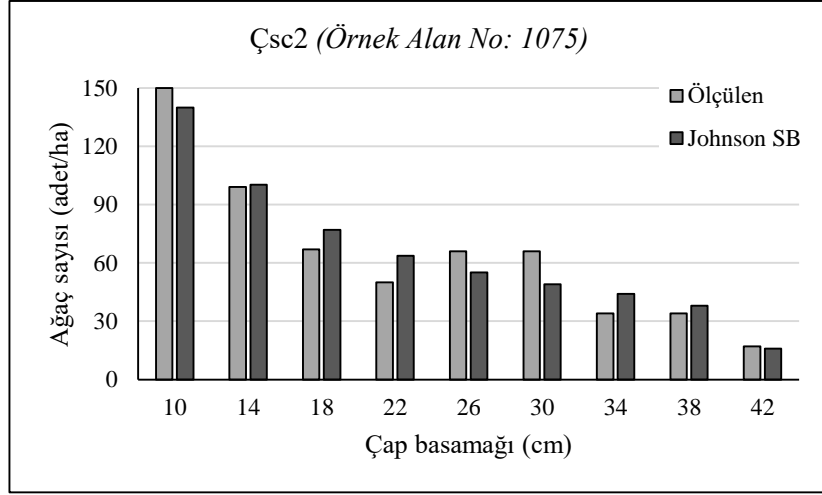
Şekil 4.5. Çsbc2 (I. Bonitet) meşçeresi için Johnson SB dağılımı



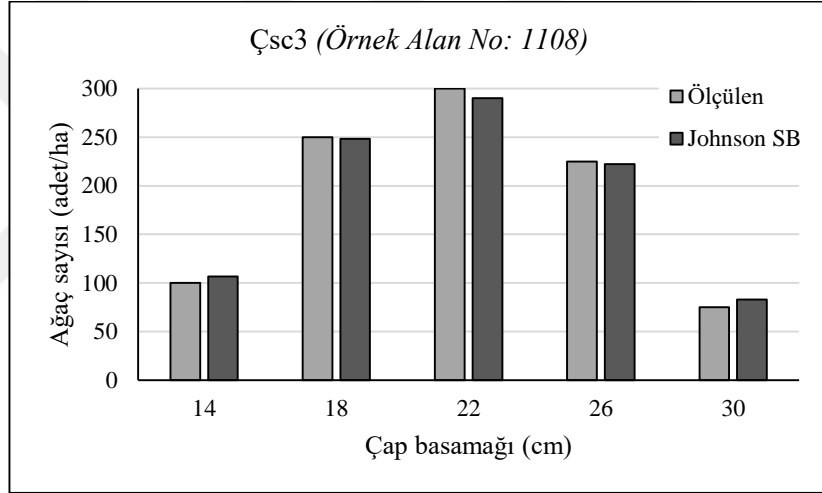
Şekil 4.6. Çsbc3 (I. Bonitet) meşçeresi için Johnson SB dağılımı



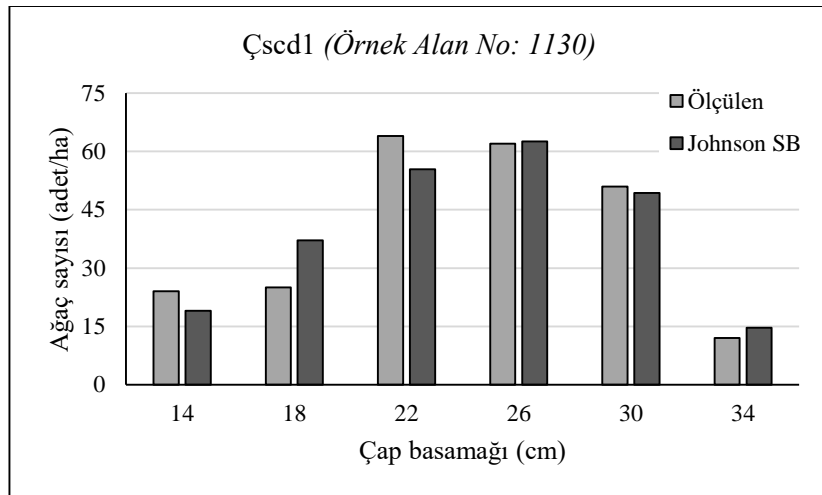
Şekil 4.7. Çsc1 (I. Bonitet) meşçeresi için Johnson SB dağılımı



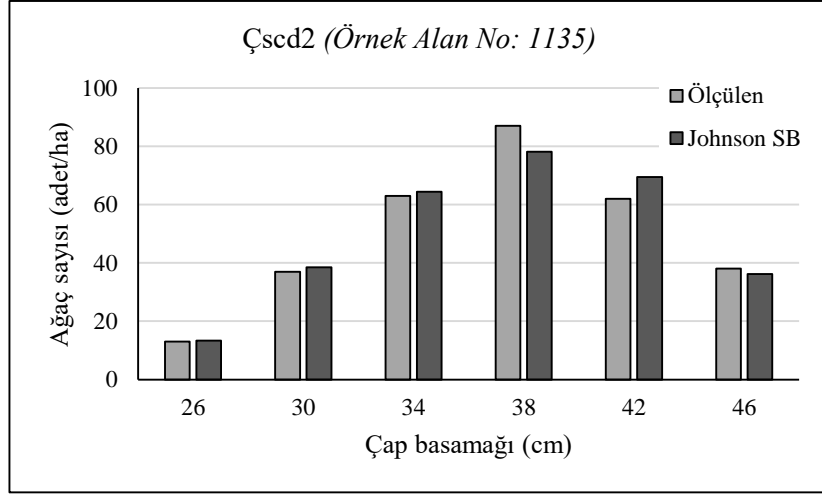
Şekil 4.8. Çsc2 (I. Bonitet) meşçeresi için Johnson SB dağılımı



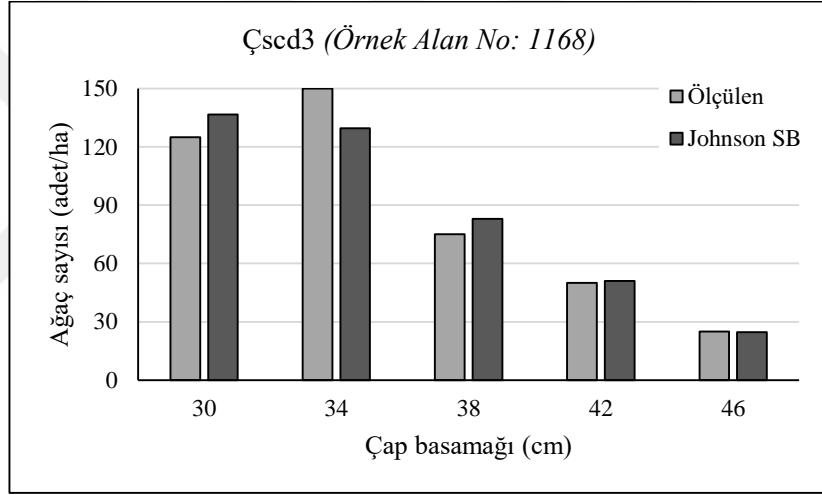
Şekil 4.9. Çsc3 (I. Bonitet) meşçeresi için Johnson SB dağılımı



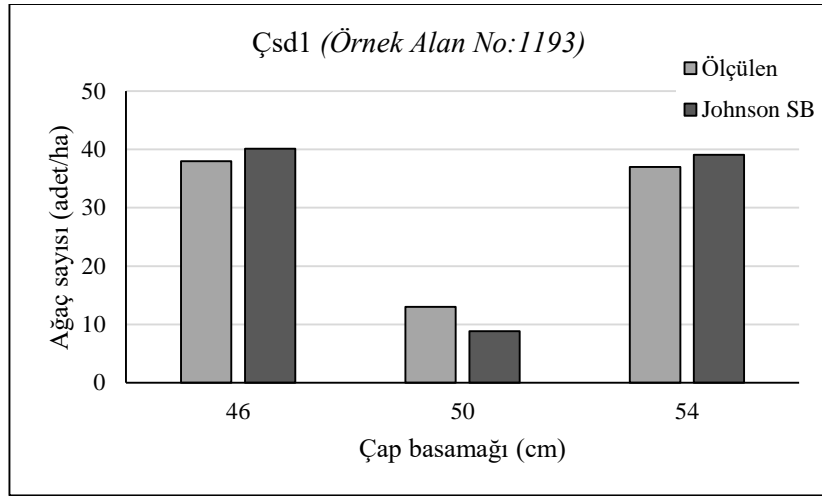
Şekil 4.10. Çscd1 (I. Bonitet) meşçeresi için Johnson SB dağılımı



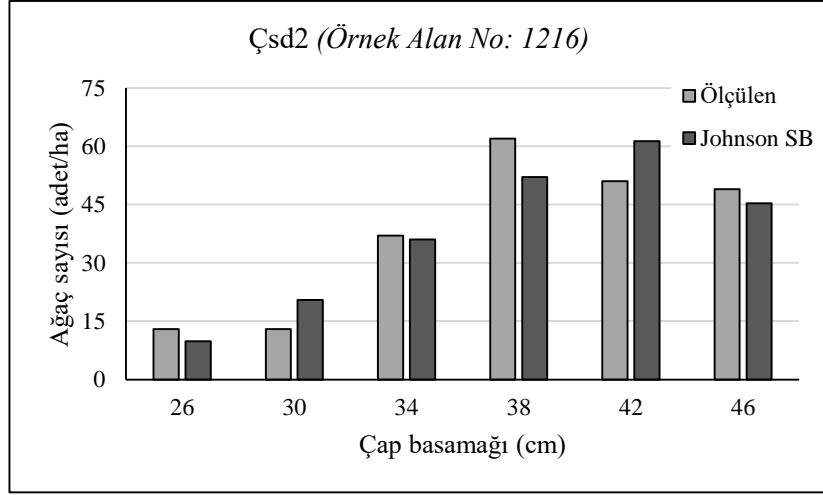
Şekil 4.11. Çscd2 (I. Bonitet) meşceresi için Johnson SB dağılımı



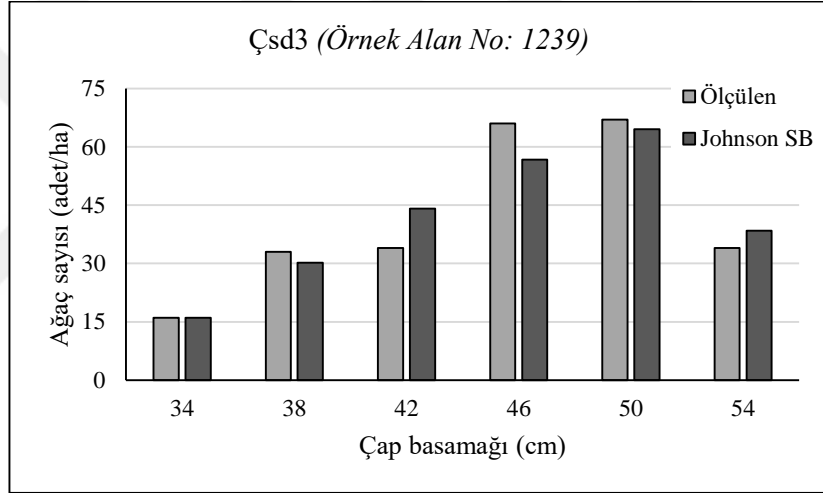
Şekil 4.12. Çscd3 (I. Bonitet) meşceresi için Johnson SB dağılımı



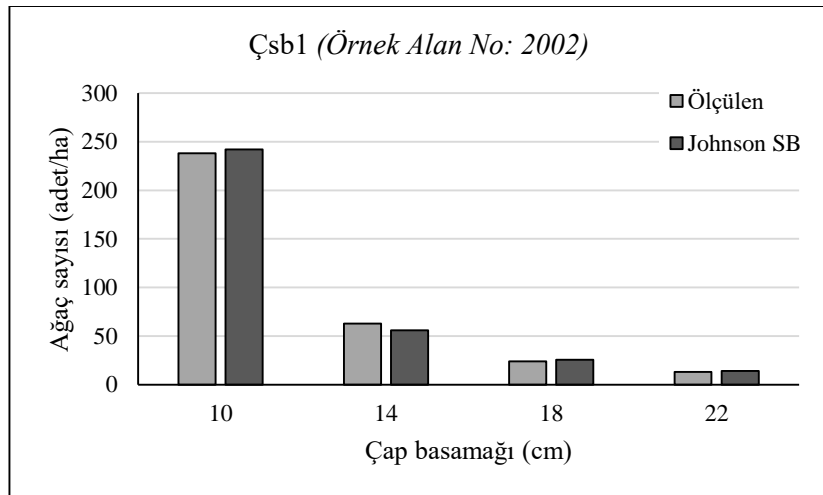
Şekil 4.13. Çsd1 (I. Bonitet) meşceresi için Johnson SB dağılımı



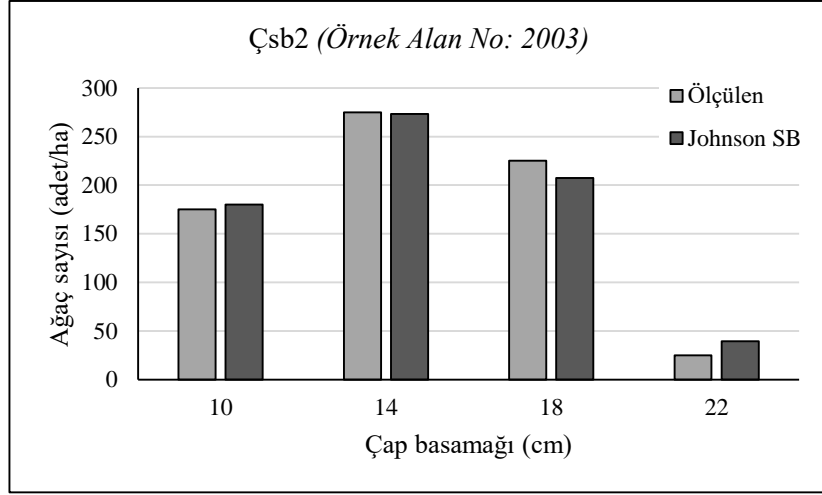
Şekil 4.14. Çsd2 (I. Bonitet) meşceresi için Johnson SB dağılımı



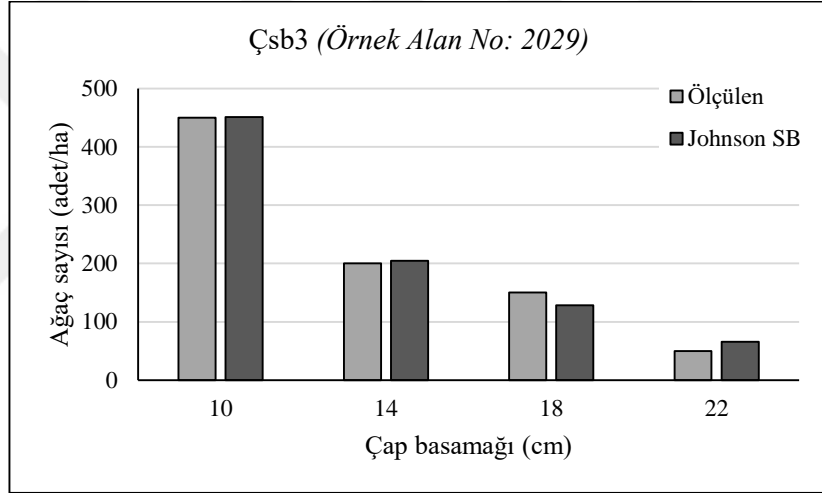
Şekil 4.15. Çsd3 (I. Bonitet) meşceresi için Johnson SB dağılımı



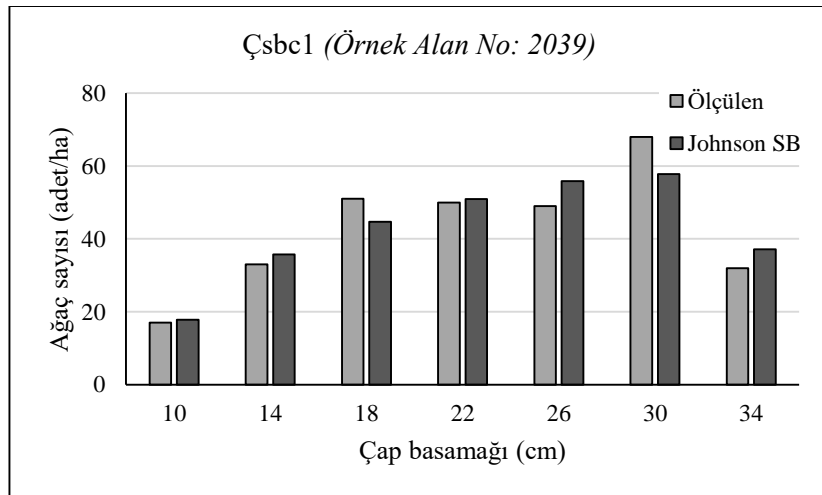
Şekil 4.16. Çsb1 (II. Bonitet) meşceresi için Johnson SB dağılımı



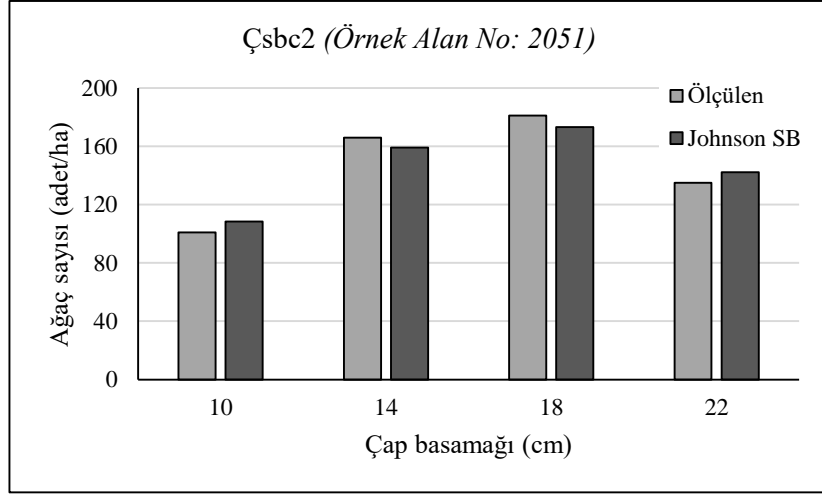
Şekil 4.17. Çsb2 (II. Bonitet) meşceresi için Johnson SB dağılımı



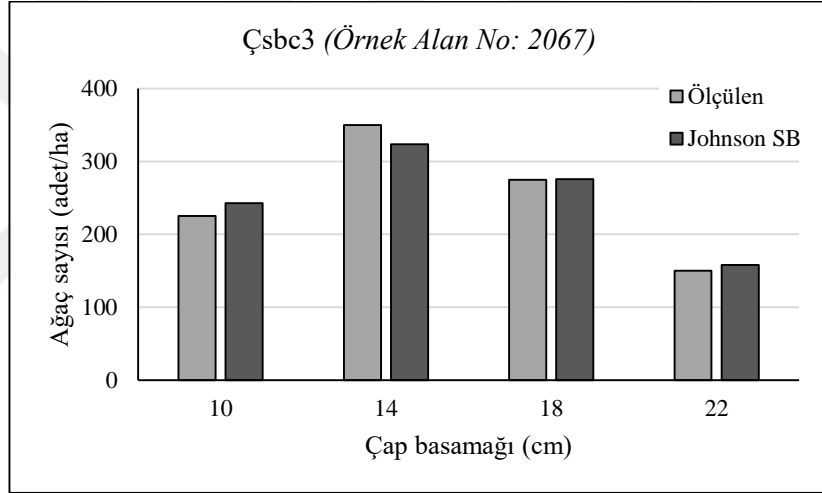
Şekil 4.18. Çsb3 (II. Bonitet) meşceresi için Johnson SB dağılımı



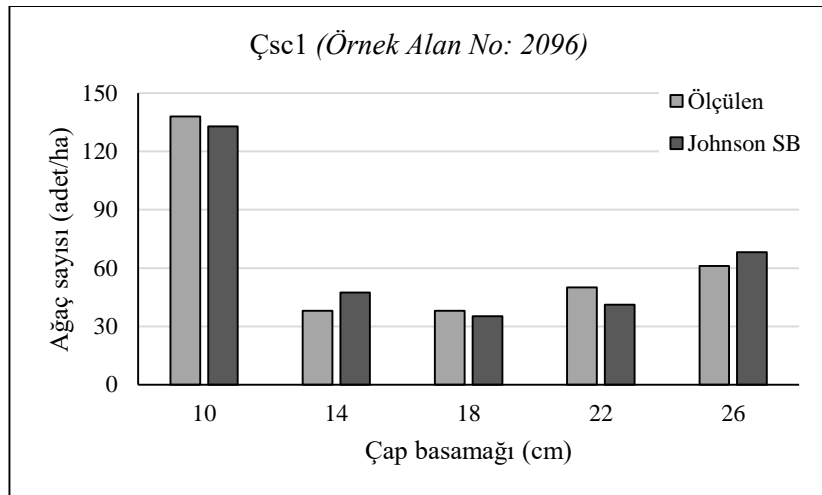
Şekil 4.19. Çsb1 (II. Bonitet) meşceresi için Johnson SB dağılımı



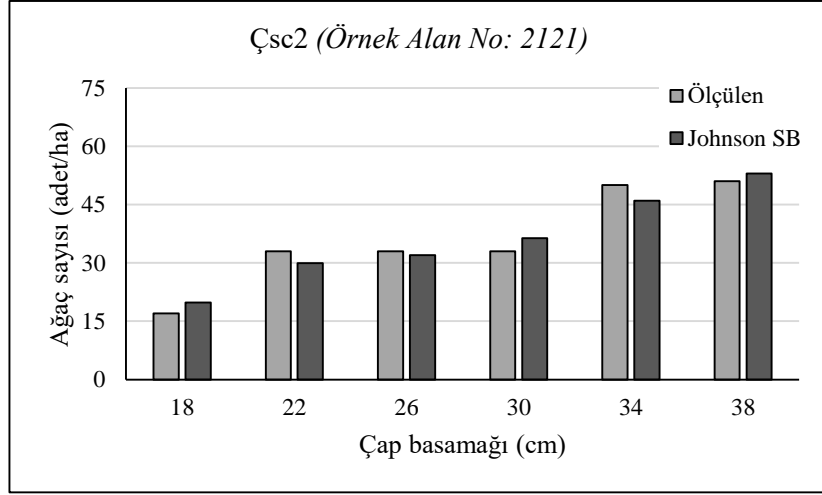
Şekil 4.20. Çsbc2 (II. Bonitet) meşceresi için Johnson SB dağılımı



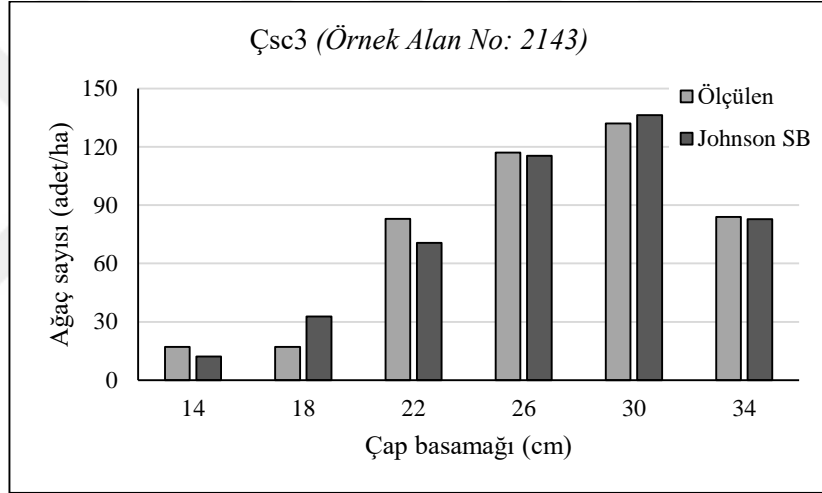
Şekil 4.21. Çsbc3 (II. Bonitet) meşceresi için Johnson SB dağılımı



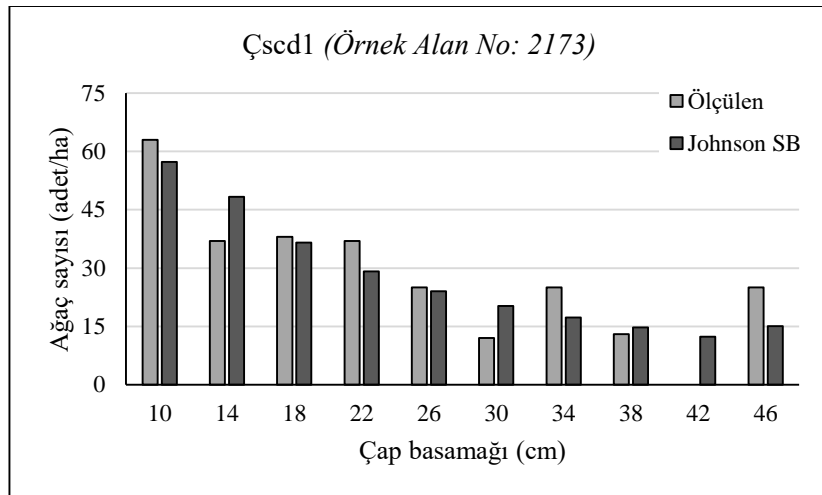
Şekil 4.22. Çsc1 (II. Bonitet) meşceresi için Johnson SB dağılımı



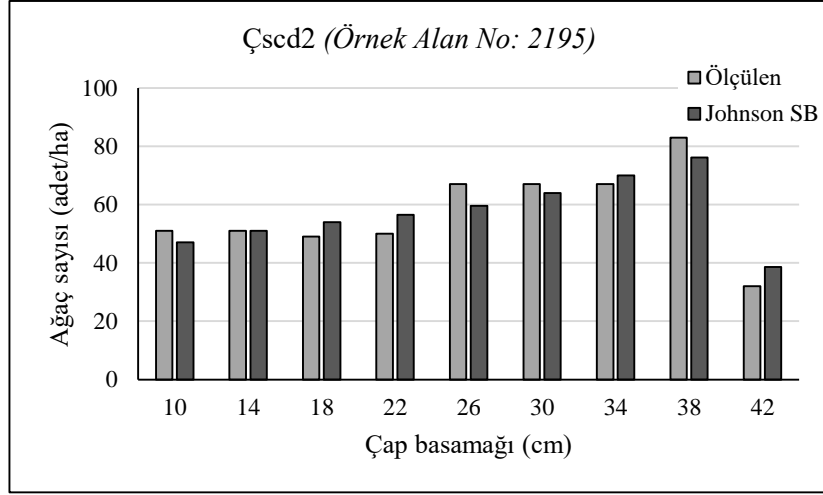
Şekil 4.23. Çsc2 (II. Bonitet) meşceresi için Johnson SB dağılımı



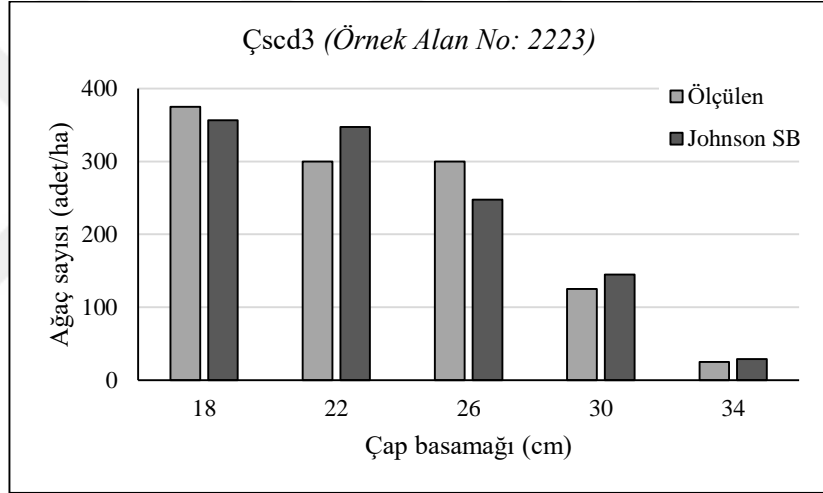
Şekil 4.24. Çsc3 (II. Bonitet) meşceresi için Johnson SB dağılımı



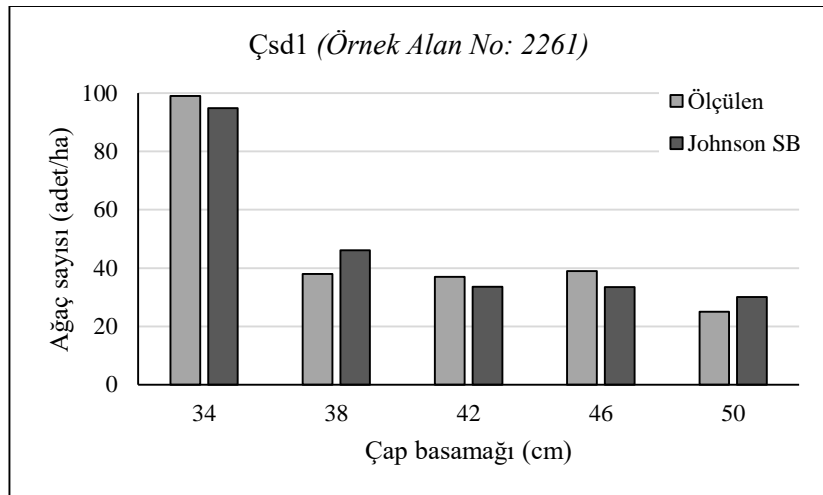
Şekil 4.25. Çscd1 (II. Bonitet) meşceresi için Johnson SB dağılımı



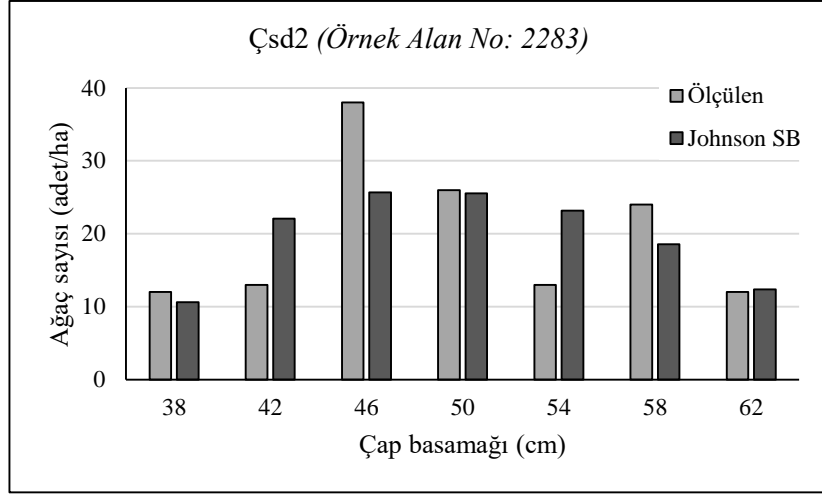
Şekil 4.26. Çscd2 (II. Bonitet) meşceresi için Johnson SB dağılımı



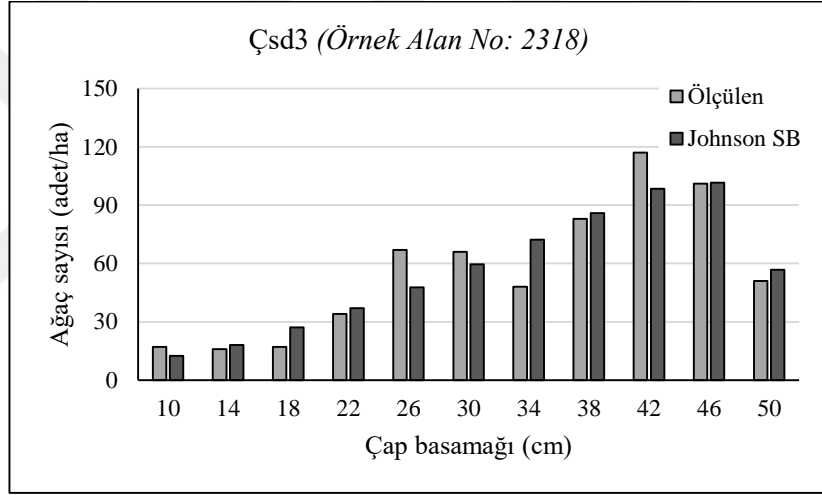
Şekil 4.27. Çscd3 (II. Bonitet) meşceresi için Johnson SB dağılımı



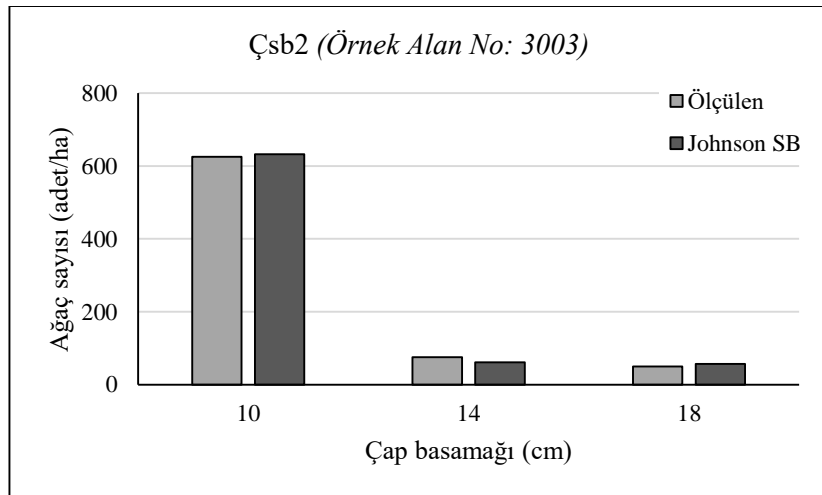
Şekil 4.28. Çsd1 (II. Bonitet) meşceresi için Johnson SB dağılımı



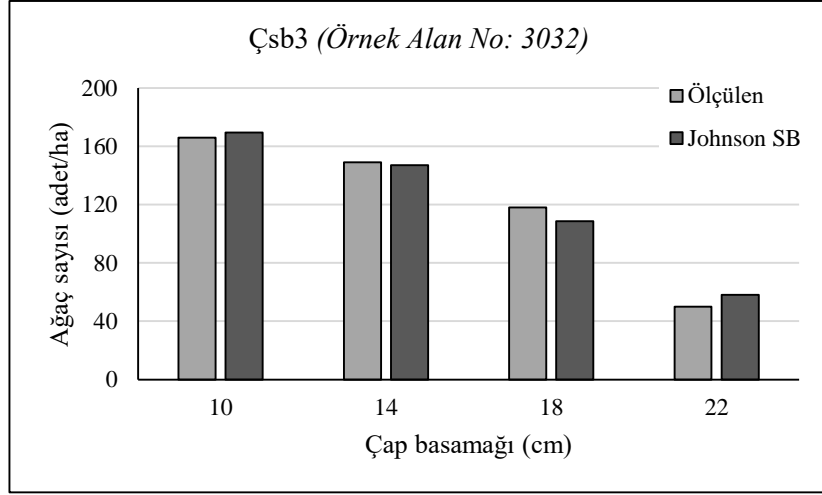
Şekil 4.29. Çsd2 (II. Bonitet) meşceresi için Johnson SB dağılımı



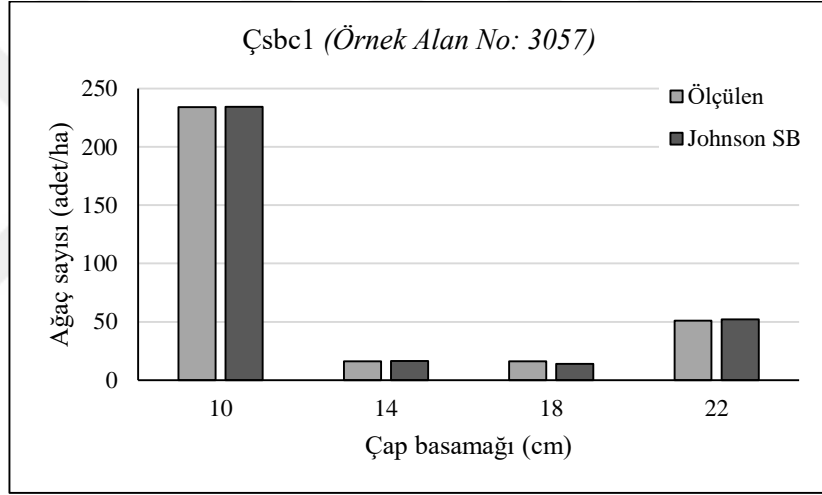
Şekil 4.30. Çsd3 (II. Bonitet) meşceresi için Johnson SB dağılımı



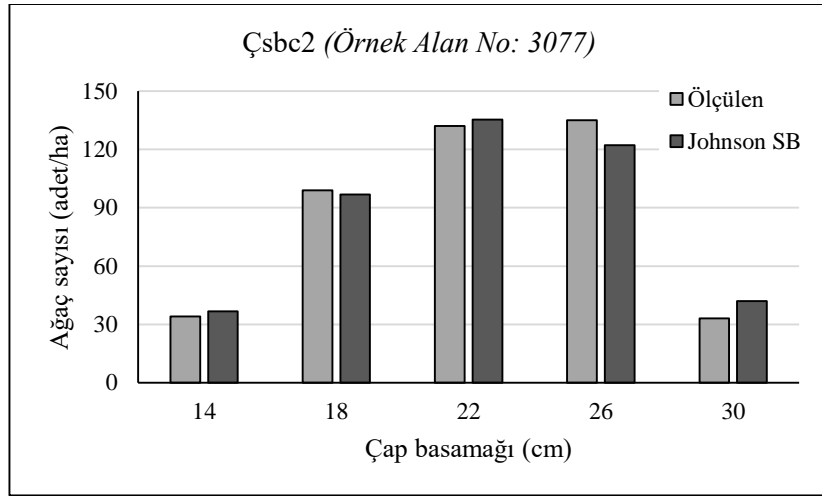
Şekil 4.31. Çsb2 (III. Bonitet) meşceresi için Johnson SB dağılımı



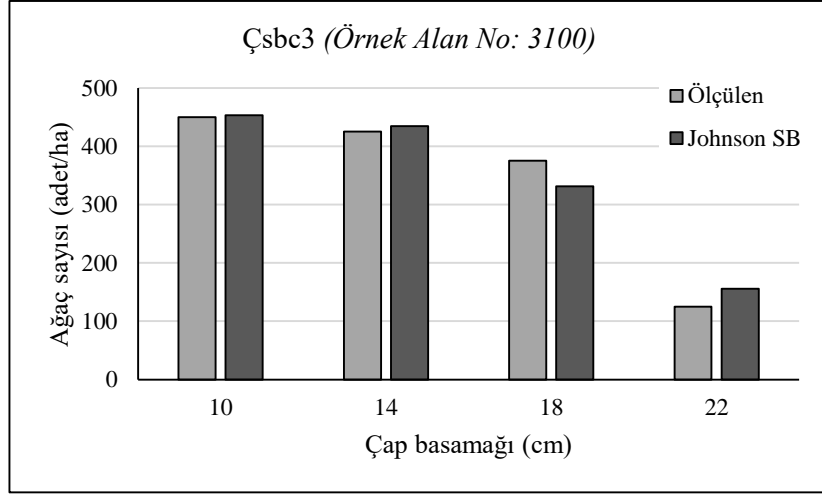
Şekil 4.32. Çsb3 (III. Bonitet) meşceresi için Johnson SB dağılımı



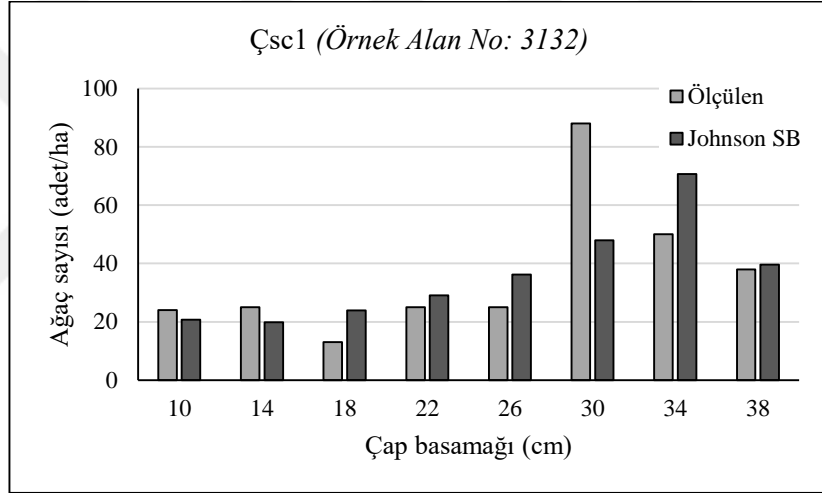
Şekil 4.33. Çsbc1 (III. Bonitet) meşceresi için Johnson SB dağılımı



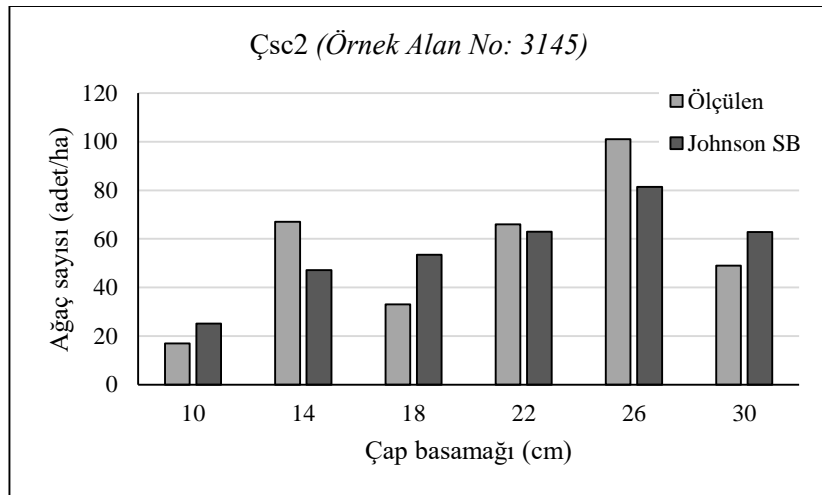
Şekil 4.34. Çsbc2 (III. Bonitet) meşceresi için Johnson SB dağılımı



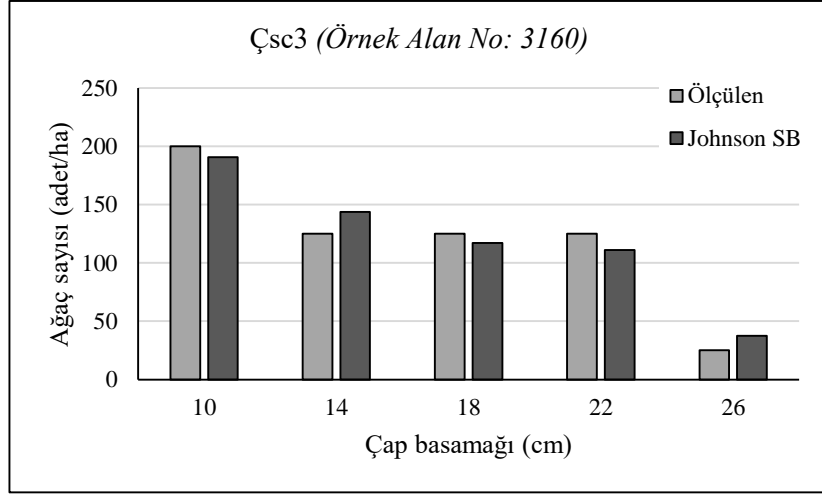
Şekil 4.35. Çsbc3 (III. Bonitet) meşceresi için Johnson SB dağılımı



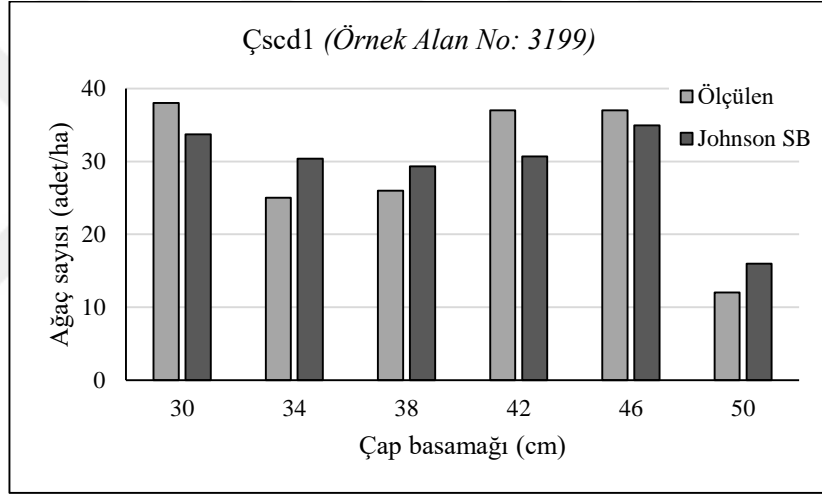
Şekil 4.36. Çsc1 (III. Bonitet) meşceresi için Johnson SB dağılımı



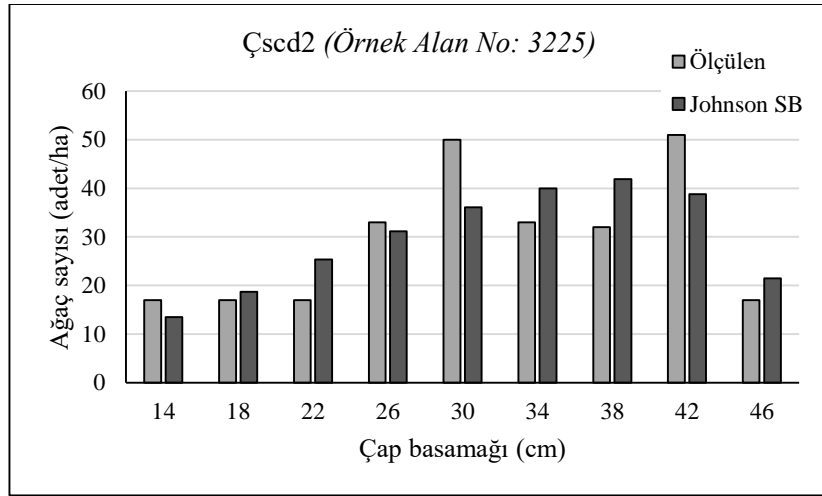
Şekil 4.37. Çsc2 (III. Bonitet) meşceresi için Johnson SB dağılımı



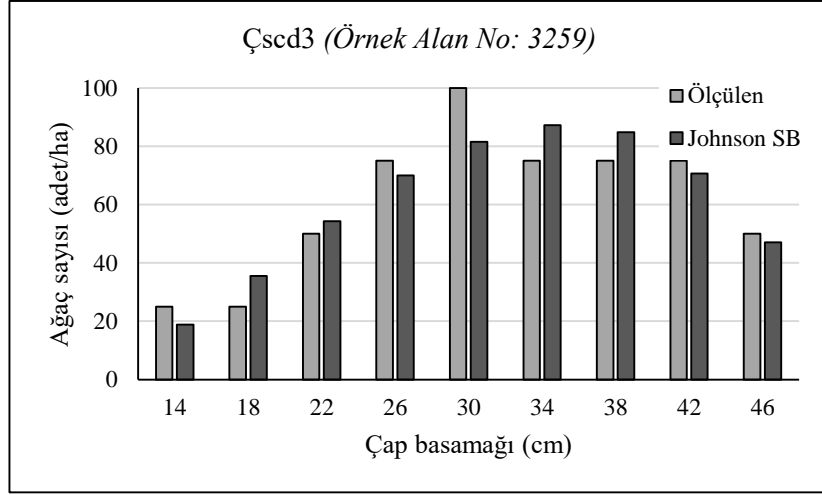
Şekil 4.38. Çsc3 (III. Bonitet) meşceresi için Johnson SB dağılımı



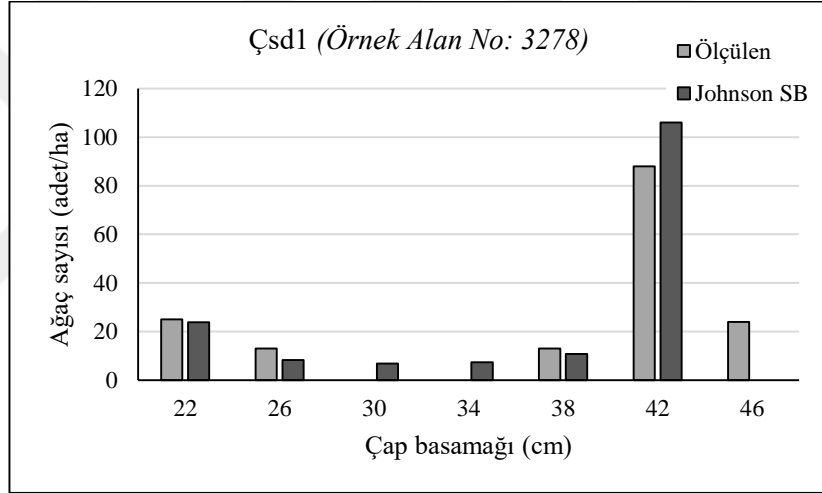
Şekil 4.39. Çscd1 (III. Bonitet) meşceresi için Johnson SB dağılımı



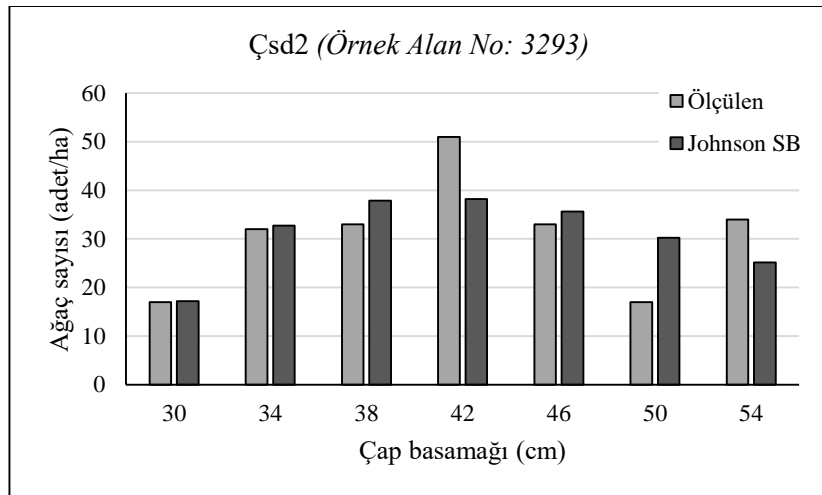
Şekil 4.40. Çscd2 (III. Bonitet) meşceresi için Johnson SB dağılımı



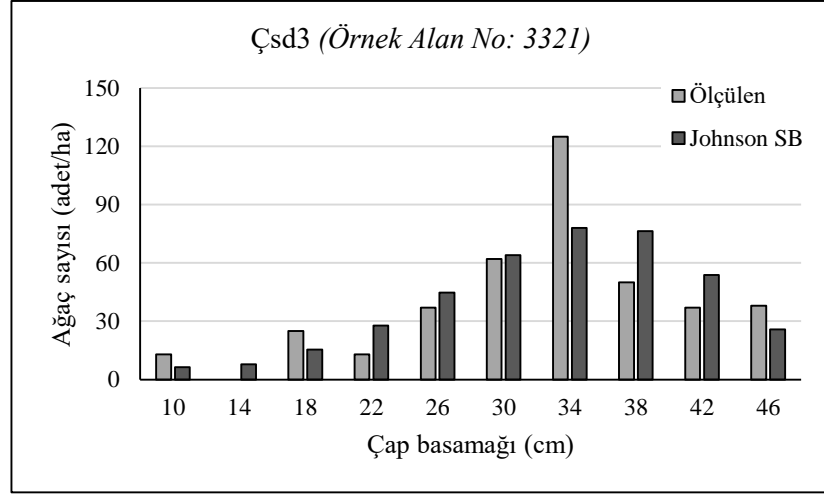
Şekil 4.41. Çscd3 (III. Bonitet) meşceresi için Johnson SB dağılımı



Şekil 4.42. Çsd1 (III. Bonitet) meşceresi için Johnson SB dağılımı



Şekil 4.43. Çsd2 (III. Bonitet) meşceresi için Johnson SB dağılımı



Şekil 4.44. Çsd3 (III. Bonitet) meşceresi için Johnson SB dağılımı

Kastamonu yöresi saf sarıçam meşcerelerinden alınan örnek alanlar arasından her bir meşcere tipi için üç farklı bonitet sınıfından seçilen örnek alanlara ilişkin grafikler (Şekil 4.2. - Şekil 4.44.) incelendiğinde, orman envanteri faaliyetleri amacıyla yapılan arazi çalışmaları sırasında alınan örnek alanlarda ölçülen çap değerlerinin 4 cm'lik çap basamaklarına dağılımları ile her bir çap basamağı için Johnson SB olasılık yoğunluk fonksiyonu yardımıyla hesaplanan dağılımların birbirlerine benzerlik gösterdiği görülmektedir. İstatistiksel analizlerin yanında görsel olarak da ortaya konan bu durum, Kastamonu yöresi saf sarıçam meşcerelerinin çap dağılımlarının modellenmesi için Johnson SB dağılımının uygun olduğunu desteklemektedir.

Çalışma kapsamında değerlendirilmek üzere I. bonitet sınıfı için Çsbc1 ve III. bonitet sınıfı için de Çsb1 meşcere tipleri için uygun örnek alan verisi temin edilememiş olması nedeniyle yalnızca bu meşcere tipleri için herhangi bir istatistiksel analiz veya görsel değerlendirme yapılamamıştır.

5. TARTIŞMA

Bu çalışmada, çap dağılımlarının modellenmesine ilişkin literatürde yaygın şekilde kullanılan 9 farklı olasılık yoğunluk fonksiyonunun (Beta, Gamma-2p, Gamma-3p, Johnson SB, Lognormal-2p, Lognormal-3p, Normal, Weibull-2p ve Weibull-3p) Kastamonu yöresi saf sarıçam (*Pinus sylvestris* L.) meşcereleri için uygunlukları araştırılmış ve çeşitli istatistiksel karşılaştırmalar ile en başarılı fonksiyonlar belirlenmeye çalışılmıştır. Bunun yanında, en başarılı bulunan fonksiyonların ağaç sayısı, orta çap ve sıklık gibi nicel ve bonitet sınıfı, kapalılık sınıfı, gelişim çağı ve meşcere tipi gibi nitel meşcere özelliklerine göre değişimleri de araştırılmıştır.

Çalışma sonucunda elde edilen bulgular, gerek örnek alanlara ilişkin sonuçların tek tek değerlendirilmesi durumunda ve gerekse farklı meşcere özelliklerine göre yapılan karşılaştırmalarda en başarılı fonksiyonun Johnson SB dağılımına ilişkin olasılık yoğunluk fonksiyonu olduğunu göstermiştir. Olasılık yoğunluk fonksiyonlarının en başarılı bulunma durumlarının meşceredeki ağaç sayısı, meşcere orta çapı, kapalılık, gelişim çağı ve meşcere tipi özelliklerine bağlı olarak farklılık gösterdiği, ancak bonitet sınıfı ve sıklık derecesi bakımından ise herhangi bir farklılık bulunmadığı belirlenmiştir.

Bu araştırmada olduğu gibi uluslararası ve ulusal literatürde de çeşitli ağaç türlerinin çap dağılımlarının modellenmesi amacıyla farklı olasılık yoğunluk fonksiyonlarının karşılaştırıldığı çalışmalar bulunmaktadır. Kastamonu ili ormanlarında bulunan saf sarıçam meşcerelerine ilişkin çap dağılımlarının olasılık yoğunluk fonksiyonları yardımıyla modellenmesi ve elde edilen sonuçların farklı meşcere özellikleri bakımından karşılaştırılması amacıyla yapılan bu araştırma sonucunda elde edilen bulguların çap dağılım modellemesi konusunda literatürde bulunan diğer araştırmaların sonuçlarıyla karşılaştırılmasına ilişkin bilgiler aşağıda açıklanmaya çalışılmıştır.

Öncelikle uluslararası literatür değerlendirilecek olursa; Hafley ve Schreuder (1977) tarafından Amerika Birleşik Devletleri'ndeki *Pinus taeda*, *Pinus palustris* ve *Pinus echinata* meşcerelerinin çap dağılımlarını modellemek üzere yapılan bir çalışmada

Beta, Gamma, Johnson SB, Normal, Lognormal ve Weibull fonksiyonları, Kamziah vd. (2000) tarafından Malezya'daki çeşitli ağaç türleri için yürütülen bir çalışmada çap dağılım modellemelerinde Gamma, Johnson SB, Normal, Lognormal ve Weibull fonksiyonları, Chen (2004) tarafından Kanada'daki farklı orman yapılarının biyokütle tahmin modellerinde kullanılacak çap dağılım fonksiyonlarının geliştirilmesi amacıyla yapılan bir diğer çalışmada Johnson SB, Lognormal ve Weibull fonksiyonları ve Khongor vd. (2011) tarafından Moğolistan'daki *Larix sibirica* meşcerelerinin çap dağılımlarının modellenmesi için yapılan bir başka çalışmada da Johnson SB, Weibull ve Burr fonksiyonları karşılaştırılmıştır. Sözü edilen çalışmaların tamamında, yapılan istatistiksel karşılaştırmalar sonucunda Johnson SB fonksiyonu en başarılı fonksiyon olarak belirlenmiştir. Nijerya'daki tropik yağmur ormanlarının çap dağılımlarının modellenmesi için Beta, Gamma, Johnson SB, Lognormal, Weibull ve Burr fonksiyonlarının karşılaştırıldığı bir başka çalışmada ise Johnson SB fonksiyonu ile birlikte Weibull fonksiyonu da başarılı bulunmuştur (Aigbe ve Omokhua, 2014).

Amerika Birleşik Devletleri'ndeki *Pinus taeda* ağaçlandırmalarının çap dağılımlarının modellenmesi amacıyla Weibull, Normal, Lognormal, Gamma ve Johnson SB fonksiyonlarının karşılaştırıldığı bir araştırma ile Brezilya'nın farklı orman formlarındaki çap dağılımlarının modellenmesi için Beta, Gamma, Johnson SB, Lognormal, Üstel, Weibull, Logit-lojistik, Birnbaum-Saunders ve Weibull fonksiyonlarını karşılaştıran bir diğer çalışmada Weibull fonksiyonu başarılı bulunmuştur (Bullock ve Burkhart, 2005; Lima vd., 2014).

Kastamonu yöresi *Pinus sylvestris* meşcerelerinde yürütülen bu çalışma sonuçlarına göre en başarılı bulunan olasılık yoğunluk fonksiyonunun Johnson SB olduğu ve ikinci sırayı da Weibull-2p fonksiyonunun aldığı dikkate alınırsa, yukarıda açıklanan araştırmalara ilişkin sonuçların bu çalışmanın sonuçları ile benzerlik gösterdiği söylenebilir. Bir başka ifadeyle, bu çalışma sonucunda elde edilen bulgular uluslararası literatürdeki diğer birçok araştırmanın sonuçları ile uyum içindedir.

Gorgoso vd. (2012) tarafından yürütülen bir çalışmada da İspanya'daki *Pinus pinaster*, *Pinus radiata* ve *Pinus sylvestris* meşcerelerinin çap dağılımları

modellenmeye çalışılmış ve bu amaçla Weibull, Johnson SB ve Beta dağılımları karşılaştırılmıştır. Çalışmada incelenen ağaç türlerinden birinin *Pinus sylvestris* olması ve bu türe ilişkin en başarılı fonksiyonların da Johnson SB ve Weibull olması, Kastamonu yöresi *Pinus sylvestris* meşcereleri için benzer sonuçların elde edildiği bu çalışma ile önemli bir benzerlik ve uyum göstermektedir.

Ulusal literatürde ise; Sönmez vd. (2010) tarafından yapılan çalışmada Artvin'deki *Picea orientalis* meşcerelerinin ve Doğdaş (2014) tarafından yürütülen çalışmada Ağlasun (Burdur) yöresi *Pinus brutia* meşcerelerinin çap dağılımlarının modellenmesinde Beta, Gamma, Normal, Lognormal, Johnson SB ve Weibull fonksiyonları karşılaştırılmış ve her iki çalışmada da en başarılı dağılımın Johnson SB olduğu belirlenmiştir. Yavuz vd. (2002) tarafından doğal ve yapay dişbudak (*Fraxinus* sp.) meşcerelerinin çap dağılımlarını modellemek üzere yapılan çalışmada ise Gamma, Normal, Lognormal ve Weibull fonksiyonları karşılaştırılmış ve her iki meşcere yapısı için de Weibull dağılımı en başarılı bulunmuştur.

Sarıçamın karışıma dahil olduğu karışık meşcerelere ilişkin çap dağılımlarının modellenmeye çalışıldığı iki farklı çalışmada da Beta, Gamma, Normal, Lognormal, Johnson SB ve Weibull fonksiyonları karşılaştırılmıştır (Ercanlı ve Yavuz, 2010; Kahriman ve Yavuz, 2011). Bu çalışmalarda *Pinus sylvestris* meşcereleri için en uygun fonksiyonlar, Trabzon ve Giresun yöresi *Picea orientalis*-*Pinus sylvestris* karışık meşcereleri için Ercanlı ve Yavuz (2010) tarafından yürütülen çalışmada Weibull ve Karadeniz Bölgesi *Pinus sylvestris*-*Fagus orientalis* meşcereleri için Kahriman ve Yavuz (2011) tarafından yürütülen çalışmada Johnson SB fonksiyonları olmuştur.

Sakıcı vd. (2016) ise Kastamonu yöresi *Pinus nigra* meşcerelerindeki farklı meşcere özellikleri (yaş, sıklık ve bonitet sınıfı) için çap dağılımlarının modellenmesi amacıyla yaptıkları çalışmada Beta, Gamma, Johnson SB, Lognormal, Normal ve Weibull fonksiyonlarını karşılaştırmışlar ve meşcere yapılarının büyük çoğunluğu için Weibull dağılımını en başarılı bulmuşlardır.

Ulusal literatürde yer alan yukarıdaki çalışmalara ilişkin sonuçlar da bu çalışmanın sonuçları ile benzerlik göstermektedir. Ancak, *Pinus brutia* meşcerelerinin çap

dağılımlarının modellenmesi amacıyla yapılan ve Beta, Gamma, Normal, Lognormal ve Weibull fonksiyonlarının karşılaştırıldığı iki farklı araştırmanın sonuçları bu çalışmada elde edilen sonuçlardan farklıdır. Carus ve Çatal (2008) tarafından Ağlasun (Burdur) yöresi için yürütülen çalışmada Lognormal ve Güneş (2015) tarafından Isparta yöresi için yürütülen çalışmada da Gamma dağılımları daha başarılı bulunmuştur. Gerek Lognormal ve gerekse Gamma fonksiyonları, Kastamonu yöresi *Pinus sylvestris* meşcerelerine yönelik bu çalışmada başarısız bulunan fonksiyonlardandır.



6. SONUÇLAR VE ÖNERİLER

Bu çalışma kapsamında, Kastamonu yöresi saf sarıçam (*Pinus sylvestris* L.) meşcerelerine ilişkin çap dağılımlarının modellenmesi amaçlanmış ve Beta, Gamma-2p, Gamma-3p, Johnson SB, Lognormal-2p, Lognormal-3p, Normal, Weibull-2p ve Weibull-3p olasılık yoğunluk fonksiyonlarının bu amaç için kullanılabilirlikleri irdelenmiştir. Bu amaçla, Orman Genel Müdürlüğü Orman İdaresi ve Planlama Dairesi Başkanlığı arşivinden temin edilen toplam 2 346 örnek alan karnesi arasından çalışma amaçlarına uygun olduğu belirlenen ve farklı meşcere tiplerine dağıtımı sağlanan 890 adet örnek alan karnesinden elde edilen verilerden yararlanılmıştır. Her bir örnek alan için yukarıda belirtilen fonksiyonlara ilişkin parametreler EasyFit 5.5 Professional yazılımı yardımıyla belirlenmiştir.

Çalışmada değerlendirmeye alınan olasılık yoğunluk fonksiyonlarının örnek alan bazında başarı sıralamalarının belirlenmesinde Kolmogorov-Smirnov (*KS*), Anderson-Darling (*AD*), Ki-kare (X^2) ve Hata İndeksi (*e*) ölçütlerinden yararlanılmıştır. *KS*, *AD* ve X^2 istatistiklerine ilişkin sıralamalar parametre tahminlerinde kullanılan yazılımdan doğrudan elde edilmiş, *e* ölçütüne ilişkin sıralamada ise Poudel ve Cao (2013) tarafından geliştirilen rölatif sıralama yöntemi kullanılmıştır. Her dört karşılaştırma ölçütü için de Johnson SB olasılık yoğunluk fonksiyonunun en başarılı bulunduğu örnek alan sayısı diğer fonksiyonlara göre daha yüksek bulunmuştur. Daha açık ifade etmek gerekirse; 890 örnek alan arasından *KS* istatistiği için 400, *AD* istatistiği için 352, X^2 istatistiği için 207 ve *e* istatistiği için de 388 örnek alanda Johnson SB olasılık yoğunluk fonksiyonu en başarılı bulunmuştur.

Olasılık yoğunluk fonksiyonlarının genel başarı durumlarını karşılaştırmak üzere her bir fonksiyonun örnek alanlardaki başarı sıralarının ortalaması alındığında da tüm karşılaştırma ölçütleri için Johnson SB fonksiyonu yine en başarılı bulunmuştur. Bu fonksiyonun hata indeksi (*e*) ölçütüne göre ortalama başarı sırası 1,75 gibi 1'e oldukça yakın bir değer olarak belirlenmiştir. Bu fonksiyonu, birbirlerine yakın ortalama başarı sırası değerlerine sahip olan Weibull-2p (3,77), Normal (3,80) ve Weibull-3p (3,97)

fonksiyonları izlemiştir. Gamma-3p fonksiyonu ise 5,03 ortalama başarısı ile en başarısız fonksiyon olmuştur.

Olasılık yoğunluk fonksiyonlarının gerek örnek alan bazında ve gerekse genel olarak karşılaştırılmalarının yanında, en başarılı bulunan fonksiyonların ağaç sayısı, orta çap ve sıklık gibi nicel ve bonitet sınıfı, kapalılık sınıfı, gelişim çağı ve meşcere tipi gibi nitel meşcere özelliklerine göre değişimleri de araştırılmıştır. Ağaç sayısı (adet/ha), orta çap (cm) ve sıklık derecesi için Kruskal-Wallis Testi yardımıyla yapılan analizler sonucunda olasılık yoğunluk fonksiyonlarının en başarılı bulunma durumlarının meşceredeki ağaç sayısı ve meşcere orta çapı değerlerine bağlı olarak farklılık gösterdiği ($p < 0,05$), ancak sıklık derecesi bakımından herhangi bir farklılık bulunmadığı ($p > 0,05$) belirlenmiştir. Meşceredeki ağaç sayısı bakımından yapılan değerlendirmede; Beta, Gamma-3p, Normal, Weibull-2p ve Weibull-3p fonksiyonlarının ağaç sayısının düşük olduğu meşcerelerde, Gamma-2p, Johnson SB ve Lognormal-3p fonksiyonlarının ağaç sayısının kısmen daha yüksek olduğu meşcerelerde ve Lognormal-2p fonksiyonunun da ağaç sayısının yüksek olduğu meşcerelerde daha başarılı olduğu anlaşılmıştır. Meşcere orta çapı bakımından ise, orta çapın düşük olduğu meşcerelerde Gamma-2p, Gamma-3p ve Lognormal-2p fonksiyonlarının, orta çapın kısmen daha yüksek olduğu meşcerelerde Johnson SB ve Lognormal-3p fonksiyonlarının ve orta çapın yüksek olduğu meşcerelerde ise Beta, Normal, Weibull-2p ve Weibull-3p fonksiyonlarının daha başarılı olduğu görülmüştür.

Olasılık yoğunluk fonksiyonlarının başarı sıralamalarının meşcerelerin bonitet sınıfı, kapalılık, gelişim çağı ve meşcere tipi gibi kategorik özelliklerine göre değişimini ortaya koymak amacıyla Ki-kare (X^2) Testi kullanılarak yapılan değerlendirmelerin sonuçlarına göre olasılık yoğunluk fonksiyonlarının en başarılı bulunma durumları kapalılık sınıfları, gelişim çağları ve meşcere tipleri bakımından istatistiksel olarak anlamlı farklılık göstermiş ($p < 0,05$), bonitet sınıfları bakımından ise herhangi bir farklılık göstermemiştir ($p > 0,05$). Kapalılık sınıfları için yapılan değerlendirmede Johnson SB fonksiyonu her üç kapalılık sınıfı için de en fazla sayıda en başarılı bulunan fonksiyon olmuş ve bu fonksiyonu Beta fonksiyonu izlemiştir. Gelişim çağlarına göre yapılan değerlendirmede yine Johnson SB tüm gelişim çağları için en fazla sayıda en başarılı bulunan fonksiyon olmuştur. Meşcere tipleri için yapılan

değerlendirmede de yine tüm meşcere tipleri için en fazla sayıda en başarılı bulunan fonksiyon Johnson SB olmuş, diğer fonksiyonların en başarılı bulunma sayıları ise daha düşük değerler almıştır.

Yapılan istatistiksel değerlendirmeler sonucunda Kastamonu yöresi saf sarıçam meşcerelerinin çap dağılımlarının modellenmesi için en başarılı bulunan Johnson SB olasılık yoğunluk fonksiyonunun tahmin başarısının görsel olarak değerlendirilmesi amacıyla farklı meşcere tiplerine ilişkin örnek alan verileri kullanılarak hazırlanan grafiklerde de 4'er cm'lik çap basamakları için Johnson SB fonksiyonu ile tahmin edilen ağaç sayılarının ilgili çap basamaklarına ilişkin gerçek ağaç sayılarına oldukça yakın olduğu gözlemlenmiştir.

Çap dağılım modelleri, büyüme ve artım modellerinin önemli bir bileşenini oluşturmakta ve meşcere yapılarının ortaya konulması ve bu meşcerelerden elde edilecek odun kökenli ürün çeşitlerinin belirlenmesi bakımından büyük önem taşımaktadır. Ağaç sayılarının çap basamaklarına dağılımları bu modeller yardımıyla belirlenerek meşcerelerin göğüs yüzeyi, hacim vb. hakkında daha detaylı bilgiler elde edilebilir. Bu bilgiler gerek orman amenajman planlaması ve gerekse orman işletmeciliği ve silvikültür uygulamaları için oldukça önemlidir. Bu çalışmada elde edilen sonuçlar, konuyla ilgili uluslararası ve ulusal literatürde bulunan araştırmaların sonuçları ile büyük bir uyum ve benzerlik göstermektedir. Farklı ağaç türleri ve yetiştirme ortamları için yapılan çok sayıda çalışmada önerildiği gibi bu çalışma sonucunda da Johnson SB fonksiyonu en başarılı bulunmuş olup Kastamonu yöresi saf sarıçam meşcerelerinin çap dağılımlarının ortaya konulmasında bu fonksiyondan yararlanılması uygun olacaktır.

Ülkemizde bazı ağaç türlerinin çeşitli yörelerdeki yayılışları için çap dağılım modelleri geliştirilmiş olmakla birlikte birçok orman ağacı türümüzün farklı yayılışları için bu çalışmaların henüz yapılmadığı bilinmektedir. Bu nedenle, çap dağılımları ile ilgili çalışmaların ülkemiz asli orman ağacı türleri ve bu türlerin farklı yayılış alanları için yapılması ormancılığımız açısından yararlı olacaktır.

Literatürde, bu çalışma kapsamında değerlendirilen olasılık dağılımları ve bu dağılımlara ilişkin olarak geliştirilen yoğunluk fonksiyonlarının dışında çok sayıda farklı dağılım fonksiyonu bulunmaktadır. Bu dağılımların çap dağılım modellemesinde kullanım olanaklarının araştırılması ormancılık literatürüne önemli katkılar sağlayabilir. Bunun yanında, bu çalışmaya konu olasılık yoğunluk fonksiyonlarının parametrelerinin tahmininde kullanılan Maksimum Olabilirlik Yöntemi dışında farklı parametre belirleme yöntemleri de bulunmakta olup bu yöntemlerin gerek Kastamonu yöresi saf sarıçam meşcereleri için ve gerekse diğer ağaç türleri için incelenmesi de önemlidir.

Yapılan bu çalışmada elde edilen sonuçlar Kastamonu yöresi saf sarıçam meşcereleri için geçerli olup, bu sonuçların sarıçamın diğer yayılış alanlarında kullanılabilmesi için öncelikle uygunluklarının test edilmesi gerekmektedir. Ancak, Johnson SB fonksiyonunun esnek bir matematiksel forma sahip olduğu ve üzerinde araştırma yapılan birçok ağaç türü ve meşcere tipine uygun olduğu düşünüldüğünde muhtemelen ilerleyen süreçteki araştırmalarda da başarılı sonuçlar vereceği söylenebilir.

KAYNAKLAR

- Aigbe, H. I., & Omokhua, G. E. (2014). Modeling diameter distribution of the tropical rainforest in Oban Forest Reserve. *Journal of Environment and Ecology*, 5(2), 130-143.
- Akalp, T. (2016). *İstatistik yöntemler*. İstanbul: İstanbul Üniversitesi Yayınları.
- Alemdağ, Ş. (1967). *Türkiye'deki sarıçam ormanlarının kuruluşu, verim gücü ve bu ormanların işletilmesinde takip edilecek esaslar*. Ankara: Ormancılık Araştırma Enstitüsü Yayınları.
- Alkan, O. (2019). Toros Göknarı (*Abies cilicica* Carr.) Meşcereleri İçin Gövde Çapı, Çap-Boy, Çap Dağılım ve Bonitet Endeks Modellerinin Geliştirilmesi. Doktora Tezi, *Isparta Uygulamalı Bilimler Üniversitesi Lisansüstü Eğitim Enstitüsü*. Isparta.
- Asan, Ü. (2013). *Orman amenajmanı esasları*. İstanbul: İstanbul Üniversitesi Yayınları.
- Atıcı, E. (1998). Değişik Yaşlı Doğu Kayını (*Fagus orientalis* Lipsky.) Ormanlarında Artım ve Büyüme. Doktora Tezi, *İstanbul Üniversitesi Fen Bilimleri Enstitüsü*. İstanbul.
- Bailey, R. L. (1980). Individual tree growth derived from diameter distribution models. *Forest Science*, 26(4), 626-632.
- Bailey, R. L., & Dell, T. R. (1973). Quantifying diameter distributions with the Weibull function. *Forest Science*, 19(2), 97-104.
- Bailey R. L., Abernethy N. C., & Jones E. P. (1981). *Diameter distribution models for repeatedly thinned Slash pine plantations*. USA: USDA Forest Service General Technical Reports.
- Binoti, D. H. B., Binoti, M. L. M. D. S., Leite, H. G., Fardin, L., & Oliveira, J. D. C. (2012). Probability density functions for description of diameter distribution in thinned stands of *Tectona grandis*. *Cerne*, 18(2), 185-196.
- Bliss, C. I., & Reinker, K. A. (1964). A lognormal approach to diameter distributions in even-aged stands. *Forest Science*, 10(3), 350-360.
- Bolat, F. (2014). Bursa-Kestel Orman İşletme Şefliği İçerisindeki Meşcereler İçin Çap Dağılım Modellerinin Geliştirilmesi. Yüksek Lisans Tezi, *Çankırı Karatekin Üniversitesi Fen Bilimleri Enstitüsü*. Çankırı.
- Borders, B. E., Souter, R. A., Bailey, R. L., & Ware, K.D. (1987). Percentile based distributions characterize forest tables. *Forest Science*, 33(2), 570-576.

- Brooks, J. R., Borders, B. E., & Bailey, R. L. (1992). Predicting diameter distributions for site-prepared loblolly and slash pine plantations. *Southern Journal of Applied Forestry*, 16(3), 130-133.
- Bullock, B. P., & Burkhart, H. E. (2005). Juvenile diameter distributions of loblolly pine characterized by the two-parameter Weibull function. *New Forests*, 29(3), 233-244.
- Burk T. E., & Newberry J. D. (1984). A simple algorithm for moment-based recovery of Weibull distribution parameters. *Forest Science*, 30, 329-332.
- Burkhart, H. E. (1979). Growth and yield of southern pines-State of the art. *Southern Forest Economists Workshop*, 11 p., North Carolina.
- Burkhart, H. E., & Tomé, M. (2012). *Modeling forest trees and stands*. Dordrecht: Springer.
- Cao, Q. V. (1997). A method to distribute mortality in diameter distribution models. *Forest Science*, 43(3), 435-442.
- Cao, Q. V. (2004). Predicting parameters of a Weibull function for modeling diameter distribution. *Forest Science*, 50(5), 682-685.
- Carus, S. (1996). Aynı yaşlı doğu kayını (*Fagus orientalis* Lipsky). meşcerelerinde çap dağılımının bonitet ve yaşa göre değişimi. *İstanbul Üniversitesi Orman Fakültesi Dergisi*, 46(2), 171-182.
- Carus, S. (1998). Aynı Yaşlı Doğu Kayını Meşcerelerinde Artım Ve Büyüme. Doktora Tezi, *İstanbul Üniversitesi Fen Bilimleri Enstitüsü*. İstanbul.
- Carus, S., & Çatal, Y. (2008). Kızılçam (*Pinus brutia* Ten.) meşcerelerinde 7-ağaç örnek nokta yöntemiyle meşcere ağaç sayısının çap basamaklarına dağılımının belirlenmesi. *Süleyman Demirel Üniversitesi Orman Fakültesi Dergisi*, 9(2), 158-169.
- Carus, S., & Çatal, Y. (2011). The alteration of diameter distribution by site quality and age in even aged Crimean pine (*Pinus nigra* Arnold) stands in southern Turkey. *Conservation, Ecology, Restoration and Management of Mediterranean Pines and their Ecosystems: Challenges under Global Change*, France.
- Chen, W. (2004). Tree size distribution functions of four boreal forest types for biomass mapping. *Forest Science*, 50(4), 436-449.
- Chiu, C. M., Nigh, G., Chien, C. T., & Ying, C. C. (2010). Diameter distribution models for thinned taiwania (*Taiwania cryptomerioides*) plantations. *Australian Forestry*, 73(1), 3-11.

- Clutter, J. L., & Bennet, F. A. (1965). *Diameter distributions in old-field slash pine plantation*. Georgia Forest Research Council, Report No: 13, USA.
- Coomes, D. A., & Allen, R. B. (2007). Mortality and tree-size distributions in natural mixed-age forests. *Journal of Ecology*, 95(1), 27-40.
- Curtis, R. O., Clendenan, G. W., & Demars, D. J. (1981). *A new stand simulator for Coast Douglas-fir: DFSIM Users Guide*. USA: Forest Service Technical Report.
- Diamantopoulou, M. J., Özçelik, R., Crecente-Campo, F., & Eler, Ü. (2015). Estimation of Weibull function parameters for modelling tree diameter distribution using least squares and artificial neural networks methods. *Biosystems Engineering*, 133, 33-45.
- Doğdaş, İ. (2014). Burdur-Ağlasun Yöresi Kızıldağ Ormanlarında Meşcere Ağaç Sayısı, Hacim ve Hacim Artımının Çap Basamaklarına Dağılımının Modellenmesi. Yüksek Lisans Tezi, *Süleyman Demirel Üniversitesi Fen Bilimleri Enstitüsü*. Isparta.
- Duan, A. G., Zhang, J. G., Zhang, X. Q., & He, C. Y. (2013). Stand diameter distribution modelling and prediction based on Richards function. *PloS ONE*, 8(4), e62605.
- Eler, Ü. (2001). *Orman amenajmanı*. Isparta: Süleyman Demirel Üniversitesi Yayınları.
- Eraslan, İ., & Eler, Ü. (2003). *Orman işletmesinin planlanması ve denetimi*. Isparta: Süleyman Demirel Üniversitesi Yayınları.
- Eraslan, İ., & Şad, H. C. (1993). *Orman amenajmanı*. İstanbul: İstanbul Üniversitesi Yayınları.
- Ercanlı, İ., & Yavuz, H. (2010). Doğu ladini (*Picea orientalis* (L.) Link)-Sarıçam (*Pinus sylvestris* L.) karışık meşcerelerinde çap dağılımlarının olasılık yoğunluk fonksiyonları ile belirlenmesi. *Kastamonu Üniversitesi Orman Fakültesi Dergisi*, 10(1), 68-83.
- Ercanlı, İ., Bolat, F., & Kahriman, A. (2013). Comparing parameter recovery methods for diameter distribution models of Oriental spruce (*Picea orientalis* (L.) Link.) and Scotch pine (*Pinus sylvestris* L.) mixed stands located Trabzon and Giresun Forest Regional Directorate. *International Caucasian Forestry Symposium*, 119-126, Artvin, Turkey.
- Ezenwenyi, J. U., Oladoye, A. O., Chukwu, O., & Basiru, A. O. (2018). Diameter distribution of *Nauclea diderrichii* (D Wild) Merr. Plantations in a restricted tropical rainforest of Nigeria. *Journal of Research in Forestry, Wildlife and Environment*, 10(3), 25-32.

- Fonseca, T. F., Marques, C. P., & Parresol, B. R. (2009). Describing Maritime pine diameter distributions with Johnson's SB distribution using a new all-parameter recovery approach. *Forest Science*, 55(4), 367-373.
- Gadow, K. V. & Hui, G. (1999). *Modeling forest development*. Dordrecht: Springer.
- Gorgoso, J. J., González, J. Á., Rojo, A., & Grandas-Arias, J. A. (2007). Modelling diameter distributions of *Betula alba* L. stands in northwest Spain with the two-parameter Weibull function. *Forest Systems*, 16(2), 113-123.
- Gorgoso, J. J., Rojo, A., Cámara-Obregón, A., & Diéguez-Aranda, U. (2012). A comparison of estimation methods for fitting Weibull, Johnson's SB and beta functions to *Pinus pinaster*, *Pinus radiata* and *Pinus sylvestris* stands in northwest Spain. *Forest Systems*, 21(3), 446-459.
- Gorgoso-Varela, J. J., Rojo-Alboreca, A., Afif-Khoury, E., & Barrio-Anta, M. (2008). Modelling diameter distributions of birch (*Betula alba* L.) and pedunculate oak (*Quercus robur* L.) stands in northwest Spain with the beta distribution. *Forest Systems*, 17(3), 271-281.
- Güneş, S. (2015). Isparta Yöresi Kızılçam Meşcerelerinde Çap Dağılımının Örnek Nokta Ağaç Sayısına Göre Modellenmesi. Yüksek Lisans Tezi, *Süleyman Demirel Üniversitesi Fen Bilimleri Enstitüsü*. Isparta.
- Hafley, W. L., & Schreuder, H. T. (1977). Statistical distributions for fitting diameter and height data in even-aged stands. *Canadian Journal of Forest Research*, 7(3), 481-487.
- Hyink, D. M., & Moser, J. W. (1983). A generalized framework for projecting forest yield and stand structure using diameter distributions. *Forest Science*, 29(1), 85-95.
- Jiang, L., & Brooks, J. R. (2009). Predicting diameter distributions for young longleaf pine plantations in Southwest Georgia. *Southern Journal of Applied Forestry*, 33(1), 25-28.
- Johnson, N. L. (1949). System of frequency curves generated by methods of translation. *Biometrika*, 36, 149-176.
- Kahriman, A., & Yavuz, H. (2011). Sarıçam (*Pinus sylvestris* L.)-doğu kayını (*Fagus orientalis* Lipsky) karışık meşcerelerinde çap dağılımlarının olasılık yoğunluk fonksiyonları ile belirlenmesi. *Artvin Çoruh Üniversitesi Orman Fakültesi Dergisi*, 12(2), 109-125.
- Kalıpsız, A. (1998). *Orman hasılat bilgisi*. İstanbul: İstanbul Üniversitesi Yayınları.
- Kamziah, A. K., Ahmad, M. I., & Ahmed Zuhaidi, Y. (2000). Modelling diameter distribution in even-aged and uneven-aged forest stands. *Journal of Tropical Forest Science*, 12(4), 669-681.

- Kangas, A., & Maltamo, M. (2000). Calibrating predicted diameter distribution with additional information. *Forest Science*, 46(3), 390-396.
- Kapucu, F. (2004). *Orman amenajmanı*. Trabzon: Karadeniz Teknik Üniversitesi Yayınları.
- Karagöz, M. (2015). *Excel ve SPSS uygulamalı istatistik yöntemleri*. 9. Baskı, Bursa: Ekin Yayınevi.
- Karakaş, R. (2013). Önsen Doğal Fıstıkçamı (*Pinus pinea* L.) Meşcerelerinde Çap Dağılımlarının Modellenmesi. Yüksek Lisans Tezi, *Kahramanmaraş Sütçü İmam Üniversitesi Fen Bilimleri Enstitüsü*. Kahramanmaraş.
- Khongor, T., Lin, C., & Tsogt, Z. (2011). Diameter structure analysis of forest stand and selection of suitable model. *Mongolian Journal of Biological Sciences*, 9(1-2), 19-22.
- Laar, A., & Akça, A. (2007). *Forest mensuration*. Dordrecht: Springer.
- Lappi, J., & Bailey, R. L. (1987). Estimation of the diameter increment function or other tree relations using angle-count samples. *Forest Science*, 33(3), 725-739.
- Larsary, M. K., Abkenar, K. T., Pothier, D., Pourbabaei, H., & Khoshkebijari, F. F. (2016). Comparison of probability distribution functions applied to tree diameter and height of three development stages in a mixed beech (*Fagus orientalis* Lipsky) forest in Hyrcanean region of Iran. *Forestry Ideas*, 22(1), 65-84.
- Lawless, J. F. (1982). *Statistical models and methods for lifetime data*. New York: John Wiley & Sons.
- Leak, W. B. (1965). The J-shaped probability distribution. *Forest Science*, 11(4), 405-409.
- Lei, Y. (2008). Evaluation of three methods for estimating the Weibull distribution parameters of Chinese pine (*Pinus tabulaeformis*). *Journal of Forest Science*, 54(12), 566-571.
- Lima, R. A. F., Batista, J. L. F., & Prado, P. I. (2014). Modeling tree diameter distributions in natural forests: an evaluation of 10 statistical models. *Forest Science*, 61(2), 320-327.
- Lima, R. B., Bufalino, L., Alves Junior, F. T., Silva, J. A. D., & Ferreira, R. L. (2017). Diameter distribution in a Brazilian tropical dry forest domain: predictions for the stand and species. *Anais da Academia Brasileira de Ciências*, 89(2), 1189-1203.

- Lindsay, S. R., Wood, G. R., & Woollons, R. C. (1996). Modelling the diameter distribution of forest stands using the Burr distribution. *Journal of Applied Statistics*, 23(6), 609-620.
- Little, S. N. (1983). Weibull diameter distributions for mixed stands of western conifers. *Canadian Journal of Forest Research*, 13(1), 85-88.
- Liu, C., Zhang, L., Davis, C. J., Solomon, D. S., & Gove, J. H. (2002). A finite mixture model for characterizing the diameter distributions of mixed-species forest stands. *Forest Science*, 48(4), 653-661.
- Liu, C., Zhang, S. Y., Lei, Y., Newton, P. F., & Zhang, L. (2004). Evaluation of tree methods for predicting diameter distributions of black spruce (*Picea mariana*) plantations in central Canada. *Canadian Journal of Forest Research*, 34(12), 2424-2432.
- Liu, C., Beaulieu J., Pregent G., & Zhang, S. Y. (2009). Applications and comparison of six methods for predicting parameters of the Weibull function in unthinned *Picea glauca* plantations. *Scandinavian Journal of Forest Research*, 24(1), 67-75.
- Liu, F., Li, F., Zhang, L., & Jin, X. (2014). Modeling diameter distributions of mixed-species forest stands. *Scandinavian Journal of Forest Research*, 29(7), 653-663.
- Loetsch, F., Zöhner, F., & Haller, K. E. (1973). *Forest inventory, Volume II*. München: BLV. Verlagsgesellschaft.
- Mabvurira, D., Maltamo, M., & Kangas, A. (2002). Predicting and calibrating diameter distributions of *Eucalyptus grandis* (Hill) Maiden plantations in Zimbabwe. *New Forests*, 23(3), 207-223.
- Magnussen, S. (1986). Diameter distributions in *Picea abies* described by the Weibull model. *Scandinavian Journal of Forest Research*, 1, 493-502.
- Maltamo, M. (1997). Comparing basal area diameter distributions estimated by tree species and for the entire growing stocks in mixed stand. *Silva Fennica*, 31(1), 53-65.
- Maltamo, M., Puumalainen, J., & Päivinen, R. (1995). Comparison of beta and Weibull functions for modelling basal area diameter distribution in stands of *Pinus sylvestris* and *Picea abies*. *Scandinavian Journal of Forest Research*, 10(1-4), 284-295.
- Mateus, A., & Tomé, M. (2011). Modelling the diameter distribution of eucalyptus plantations with Johnson's SB probability density function: parameters recovery from a compatible system of equations to predict stand variables. *Annals of Forest Science*, 68(2), 325-335.

- Mathwave (2015). EasyFit 5.5 Professional edition. www.mathwave.com.
- Mayrinck, R. C., Filho, A. C. F., Ribeiro, A., Oliveira, X. M. D., & Lima, R. R. D. (2018). A comparison of diameter distribution models for *Khaya ivorensis* A. Chev. plantations in Brazil. *Southern Forests*, 80(4), 373-380.
- MısıR, N. (2003). Karaçam ağaçlandırmalarına ilişkin büyüme modelleri. Doktora tezi, *Karadeniz Teknik Üniversitesi Fen Bilimleri Enstitüsü*. Trabzon.
- Miranda, R., Fiorentin, L., Péllico Netto, S., Juvanhol, R., & Corte, A. D. (2018). Prediction system for diameter distribution and wood production of *Eucalyptus*. *Floresta e Ambiente*, 25(3), e20160548.
- Nanos, N., & Montero, G. (2002). Spatial prediction of diameter distribution models. *Forest Ecology and Management*, 161, 147-158.
- Nelson, T. C. (1964). Diameter distribution and growth of Loblolly pine. *Forest Science*, 10(1), 105-114.
- Nord-Larsen, T., & Cao, Q. V. (2006). A diameter distribution model for even-aged beech in Denmark. *Forest Ecology and Management*, 231, 218-225.
- OGM (2013). *Orman atlası*. Ankara: OGM Yayını.
- OGM (2015). *Türkiye orman varlığı*. Ankara: OGM Yayını.
- Özçelik, R., Fidalgo Fonseca, T. J., Parresol, B. R., & Eler, Ü. (2016). Modeling the Diameter Distributions of Brutian Pine Stands Using Johnson's SB Distribution. *Forest Science*, 62(6), 587-593.
- Özdemir, G. A. (2016). Duglas (*Pseudotsuga menziesii* (Mirb.) Franco) meşcerelerinin çap dağılımlarının modellenmesi. *İstanbul Üniversitesi Orman Fakültesi Dergisi*, 66(2), 548-558.
- Packard, K. C. (2000). Modeling Tree Diameter Distributions for Mixed-Species Conifer Forests in The Northeast United States. Master Thesis, *State University of New York*, USA.
- Palahí, M., Pukkala, T., & Trasobares, A. (2006a). Calibrating predicted tree diameter distributions in Catalonia, Spain. *Silva Fennica*, 40(3), 487-500.
- Palahí, M., Pukkala, T., & Trasobares, A. (2006b). Modelling the diameter distribution of *Pinus sylvestris*, *Pinus nigra* and *Pinus halepensis* forest stands in Catalonia using the truncated Weibull function. *Forestry*, 79(5), 553-562.
- Palahí, M., Pukkala, T., Blasco, E., & Trasobares, A. (2007). Comparison of beta, Johnson's SB, Weibull and truncated Weibull functions for modeling the diameter distribution of forest stands in Catalonia (north-east of Spain). *European Journal of Forest Research*, 126(4), 563-571.

- Parresol, B. R. (2003). *Recovering parameters of Johnson's SB distribution*. USA: USDA Forest Service Research Papers.
- Pogoda, P., Ochał, W., & Orzeł, S. (2019). Modeling diameter distribution of black alder (*Alnus glutinosa* (L.) Gaertn.) stands in Poland. *Forests*, *10*(5), 412.
- Poudel, K. P., & Cao, Q. V. (2013). Evaluation of methods to predict Weibull parameters for characterizing diameter distributions. *Forest Science*, *59*(2), 243-252.
- Rennolls, K., Geary, D. N., & Rollinson, T. J. D. (1985). Characterizing diameter distributions by the use of the Weibull distribution. *Forestry*, *58*(1), 57-66.
- Reynolds, M. R., Burke, T. E., & Huang, W. (1988). Goodness-of-tests and model selection procedures for diameter distribution models. *Forest Science*, *34*(2), 373-379.
- Sakıcı, O. E., & Gülsunar, M. (2012). Diameter distribution of Bornmullerian fir in mixed stands. *Kastamonu Üniversitesi Orman Fakültesi Dergisi*, *12*(3), 263-270.
- Sakıcı, O. E., Seki, M., Sağlam, F., & Akyıldız, M. H. (2016). Modeling diameter distributions of black pine stands in Taşköprü region. *International Forestry Symposium*, 521-535, Kastamonu.
- Sanquetta, C. R., Behling, A., Dalla Corte, A. P., Netto, S. P., Rodrigues, A. L., & Simon, A. A. (2014). A model based on environmental factors for diameter distribution in black wattle in Brazil. *PLoS ONE*, *9*(6), e100093.
- Schmidt, L. N., Machado, S. D. A., Pelissari, A. L., & Silva, G. F. D. (2019). Dynamics of eucalyptus diameter distribution in the State of Minas Gerais. *Floresta e Ambiente*, *26*(2), e20170156.
- Schreuder, H. T., & Swank, W. T. (1964). Diameter distribution and growth Loblolly pine. *Forest Science*, *10*(1), 105-114.
- Scolforo, J. R. S., Tabai, F. C. V., Macedo, R. L. G., Acerbi, F. W., & Assis, A. L. (2003). SB distribution's accuracy to represent the diameter distribution of *Pinus taeda*, through five fitting methods. *Forest Ecology and Management*, *175*(1-3), 489-496.
- Sghaier, T., Canellas, I., Calama, R., & Sanchez-Gonzalez, M. (2016). Modelling diameter distribution of *Tetraclinis articulata* in Tunisia using normal and Weibull distributions with parameters depending on stand variables. *iForest-Biogeosciences and Forestry*, *9*, 702-709.
- Shiver, B. D. (1988) Sample sizes and estimation methods for the Weibull distribution for unthinned slash pine plantation diameter distributions. *Forest Science*, *34*, 809-814.

- Siipilehto, J., Sarkkola, S., & Mehtätalo, L. (2007). Comparing regression estimation techniques when predicting diameter distribution of Scots pine on drained peatlands. *Silva Fennica*, 41(2), 333-349.
- Sönmez, T., Günlü, A., Karahalil, U., Ercanlı, İ., & Şahin, A. (2010). Saf doğu ladini meşcerelerinde çap dağılımının modellenmesi. *III. Ulusal Karadeniz Ormancılık Kongresi*, Cilt: I, 388-398, Artvin.
- Sönmez, T., Karahalil, U., Günlü, A., & Şahin, A. (2015). Aynı yaşlı ve saf Doğu ladini (*Picea orientalis* (L.) Link.) meşcerelerinde çap dağılımının bonitet ve yaş sınıfları için değerlendirilmesi. *Kastamonu Üniversitesi Orman Fakültesi Dergisi*, 15(1), 26-36.
- Spiegel, M. R., & Stephens, L. J. (1999). *Schaum's outline of theory and problems of statistics*. 3rd edition, New York: McGraw-Hill.
- Stankova, T., & Diéguez-Aranda, U. (2010). Diameter distribution model for Scots pine plantations in Bulgaria. *Forestry Ideas*, 16(2), 156-162.
- Stankova, T. V., & Zlatanov, T. M. (2010). Modeling diameter distribution of Austrian black pine (*Pinus nigra* Arn.) plantations: a comparison of the Weibull frequency distribution function and percentile-based projection methods. *European Journal of Forest Research*, 129(6), 1169-1179.
- The Jamovi Project (2019). Jamovi (Version 0.9) [Computer Software]. <https://www.jamovi.org>.
- Ünver, Ö., Gamgam, H., & Altunkaynak, B. (2011). SPSS uygulamalı temel istatistik yöntemler. 6. Baskı, Ankara: Seçkin Yayıncılık.
- Vanclay, J. K. (1994). *Modelling forest growth: Applications to mixed tropical forests*. Copenhagen: CAB International.
- Wang, M., & Rennolls, K. (2005). Tree diameter distribution modelling: introducing the logit logistic distribution. *Canadian Journal of Forest Research*, 35(6), 1305-1313.
- Xu, Y., Li, F. R., & Jiang, S. L. (2012). Study on diameter distribution of natural secondary forest. *Advanced Materials Research*, 402, 758-765.
- Yavuz, H., Gül, A. U., Mısır, N., Özçelik, R., & Sakıcı, O. E. (2002). Meşcerelerde çap dağılımının düzenlenmesi ve bu dağılımlara ilişkin parametreler ile çeşitli meşcere ögeleri arasındaki ilişkilerin belirlenmesi. *Orman Amenajmanında Kavramsal Açılımlar ve Yeni Hedefler Sempozyumu*, 203-211, İstanbul.
- Zarnoch, S. J., & Dell, T. R. (1985). An evaluation of percentiles and maximum likelihood estimators of Weibull parameters. *Forest Science*, 31(1), 260-268.

ÖZGEÇMİŞ

Adı Soyadı : Esra DAL
Doğum Yeri ve Yılı : Altındağ, 04.04.1991
Medeni Hali : Evli
Yabancı Dili : İngilizce
E-posta : edal@sgk.gov.tr



Eğitim Durumu

Lise : Sokullu Mehmet Paşa Lisesi (2005-2009)
Lisans : Gazi Üniversitesi, Fen Fakültesi, İstatistik (2009-2014)

Mesleki Deneyim

İş Yeri : Sosyal Güvenlik Kurumu Denetmenler Birimi (2018-)